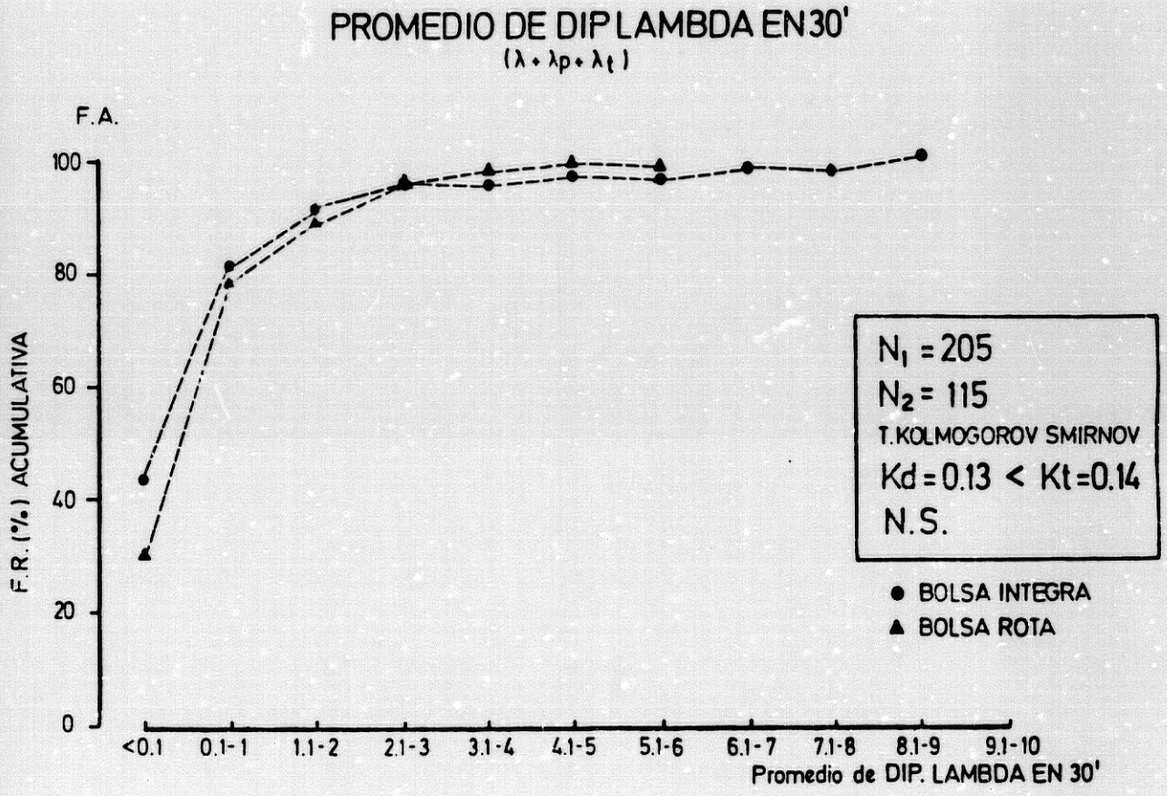
PROMEDIO DE DIP LAMBDA EN 30'
(λ + λp + λt)
F.A.
F.R. (%) ACUMULATIVA
100
80
60
40
20
0
<0.1
0.1-1
1.1-2
2.1-3
3.1-4
4.1-5
5.1-6
6.1-7
7.1-8
8.1-9
9.1-10
Promedio de DIP. LAMBDA EN 30'
N1 = 205
N2 = 115
T. KOLMOGOROV SMIRNOV
Kd = 0.13 < Kt = 0.14
N.S.
● BOLSA INTEGRA
▲ BOLSA ROTA

Figura 22.

El estudio estadístico efectuado mediante el test de Kolmogorov-Smirnov, muestra la existencia de diferencias estadistcamente significativas con una P<0.01. (Fig.23).

En lo que respecta al dip variable, podemos decir que los grupos de estudio, circular y no circular, han sido extraidos de diferentes poblaciones.

3.6.- CONSIDERACIONES.

Se ve como la bolsa de las aguas no influye sobre la monitorización basal de la F.C.F. y por tanto no hay porqué tenerla en consideración en el presente estudio.

4.- VARIACIONES DE LA F.C.F. MOTIVADAS POR EL SEXO FETAL.

Hemos tratado de comprobar si el sexo del feto podía ser causa de alteración en los registros cardiotocográficos.

Para llevar a cabo este estudio, se han dividido los registros cardiotocográficos en dos grupos según correspondieran a fetos varones o fetos hembras. El número de fetos varones asciende a 168, en tanto el de fetos hembra es de 154.

Se ha procedido a la lectura de los registros cardiotocográficos pertenecientes a ambos grupos, -

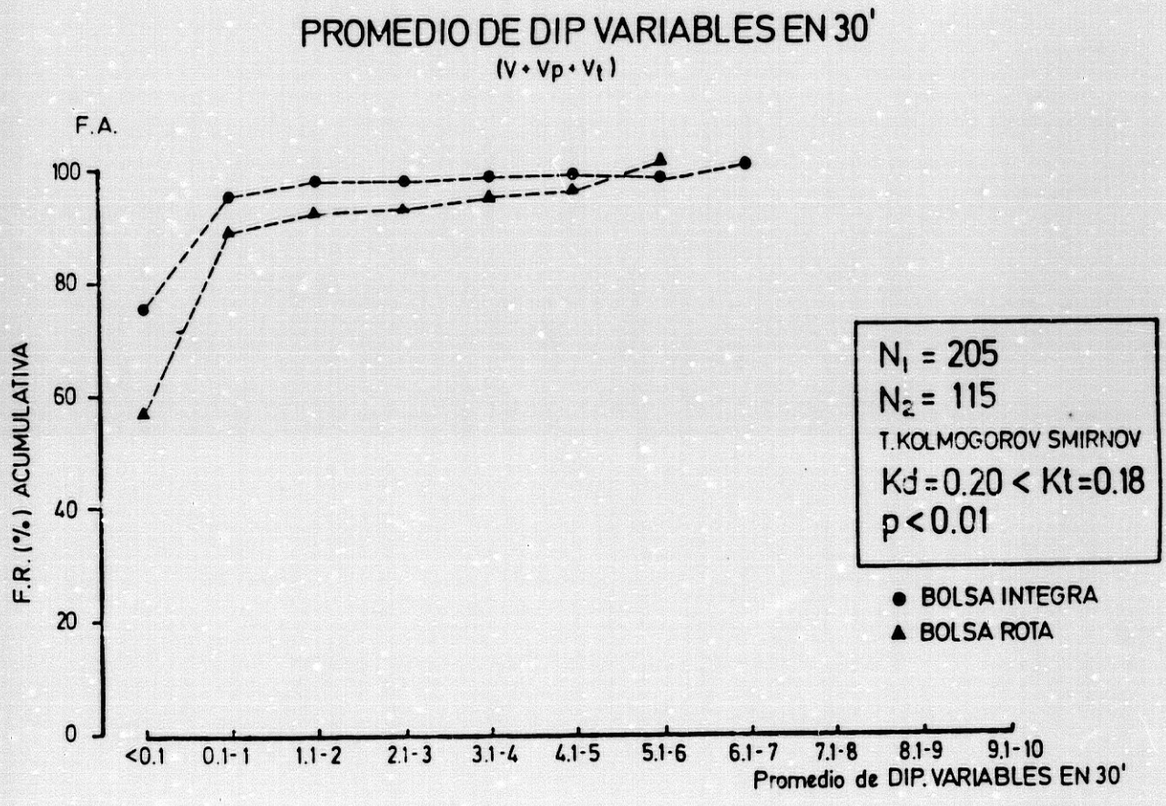
PROMEDIO DE DIP VARIABLES EN 30'
(V + Vp + Vt)
F.A.
100
80
60
40
20
0
F.R. (%) ACUMULATIVA
N1 = 205
N2 = 115
T. KOLMOGOROV SMIRNOV
Kd = 0.20 < Kt = 0.18
p < 0.01
● BOLSA INTEGRA
▲ BOLSA ROTA
<0.1
0.1-1
1.1-2
2.1-3
3.1-4
4.1-5
5.1-6
6.1-7
7.1-8
8.1-9
9.1-10
Promedio de DIP. VARIABLES EN 30'

Figura 23.

calculando el promedio de aparición en treinta minutos de los distintos patrones de F.C.F. en ellos presentes (ascensos transitorios, total de dip umbilicales, dip U, dip Lambda, y dip variables).

El test utilizado para la obtención de los cálculos estadísticos ha sido el de Kolmogorov-Smirnov, no obteniendose significación estadística alguna para ninguno de los patrones de F.C.F. considerados, debido al sexo del R.N. (Figs.24 a 28).

5.- VARIACIONES DE LA F.C.F. ORIGINADAS POR EL VOLUMEN DE LIQUIDO AMNIOTICO.

En este apartado hemos estudiado el volumen de líquido amniótico como posible causa desde el punto de vista etiológico en la aparición de variaciones en la frecuencia cardiaca fetal.

Se han dividido los registros cardiotocográficos en tres grupos según que la cantidad de líquido amniótico observado fuera normal, abundante o escaso.

Igual que hacíamos al estudiar la influencia del estado de la bolsa de las aguas, hay que apuntar aquí que la determinación del volumen de líquido amniótico considerada se hizo de forma subjetiva por la persona que asistió el parto. Igualmente volvemos a recordar los requisitos que exigiamos antes de proceder a la lectura de un registro (NST) cardio

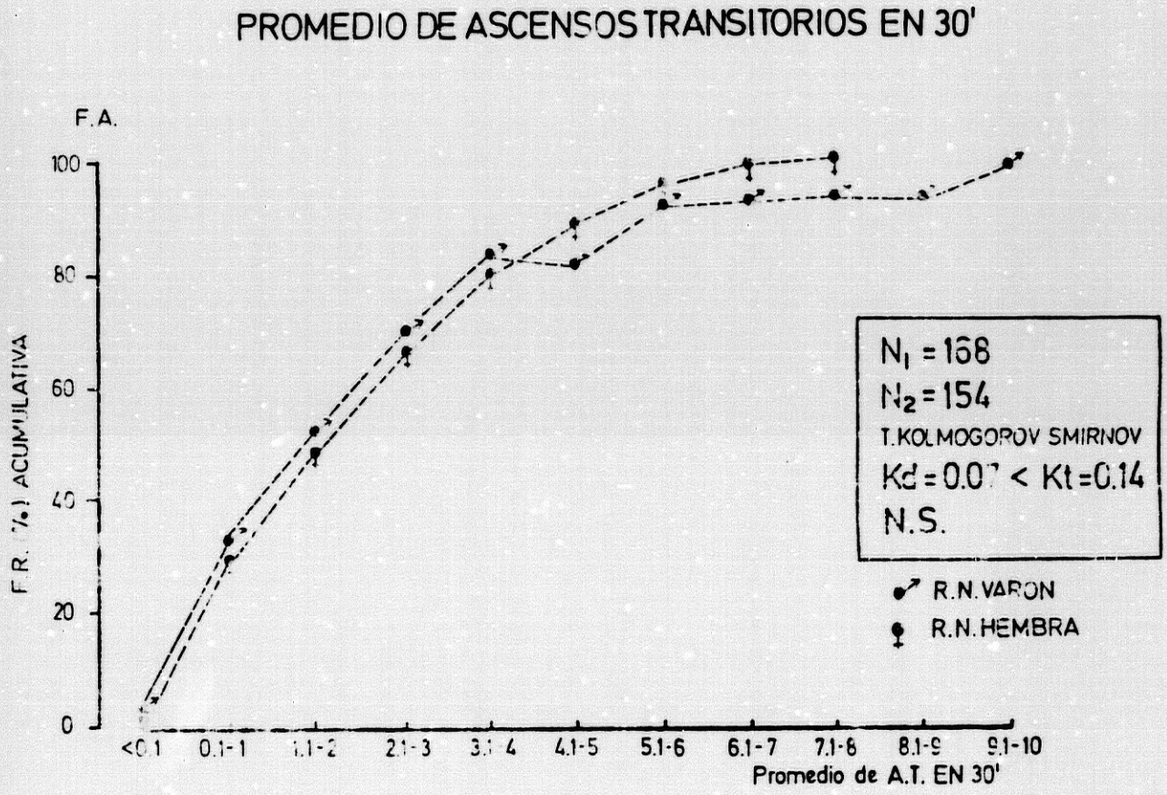
PROMEDIO DE ASCENSOS TRANSITORIOS EN 30'
F.A.
F.R. (%) ACUMULATIVA
100
80
60
40
20
0
<0.1
0.1-1
1.1-2
2.1-3
3.1-4
4.1-5
5.1-6
6.1-7
7.1-8
8.1-9
9.1-10
Promedio de A.T. EN 30'
N1 = 168
N2 = 154
T.KOLMOGOROV SMIRNOV
Kd = 0.07 < Kt = 0.14
N.S.
R.N.VARON
R.N.HEMBRA

Figura 24.

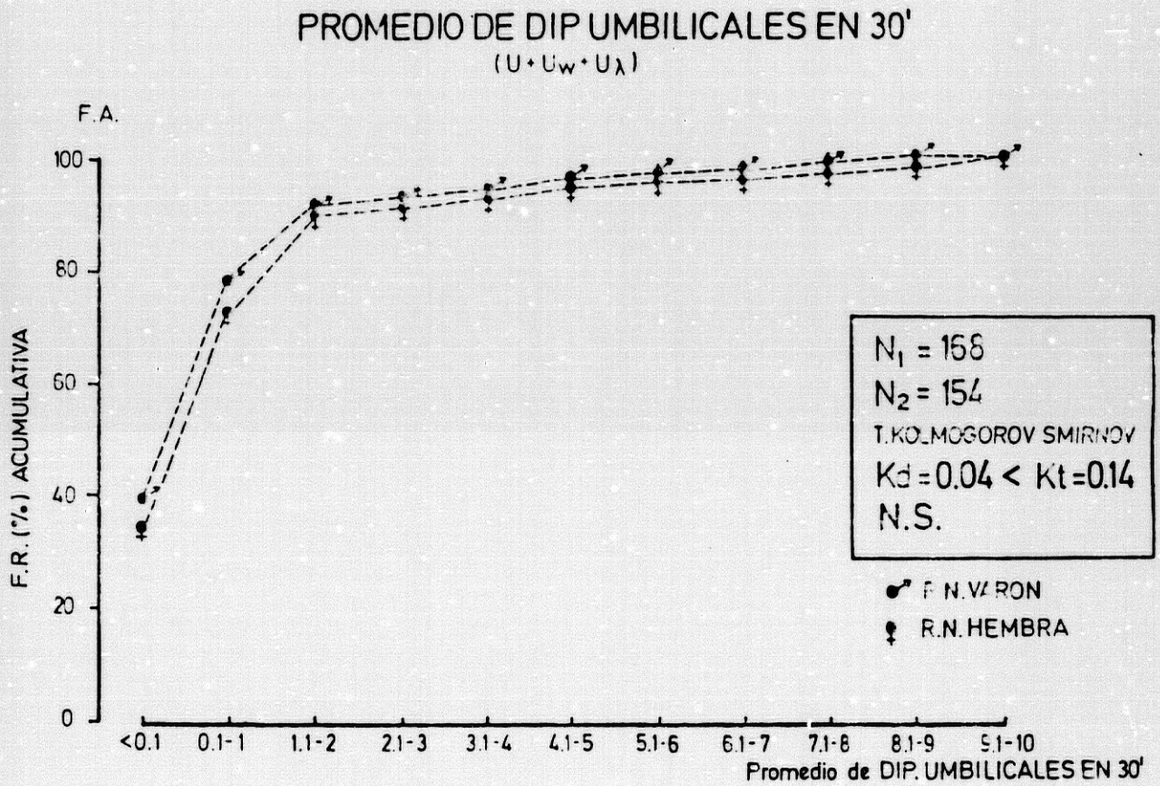
PROMEDIO DE DIP UMBILICALES EN 30'
(U+Uw+Uλ)
F.A.
100
80
60
40
20
0
F.R.(%) ACUMULATIVA
N1 = 168
N2 = 154
T.KO_MOGOROV SMIRNOV
Kd = 0.04 < Kt = 0.14
N.S.
R.N.VARON
R.N.HEMBRA
<0.1
0.1-1
1.1-2
2.1-3
3.1-4
4.1-5
5.1-6
6.1-7
7.1-8
8.1-9
9.1-10
Promedio de DIP. UMBILICALES EN 30'

Figura 25.

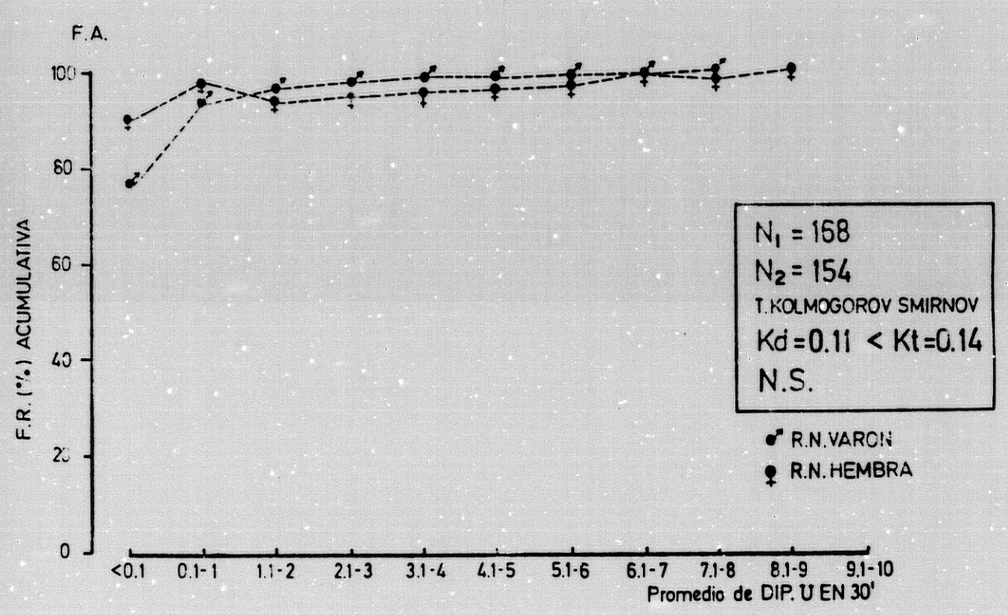

Figura 26.

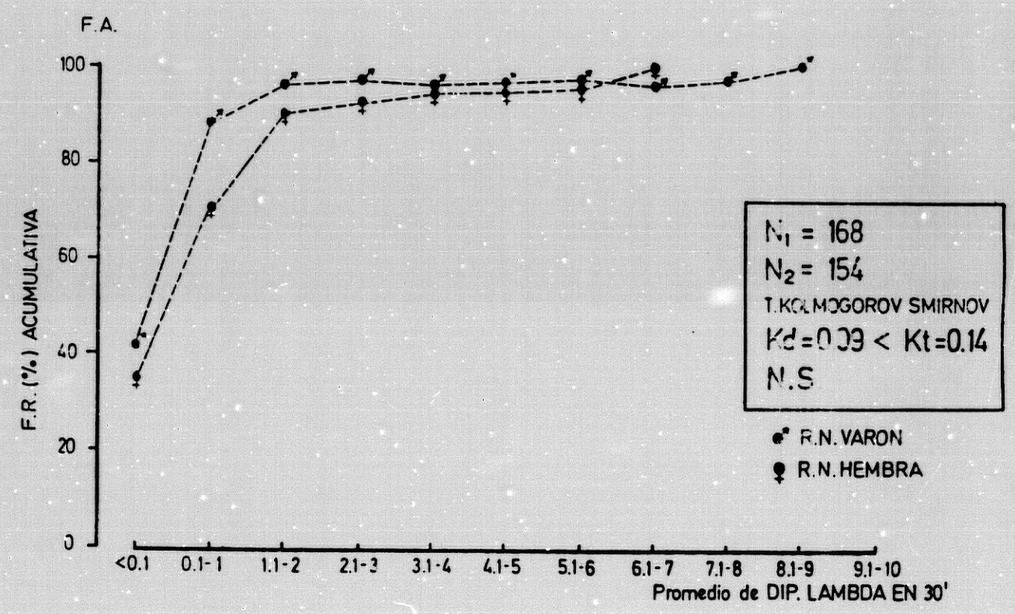

Figura 27.

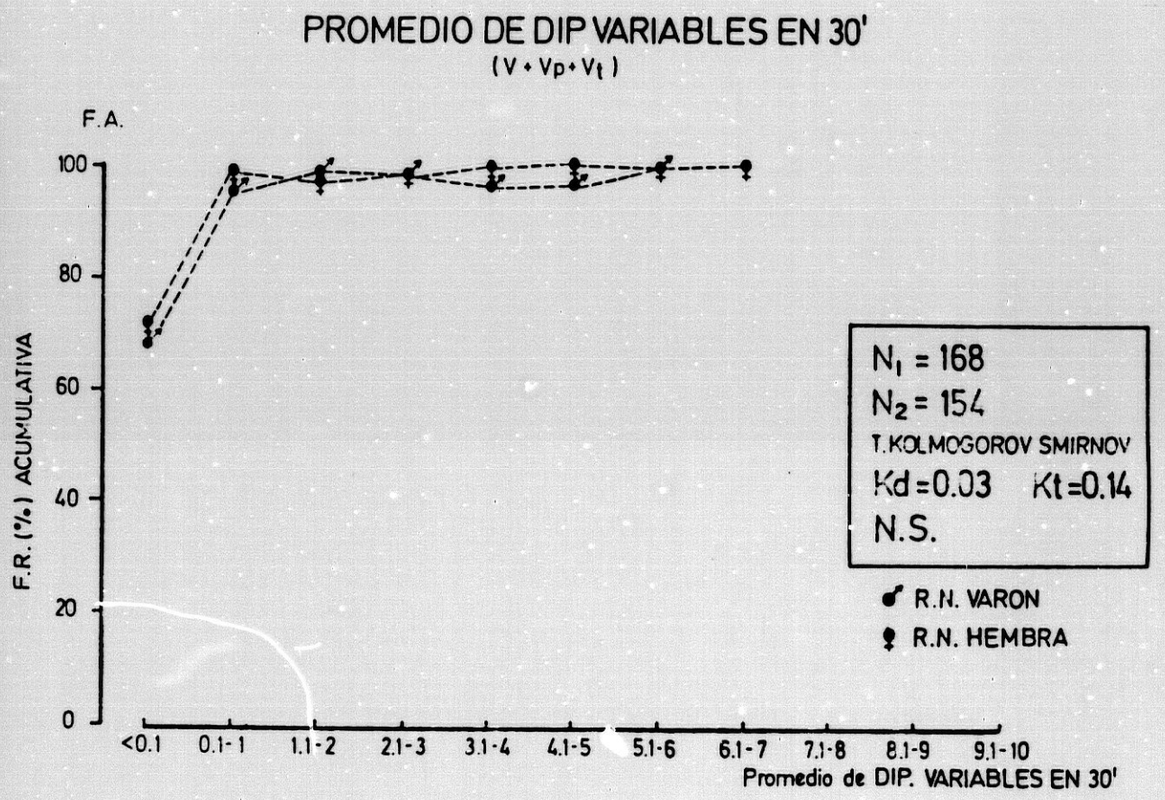
PROMEDIO DE DIP VARIABLES EN 30'
(V + Vp + Vt)
F.A.
100
80
60
40
20
0
F.R. (%) ACUMULATIVA
N1 = 168
N2 = 154
T. KOLMOGOROV SMIRNOV
Kd = 0.03 Kt = 0.14
N.S.
R.N. VARON
R.N. HEMBRA
<0.1
0.1-1
1.1-2
2.1-3
3.1-4
4.1-5
5.1-6
6.1-7
7.1-8
8.1-9
9.1-10
Promedio de DIP. VARIABLES EN 30'

Figura 28.

tocográfico: periodo no estresante, feto y madre tranquilos, bolsa íntegra, o rota recientemente,- etc.

En cada uno de los grupos considerados, se ha calculado el promedio en treinta minutos de:as censos transitorios, total de dip umbilicales, - dip U, dip lambda y dip variables.

Con líquido amniótico se han estudiado 181 casos, 33 con L.A. abundante y 37 con L.A. escaso.

El estudio estadístico efectuado mediante el test de Kolmogorov-Smirnov, no muestra diferencia estadística alguna por lo que respecta a los patrones de F.C.F. estudiados (Figs.29 a 33), al comparar los tres grupos de estudio.

6.- VARIACIONES DE LA F.C.F. EN PRESENCIA DE DOS VARIABLES: PRESENCIA O AUSENCIA DE CIRCULAR DE CORDON Y BOLSA ROTA.

Hemos analizado en apartados anteriores independientemente, como puede verse modificado el cardiotocograma debido a la presencia o ausencia de - circular de cordón por una parte, o el estado de - la bolsa de las aguas por otra. En este apartado - vamos a estudiar como se modifican los registros - de F.C.F. cuando ambas causas coinciden.

En los estudios que se van a realizar a continuación, se ha prescindido del análisis de los - ascensos transitorios, debido a que en estudios -

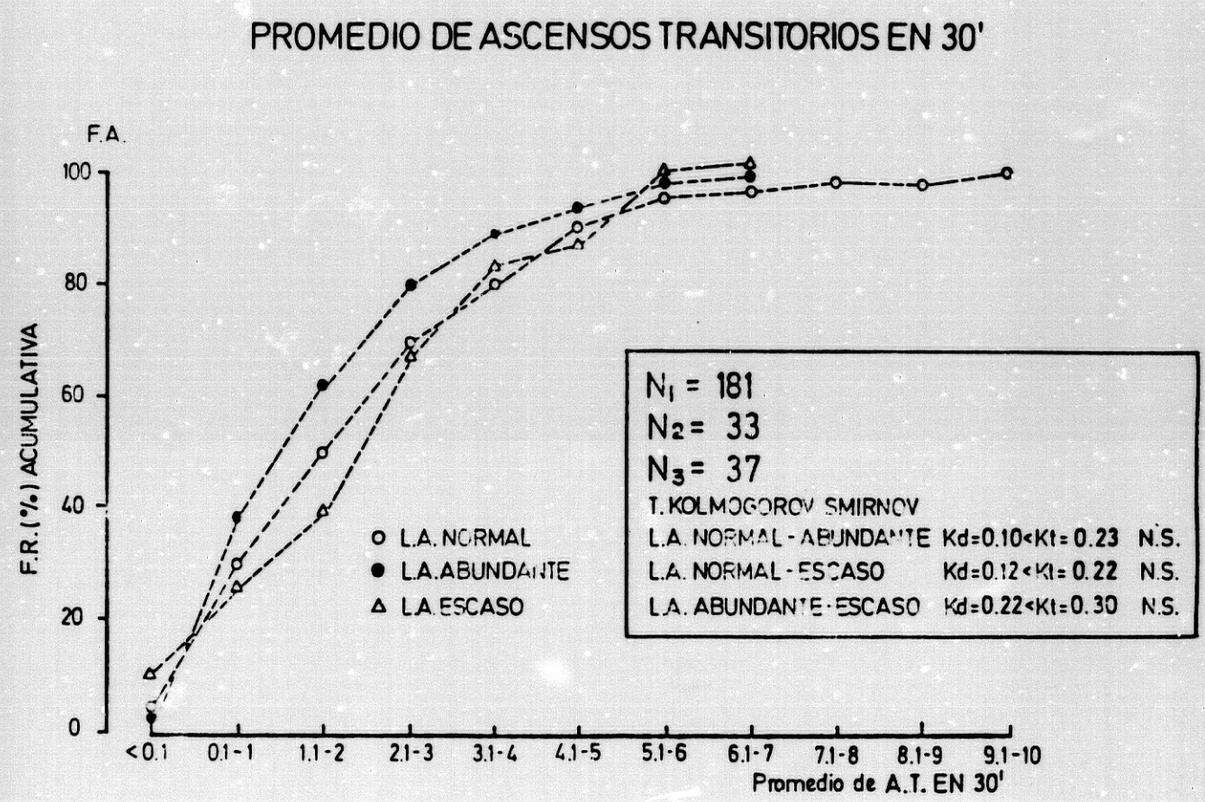
PROMEDIO DE ASCENSOS TRANSITORIOS EN 30'
F.A.
100
80
60
40
20
0
F.R.(%) ACUMULATIVA
<0.1
0.1-1
1.1-2
2.1-3
3.1-4
4.1-5
5.1-6
6.1-7
7.1-8
8.1-9
9.1-10
Promedio de A.T. EN 30'
L.A. NORMAL
L.A.ABUNDANTE
L.A.ESCASO
N1 = 181
N2 = 33
N3 = 37
T. KOLMOGOROV SMIRNOV
L.A. NORMAL - ABUNDANTE Kd=0.10<Kt=0.23 N.S.
L.A. NORMAL - ESCASO Kd=0.12<Kt=0.22 N.S.
L.A. ABUNDANTE-ESCASO Kd=0.22<Kt=0.30 N.S.

Figura 29.

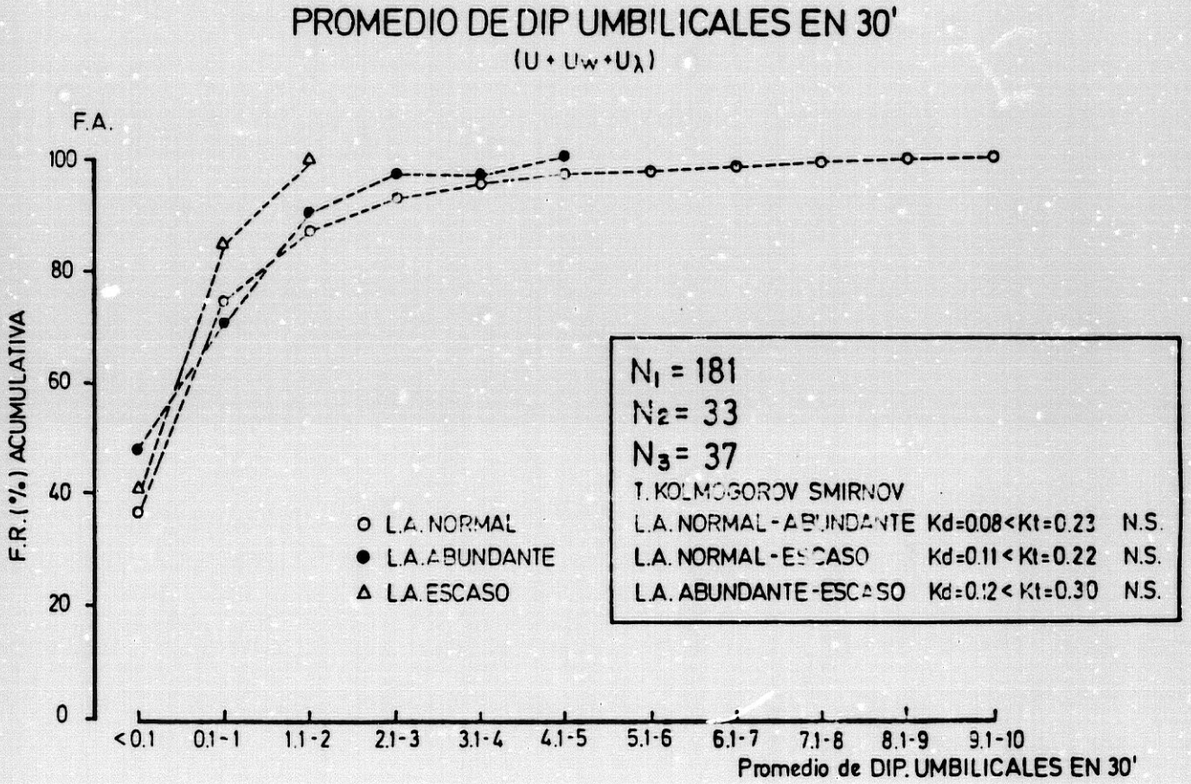
PROMEDIO DE DIP UMBILICALES EN 30'
(U + Uw + Uλ)
F.A.
100
80
60
40
20
0
F.R.(%) ACUMULATIVA
o L.A. NORMAL
● L.A. ABUNDANTE
Δ L.A. ESCASO
N1 = 181
N2 = 33
N3 = 37
T. KOLMOGOROV SMIRNOV
L.A. NORMAL - ABUNDANTE Kd=0.08<Kt=0.23 N.S.
L.A. NORMAL - ESCASO Kd=0.11<Kt=0.22 N.S.
L.A. ABUNDANTE - ESCASO Kd=0.12<Kt=0.30 N.S.
<0.1
0.1-1
1.1-2
2.1-3
3.1-4
4.1-5
5.1-6
6.1-7
7.1-8
8.1-9
9.1-10
Promedio de DIP. UMBILICALES EN 30'

Figura 30.

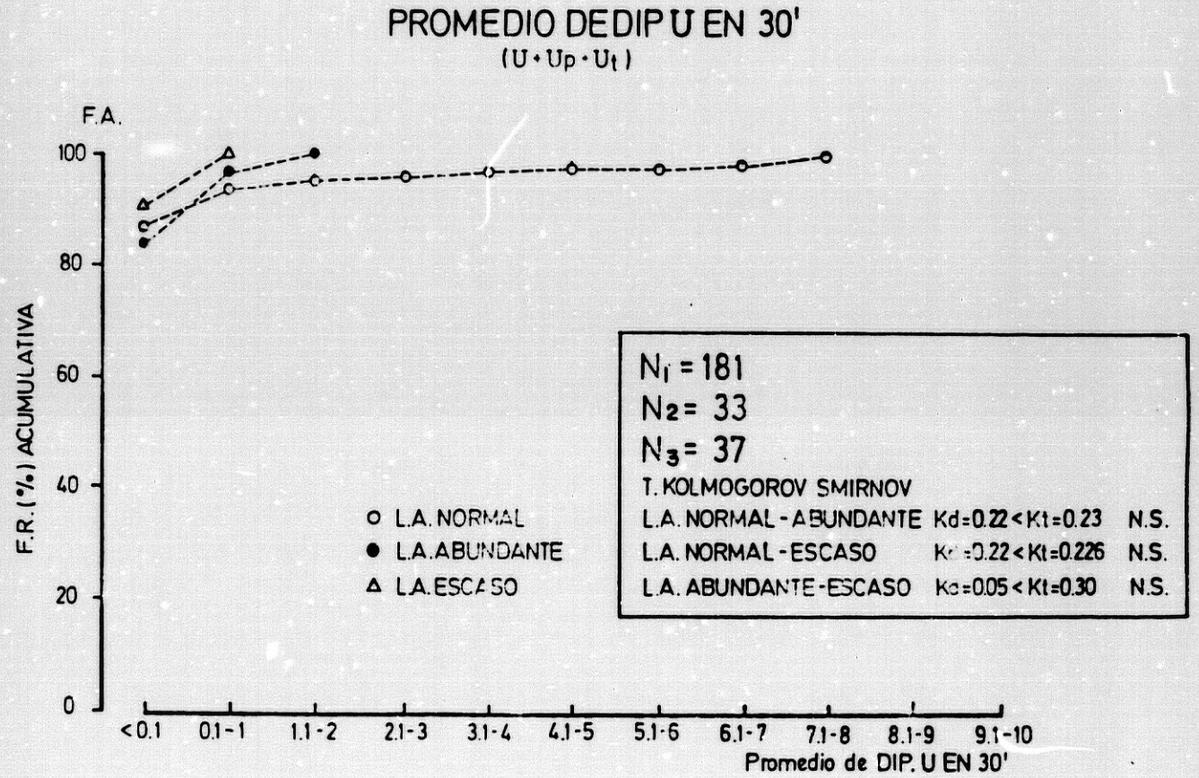
PROMEDIO DE DIP U EN 30'
(U • Up • Ut)
F.A.
100
80
60
40
20
0
F.R.(%) ACUMULATIVA
○ L.A. NORMAL
● L.A. ABUNDANTE
△ L.A. ESCASO
N1 = 181
N2 = 33
N3 = 37
T. KOLMOGOROV SMIRNOV
L.A. NORMAL - ABUNDANTE Kd=0.22 < Kt=0.23 N.S.
L.A. NORMAL - ESCASO Kd=0.22 < Kt=0.226 N.S.
L.A. ABUNDANTE - ESCASO Kd=0.05 < Kt=0.30 N.S.
<0.1
0.1-1
1.1-2
2.1-3
3.1-4
4.1-5
5.1-6
6.1-7
7.1-8
8.1-9
9.1-10
Promedio de DIP. U EN 30'

Figura 31.

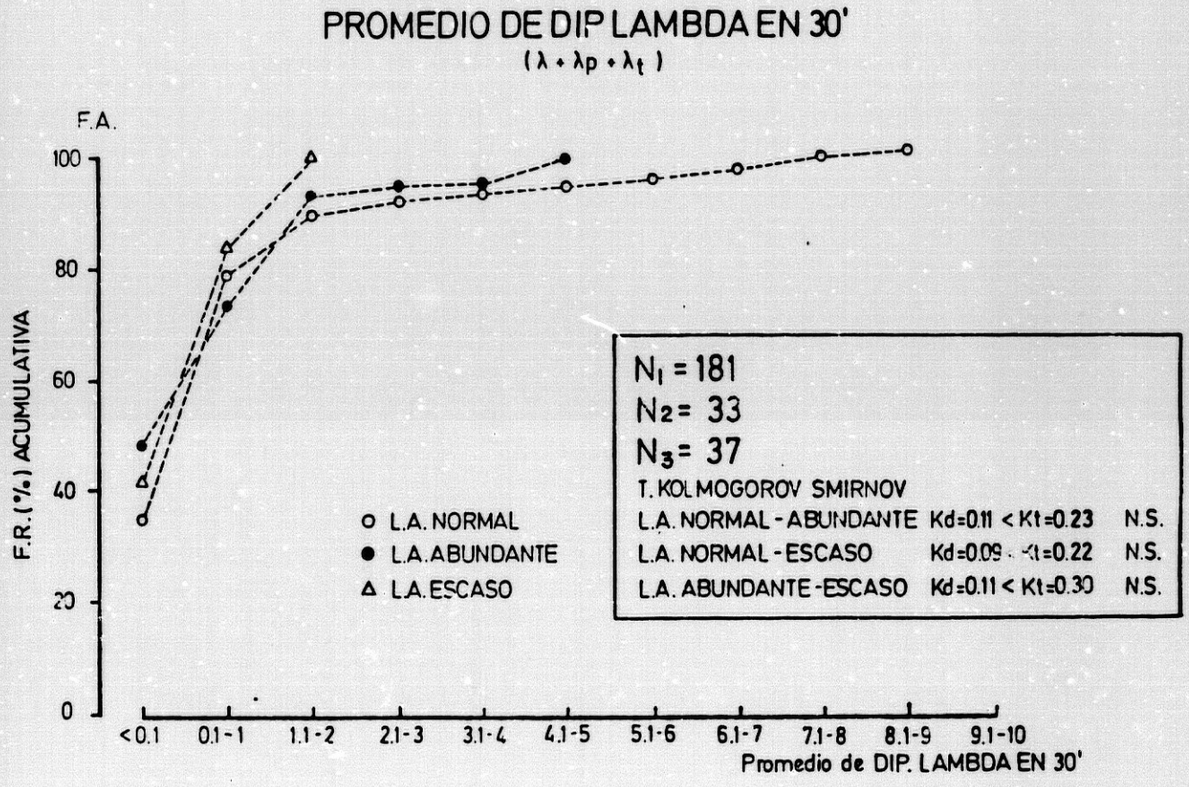
PROMEDIO DE DIP LAMBDA EN 30'
(λ + λp + λt)
F.A.
100
80
60
40
20
0
F.R.(%) ACUMULATIVA
o L.A. NORMAL
● L.A. ABUNDANTE
Δ L.A. ESCASO
N1 = 181
N2 = 33
N3 = 37
T. KOLMOGOROV SMIRNOV
L.A. NORMAL - ABUNDANTE Kd=0.11 < Kt=0.23 N.S.
L.A. NORMAL - ESCASO Kd=0.09 < Kt=0.22 N.S.
L.A. ABUNDANTE - ESCASO Kd=0.11 < Kt=0.30 N.S.
<0.1
0.1-1
1.1-2
2.1-3
3.1-4
4.1-5
5.1-6
6.1-7
7.1-8
8.1-9
9.1-10
Promedio de DIP. LAMBDA EN 30'

Figura 32.

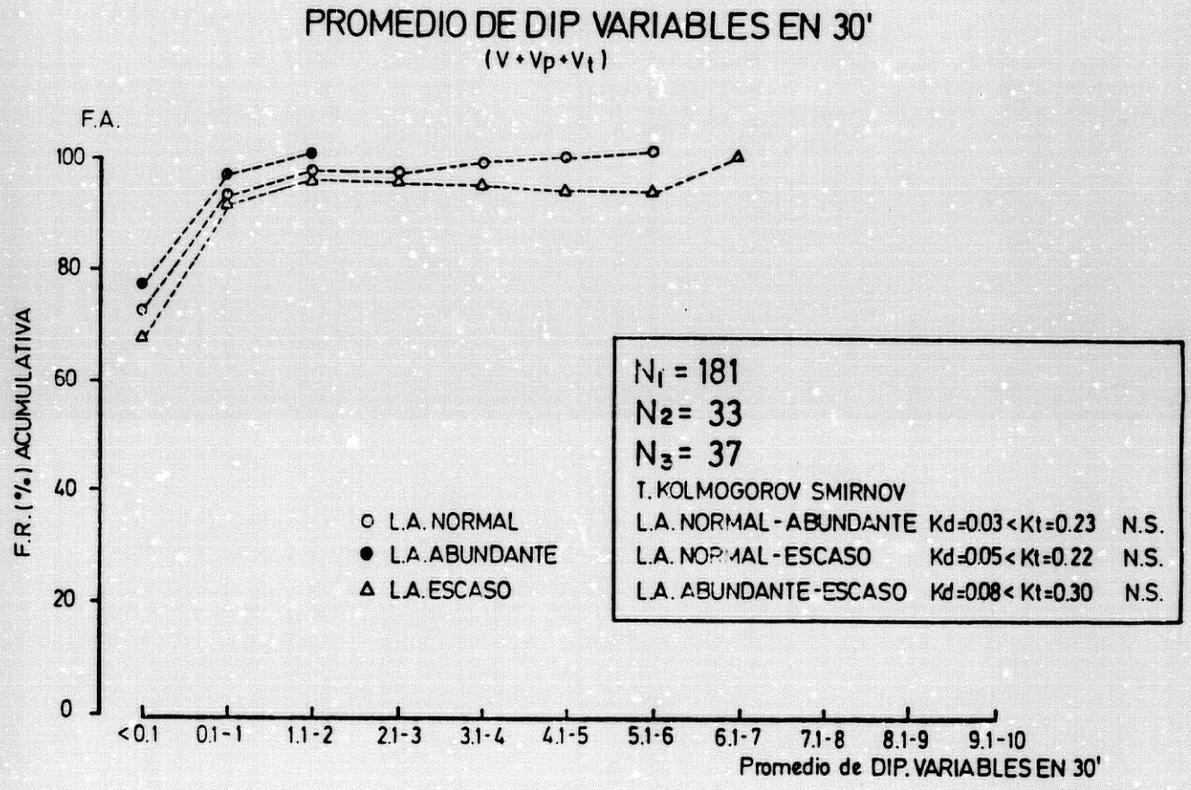
PROMEDIO DE DIP VARIABLES EN 30'
(V+Vp+Vt)
F.A.
100
80
60
40
20
0
F.R.(%) ACUMULATIVA
<0.1
0.1-1
1.1-2
2.1-3
3.1-4
4.1-5
5.1-6
6.1-7
7.1-8
8.1-9
9.1-10
Promedio de DIP. VARIABLES EN 30'
o L.A. NORMAL
● L.A. ABUNDANTE
Δ L.A. ESCASO
N1 = 181
N2 = 33
N3 = 37
T. KOLMOGOROV SMIRNOV
L.A. NORMAL - ABUNDANTE Kd=0.03 < Kt=0.23 N.S.
L.A. NORMAL - ESCASO Kd=0.05 < Kt=0.22 N.S.
L.A. ABUNDANTE - ESCASO Kd=0.08 < Kt=0.30 N.S.

Figura 33.

precedentes no se han demostrado diferencias en la frecuencia de aparición de este patrón debido a presencia o ausencia de circular de cordón u otros factores estudiados (estado de la bolsa, volumen de líquido amniótico etc.).

6.1.- TOTAL DE DIP UMBILICALES.

Aquí se compara el promedio de cualquier forma de dip umbilical en treinta minutos, con bolsa íntegra y presencia o no de circular por una parte, y bolsa rota y existencia o no de circular por otra.

En el primer caso aparece mayor número de dip de tipo umbilical cuando se presenta una vuelta de cordón. El estudio estadístico efectuado mediante el test de Student muestra diferencias estadísticas altamente significativas $P<0.0005$. (Fig.34).

6.2.- DIP-U.

Con bolsa íntegra se han estudiado 205 casos de los cuales 104 no presentaban circular, y en 101 ésta estaba presente. Las diferencias encontradas respecto a la aparición de dip-U son estadisticamente significativas $P<0.01$.

Con bolsa rota aparecen 115 casos, 55 sin circular y 60 con ella. Las diferencias encontradas resultan ser estadisticamente significativas mediante

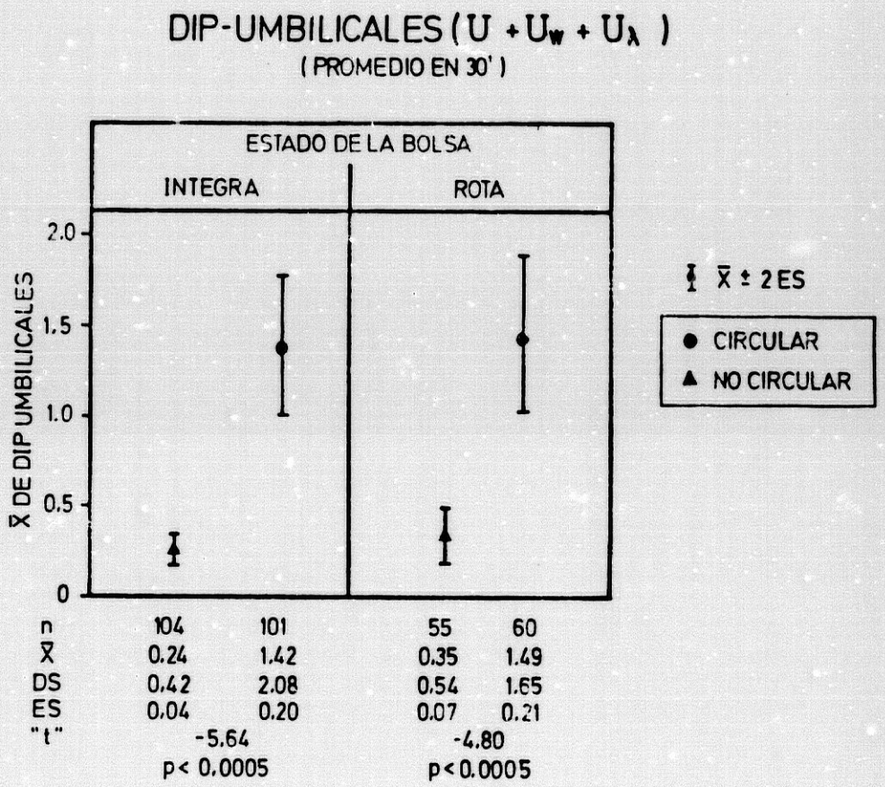
DIP-UMBILICALES (U + Uw + Uλ)
(PROMEDIO EN 30')
ESTADO DE LA BOLSA
INTEGRA
ROTA
X DE DIP UMBILICALES
2.0
1.5
1.0
0.5
0
X ± 2 ES
CIRCULAR
NO CIRCULAR
n 104 101 55 60
X 0.24 1.42 0.35 1.49
DS 0.42 2.08 0.54 1.65
ES 0.04 0.20 0.07 0.21
"t" -5.64 -4.80
p< 0.0005 p< 0.0005

Figura 34.

el test de "t" con P<0.025.(Fig.35).

6.3.- DIP LAMBDA.

Tanto si la bolsa está rota como si está íntegra, el promedio de dip lambda en 30 minutos resulta ser más elevado en presencia de circular.Las diferencias estadísticas se muestran altamente significativas en ambos casos con P<0.0005. (Fig.36).

6.4.- DIP VARIABLES.

El dip de tipo variable aparece igualmente - más frecuentemente tanto con membranas rotas como- intactas, cuando está presente una circular de cordón. El estudio estadístico mediante el test de - Student arroja valores estadisticamente significativos en ambos casos P<0.01 y P<0.0025 respectivamente. (Fig.37).

7.- VARIACIONES DE LA F.C.F. EN PRESENCIA O AUSENCIA DE CIRCULAR SEGÚN QUE EL R.N. SEA VARON O HEMBRA.

7.1.- TOTAL DE DIP UMBILICALES.

Tanto en el R.N.varón como hembra, la presencia de circular de cordón motiva la aparición de un

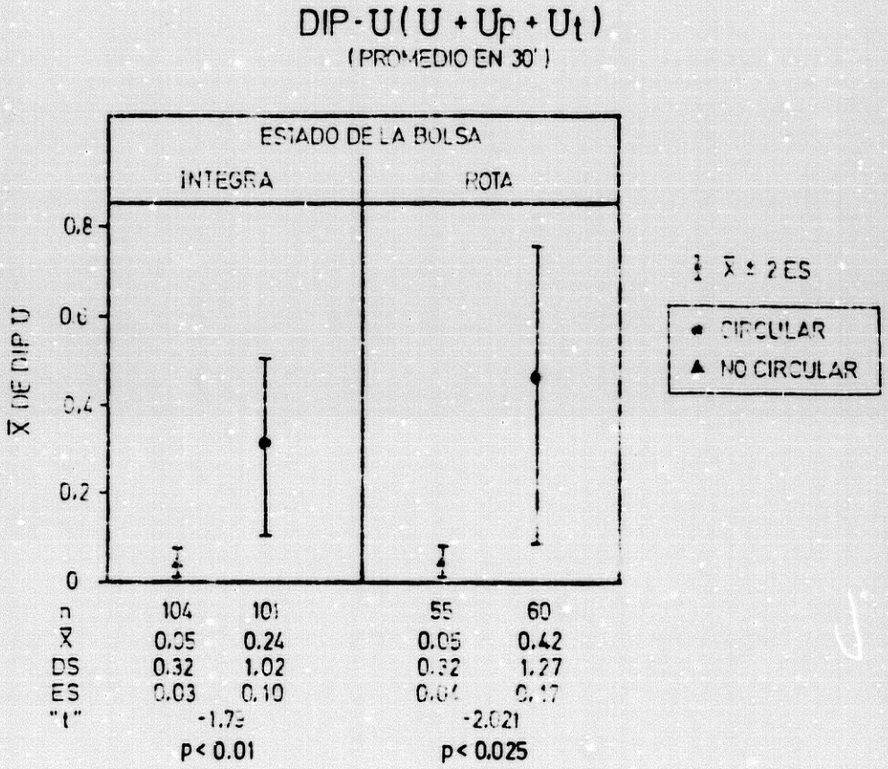
DIP - U (U + Up + Ut)
(PROMEDIO EN 30')
ESTADO DE LA BOLSA
INTEGRA
ROTA
X DE DIP U
0.8
0.6
0.4
0.2
0
X ± 2 ES
CIRCULAR
NO CIRCULAR
n 104 101 55 60
X 0.05 0.24 0.05 0.42
DS 0.32 1.02 0.32 1.27
ES 0.03 0.10 0.04 0.17
"t" -1.78 -2.021
p< 0.01
p< 0.025

Figura 35.

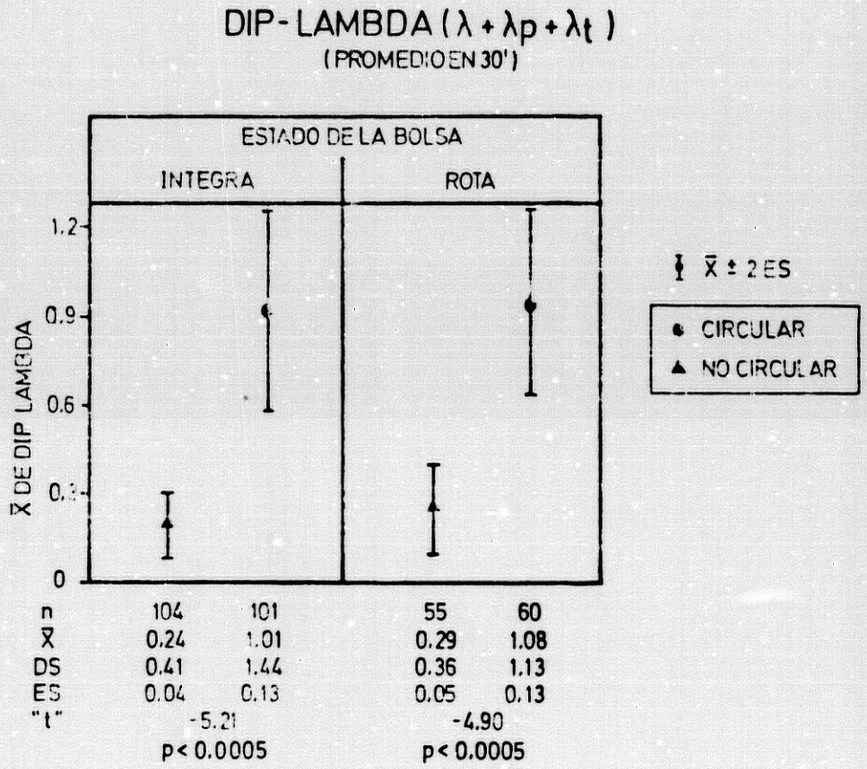
DIP- LAMBDA (λ + λp + λt)
(PROMEDIO EN 30')
ESTADO DE LA BOLSA
INTEGRA
ROTA
X̄ DE DIP LAMBDA
1.2
0.9
0.6
0.3
0
X̄ ± 2 ES
CIRCULAR
NO CIRCULAR
n 104 101 55 60
X̄ 0.24 1.01 0.29 1.08
DS 0.41 1.44 0.36 1.13
ES 0.04 0.13 0.05 0.13
"t" -5.21 -4.90
p< 0.0005 p< 0.0005

Figura 36.

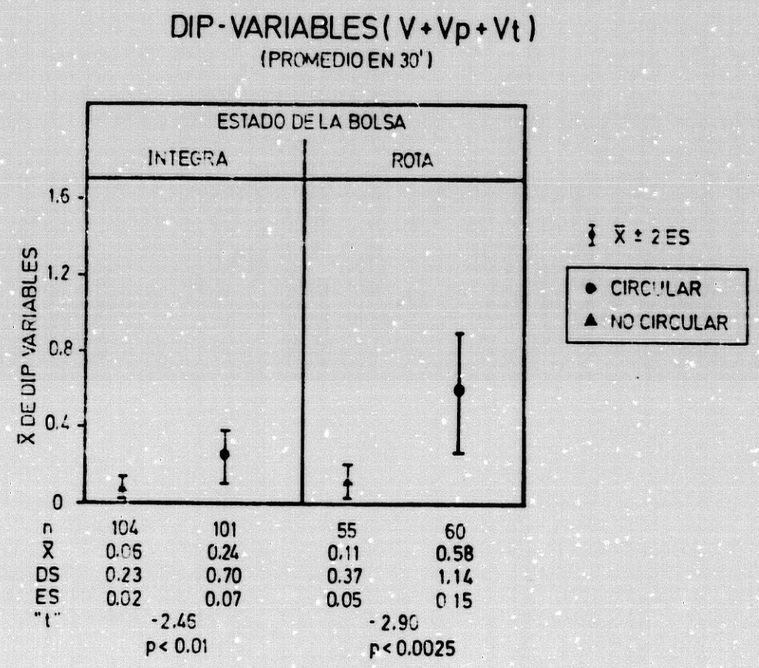

Figura 37.

promedio mayor en treinta minutos en el total de dip umbilicales. El estudio estadístico efectuado muestra la aparición de diferencias estadísticas significativas al comparar en ambos grupos (R.N. varon o hembra) la existencia o ausencia de circular (Fig.38).

7.2.- DIP-U.

En el grupo de R.N. varones así como en el de hembras, se ha observado un mayor promedio de dip-U cuando existe una vuelta de cordón, alcanzando las diferencias valores significativos en ambos casos con - $P<0.01$ en el primer caso, y $P<0.025$ en el segundo - (Fig.39).

7.3.- DIP LAMBDA.

Tanto en el grupo de R.N. varones como en el de hembras, la presencia o ausencia de circular origina cambios en la aparición de dip tipo lambda, haciendose estos más frecuentes en presencia de vueltas de - cordón y llegando a alcanzar diferencias estadísticas altamente significativas con una $P<0.0005$ en ambos. (Fig.40).

7.4.- DIP VARIABLES.

En el R.N. de ambos sexos, la presencia de vueltas de cordón, origina en los registros cardiotocográ-

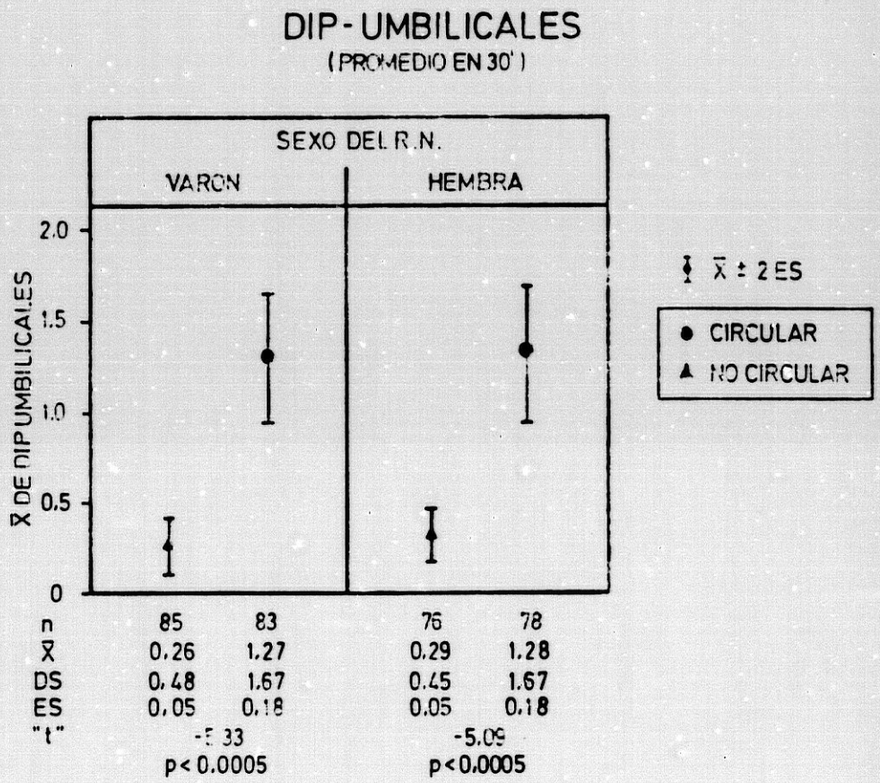
DIP-UMBILICALES
(PROMEDIO EN 30')
SEXO DEL R.N.
VARON
HEMBRA
X DE DIP UMBILICALES
2.0
1.5
1.0
0.5
0
X ± 2 ES
CIRCULAR
NO CIRCULAR
n 85 83 76 78
X 0.26 1.27 0.29 1.28
DS 0.48 1.67 0.45 1.67
ES 0.05 0.18 0.05 0.18
"t" -5.33 -5.09
p< 0.0005 p< 0.0005

Figura 38.

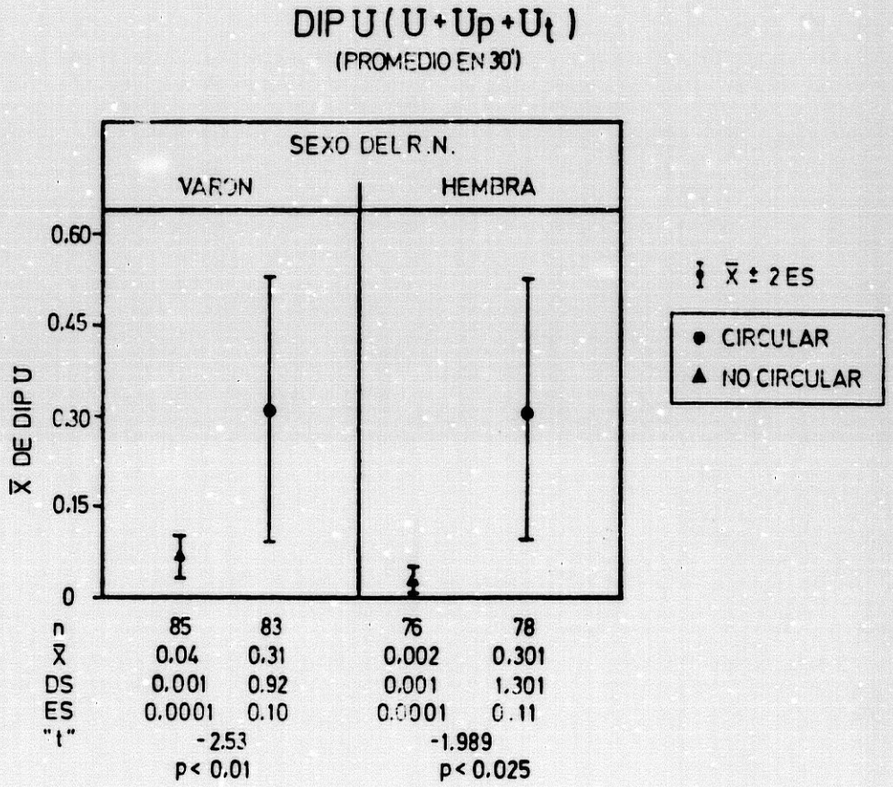
DIP U (U + Up + Ut)
(PROMEDIO EN 30')
SEXO DEL R.N.
VARON
HEMBRA
X̄ DE DIP U
0.60
0.45
0.30
0.15
0
X̄ ± 2 ES
CIRCULAR
NO CIRCULAR
n 85 83 76 78
X̄ 0.04 0.31 0.002 0.301
DS 0.001 0.92 0.001 1.301
ES 0.0001 0.10 0.0001 0.11
"t" -2.53 -1.989
p< 0.01 p< 0.025

Figura 39.

DIP - LAMBDA ($\lambda + \lambda p + \lambda t$)

(PROMEDIO EN 30')

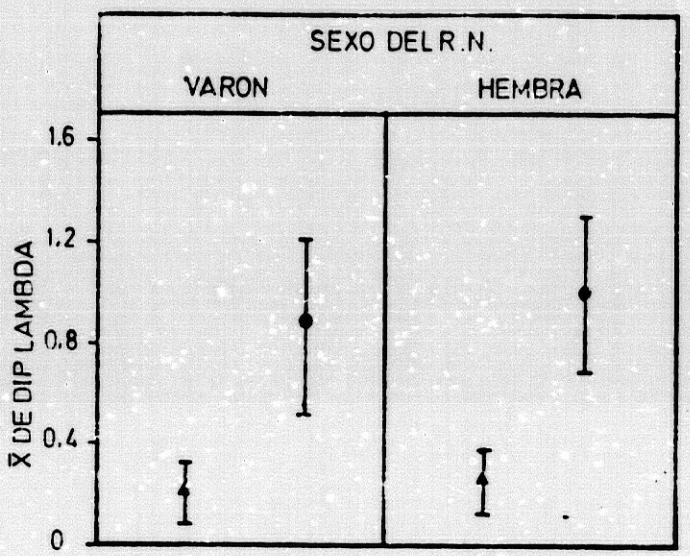

	VARON		HEMBRA	
n	85	83	76	78
$\bar{X}$	0.22	0.93	0.29	1.02
DS	0.35	1.30	0.44	1.14
ES	0.04	0.14	0.05	0.14
"t"	-4.84		-5.19	
	p < 0.0005		p < 0.0005	

Figura 40.

ficos mayor aparición de dip de tipo variable, alcanzando diferencias estadísticas con valor significativo al comparar los registros de los partos que mostraron la existencia de circular de cordón con aquellos que no la mostraron, con una P 0.025 en R.N. hembra, y P 0.005 en R.N. varones, dediante la aplicación del test de "t" (Fig.41).

8.- VARIACIONES DE LA F.C.F. EN PRESENCIA DE DOS VARIABLES: PRESENCIA O AUSENCIA DE CIRCULAR DE CORDON Y VOLUMEN DE LIQUIDO AMNIOTICO/

Teniendo en cuenta la cantidad de líquido amniótico, hemos considerado tres grupos: a) partos que presentaron una cantidad de líquido amniótico normal, b) partos que presentaron una cantidad de líquido amniótico abundante, c) partos que presentaron una cantidad de líquido amniótico escasa.

En el grupo de líquido amniótico normal se estudian 182 casos, de los cuales 93 se presentaron sin circular de cordón y 89 con ella.

El grupo con volumen de líquido amniótico abundante se compone de 33 casos. Existe alguna vuelta de cordón en 19 casos, estando ausente en 14.

El grupo de líquido amniótico escaso lo componen 37 casos que se distribuyen de la siguiente forma, sin circular 19 casos, con circular 18.

En los tres grupos con distinto volumen de --

DIP-VARIABLES (V + Vp + Vt)

(PROMEDIO EN 30')

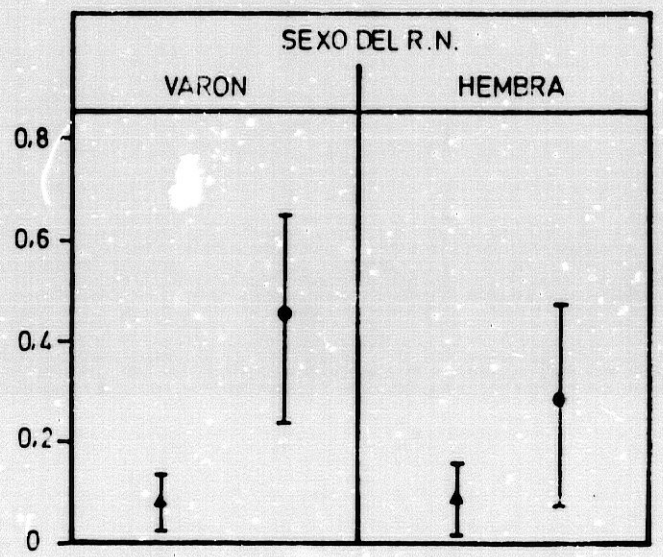

	VARON		HEMBRA	
n	85	83	76	78
$\bar{X}$	0.07	0.43	0.09	0.31
DS	0.25	0.93	0.32	0.85
ES	0.03	0.10	0.04	0.10
"t"	-3.38		-2.04	
	p < 0.0005		p < 0.025	

Figura 41.

líquido amniótico se estudia el promedio de aparición en treinta minutos de los distintos patrones de F.C.F. considerados y teniendo en cuenta que exista o no circular de cordón.

8.1.- TOTAL DE DIP UMBILICALES.

En los tres grupos en que se ha dividido el líquido amniótico teniendo en cuenta su volumen, se ha observado que cuando estaba presente una circular de cordón, la aparición de dip umbilicales aumentaba, alcanzando valores estadisticamente significativos con circular (Fig.42).

8.2.- DIP U.

Al estudiar este patrón cardiotocográfico hemos encontrado un aumento del mismo tanto si el volumen de liquido amniótico era normal, como si era abundante o escaso, aunque el aumento solamente alcanzaba valores con significación estadística en el primer caso.

Cuando el líquido amniótico fué escaso, no se observó la aparición de dip U en ninguno de los casos estudiados (con o sin circular de cordón) Fig.43.

8.3.- DIP LAMBDA.

En presencia de circular el dip umbilical tipo

DIP-UMBILICALES ($U + U_W + U_\lambda$)

(PROMEDIO EN 30')

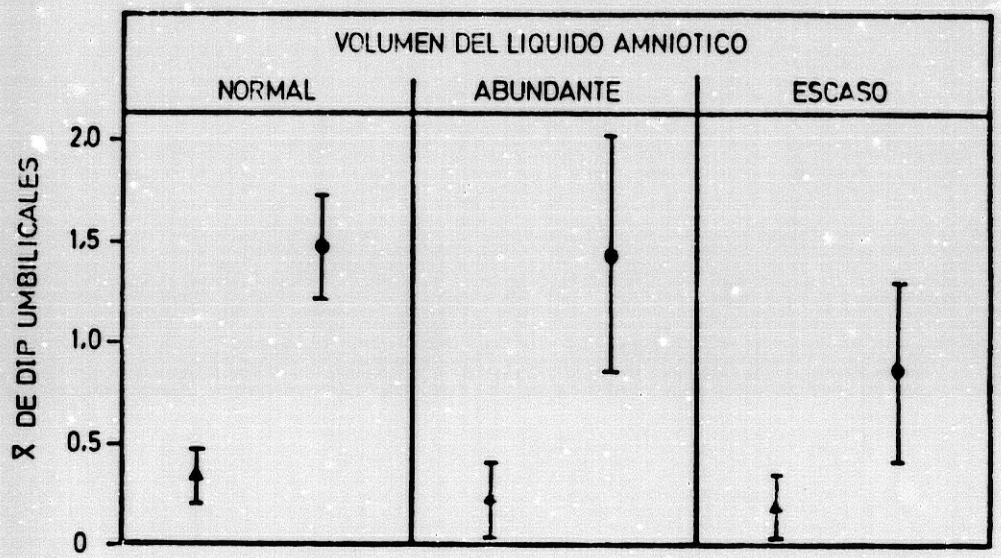

n	93	89	19	14	18	19
$\bar{X}$	0.30	1.50	0.16	1.43	0.21	0.89
DS	0.52	2.01	0.34	1.17	0.35	1.08
ES	0.05	0.21	0.07	0.31	0.08	0.25
"t"	-5.56		-4.33		-2.47	
	$p < 0.0005$		$p < 0.0005$		$p < 0.01$	

Figura 42.

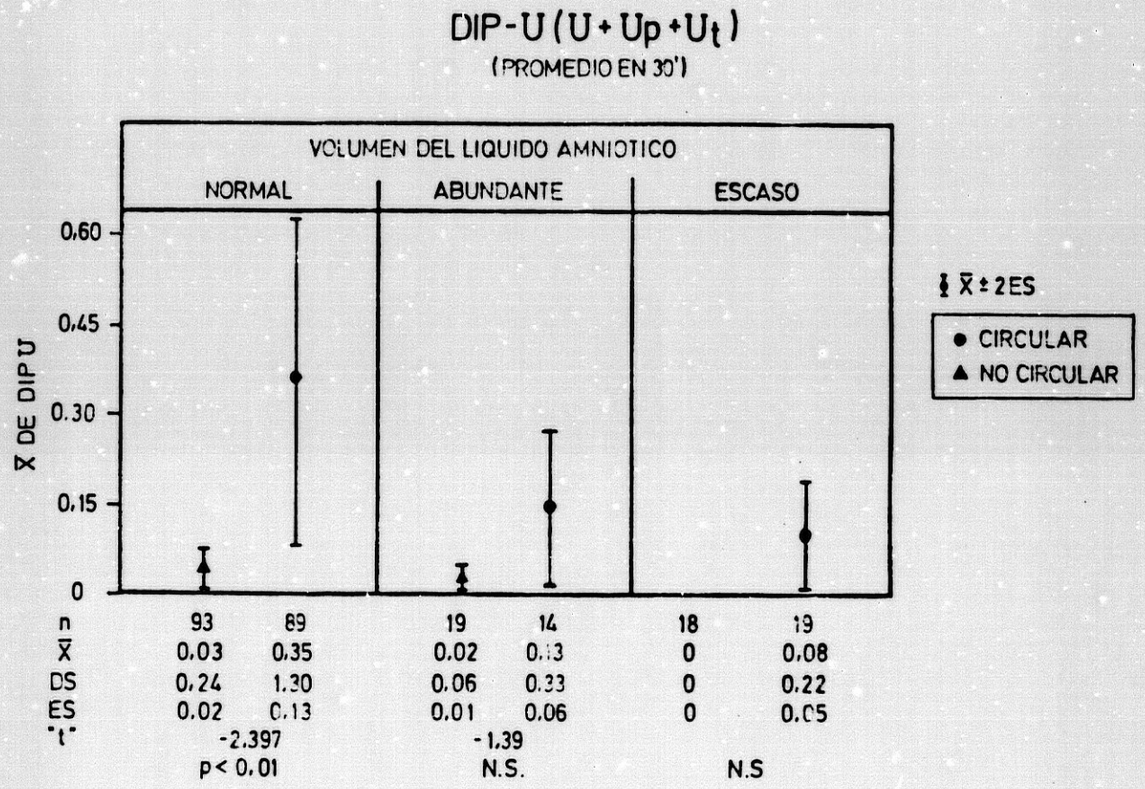
DIP-U (U + Up + Ut)
(PROMEDIO EN 30')
VOLUMEN DEL LIQUIDO AMNIOTICO
NORMAL
ABUNDANTE
ESCASO
X DE DIP U
0,60
0,45
0.30
0,15
0
X ± 2ES
CIRCULAR
NO CIRCULAR
n 93 89 19 14 18 19
X 0,03 0,35 0,02 0,13 0 0,08
DS 0,24 1.30 0,06 0,33 0 0,22
ES 0,02 0,13 0,01 0,06 0 0,05
"t" -2.397 -1.39
p< 0,01 N.S. N.S

Figura 43.

lambda aparece más frecuentemente, independientemente de cual sea el volumen de líquido amniótico existente.

El estudio estadístico efectuado muestra la existencia de diferencias estadisticamente significativas para los tres grupos considerados según el volumen de líquido amniótico.(Fig.44)

8.4.- DIP VARIABLE.

Hemos observado mayor número de dip variables en presencia de circular de cordón, tanto si el volumen de líquido amniótico era normal, como si era escaso.Este aumento no se ha observado con líquido-amniótico abundante.

El estudio estadístico solo ha mostrado diferencias significativas en el grupo en que la cantidad de líquido amniótico era normal.(Fig.45).

9.- VARIACIONES DE LA F.C.F. EN PRESENCIA DE DOS VARIABLES: PRESENCIA O AUSENCIA DE CIRCULAR DE CORDON Y PESO DEL R.N. MENOR O IGUAL A 3999 GRAMOS O MAYOR A 4000 GRAMOS.

9.1.- TOTAL DE DIP UMBILICALES.

Tanto si el peso fué mayor como menor de 3999 las caidas transitorias de la F.C.F. de tipo umbili

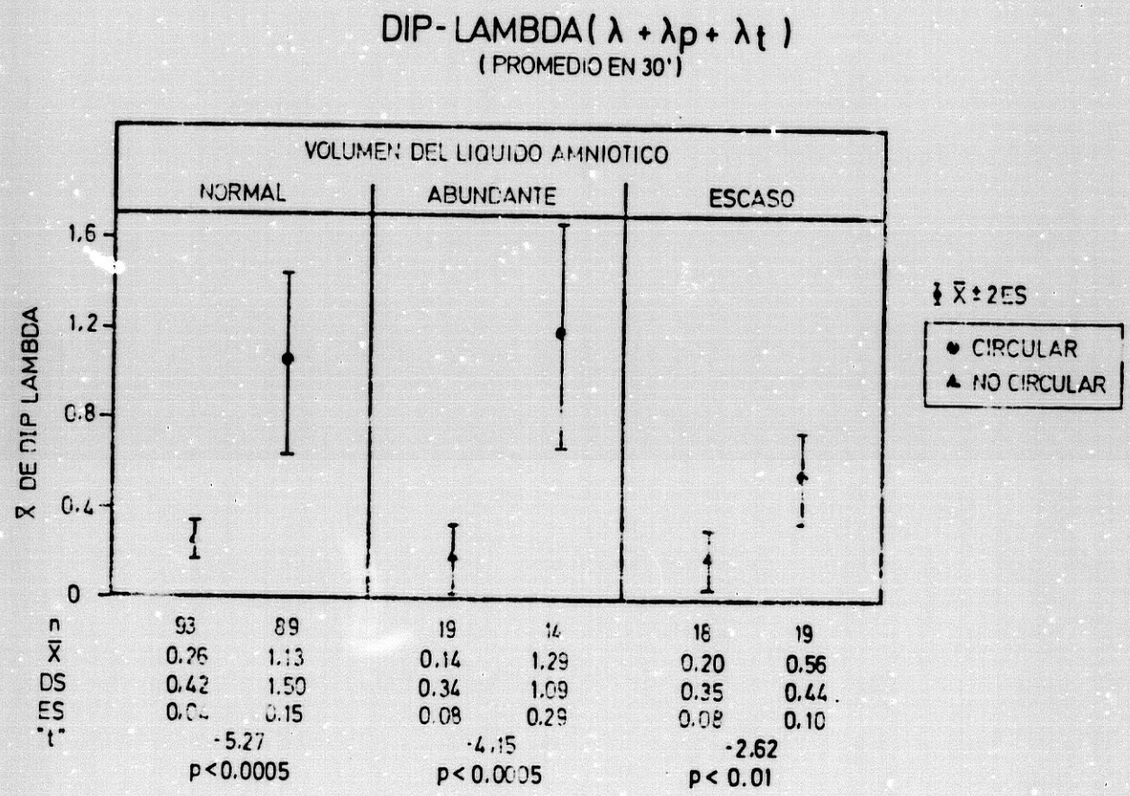
DIP- LAMBDA (λ + λp + λt)
(PROMEDIO EN 30')
VOLUMEN DEL LIQUIDO AMNIOTICO
NORMAL
ABUNDANTE
ESCASO
X DE DIP LAMBDA
1.6
1.2
0.8
0.4
0
X ± 2ES
CIRCULAR
NO CIRCULAR
n 93 89 19 14 16 19
X 0.26 1.13 0.14 1.29 0.20 0.56
DS 0.42 1.50 0.34 1.09 0.35 0.44
ES 0.04 0.15 0.08 0.29 0.08 0.10
"t" -5.27 -4.15 -2.62
p<0.0005 p< 0.0005 p< 0.01

Figura 44.

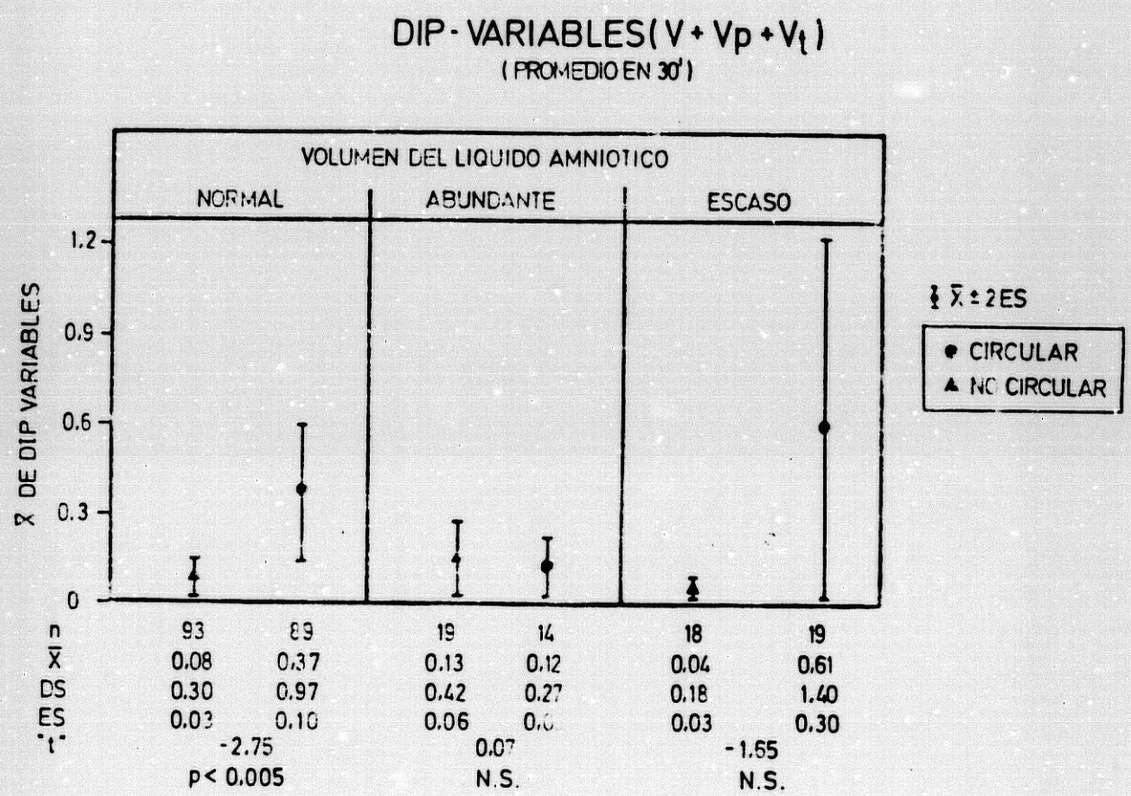
DIP - VARIABLES (V + Vp + Vt)
(PROMEDIO EN 30')
VOLUMEN DEL LIQUIDO AMNIOTICO
NORMAL
ABUNDANTE
ESCASO
X DE DIP VARIABLES
1.2
0.9
0.6
0.3
0
X ± 2ES
CIRCULAR
NO CIRCULAR
n 93 89 19 14 18 19
X 0.08 0.37 0.13 0.12 0.04 0.61
DS 0.30 0.97 0.42 0.27 0.18 1.40
ES 0.03 0.10 0.06 0.0 0.03 0.30
"t" -2.75 0.07 -1.65
p< 0.005 N.S. N.S.

Figura 45.

cal han aumentado en presencia de vueltas de cordón alcanzando las diferencias encontradas significación estadística en ambos casos (Fig.46).

9.2.- DIP-U.

De los 283 R.N. con peso menor o igual a 3999 gramos, 144 mostraron circular de cordón y en 139 casos esta no estuvo presente.

Los dip de tipo U han sido más frecuentes cuando existía circular, alcanzando diferencias estadisticamente significativas si el peso del R.N. era igual o inferior a 3999 gramos.

En los R.N. con peso superior a 4000 gramos, aunque los dip U aparecieron más frecuentemente en presencia de circular, las diferencias encontradas no mostraron significación estadística (Fig.47).

9.3.- DIP LAMDA.

En presencia de circular e independientemente de cual fué el peso del R.N. el dip lambda se ha mostrado más frecuentemente si existía alguna vuelta de cordón, haciendose las diferencias estadisticamente significativas tanto si el peso era mayor como menor de 3999 gramos. (Fig.48).

DIP-UMBILICALES (U + U_W + U_λ)

(PROMEDIO EN 30')

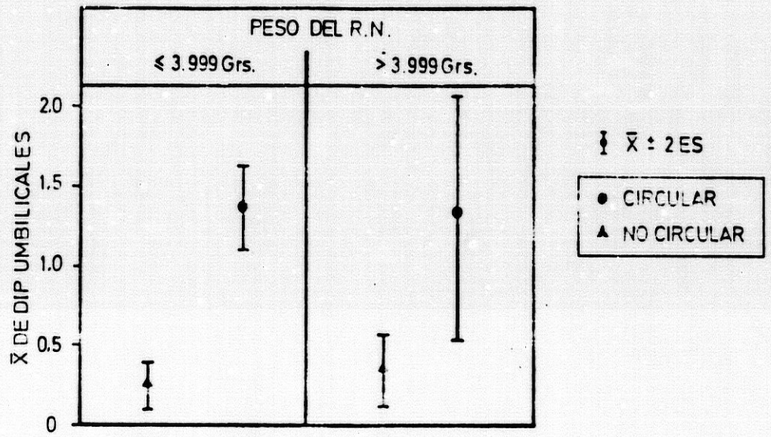

n	139	144	22	17
X̄	0.27	1.35	0.33	1.36
DS	0.47	1.72	0.43	1.85
ES	0.04	0.14	0.09	0.40
"t"	-6.94		-2.46	
	p< 0.0005		p< 0.01	

Figura 46.

DIP-U (U + Up + U_t)

(PROMEDIO EN 30')

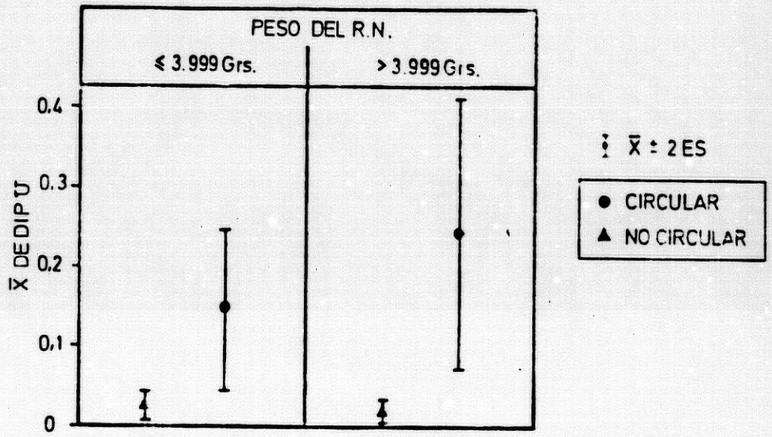

n	139	144	22	17
X̄	0.01	0.14	0.005	0.25
DS	0.05	0.71	0.02	1.75
ES	0.004	0.05	0.0005	0.10
"t"	-2.275		-1.25	
	p< 0.0125		N.S.	

Figura 47.

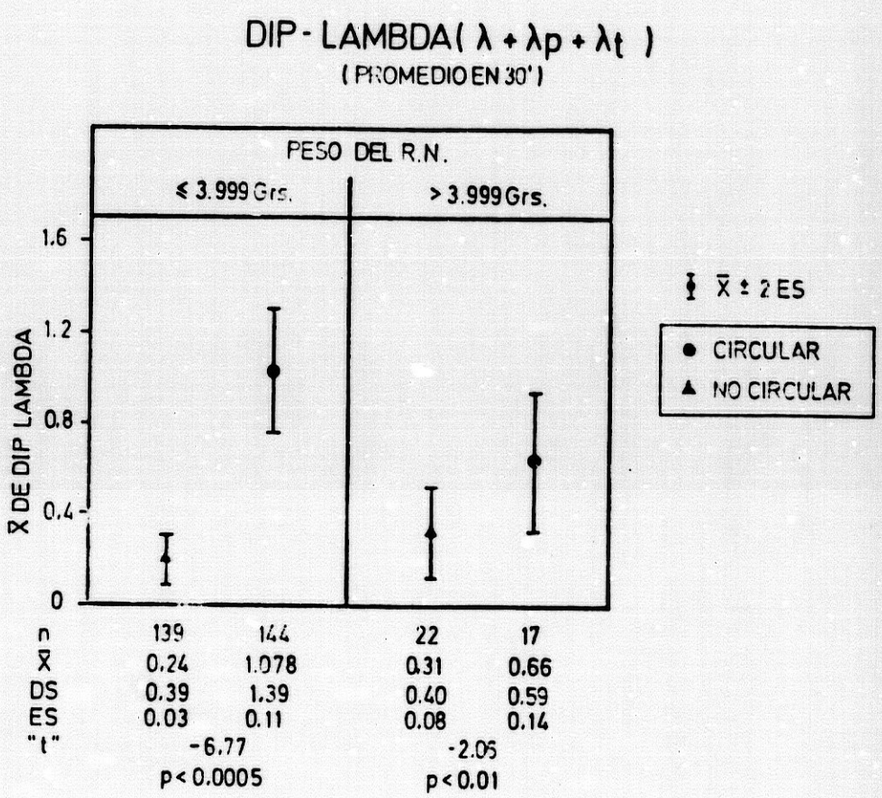
DIP - LAMBDA (λ + λp + λt)
(PROMEDIO EN 30')
PESO DEL R.N.
≤ 3.999 Grs.
> 3.999 Grs.
X DE DIP LAMBDA
1.6
1.2
0.8
0.4
0
X̄ ± 2 ES
CIRCULAR
NO CIRCULAR
n 139 144 22 17
X̄ 0.24 1.078 0.31 0.66
DS 0.39 1.39 0.40 0.59
ES 0.03 0.11 0.08 0.14
"t" -6.77 -2.06
p < 0.0005 p < 0.01

Figura 48.

9.4.- DIP VARIABLE.

Hemos observado un aumento del patrón variable tanto si el peso supera los 3999 gramos, como si es inferior a esta cifra, aunque las diferencias encontradas en presencia o ausencia de circular solo han alcanzado significación estadística cuando el peso del feto correspondía al grupo con menos de 3999 gramos (Fig. 49).

10.-VARIACIONES DE LA F.C.F. EN PRESENCIA DE DOS VARIABLES: PRESENCIA O AUSENCIA DE CIRCULAR Y DISTINTAS LONGITUDES DE CORDON UMBILICAL.

Hemos distribuido los registros cardiotocográficos según la longitud del cordón umbilical en cuatro grupos; a) Con longitud de cordón menor de 49 centimetros, b) Con longitud de cordón entre 50 y 59 cms., c) Con longitud de cordón comprendido entre 60 y 69 cms., d) Con longitud de cordón mayor o igual a 70 cms.

Cada grupo a su vez se subdivide en dos, según exista o no circular de cordón umbilical.

10.1.- TOTAL DE DIP UMBILICALES.

Independientemente de cual sea la longitud del cordón umbilical, se ha observado que cuando existe

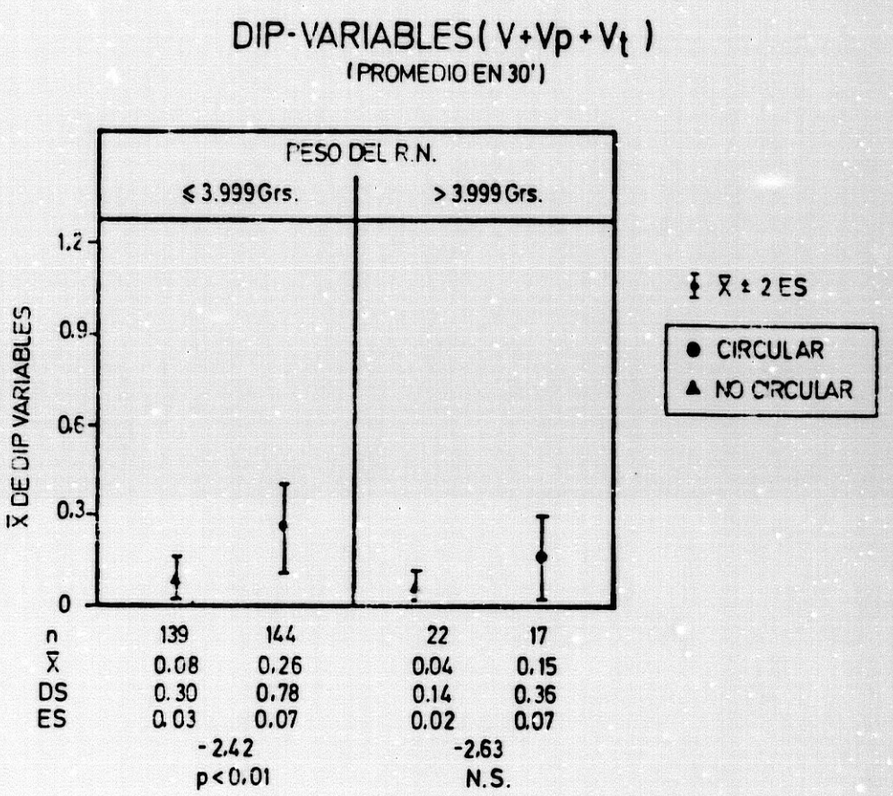
DIP-VARIABLES (V+Vp+Vt)
(PROMEDIO EN 30')
PESO DEL R.N.
≤ 3.999 Grs.
> 3.999 Grs.
X DE DIP VARIABLES
1.2
0.9
0.6
0.3
0
X ± 2 ES
CIRCULAR
NO CIRCULAR
n 139 144 22 17
X 0.08 0.26 0.04 0.15
DS 0.30 0.78 0.14 0.36
ES 0.03 0.07 0.02 0.07
-2.42
p<0.01
-2.63
N.S.

Figura 49.

una vuelta del mismo en el feto, aumenta el promedio de dip umbilicales que se presentan en 30 minutos.

Las diferencias alcanzadas son estadisticamente significativas en todos los grupos en que dividimos el cordón según su longitud. (Fig.50).

10.2.- DIP-U.

Excepto en el grupo de cordón con longitud inferior a 49 cms. en el que no aparece nigún dip U, ni en presencia de circular ni en su ausencia, en el resto de los grupos se observa un aumento en la presencia de este patrón cuando existe circular, aunque solo en el grupo con longitud de cordón comprendido entre 50 y 59 cms. las diferencias fueron estadisticamente significativas. (Fig.51)

10.3.- DIP LAMBDA.

Cuando la circular de cordón está presente, el dip umbilical tipo lambda se observa más frecuentemente cualquiera que sea la longitud del cordón, aunque alcanza diferencias estadisticamente significativas solo en los grupos de longitud de cordón inferior a 70 cms. (Fig.52).

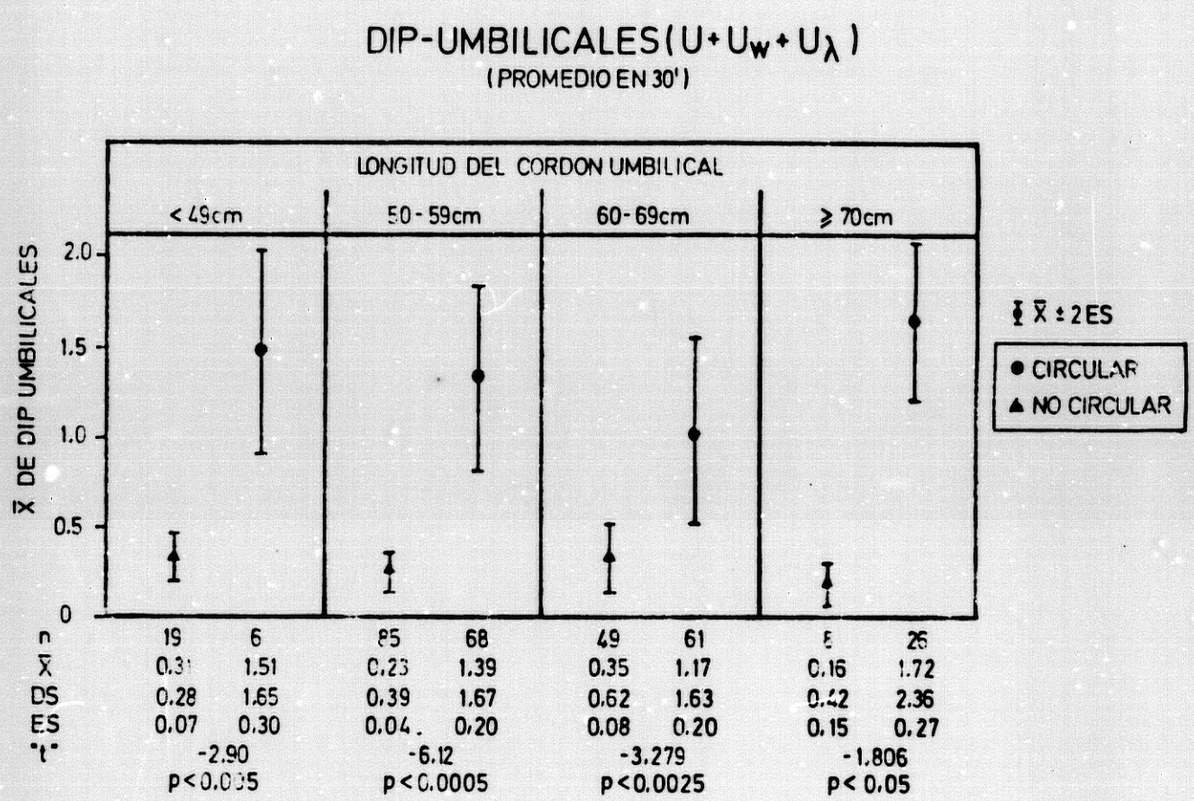
DIP-UMBILICALES (U + Uw + Uλ)
(PROMEDIO EN 30')
LONGITUD DEL CORDON UMBILICAL
< 49cm
50 - 59cm
60 - 69cm
≥ 70cm
X̄ DE DIP UMBILICALES
2.0
1.5
1.0
0.5
0
X̄ ± 2ES
CIRCULAR
NO CIRCULAR
n 19 6 85 68 49 61 8 26
X̄ 0.31 1.51 0.23 1.39 0.35 1.17 0.16 1.72
DS 0.28 1.65 0.39 1.67 0.62 1.63 0.42 2.36
ES 0.07 0.30 0.04 0.20 0.08 0.20 0.15 0.27
"t" -2.90 -6.12 -3.279 -1.806
p<0.005 p<0.0005 p<0.0025 p< 0.05

Figura 50.

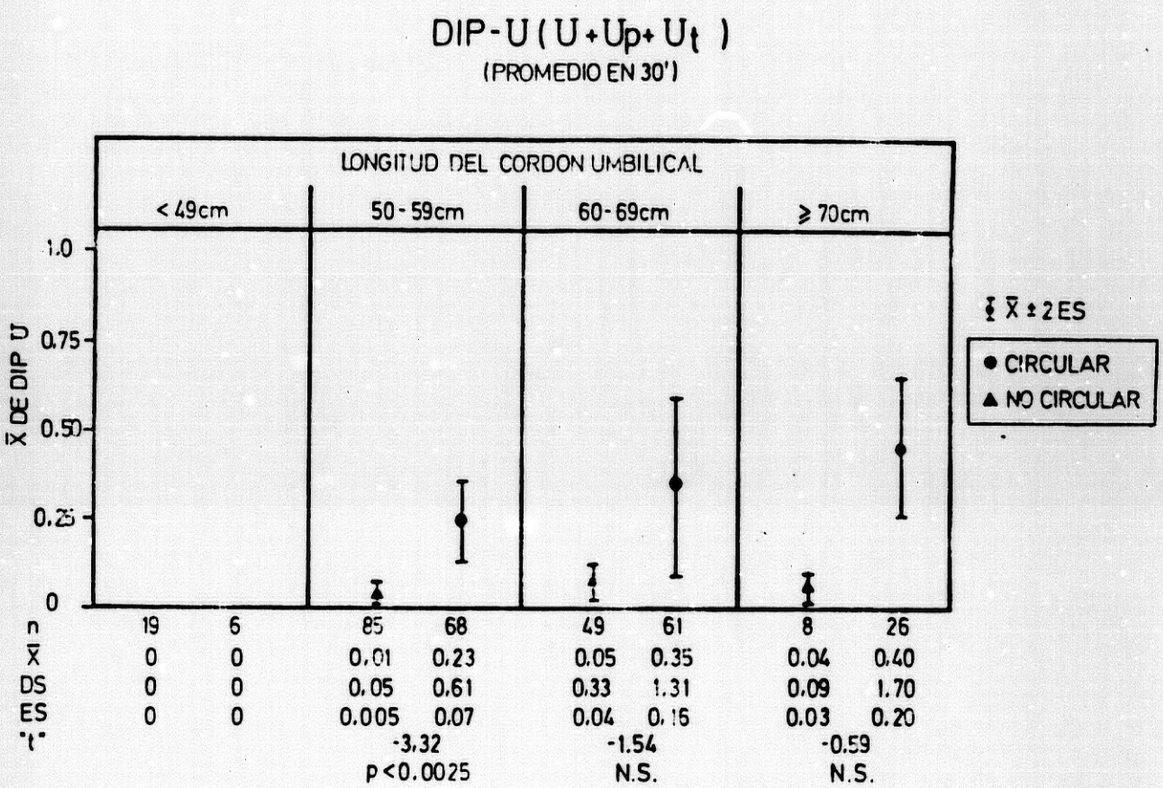
DIP-U (U + Up + Ut)
(PROMEDIO EN 30')
LONGITUD DEL CORDON UMBILICAL
< 49cm
50 - 59cm
60 - 69cm
≥ 70cm
X̄ DE DIP U
1.0
0.75
0.50
0.25
0
X̄ ± 2 ES
CIRCULAR
NO CIRCULAR
n 19 6 85 68 49 61 8 26
X̄ 0 0 0.01 0.23 0.05 0.35 0.04 0.40
DS 0 0 0.05 0.61 0.33 1.31 0.09 1.70
ES 0 0 0.005 0.07 0.04 0.16 0.03 0.20
"t" -3.32 -1.54 -0.59
p<0.0025 N.S. N.S.

Figura 51.

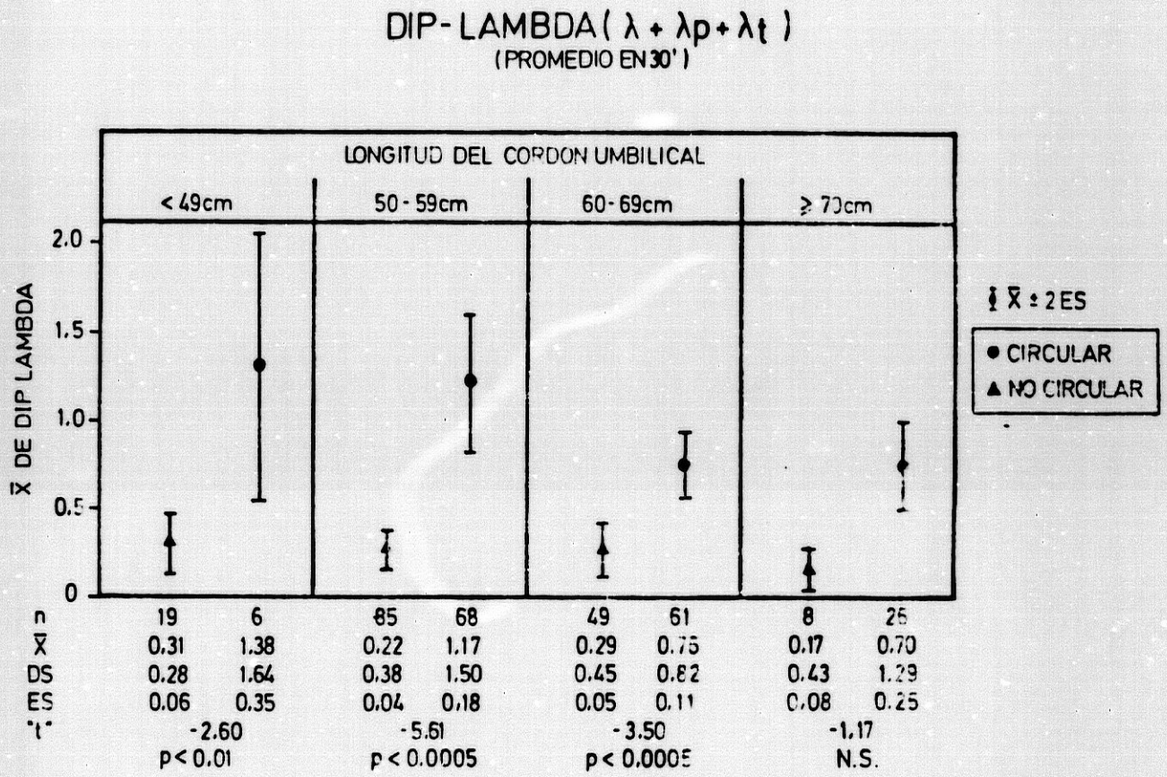
DIP-LAMBDA (λ + λp + λt)
(PROMEDIO EN 30')
LONGITUD DEL CORDON UMBILICAL
< 49cm
50 - 59cm
60 - 69cm
≥ 70cm
X̄ DE DIP LAMBDA
2.0
1.5
1.0
0.5
0
X̄ ± 2 ES
CIRCULAR
NO CIRCULAR
n 19 6 85 68 49 61 8 26
X̄ 0.31 1.38 0.22 1.17 0.29 0.75 0.17 0.70
DS 0.28 1.64 0.38 1.50 0.45 0.82 0.43 1.29
ES 0.06 0.35 0.04 0.18 0.05 0.11 0.08 0.25
"t" -2.60 -5.61 -3.50 -1.17
p< 0.01 p< 0.0005 p< 0.0005 N.S.

Figura 52.

10.4.- DIP VARIABLE.

En los grupos de cordón umbilical con longitud inferior a 70 cms. la presencia de dip variables aumenta cuando existe una vuelta de cordón, alcanzando valores con significación estadística en el grupo de longitud comprendida entre 50-59 cms. y 60-69 cms.

En el grupo de longitud de cordón inferior a 49 cms. las diferencias encontradas no son estadisticamente significativas.

En el grupo de longitud de cordón mayor o igual a 70 cms. se observa que las diferencias aparecidas en el promedio de dip variables en treinta minutos no muestra diferencias con significación estadística. (Fig.53).

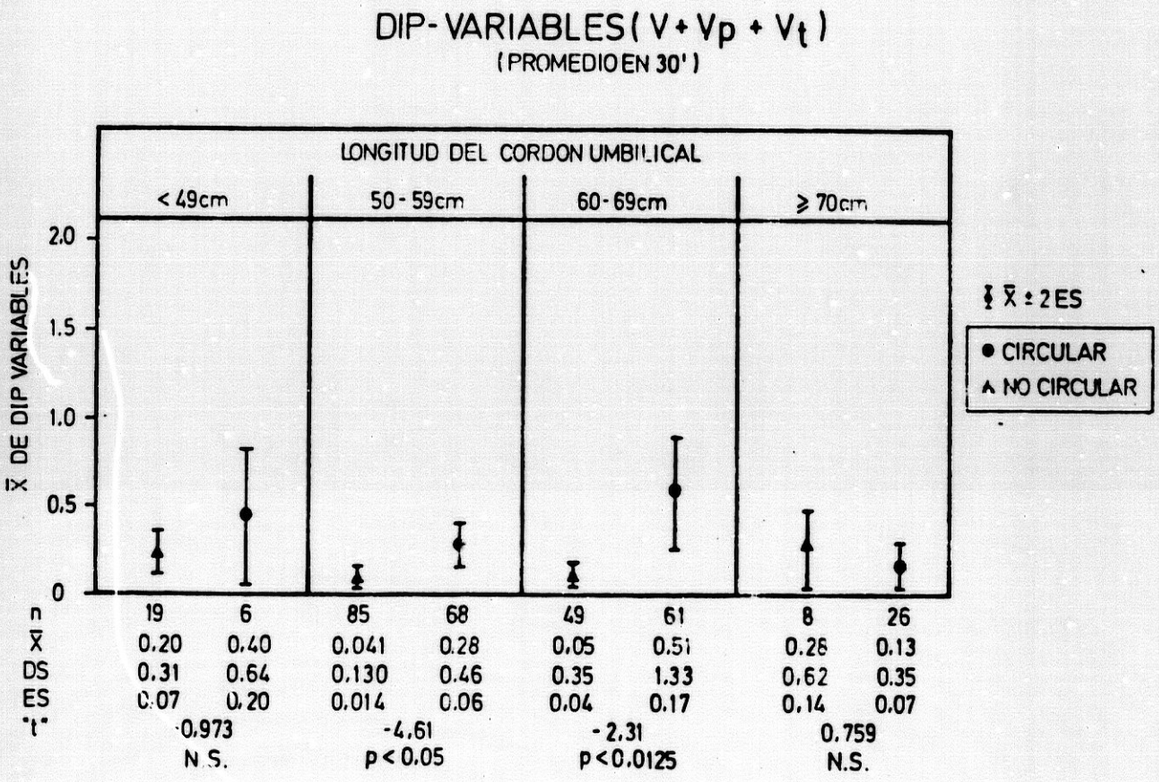
DIP- VARIABLES (V + Vp + Vt)
(PROMEDIO EN 30')
LONGITUD DEL CORDON UMBILICAL
< 49cm
50 - 59cm
60 - 69cm
≥ 70cm
X̄ DE DIP VARIABLES
2.0
1.5
1.0
0.5
0
X̄ ± 2 ES
CIRCULAR
NO CIRCULAR
n 19 6 85 68 49 61 8 26
X̄ 0.20 0.40 0.041 0.28 0.05 0.51 0.26 0.13
DS 0.31 0.64 0.130 0.46 0.35 1.33 0.62 0.35
ES 0.07 0.20 0.014 0.06 0.04 0.17 0.14 0.07
"t" -0.973 N.S. -4.61 p < 0.05 -2.31 p < 0.0125 0.759 N.S.

Figura 53.

II.- ESTUDIO DEL EQUILIBRIO ACIDO-BASE.

En este apartado hemos estudiado los patrones más representativos del equilibrio Acido-Base en arteria umbilical: pH, pO_2, pCO_2, y Déficit de Bases - (D.B.).

Tambien se estudia aquí el tipo de acidosis y las diferencias arterio-venosas que existen para - el pH, pCO_2, y D.B. en los casos con y sin circular de cordón.

1.- pH.

El pH en arteria umbilical ha sido estudiado en 286 casos de los que 140 presentaban circular, y en el resto, 146 casos estaba ausente.

Ambas muestras de estudio (circular, no circular) se han dividido en diez intervalos de clase, siendo la longitud de cada intervalo de clase de - 0.05 unidades de pH. En estas distribuciones (Fig. 54) puede observarse que con pH inferior a 7.25 - hay mayor número de casos con circular de cordón, y a la inversa, con pH igual o superior a 7.25 hay

Ph DE ARTERIA UMBILICAL

	CIRCULAR		NO CIRCULAR	
	n	%	n	%
≤ 7	4	2.86	2	1.37
7.01 - 7.05	2	1.43	3	2.05
7.06 - 7.10	6	4.29	3	2.05
7.11 - 7.15	17	12.14	9	6.16
7.16 - 7.20	38	27.14	29	19.86
7.21 - 7.25	39	27.86	39	26.71
7.26 - 7.30	17	12.14	36	24.66
7.31 - 7.35	13	9.29	18	12.33
7.36 - 7.40	4	2.86	7	4.79
TOTAL	140		146	

$\chi^2 = 7.01$
$p < 0.0$

Figura 54.

mayor número de casos sin circular. Este hecho hemos podido demostrar que es estadisticamente significativo mediante el test de Chi cuadrado, y como puede observarse en la Fig. 55, en los casos con circular, un 76.25 por 100 tienen un pH inferior a 7.25 mientras que cuando la circular está presente, esta proporción solo llega al 58.21 por 100. (Fig.55).

2.- pO_2.

La presión parcial de oxígeno se ha estudiado en 278 casos de los que 134 presentaban circular de cordón y en 144 casos estaba ausente.

Ambas muestras se han dividido en siete intervalos de clase con valores de cinco unidades de pO_2 cada uno, excepto el último en el que se agrupan todos los casos con valores de pO_2 igual o superior a treinta unidades (Fig.56).

Cuando estaba presente una vuelta de cordón, 61 casos (45.5 por 100) presentaron valores de pO_2 iguales o inferiores a 14 mm de Hg, apareciendo 73 casos (54.5 por 100) con valores superiores a 14 mm de Hg.

En ausencia de circular aparecen 47 casos con valores menores o iguales a 14 mm de Hg de pO_2 (32.6 por 100), y 97 casos (67.4 por 100) con valores superiores a esta cifra.

El estudio estadístico efectuado mediante el -

Ph DE ARTERIA UMBILICAL

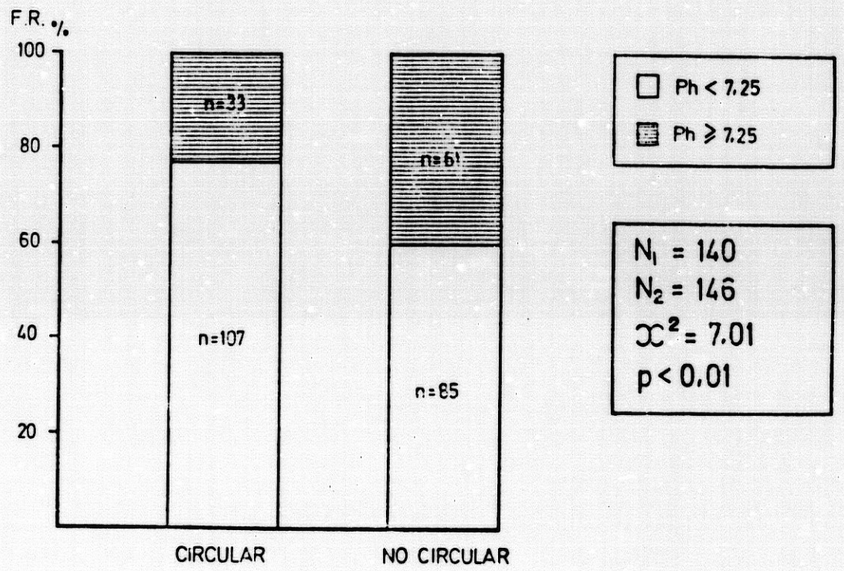

Figura 55.

PO_2 EN ARTERIA UMBILICAL

	CIRCULAR n	CIRCULAR %	NO CIRCULAR n	NO CIRCULAR %
0 - 4	2	1.49	1	0.69
5 - 9	14	10.45	12	8.33
10 - 14	45	33.58	34	23.61
15 - 19	39	29.10	50	34.72
20 - 24	19	14.18	30	20.83
25 - 29	9	6.72	12	8.33
≥30	6	4.48	5	3.47
TOTAL	134		144	

$\chi^2 = 4.84$
$p < 0.01$

Figura 56.

test de Chi cuadrado, muestra la esistencia de asociacion estadística al comparar ambas muestras, con un - valor de Chi=4.84. (Fig.57) P 0.01.

3.- PCO_2.

La presión parcial de carbónico en arteria umbilical se ha estudiado en 279 casos, pertenecientes -- 135 a la muestra de circular de cordón y 144 a la -- muestra sin circular.

Los casos estudiados se han dividido en seis intervalos de clase, con valor mínimo y máximo de 20 y 79 unidades de pCO_2 respectivamente, correspondiendo nueve unidades de pCO_2 a cada uno de estos intervalos y un séptimo intervalo donde se agrupan todos los casos con valores de pCO_2 superiores o iguales a 80 unidades de pCO_2 (Fig.58).

Como puede observarse en la Fig.59, hasta el intervalo de valores de pCO_2 40-49 mm de Hg. el porcentaje de casos es mayor cuando no existió circular de cordón, y justo en este intervalo se invierten estos porcentajes que son mayores cuando existe una vuelta de cordón (Fig.59).

El análisis estadístico realizado muestra la -- existencia de asociaciones estadisticamente significativas al comparar ambas muestras de estudio (circular no circular) con un valor de Chi cuadrado igual a --- 9.32 (Fig.59), $P<0.001$.

PO_2 EN ARTERIA UMBILICAL

	PO_2 ↓ 14mm. Hg.	PO_2 ↑ 14mm. Hg.
CIRCULAR N = 134	61 (45.50%)	73 (54.50%)
NO CIRCULAR N = 144	47 (32.60%)	97 (67.40%)

$\chi^2 = 4.84$
$p < 0.01$

Figura 57.

PCO_2 EN ARTERIA UMBILICAL

	CIRCULAR		NO CIRCULAR	
	n	%	n	%
20 - 29	—	—	2	1.39
30 - 39	7	5.19	14	9.72
40 - 49	31	22.96	50	34.72
50 - 59	49	36.30	42	29.16
60 - 69	34	25.19	26	18.05
70 - 79	9	6.66	8	5.55
80	5	3.70	4	2.76
TOTAL	135		144	

$\chi^2 = 9.32$
$p < 0.001$

Figura 58.

PCO_2 EN ARTERIA UMBILICAL

	$PCO_2 \downarrow$ 49mm. Hg.	$PCO_2 \uparrow$ 49mm. Hg.
CIRCULAR N = 135	38 (28.10%)	97 (71.90%)
NO CIRCULAR N = 144	66 (45.80%)	78 (54.20%)

$\chi^2 = 9.32$
$p < 0.001$

Figura 59.

4.- DEFICIT DE BASES.

El deficit de base se ha estudiado en 278 casos de los cuales 134 presentaban circular y en 144 estaba ausente.

Ambas muestras de estudio se han dividido en cinco intervalos de clase con valores máximo y mínimo de (-20) y (+5) respectivamente, correspondiendo a cada intervalo de clase cinco unidades de D.B.

El estudio estadístico realizado no nos ha mostrado asociación estadística alguna al comparar ambas muestras (circular no circular). Fig.60.

5.- DIFERENCIA ARTERIO-VENOSA DE PH.

Hemos procedido al estudio de la diferencia arterio-venosa de pH en 282 casos correspondientes 136 al grupo con circular y 146 al grupo sin ella.

Ambas muestras (con circular y sin ella) se han dividido en diez intervalos de clase, correspondiendo a cada uno de estos 0.03 unidades de pH.

Los valores máximo y mínimo de estos intervalos son 0.00 unidades de pH de diferencia arterio-venosa, y 0.29 unidades de pH respectivamente. (Fig.61).

En presencia de circular, 105 casos (77.21 por 100) mostraron diferencias arterio venosas de pH comprendidas entre 0.00-0.14 unidades de pH, y 31 casos (22.79 por 100) mostraron diferencias superiores a 0.14 unidades de pH.

D.B. EN ARTERIA UMBILICAL

	CIRCULAR		NO CIRCULAR	
	n	%	n	%
+5 , 0	11	8.21	7	4.82
-1 , -5	46	34.33	58	40.28
-6 , -10	56	41.79	55	38.19
-11 , -15	17	12.69	21	14.58
-16 , -20	4	2.99	3	2.08
TOTAL	134		144	

$\chi^2 = 1.72$

N.S.

Figura 60.

DIFERENCIA ARTERIO - VENOSA DE Ph.

	CIRCULAR		NO CIRCULAR	
	n	%	n	%
0.00 - 0.02	1	0.74	3	2.06
0.03 - 0.05	16	11.76	24	16.44
0.06 - 0.08	38	27.94	51	34.93
0.09 - 0.11	34	25.00	33	22.60
0.12 - 0.14	16	11.76	20	13.70
0.15 - 0.17	13	9.56	11	7.53
0.18 - 0.20	11	8.09	3	2.06
0.21 - 0.23	5	3.68	1	0.68
0.24 - 0.26	1	0.74		—
≥ 0.27	1	0.74	—	—
TOTAL	136		146	

$\chi^2 = 8.09$
$p < 0.001$

Figura 61.

Cuando la circular no estaba presente, el 89.73 por 100 de los casos presentaron diferencias arterio-venosas de pH comprendidas entre 0.00 y 0.14 unidades de pH, y el resto 10.27 por 100 diferencias superiores a estas.

El análisis estadístico muestra la existencia de asociación estadística significativa al comparar ambas muestras mediante el test de Chi cuadrado (Fig.62), $P<0.001$.

6.- DIFERENCIA ARTERIO VENOSA DE PCO_2.

La diferencia arterio-venosa de presión parcial de carbónico se ha estudiado en 276 casos, correspondiendo 134 a la muestra de circular de cordón y el resto a la muestra sin circular.

Entre los valores cero y cuarenta de diferencia arterio-venosa de pCO_2 se han hecho 8 intervalos de clase con valor de cinco unidades de diferencia arterio-venosa de pCO_2 para cada uno de los intervalos, y un noveno intervalo donde se han agrupado todos los casos que presentaron una diferencia arterio-venosa de pCO_2 superior a cuarenta mm de Hg. de pCO_2 (Fig.63)

Como puede observarse en la Fig.63, a partir de 10 mm de Hg. de diferencia arterio-venosa de pCO_2, los porcentajes en presencia de circular de cordón son constantemente superiores, y a la inversa por debajo de este valor (10 mm de Hg.) estos porcentajes se in-

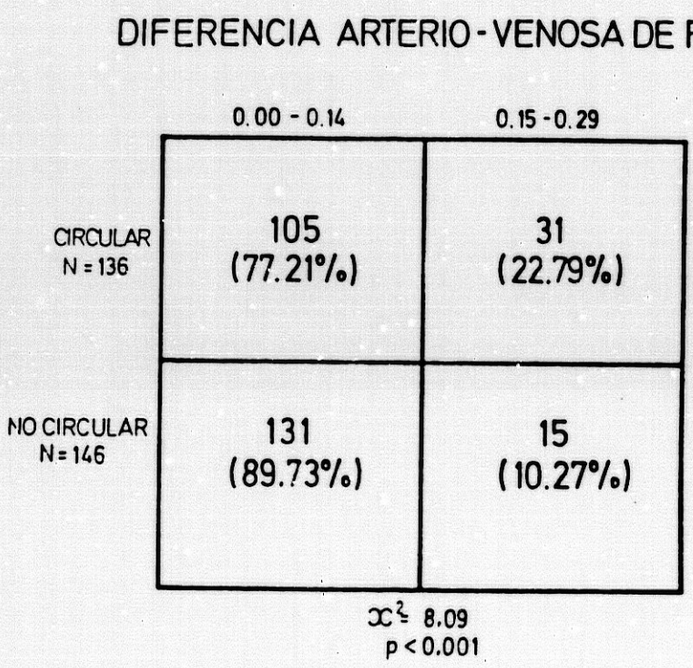
DIFERENCIA ARTERIO - VENOSA DE Ph.
0.00 - 0.14
0.15 - 0.29
CIRCULAR
N = 136
105
(77.21%)
31
(22.79%)
NO CIRCULAR
N = 146
131
(89.73%)
15
(10.27%)
χ² = 8.09
p < 0.001

Figura 62.

DIFERENCIA ARTERIO - VENOSA DE PCO_2

	CIRCULAR n	CIRCULAR %	NO CIRCULAR n	NO CIRCULAR %
0 - 5	14	10.45	17	11.97
6 - 10	17	12.69	39	27.46
11 - 15	41	30.60	40	28.17
16 - 20	21	15.67	16	11.27
21 - 25	19	14.18	16	11.27
24 - 30	14	10.48	8	5.63
31 - 35	3	2.24	3	2.11
≥41	5	3.73	3	2.11
TOTAL	134		142	

$\chi^2 = 8.48$
$p < 0.001$

Figura 63.

vierten, haciendose mayores cuando no existe circular de cordón.

Con circular, 31 casos (23.13 por 100) mostraron diferencias arterio-venosas de pCO_2 inferiores a los -10 mm de Hg, mientras que en su ausencia estos porcentajes ascienden al 39.4 por 100.

Con diferencias arterio-venosas superiores a los 10 mm de Hg. aparecieron 103 casos en el grupo con circular (76.87 por 100) y 86 en el grupo en que la circular estuvo ausente (60.6 por 100) Fig.64.

El estudio estadístico efectuado mediante el test de Chi cuadrado muestra la existencia de asociación estadística significativa al comparar ambas muestras. -- Chi cuadrado = 8.48. $P<0.001$.

7.- DIFERENCIA ARTERIO VENOSA DE D.B.

Se ha procedido al estudio de la diferencia arterio-venosa de deficit de bases en 277 casos, de los que 133 presentaban circular, y en 142 estaba ausente.

Los valores de diferencia arterio-venosa en deficit de bases encontrados se ha distribuido en intervalos de clase, correspondiendo cuatro unidades de deficit de base a cada intervalo, y siendo los valores máximo y mínimo de estos <-8 y $>+8$ respectivamente.

Al comparar ambas muestras de estudio (circular no circular) mediante el test de Chi cuadrado, no hemos podido demostrar la existencia de asociación estadística alguna. (Fig.65).

DIFERENCIA ARTERIO-VENOSA DE PCO_2

	Δ- ART.VEN. ↓10	Δ - ART-VEN- ↑10
CIRCULAR N = 134	31 (23.13%)	103 (76.87%)
NO CIRCULAR N = 142	56 (39.40%)	86 (60.60%)

$\chi^2 = 8.48$
$p < 0.001$

Figura 64.

DIFERENCIA VENA ARTERIA EN D.B.

	CIRCULAR		NO CIRCULAR	
	n	%	n	%
>+5	10	6.94	15	11.28
+4 . +1	62	43.06	64	46.12
0 , -3	65	45.14	51	38.35
-4 . -7	7	4.86	2	1.50
<-8	—	—	1	0.75
TOTAL	133		144	

$\chi^2 = 1.32$
N.S

Figura 65.

III.- ESTUDIO DEL INDICE DE APGAR.

Según que el índice de Apgar al minuto y cinco minutos de vida fuera menor o igual a seis, o mayor a seis (fetos deprimidos o vigorosos), se han hecho dos grupos, tanto en presencia de circular de cordón como en su ausencia.

En casos de circular de cordón, 38 R.N. (23.6 por 100) nacieron deprimidos, y 123 (76.4 por 100) nacieron vigorosos, al primer minuto de vida. En la muestra en que no existió circular, 22 casos (13.8 - por 100 nacieron deprimidos, y los restantes 138 casos (86.2 por 100) fueron fetos vigorosos. Analizando estos porcentajes, podemos observar que los fetos con circular de cordón umbilical nacen deprimidos en un 10 por 100 más de casos, y por contra, los fetos sin circular nacen vigorosos en un 10 por 100 más.Existe asociación estadísticamente significativa entre estos datos (Fig. 66).

El mismo análisis efectuado a los cinco minutos de vida, muestra que estas diferencias disminuyen, - presentando cuando existió circular de cordón cinco casos con índice de Apgar menor o igual a seis (3.14

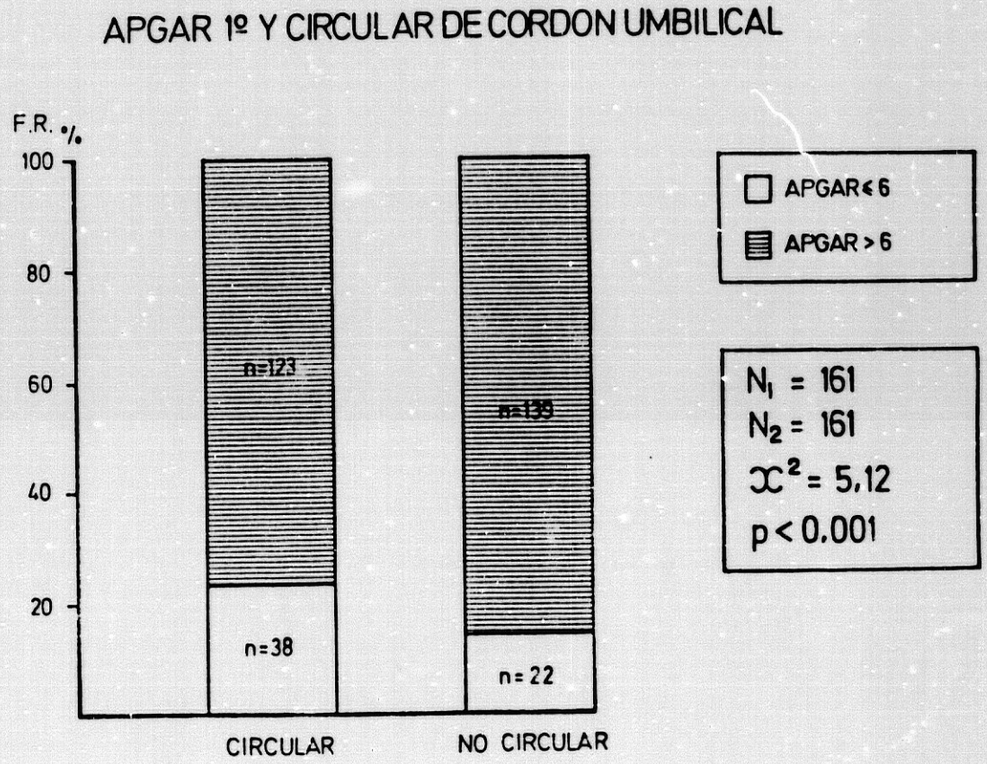
APGAR 1º Y CIRCULAR DE CORDON UMBILICAL
F.R. %
100
80
60
40
20
n=123
n=139
n=38
n=22
CIRCULAR
NO CIRCULAR
APGAR ≤ 6
APGAR > 6
N1 = 161
N2 = 161
χ² = 5,12
p < 0,001

Figura 66.

por 100) en tanto que cuando no existió circular, el número de fetos con índice de Apgar menor o igual a seis fué de cuatro (2.5 por 100). El análisis de estos datos, no evidencia la existencia de diferencia estadística alguna. (Fig.67).

APGAR 5º Y CIRCULAR DE CORDON UMBILICAL

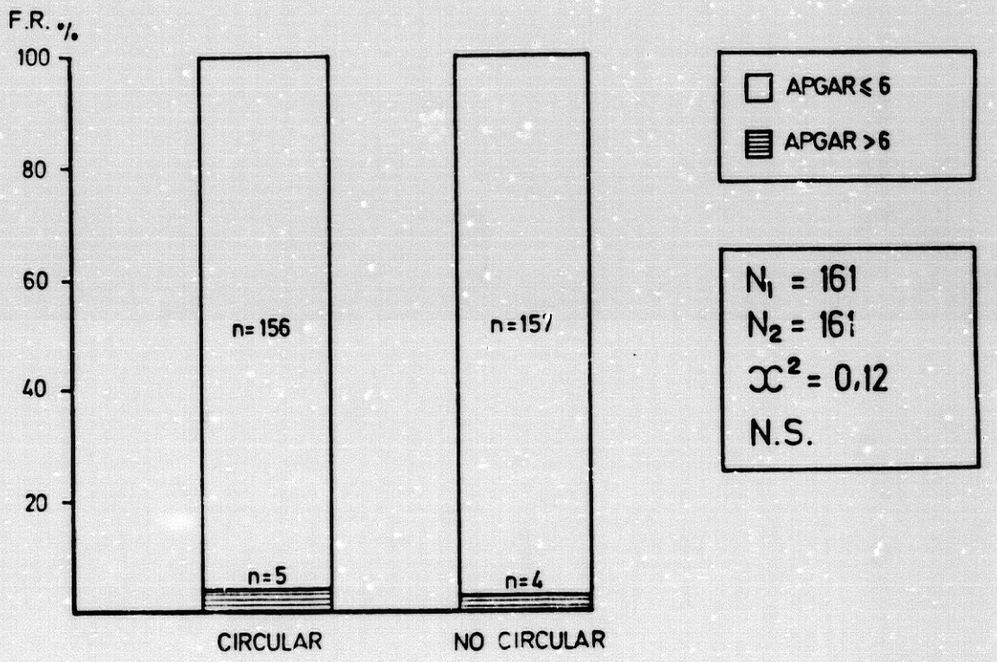

Figura 67.

IV.- INFLUENCIA DE LA LONGITUD DEL CORDON EN LA APARICION DE CIRCULARES DE CORDON EN EL R.N.

Teniendo en cuenta la longitud de los cordones umbilicales, se han agrupado estos en siete intervalos de clase según puede observarse en la figura 68.

Como puede verse, cuando existen vueltas de cordón el 45.96 por 100 de ellos se encuentran en los intervalos de longitud inferior a 59 centímetros, siendo el porcentaje de los que se encuentran en los intervalos de longitud superior a 59 cms., del 53.96 por 100.

En el grupo en que no se observó la presencia de circular, el número de R.N. con longitudes de cordón inferior a los 59 cms. fué de un 64.60 por 100, siendo de un 35.6 por 100 los R.N. con longitudes de cordón superior a los 59 cms.

El análisis de los datos, pone de manifiesto que cuando aparece una vuelta de cordón, la longitud de este es probablemente mayor que cuando esta no se presenta.

El análisis estadístico mediante el test de Kolmogorov-Smirnov pone de manifiesto la existencia de diferencias estadisticamente significativas en la lon

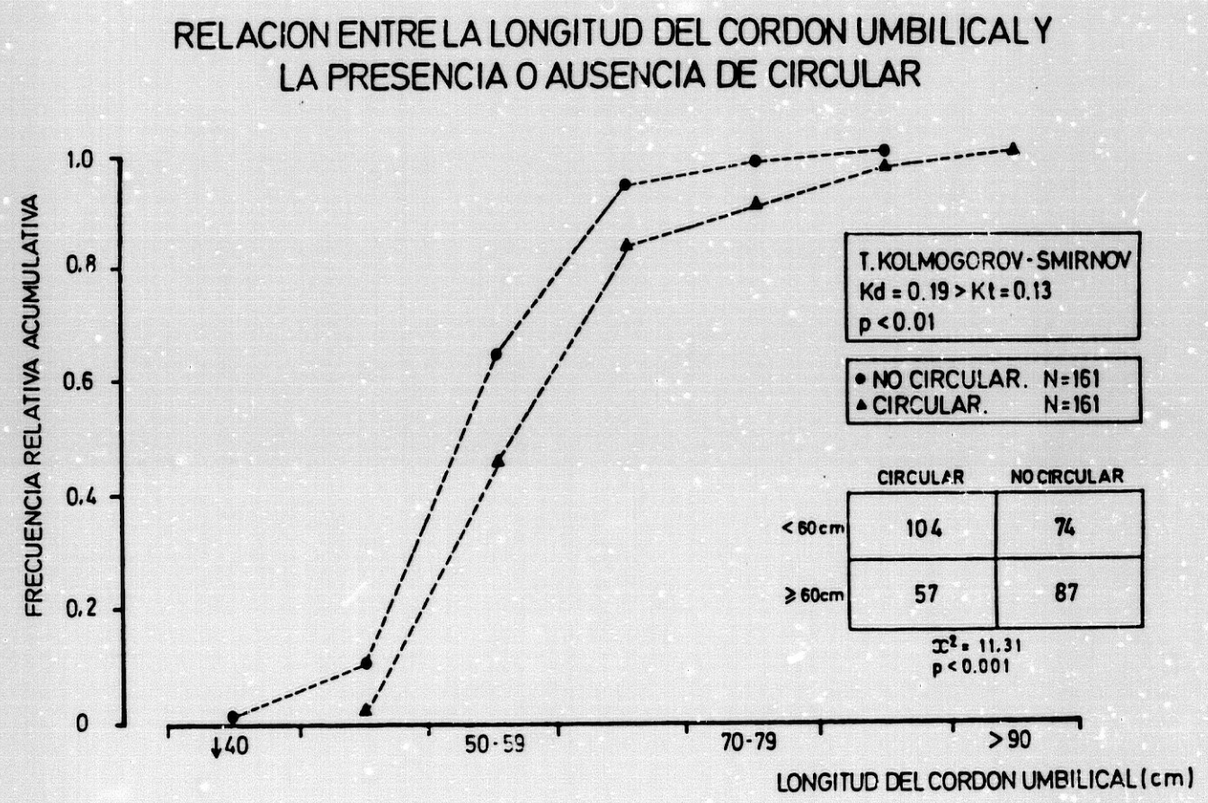
RELACION ENTRE LA LONGITUD DEL CORDON UMBILICAL Y
LA PRESENCIA O AUSENCIA DE CIRCULAR
FRECUENCIA RELATIVA ACUMULATIVA
1.0
0.8
0.6
0.4
0.2
0
T. KOLMOGOROV - SMIRNOV
Kd = 0.19 > Kt = 0.13
p < 0.01
• NO CIRCULAR. N=161
▲ CIRCULAR. N=161
CIRCULAR
NO CIRCULAR
< 60cm
104
74
≥ 60cm
57
87
X² = 11.31
p < 0.001
↓40
50-59
70-79
>90
LONGITUD DEL CORDON UMBILICAL (cm)

Figura 68.

gitud del cordón umbilical, debidas a la presencia o - ausencia de circular.

CONCLUSIONES.

1.- Respecto a la presencia de algún tipo de alteración de la F.C.F., sin tener en cuenta la frecuencia de aparición dentro de cada registro C.T.G. concluimos que:

1.1.- En los casos con circular de cordón, el 86,96 por 100 de ellos presentan algún tipo de alteración de la F.C.F., mientras que cuando el feto no llevaba circular, este porcentaje se reduce al 49,7 por 100.

1.2.- Los tipos de alteración de la F.C.F. - que se asocian con circular de cordón son: Dip umbilical U, dip umbilical lambda, y dip variable.

No hemos podido demostrar asociación estadisticamente significativa con el dip umbilical W, ya que éste ha aparecido solamente en tres de los registros estudiados.

No se ha encontrado asociación estadisticamente significativa con circular de cordón para:Ascensos transitorios, taquicardia, bradicardia, dip-I, y dip-II.

2.- Al tener en cuenta en cada uno de los registros el número promedio de aparición de alteraciones de la F.C.F. en treinta minutos, podemos decir que las muestras problema estudiadas (circular y no circular) han sido extraidas de distintas poblacio

nes, y esto es así, porque son estadisticamente más frecuentes en la muestra con circular de cordón: los dip umbilicales totales, dip U, dip variables y dip umbilicales lambda.

3.- Hemos podido demostrar que la rotura de - la bolsa de las aguas, cuando se practica monitorización no estresante, no influye para nada en los - patrones de la F.C.F. Por tanto, este factor no se ha tenido en cuenta en nuestro estudio.

4.- El sexo del fetc no influye para nada sobre la F.C.F.Por este motivo no se ha tenido en consideración en este trabajo.

5.- Cuando se estudian simultaneamente dos variables, es decir existencia de circular de cordón y existencia de bolsa rota, concluimos que con circular de cordón y con independencia del estado de la bolsa de las aguas, es más frecuente la aparición de dip-umbilicales y dip variables que cuando no existe circular de cordón. "Lo importante es la existencia de - circular de cordón, y no el estado de la bolsa de las aguas".

6.- Estudiando simultaneamente la presencia o - ausencia de circular de cordón y el sexo del R.N. - concluimos que con circular de cordón, y con indepen

dencia de cual sea el sexo del R.N. son más frecuentes los: Dip umbilicales. dip U, dip lambda y dip variables. Lo importante es la existencia de circular, y no el sexo del R.N.

7.- Cuando estudiamos simultaneamente volumen de L.A. y existencia o no de circular, encontramos que - cuando el volumen de L.A. es normal son más frecuentes los dip umbilicales y variables con circular. Esa significación no la hemos encontrado cuando el L.A. se - clasificó como abundante o como escaso, y pensamos que el motivo es porque el número de casos de que se componen estas muestras es pequeño.

8.- Al estudiar simultaneamente peso del R.N. y presencia o ausencia de circular de cordón, se encuentra que en presencia de circular, son estadisticamente más frecuentes: El total de dip umbilicales y dip lambda, independientemente del peso del R.N.Esa significación no se ha encontrado cuando el peso fué superior a 4.000 grs. y pensamos que el motivo puede ser el pequeño número de casos de que se componen estas muestras.

9.- Al estudiar simultaneamente distintas longitudes de cordón umbilical con presencia o no de circular, encontramos que el total de dip umbilicales es significativamente mayor en presencia de circular, independientemente de cual fué la longitud del cordón.Para los

demás patrones cardiotocográficos que consideramos de tipo umbilical, estas diferencias estadísticas no aparecen en todos los intervalos de clase en que se ha dividido la longitud del cordón umbilical, y creemos nuevamente que se debe al pequeño número de casos que contienen estas muestras.

10.- La proporción de fetos deprimidos al primer minuto de vida es un 10 por 100 superior en la muestra con circular.

11.- En ambas muestras no se ha podido demostrar que sean diferentes las proporciones de fetos deprimidos a los cinco minutos de vida.

12.- Cuando existe una circular de cordón, la proporción de fetos que presentan un pH patológico en arteria umbilical (inferior a 7.25), es un 18 por 100 mayor que cuando no existe, lo cual es estadisticamente significativo.

13.- En presencia de circular de cordón, la proporción de fetos que presentan una pO_2 en arteria umbilical inferior a 14 mm de Hg., es un 12.9 por 100 mayor que cuando la circular de cordón está ausente, siendo las diferencias existentes estadisticamente significativas.

14.- El estudio de la pCO_2 en arteria umbilical

muestra en los casos con circular de cordón valores superiores a 49 mm de Hg. en un 17.70 por 100 de casos - más que cuando la circular de cordón esta ausente, --- siendo las diferencias estadisticamente significativas.

15.- Las diferencias arterio-venosas de los parámetros del equilibrio ácido-base de la arteria umbilical, aunque han sido significativamente mayores en los casos con circular, sin embargo las diferencias porcentuales como son bajas, llevan a considerar que no tienen un sentido práctico en clínica.

16.- La proporción de fetos con longitud de cordón umbilical superior a 59 cms. es un 18.36 por 100 - mayor en la muestra de circular de cordón.

DISCUSION.

1.- El mayor número de alteraciones de la F.C.F. que aparecen en nuestro estudio en presencia de circular de cordón, al comparar el grupo de fetos que presentaron esta anomalía, respecto a aquel en que la circular no estuvo presente, puede explicarse facilmente, por los cambios hemodinámicos que las alteraciones del flujo sanguíneo a traves de los vasos umbilicales ocasionan en la circulación fetal.

Son numerosos los autores que han podido demostrar estas alteraciones en el C.T.G.; así han observado:

-Mayor número de ascensos transitorios: GOLDKRAND Y SPEICHINGER (1974),LEE Y DI LORETO (1975),MORISHIMA (1976),JAMES (1976), CIBILS (1976), JOELSSON (1975), - JAMES Y JEH (1976).

-Mayor frecuencia en la aparición de Dip: HAMMACHER (1967), TIPTON (1971), ALBRECH (1973), PHELAN --- (1981).

-Mayor número de Dip-I: SANCHEZ RAMOS (1972),ALBRECH (1973), MONLEON (1976), MENDEZ BAUER (1978).

- Aumento de Dip-II: CALDEYRO-BARÇIA (1966),---- SCHWENZEL y cols. (1972), ALBRECH (1973), MONLEON ---- (1976), GONZALEZ ESPINOSA (1977).

-Mayores porcentajes de Dips Umbilicales: BAR--- CROFT (1947), NAVARRETE y cols (1973), NAVARRETE Y --- CHUNG (1980),KREBS (1983), WELT (1984), SIMMONS (1985).

-Aumento en la aparición de Dip Variables: HON - (1959)(1968), CALDEYRO-BARÇIA (1973), CIBILS (1963), -

PAUL (1972), CHANG (1973), SHENKER (1973)(1975), REY - (1974), OTT (1976), GABBE (1976), TEJANI (1977), MILLER Y PAUL (1978), BALLESTA (1979), O'LEARI (1980).

2.- El estudio de los Dips Umbilicales de tipo U, ha mostrado un aumento significativo en presencia de - circular de cordón:

Es clásica la experiencia de BARCROFT (1947) en fetos de cabra, observando como la compresión del cordón umbilical, produce una caida brusca de la F.C.F. - que vuelve rapidamente a los niveles basales cuando -- termina la compresión. Si el mismo estímulo se provoca despues de realizar una vagotomía, se origina un retraso en el comienzo de la bradicardia.

El autor llega a la conclusión de que la bradi-- cardia inicial brusca es refleja en su origen, mien--- tras que la retardada tiene caracteres asfícticos y es debida probablemente a la depresión hipoxémica del miocardio fetal.

NAVARRETE y cols. (1973) en experimentación animal, con ovejas y cabras observan que al efectuar una compresión breve del cordón umbilical mediante brazalete neumático, se produce una bradicardia de comienzo - inmediato y muy marcada, bajando la F.C.F. de 200-250 l/m. a 60-80 l/m.

La caida de la F.C.F. tiene una forma rápida --- (4-8 sgs.) y otra más lenta (30-50 sgs.), manteniendo- se la bradicardia estabilizada mientras dura la oclu--

sión.

Terminada la oclusión la F.C.F. sube rapidamente primero y más lentamente despues.

3.- El mayor número de Dips Umbilicales tipo --- Lambda que aparece en nuestro estudio ante la presen-- cia de circulares de cordón umbilical puede explicarse de la siguiente forma:

La compresión leve y no mantenida del cordón umbilical en fetos bien oxigenados, colapsaría en primer lugar la vena umbilical, lo que originaría una taqui-- cardia inicial seguida de una caida brusca de la F.C.F. debida a la ausencia de aporte de oxígeno al ocluirse completamente la vena umbilical.

NAVARRETE Y CHUNG (1980) estudiando en el curso de cesareas en humanos el patrón umbilical, vieron que el Dip Lambda aparece por la simple presión sobre el - cordón umbilical, apareciendo el Dip U y Dip W cuando se realiza una oclusión del cordón de corta y larga duración respectivamente.

JAMES y cols. (1976) estudiando la respuesta de la F.C.F. ante la oclusión de la vena umbilical antes y despues del bloqueo simpático con dibencilina y propanolol, han encontrado dos tipos de respuestas. En fetos bien oxigenados, la oclusión resulta en una aceleración transitoria de la F.C.F. y una disminución de - la presión del pulso. Esta respuesta se abolía con dibencilina o propanolol. En el feto hipóxico, la oclu-

sión parcial daba origen bien a bradicardia e hipotensión o hipotensión con alteraciones de la F.C.F.

Estos autores explican este tipo de alteraciones, debidas a una respuesta simpática a la disminución del retorno venoso y creen que son un signo precoz y potencial de complicación del cordón.

La respuesta no es vista en fetos asfícticos e - hipóxicos.

Las compresiones leves del cordón umbilical, comprimirían primero la vena, por ofrecer esta menor resistencia a la presión externa, esto ocasionaría como primera respuesta y siempre que la compresión no continuara una elevación de la F.C.F., que unos autores atribuyen a hipotensión fetal con posterior elevación - de la F.C.F. GOLDKRAND Y SPEICHINGER (1974) y otros a la entrada en acción de los barorreceptores, que originaran un aumento de la F.C.F. LEE Y DI LORETO (1975), - JAMES (1976).

Si la compresión es mayor, se colapsa la circulación no solo de la vena umbilical, sino tambien de las arterias, originando no una hipotensión, sino una hipertensión GOODLIN (1974) y una hipoxia que origina una disminución rápida de la F.C.F. con recuperación -- lenta.

4.- El mayor número de Dips Variables que aparecen en presencia de circular de cordón puede explicarse por la suma de varios factores como son la existencia de estasis del espacio intervelloso y compresión - incompleta del cordón umbilical con combinación de mecanismos hipóxicos y reflejos de tipo vagal.

5.- En nuestro estudio, el que la bolsa se encuentre íntegra o rota no ha motivado la existencia de alteraciones estadisticamente significativas en los patrones cardiotocográficos aparecidos.Esto sin duda es debido a los requisitos que hemos exigido para la obtención de un registro cardiotocográfico:

-El registro fué obtenido como mínimo 48 horas - antes de ocurrir el parto, por lo que no existía encajamiento de la cabeza fetal.

-La bolsa de las aguas si se encontraba rota, este hecho había ocurrido en las últimas 24 horas.

-El registro se obtuvo con la madre tranquila, - sin stress de ningún tipo.

-Todas nuestras monitorizaciones se hicieron durante la fase no activa de parto, por lo que o no existía contractilidad uterina, o era muy pobre.

6.- En nuestro estudio no se ha observado una mayor incidencia de alteraciones cardiotocográficas motivadas por el sexo del feto. Iguales resultados han encontrado GARCIA ALONSO (1981),BALLESTA (1979).

7.- La aparición de un mayor número de dip umbilicales y dip variables al estudiar simultaneamente el volumen de líquido amniótico y existencia o no de circular, esta criginado por la presencia de la circular de cordón, ya que un estudio previo demostró que el volumen de líquido amniótico cuando se realiza monitorización no estresante, no influye en la aparición de alteraciones cardiotocográficas, si se tienen en cuenta los requisitos previos mínimos exigidos en nuestro estudio antes de obtener un registro cardiotocográfico (anteriormente comentados).

Este estudio refuerza la hipótesis de que la existencia de estos patrones cardiotocográficos aumentados se debe a la existencia de circular y no al volumen mayor o menor de líquido amniótico.

8.- El mayor número de Dip Umbilicales y Dip Lamda aparecidos al estudiar simultaneamente el peso del R.N. y la presencia o ausencia de circular de cordón, pueden tener una explicación similar a la del apartado anterior.

9.- El mayor número de fetos deprimidos en presencia de circular de cordón al primer minuto de vida se debe a la hipoxia y fundamentalmente a la hipercapnia y descenso del pH ocasionados como consecuencia de la disminución del flujo sanguíneo a traves de los vasos umbilicales. Tras el nacimiento el R.N. comienza su respiración tras la expansión pulmonar y los valores de estos -

parámetros en sangre se normalizan rapidamente, de ahí - la no existencia de diferencias en los puntajes de índices de Angar a los cinco minutos de vida.

BRUCE (1978) piensa que durante la oclusión parcial del cordón umbilical, cuando solo la vena probablemente está ocluida el flujo sanguíneo por la placenta y arte-- rias umbilicales puede no retornar al feto y permanecer secuestrado en la placenta lo que agravaría la hipoxia - debida a la oclusión del cordón.

Coincidienco con nuestros resultados han obtenido en presencia de circular de cordón mayor número de fetos deprimidos al primer minuto de vida SPELLACY (1976), GONZALEZ ESPINOSA (1977), CIBILS (1978), BALLESTA (1979) etc.

No encuentran diferencias significativas a los cinco minutos de vida SANCHEZ RAMOS (1972), ROEMER (1973),- DUHAGON (1981) etc.

10.- El mayor número de fetos que muestran un pH - patológico inferior a 7,25, puede explicarse por la reducción que sufre el flujo sanguíneo a través del cordón debido a la presencia de circular.

En efecto, la existencia de una circular de cordón al cuello o miembros del feto, puede originar bien durante las contracciones uterinas o debido a los movimientos del feto, importantes reducciones del flujo sanguíneo materno-fetal, al quedar el cordón atrapado entre el cuerpo del feto y la pared uterina o entre las distintas partes fetales.

Cada episodio de reducción del flujo a traves del cordón, origina una caida transitoria de la PO_2 sanguínea del feto y un aumento de la PCO_2. La elevación de la PCO_2 origina una caida del pH.

Si la oclusión del cordón es de corta duración --- (30-40 segundos), la PO_2 nunca desciende por debajo del nivel crítico y la disponibilidad de O_2 es siempre adecuada para satisfacer las necesidades de las células fetales.

Durante la oclusión de los vasos umbilicales, el feto queda aislado de una parte de su propia sangre, que queda atrapada en el circuito umbílico placentario. Su única reserva de oxígeno, es la sangre contenida en su propio cuerpo. Esta limitada reserva de oxígeno se utiliza rapidamente, lo que explica la precoz y abrupta caida de PO_2 cuando el cordón es comprimido HON (1969), ALTHABE (1982).

Si la compresión funicular es prolongada, puede -- producirse un episodio transitorio de hipoxia fetal (CALDEYRO-BARÇIA y cols (1973). Durante ese episodio, el metabolismo hístico se realiza de forma anaerobia, con el consiguiente incremento en la producción de ácidos pirúvico y láctico.

Durante los episodios de hipoxia fetal transitoria las celulas obtienen la energía necesaria para sus funciones a partir de la glucolisis anaerobia, como consecuencia se produce un incremento en la producción de ácido pirúvico que no puede ser metabolizado en el ciclo de

Krebs por la anaerobiosis en que se encuentra el feto.

Los ácidos orgánicos, al eliminarse a traves de la placenta con cierta lentitud se acumulan si los episodios de oclusión funicular son sucesivos, por consiguiente el deficit de bases aumenta por sumación instalandose de -- forma progresiva una acidosis metabólica.

En un 45 por 100 de los niños que al nacimiento -- presentan vueltas de cordón umbilical, se observan en la placenta estructuras retardadas de las vellosidades que pueden conducir antes o durante el parto, a una limita-- ción de la capacidad de difusión de la placenta BUCH --- (1976) y por consiguiente a un deficit de oxígeno del fe to de duración limitada en el tiempo o persistente. La - hipermotilidad del feto como consecuencia de una hipoxia aguda o intermitente, puede combinarse ademas con un des censo en la presión de los vasos fetales.

11.- El mayor número de casos en presencia de circular de cordón con PO_2 inferior a 14 mm de Hg. o supe-- rior a 49 mm Hg de PCO_2 puede explicarse por los mismos motivos expuestos en el apartado anterior. Los sucesivos episodios de compresión del cordón, originan una caida - de la PO_2 y elevación simultanea de la PCO_2 que puede no llegar a recuperarse totalmente entre los episodios compresivos.

12.- En nuestro estudio, el número de fetos que -- muestra una longitud del cordón umbilical superior a 59

cms. es mayor cuando existe una circular de cordón.

Este hecho ha sido observado igualmente por MALPAS (1963), PARIKH (1966), SPELLACY (1966), SCHAFER (1972),- MONLEON (1980).

Parece lógico el que la mayor longitud del cordón umbilical facilite la posibilidad de formación de una -- circular a traves de la cual puede pasar el feto en sus diversos movimientos.

INSTRUCTIVO DE LA HOJA DE RECOLECCION DE DATOS.

INSTRUCTIVO DE LA HOJA CODIFICADA PARA EL ESTUDIO DE DIVERSOS PARAMETROS EN PROBLEMAS DE CIRCULARES DE CORDON UMBILICAL

Nombre y apellidos:

1.- Grupo estudiado -0- Sin circular de cordón umbilical.
-1- Con circular de cordón umbilical no complicada.
-2- Con circular de cordón umbilical complicada.

2 - 7.- Número de Historia Clinica correspondiente en el Servicio de Documentación Clinica.

8 -12.- Número de Historia Clinica correspondiente en la Unidad de Cuidados Intensivos Fetales.

13.- Estado de las membranas ovulares. -0-Integras.
-1-Rotas.

14.- Volumen de Liquido Amniótico. -0- No estudiado.
-1- Abundante.
-2- Normal.
-3- Escaso.

15.- Existencia de meconio -0- Desconocido.

-1- Ausente.

-2- Presente.

16-17.- Amenorrea en semanas cumplidas.

18.- Sexo del recien nacido (R.N.). -0- Varón.

-1- Hembra.

19.- Vitalidad del R.N.en el momento del parto

-0- Vivo.

-1- Muerto.

20-21.- Edad materna expresada en años.

22-23.- Paridad.

24-27.- Peso de R.N. en gramos.

28.- Forma de terminación del parto. -0- Espontaneo.

-1- Estimulado.

-2- Vacuo a ter

mino.

-3- Forceps.

-4- Cesarea.

29-30.- Longitud del cordón umbilical en centimetros.

31-32.- Apgar del R.N. al minuto de vida.

33-34.- Apgar del R.N. a los cinco minutos de vida.

35.- Morbilidad. -0- Ausente.
-1- Secundaria a hipoxia.
-2- Debida a infecciones.
-3- Otras causas.

36-37.- Presión parcial de O_2 en la madre.

38-39.- Presión parcial de CO_2 en la madre.

40-42.- Deficit de bases materno.

43-44.- HCO_3^- materno.

45-47.- pH materno.

48-49.- Presión parcial de oxígeno en arteria umbilical.

50-51.- Presión parcial de CO_2 en arteria umbilical.

52-54.- Deficit de bases en arteria umbilical.

55-56.- HCO_3^- en arteria umbilical.

57-59.- Valor del pH en arteria umbilical.

60-61.- Presión parcial de O_2 en vena umbilical.

62-63.- Presión parcial de CO_2 en vena umbilical.

64-66.- Deficit de bases en vena umbilical.

67-68.- HCO_3^- en vena umbilical.

69-71.- Valor del pH en vena umbilical.

72.- Tipo de acidosis materna. -0- No hay acidosis.
-1- Acidosis respiratoria.
-2- Ac. Metabólica.
-3- Ac.Mixta.
-4- Ac. Prestada.
-9- Desconocida.

73.- Tipo de acidosis fetal. -0- No hay acidosis.
-1- Ac.Respiratoria.
-2- Ac. Metabólica.
-3- Ac. Mixta.
-4- Ac. Prestada.

74-75.- Diferencia de unidades de pH entre la madre y el feto.

76-77.- Diferencia de unidades de pH entre la arteria y vena umbilicales.

78-79.- Promedio de ascensos transitorios (A.T.) en treinta minutos de registro cardiotocográfico, sobre el número total de minutos registrados.
La primera cuadrícula corresponde a números enteros, y la segunda a números decimales.

80-81.- Promedio de A.T. que coinciden con la contracción en treinta minutos de registro. (La segunda cuadrícula corresponde a número decimal).

82.- Taquicardia -0- No hay.
-1- leve.
-2- Moderada.
-3- Grave.

83.- Bradicardia -0- No hay.
-1- Leve.
-2- Grave.

84-85.- Variabilidad media de la frecuencia cardiaca fetal (F.C.F.).

86-87.- Promedio de Dip-I en treinta minutos.
(La segunda cuadrícula corresponde a número decimal).

88-89.- Promedio de dip-II en treinta minutos de registro.
(La segunda cuadricula corresponde a número decimal).

90-91.- Promedio de dip Umbilicales en treinta minutos de registro. Engloba los dips de tipo U, U_p, U_t, U_w, U_{wp}, U_{wt}, U_{lambda}, $U_{\lambda p}$, $U_{\lambda t}$.
(La segunda cuadricula corresponde a número decimal).

92-93.- Promedio de dip U en treinta minutos.
(La segunda cuadrícula corresponde a número decimal).

94-95.- Promedio de dip U_p en treinta minutos.
(La segunda cuadrícula corresponde a número decimal).

96-97.- promedio de dip U_t en treinta minutos.
(La segunda cuadrícula corresponde a número decimal).

98-99.- Promedio de dip U_w en treinta minutos.
(La segunda cuadrícula corresponde a número decimal).

100-101.- Promedio de dip U_{wp} en treinta minutos.

(La segunda cuadrícula corresponde a número decimal).

102-103.- Promedio de dip U_{wt} en treinta minutos.
(La segunda cuadrícula corresponde a número decimal).

104-105.- Promedio de dip U Lambda en treinta minutos.
(La segunda cuadrícula corresponde a número decimal).

106-107.- Promedio de dip U Lambda preccz en treinta - minutos.
(La segunda cuadrícula corresponde a número decimal).

108-109.- Promedio de dip U Lamhda tardios entreinta minutos.
(La segunda cuadrícula corresponde a número decimal).

110-111.- Promedio de dip Variables en treinta minutos.
(La segunda cuadrícula corresponde a número decimal).

112-113.- Promedio de dip variables precoces en treinta minutos.
(La segunda cuadrícula corresponde a número decimal).

114-115.- Promedio de dip Variables tardios en treinta minutos.
(La segunda cuadrícula corresponde a número decimal).

116-117.- Promedio de dip Variables bradicardia.
(La segunda cuadrícula corresponde a número decimal).

118-120.- Número de contracciones registradas.

121-123.- Número de minutos registrados.

BIBLIOGRAFIA.

ABRAMOVICH,H.;BRANDES,J.M.;FUNCHS,K.;TIMOR TRITSCH,I. (1974):Meconium during delivery:Asing of compensated fetal distress.Am.J.OBSTET.Ginecol.118:251-255.

ADAMS,F.H.;ASSALI,N.S.;CUSHMAN,M. et al.(1961):Inter-relationship of maternal and fetal circulation:I.Flow pressure responses to vasoactive drugs in sheep.Pedia-trics.27:627.

ADAMSONS,K.;MORISHIMA,H.O.;COMAS URRUTIA,A.C.(1969): Factors influencing the acid-base state of fetus during labor.In:Perinatal factors affecting human development. Pan American Health Organization.p 172.Washington D.C.

ALADJEM,S.;FERIA,A.;REST,J.;STOJANOVIC,J.(1977):Fetal heart rate responses to fetal movements.Brit.J.Obstet. Ginecol.84:487-491.

ALADJEM,J.;FERIA,A.;STOJANOVIC,B.A.;et al.(1977):Moni-torización no estresante.Acta Ginecológica.31:299.

ALADJEM,J.;MILLER,T.(1977):Effects of spontaneous and artificial membrane rupture in labour upon fetal heart rate;Department of Obstetrics and Gynecology.The Abra-han Lincoln School of Medicine.University of Illinois at the Medical Center.Chicago.British Journal of Obste-trics and Gynecology.84:44-47.

ALBRECHT,H.;BOKELMANN,S.;MORGENSTERN,J.(1973):Beitrage zur herzfrequenz des feten aus verschlusselten datem. III.Kardiotokographische befunde bei nabelschnum schlingungen.Geburtsh.Frauenheilk.33:935-937.

ALTHABE,O.;ARAMBURU,G.;SCHWARCZ,R.L.;CALDEYRO-BARÇIA,R. (1969):Influence of the rupture of membranes on compression of the fetal head during labor.In:CALDEYRO-BARÇIA, R.Perinatal factors affecting human development.p 143. Washington D.C.:Pan American Health Organization.Washington D.C. Scientific Publ. Nº 185:143-149.

ALTHABE,O.;BERDAGUER,P.(1983):Fisiopatología de la hipoxia fetal.En:Clínica Ginecologica.Salvat Editores.Barcelona.8/1:20-26.

AMID-TISON,C.(1979):Neurologic disorders in neonates - associated with abnormalities of pregnancy and birth.Current Problems in Pediatrics.Volume III.

APGAR,V.(1953):A proposal for a new method of evaluation of the newborn infant.Anes.Anal.32:260.

ARAMBURU,G.;ALTHABE,O.;FERNANDEZ FUNES,J.;CALDEYRO-BARÇIA R.(1964):Incidence of type I and type II "dips" throughout labour in the human.In:"Effect of labour on the fetus and newborn". R.Caldeyro-Barçia.C.Mendez Bauer and G.S. = Dawes.Editors Pergamon Press.Oxford.

ARELLANO-HERNANDEZ,G.;MENDEZ BAUER,C.;POSEIRO,J.J.AGUERO LUGONES,F.;BEAUQUSA,A.;CALDEYRO-BARÇIA,R.(1963):Efectos de la compresión de la cabeza fetal, de la fontanela y - del cordón umbilical sobre la frecuencia cardiaca fetal. IV Cong.Mexicano de Ginec. y Obstet.

ARTO MEDRANO,F.;VERGES TORRES,A.;RIOS AVILA,F.J.(1969): Relationship between blod ph, heart rate and meconium in the fetus during the second stage of labour.Gynecologic. 168:135-143.

ARTO MEDRANO,F.;VERGES TORRES,A.(1969):Variaciones en el equilibrio ácido-base fetal producidas por las circulares de cordón alrededor del cuello.Acta Obstet.Gin.His. Lus.1:9.

ARTO MEDRANO,F.(1970):Influence of cord around the neck on fetal acid-base balance in vigorous newborn.Amer.J. - Obstet.Gynec.107:1035-1043.

ARTO MEDRANO,F.;CASTAÑO,A.;ALMENDRAL,J.L.DE LA RIVA,A.M. (1972):La influencia cardiaca y el equilibrio ácido-base del feto durante el parto.Acta Obst.Gin.Hisp.Lus.20/3:191.

ASSALI,N.S.BEKEY,G.A.MORRISON,L.W.(1969):Fetal and neonatal circulation.En N.S. ASSALI (ed.):Biology of Gestation Vol.II.The fetus an Neonate.New York.Academic Press.

ASSALI,N.S.;BRINKMAN,C.R.(1973):The role of circulatory buffers in fetal tolerance to stress.Am.J.Obstet.Gynecol 117:643.

AZEVEDO,J.J.;MAVAD-FILHO,F.;RUFINO NETTO,A.;SCOZAFAVE -- NETTO,F.;MATEUS,M.;et al.(1977):Criterios de clasifica-- ción del sufrimiento fetal: Correlación entre el índice de Apgar y el ph de la sangre de la arteria umbilical.Rev. Esp.Obstet.Gin.36:355.

AZOCAR-ESPIN,B.(1965):Bases obstetricas para el tratamien to fetal durante el parto.Revista Obstetrica Ginecológica. Venezuela.25:39.

BAIN,C.;ELIOT,B.W.(1976):Fetal distress in the first stage of labour associated with early fetal heart rate decelera- tion and a short umbilical cord.Dept.Obstet.Gynaecol.Univ. Coll.Hisp.London.Aust.Z.J.Obstet.Gynaec.16/1:51-56.

BAINBRIDGE,M.N.;NIXON,W.C.W.;SMYTA,C/N.(1958):The effects of rupture of membranes upon length of labor.J.Obsttet.Gy- naec.Brit.Emp.189.

BALLESTA LOPEZ,J.L.(1979):Las circulares de cordón en el parto.Tesis Doctoral.Univ. de Extremadura.

BARCROFT,J.(1947):Research on prenatal life.Springfield. Illinois.Charles C. Thomas Publisher.

BARHAM,A.K.(1969)Amnioscopy,meconium and fetal well being J.Obstet.Gynecol.Brit,Common.76:412-418.

BEARD,R.W.KNIGHT,C.A.;ROBERTS,G.M.(1971):The significance of yhe changes in the continuous fetal heart rate in the first stage of labor.J.Obstet.Gynaec.Cwlth.78:865.

BODY,K.;DAWES,G.S.(1975):Fetal breathing.Br.Med.Bull.31:3.

BONILLA,F.;SALVATIERRA,V.(1965):Nuevos métodos diagnósticos del sufrimiento fetal.Actual Obstet.Gin.5:517.

BORN,G.U.R.;DAWES,G.S.;MOTT,J.C. et al.(1956):The cons--- triction of the ductus arteriosus caused by oxigen and -- asphysia in newborn lams.J.Physiol.132:304.

BORN,G.U.R.;DAWES,G.S.;MOTT,J.C.(1956):Oxygen lack and -- autonomic nervous of the foetal circulation in the lamb. J.Physiol.134:149.

BOWE,E.T.;FINSTER,M.;POPPERS,P.J.;ADAMSONS,K.;JAMES,L.S. (1967):Reliability of fetal blood sampling.J.Obstet.Gynaecol.Brit.Cwlth.74:812.

BRETSCHER,J.(1966):Die Sauerstoffspannuns in den vasa umbilicaliabei.Neugeborenen mit Nabelschnurumschlingung.Zbl. Gynäk.88:1015.

BRINKMAN,C.H.(1970):Caudal sanguíneo umbilical y utilización fetal de oxígeno.Clin.Obstet.Gynec.565.

BRUCE,S.;STANLEY,J.;BOWE,E.;REY,-.;SHAMSI,H.(1978):Umbilical cord complication as a cause of parinatal morbidity and mortality.J.Perina.Med.6:89.

BURT,R.A.F.(1971):The fetal and maternal pharmacology of some of the drugs use for the relief of pain in labour. - Brit.J.Anaesth.43:824.

BUSCH,W.(1967):Morphologische plazintabefunde bei gasanalytisch definierten Asphyxien.Mschr.Kinderheilk.115:217.

CALDEYRO-BARÇIA,R.;ALOARREL,H.(1952):Abnormal uterine actions in labour.J.Obstet.Gynaec.Brit.Emp.59:646.

CALDEYRO-BARÇIA,R.;POSEIRO,J.J.;PANTLE,G.;NEGREIROS,C.;-GOMEZ ROGERS,C.;FAUNDES,A.;HENRY,J.H.ZAMBRANA,M.A.;ARE--LLANO,G.;FILLER,W.; CABOT,H.M.(1961):Effects of uterine contractions on the heart rate of the human fetus.4th International Conference on Medical Electronics.New York.

CALDEYRO-BARÇIA,R.;BIENIARZ,J.;POSEIRO,J.J.;MENDEZ-BAUER, R.;POSE,S.V.(1963):Significado de los cambios de la fre--cuencia cardiaca fetal durante el parto.Memoria del IV Congreso Mexicano de Ginecología y Obstetricia.2:15.

CALDEYRO-BARÇIA,R.(1964):Mecanismo y significación de las variaciones registradas en la F.C.F. humana durante el -- parto.Conferencia VIII Congreso Luso Español de Obstetricia y Ginecología.Tomado de Progresos en Obstetricia y -- Ginecología.7:414.

CALDEYRO-BARÇIA,R.;MENDEZ-BAUER,C.;POSEIRO,J.J.;POSE,S.V. (1965):La Frequence du Coeur Foetal pendant L'Accouche--- ment. Significación de ses Variations.Bull.Fed.Gyn. et -- Obstet.17:395-421.

CALDEYRO-BARÇIA,R.;MENDEZ BAUER,J.J.;POSEIRO,L.A.;ESCARCE- NA,S.V.;POSE,J.;BIEHIARZ,J.;ARNT,U.;GULIN,O.;ALTHABE,O. - (1966):Control of human fetal heart-rate during labor.In: Cassels,D.:The heart and circulation in the newborn and - infant.Grume and Stratton,New York.7:36.

CALDEYRO-BARÇIA,R.;CASACUBERTA,C.;BUSTOS,R.;GWSSI,G.;GULIN L.;ESCARCENA,L.;MENDEZ BAUER,C.(1968):Correlation of intra- partum changes in fetal heart rate with fetal blood oxygen and acid-base balance.In "Diagnosis and Treatment on fetal Disorders".Ed.K.Adanson.Springer Verlag.New York.

CALDEYRO-BARÇIA,R.;IBARRA POZO,R.;CULLIN,L.;POSEIRO,J.J.; MENDEZ BAUER,C.(1969):Diagnostic and prognostic significan- ce of intrapartum fetal tachicardia and type II dips:Pre-- natal Life.H.C.Mack.ed.Wayne State Univ Press. Detroit, Mich.129-153.

CALDEYRO-BARÇIA,R.;SCHWARCZ,R.;ALTHABE,O.(1972):Effects of rupture of membrane on fetal heart rate pattern.Int.J. Gynaec.Obstet.10:169.

CALDEYRO-BARÇIA,R.;MENDEZ BAUER,C.;POSE,S.;POSEIRO,J.J. (1973):Fetal monitoring in labor.In:Maternal and child - health practices.Wallace,H.M.;Gold,M.;Lis,F.:Problems resources and methods of delivery.Thomas Springfield.

CALDEYRO-BARÇIA,R.;MENDEZ BAUER,C.;POSE,S.V.;POSEIRO,J.J. (1973):Monitorización del feto durante el pato.Jornadas - perinatológivas del Hospital Materno Infantil Ramón Sardá Editorial Hector.J.Buján.S.R.Argentina.121-190.

CALDEYRO-BARÇIA,R.;SCHWARCZ,R.L.;BELIZAN,R.;MARTELL,M.;NIETO,F.;SABATINO,H.;TENSER,S.M.(1974):Adverse Perinatal Effects of Early Amniotomy During Labor.Modern Perinatal Medicine.Gluck,ed.Year Book Medical Publ.Inc.Chicago III.431.

CALDEYRO-BARÇIA,R.;et al.(1976):Monitoreo fetal en el parto.Publicación CLAP Nº 519.Montevideo.

CARRERA,J.M.;MARTINEZ,T.(1980):Modelos de la F.C.F. En:Clinica Ginecológica.Ed.Salvat.Barcelona.4/3.69-102.

CARRERA,J.M.;ALEGRE,M.;PEREZ ARES,C.;MORTERA,C.;TORRENTS, M.(1986):Evaluación de las resistencias umbilico-placentarias mediante el análisis espectral de la onda de velocidad de flujo.Progresos en Obstet.Ginecol.29:6.

CIBILS,L.A.;CHARLES,H.(1965):Normal labor in vertex presentation.Am.J.Obstet.Gynecol.91:385.

CIBILS,L.A.(1976):Clinical significance of fetal heart rate patterns during labour.I:Baseline patterns.Am.J.Obstet. Gynecol.125:290.

CIBILS,L.A.(1978):Clinical significance of fetal heart rate patterm during labor variable decelerations.Am.J.Obstet. Gynecol.791.

CLEMENTSON,C.A.B.;CHURCHMAN,J.(1953):Oxigen and carbon dioxide content of umbilical artery and vein blood in toxaemic and normal pregnancy.J.Obstet.Gynaec.Brit.Cwlth.60:335.

CONH,H.E.;SACKS,E.;HEYMANN,M.A. et al.(1974):Cardiovascular responses to hipoxemia and acidemia in fetal lams.Am.J. Obstet.Gynecol.120:817.

COMLINE,R.;SILVER,M.(1961):Diagnosis and treatment of fetal disorders.J.Physiol.Lond.156:424.

COOPER,K.E.;CREENFIELD,A.;HUGGET,A.S.(1949):Umbilical blood flow in the foetal sheep.J.Physiol.198:160.

CRAWFORD,J.S.(1962):Cor around the neck:incidence and sequelae.Acta Pediat.Estocolmo.51:594-603.

CRAWFORD,J.S.(1964):Cor around the neck.Further analysis of incidence.Acta Pediat.Estocolmo.53:553-557.

CREMER,M.(1906):Uber die direkte Ableitung der Aktions-- stöne des monschlichen Herzens vom Oesophagus und über -- das Elektrokardiogramm de Fetus.Münch.Med.Wschr.53:811.

CHANG,W.H.(1973):Intrapartum fetal monitoring.Obstet and Gynec.41:7.

CHASNOFF IRA,J.;FLETHER ,M.(1977):True knot of the umbilical cord.Am.J.Obstet.Gynecol.127:425.

DANIEL,S.S.;YEH,M.N.;BOWE,E.T.;FUKUNAGA,A.;JAMES,J.S.(1975): Renal response of the lamb fetus to partial occlusion of the umbilical cord.J.Pediat.87:788.

DAWES.G.S.;MOTT,J.C.;RENNICK,B.R.(1956):Some effects of -- adrenaline,noradrenaline and acetylcholine on the fetal -- circulation in the lamb.J.Physiol.34:139.

DAWES,G.S.(1962):The umbilical circulation.Am.J.Obstet.Gynecol 84:1634.

DAWES,G.S.(1968):The umbilical circulation.In Foetal and Neonatal Phisiology.Chicago.Year Book Medical Publishers.

DAWES,G.S.(1968):Changes in the circulation after birth.

In:Foetal and Neonatal Physiology.Chicago.Yearbook Medical Publishers.

DERON,R.(1964):Anaerobic metabolism in the human fetus. Am.J.Obstet.Gynec.89:241-251.

DIAZ CASTELLANOS,R.;VILLERO ANAURBE,J.;GARCIA BLANCO,J.; CARRASCO RICO,S.(1980):Estudio de las aceleraciones transitorias de la F.C.F.En:Clínica Ginecológica.4/3.Monitorización Intraparto.Salvat Editores.Barcelona.

DIPPEL,A.L.(1964):Maligned umbilical cord entanglements. Am.J.Obstet. and Gynec. 88/8:1012-1019.

DIEZ FEBRER,E.;MINGUEZ SANZ,J.A.;DOMENECH SOLER,A.;ORTEGA GIRONES,L.;MONLEON ALEGRE,F.J.(1973):Correlación entre el equilibrio ácido-base fetal en el parto e índice de Apgar.Rev.Obstet.Ginec.XXXII.503-513.

DUHAGON,P.;ISA,J.C.;BELITZKY,R.;CALDEYRO-BARÇIA,R.(1981): Efectos de la circular de cordón en el neonato.Biología y ecología fetal.Salvat Editores.Barcelona.44:599-603.

EARN[illegible]1951):The effect of congenital abnormalities of the [illegible]bilical cord and placenta on the newborn and mother A survey of 5676 consecutive deliveries.J.Obstet.Gynaec. Brit.Emp.58:456-459.

EARN,A.(1951):The effect of congenital abnormalities of the umbilical cord and placenta on the newborn and mo-- ther.A survey of 5676 consecutive deliveries.J.Obstet. Gynaec.Brit.Emp.58:456-459.

ELLISON,J.P.;HIBS,R.G.;FERGUSON,M.A.;MAHAN,M.;BLASINI,E. (1975):The inervation of the umbilical cord.Anat.Rec. - 166:302.

ESTEBAN ALTIRRIBA,J.(1966):Bases, tecnica, indicaciones y resultados para el control del estado de oxigenación del feto durante el parto.Rev.Esp.Obst. y Gin.24:237.

ESTEBAN ALTIRRIBA,J.;GAMISSANS,O.(1968):Microanálisis - de sangre fetal y dirección medicamentosa del parto.Acta Gin.18:45.

ESTEBAN ALTIRRIBA,J.(1971):Estado actual del diagnostico del sufrimiento fetal en el parto.Munch.Med.Woch.3:275.

EVERTSON,L.R.;PAUL,R.H.(1978):Antepartum fetal heart rate testing:The non stress test.Am.J.Obstet.Gynecol.132: 895.

EVERTSON,L.;GAUTHIER,R.J.;SCHIFFRIN,B.;PAUL,R.(1979):Antepartum fetal heart rate.I:evolution of the non stress test.Am.J.Obstet.Gynecol.133:29.

FARAHANI,G.;FENTON,A.n;(1977):Fetal heart rate acelera tion in relation to the oxytocin challenge test.Obstet. Gynecol,49:163.

FEDRIC,J.;BUTLER,N.R.(1971):Certain causes of neonatal death Cerebral Birth Trauma.Biol.Neonate.18:321.

FENTON,A.;STEER,C.(1962):Fetal distress.Am.J.Obstet.Gy necol.83:354-362.

FISCHER,W.(1964):Cord entaglement and fetal prognosis. Obstet. and Gynec.23:608-610.

FLYNN,A.M.;KELLY,J.(1977):Evaluation of fetal wellbe- ing by antepartum fetal heart rate monitoring.Brit.Med. J.1:936.

FONTOIRA GARCIA,C.(1963):Valor clínico de la electro-- cardiografía fetal.Toco-Gin.Pract.22:321.

FOX,H.;JACOBSON,H.N.(1968):Innervation of the Amnion. Am.J.Obstet. and Gyn.102:847-852.

FOX,H.;JACOBSON,H.N.(1969):Innervation of the Human Um

bilical Cord and Umbilical Vessels.Amer.J.Obstet. and Gyn.103:384-389.

FREEMAN,P.K.;JAMES,J.(1975):Clinical experience with - the oxytocin challenge test:II.An aminous atypical pat term.Obstet.Gynecol.46:255.

FRIEDMAN,E.A.;SACHTLEBEN,M.R.(1963):Amniotomy and the course of labor.Obstet.Gynec.22:755.

FRIEDMAN,W.F.(1972):The intrinsic phisiologic proper-- ties of the developing heart.Prog.Cardiovascular Dis. 15:87.

FRIEDMAN,W.F.(1972):Neuropharmacologic studies of peri natal myocardium.Cardiovascular Clin.3:44.

DE LA FUENTE,P.;EZCURDIA,M.;GONZALEZ,A.;GARCIA VILLAL- BA,A.(1967):Electrocardiografía fetal.Rev.Esp.Obst.Gin. 26:1.

FUSTER,R.(1966):El interes por el sufrimiento del feto. Progr.Obstet. y Ginec.9:227.

GABBE,S.G.;ETTINGER,B.B.;FREEMAN,R.K.;MARTIN,C.B.(1976): Umbilical cord compression associated with amniotomy:la-

boratori observation.Am.J.Obstet. y Gynecol.126:353.

GABERT,H.A.;STENCHEVER,M.A.(1973):Effect of ruptured -- membranes on fetal heart rate patterns.Dept.Obstet.Gynecol.41/2:279-282.

GABERT,H.A.;STENCHEVER,M.A.(1977):The results of a five year study of continuous fetal monitoring on an obste-- trics service.Obstet. and Gynec.50:275.

GARCIA ALONSO,A.(1980):Estudio de los Ascensos Transitorios de la Frecuencia Cardíaca Fetal.Cardiotocografía - no estresante.Tesis Doctoral.Universidad de Granada.

GEIS,W.P.;TATOOLES,C.J.;PRIOLOA,D.V.; et al.(1975):Factors influencing neurohumoral control of the heart in - the newborn.Amer.J.Physiol.228:1685.

GEVERS,R.H.;RHEMREV,P.E.R.;FAVIEV,J.(1971):Fetal heart monitoring and Biochemical Examination of the child during labour.In Perinatal Medicine.Ed.S.Kargar,Borel,Munchen.56-57.

GOMEZ PARGA,J.L.;MUXI,M.(1974):Circulares de cordón.Acta Obstet.Gin.Hisp.Lus.22:283.

GONZALES ESPINOSA,C.;ARTILES PEREZ,L.;OUTEIRIÑO MINGUEZ, F.(1977):Repercusiones neonatales de las circulares y - nudos de cordón.Toko Gin.Pract.369.

GOLDKRAND,J.W.;SPICHRINGER,J.P.(1975):Mixed cord compression fetal heart rate patterm, and its relation to abnormal cord position.Amer.J.Obstet.Gynecol.122:144-150.

GOODLIN,R.C.(1981):Monitoreo fetal.En:Principles an Practice of Obstetrics and Perinatology.Leslie Iffy.Harold.A Kaminetky M.S.Editors.Volumen 1.USA.

GOODLIN,R.C.;LOWE,E.W.(1974):A functional umbilical cord occlusion heart rate patterm.The significance of over---shoot.Obstet. and Gynec.43:22.

GOODWIN,J.W.;MAHON,W.;REID,A.(1968):Effect of graded reduction of umbilical blood flow on right and left ventricular outputs in the fetal lambs.Circ.Res.22:595.

GOUPIL,F.;SUREAU,C.;LEGRAND,H.;BREART,G.(1975):Rythme --cardiaque foetal pendant la grossesse,In:Journées Pari--siennes de Pédiatrie.Flammarion Medicine Sciences.Paris. 118-127.

GREENHILL,J.P.(1962):Anatomy,anomaly and prolapse of the umbilical cord.Clin.Obstet.Gynec.5:982.

GRINWADE,J.;WALKER,D.;WOOD,C.(1971):Human fetal heart rate change and movement in response to sound and vibra---tion.Amer.J.Obstet.Gyneco.109:86.

CRINWADE,J.;WALKER,D.;WOOD,C.(1970):Response of the human fetus to sensores stimulation.Aust.Nz.J.Obstet.Ginecol. 10:222.

GUEVARA RUBIO,G.;PEREZ,M.A.;MAGAÑA,J.M.;CALDEYRO-BARÇIA,R.: Catecolaminas y receptores adrenérgicos alfa y beta.Comunicado Interno 434 CLAP,OMS.Montevideo.Uruguay.1973.

GUYTON,A.C.(1985):Tratado de Fisiología Médica.6ª edición. Interamericana.Madrid.

HAMMACHER,K.(1966):The diagnosis of Fetal Distress with - Electronic Fetal Heart Monitor.Actas del Simposium de Praga.228.

HAMMACHER,K.(1967):Diagnosis of foetal distress by means- of cardiotocographie.In Vth World Congr. of Gynaec.and Obstet.Sepr.23-30.1967.Sydney.Australia.Publicado por Butter worths.Australia.177.

HAMMACHER,K.(1969):The clinical significance of cardiotocography.In:European Congress,Berlin.1969.Georg Thieme Verlag Stuttgart.80-93.

HAMMACHER,K.(1973):Die Semiquantitative Auswertung von Kardiotocogrammen anhand eines CTG.Sores.Perinatale Medizin.VI Ed. Thieme Verlag.Stuttgart.

HAMMACHER,K.;DEMME,K.(1974):Die Kardiotokographie in der Spätschwangerschaft und unter der Geburt.In:Angewande Perinatologie.Editado por Hickl et Riegel.Urban et Schwar--enberg,München-Berling.140-161.

HARRIS,J.W.S.;RAMSEY,E.M.(1966):The morphology of human - uteroplacental vasculature.Contrib.Embryol.38:43.

HELLMAN,L.M.;JOHNSON,H.L.;TOLLES,W.E.;JONES,E.H.(1961):Some factors affecting the fetal heart rate.Amer.J.Obstet. Gynecol.82:1055.

HENRICH,J.;et al.(1975):Kardiotocographie Geburtsmedicinische entscheidung und perinatolische ergebnisse.Z.B.L.Gynak. 97:257.

HON,E.H.(1958):Observations on "pathologic" fetal bradicardia.Amer.J.Obstet.Gynec.77:1084.

HON,E.H.(1959):A maneuver for the diagnosis of umbilical cord complications.Obstet. and Gynec.14:154.

HON,E.H.(1963):Modern trens in Human Reproductive Physiology.Ed.Butterworth and Co;Ltd.London.

HON,E.H.(1967):Detection of fetal distress.V World Congr. Gynaec.Obstet.Butterworths,Australia.58:74.

HON,E.H.;QUILLIGAN,E.J.(1967):The classification of fetal heart rate.II:A revised working classification.Conn.Med. 31:779-784.

HON.E.H.(1968):An atlas of fetal heart rate patterns.New Maven,Hartv Press.

HON,E.H.;QUILLIGAN,E.J.(1968):Electronic evaluation of fetal heart rate.IX Further observation on Pathologic fetal bradicardia.Clin.Obstet.gynec.11:145.

HON.E.H.(1969):The fetal effects of umbilical cord compression.En:Perinatal factors affecting human development.Pan American Health Organization.Washington D.C. Scientific - Publ. Nº 185:188-198.

HON.E.H.;KHAZIN.(1969):Biochemical studies of the fetus.I. The fetal ph measuring systemy.Obstet.Gynecol.33:219.

HON,E.H.;PETRIE.(1975):Clinical value of fetal heart rate monitoring.Obstet.Gynec.18:1.

HON,E.H.;ZAMINI,B.(1976):Fetal heart rate patterns and diagnosis.In:SCARPELLI,M.F.;COSMI,C.:Reviews in Perinatal - Medicine.Vol.I.University Park Press,Baltimore.

HOPKINS,S.F.;Mac CATCHEON,E.P.;WESKSTEIN,D.R.(1973):Postnatal changes in ventricular functior.Cir.Res.32:685.

HORWITZ,S.T.;FINN,W.F.; et al.(1964):A study of umbilical cord encirclement.Amer.J.Obstet.Gynecol.89:970-973.

HYMAN,A.J.(1972):Effects of Sympathetic blockade on the - fetal responses to asphyxia.Biol.Neonate.21:1.

JAMES,L.S.;WISBROT PRICE.(1958):The acid-base status of - human infante in relation to birth asphyxia and the onset of respiration.J.Pediat.52:379.

JAMES,T.N.(1961):Morphology of the human atrioventricular node,with remarks pertinet to ist electrophysiology.Amer. Heart J.62:756.

JAMES,L.S.et al.(1975):Utilidad del control fetal para decidir la conducta obstetrica. Controversias en Obstetricia y Ginecología.Monografia 2:19.

JAMES,L.S.YEH,M.N.;MORISHIMA,O.H.;DANIEL,S.S.;CARITIS,S.N; NIEMANN,W.H.;INDYK,L.(1976):Umbilical vein occlusion and transient acceleration of the fetal heart rate.Amer.J.Obst. Gynec.126:276.

JIMENEZ VARGAS,J.;MACARULLA,J.Mª.(1984):Fisicoquímica Fisiológica.Ed.Interamericana.Madrid.

JOELSSON,I.;BARTON,D.;DANIEL,D.(1975):Adrenergic blockage and response of the fetal sheep to cord occlussion.Int.J.

Gynecol.Obstet.13:17.

JOELSSON,I.;BARTON,M.(1969):The effect of blockade of the beta-receptors of the sympatetic nervous system of the fetus.Acta Obstet.Gynec.Scand.48:75.

KAUROS,J.G.;CHARONIS,N.G.;CMMINOS,A.C. et al.(1981):Cord involvement bradycardia.J.Obstet.Gynecol.1/3:171.

KUBLI,F.W.(1969):Observations on heart rate and ph in human fetus during labor.Amer.J.Obstet.and Gynec.104:8,1190.

KUBLI,F.;RUTTGERS,H.(1972):Semiquantitative evaluation of antepartum fetal heart rate.Int.J.Obstet.10:180-181.

KUBLI,F.;RUTTGERS,H.;HALLER,V.;BOODGAN,C.(1972):Die antepartale fetale Herzfrequenz.II:Verhalten von Gundfrequenzen Fluktuation und Dezelerationen bei antepartalen Fluchttod.Z.Geburtsh.Perinat.176:309.

KREBS,H.B.;PETRES,R.E.;DUNN,J.(1983):Intrapartum fetal -- heart rate monitoring.VIII.Atypical variable decelerations Amer.J.Obstet.Gynecol.145:297.

LAMBERTI,G.;AUSTERMAN,R.;CLOS,H.P.;SCHWENZEL,W.(1973):Statistical investigation of fetal risk in placental insuficiency and umbilical cord complications.I.Definition of - Devease Entities and their incidence.Gerburtsh u Frauenh.

33:254-264.

LAMBERTI,G.;AUSTERMANN,R.;CLOSS,H.P.;SCHWENZEL,W.(1974): Statistische Untersuchungen Uber das fetale Risko bei Plazenta-Insuffizienz und Nabelschnurkonplikation.Geburtsh,U. Frauenheilk.34:724-735.

LATARJET RUIZ LIARD.(1983):Anatomia Humana.Editorial Panamericana.Buenos Aires.

LEE,S.T.;HON,E.H.(1963):Fetal hemodynamic response to umbilical cord compression.Obstet.Gynecol.22:553,

LEE,C.;PANFILO,C.;DI LORETO,C.(1975):A study of fetal heart rate acceleration patterns.Obstet.Gynecol.45:142.

LEE,C.;DI LORETO,P.C.(1976):Fetal activity acceleration - determination for evaluation of fetal reserve.Obstet.Gyn. 48:19.

LEE,C.;DRUNKER,B.(1979):The nonstress test for the ante-- partum assesment of fetal reserve.Amer.J.Obstet.Gynecol. 134:460.

LINDGREN,L.(1960):The causes of foetal head moulding in labour.Acta Obstet.Gynaec.Scand.39:46.

LIS,J.(1960):Acidosis of the newborn and its relation to

birth asphyxia.Acta Paediat;Uppsala 49;Sippl.vol.122:17.

LOW,J.A.;PANCHAM,S.R.;WORTHINGTON,D.;BOSTON,R.W.(1975): The incidence of fetal asphyxia in six hundred high risk monitored pregnancies.Amer.J.Obstet.Gynecol.121:456.

MALPAS,P.(1963):Length of the human umbilical cord at -- term.Brit.Med.J.5:673.

MARTIN,C.B.;MURATA,Y.;PARER,J.T.(1973):A method for obtaining biochemical and biophisical measurements from rhesus monkey fetuses for prolonged periods.Amer.J.Obstet.Gynec. 117:126.

MATTONE,P.G.;VISTA,A.;BUSSALINO,S.;GAGLIARDI,L.(1976):Antepartum cardiotocography and fetal condition at birth.-- Ann.Obstet.Ginec.Med.Perinatale.97:166.

MENDEZ BAUER,C.;POSEIRO,J.;ARELLANO HERNANDEZ,G.(1963):Effects of atropine on the heart rate of the human fetus - during labor.Amer.J.Obstet.Gynecol.85:1033.

MENDEZ BAUER,C.;MENENDEZ,A.;ARROYO,J.;GARDI,R.D.;SASTRY,V.; ZAMARRIEGO,C.;CRESPO,J.(1978):Early decelerations of the - fetal heart rate from occlusion of the umbilical cord.J. Perinat.Med.6:69.

MILLER,M.R.;KASAHARA,A.(1964):Studies on the nerves ending in the heart.Amer.J.Anat.115:217.

MILLER,R.W.;PAUL,R.H.(1978):Intrapartum fetal heart rate monitoring.Obstet.Gynec.21:561.

MISRAHY,G.A.;BERN,A.V.;SPRADLEY,J.F.;GARWOOD,V.P.(1960): Fetal brain oxigen.Amer.J.Phisiol.199:959.

MOLLARD,J.(1908):Les nerfs du coeur.Rev.Gen.Histol.3:11.

MONLEON,J.;MINGUEZ SANZ,J.;DOMENECH SOLER,A.;GARCIA DEL POZO,J.;ORTEGA GITONES,L.;DIEZ FEBRER,E.(1976):Influencia sobre el feto y recien nacido de las circulares de cordón. Revista Hispano Americana de Obstetricia y Ginecología. 147:170.

MONLEON,F.J.;MINGUEZ,J.A.;DOMENECH,A.;DIEZ,E.(1980):Diagnostico prenatal de la patología funicular.Clínica Ginecológica.4/3.Monitorización Intraparto.Salvat Editores.112.

MORISHIMA,H.O.(1976):Umbilical vein occlusion and transient acceleration of the fetal heart rate.Experimental - observation in subhuman primates.Amer.J.Obstet.Gynec.126: 276-283.

MORRIS,N.;OSBORN,S.B.;WRIGHT,H.P.;HART,A.(1956):Effective uterine blood flow during exercise in normal and pre-eclamptic pregnancies.Lancet.2:481.

MYERS,R.E.(1975):Fetal asphyxia due to umbilical cord com-

pression.Biol.Neonat.26:21-43.

NADKARNI,B.B.(1970):Inervation of the human umbilical artery:An electron microscope study.Amer.J.Obstet.Gynecol. 107:303.

NAVARRETE,L.;SABATINO,H.;CASACUBERTA,C.(1973):Efectos cardiovasculares de la oclusión umbilical.Comunicación presentada al XI Congreso Latino Americano de Ciencias Fisiológicas.Mendoza.Argentina.

NAVARRETE,L.(1980):Patrón umbilical de la F.C.F.Actas de Ponencias de la III Reunión Nacional de Medicina Perinatal.

NAVARRETE,L.;GARCIA,A.;CHUNG,C.;RODRIGUEZ,F.(1980):La prueba de Pose con registrador externo.Analisis de los criterios clásicos y su relación con el diagnostico fetal. Progr.Obstet.Gynecol.23:67.

NAVARRETE,L.(1983):Registro continuo de la PO_2 fetal.En: Clínica Ginecológica.Salvat Editores.Barcelona.8/1:43-52.

NAVARRETE,L.;CHUNG,C.;SABATER,R.(1983):Registro continuo del pH fetal.En:Clínica Ginecológica.Salvat Editores.Barcelona.8/1:27-42.

NAVARRETE,L.;CLAVERO,P.(1987):Monitorización Biofísica Fetal:Patrones de F.C.F. En:Clínica Ginecológica.Salvat

Editores.Barcelona. (En prensa).

NEWMAN,W.;BRAID,D.;WOOD,C.(1967):Fetal acid-base status. Amer.J.Obstet.Gynec.97:43.

NICHOL,J.GIRHING,F.;JERRARD,N.;CLAXTON,E.B.;BARTON,A.C. (1951):Fundamental instability of the small blood vessels and critical closing pressures in vacular beds.Amer.J.Physiol.164:330.

NISWANDER,K.R.;GORDON,M.(1972):The women and their pregnancies.The Collaborative Perinatal Study of the National Institute of Neurological Diseases and Stroke. Philadelphia.W.B.Saunders Company.

NUWAYHID,B.S.(1981):Homeostasis fetal.En:Principles and Practice of Obstetrics and Perinatology:leslie Iffy.Harold,A.;Kaminetky,M.D.Editors.Volumen 1.USA.

ODENDALL,H.J.(1976):Fetal heart rate patterns in patients with intrauterine growth retardation.Obstet.Gynecol.48:187.

ORDENDALL,H.(1976):The influence of umbilical cord entanglement on fetal heart rate.S.Afr.Med.J.50.

O'GURECK.J.E.;ROUX,J.F.;NEWMAN,M.R.(1972):Neonatal depression and fetal heart rate patterns during labor.Obstet.-and Gynec.40:347.

O'LEARY,J.A.;ANDRINOPOULOS,G.C.;GIORDANO,P.C.(1980):Variable decelerations and the nonstress test:An indication of cord compromise.Amer.J.Obstet.Gynecol.704-706.

OSTERGARD,D.R.(1970):The physiology and clinical importance of amniotic fluid.Areview,Obstet.Gynecol.Survey.25:297.

OTT,W.J.(1976):Current status of intrapartum fetal monitoring.Obstet. and Gynec.31:339.

PARIKH,V.N.(1966):Effect of loop of cord arounc the neck of foetus on labour and its outcome.J.Obstet.Gynec.49:52.

PAUL,R.H.;HON,E.H.(1971):Clinical fetal monitoring.Obstet. Gynecol.37:779-784.

PAUL,R.H.;HON,E.H.(1972):Clinical fetal monitoring.V.Effect on perinatal outcome.Amer.J.Obstet.Gynecol.118:529-533.

PERSIANINOV,L.S.(1973):The effect of normal anc abnormal labour on the foetus:a survey.Acta Obstet.Gynec.Scand.52:29.

POMAHERRERA,P.;WEBSTER,A.;KEITH,L.G.(1970):The effects on progress in the first stage of labor:A retrospective study The Chicago Medical School Quartely.29:184.

PONTE,J.;PURVES,M.J.(1973):Types of afferent nervous activity which may be measured in the vagus nerve of sheep foe

tus.J.Physiol.229:51.

POSE,S.V.;ESCARCENA,L.;CALDEYRO-BARÇIA,R.(1963):La presión parcial de oxígeno en el feto durante el parto.Iv Congreso Mexicano de Ginecología y Obstetricia.II:41.

PHELAN,J.P.;LEWIS,P.E.(1981):Fetal Heart Rate Deceleration During Nonstress Test.Obstet. and Gynecology.228-232.

POWELL,O.H.;MELVILLE,A.;MACKENNA,J.(1979):Fetal heart rate acceleration in labor.Amer.J.Obstet.Gynecol.134:36.

PRAAGH,Z.V.;HENDRICKS,C.H.(1964):The effects of amniotomy during labor in multíparas.Obstet. and Gynec.24:184.

QUILLIGAN,E.M.;KATIGDAK,E.B.;NOWACEK,C.;CZARNECKI,N.(1964): Correlation of fetal heart rate patterms and blood gas va-- lues.Amer.J.Obstet.Gynecol.90:1343.

RATINOFF,I.(1978):Significación Clínica de la Bradicardia fetal continuada.Tesina.Facultad de medicina de Granada.

RAYBURN,W.F.;DUHRING,J.L.;DONALSON,M.(1978):A study of fe- tal accelerations test.Amer.J.Obstet.Gynecol.132:33.

READ,J.A.;MILLER,F.C.(1977):Fetal heart rate acceleration in response to acustic stimulation as a mesure of fetal -- wellbeing.Amer.J.Obstet.Gynecol.129:512.

RENOU,P.;NEWMAN,W.;WOOE.(1969):Autonomic control of fetal heart rate.Amer.J.Obstet.Gynecol.105:949.

REY,H.R.;BOWE,E.T.;JAMES,L.S.(1974):Impact of fetal heart rate monitoring and fetal blood sampling on infant mortality.Pediat.Res.8:176.

REYNOLDS,S.R.(1963):Maternal blood flow in the uterus and placenta.En W.F.Hamilton:Circulation.Vol.2.pág.1585.Baltimore.Williams and Wilkins.

RICHTER, et al.(1977):Significance of oscilation frecuency in intrapartum fetal monitoring.Obstet.Gynecol.50:694.

ROBINSON,H.P.;SHAW DUNN,J.(1973):Fetal heart rates as determined by sonar in early pregnancy.J.Obstet.Gynaecol.Brit.--Commonn.80:805.

ROCHARD,F. et al.(1976):Nonstressed fetal heart rate monitoring in the antepartum period.Amer.J.Obstet.Gynecol.126:699.

ROEMER,V.;BARTSCHI,R.(1973):Response of fetal acid-base balance to cord compression during parturition.Clinical Investigation.Arch.Gynak.215:133-156.

ROEMER,V.M.;HEINZL,S.;PETERS,F.D.;MIETZNER,S.;BRUHI,G.;HEERING,P.(1979):Oscilation-frequency and baseline fetal heart rate in the last 30 minutes of labour.Brit.Obstet.Gynaec.86:472.

ROOTH,G.;SJOSTEDT,S.;CALIGARA,F.(1962):Hydrogen concentration carbon dioxide tension and acid-base balance in blood of human umbilical cord and intervillous space of placenta. Arch.dis.Chilish 36:278.

RUDOLPH,A.M.;HEYMAN,M.A.(1970):Circulatory changes during growth in the fetal lamb.Circulat.Res.26:289.

RUDOLPH,A.M.(1978):Fetal cardiovascular responses to stress. In Kumar J.Rahtu M.(eds.).Perinatal Medicine.Oxford.Pergamon Press.

RUTTGGERS,H.;KUBLI,F.(1971):Effect of labour on feto maternal exchange.In Perinatal Medicine.Edit S.Karger.Basel Munchen.48-55.

RUTTGGERS.H. et al (1972):Die amtepartale fetale Herzfrequenz I:Verhalten von Gundfrequenzen, Fluctuation und Dezeleratio-nen in der ungestör ten schwangerschalt.Z.Geburts.Perinat.-176:294.

RUTTGGERS,H.(1974):Kritische Bilanz der ante und intrapartalen Kardiotocographie.Gynäkol.7:13.

SABATER TOBELLA,J.;SALES CSONKA,M.(1982):Conceptos preliminares sobre el equilibrio acidobasico.Clínica Ginecológica. Salvat Editores.8/1:1-26.

SABATINO,H.et al(1973):Modificaciones producidas en el medio interno fetal por una oclusión transitoria de los vasos umbilicales.Comunicación presentada al XI Congreso Latino Americano de Ciencias Fisiológicas.Mendoza.Argentina.

SALING,E.(1962):A new method for examination of the child -- during labor, introduction technic and principies. Arch.---- Gynecol.197:108.

SALING,E.(1971):El niño desde el punto de vista obstétrico. Ed.Científico Médica.Barcelona.

SALING,E.(1972):The technical and theoretical problems in -- the Electronic Monitoring of the Human Heart.Int.J.Gynaec. Obstet.10:211-214.

SANCHEZ RAMOS,J.E. et al(1972):Los problemas funiculares.Primera parte.Su repercusión en la frecuencia cardiaca fetal.-- Acta Gin.23:433.

SANCHEZ RAMOS,J.E. et al(1974):Contribución al estudio del - patrón "Aceleraciones transitorias" de la frecuencia cardiaca fetal.Acta Gin.25:539.

SANTISIMO SACRAMENTO,J.L.;SANCHEZ RAMOS,J.E.;FABRE GONZALEZ. (1974):Los problemas funiculares.Segunda parte.Su repercu - sión en el equilibrio ácido-base del feto.Acta Gin.25:513-- 521.

SANTONJA LUCAS,L.;MARTINEZ GONZALEZ,L.;BONILLA MUSOLES,F. (1975):Atlas de Cardiotocografía.Ed.Científico.Médica.

SCHIFFERLI,P.Y.;CALDEYRO-BARÇIA,R.(1973):Effects of atropine and beta adrenergic drugs on the heart rate of the - human fetus.In Boreus L.(ed.):Fetal Pharmacology.New York Raven Press.

SCHWARCZ,R.L.;STRADA,G.;SAENZ,G.;ALTHABE,O.;FERNANDEZ FUNES,J.;CALDEYRO-BARÇIA,R.(1969):Pressure exerted by uterine contractions on the head or the human fetus during labor.In:Perinatal Factors Affecting Human Development.Pan American Heart Organization.Scientific Publication.Nº185.

SCHWARCZ,R.O.;ALTHABE,R.;BELITZKY,J.L.;LANCHARES,R.;ALVAREZ,P.;BERDAGUER,H.;CAPURRO,J.M.;BELIZAN,J.H.;SABATINO,C.; ABUALEME,C.;CALDEYRO-BARÇIA,R.(1973):Fetal heart rate patterms in labors with intact and ruptured membranas.J.Perinat.Med.153.

SCHWENZEL,N.;CLOSS,H.P.;LAMBERTI,G.(1972):Die Nabelschnurkomplication als ante und intrpartales Gefahrenmoment unter Berücksichtgung Kardiotokographischer und blutgasanalytischer Befunde.In Fortschritte der perinatalen Medizin,4.Deutscher Kongres für Perinatale Medizin.Berlin.1971.In:Perinatale - Medizin,Bd.III,S.385,hrsg von:E.Saling J.W. Dudenhausen - Thieme,Stuttgart.

SHENKER,L.(1973):Clinical ezperiences with fetal heart rate monitoring of one thousand patient in labor.Amer.J.Obste. Gynecol.115:1111-1116.

SHENKER,L.;POST,R.C.;SEILER,J.S.(1975):Routine electronic monitoring of fetal heart rate and uterina activity during labor.Obstet.gynec.46:185.

SHICK,R.(1976):Rytme cardiaque foetale pendant la grossesse En Symposium sur la Surveillance Foetale.Ed. por Michel Tournaire.Paris Kontrom Int.Med.Div.125.

SHUI,K.P.;EASTMAN,N.J.(1957):Coiling of the umbilical cord around the fetal neck.J.Obstet.Gynec/brit.Emp.64:227.

SINNATHURAY,T.A.(1966):The nuchal cord incidence and significance.J.Obstet.gynec.Brit.Cwlth.73:226.

SMITH,R.W.;MORRIS,J.A.;ASSALI,N.S.(1964):Effects of chemical mediators on the pulmonary and ductus arteriosus circulation in the fetal lamb.Ame.J.Obstet.gynecol.89:252.

SOLUM,T.;INGERMARSSAN,I.;SJOBERG,M.(1979):Selection criteria for antenatale cardiotocography.Z.Geburtshilte.Perinatol.183:212.

SPELLACY,W.N.;GRAVEN,H.;FISCH,R.C.(1966(:The umbilical cord complications for true knots, nuchal coils and cord around

the body.Report from the collaborative study of cerebral palsy.Amer.J.Obstet.Gynecol.94:1136-1141.

SPIVACK.M.(1943):On the presence or absence of Nerves in the Umbilical Vessels of Man and Guinea Pigs.Anat.Rec.85: 85-109.

STANLEY,L;MING-NENG YEH;HISAYO,O.;MORISHIMA.O. et al.(1976): Umbilical vein occlusion and transient acceleration of the fetal heart rate.Experimental observations in subhuman primates.Amer.J.Obstet.Gynecol.15:276-283.

STEER,P.J.;LITTLE,D.J.;LEWIS,N.L. et al.(1976):The effects of membrane rupture on fetal heart rate in induced labour. Obstet.Gynec.83/6:454-459.

STEMBERA,Z.K.;HORSKA,S.(1972):The influence of Coiling of the Umbilical Cord around the Neck of the Fetus on its Gas Metabolism and Acid Base Balance.Biol.Neonate.20:214-225.

SUREAU,C.CHAVINIE,J.;MICHELON,B.;FELDMAN,J.P.;CANNON,M. (1970):Le probléme du rythme cardiaque foetal.Difficultú d'interpretation.Solution techniques.Gynec et Obst.69:259.

SUREAU,C.(1977):Electronic and clinical measurement.En Cien tific foundations of Obstetricx and Gynecology.882.

SZE YA YEN;HON,E.H.(1968):Umbilical core complications du-

ring childbirth.Ginak.1:71.

TEJANI,N.;MANN,L.;BHAKTHAVATHSALAN,A.;WEISS,R.(1975):Correlación entre los patrones de la F.C.F. y el pH sanguíneo - del cuero cabelludo fetal.Obstet.Gynecol.46:392.

TEJANI,N. et al.(1977):Associtión of umbilical cord complications and variable deceleration with acid-base findings. Obstet.Gynecol.49:159-162.

THOULON,J.M.;VARNIER,C.(1972):L'equilibre acido-basique du nouveau né á la naissance en fonction des facteurs obstetricaux.Rev.Franc.Gynec.67.715.

THOULON,J.M.;GRANIERE,M.(1977):Le monitorage Obstetrical.Ed. Masson.Paris.

THOULON.J.M.;SELIGMANN,G.(1978):The influence of medicaments on the fetal heart beat.Rev.Fr.Gynecol.Obstet.73:309.

TIMOR TRITSCH,I.E.;DIERKER,L.;ZADOR,J. et.al.(1978):Fetal - movements associated with fetal heart rate accelerations and decelerations.Amer.J.Obstet/gynec/131:276.

TIPTON,R.H.;CHANG,A.M.(1971):Nuchal encirclement by umbilical cord.J.Obstet.Gynaec.Brit.Cwlth.78:901.

TOWEL,M.E.(1981):Asfixia intrauterina por compresión del -

cordón umbilical.En:Biología y Ecología Fetal.Ed.Salvat. Barcelona.663-668.

USANDIZAGA,J.A.( ):Fisiopatología y medios de detección del sufrimiento fetal pre e intraparto.Toko Gin.Pract.25:463.

URBACH,J.R.;PHUVICHIET,B.;ZWEITIG,H. et al.(1965):Instantaneous heart rate patterns in newborn infants.Amer.J.Obstet. Gyneco.93:965.

VAN LIERE,E.J.(1942):Anoxia its Effects on the Body.Univ.Chicago Press. Chicago.

VEDRA.B;(1964):Oxygen and lactate levels in the umbilical -- vein blood of normal and asphyxiated newborn infants.Amer. J.Obstet.Gynec.88:802-815.

VERGES TORRES,A.;ARTO MEDRANO,F.(1968):Influencia de las - circulares de cordón sobre los signos de sufrimiento fetal Acta.Obstet.Ginec.Hisp.Lusit.16:33.

WALKER,J.(1954):Fetal anoxia.J.Obstet.Gynaecol.Brit.Commonv. 61:162-180.

WALKER,J.(1959):Fetal distress.Amer.J.Obstet.Gynec.77:94.

WALKER,C.W.;PYE,B.G.(1960):The length of human umbilical -- cord, a statistical report.Brit.Med.J.5:546.

WALKER,D.;WALKER,A.;WOOD,C.(1969):Temperature of the human fetus.Brit.J.Obstet.Gynecol.78:1.

WALKER,D.;GRIMWADE,J.;WOOD,C.(1973):The effects of pressure on fetal heart rate.Obstet.Gynec.41:351.

WALKER,D.(1974):"In vitro" Obsrevations on the function of the sinoatrial node in the human fetus, with a comment on fetal heart rate throughout pregnancy.Biol.Neonate.24:138.

WALSH,S.Z.;MEYER,W.W.;LIND,J.(1974):Fetal Circulation In: The fetal and neonatal circulation.Springfield,Illinois. - Charles C. Thonson Publ.

WEBER,J.(1963):Constriction of the umbilical cord as cause of fetal death.Acta Obstet.Gynec.Scand.42:259.

WEBER.J.(1981):"The influence of cord complications on fetal pH, neonatal Apgar score and the acid base state and - oxygenation of the umbilical artery and vein".J.Perinat.- Med.9:134-140.

WELFORD,N.T.;SONTAG,L.W.(1969):Fecording fetal heart rate as a behavioural message.Amer.J.Physiol.24:276.

WELT,S.I.(1984):The fetal heart rate W-Sing.Obstetrics and Gynecology.63:405-408.

WETRICH,D.W.(1970):Effects of amniotomy upon labor.Obstet. and Gynec.35:800.

WOOD,C.;PINKERTON,J.H.(1961):Fetal distress.J.Obstet.Gynec. Brit.Commonw.68:427-437.

WOOD,C. et al.(1969):Classification of fetal heart rate in relation to fetal scalp blood measurements and Apgar score. Amer.J.Obstet.Gynec.105:942.

WOOD,C.;HAMMOND,J.;LUMLEY,J.;NEWMAN,W.(1971):Effects of maternal inhalation of 10% oxygen upon the human fetus.Aust. NZ.J.Obstet.Gynaecol.11:85.

WOO,C.;WALKER,A.(1981):Frecuencia cardiaca fetal:Control - autonómico y factores que influyen en él.En:Biología y Ecología fetal.Salvat Editores.Barcelona.

YEH,M.;MORISHIMA,H.O.;NIEMANN,W.H. et al.(1975):Myocardial conduction defects in association with compression of the umbilical cord.Experimental observations on fetal baboons. Amer.J.Obstet.Gynecol.125:951.

YOUNG,B.K.;NEINSTEIN,H.M.(1976):Moderate fetal bradicardia Amer.J.Obstet.Gynecol.126:271.

ZAITEV,N.D.(1959):Development of neural elements in the umbilical cord.Arch.Anat.Histol.Embryol.37:81.

PROTOCOLOS.

HOJA CODIFICADA PARA EL ESTUDIO DE LAS VARIACIONES CARDIOTOCOGRAFICAS ATRIBUIDAS A LAS CIRCULARES DEL CORDON UMBILICAL

NOMBRE Y APELLIDOS:

GRUPO ESTUDIADO [0] Nº DE Hª DE D.C. [2 3 4 5 6 7: 0 8 2 8 5 8] Nº DE UCIP [8 9 10 11 12: 1 3 0 2 4]

BOLSA [13: 1] L.A. [14: 1] MECONIO [15: 1] SEMANA DE AMENORREA [16 17: 3 6] SEXO [18: 0]

VITALIDAD [19: 1] EDAD MATERNA [20 21: 3 8] PARIDAD [22 23: 0 1] PESO DEL R.N. [24 25 26 27: 2 5 8 0]

FORMA DE TERMINACION DEL PARTO [28: 1] LONGITUD DEL CORDON [29 30: 5 5] APGAR-1 [31 32: 0 0]

APGAR-5 [33 34: 0 0] MORBILIDAD [35: 3]

MADRE: PO_2 [36 37: - ?] PCO_2 [38 39: - ?] D.B. [40 41 42: - ? -] HCO_3^- [43 44: ? -] P^H [45 46 47: - ? -]

FETO: ARTERIA. PO_2 [48 49: - -] PCO_2 [50 51: - -] D.B. [52 53 54: - - - -] HCO_3^- [55 56: - -] P^H [57 58 59: - - - -]

VENA. PO_2 [60 61: - -] PCO_2 [62 63: - -] D.B. [64 65 66: - - - -] HCO_3^- [67 68: - -] P^H [69 70 71: - - - -]

TIPO DE ACIDOSIS MATERNA [72: -] TIPO DE ACIDOSIS FETAL [73: -] Δ-P^H MADRE-FETO [74 75: - -]

Δ-P^H VENA UMBILICAL-ARTERIA UMBILICAL [76 77: - -] PROMEDIO DE ASCENSOS ?. [78 79: 0 0]

PROMEDIO DE ASCENSOS TRANSITORIOS QUE COINCIDEN CON LA CONTRACCION [80 81: 0 0]

TAQUICARDIA [82: 0] BRADICARDIA [83: 0] VARIABILIDAD DE LA FCF [84 85: 0 6] DIP-I: [86 87: 0 0]

DIP-II [88 89: 0 0] TOTAL DIPS UMBILICALES [90 91: 0 0] DIP-U [92 93: 0 0] $DIP\text{-}U_p$ [94 95: 0 0]

$DIP\text{-}U_t$ [96 97: 0 0] $DIP\text{-}U_a$ [98 99: 0 0] $DIP\text{-}U_{ap}$ [100 101: 0 0] $DIP\text{-}U_{at}$ [102 103: 0 0] $DIP\text{-}U_\lambda$ [104 105: 0 0]

$DIP\text{-}U_{\lambda p}$ [106 107: 0 0] $DIP\text{-}U_{\lambda t}$ [108 109: 0 0] DIP-V [110 111: 0 0] $DIP\text{-}V_p$ [112 113: 0 0]

$DIP\text{-}V_t$ [114 115: 0 0] $DIP\text{-}V_b$ [116 117: 0 0] NUMERO DE CONTRACCIONES [118 119 120: 0 2 4]

NUMERO DE MINUTOS REGISTRADOS [121 122 123: 4 1 7]

HOJA CODIFICADA PARA EL ESTUDIO DE LAS VARIACIONES CARDIOTOCOGRAFICAS ATRIBUIDAS A LAS CIRCULARES DEL CORDON UMBILICAL

NOMBRE Y APELLIDOS:

GRUPO ESTUDIADO [0] Nº DE Hª DE D.C. [2 3 4 5 6 7: 0 9 3 3 9 6] Nº DE UCIP [8 9 10 11 12: 1 5 4 5 6]

BOLSA [13: 0] L.A. [14: 2] MECONIO [15: 2] SEMANA DE AMENORREA [16 17: 4 0] SEXO [18: 0]

VITALIDAD [19: 0] EDAD MATERNA [20 21: 2 4] PARIDAD [22 23: 0 0] PESO DEL R.N. [24 25 26 27: 3 6 5 0]

FORMA DE TERMINACION DEL PARTO [28: 0] LONGITUD DEL CORDON [29 30: 5 5] APGAR-1 [31 32: 0 9]

APGAR-5 [33 34: 1 0] MORBILIDAD [35: 0]

MADRE: PO_2 [36 37: 7 9] PCO_2 [38 39: 2 9] D.B. [40 41 42: - - 7] HCO_3^- [43 44: 1 7] P^H [45 46 47: 7 3 7]

FETO: ARTERIA. PO_2 [48 49: 1 6] PCO_2 [50 51: 4 8] D.B. [52 53 54: - 1 1] HCO_3^- [55 56: 1 7] P^H [57 58 59: 7 1 7]

VENA. PO_2 [60 61: 2 9] PCO_2 [62 63: 3 9] D.B. [64 65 66: - - 9] HCO_3^- [67 68: 1 7] P^H [69 70 71: 7 2 5]

TIPO DE ACIDOSIS MATERNA [72: 0] TIPO DE ACIDOSIS FETAL [73: 3] Δ-P^H MADRE-FETO [74 75: 1 2]

Δ-P^H VENA UMBILICAL-ARTERIA UMBILICAL [76 77: 0 8] PROMEDIO DE ASCENSOS ?. [78 79: 2 5]

PROMEDIO DE ASCENSOS TRANSITORIOS QUE COINCIDEN CON LA CONTRACCION [80 81: 0 5]

TAQUICARDIA [82: 0] BRADICARDIA [83: 0] VARIABILIDAD DE LA FCF [84 85: 0 7] DIP-I [86 87: 0 0]

DIP-II [88 89: 0 0] TOTAL DIPS UMBILICALES [90 91: 0 0] DIP-U [92 93: 0 0] $DIP\text{-}U_p$ [94 95: 0 0]

$DIP\text{-}U_t$ [96 97: 0 0] $DIP\text{-}U_a$ [98 99: 0 0] $DIP\text{-}U_{ap}$ [100 101: 0 0] $DIP\text{-}U_{at}$ [102 103: 0 0] $DIP\text{-}U_\lambda$ [104 105: 0 0]

$DIP\text{-}U_{\lambda p}$ [106 107: 0 0] $DIP\text{-}U_{\lambda t}$ [108 109: 0 0] DIP-V [110 111: 0 0] $DIP\text{-}V_p$ [112 113: 0 0]

$DIP\text{-}V_t$ [114 115: 0 0] $DIP\text{-}V_b$ [116 117: 0 0] NUMERO DE CONTRACCIONES [118 119 120: 0 2 4]

NUMERO DE MINUTOS REGISTRADOS [121 122 123: 1 6 9]

HOJA CODIFICADA PARA EL ESTUDIO DE LAS VARIACIONES CARDIOTOCOGRAFICAS ATRIBUIDAS A LAS CIRCULARES DEL CORDON UMBILICAL

NOMBRE Y APELLIDOS:

GRUPO ESTUDIADO [0] Nº DE Hª DE D.C. [2 3 4 5 6 7: 0 7 6 8 5 1] Nº DE UCIP [8 9 10 11 12: 1 3 6 3 3]

BOLSA [13: 1] L.A. [14: 0] MECONIO [15: 0] SEMANA DE AMENORREA [16 17: 3 9] SEXO [18: 0]

VITALIDAD [19: 0] EDAD MATERNA [20 21: 2 0] PARIDAD [22 23: 0 0] PESO DEL R.N. [24 25 26 27: 2 7 8 0]

FORMA DE TERMINACION DEL PARTO [28: 0] LONGITUD DEL CORDON [29 30: 5 0] APGAR-1 [31 32: 0 8]

APGAR-5 [33 34: 1 0] MORBILIDAD [35: 0]

MADRE: PO_2 [36 37: 7 5] PCO_2 [38 39: 2 1] D.B. [40 41 42: - - 7] HCO_3^- [43 44: 1 3] P^H [45 46 47: 7 4 2]

FETO: ARTERIA. PO_2 [48 49: 1 3] PCO_2 [50 51: 4 5] D.B. [52 53 54: - 1 4] HCO_3^- [55 56: 1 6] P^H [57 58 59: 7 1 5]

VENA. PO_2 [60 61: 1 9] PCO_2 [62 63: 4 2] D.B. [64 65 66: - 1 3] HCO_3^- [67 68: 1 6] P^H [69 70 71: 7 2 0]

TIPO DE ACIDOSIS MATERNA [72: 0] TIPO DE ACIDOSIS FETAL [73: 2] Δ-P^H MADRE-FETO [74 75: 2 2]

Δ-P^H VENA UMBILICAL-ARTERIA UMBILICAL [76 77: 0 5] PROMEDIO DE ASCENSOS ?. [78 79: 2 6]

PROMEDIO DE ASCENSOS TRANSITORIOS QUE COINCIDEN CON LA CONTRACCION [80 81: 0 0]

TAQUICARDIA [82: 0] BRADICARDIA [83: 0] VARIABILIDAD DE LA FCF [84 85: 0 5] DIP-I [86 87: 0 0]

DIP-II [88 89: 0 0] TOTAL DIPS UMBILICALES [90 91: 0 0] DIP-U [92 93: 0 0] $DIP\text{-}U_p$ [94 95: 0 0]

$DIP\text{-}U_t$ [96 97: 0 0] $DIP\text{-}U_a$ [98 99: 0 0] $DIP\text{-}U_{ap}$ [100 101: 0 0] $DIP\text{-}U_{at}$ [102 103: 0 0] $DIP\text{-}U_\lambda$ [104 105: 0 0]

$DIP\text{-}U_{\lambda p}$ [106 107: 0 0] $DIP\text{-}U_{\lambda t}$ [108 109: 0 0] DIP-V [110 111: 0 0] $DIP\text{-}V_p$ [112 113: 0 0]

$DIP\text{-}V_t$ [114 115: 0 0] $DIP\text{-}V_b$ [116 117: 0 0] NUMERO DE CONTRACCIONES [118 119 120: 0 0 4]

NUMERO DE MINUTOS REGISTRADOS [121 122 123: 0 8 0]

HOJA CODIFICADA PARA EL ESTUDIO DE LAS VARIACIONES CARDIOTOCOGRAFICAS ATRIBUIDAS A LAS CIRCULARES DEL CORDON UMBILICAL

NOMBRE Y APELLIDOS:

GRUPO ESTUDIADO [0] Nº DE Hª DE D.C. [2 3 4 5 6 7: 0 9 4 4 4 2] Nº DE UCIP [8 9 10 11 12: 1 6 9 6 2]

BOLSA [13: 0] L.A. [14: 1] MECONIO [15: 1] SEMANA DE AMENORREA [16 17: 3 7] SEXO [18: 0]

VITALIDAD [19: 0] EDAD MATERNA [20 21: 3 0] PARIDAD [22 23: 0 2] PESO DEL R.N. [24 25 26 27: 3 8 0 0]

FORMA DE TERMINACION DEL PARTO [28: 4] LONGITUD DEL CORDON [29 30: 6 0] APGAR-1 [31 32: 0 1]

APGAR-5 [33 34: 0 9] MORBILIDAD [35: 0]

MADRE: PO_2 [36 37: 9 9] PCO_2 [38 39: 2 3] D.B. [40 41 42: - - 7] HCO_3^- [43 44: 2 8] P^H [45 46 47: 7 4 3]

FETO: ARTERIA. PO_2 [48 49: 1 6] PCO_2 [50 51: 4 5] D.B. [52 53 54: - - 6] HCO_3^- [55 56: 5 0] P^H [57 58 59: 7 2 3]

VENA. PO_2 [60 61: 0 7] PCO_2 [62 63: 5 2] D.B. [64 65 66: - - 7] HCO_3^- [67 68: 5 2] P^H [69 70 71: 7 2 9]

TIPO DE ACIDOSIS MATERNA [72: 0] TIPO DE ACIDOSIS FETAL [73: 0] Δ-P^H MADRE-FETO [74 75: 1 4]

Δ-P^H VENA UMBILICAL-ARTERIA UMBILICAL [76 77: 0 6] PROMEDIO DE ASCENSOS ?. [78 79: 4 9]

PROMEDIO DE ASCENSOS TRANSITORIOS QUE COINCIDEN CON LA CONTRACCION [80 81: 0 0]

TAQUICARDIA [82: 0] BRADICARDIA [83: 0] VARIABILIDAD DE LA FCF [84 85: 0 7] DIP-I [86 87: 0 0]

DIP-II [88 89: 0 0] TOTAL DIPS UMBILICALES [90 91: 0 0] DIP-U [92 93: 0 0] $DIP\text{-}U_p$ [94 95: 0 0]

$DIP\text{-}U_t$ [96 97: 0 0] $DIP\text{-}U_a$ [98 99: 0 0] $DIP\text{-}U_{ap}$ [100 101: 0 0] $DIP\text{-}U_{at}$ [102 103: 0 0] $DIP\text{-}U_\lambda$ [104 105: 0 0]

$DIP\text{-}U_{\lambda p}$ [106 107: 0 0] $DIP\text{-}U_{\lambda t}$ [108 109: 0 0] DIP-V [110 111: 0 0] $DIP\text{-}V_p$ [112 113: 0 0]

$DIP\text{-}V_t$ [114 115: 0 0] $DIP\text{-}V_b$ [116 117: 0 0] NUMERO DE CONTRACCIONES [118 119 120: 0 0 0]

NUMERO DE MINUTOS REGISTRADOS [121 122 123: 0 8 5]

HOJA CODIFICADA PARA EL ESTUDIO DE LAS VARIACIONES CARDIOTOCOGRAFICAS ATRIBUIDAS A LAS CIRCULARES DEL CORDON UMBILICAL

NOMBRE Y APELLIDOS:

GRUPO ESTUDIADO [0] Nº DE Hª DE D.C. [0 6 6 2 3 4] Nº DE UCIP [1 6 9 8 2]

BOLSA [0] L.A. [2] MECONIO [0] SEMANA DE AMENORREA [3 6] SEXO [0]

VITALIDAD [0] EDAD MATERNA [2 1] PARIDAD [0 2] PESO DEL R.N. [2 5 6 0]

FORMA DE TERMINACION DEL PARTO [0] LONGITUD DEL CORDON [5 0] APGAR-1 [0 3]

APGAR-5 [0 7] MORBILIDAD [0]

MADRE: PO_2 [9 6] PCO_2 [2 9] D.B. [- 1 7] HCO_3^- [1 6] P^H [7 4 1]

FETO: ARTERIA. PO_2 [2 1] PCO_2 [4 2] D.B. [- 9] HCO_3^- [1 8] P^H [7 2 4]

VENA. PO_2 [3 1] PCO_2 [3 2] D.B. [- 3] HCO_3^- [2 1] P^H [7 3 9]

TIPO DE ACIDOSIS MATERNA [0] TIPO DE ACIDOSIS FETAL [2] Δ-P^H MADRE-FETO [0 2]

Δ-P^H VENA UMBILICAL-ARTERIA UMBILICAL [1 5] PROMEDIO DE ASCENSOS ?. [0 5]

PROMEDIO DE ASCENSOS TRANSITORIOS QUE COINCIDEN CON LA CONTRACCION [0 0]

TAQUICARDIA [0] BRADICARDIA [0] VARIABILIDAD DE LA FCF [0 6] DIP-I [0 0]

DIP-II [0 0] TOTAL DIPS UMBILICALES [0 0] DIP-U [0 0] $DIP\text{-}U_p$ [0 0]

$DIP\text{-}U_t$ [0 0] $DIP\text{-}U_v$ [0 0] $DIP\text{-}U_{vp}$ [0 0] $DIP\text{-}U_{vt}$ [0 0] $DIP\text{-}U_\lambda$ [0 0]

$DIP\text{-}U_{\lambda p}$ [0 0] $DIP\text{-}U_{\lambda t}$ [0 0] DIP-V [0 0] $DIP\text{-}V_p$ [0 0]

$DIP\text{-}V_t$ [0 0] $DIP\text{-}V_b$ [0 0] NUMERO DE CONTRACCIONES [0 1 5]

NUMERO DE MINUTOS REGISTRADOS [0 6 0]

HOJA CODIFICADA PARA EL ESTUDIO DE LAS VARIACIONES CARDIOTOCOGRAFICAS ATRIBUIDAS A LAS CIRCULARES DEL CORDON UMBILICAL

NOMBRE Y APELLIDOS:

GRUPO ESTUDIADO [0] Nº DE Hª DE D.C. [0 5 6 5 3 3] Nº DE UCIP [0 8 6 4 1]

BOLSA [0] L.A. [2] MECONIO [1] SEMANA DE AMENORREA [4 0] SEXO [0]

VITALIDAD [0] EDAD MATERNA [4 0] PARIDAD [0 2] PESO DEL R.N. [4 7 5 0]

FORMA DE TERMINACION DEL PARTO [4] LONGITUD DEL CORDON [5 0] APGAR-1 [0 4]

APGAR-5 [0 8] MORBILIDAD [0]

MADRE: PO_2 [8 0] PCO_2 [3 5] D.B. [- 2] HCO_3^- [2 2] P^H [7 4 1]

FETO: ARTERIA. PO_2 [0 9] PCO_2 [8 4] D.B. [- 1 2] HCO_3^- [2 2] P^H [7 0 2]

VENA. PO_2 [1 7] PCO_2 [4 8] D.B. [- 1 2] HCO_3^- [2 1] P^H [7 0 6]

TIPO DE ACIDOSIS MATERNA [0] TIPO DE ACIDOSIS FETAL [3] Δ-P^H MADRE-FETO [3 5]

Δ-P^H VENA UMBILICAL-ARTERIA UMBILICAL [0 5] PROMEDIO DE ASCENSOS ?. [5 7]

PROMEDIO DE ASCENSOS TRANSITORIOS QUE COINCIDEN CON LA CONTRACCION [2 1]

TAQUICARDIA [0] BRADICARDIA [1] VARIABILIDAD DE LA FCF [0 7] DIP-I [0 0]

DIP-II [0 0] TOTAL DIPS UMBILICALES [0 4] DIP-U [0 0] $DIP\text{-}U_p$ [0 0]

$DIP\text{-}U_t$ [0 0] $DIP\text{-}U_v$ [0 0] $DIP\text{-}U_{vp}$ [0 0] $DIP\text{-}U_{vt}$ [0 0] $DIP\text{-}U_\lambda$ [0 0]

$DIP\text{-}U_{\lambda p}$ [0 4] $DIP\text{-}U_{\lambda t}$ [0 0] DIP-V [0 0] $DIP\text{-}V_p$ [0 0]

$DIP\text{-}V_t$ [0 0] $DIP\text{-}V_b$ [0 0] NUMERO DE CONTRACCIONES [0 2 6]

NUMERO DE MINUTOS REGISTRADOS [1 5 9]

HOJA CODIFICADA PARA EL ESTUDIO DE LAS VARIACIONES CARDIOTOCOGRAFICAS ATRIBUIDAS A LAS CIRCULARES DEL CORDON UMBILICAL

NOMBRE Y APELLIDOS:

GRUPO ESTUDIADO [0] Nº DE Hª DE D.C. [0 5 2 8 8 1] Nº DE UCIP [1 7 4 3 8]

BOLSA [0] L.A. [2] MECONIO [0] SEMANA DE AMENORREA [4 1] SEXO [1]

VITALIDAD [0] EDAD MATERNA [2 8] PARIDAD [0 1] PESO DEL R.N. [2 9 2 0]

FORMA DE TERMINACION DEL PARTO [0] LONGITUD DEL CORDON [5 0] APGAR-1 [0 5]

APGAR-5 [0 9] MORBILIDAD [0]

MADRE: PO_2 [9 8] PCO_2 [1 5] D.B. [- 1 0] HCO_3^- [1 0] P^H [7 4 4]

FETO: ARTERIA. PO_2 [1 3] PCO_2 [4 2] D.B. [- 1 1 7] HCO_3^- [1 3] P^H [7 1 0]

VENA. PO_2 [1 7] PCO_2 [3 8] D.B. [- 1 1] HCO_3^- [1 5] P^H [7 2 3]

TIPO DE ACIDOSIS MATERNA [0] TIPO DE ACIDOSIS FETAL [2] Δ-P^H MADRE-FETO [2 7]

Δ-P^H VENA UMBILICAL-ARTERIA UMBILICAL [1 3] PROMEDIO DE ASCENSOS ?. [1 8]

PROMEDIO DE ASCENSOS TRANSITORIOS QUE COINCIDEN CON LA CONTRACCION [0 8]

TAQUICARDIA [0] BRADICARDIA [0] VARIABILIDAD DE LA FCF [0 7] DIP-I [0 0]

DIP-II [0 0] TOTAL DIPS UMBILICALES [0 0] DIP-U [0 0] $DIP\text{-}U_p$ [0 0]

$DIP\text{-}U_t$ [0 0] $DIP\text{-}U_v$ [0 0] $DIP\text{-}U_{vp}$ [0 0] $DIP\text{-}U_{vt}$ [0 0] $DIP\text{-}U_\lambda$ [0 0]

$DIP\text{-}U_{\lambda p}$ [0 0] $DIP\text{-}U_{\lambda t}$ [0 0] DIP-V [0 0] $DIP\text{-}V_p$ [0 0]

$DIP\text{-}V_t$ [0 0] $DIP\text{-}V_b$ [0 0] NUMERO DE CONTRACCIONES [0 0 8]

NUMERO DE MINUTOS REGISTRADOS [1 1 4]

HOJA CODIFICADA PARA EL ESTUDIO DE LAS VARIACIONES CARDIOTOCOGRAFICAS ATRIBUIDAS A LAS CIRCULARES DEL CORDON UMBILICAL

NOMBRE Y APELLIDOS:

GRUPO ESTUDIADO [0] Nº DE Hª DE D.C. [0 9 4 1 8 7] Nº DE UCIP [1 5 6 6 6]

BOLSA [0] L.A. [3] MECONIO [2] SEMANA DE AMENORREA [4 1] SEXO [0]

VITALIDAD [0] EDAD MATERNA [2 0] PARIDAD [0 0] PESO DEL R.N. [3 3 0 0]

FORMA DE TERMINACION DEL PARTO [0] LONGITUD DEL CORDON [5 0] APGAR-1 [0 6]

APGAR-5 [0 9] MORBILIDAD [0]

MADRE: PO_2 [7 9] PCO_2 [2 6] D.B. [- 9] HCO_3^- [1 4] P^H [7 3 6]

FETO: ARTERIA. PO_2 [1 7] PCO_2 [4 4] D.B. [- 1 0] HCO_3^- [1 8] P^H [7 2 2]

VENA. PO_2 [2 6] PCO_2 [3 6] D.B. [- 9] HCO_3^- [1 6] P^H [7 2 7]

TIPO DE ACIDOSIS MATERNA [0] TIPO DE ACIDOSIS FETAL [0] Δ-P^H MADRE-FETO [0 9]

Δ-P^H VENA UMBILICAL-ARTERIA UMBILICAL [0 5] PROMEDIO DE ASCENSOS ?. [1 2]

PROMEDIO DE ASCENSOS TRANSITORIOS QUE COINCIDEN CON LA CONTRACCION [0 0]

TAQUICARDIA [0] BRADICARDIA [0] VARIABILIDAD DE LA FCF [0 4] DIP-I [0 0]

DIP-II [0 0] TOTAL DIPS UMBILICALES [0 0] DIP-U [0 0] $DIP\text{-}U_p$ [0 0]

$DIP\text{-}U_t$ [0 0] $DIP\text{-}U_v$ [0 0] $DIP\text{-}U_{vp}$ [0 0] $DIP\text{-}U_{vt}$ [0 0] $DIP\text{-}U_\lambda$ [0 0]

$DIP\text{-}U_{\lambda p}$ [0 0] $DIP\text{-}U_{\lambda t}$ [0 0] DIP-V [0 0] $DIP\text{-}V_p$ [0 0]

$DIP\text{-}V_t$ [0 0] $DIP\text{-}V_b$ [0 0] NUMERO DE CONTRACCIONES [0 0 0]

NUMERO DE MINUTOS REGISTRADOS [0 1 6]

HOJA CODIFICADA PARA EL ESTUDIO DE LAS VARIACIONES CARDIOTOCOGRAFICAS ATRIBUIDAS A LAS CIRCULARES DEL CORDON UMBILICAL

NOMBRE Y APELLIDOS:

GRUPO ESTUDIADO 1: 0 | Nº DE Hª DE D.C. 2 3 4 5 6 7: 0 9 4 0 9 9 | Nº DE UCIP 8 9 10 11 12: 1 5 3 2 9

BOLSA 13: 0 | L.A. 14: 3 | MECONIO 15: 1 | SEMANA DE AMENORREA 16 17: 3 9 | SEXO 18: 0

VITALIDAD 19: 0 | EDAD MATERNA 20 21: 3 2 | PARIDAD 22 23: 0 3 | PESO DEL R.N. 24 25 26 27: 3 3 5 0

FORMA DE TERMINACION DEL PARTO 28: 4 | LONGITUD DEL CORDON 29 30: 6 5 | APGAR-1 31 32: 0 6

APGAR-5 33 34: 1 0 | MORBILIDAD 35: 1

MADRE: PO_2 36 37: 9 0 | PCO_2 38 39: 3 2 | D.B. 40 41 42: - 4 | HCO_3^- 43 44: 1 9 | P^H 45 46 47: 7 4 1

FETO: ARTERIA. PO_2 48 49: 0 6 | PCO_2 50 51: 7 5 | D.B. 52 53 54: - 1 6 | HCO_3^- 55 56: 1 7 | P^H 57 58 59: 6 9 7

VENA. PO_2 60 61: 3 0 | PCO_2 62 63: 5 4 | D.B. 64 65 66: - 1 4 | HCO_3^- 67 68: 1 7 | P^H 69 70 71: 7 1 0

TIPO DE ACIDOSIS MATERNA 72: 0 | TIPO DE ACIDOSIS FETAL 73: 3 | Δ-P^H MADRE-FETO 74 75: 3 1

Δ-P^H VENA UMBILICAL-ARTERIA UMBILICAL 76 77: 1 3 | PROMEDIO DE ASCENSOS ?. 78 79: 5 3

PROMEDIO DE ASCENSOS TRANSITORIOS QUE COINCIDEN CON LA CONTRACCION 80 81: 0 0

TAQUICARDIA 82: 0 | BRADICARDIA 83: 0 | VARIABILIDAD DE LA FCF 84 85: 1 2 | DIP-I 86 87: 0 0

DIP-II 88 89: 0 0 | TOTAL DIPS UMBILICALES 90 91: 0 0 | DIP-U 92 93: 0 0 | $DIP\text{-}U_p$ 94 95: 0 0

$DIP\text{-}U_t$ 96 97: 0 0 | $DIP\text{-}U_v$ 98 99: 0 0 | $DIP\text{-}U_{cv}$ 100 101: 0 0 | $DIP\text{-}U_{cs}$ 102 103: 0 0 | $DIP\text{-}U_\lambda$ 104 105: 0 0

$DIP\text{-}U_{\lambda p}$ 106 107: 0 0 | $DIP\text{-}U_{\lambda t}$ 108 109: 0 0 | DIP-V 110 111: 0 0 | $DIP\text{-}V_p$ 112 113: 0 0

$DIP\text{-}V_t$ 114 115: 0 0 | $DIP\text{-}V_b$ 116 117: 0 0 | NUMERO DE CONTRACCIONES 118 119 120: 0 0 0

NUMERO DE MINUTOS REGISTRADOS 121 122 123: 0 6 2

HOJA CODIFICADA PARA EL ESTUDIO DE LAS VARIACIONES CARDIOTOCOGRAFICAS ATRIBUIDAS A LAS CIRCULARES DEL CORDON UMBILICAL

NOMBRE Y APELLIDOS:

GRUPO ESTUDIADO 1: 0 | Nº DE Hª DE D.C. 2 3 4 5 6 7: 0 3 5 5 7 7 | Nº DE UCIP 8 9 10 11 12: 1 3 2 3 4

BOLSA 13: 0 | L.A. 14: 3 | MECONIO 15: 1 | SEMANA DE AMENORREA 16 17: 0 4 | SEXO 18: 1

VITALIDAD 19: 0 | EDAD MATERNA 20 21: 2 9 | PARIDAD 22 23: 0 1 | PESO DEL R.N. 24 25 26 27: 3 6 4 0

FORMA DE TERMINACION DEL PARTO 28: 1 | LONGITUD DEL CORDON 29 30: 5 5 | APGAR-1 31 32: 0 6

APGAR-5 33 34: 0 9 | MORBILIDAD 35: 0

MADRE: PO_2 36 37: 5 7 | PCO_2 38 39: 4 9 | D.B. 40 41 42: - 1 5 | HCO_3^- 43 44: 1 3 | P^H 45 46 47: 7 2 4

FETO: ARTERIA. PO_2 48 49: 1 8 | PCO_2 50 51: 6 4 | D.B. 52 53 54: - 1 5 | HCO_3^- 55 56: 1 6 | P^H 57 58 59: 7 0 0

VENA. PO_2 60 61: 2 9 | PCO_2 62 63: 5 6 | D.B. 64 65 66: - 1 5 | HCO_3^- 67 68: 1 6 | P^H 69 70 71: 7 0 6

TIPO DE ACIDOSIS MATERNA 72: 0 | TIPO DE ACIDOSIS FETAL 73: 3 | Δ-P^H MADRE-FETO 74 75: 2 8

Δ-P^H VENA UMBILICAL-ARTERIA UMBILICAL 76 77: 0 6 | PROMEDIO DE ASCENSOS ?. 78 79: 0 0

PROMEDIO DE ASCENSOS TRANSITORIOS QUE COINCIDEN CON LA CONTRACCION 80 81: 0 0

TAQUICARDIA 82: 0 | BRADICARDIA 83: 0 | VARIABILIDAD DE LA FCF 84 85: 0 4 | DIP-I 86 87: 0 0

DIP-II 88 89: 0 0 | TOTAL DIPS UMBILICALES 90 91: 0 0 | DIP-U 92 93: 0 0 | $DIP\text{-}U_p$ 94 95: 0 0

$DIP\text{-}U_t$ 96 97: 0 0 | $DIP\text{-}U_v$ 98 99: 0 0 | $DIP\text{-}U_{cv}$ 100 101: 0 0 | $DIP\text{-}U_{cs}$ 102 103: 0 0 | $DIP\text{-}U_\lambda$ 104 105: 0 0

$DIP\text{-}U_{\lambda p}$ 106 107: 0 0 | $DIP\text{-}U_{\lambda t}$ 108 109: 0 0 | DIP-V 110 111: 0 0 | $DIP\text{-}V_p$ 112 113: 0 0

$DIP\text{-}V_t$ 114 115: 0 0 | $DIP\text{-}V_b$ 116 117: 0 0 | NUMERO DE CONTRACCIONES 118 119 120: 0 2 4

NUMERO DE MINUTOS REGISTRADOS 121 122 123: 0 9 0

HOJA CODIFICADA PARA EL ESTUDIO DE LAS VARIACIONES CARDIOTOCOGRAFICAS ATRIBUIDAS A LAS CIRCULARES DEL CORDON UMBILICAL

NOMBRE Y APELLIDOS:

GRUPO ESTUDIADO 1: 0 | Nº DE Hª DE D.C. 2 3 4 5 6 7: 0 6 3 8 1 3 | Nº DE UCIP 8 9 10 11 12: 0 9 7 3 1

BOLSA 13: 0 | L.A. 14: 2 | MECONIO 15: 2 | SEMANA DE AMENORREA 16 17: 4 1 | SEXO 18: 1

VITALIDAD 19: 0 | EDAD MATERNA 20 21: 3 7 | PARIDAD 22 23: 0 5 | PESO DEL R.N. 24 25 26 27: 3 6 3 0

FORMA DE TERMINACION DEL PARTO 28: 1 | LONGITUD DEL CORDON 29 30: 7 0 | APGAR-1 31 32: 0 6

APGAR-5 33 34: 1 0 | MORBILIDAD 35: 0

MADRE: PO_2 36 37: ? | PCO_2 38 39: ? | D.B. 40 41 42: ? | HCO_3^- 43 44: ? | P^H 45 46 47: ?

FETO: ARTERIA. PO_2 48 49: 1 1 | PCO_2 50 51: 6 0 | D.B. 52 53 54: - 1 | HCO_3^- 55 56: ? | P^H 57 58 59: ? 2 2

VENA. PO_2 60 61: 3 0 | PCO_2 62 63: 4 5 | D.B. 64 65 66: - 1 | HCO_3^- 67 68: ? | P^H 69 70 71: 7 3 8

TIPO DE ACIDOSIS MATERNA 72: ? | TIPO DE ACIDOSIS FETAL 73: 0 | Δ-P^H MADRE-FETO 74 75: ?

Δ-P^H VENA UMBILICAL-ARTERIA UMBILICAL 76 77: 1 6 | PROMEDIO DE ASCENSOS ?. 78 79: 1 3

PROMEDIO DE ASCENSOS TRANSITORIOS QUE COINCIDEN CON LA CONTRACCION 80 81: 0 0

TAQUICARDIA 82: 0 | BRADICARDIA 83: 0 | VARIABILIDAD DE LA FCF 84 85: 0 6 | DIP-I 86 87: 0 0

DIP-II 88 89: 0 0 | TOTAL DIPS UMBILICALES 90 91: 0 0 | DIP-U 92 93: 0 0 | $DIP\text{-}U_p$ 94 95: 0 0

$DIP\text{-}U_t$ 96 97: 0 0 | $DIP\text{-}U_v$ 98 99: 0 0 | $DIP\text{-}U_{cv}$ 100 101: 0 0 | $DIP\text{-}U_{cs}$ 102 103: 0 0 | $DIP\text{-}U_\lambda$ 104 105: 0 0

$DIP\text{-}U_{\lambda p}$ 106 107: 0 0 | $DIP\text{-}U_{\lambda t}$ 108 109: 0 0 | DIP-V 110 111: 0 0 | $DIP\text{-}V_p$ 112 113: 0 0

$DIP\text{-}V_t$ 114 115: 0 0 | $DIP\text{-}V_b$ 116 117: 0 0 | NUMERO DE CONTRACCIONES 118 119 120: 0 2 1

NUMERO DE MINUTOS REGISTRADOS 121 122 123: 2 1 0

HOJA CODIFICADA PARA EL ESTUDIO DE LAS VARIACIONES CARDIOTOCOGRAFICAS ATRIBUIDAS A LAS CIRCULARES DEL CORDON UMBILICAL

NOMBRE Y APELLIDOS:

GRUPO ESTUDIADO 1: 0 | Nº DE Hª DE D.C. 2 3 4 5 6 7: 0 5 8 4 2 9 | Nº DE UCIP 8 9 10 11 12: 1 2 0 0 4

BOLSA 13: 1 | L.A. 14: 2 | MECONIO 15: 1 | SEMANA DE AMENORREA 16 17: 3 8 | SEXO 18: 0

VITALIDAD 19: 0 | EDAD MATERNA 20 21: 1 7 | PARIDAD 22 23: 0 0 | PESO DEL R.N. 24 25 26 27: 3 4 0 0

FORMA DE TERMINACION DEL PARTO 28: 1 | LONGITUD DEL CORDON 29 30: 6 5 | APGAR-1 31 32: 0 7

APGAR-5 33 34: 0 9 | MORBILIDAD 35: 0

MADRE: PO_2 36 37: 8 3 | PCO_2 38 39: 2 7 | D.B. 40 41 42: - 1 4 | HCO_3^- 43 44: 1 8 | P^H 45 46 47: 7 4 3

FETO: ARTERIA. PO_2 48 49: 1 7 | PCO_2 50 51: 6 5 | D.B. 52 53 54: - 1 4 | HCO_3^- 55 56: 2 5 | P^H 57 58 59: 7 2 1

VENA. PO_2 60 61: 4 3 | PCO_2 62 63: 3 4 | D.B. 64 65 66: - 1 2 | HCO_3^- 67 68: 2 1 | P^H 69 70 71: 7 4 0

TIPO DE ACIDOSIS MATERNA 72: 0 | TIPO DE ACIDOSIS FETAL 73: 0 | Δ-P^H MADRE-FETO 74 75: 0 3

Δ-P^H VENA UMBILICAL-ARTERIA UMBILICAL 76 77: 1 9 | PROMEDIO DE ASCENSOS ?. 78 79: 0 0

PROMEDIO DE ASCENSOS TRANSITORIOS QUE COINCIDEN CON LA CONTRACCION 80 81: 0 0

TAQUICARDIA 82: 0 | BRADICARDIA 83: 0 | VARIABILIDAD DE LA FCF 84 85: 0 4 | DIP-I 86 87: 0 0

DIP-II 88 89: 0 0 | TOTAL DIPS UMBILICALES 90 91: 0 0 | DIP-U 92 93: 0 0 | $DIP\text{-}U_p$ 94 95: 0 0

$DIP\text{-}U_t$ 96 97: 0 0 | $DIP\text{-}U_v$ 98 99: 0 0 | $DIP\text{-}U_{cv}$ 100 101: 0 0 | $DIP\text{-}U_{cs}$ 102 103: 0 0 | $DIP\text{-}U_\lambda$ 104 105: 0 0

$DIP\text{-}U_{\lambda p}$ 106 107: 0 0 | $DIP\text{-}U_{\lambda t}$ 108 109: 0 0 | DIP-V 110 111: 0 0 | $DIP\text{-}V_p$ 112 113: 0 0

$DIP\text{-}V_t$ 114 115: 0 0 | $DIP\text{-}V_b$ 116 117: 0 0 | NUMERO DE CONTRACCIONES 118 119 120: 0 9 5

NUMERO DE MINUTOS REGISTRADOS 121 122 123: 3 0 0

HOJA CODIFICADA PARA EL ESTUDIO DE LAS VARIACIONES CARDIOTOCOGRAFICAS ATRIBUIDAS A LAS CIRCULARES DEL CORDON UMBILICAL

NOMBRE Y APELLIDOS:

GRUPO ESTUDIADO [0] Nº DE Hª DE D.C. [040168] Nº DE UCIP [09491]

BOLSA [0] L.A. [1] MECONIO [1] SEMANA DE AMENORREA [41] SEXO [0]

VITALIDAD [0] EDAD MATERNA [19] PARIDAD [00] PESO DEL R.N. [3360]

FORMA DE TERMINACION DEL PARTO [0] LONGITUD DEL CORDON [50] APGAR-1 [07]

APGAR-5 [10] MORBILIDAD [0]

MADRE: PO_2 [76] PCO_2 [26] D.B. [-9] HCO_3^- [14] P^H [737]

FETO: ARTERIA PO_2 [10] PCO_2 [72] D.B. [-8] HCO_3^- [25] P^H [715]

VENA. PO_2 [25] PCO_2 [46] D.B. [-5] HCO_3^- [22] P^H [729]

TIPO DE ACIDOSIS MATERNA [0] TIPO DE ACIDOSIS FETAL [3] Δ-P^H MADRE-FETO [08]

Δ-P^H VENA UMBILICAL-ARTERIA UMBILICAL [14] PROMEDIO DE ASCENSOS ?. [19]

PROMEDIO DE ASCENSOS TRANSITORIOS QUE COINCIDEN CON LA CONTRACCION [06]

TAQUICARDIA [0] BRADICARDIA [1] VARIABILIDAD DE LA FCF [07] DIP-I [00]

DIP-II [00] TOTAL DIPS UMBILICALES [00] DIP-U [00] $DIP-U_p$ [00]

$DIP-U_t$ [00] $DIP-U_e$ [00] $DIP-U_{cp}$ [00] $DIP-U_{cs}$ [00] $DIP-U_a$ [00]

$DIP-U_{ap}$ [00] $DIP-U_{as}$ [00] DIP-V [00] $DIP-V_p$ [00]

$DIP-V_t$ [00] $DIP-V_b$ [00] NUMERO DE CONTRACCIONES [135]

NUMERO DE MINUTOS REGISTRADOS [153]

HOJA CODIFICADA PARA EL ESTUDIO DE LAS VARIACIONES CARDIOTOCOGRAFICAS ATRIBUIDAS A LAS CIRCULARES DEL CORDON UMBILICAL

NOMBRE Y APELLIDOS:

GRUPO ESTUDIADO [0] Nº DE Hª DE D.C. [058355] Nº DE UCIP [08854]

BOLSA [0] L.A. [2] MECONIO [2] SEMANA DE AMENORREA [36] SEXO [0]

VITALIDAD [0] EDAD MATERNA [39] PARIDAD [03] PESO DEL R.N. [2650]

FORMA DE TERMINACION DEL PARTO [0] LONGITUD DEL CORDON [60] APGAR-1 [07]

APGAR-5 [09] MORBILIDAD [0]

MADRE: PO_2 [80] PCO_2 [15] D.B. [-10] HCO_3^- [09] P^H [743]

FETO: ARTERIA. PO_2 [08] PCO_2 [44] D.B. [-14] HCO_3^- [25] P^H [736]

VENA. PO_2 [15] PCO_2 [28] D.B. [-4] HCO_3^- [18] P^H [743]

TIPO DE ACIDOSIS MATERNA [0] TIPO DE ACIDOSIS FETAL [0] Δ-P^H MADRE-FETO [00]

Δ-P^H VENA UMBILICAL-ARTERIA UMBILICAL [07] PROMEDIO DE ASCENSOS ?. [00]

PROMEDIO DE ASCENSOS TRANSITORIOS QUE COINCIDEN CON LA CONTRACCION [00]

TAQUICARDIA [0] BRADICARDIA [0] VARIABILIDAD DE LA FCF [04] DIP-I [00]

DIP-II [00] TOTAL DIPS UMBILICALES [00] DIP-U [00] $DIP-U_p$ [00]

$DIP-U_t$ [00] $DIP-U_e$ [00] $DIP-U_{cp}$ [00] $DIP-U_{cs}$ [00] $DIP-U_a$ [00]

$DIP-U_{ap}$ [00] $DIP-U_{as}$ [00] DIP-V [00] $DIP-V_p$ [00]

$DIP-V_t$ [00] $DIP-V_b$ [00] NUMERO DE CONTRACCIONES [143]

NUMERO DE MINUTOS REGISTRADOS [141]

HOJA CODIFICADA PARA EL ESTUDIO DE LAS VARIACIONES CARDIOTOCOGRAFICAS ATRIBUIDAS A LAS CIRCULARES DEL CORDON UMBILICAL

NOMBRE Y APELLIDOS:

GRUPO ESTUDIADO [0] Nº DE Hª DE D.C. [084356] Nº DE UCIP [13407]

BOLSA [0] L.A. [0] MECONIO [0] SEMANA DE AMENORREA [42] SEXO [1]

VITALIDAD [0] EDAD MATERNA [31] PARIDAD [00] PESO DEL R.N. [3940]

FORMA DE TERMINACION DEL PARTO [4] LONGITUD DEL CORDON [68] APGAR-1 [07]

APGAR-5 [10] MORBILIDAD [0]

MADRE: PO_2 [84] PCO_2 [22] D.B. [-12] HCO_3^- [11] P^H [733]

FETO: ARTERIA. PO_2 [08] PCO_2 [51] D.B. [-8] HCO_3^- [21] P^H [720]

VENA. PO_2 [26] PCO_2 [40] D.B. [-8] HCO_3^- [18] P^H [728]

TIPO DE ACIDOSIS MATERNA [0] TIPO DE ACIDOSIS FETAL [3] Δ-P^H MADRE-FETO [05]

Δ-P^H VENA UMBILICAL-ARTERIA UMBILICAL [08] PROMEDIO DE ASCENSOS ?. [18]

PROMEDIO DE ASCENSOS TRANSITORIOS QUE COINCIDEN CON LA CONTRACCION [00]

TAQUICARDIA [0] BRADICARDIA [0] VARIABILIDAD DE LA FCF [07] DIP-I [00]

D.P-II [00] TOTAL DIPS UMBILICALES [00] DIP-U [00] $DIP-U_p$ [00]

$DIP-U_t$ [00] $DIP-U_e$ [00] $DIP-U_{cp}$ [00] $DIP-U_{cs}$ [00] $DIP-U_a$ [00]

$DIP-U_{ap}$ [00] $DIP-U_{as}$ [00] DIP-V [00] $DIP-V_p$ [00]

$DIP-V_t$ [00] $DIP-V_b$ [00] NUMERO DE CONTRACCIONES [003]

NUMERO DE MINUTOS REGISTRADOS [130]

HOJA CODIFICADA PARA EL ESTUDIO DE LAS VARIACIONES CARDIOTOCOGRAFICAS ATRIBUIDAS A LAS CIRCULARES DEL CORDON UMBILICAL

NOMBRE Y APELLIDOS:

GRUPO ESTUDIADO [0] Nº DE Hª DE D.C. [059497] Nº DE UCIP [11881]

BOLSA [0] L.A. [2] MECONIO [2] SEMANA DE AMENORREA [42] SEXO [0]

VITALIDAD [0] EDAD MATERNA [26] PARIDAD [00] PESO DEL R.N. [3010]

FORMA DE TERMINACION DEL PARTO [2] LONGITUD DEL CORDON [50] APGAR-1 [07]

APGAR-5 [09] MORBILIDAD [0]

MADRE: PO_2 [99] PCO_2 [21] D.B. [-8] HCO_3^- [13] P^H [743]

FETO: ARTERIA. PO_2 [21] PCO_2 [45] D.B. [-10] HCO_3^- [16] P^H [716]

VENA. PO_2 [31] PCO_2 [34] D.B. [-10] HCO_3^- [16] P^H [729]

TIPO DE ACIDOSIS MATERNA [0] TIPO DE ACIDOSIS FETAL [4] Δ-P^H MADRE-FETO [14]

Δ-P^H VENA UMBILICAL-ARTERIA UMBILICAL [00] PROMEDIO DE ASCENSOS ?. [14]

PROMEDIO DE ASCENSOS TRANSITORIOS QUE COINCIDEN CON LA CONTRACCION [00]

TAQUICARDIA [0] BRADICARDIA [1] VARIABILIDAD DE LA FCF [10] DIP-I [00]

DIP-II [00] TOTAL DIPS UMBILICALES [00] DIP-U [00] $DIP-U_p$ [00]

$DIP-U_t$ [00] $DIP-U_e$ [00] $DIP-U_{cp}$ [00] $DIP-U_{cs}$ [00] $DIP-U_a$ [00]

$DIP-U_{ap}$ [00] $DIP-U_{as}$ [00] DIP-V [00] $DIP-V_p$ [00]

$DIP-V_t$ [00] $DIP-V_b$ [00] NUMERO DE CONTRACCIONES [007]

NUMERO DE MINUTOS REGISTRADOS [169]

HOJA CODIFICADA PARA EL ESTUDIO DE LAS VARIACIONES CARDIOTOCOGRAFICAS ATRIBUIDAS A LAS CIRCULARES DEL CORDON UMBILICAL

NOMBRE Y APELLIDOS:

GRUPO ESTUDIADO 1: 0 | Nº DE Hª DE D.C 2 3 4 5 6 7: 0 4 7 0 3 9 | Nº DE UCIP 8 9 10 11 12: 1 1 2 9 9

BOLSA 13: 0 | L.A. 14: 2 | MECONIO 15: 1 | SEMANA DE AMENORREA 16 17: 4 0 | SEXO 18: 0

VITALIDAD 19: 0 | EDAD MATERNA 20 21: 3 0 | PARIDAD 22 23: 0 1 | PESO DEL R.N. 24 25 26 27: 4 1 0 0

FORMA DE TERMINACION DEL PARTO 28: 0 | LONGITUD DEL CORDON 29 30: 4 5 | APGAR-1 31 32: 0 7

APGAR-5 33 34: 0 9 | MORBILIDAD 35: 0

MADRE: PO_2 36 37: ? | PCO_2 38 39: 4 0 | D.B. 40 41 42: - 1 7 | HCO_3^- 43 44: 1 8 | P^H 45 46 47: 7 3 8

FETO: ARTERIA. PO_2 48 49: ? | PCO_2 50 51: 5 3 | D.B. 52 53 54: - 1 8 | HCO_3^- 55 56: 2 1 | P^H 57 58 59: 7 2 0

VENA. PO_2 60 61: ? | PCO_2 62 63: 2 1 | D.B. 64 65 66: - 1 9 | HCO_3^- 67 68: 1 2 | P^H 69 70 71: 7 2 7

TIPO DE ACIDOSIS MATERNA 72: 0 | TIPO DE ACIDOSIS FETAL 73: 3 | Δ-P^H MADRE-FETO 74 75: 0 1

Δ-P^H VENA UMBILICAL-ARTERIA UMBILICAL 76 77: 1 8 | PROMEDIO DE ASCENSOS ?: 78 79: 5 0

PROMEDIO DE ASCENSOS TRANSITORIOS QUE COINCIDEN CON LA CONTRACCION 80 81: 1 9

TAQUICARDIA 82: 0 | BRADICARDIA 83: 0 | VARIABILIDAD DE LA FCF 84 85: 0 8 | DIP-I 86 87: 0 0

DIP-II 88 89: 0 0 | TOTAL DIPS UMBILICALES 90 91: 0 0 | DIP-U 92 93: 0 0 | $DIP\text{-}U_p$ 94 95: 0 0

$DIP\text{-}U_t$ 96 97: 0 0 | $DIP\text{-}U_w$ 98 99: 0 0 | $DIP\text{-}U_{w'}$ 100 101: 0 0 | $DIP\text{-}U_{w'}$ 102 103: 0 0 | $DIP\text{-}U_\lambda$ 104 105: 0 0

$DIP\text{-}U_{\lambda'}$ 106 107: 0 0 | $DIP\text{-}U_{\lambda'}$ 108 109: 0 0 | DIP-V 110 111: 0 0 | $DIP\text{-}V_p$ 112 113: 0 0

$DIP\text{-}V_t$ 114 115: 0 0 | $DIP\text{-}V_b$ 116 117: 0 0 | NUMERO DE CONTRACCIONES 118 119 120: 0 2 1

NUMERO DE MINUTOS REGISTRADOS 121 122 123: 1 3 2

HOJA CODIFICADA PARA EL ESTUDIO DE LAS VARIACIONES CARDIOTOCOGRAFICAS ATRIBUIDAS A LAS CIRCULARES DEL CORDON UMBILICAL

NOMBRE Y APELLIDOS:

GRUPO ESTUDIADO 1: 0 | Nº DE Hª DE D.C. 2 3 4 5 6 7: 0 7 3 7 3 6 | Nº DE UCIP 8 9 10 11 12: 1 1 3 4 0

BOLSA 13: 1 | L.A. 14: 2 | MECONIO 15: 0 | SEMANA DE AMENORREA 16 17: 3 8 | SEXO 18: 1

VITALIDAD 19: 0 | EDAD MATERNA 20 21: 2 6 | PARIDAD 22 23: 0 0 | PESO DEL R.N. 24 25 26 27: 3 7 7 0

FORMA DE TERMINACION DEL PARTO 28: 2 | LONGITUD DEL CORDON 29 30: 5 5 | APGAR-1 31 32: 0 7

APGAR-5 33 34: 0 8 | MORBILIDAD 35: 1

MADRE: PO_2 36 37: 9 9 | PCO_2 38 39: 1 9 | D.B. 40 41 42: - 9 | HCO_3^- 43 44: 1 1 | P^H 45 46 47: 7 4 3

FETO: ARTERIA. PO_2 48 49: 2 4 | PCO_2 50 51: 2 9 | D.B. 52 53 54: - 1 2 | HCO_3^- 55 56: 1 3 | P^H 57 58 59: 7 2 6

VENA. PO_2 60 61: 2 8 | PCO_2 62 63: 2 6 | D.B. 64 65 66: - 9 | HCO_3^- 67 68: 1 5 | P^H 69 70 71: 7 3 3

TIPO DE ACIDOSIS MATERNA 72: 0 | TIPO DE ACIDOSIS FETAL 73: 0 | Δ-P^H MADRE-FETO 74 75: 1 0

Δ-P^H VENA UMBILICAL-ARTERIA UMBILICAL 76 77: 0 7 | PROMEDIO DE ASCENSOS ?: 78 79: 1 3

PROMEDIO DE ASCENSOS TRANSITORIOS QUE COINCIDEN CON LA CONTRACCION 80 81: 0 6

TAQUICARDIA 82: 0 | BRADICARDIA 83: 0 | VARIABILIDAD DE LA FCF 84 85: 0 6 | DIP-I 86 87: 0 0

DIP-II 88 89: 0 0 | TOTAL DIPS UMBILICALES 90 91: 0 0 | DIP-U 92 93: 0 0 | $DIP\text{-}U_p$ 94 95: 0 0

$DIP\text{-}U_t$ 96 97: 0 0 | $DIP\text{-}U_w$ 98 99: 0 0 | $DIP\text{-}U_{w'}$ 100 101: 0 0 | $DIP\text{-}U_{w'}$ 102 103: 0 0 | $DIP\text{-}U_\lambda$ 104 105: 0 0

$DIP\text{-}U_{\lambda'}$ 106 107: 0 0 | $DIP\text{-}U_{\lambda'}$ 108 109: 0 0 | DIP-V 110 111: 0 0 | $DIP\text{-}V_p$ 112 113: 0 0

$DIP\text{-}V_t$ 114 115: 0 0 | $DIP\text{-}V_b$ 116 117: 0 0 | NUMERO DE CONTRACCIONES 118 119 120: 0 6 2

NUMERO DE MINUTOS REGISTRADOS 121 122 123: 3 2 4

HOJA CODIFICADA PARA EL ESTUDIO DE LAS VARIACIONES CARDIOTOCOGRAFICAS ATRIBUIDAS A LAS CIRCULARES DEL CORDON UMBILICAL

NOMBRE Y APELLIDOS:

GRUPO ESTUDIADO 1: 0 | Nº DE Hª DE D.C. 2 3 4 5 6 7: 0 6 3 4 0 0 | Nº DE UCIP 8 9 10 11 12: 0 9 6 4 7

BOLSA 13: 1 | L.A. 14: 3 | MECONIO 15: 2 | SEMANA DE AMENORREA 16 17: 4 0 | SEXO 18: 1

VITALIDAD 19: 0 | EDAD MATERNA 20 21: 4 0 | PARIDAD 22 23: 0 3 | PESO DEL R.N. 24 25 26 27: 2 7 9 0

FORMA DE TERMINACION DEL PARTO 28: 0 | LONGITUD DEL CORDON 29 30: 5 0 | APGAR-1 31 32: 0 8

APGAR-5 33 34: 4 0 | MORBILIDAD 35: 0

MADRE: PO_2 36 37: 7 9 | PCO_2 38 39: 3 0 | D.B. 40 41 42: - 5 | HCO_3^- 43 44: 1 8 | P^H 45 46 47: 7 3 7

FETO: ARTERIA. PO_2 48 49: 2 0 | PCO_2 50 51: 5 2 | D.B. 52 53 54: - 1 9 | HCO_3^- 55 56: 1 3 | P^H 57 58 59: 7 0 3

VENA. PO_2 60 61: 2 8 | PCO_2 62 63: 3 6 | D.B. 64 65 66: - 3 | HCO_3^- 67 68: 2 1 | P^H 69 70 71: 7 3 9

TIPO DE ACIDOSIS MATERNA 72: 0 | TIPO DE ACIDOSIS FETAL 73: 3 | Δ-P^H MADRE-FETO 74 75: 0 1

Δ-P^H VENA UMBILICAL-ARTERIA UMBILICAL 76 77: 3 6 | PROMEDIO DE ASCENSOS ?: 78 79: 4 2

PROMEDIO DE ASCENSOS TRANSITORIOS QUE COINCIDEN CON LA CONTRACCION 80 81: 0 0

TAQUICARDIA 82: 0 | BRADICARDIA 83: 0 | VARIABILIDAD DE LA FCF 84 85: 0 7 | DIP-I 86 87: 0 0

DIP-II 88 89: 0 0 | TOTAL DIPS UMBILICALES 90 91: 0 0 | DIP-U 92 93: 0 0 | $DIP\text{-}U_p$ 94 95: 0 0

$DIP\text{-}U_t$ 96 97: 0 0 | $DIP\text{-}U_w$ 98 99: 0 0 | $DIP\text{-}U_{w'}$ 100 101: 0 0 | $DIP\text{-}U_{w'}$ 102 103: 0 0 | $DIP\text{-}U_\lambda$ 104 105: 0 0

$DIP\text{-}U_{\lambda'}$ 106 107: 0 0 | $DIP\text{-}U_{\lambda'}$ 108 109: 0 0 | DIP-V 110 111: 0 0 | $DIP\text{-}V_p$ 112 113: 0 0

$DIP\text{-}V_t$ 114 115: 0 0 | $DIP\text{-}V_b$ 116 117: 0 0 | NUMERO DE CONTRACCIONES 118 119 120: 0 0 2

NUMERO DE MINUTOS REGISTRADOS 121 122 123: 0 9 3

HOJA CODIFICADA PARA EL ESTUDIO DE LAS VARIACIONES CARDIOTOCOGRAFICAS ATRIBUIDAS A LAS CIRCULARES DEL CORDON UMBILICAL

NOMBRE Y APELLIDOS:

GRUPO ESTUDIADO 1: 0 | Nº DE Hª DE D.C. 2 3 4 5 6 7: 0 8 4 7 5 7 | Nº DE UCIP 8 9 10 11 12: 1 1 8 6 8

BOLSA 13: 0 | L.A. 14: 2 | MECONIO 15: 1 | SEMANA DE AMENORREA 16 17: 4 3 | SEXO 18: 0

VITALIDAD 19: 0 | EDAD MATERNA 20 21: 4 0 | PARIDAD 22 23: 0 2 | PESO DEL R.N. 24 25 26 27: 4 2 1 0

FORMA DE TERMINACION DEL PARTO 28: 0 | LONGITUD DEL CORDON 29 30: 6 5 | APGAR-1 31 32: 0 8

APGAR-5 33 34: 0 9 | MORBILIDAD 35: 0

MADRE: PO_2 36 37: 7 0 | PCO_2 38 39: 2 5 | D.B. 40 41 42: - 7 | HCO_3^- 43 44: 1 4 | P^H 45 46 47: 7 4 1

FETO: ARTERIA. PO_2 48 49: 2 7 | PCO_2 50 51: 4 5 | D.B. 52 53 54: - 3 | HCO_3^- 55 56: 2 3 | P^H 57 58 59: 7 3 2

VENA. PO_2 60 61: 5 3 | PCO_2 62 63: 3 6 | D.B. 64 65 66: - 2 | HCO_3^- 67 68: 2 1 | P^H 69 70 71: 7 3 9

TIPO DE ACIDOSIS MATERNA 72: 0 | TIPO DE ACIDOSIS FETAL 73: 0 | Δ-P^H MADRE-FETO 74 75: 0 2

Δ-P^H VENA UMBILICAL-ARTERIA UMBILICAL 76 77: 0 7 | PROMEDIO DE ASCENSOS ?: 78 79: 1 8

PROMEDIO DE ASCENSOS TRANSITORIOS QUE COINCIDEN CON LA CONTRACCION 80 81: 0 0

TAQUICARDIA 82: 0 | BRADICARDIA 83: 0 | VARIABILIDAD DE LA FCF 84 85: 0 9 | DIP-I 86 87: 0 0

DIP-II 88 89: 0 0 | TOTAL DIPS UMBILICALES 90 91: 0 0 | DIP-U 92 93: 0 0 | $DIP\text{-}U_p$ 94 95: 0 0

$DIP\text{-}U_t$ 96 97: 0 0 | $DIP\text{-}U_w$ 98 99: 0 0 | $DIP\text{-}U_{w'}$ 100 101: 0 0 | $DIP\text{-}U_{w'}$ 102 103: 0 0 | $DIP\text{-}U_\lambda$ 104 105: 0 0

$DIP\text{-}U_{\lambda'}$ 106 107: 0 0 | $DIP\text{-}U_{\lambda'}$ 108 109: 0 0 | DIP-V 110 111: 0 0 | $DIP\text{-}V_p$ 112 113: 0 0

$DIP\text{-}V_t$ 114 115: 0 0 | $DIP\text{-}V_b$ 116 117: 0 0 | NUMERO DE CONTRACCIONES 118 119 120: 0 0 6

NUMERO DE MINUTOS REGISTRADOS 121 122 123: 0 8 4

HOJA CODIFICADA PARA EL ESTUDIO DE LAS VARIACIONES CARDIOTOCOGRAFICAS ATRIBUIDAS A LAS CIRCULARES DEL CORDON UMBILICAL

NOMBRE Y APELLIDOS:

GRUPO ESTUDIADO [0] Nº DE Nº DE H.C. [1 0 0 4 2 1] Nº DE UCIP [1 1 6 9 7 9]

BOLSA [0] L.A. [2] MECONIO [1] SEMANA DE AMENORREA [4 1] SEXO [0]

VITALIDAD [0] EDAD MATERNA [1 7] PARIDAD [0 0] PESO DEL R.N. [3 6 0 0]

FORMA DE TERMINACION DEL PARTO [0] LONGITUD DEL CORDON [6 0] APGAR-1 [0 8]

APGAR-5 [1 0] MORBILIDAD [0]

MADRE: PO_2 [5 1] PCO_2 [3 0] D.B. [- 8] HCO_3^- [1 6] P^H [7 3 5]

FETO: ARTERIA. PO_2 [1 2] PCO_2 [6 3] D.B. [- 1 3] HCO_3^- [1 8] P^H [7 1 8]

VENA. PO_2 [3 1] PCO_2 [3 2] D.B. [- 8] HCO_3^- [1 6] P^H [7 3 1]

TIPO DE ACIDOSIS MATERNA [0] TIPO DE ACIDOSIS FETAL [3] Δ-P^H MADRE-FETO [0 4]

Δ-P^H VENA UMBILICAL-ARTERIA UMBILICAL [1 3] PROMEDIO DE ASCENSOS T. [2 3]

PROMEDIO DE ASCENSOS TRANSITORIOS QUE COINCIDEN CON LA CONTRACCION [0 0]

TAQUICARDIA [0] BRADICARDIA [0] VARIABILIDAD DE LA FCF [0 9] DIP-I [0 0]

DIP-II [0 0] TOTAL DIPS UMBILICALES [0 0] DIP-U [0 0] $DIP\text{-}U_p$ [0 0]

$DIP\text{-}U_t$ [0 0] $DIP\text{-}U_e$ [0 0] $DIP\text{-}U_{ep}$ [0 0] $DIP\text{-}U_{et}$ [0 0] $DIP\text{-}U_\lambda$ [0 0]

$DIP\text{-}U_{\lambda p}$ [0 0] $DIP\text{-}U_{\lambda t}$ [0 0] DIP-V [0 0] $DIP\text{-}V_p$ [0 0]

$DIP\text{-}V_t$ [0 0] $DIP\text{-}V_b$ [0 0] NUMERO DE CONTRACCIONES [0 1 7]

NUMERO DE MINUTOS REGISTRADOS [0 8 0]

HOJA CODIFICADA PARA EL ESTUDIO DE LAS VARIACIONES CARDIOTOCOGRAFICAS ATRIBUIDAS A LAS CIRCULARES DEL CORDON UMBILICAL

NOMBRE Y APELLIDOS:

GRUPO ESTUDIADO [0] Nº DE Nº DE H.C. [0 0 4 9 5 4] Nº DE UCIP [1 5 7 2 6]

BOLSA [0] L.A. [2] MECONIO [2] SEMANA DE AMENORREA [4 0] SEXO [0]

VITALIDAD [0] EDAD MATERNA [3 6] PARIDAD [0 5] PESO DEL R.N. [3 3 7 0]

FORMA DE TERMINACION DEL PARTO [0] LONGITUD DEL CORDON [5 9] APGAR-1 [0 8]

APGAR-5 [1 0] MORBILIDAD [0]

MADRE: PO_2 [8 4] PCO_2 [3 0] D.B. [- 8] HCO_3^- [1 6] P^H [7 3 8]

FETO: ARTERIA. PO_2 [1 2] PCO_2 [6 3] D.B. [- 5] HCO_3^- [2 4] P^H [7 1 9]

VENA. PO_2 [2 7] PCO_2 [4 6] D.B. [- 5] HCO_3^- [2 2] P^H [7 2 9]

TIPO DE ACIDOSIS MATERNA [0] TIPO DE ACIDOSIS FETAL [1] Δ-P^H MADRE-FETO [0 6]

Δ-P^H VENA UMBILICAL-ARTERIA UMBILICAL [1 0] PROMEDIO DE ASCENSOS T. [0 5]

PROMEDIO DE ASCENSOS TRANSITORIOS QUE COINCIDEN CON LA CONTRACCION [0 0]

TAQUICARDIA [0] BRADICARDIA [1] VARIABILIDAD DE LA FCF [0 6] DIP-I [0 0]

DIP-II [0 0] TOTAL DIPS UMBILICALES [0 0] DIP-U [0 0] $DIP\text{-}U_p$ [0 0]

$DIP\text{-}U_t$ [0 0] $DIP\text{-}U_e$ [0 0] $DIP\text{-}U_{ep}$ [0 0] $DIP\text{-}U_{et}$ [0 0] $DIP\text{-}U_\lambda$ [0 0]

$DIP\text{-}U_{\lambda p}$ [0 0] $DIP\text{-}U_{\lambda t}$ [0 0] DIP-V [0 0] $DIP\text{-}V_p$ [0 0]

$DIP\text{-}V_t$ [0 0] $DIP\text{-}V_b$ [0 0] NUMERO DE CONTRACCIONES [0 0 6]

NUMERO DE MINUTOS REGISTRADOS [0 6 3]

HOJA CODIFICADA PARA EL ESTUDIO DE LAS VARIACIONES CARDIOTOCOGRAFICAS ATRIBUIDAS A LAS CIRCULARES DEL CORDON UMBILICAL

NOMBRE Y APELLIDOS:

GRUPO ESTUDIADO [0] Nº DE Nº DE H.C. [0 7 6 5 7 0] Nº DE UCIP [1 1 9 0 5]

BOLSA [0] L.A. [2] MECONIO [1] SEMANA DE AMENORREA [4 0] SEXO [1]

VITALIDAD [0] EDAD MATERNA [2 2] PARIDAD [0 0] PESO DEL R.N. [3 2 5 0]

FORMA DE TERMINACION DEL PARTO [1] LONGITUD DEL CORDON [5 0] APGAR-1 [0 8]

APGAR-5 [1 0] MORBILIDAD [0]

MADRE: PO_2 [7 4] PCO_2 [2 5] D.B. [- 7] HCO_3^- [1 5] P^H [7 3 9]

FETO: ARTERIA. PO_2 [2 1] PCO_2 [6 1] D.B. [- 5] HCO_3^- [2 5] P^H [7 2 1]

VENA. PO_2 [2 8] PCO_2 [4 8] D.B. [- 3] HCO_3^- [2 4] P^H [7 3 2]

TIPO DE ACIDOSIS MATERNA [0] TIPO DE ACIDOSIS FETAL [0] Δ-P^H MADRE-FETO [0 7]

Δ-P^H VENA UMBILICAL-ARTERIA UMBILICAL [1 1] PROMEDIO DE ASCENSOS T. [5 0]

PROMEDIO DE ASCENSOS TRANSITORIOS QUE COINCIDEN CON LA CONTRACCION [1 0]

TAQUICARDIA [0] BRADICARDIA [0] VARIABILIDAD DE LA FCF [1 0] DIP-I [0 0]

DIP-II [0 0] TOTAL DIPS UMBILICALES [0 0] DIP-U [0 0] $DIP\text{-}U_p$ [0 0]

$DIP\text{-}U_t$ [0 0] $DIP\text{-}U_e$ [0 0] $DIP\text{-}U_{ep}$ [0 0] $DIP\text{-}U_{et}$ [0 0] $DIP\text{-}U_\lambda$ [0 0]

$DIP\text{-}U_{\lambda p}$ [0 0] $DIP\text{-}U_{\lambda t}$ [0 0] DIP-V [0 0] $DIP\text{-}V_p$ [0 0]

$DIP\text{-}V_t$ [0 0] $DIP\text{-}V_b$ [0 0] NUMERO DE CONTRACCIONES [0 0 5]

NUMERO DE MINUTOS REGISTRADOS [0 6 0]

HOJA CODIFICADA PARA EL ESTUDIO DE LAS VARIACIONES CARDIOTOCOGRAFICAS ATRIBUIDAS A LAS CIRCULARES DEL CORDON UMBILICAL

NOMBRE Y APELLIDOS:

GRUPO ESTUDIADO [0] Nº DE Nº DE H.C. [0 5 6 6 0 3] Nº DE UCIP [0 8 6 2 8]

BOLSA [0] L.A. [2] MECONIO [2] SEMANA DE AMENORREA [3 8] SEXO [0]

VITALIDAD [0] EDAD MATERNA [3 2] PARIDAD [0 3] PESO DEL R.N. [4 5 6 0]

FORMA DE TERMINACION DEL PARTO [0] LONGITUD DEL CORDON [8 0] APGAR-1 [0 9]

APGAR-5 [1 0] MORBILIDAD [0]

MADRE: PO_2 [- -] PCO_2 [- -] D.B. [- - -] HCO_3^- [- -] P^H [- - -]

FETO: ARTERIA. PO_2 [- -] PCO_2 [- -] D.B. [- - - -] HCO_3^- [- -] P^H [- - -]

VENA. PO_2 [- -] PCO_2 [- -] D.B. [- - - -] HCO_3^- [- -] P^H [- - -]

TIPO DE ACIDOSIS MATERNA [-] TIPO DE ACIDOSIS FETAL [-] Δ-P^H MADRE-FETO [- -]

Δ-P^H VENA UMBILICAL-ARTERIA UMBILICAL [- -] PROMEDIO DE ASCENSOS T. [2 0]

PROMEDIO DE ASCENSOS TRANSITORIOS QUE COINCIDEN CON LA CONTRACCION [0 0]

TAQUICARDIA [0] BRADICARDIA [0] VARIABILIDAD DE LA FCF [1 0] DIP-I [0 0]

DIP-II [0 0] TOTAL DIPS UMBILICALES [0 0] DIP-U [0 0] $DIP\text{-}U_p$ [0 0]

$DIP\text{-}U_t$ [0 0] $DIP\text{-}U_e$ [0 0] $DIP\text{-}U_{ep}$ [0 0] $DIP\text{-}U_{et}$ [0 0] $DIP\text{-}U_\lambda$ [0 0]

$DIP\text{-}U_{\lambda p}$ [0 0] $DIP\text{-}U_{\lambda t}$ [0 0] DIP-V [0 0] $DIP\text{-}V_p$ [0 0]

$DIP\text{-}V_t$ [0 0] $DIP\text{-}V_b$ [0 0] NUMERO DE CONTRACCIONES [0 0 6]

NUMERO DE MINUTOS REGISTRADOS [0 6 0]

HOJA CODIFICADA PARA EL ESTUDIO DE LAS VARIACIONES CARDIOTOCOGRAFICAS ATRIBUIDAS A LAS CIRCULARES DEL CORDON UMBILICAL

NOMBRE Y APELLIDOS:

GRUPO ESTUDIADO [1] [0] Nº DE Hª DE D.C. [2 3 4 5 6 7] [0 8 0 1 9 7] Nº DE UCIP [8 9 10 11 12] [1 2 7 6 0]

BOLSA [13] [1] L.A. [14] [2] MECONIO [15] [0] SEMANA DE AMENORREA [16 17] [3 9] SEXO [18] [0]

VITALIDAD [19] [0] EDAD MATERNA [20 21] [1 7] PARIDAD [22 23] [0 1] PESO DEL R.N. [24 25 26 27] [2 9 8 0]

FORMA DE TERMINACION DEL PARTO [28] [0] LONGITUD DEL CORDON [29 30] [4 5] APGAR-1 [31 32] [0 9]

APGAR-5 [33 34] [1 0] MORBILIDAD [35] [0]

MADRE: PO_2 [36 37] [4 2] PCO_2 [38 39] [3 0] D.B. [40 41 42] [- 1 3] HCO_3^- [43 44] [2 0] P^H [45 46 47] [7 4 1]

FETO: ARTERIA. PO_2 [48 49] [1 8] PCO_2 [50 51] [4 7] D.B. [52 53 54] [- 1 1] HCO_3^- [55 56] [2 5] P^H [57 58 59] [7 3 3]

VENA. PO_2 [60 61] [3 0] PCO_2 [62 63] [3 8] D.B. [64 65 66] [1 0] HCO_3^- [67 68] [2 4] P^H [69 70 71] [7 3 9]

TIPO DE ACIDOSIS MATERNA [72] [0] TIPO DE ACIDOSIS FETAL [73] [0] Δ-P^H MADRE-FETO [74 75] [0 2]

Δ-P^H VENA UMBILICAL-ARTERIA UMBILICAL [76 77] [0 6] PROMEDIO DE ASCENSOS T. [78 79] [5 2]

PROMEDIO DE ASCENSOS TRANSITORIOS QUE COINCIDEN CON LA CONTRACCION [80 81] [2 8]

TAQUICARDIA [82] [0] BRADICARDIA [83] [0] VARIABILIDAD DE LA FCF [84 85] [0 1] DIP-I [86 87] [0 0]

DIP-II [88 89] [0 0] TOTAL DIPS UMBILICALES [90 91] [0 0] DIP-U [92 93] [0 0] $DIP\text{-}U_p$ [94 95] [0 0]

$DIP\text{-}U_t$ [96 97] [0 0] $DIP\text{-}U_a$ [98 99] [0 0] $DIP\text{-}U_{ap}$ [100 101] [0 0] $DIP\text{-}U_{at}$ [102 103] [0 0] $DIP\text{-}U_{\lambda}$ [104 105] [0 0]

$DIP\text{-}U_{\lambda p}$ [106 107] [0 0] $DIP\text{-}U_{\lambda t}$ [108 109] [0 0] DIP-V [110 111] [0 0] $DIP\text{-}V_p$ [112 113] [0 0]

$DIP\text{-}V_t$ [114 115] [0 0] $DIP\text{-}V_b$ [116 117] [0 0] NUMERO DE CONTRACCIONES [118 119 120] [0 0 2]

NUMERO DE MINUTOS REGISTRADOS [121 122 123] [0 1 5]

HOJA CODIFICADA PARA EL ESTUDIO DE LAS VARIACIONES CARDIOTOCOGRAFICAS ATRIBUIDAS A LAS CIRCULARES DEL CORDON UMBILICAL

NOMBRE Y APELLIDOS:

GRUPO ESTUDIADO [1] [0] Nº DE Hª DE D.C. [2 3 4 5 6 7] [0 3 5 2 3 7] Nº DE UCIP [8 9 10 11 12] [0 8 8 8 0]

BOLSA [13] [0] L.A. [14] [2] MECONIO [15] [1] SEMANA DE AMENORREA [16 17] [4 0] SEXO [18] [1]

VITALIDAD [19] [0] EDAD MATERNA [20 21] [2 6] PARIDAD [22 23] [0 1] PESO DEL R.N. [24 25 26 27] [3 2 5 0]

FORMA DE TERMINACION DEL PARTO [28] [0] LONGITUD DEL CORDON [29 30] [5 0] APGAR-1 [31 32] [0 9]

APGAR-5 [33 34] [1 0] MORBILIDAD [35] [0]

MADRE: PO_2 [36 37] [7 6] PCO_2 [38 39] [2 3] D.B. [40 41 42] [- 1 4] HCO_3^- [43 44] [1 0] P^H [45 46 47] [7 2 6]

FETO: ARTERIA. PO_2 [48 49] [2 0] PCO_2 [50 51] [5 2] D.B. [52 53 54] [- 1 0] HCO_3^- [55 56] [1 9] P^H [57 58 59] [7 1 8]

VENA. PO_2 [60 61] [2 9] PCO_2 [62 63] [4 0] D.B. [64 65 66] [- 1 0] HCO_3^- [67 68] [1 7] P^H [69 70 71] [7 2 4]

TIPO DE ACIDOSIS MATERNA [72] [0] TIPO DE ACIDOSIS FETAL [73] [3] Δ-P^H MADRE-FETO [74 75] [0 2]

Δ-P^H VENA UMBILICAL-ARTERIA UMBILICAL [76 77] [0 6] PROMEDIO DE ASCENSOS T. [78 79] [1 6]

PROMEDIO DE ASCENSOS TRANSITORIOS QUE COINCIDEN CON LA CONTRACCION [80 81] [0 0]

TAQUICARDIA [82] [0] BRADICARDIA [83] [0] VARIABILIDAD DE LA FCF [84 85] [0 4] DIP-I [86 87] [0 0]

DIP-II [88 89] [0 0] TOTAL DIPS UMBILICALES [90 91] [0 0] DIP-U [92 93] [0 0] $DIP\text{-}U_p$ [94 95] [0 0]

$DIP\text{-}U_t$ [96 97] [0 0] $DIP\text{-}U_a$ [98 99] [0 0] $DIP\text{-}U_{ap}$ [100 101] [0 0] $DIP\text{-}U_{at}$ [102 103] [0 0] $DIP\text{-}U_{\lambda}$ [104 105] [0 0]

$DIP\text{-}U_{\lambda p}$ [106 107] [0 0] $DIP\text{-}U_{\lambda t}$ [108 109] [0 0] DIP-V [110 111] [0 0] $DIP\text{-}V_p$ [112 113] [0 0]

$DIP\text{-}V_t$ [114 115] [0 0] $DIP\text{-}V_b$ [116 117] [0 0] NUMERO DE CONTRACCIONES [118 119 120] [0 4 7]

NUMERO DE MINUTOS REGISTRADOS [121 122 123] [1 7 0]

HOJA CODIFICADA PARA EL ESTUDIO DE LAS VARIACIONES CARDIOTOCOGRAFICAS ATRIBUIDAS A LAS CIRCULARES DEL CORDON UMBILICAL

NOMBRE Y APELLIDOS:

GRUPO ESTUDIADO [1] [0] Nº DE Hª DE D.C. [2 3 4 5 6 7] [1 0 1 1 1 6] Nº DE UCIP [8 9 10 11 12] [1 7 3 9 3]

BOLSA [13] [1] L.A. [14] [3] MECONIO [15] [0] SEMANA DE AMENORREA [16 17] [4 0] SEXO [18] [0]

VITALIDAD [19] [0] EDAD MATERNA [20 21] [2 7] PARIDAD [22 23] [0 0] PESO DEL R.N. [24 25 26 27] [3 5 5 0]

FORMA DE TERMINACION DEL PARTO [28] [0] LONGITUD DEL CORDON [29 30] [5 0] APGAR-1 [31 32] [0 9]

APGAR-5 [33 34] [1 0] MORBILIDAD [35] [0]

MADRE: PO_2 [36 37] [6 6] PCO_2 [38 39] [2 2] D.B. [40 41 42] [- 1 1] HCO_3^- [43 44] [1 2] P^H [45 46 47] [7 3 5]

FETO: ARTERIA. PO_2 [48 49] [1 6] PCO_2 [50 51] [3 3] D.B. [52 53 54] [- 1 7] HCO_3^- [55 56] [1 7] P^H [57 58 59] [7 3 3]

VENA. PO_2 [60 61] [2 4] PCO_2 [62 63] [2 8] D.B. [64 65 66] [- 1 7] HCO_3^- [67 68] [1 6] P^H [69 70 71] [7 3 8]

TIPO DE ACIDOSIS MATERNA [72] [0] TIPO DE ACIDOSIS FETAL [73] [0] Δ-P^H MADRE-FETO [74 75] [0 3]

Δ-P^H VENA UMBILICAL-ARTERIA UMBILICAL [76 77] [0 5] PROMEDIO DE ASCENSOS T. [78 79] [5 3]

PROMEDIO DE ASCENSOS TRANSITORIOS QUE COINCIDEN CON LA CONTRACCION [80 81] [0 0]

TAQUICARDIA [82] [0] BRADICARDIA [83] [0] VARIABILIDAD DE LA FCF [84 85] [1 0] DIP-I [86 87] [0 0]

DIP-II [88 89] [0 0] TOTAL DIPS UMBILICALES [90 91] [0 0] DIP-U [92 93] [0 0] $DIP\text{-}U_p$ [94 95] [0 0]

$DIP\text{-}U_t$ [96 97] [0 0] $DIP\text{-}U_a$ [98 99] [0 0] $DIP\text{-}U_{ap}$ [100 101] [0 0] $DIP\text{-}U_{at}$ [102 103] [0 0] $DIP\text{-}U_{\lambda}$ [104 105] [0 0]

$DIP\text{-}U_{\lambda p}$ [106 107] [0 0] $DIP\text{-}U_{\lambda t}$ [108 109] [0 0] DIP-V [110 111] [0 0] $DIP\text{-}V_p$ [112 113] [0 0]

$DIP\text{-}V_t$ [114 115] [0 0] $DIP\text{-}V_b$ [116 117] [0 0] NUMERO DE CONTRACCIONES [118 119 120] [0 0 6]

NUMERO DE MINUTOS REGISTRADOS [121 122 123] [1 3 0]

HOJA CODIFICADA PARA EL ESTUDIO DE LAS VARIACIONES CARDIOTOCOGRAFICAS ATRIBUIDAS A LAS CIRCULARES DEL CORDON UMBILICAL

NOMBRE Y APELLIDOS:

GRUPO ESTUDIADO [1] [0] Nº DE Hª DE D.C. [2 3 4 5 6 7] [0 9 8 6 6 6] Nº DE UCIP [8 9 10 11 12] [1 3 1 2 0]

BOLSA [13] [0] L.A. [14] [2] MECONIO [15] [1] SEMANA DE AMENORREA [16 17] [4 0] SEXO [18] [1]

VITALIDAD [19] [0] EDAD MATERNA [20 21] [4 2] PARIDAD [22 23] [0 5] PESO DEL R.N. [24 25 26 27] [3 4 9 0]

FORMA DE TERMINACION DEL PARTO [28] [0] LONGITUD DEL CORDON [29 30] [5 0] APGAR-1 [31 32] [0 9]

APGAR-5 [33 34] [0 9] MORBILIDAD [35] [0]

MADRE: PO_2 [36 37] [7 4] PCO_2 [38 39] [3 0] D.B. [40 41 42] [- - 2] HCO_3^- [43 44] [2 0] P^H [45 46 47] [7 4 5]

FETO: ARTERIA. PO_2 [48 49] [0 9] PCO_2 [50 51] [6 0] D.B. [52 53 54] [- - 2] HCO_3^- [55 56] [2 6] P^H [57 58 59] [7 2 5]

VENA. PO_2 [60 61] [2 9] PCO_2 [62 63] [4 3] D.B. [64 65 66] [- - 3] HCO_3^- [67 68] [2 2] P^H [69 70 71] [7 3 2]

TIPO DE ACIDOSIS MATERNA [72] [0] TIPO DE ACIDOSIS FETAL [73] [0] Δ-P^H MADRE-FETO [74 75] [1 3]

Δ-P^H VENA UMBILICAL-ARTERIA UMBILICAL [76 77] [0 7] PROMEDIO DE ASCENSOS T. [78 79] [0 9]

PROMEDIO DE ASCENSOS TRANSITORIOS QUE COINCIDEN CON LA CONTRACCION [80 81] [0 5]

TAQUICARDIA [82] [0] BRADICARDIA [83] [0] VARIABILIDAD DE LA FCF [84 85] [0 8] DIP-I [86 87] [0 0]

DIP-II [88 89] [0 0] TOTAL DIPS UMBILICALES [90 91] [0 0] DIP-U [92 93] [0 0] $DIP\text{-}U_p$ [94 95] [0 0]

$DIP\text{-}U_t$ [96 97] [0 0] $DIP\text{-}U_a$ [98 99] [0 0] $DIP\text{-}U_{ap}$ [100 101] [0 0] $DIP\text{-}U_{at}$ [102 103] [0 0] $DIP\text{-}U_{\lambda}$ [104 105] [0 0]

$DIP\text{-}U_{\lambda p}$ [106 107] [0 0] $DIP\text{-}U_{\lambda t}$ [108 109] [0 0] DIP-V [110 111] [0 0] $DIP\text{-}V_p$ [112 113] [0 0]

$DIP\text{-}V_t$ [114 115] [0 0] $DIP\text{-}V_b$ [116 117] [0 0] NUMERO DE CONTRACCIONES [118 119 120] [0 1 1]

NUMERO DE MINUTOS REGISTRADOS [121 122 123] [0 6 3]

HOJA CODIFICADA PARA EL ESTUDIO DE LAS VARIACIONES CARDIOTOCOGRAFICAS ATRIBUIDAS A LAS CIRCULARES DEL CORDON UMBILICAL

NOMBRE Y APELLIDOS:

GRUPO ESTUDIADO 1: 0 | Nº DE Hº DE D.C. 2 3 4 5 6 7: 0 2 0 2 4 5 | Nº DE UCIP 8 9 10 11 12: 1 7 1 3 4

BOLSA 13: 0 | L.A. 14: 2 | MECONIO 15: 1 | SEMANA DE AMENORREA 16 17: 3 9 | SEXO 18: 1

VITALIDAD 19: 0 | EDAD MATERNA 20 21: 3 5 | PARIDAD 22 23: 0 3 | PESO DEL R.N. 24 25 26 27: 4 0 1 0

FORMA DE TERMINACION DEL PARTO 28: 0 | LONGITUD DEL CORDON 29 30: 5 0 | APGAR-1 31 32: 0 9

APGAR-5 33 34: 0 9 | MORBILIDAD 35: 0

MADRE: PO_2 36 37: 5 3 | PCO_2 38 39: 2 7 | D.B. 40 41 42: - - 9 | HCO_3^- 43 44: 1 4 | P^H 45 46 47: 7 3 4

FETO: ARTERIA. PO_2 48 49: 1 9 | PCO_2 50 51: 4 5 | D.B. 52 53 54: - 1 1 | HCO_3^- 55 56: 1 7 | P^H 57 58 59: 7 2 0

VENA. PO_2 60 61: 3 2 | PCO_2 62 63: 3 3 | D.B. 64 65 66: - - 8 | HCO_3^- 67 68: 1 7 | P^H 69 70 71: 1 3 2

TIPO DE ACIDOSIS MATERNA 72: 0 | TIPO DE ACIDOSIS FETAL 73: 4 | Δ-P^H MADRE-FETO 74 75: 0 2

Δ-P^H VENA UMBILICAL-ARTERIA UMBILICAL 76 77: 0 0 | PROMEDIO DE ASCENSOS ?. 78 79: 0 0

PROMEDIO DE ASCENSOS TRANSITORIOS QUE COINCIDEN CON LA CONTRACCION 80 81: 0 0

TAQUICARDIA 82: 0 | BRADICARDIA 83: 0 | VARIABILIDAD DE LA FCF 84 85: 0 7 | DIP-I 86 87: 0 0

DIP-II 88 89: 0 0 | TOTAL DIPS UMBILICALES 90 91: 0 3 | DIP-U 92 93: 0 0 | $DIP\text{-}U_p$ 94 95: 0 0

$DIP\text{-}U_t$ 96 97: 0 0 | $DIP\text{-}U_e$ 98 99: 0 0 | $DIP\text{-}U_{ep}$ 100 101: 0 0 | $DIP\text{-}U_{et}$ 102 103: 0 0 | $DIP\text{-}U_\lambda$ 104 105: 0 3

$DIP\text{-}U_{\lambda p}$ 106 107: 0 0 | $DIP\text{-}U_{\lambda t}$ 108 109: 0 0 | DIP-V 110 111: 0 0 | $DIP\text{-}V_p$ 112 113: 0 0

$DIP\text{-}V_t$ 114 115: 0 0 | $DIP\text{-}V_b$ 116 117: 0 0 | NUMERO DE CONTRACCIONES 118 119 120: 0 0 6

NUMERO DE MINUTOS REGISTRADOS 121 122 123: 1 0 8

HOJA CODIFICADA PARA EL ESTUDIO DE LAS VARIACIONES CARDIOTOCOGRAFICAS ATRIBUIDAS A LAS CIRCULARES DEL CORDON UMBILICAL

NOMBRE Y APELLIDOS:

GRUPO ESTUDIADO 1: 0 | Nº DE Hº DE D.C. 2 3 4 5 6 7: 0 7 5 9 1 6 | Nº DE UCIP 8 9 10 11 12: 1 7 4 1 0

BOLSA 13: 0 | L.A. 14: 2 | MECONIO 15: 1 | SEMANA DE AMENORREA 16 17: 4 1 | SEXO 18: 1

VITALIDAD 19: 0 | EDAD MATERNA 20 21: 3 1 | PARIDAD 22 23: 0 1 | PESO DEL R.N. 24 25 26 27: 3 0 3 0

FORMA DE TERMINACION DEL PARTO 28: 0 | LONGITUD DEL CORDON 29 30: 6 0 | APGAR-1 31 32: 0 9

APGAR-5 33 34: 1 0 | MORBILIDAD 35: 0

MADRE: PO_2 36 37: - - | PCO_2 38 39: - - | D.B. 40 41 42: - - - | HCO_3^- 43 44: - - | P^H 45 46 47: - - -

FETO: ARTERIA. PO_2 48 49: - - | PCO_2 50 51: - - | D.B. 52 53 54: - - - - | HCO_3^- 55 56: - - | P^H 57 58 59: - - - -

VENA. PO_2 60 61: - - | PCO_2 62 63: - - | D.B. 64 65 66: - - - - | HCO_3^- 67 68: - - | P^H 69 70 71: - - - -

TIPO DE ACIDOSIS MATERNA 72: - | TIPO DE ACIDOSIS FETAL 73: - | Δ-P^H MADRE-FETO 74 75: - -

Δ-P^H VENA UMBILICAL-ARTERIA UMBILICAL 76 77: - - | PROMEDIO DE ASCENSOS ?. 78 79: 2 6

PROMEDIO DE ASCENSOS TRANSITORIOS QUE COINCIDEN CON LA CONTRACCION 80 81: 0 0

TAQUICARDIA 82: 0 | BRADICARDIA 83: 0 | VARIABILIDAD DE LA FCF 84 85: 0 8 | DIP-I 86 87: 0 0

DIP-II 88 89: 0 0 | TOTAL DIPS UMBILICALES 90 91: 1 9 | DIP-U 92 93: 0 0 | $DIP\text{-}U_p$ 94 95: 0 0

$DIP\text{-}U_t$ 96 97: 0 0 | $DIP\text{-}U_e$ 98 99: 0 0 | $DIP\text{-}U_{ep}$ 100 101: 0 0 | $DIP\text{-}U_{et}$ 102 103: 0 0 | $DIP\text{-}U_\lambda$ 104 105: 1 6

$DIP\text{-}U_{\lambda p}$ 106 107: 0 3 | $DIP\text{-}U_{\lambda t}$ 108 109: 0 0 | DIP-V 110 111: 0 0 | $DIP\text{-}V_p$ 112 113: 0 0

$DIP\text{-}V_t$ 114 115: 0 0 | $DIP\text{-}V_b$ 116 117: 0 0 | NUMERO DE CONTRACCIONES 118 119 120: 0 0 6

NUMERO DE MINUTOS REGISTRADOS 121 122 123: 0 9 3

HOJA CODIFICADA PARA EL ESTUDIO DE LAS VARIACIONES CARDIOTOCOGRAFICAS ATRIBUIDAS A LAS CIRCULARES DEL CORDON UMBILICAL

NOMBRE Y APELLIDOS:

GRUPO ESTUDIADO 1: 0 | Nº DE Hº DE D.C. 2 3 4 5 6 7: 0 6 0 0 0 0 | Nº DE UCIP 8 9 10 11 12: 0 8 8 5 2

BOLSA 13: 1 | L.A. 14: 1 | MECONIO 15: 2 | SEMANA DE AMENORREA 16 17: 4 3 | SEXO 18: 1

VITALIDAD 19: 0 | EDAD MATERNA 20 21: 2 8 | PARIDAD 22 23: 0 0 | PESO DEL R.N. 24 25 26 27: 2 7 7 0

FORMA DE TERMINACION DEL PARTO 28: 1 | LONGITUD DEL CORDON 29 30: 5 5 | APGAR-1 31 32: 0 9

APGAR-5 33 34: 1 0 | MORBILIDAD 35: 0

MADRE: PO_2 36 37: 8 8 | PCO_2 38 39: 2 2 | D.B. 40 41 42: - 1 1 | HCO_3^- 43 44: 1 2 | P^H 45 46 47: 7 3 5

FETO: ARTERIA. PO_2 48 49: 1 4 | PCO_2 50 51: 6 4 | D.B. 52 53 54: - - 7 | HCO_3^- 55 56: 2 3 | P^H 57 58 59: 7 1 8

VENA. PO_2 60 61: 2 1 | PCO_2 62 63: 5 0 | D.B. 64 65 66: - - 8 | HCO_3^- 67 68: 2 1 | P^H 69 70 71: 7 2 1

TIPO DE ACIDOSIS MATERNA 72: 0 | TIPO DE ACIDOSIS FETAL 73: 3 | Δ-P^H MADRE-FETO 74 75: 1 4

Δ-P^H VENA UMBILICAL-ARTERIA UMBILICAL 76 77: 0 3 | PROMEDIO DE ASCENSOS ?. 78 79: 0 6

PROMEDIO DE ASCENSOS TRANSITORIOS QUE COINCIDEN CON LA CONTRACCION 80 81: 0 2

TAQUICARDIA 82: 0 | BRADICARDIA 83: 0 | VARIABILIDAD DE LA FCF 84 85: 0 4 | DIP-I 86 87: 0 2

DIP-II 88 89: 0 0 | TOTAL DIPS UMBILICALES 90 91: 0 6 | DIP-U 92 93: 0 0 | $DIP\text{-}U_p$ 94 95: 0 0

$DIP\text{-}U_t$ 96 97: 0 0 | $DIP\text{-}U_e$ 98 99: 0 0 | $DIP\text{-}U_{ep}$ 100 101: 0 0 | $DIP\text{-}U_{et}$ 102 103: 0 0 | $DIP\text{-}U_\lambda$ 104 105: 0 4

$DIP\text{-}U_{\lambda p}$ 106 107: 0 2 | $DIP\text{-}U_{\lambda t}$ 108 109: 0 0 | DIP-V 110 111: 0 1 | $DIP\text{-}V_p$ 112 113: 0 1

$DIP\text{-}V_t$ 114 115: 0 0 | $DIP\text{-}V_b$ 116 117: 0 0 | NUMERO DE CONTRACCIONES 118 119 120: 0 9 1

NUMERO DE MINUTOS REGISTRADOS 121 122 123: 5 5 8

HOJA CODIFICADA PARA EL ESTUDIO DE LAS VARIACIONES CARDIOTOCOGRAFICAS ATRIBUIDAS A LAS CIRCULARES DEL CORDON UMBILICAL

NOMBRE Y APELLIDOS:

GRUPO ESTUDIADO 1: 0 | Nº DE Hº DE D.C. 2 3 4 5 6 7: 0 3 3 4 3 4 | Nº DE UCIP 8 9 10 11 12: 1 5 5 4 5

BOLSA 13: 0 | L.A. 14: 2 | MECONIO 15: 1 | SEMANA DE AMENORREA 16 17: 4 3 | SEXO 18: 0

VITALIDAD 19: 0 | EDAD MATERNA 20 21: 2 7 | PARIDAD 22 23: 0 2 | PESO DEL R.N. 24 25 26 27: 3 5 0 0

FORMA DE TERMINACION DEL PARTO 28: 0 | LONGITUD DEL CORDON 29 30: 5 8 | APGAR-1 31 32: 0 9

APGAR-5 33 34: 0 9 | MORBILIDAD 35: 0

MADRE: PO_2 36 37: 9 8 | PCO_2 38 39: 2 6 | D.B. 40 41 42: - 1 0 | HCO_3^- 43 44: 1 3 | P^H 45 46 47: 7 3 3

FETO: ARTERIA. PO_2 48 49: 2 0 | PCO_2 50 51: 5 4 | D.B. 52 53 54: - 1 2 | HCO_3^- 55 56: 1 8 | P^H 57 58 59: 7 1 4

VENA. PO_2 60 61: 2 4 | PCO_2 62 63: 4 4 | D.B. 64 65 66: - 1 0 | HCO_3^- 67 68: 1 7 | P^H 69 70 71: 7 2 3

TIPO DE ACIDOSIS MATERNA 72: 0 | TIPO DE ACIDOSIS FETAL 73: 3 | Δ-P^H MADRE-FETO 74 75: 1 0

Δ-P^H VENA UMBILICAL-ARTERIA UMBILICAL 76 77: 0 9 | PROMEDIO DE ASCENSOS ?. 78 79: 1 6

PROMEDIO DE ASCENSOS TRANSITORIOS QUE COINCIDEN CON LA CONTRACCION 80 81: 0 7

TAQUICARDIA 82: 0 | BRADICARDIA 83: 0 | VARIABILIDAD DE LA FCF 84 85: 0 5 | DIP-I 86 87: 0 0

DIP-II 88 89: 0 0 | TOTAL DIPS UMBILICALES 90 91: 0 4 | DIP-U 92 93: 0 0 | $DIP\text{-}U_p$ 94 95: 0 0

$DIP\text{-}U_t$ 96 97: 0 0 | $DIP\text{-}U_e$ 98 99: 0 0 | $DIP\text{-}U_{ep}$ 100 101: 0 0 | $DIP\text{-}U_{et}$ 102 103: 0 0 | $DIP\text{-}U_\lambda$ 104 105: 0 2

$DIP\text{-}U_{\lambda p}$ 106 107: 0 2 | $DIP\text{-}U_{\lambda t}$ 108 109: 0 0 | DIP-V 110 111: 0 0 | $DIP\text{-}V_p$ 112 113: 0 0

$DIP\text{-}V_t$ 114 115: 0 0 | $DIP\text{-}V_b$ 116 117: 0 0 | NUMERO DE CONTRACCIONES 118 119 120: 0 1 6

NUMERO DE MINUTOS REGISTRADOS 121 122 123: 1 2 6

HOJA CODIFICADA PARA EL ESTUDIO DE LAS VARIACIONES CARDIOTOCOGRAFICAS ATRIBUIDAS A LAS CIRCULARES DEL CORDON UMBILICAL

NOMBRE Y APELLIDOS:

GRUPO ESTUDIADO 1: [0] Nº DE Hª DE D.C. 2 3 4 5 6 7: [1 0 1 2 6 3] Nº DE UCIP 8 9 10 11 12: [1 7 1 0 6]

BOLSA 13: [0] L.A. 14: [3] MECONIO 15: [1] SEMANA DE AMENORREA 16 17: [4 0] SEXO 18: [0]

VITALIDAD 19: [0] EDAD MATERNA 20 21: [4 1] PARIDAD 22 23: [0 3] PESO DEL R.N. 24 25 26 27: [3 5 5 0]

FORMA DE TERMINACION DEL PARTO 28: [0] LONGITUD DEL CORDON 29 30: [6 2] APGAR-1 31 32: [0 9]

APGAR-5 33 34: [1 0] MORBILIDAD 35: [0]

MADRE: PO_2 36 37: [5 3] PCO_2 38 39: [2 6] D.B. 40 41 42: [- 1 2] HCO_3^- 43 44: [1 3] P^H 45 46 47: [7 3 0]

FETO: ARTERIA. PO_2 48 49: [1 5] PCO_2 50 51: [4 2] D.B. 52 53 54: [- - 5] HCO_3^- 55 56: [2 1] P^H 57 58 59: [7 3 0]

VENA. PO_2 60 61: [2 5] PCO_2 62 63: [3 1] D.B. 64 65 66: [- 6] HCO_3^- 67 68: [1 8] P^H 69 70 71: [7 3 7]

TIPO DE ACIDOSIS MATERNA 72: [0] TIPO DE ACIDOSIS FETAL 73: [0] Δ-P^H MADRE-FETO 74 75: [0 1]

Δ-P^H VENA UMBILICAL-ARTERIA UMBILICAL 76 77: [0 1] PROMEDIO DE ASCENSOS ?. 78 79: [2 5]

PROMEDIO DE ASCENSOS TRANSITORIOS QUE COINCIDEN CON LA CONTRACCION 80 81: [0 0]

TAQUICARDIA 82: [0] BRADICARDIA 83: [0] VARIABILIDAD DE LA FCF 84 85: [0 4] DIP-I 86 87: [0 0]

DIP-II 88 89: [0 0] TOTAL DIPS UMBILICALES 90 91: [0 0] DIP-U 92 93: [0 0] $DIP\text{-}U_p$ 94 95: [0 0]

$DIP\text{-}U_t$ 96 97: [0 0] $DIP\text{-}U_e$ 98 99: [0 0] $DIP\text{-}U_{rp}$ 100 101: [0 0] $DIP\text{-}U_{rt}$ 102 103: [0 0] $DIP\text{-}U_\lambda$ 104 105: [0 0]

$DIP\text{-}U_{\lambda p}$ 106 107: [0 0] $DIP\text{-}U_{\lambda t}$ 108 109: [0 0] DIP-V 110 111: [0 0] $DIP\text{-}V_p$ 112 113: [0 0]

$DIP\text{-}V_t$ 114 115: [0 0] $DIP\text{-}V_b$ 116 117: [0 0] NUMERO DE CONTRACCIONES 118 119 120: [0 0 2]

NUMERO DE MINUTOS REGISTRADOS 121 122 123: [0 6 0]

HOJA CODIFICADA PARA EL ESTUDIO DE LAS VARIACIONES CARDIOTOCOGRAFICAS ATRIBUIDAS A LAS CIRCULARES DEL CORDON UMBILICAL

NOMBRE Y APELLIDOS:

GRUPO ESTUDIADO 1: [0] Nº DE Hª DE D.C. 2 3 4 5 6 7: [0 3 8 5 3 0] Nº DE UCIP 8 9 10 11 12: [0 9 0 8 3]

BOLSA 13: [0] L.A. 14: [2] MECONIO 15: [1] SEMANA DE AMENORREA 16 17: [4 1] SEXO 18: [1]

VITALIDAD 19: [0] EDAD MATERNA 20 21: [2 7] PARIDAD 22 23: [0 2] PESO DEL R.N. 24 25 26 27: [3 2 3 0]

FORMA DE TERMINACION DEL PARTO 28: [0] LONGITUD DEL CORDON 29 30: [4 3] APGAR-1 31 32: [0 9]

APGAR-5 33 34: [1 0] MORBILIDAD 35: [0]

MADRE: PO_2 36 37: [7 8] PCO_2 38 39: [3 0] D.B. 40 41 42: [- - 8] HCO_3^- 43 44: [1 6] P^H 45 46 47: [7 3 5]

FETO: ARTERIA. PO_2 48 49: [1 6] PCO_2 50 51: [6 0] D.B. 52 53 54: [- 1 6] HCO_3^- 55 56: [2 4] P^H 57 58 59: [7 2 1]

VENA. PO_2 60 61: [2 7] PCO_2 62 63: [4 5] D.B. 64 65 66: [- - 5] HCO_3^- 67 68: [2 2] P^H 69 70 71: [7 3 0]

TIPO DE ACIDOSIS MATERNA 72: [0] TIPO DE ACIDOSIS FETAL 73: [0] Δ-P^H MADRE-FETO 74 75: [0 5]

Δ-P^H VENA UMBILICAL-ARTERIA UMBILICAL 76 77: [0 9] PROMEDIO DE ASCENSOS ?. 78 79: [0 5]

PROMEDIO DE ASCENSOS TRANSITORIOS QUE COINCIDEN CON LA CONTRACCION 80 81: [0 0]

TAQUICARDIA 82: [0] BRADICARDIA 83: [0] VARIABILIDAD DE LA FCF 84 85: [0 5] DIP-I 86 87: [0 0]

DIP-II 88 89: [0 0] TOTAL DIPS UMBILICALES 90 91: [0 0] DIP-U 92 93: [0 0] $DIP\text{-}U_p$ 94 95: [0 0]

$DIP\text{-}U_t$ 96 97: [0 0] $DIP\text{-}U_e$ 98 99: [0 0] $DIP\text{-}U_{rp}$ 100 101: [0 0] $DIP\text{-}U_{rt}$ 102 103: [0 0] $DIP\text{-}U_\lambda$ 104 105: [0 0]

$DIP\text{-}U_{\lambda p}$ 106 107: [0 0] $DIP\text{-}U_{\lambda t}$ 108 109: [0 0] DIP-V 110 111: [0 0] $DIP\text{-}V_p$ 112 113: [0 0]

$DIP\text{-}V_t$ 114 115: [0 0] $DIP\text{-}V_b$ 116 117: [0 0] NUMERO DE CONTRACCIONES 118 119 120: [0 0 8]

NUMERO DE MINUTOS REGISTRADOS 121 122 123: [0 6 5]

HOJA CODIFICADA PARA EL ESTUDIO DE LAS VARIACIONES CARDIOTOCOGRAFICAS ATRIBUIDAS A LAS CIRCULARES DEL CORDON UMBILICAL

NOMBRE Y APELLIDOS:

GRUPO ESTUDIADO 1: [0] Nº DE Hª DE D.C. 2 3 4 5 6 7: [0 5 7 2 0 6] Nº DE UCIP 8 9 10 11 12: [1 7 6 4 1 7]

BOLSA 13: [1] L.A. 14: [0] MECONIO 15: [0] SEMANA DE AMENORREA 16 17: [3 9] SEXO 18: [1]

VITALIDAD 19: [0] EDAD MATERNA 20 21: [2 8] PARIDAD 22 23: [0 3] PESO DEL R.N. 24 25 26 27: [2 8 6 0]

FORMA DE TERMINACION DEL PARTO 28: [0] LONGITUD DEL CORDON 29 30: [6 0] APGAR-1 31 32: [0 9]

APGAR-5 33 34: [0 9] MORBILIDAD 35: [0]

MADRE: PO_2 36 37: [6 6] PCO_2 38 39: [2 8] D.B. 40 41 42: [- - 5] HCO_3^- 43 44: [1 8] P^H 45 46 47: [7 4 1]

FETO: ARTERIA. PO_2 48 49: [2 2] PCO_2 50 51: [3 8] D.B. 52 53 54: [- - 2] HCO_3^- 55 56: [2 2] P^H 57 58 59: [7 3 6]

VENA. PO_2 60 61: [3 2] PCO_2 62 63: [3 3] D.B. 64 65 66: [- - 1] HCO_3^- 67 68: [- -] P^H 69 70 71: [7 4 4]

TIPO DE ACIDOSIS MATERNA 72: [0] TIPO DE ACIDOSIS FETAL 73: [0] Δ-P^H MADRE-FETO 74 75: [0 1]

Δ-P^H VENA UMBILICAL-ARTERIA UMBILICAL 76 77: [0 5] PROMEDIO DE ASCENSOS ?. 78 79: [3 5]

PROMEDIO DE ASCENSOS TRANSITORIOS QUE COINCIDEN CON LA CONTRACCION 80 81: [1 0]

TAQUICARDIA 82: [0] BRADICARDIA 83: [0] VARIABILIDAD DE LA FCF 84 85: [0 4] DIP-I 86 87: [0 0]

DIP-II 88 89: [0 0] TOTAL DIPS UMBILICALES 90 91: [0 0] DIP-U 92 93: [0 0] $DIP\text{-}U_p$ 94 95: [0 0]

$DIP\text{-}U_t$ 96 97: [0 0] $DIP\text{-}U_e$ 98 99: [0 0] $DIP\text{-}U_{rp}$ 100 101: [0 0] $DIP\text{-}U_{rt}$ 102 103: [0 0] $DIP\text{-}U_\lambda$ 104 105: [0 0]

$DIP\text{-}U_{\lambda p}$ 106 107: [0 0] $DIP\text{-}U_{\lambda t}$ 108 109: [0 0] DIP-V 110 111: [0 0] $DIP\text{-}V_p$ 112 113: [0 0]

$DIP\text{-}V_t$ 114 115: [0 0] $DIP\text{-}V_b$ 116 117: [0 0] NUMERO DE CONTRACCIONES 118 119 120: [0 0 6]

NUMERO DE MINUTOS REGISTRADOS 121 122 123: [0 6 0]

HOJA CODIFICADA PARA EL ESTUDIO DE LAS VARIACIONES CARDIOTOCOGRAFICAS ATRIBUIDAS A LAS CIRCULARES DEL CORDON UMBILICAL

NOMBRE Y APELLIDOS:

GRUPO ESTUDIADO 1: [0] Nº DE Hª DE D.C. 2 3 4 5 6 7: [0 4 6 5 1 3] Nº DE UCIP 8 9 10 11 12: [0 9 1 1 0 3]

BOLSA 13: [1] L.A. 14: [2] MECONIO 15: [1] SEMANA DE AMENORREA 16 17: [3 6] SEXO 18: [1]

VITALIDAD 19: [0] EDAD MATERNA 20 21: [2 7] PARIDAD 22 23: [0 1] PESO DEL R.N. 24 25 26 27: [2 9 4 0]

FORMA DE TERMINACION DEL PARTO 28: [0] LONGITUD DEL CORDON 29 30: [5 5] APGAR-1 31 32: [0 9]

APGAR-5 33 34: [1 0] MORBILIDAD 35: [0]

MADRE: PO_2 36 37: [6 9] PCO_2 38 39: [2 7] D.B. 40 41 42: [- - 4] HCO_3^- 43 44: [1 8] P^H 45 46 47: [7 4 4]

FETO: ARTERIA. PO_2 48 49: [2 1] PCO_2 50 51: [4 8] D.B. 52 53 54: [- - 4] HCO_3^- 55 56: [2 3] P^H 57 58 59: [7 2 9]

VENA. PO_2 60 61: [3 6] PCO_2 62 63: [3 6] D.B. 64 65 66: [- - 3] HCO_3^- 67 68: [2 1] P^H 69 70 71: [7 4 0]

TIPO DE ACIDOSIS MATERNA 72: [0] TIPO DE ACIDOSIS FETAL 73: [0] Δ-P^H MADRE-FETO 74 75: [0 4]

Δ-P^H VENA UMBILICAL-ARTERIA UMBILICAL 76 77: [1 1] PROMEDIO DE ASCENSOS ?. 78 79: [1 7]

PROMEDIO DE ASCENSOS TRANSITORIOS QUE COINCIDEN CON LA CONTRACCION 80 81: [0 0]

TAQUICARDIA 82: [0] BRADICARDIA 83: [0] VARIABILIDAD DE LA FCF 84 85: [0 7] DIP-I 86 87: [0 0]

DIP-II 88 89: [0 0] TOTAL DIPS UMBILICALES 90 91: [0 0] DIP-U 92 93: [0 0] $DIP\text{-}U_p$ 94 95: [0 0]

$DIP\text{-}U_t$ 96 97: [0 0] $DIP\text{-}U_e$ 98 99: [0 0] $DIP\text{-}U_{rp}$ 100 101: [0 0] $DIP\text{-}U_{rt}$ 102 103: [0 0] $DIP\text{-}U_\lambda$ 104 105: [0 0]

$DIP\text{-}U_{\lambda p}$ 106 107: [0 0] $DIP\text{-}U_{\lambda t}$ 108 109: [0 0] DIP-V 110 111: [0 0] $DIP\text{-}V_p$ 112 113: [0 0]

$DIP\text{-}V_t$ 114 115: [0 0] $DIP\text{-}V_b$ 116 117: [0 0] NUMERO DE CONTRACCIONES 118 119 120: [0 2 7]

NUMERO DE MINUTOS REGISTRADOS 121 122 123: [0 9 0]

HOJA CODIFICADA PARA EL ESTUDIO DE LAS VARIACIONES CARDIOTOCOGRAFICAS ATRIBUIDAS A LAS CIRCULARES DEL CORDON UMBILICAL

NOMBRE Y APELLIDOS:

GRUPO ESTUDIADO 1: 0 | Nº DE Hª DE D.C 2-7: 0 3 2 4 9 9 | Nº DE UCIP 8-12: 1 6 8 4 2

BOLSA 13: 0 | L.A. 14: 2 | MECONIO 15: 0 | SEMANA DE AMENORREA 16-17: 3 9 | SEXO 18: 0

VITALIDAD 19: 0 | EDAD MATERNA 20-21: 3 8 | PARIDAD 22-23: 0 5 | PESO DEL R.N. 24-27: 3 9 0 0

FORMA DE TERMINACION DEL PARTO 28: 0 | LONGITUD DEL CORDON 29-30: 6 0 | APGAR-1 31-32: 0 9

APGAR-5 33-34: 1 0 | MORBILIDAD 35: 0

MADRE: PO_2 36-37: 7 9 | PCO_2 38-39: 2 2 | D.B. 40-42: - 1 0 | HCO_3^- 43-44: 1 2 | P^H 45-47: 7 3 8

FETO: ARTERIA. PO_2 48-49: 1 8 | PCO_2 50-51: 4 1 | D.B. 52-54: - 1 7 | HCO_3^- 55-56: 1 9 | P^H 57-59: 7 2 8

VENA. PO_2 60-61: 2 2 | PCO_2 62-63: 3 3 | D.B. 64-66: - 1 7 | HCO_3^- 67-68: 1 8 | P^H 69-71: 7 3 5

TIPO DE ACIDOSIS MATERNA 72: 0 | TIPO DE ACIDOSIS FETAL 73: 0 | Δ-P^H MADRE-FETO 74-75: 0 3

Δ-P^H VENA UMBILICAL-ARTERIA UMBILICAL 76-77: 0 7 | PROMEDIO DE ASCENSOS T. 78-79: 5 9

PROMEDIO DE ASCENSOS TRANSITORIOS QUE COINCIDEN CON LA CONTRACCION 80-81: 0 0

TAQUICARDIA 82: 0 | BRADICARDIA 83: 0 | VARIABILIDAD DE LA FCF 84-85: 0 7 | DIP-I 86-87: 0 0

DIP-II 88-89: 0 0 | TOTAL DIPS UMBILICALES 90-91: 0 0 | DIP-U 92-93: 0 0 | $DIP\text{-}U_p$ 94-95: 0 0

$DIP\text{-}U_t$ 96-97: 0 0 | $DIP\text{-}U_e$ 98-99: 0 0 | $DIP\text{-}U_{rp}$ 100-101: 0 0 | $DIP\text{-}U_{rt}$ 102-103: 0 0 | $DIP\text{-}U_\lambda$ 104-105: 0 0

$DIP\text{-}U_{\lambda p}$ 106-107: 0 0 | $DIP\text{-}U_{\lambda t}$ 108-109: 0 0 | DIP-V 110-111: 0 0 | $DIP\text{-}V_p$ 112-113: 0 0

$DIP\text{-}V_t$ 114-115: 0 0 | $DIP\text{-}V_b$ 116-117: 0 0 | NUMERO DE CONTRACCIONES 118-120: 0 0 1

NUMERO DE MINUTOS REGISTRADOS 121-123: 0 8 1

HOJA CODIFICADA PARA EL ESTUDIO DE LAS VARIACIONES CARDIOTOCOGRAFICAS ATRIBUIDAS A LAS CIRCULARES DEL CORDON UMBILICAL

NOMBRE Y APELLIDOS:

GRUPO ESTUDIADO 1: 0 | Nº DE Hª DE D.C 2-7: 1 0 0 8 3 7 | Nº DE UCIP 8-12: 1 7 2 4 2

BOLSA 13: 0 | L.A. 14: 1 | MECONIO 15: 2 | SEMANA DE AMENORREA 16-17: 3 9 | SEXO 18: 1

VITALIDAD 19: 0 | EDAD MATERNA 20-21: 2 6 | PARIDAD 22-23: 0 0 | PESO DEL R.N. 24-27: 3 5 7 0

FORMA DE TERMINACION DEL PARTO 28: 3 | LONGITUD DEL CORDON 29-30: 5 0 | APGAR-1 31-32: 0 9

APGAR-5 33-34: 0 9 | MORBILIDAD 35: 0

MADRE: PO_2 36-37: 8 4 | PCO_2 38-39: 2 8 | D.B. 40-42: - 1 7 | HCO_3^- 43-44: 1 6 | P^H 45-47: 7 3 7

FETO: ARTERIA. PO_2 48-49: 2 4 | PCO_2 50-51: 3 4 | D.B. 52-54: - 1 1 1 | HCO_3^- 55-56: 1 6 | P^H 57-59: 7 2 2

VENA. PO_2 60-61: 5 7 | PCO_2 62-63: 3 4 | D.B. 64-66: - 1 8 | HCO_3^- 67-68: 1 7 | P^H 69-71: 7 3 1

TIPO DE ACIDOSIS MATERNA 72: 0 | TIPO DE ACIDOSIS FETAL 73: 0 | Δ-P^H MADRE-FETO 74-75: 0 6

Δ-P^H VENA UMBILICAL-ARTERIA UMBILICAL 76-77: 0 9 | PROMEDIO DE ASCENSOS T. 78-79: 1 3

PROMEDIO DE ASCENSOS TRANSITORIOS QUE COINCIDEN CON LA CONTRACCION 80-81: 0 2

TAQUICARDIA 82: 0 | BRADICARDIA 83: 0 | VARIABILIDAD DE LA FCF 84-85: 0 5 | DIP-I 86-87: 0 0

DIP-II 88-89: 0 0 | TOTAL DIPS UMBILICALES 90-91: 0 0 | DIP-U 92-93: 0 0 | $DIP\text{-}U_p$ 94-95: 0 0

$DIP\text{-}U_t$ 96-97: 0 0 | $DIP\text{-}U_e$ 98-99: 0 0 | $DIP\text{-}U_{rp}$ 100-101: 0 0 | $DIP\text{-}U_{rt}$ 102-103: 0 0 | $DIP\text{-}U_\lambda$ 104-105: 0 0

$DIP\text{-}U_{\lambda p}$ 106-107: 0 0 | $DIP\text{-}U_{\lambda t}$ 108-109: 0 0 | DIP-V 110-111: 0 0 | $DIP\text{-}V_p$ 112-113: 0 0

$DIP\text{-}V_t$ 114-115: 0 0 | $DIP\text{-}V_b$ 116-117: 0 0 | NUMERO DE CONTRACCIONES 118-120: 0 1 8

NUMERO DE MINUTOS REGISTRADOS 121-123: 1 3 0

HOJA CODIFICADA PARA EL ESTUDIO DE LAS VARIACIONES CARDIOTOCOGRAFICAS ATRIBUIDAS A LAS CIRCULARES DEL CORDON UMBILICAL

NOMBRE Y APELLIDOS:

GRUPO ESTUDIADO 1: 0 | Nº DE Hª DE D.C 2-7: 0 8 2 0 9 9 | Nº DE UCIP 8-12: 1 2 0 6 2

BOLSA 13: 0 | L.A. 14: 2 | MECONIO 15: 1 | SEMANA DE AMENORREA 16-17: 4 2 | SEXO 18: 1

VITALIDAD 19: 0 | EDAD MATERNA 20-21: 2 3 | PARIDAD 22-23: 0 0 | PESO DEL R.N. 24-27: 3 9 5 0

FORMA DE TERMINACION DEL PARTO 28: 0 | LONGITUD DEL CORDON 29-30: 6 5 | APGAR-1 31-32: 0 9

APGAR-5 33-34: 1 0 | MORBILIDAD 35: 0

MADRE: PO_2 36-37: 6 0 | PCO_2 38-39: 2 4 | D.B. 40-42: - 1 8 | HCO_3^- 43-44: 1 4 | P^H 45-47: 7 3 8

FETO: ARTERIA. PO_2 48-49: 0 7 | PCO_2 50-51: 4 6 | D.B. 52-54: - 1 4 | HCO_3^- 55-56: 2 2 | P^H 57-59: 7 3 0

VENA. PO_2 60-61: 1 8 | PCO_2 62-63: 3 3 | D.B. 64-66: - 1 4 | HCO_3^- 67-68: 2 0 | P^H 69-71: 7 3 7

TIPO DE ACIDOSIS MATERNA 72: 0 | TIPO DE ACIDOSIS FETAL 73: 0 | Δ-P^H MADRE-FETO 74-75: 0 1

Δ-P^H VENA UMBILICAL-ARTERIA UMBILICAL 76-77: 0 7 | PROMEDIO DE ASCENSOS T. 78-79: 1 4

PROMEDIO DE ASCENSOS TRANSITORIOS QUE COINCIDEN CON LA CONTRACCION 80-81: 0 3

TAQUICARDIA 82: 0 | BRADICARDIA 83: 0 | VARIABILIDAD DE LA FCF 84-85: 0 5 | DIP-I 86-87: 0 0

DIP-II 88-89: 0 0 | TOTAL DIPS UMBILICALES 90-91: 0 0 | DIP-U 92-93: 0 0 | $DIP\text{-}U_p$ 94-95: 0 0

$DIP\text{-}U_t$ 96-97: 0 0 | $DIP\text{-}U_e$ 98-99: 0 0 | $DIP\text{-}U_{rp}$ 100-101: 0 0 | $DIP\text{-}U_{rt}$ 102-103: 0 0 | $DIP\text{-}U_\lambda$ 104-105: 0 0

$DIP\text{-}U_{\lambda p}$ 106-107: 0 0 | $DIP\text{-}U_{\lambda t}$ 108-109: 0 0 | DIP-V 110-111: 0 0 | $DIP\text{-}V_p$ 112-113: 0 0

$DIP\text{-}V_t$ 114-115: 0 0 | $DIP\text{-}V_b$ 116-117: 0 0 | NUMERO DE CONTRACCIONES 118-120: 0 1 8

NUMERO DE MINUTOS REGISTRADOS 121-123: 0 8 7

HOJA CODIFICADA PARA EL ESTUDIO DE LAS VARIACIONES CARDIOTOCOGRAFICAS ATRIBUIDAS A LAS CIRCULARES DEL CORDON UMBILICAL

NOMBRE Y APELLIDOS:

GRUPO ESTUDIADO 1: 0 | Nº DE Hª DE D.C 2-7: 0 8 1 9 8 5 | Nº DE UCIP 8-12: 1 1 5 8 9

BOLSA 13: 1 | L.A. 14: 0 | MECONIO 15: 0 | SEMANA DE AMENORREA 16-17: 3 6 | SEXO 18: 1

VITALIDAD 19: 0 | EDAD MATERNA 20-21: 2 6 | PARIDAD 22-23: 0 1 | PESO DEL R.N. 24-27: 2 3 4 0

FORMA DE TERMINACION DEL PARTO 28: 1 | LONGITUD DEL CORDON 29-30: 5 5 | APGAR-1 31-32: 0 9

APGAR-5 33-34: 1 0 | MORBILIDAD 35: 0

MADRE: PO_2 36-37: 7 9 | PCO_2 38-39: 2 5 | D.B. 40-42: - 1 8 | HCO_3^- 43-44: 1 5 | P^H 45-47: 7 4 1

FETO: ARTERIA. PO_2 48-49: 1 9 | PCO_2 50-51: 4 3 | D.B. 52-54: - 1 4 | HCO_3^- 55-56: 2 3 | P^H 57-59: 7 3 3

VENA. PO_2 60-61: 2 9 | PCO_2 62-63: 3 0 | D.B. 64-66: - 1 3 | HCO_3^- 67-68: 2 0 | P^H 69-71: 7 4 0

TIPO DE ACIDOSIS MATERNA 72: 0 | TIPO DE ACIDOSIS FETAL 73: 0 | Δ-P^H MADRE-FETO 74-75: 0 4

Δ-P^H VENA UMBILICAL-ARTERIA UMBILICAL 76-77: 0 7 | PROMEDIO DE ASCENSOS T. 78-79: 0 4

PROMEDIO DE ASCENSOS TRANSITORIOS QUE COINCIDEN CON LA CONTRACCION 80-81: 0 0

TAQUICARDIA 82: 0 | BRADICARDIA 83: 0 | VARIABILIDAD DE LA FCF 84-85: 0 6 | DIP-I 86-87: 0 0

DIP-II 88-89: 0 0 | TOTAL DIPS UMBILICALES 90-91: 0 0 | DIP-U 92-93: 0 0 | $DIP\text{-}U_p$ 94-95: 0 0

$DIP\text{-}U_t$ 96-97: 0 0 | $DIP\text{-}U_e$ 98-99: 0 0 | $DIP\text{-}U_{rp}$ 100-101: 0 0 | $DIP\text{-}U_{rt}$ 102-103: 0 0 | $DIP\text{-}U_\lambda$ 104-105: 0 0

$DIP\text{-}U_{\lambda p}$ 106-107: 0 0 | $DIP\text{-}U_{\lambda t}$ 108-109: 0 0 | DIP-V 110-111: 0 0 | $DIP\text{-}V_p$ 112-113: 0 0

$DIP\text{-}V_t$ 114-115: 0 0 | $DIP\text{-}V_b$ 116-117: 0 0 | NUMERO DE CONTRACCIONES 118-120: 0 0 0

NUMERO DE MINUTOS REGISTRADOS 121-123: 1 1 1

HOJA CODIFICADA PARA EL ESTUDIO DE LAS VARIACIONES CARDIOTOCOGRAFICAS
ATRIBUIDAS A LAS CIRCULARES DEL CORDON UMBILICAL

NOMBRE Y APELLIDOS:

GRUPO ESTUDIADO [0] Nº DE Hª DE D.C. [049781] Nº DE UCIP [12544]

BOLSA [0] L.A. [2] MECONIO [1] SEMANA DE AMENORREA [39] SEXO [0]

VITALIDAD [0] EDAD MATERNA [24] PARIDAD [01] PESO DEL R.N. [3520]

FORMA DE TERMINACION DEL PARTO [1] LONGITUD DEL CORDON [50] APGAR-1 [09]

APGAR-5 [10] MORBILIDAD [0]

MADRE: PO_2 [98] PCO_2 [19] D.B. [-9] HCO_3^- [12] P^H [743]

FETO: ARTERIA. PO_2 [18] PCO_2 [43] D.B. [-7] HCO_3^- [20] P^H [727]

VENA. PO_2 [27] PCO_2 [28] D.B. [-7] HCO_3^- [16] P^H [738]

TIPO DE ACIDOSIS MATERNA [0] TIPO DE ACIDOSIS FETAL [0] Δ-P^H MADRE-FETO [05]

Δ-P^H VENA UMBILICAL-ARTERIA UMBILICAL [11] PROMEDIO DE ASCENSOS T. [76]

PROMEDIO DE ASCENSOS TRANSITORIOS QUE COINCIDEN CON LA CONTRACCION [03]

TAQUICARDIA [0] BRADICARDIA [1] VARIABILIDAD DE LA FCF [10] DIP-I [00]

DIP-II [00] TOTAL DIPS UMBILICALES [00] DIP-U [00] DIP-U_p [00]

DIP-U_t [00] DIP-U_w [00] DIP-U_{wp} [00] DIP-U_{wt} [00] DIP-U_λ [00]

DIP-$U_{\lambda p}$ [00] DIP-$U_{\lambda t}$ [00] DIP-V [00] DIP-V_p [00]

DIP-V_t [00] DIP-V_b [00] NUMERO DE CONTRACCIONES [021]

NUMERO DE MINUTOS REGISTRADOS [095]

HOJA CODIFICADA PARA EL ESTUDIO DE LAS VARIACIONES CARDIOTOCOGRAFICAS
ATRIBUIDAS A LAS CIRCULARES DEL CORDON UMBILICAL

NOMBRE Y APELLIDOS:

GRUPO ESTUDIADO [0] Nº DE Hª DE D.C. [099105] Nº DE UCIP [17022]

BOLSA [0] L.A. [2] MECONIO [1] SEMANA DE AMENORREA [41] SEXO [1]

VITALIDAD [0] EDAD MATERNA [32] PARIDAD [04] PESO DEL R.N. [3870]

FORMA DE TERMINACION DEL PARTO [2] LONGITUD DEL CORDON [58] APGAR-1 [09]

APGAR-5 [09] MORBILIDAD [0]

MADRE: PO_2 [29] PCO_2 [28] D.B. [-9] HCO_3^- [14] P^H [734]

FETO: ARTERIA. PO_2 [20] PCO_2 [39] D.B. [-8] HCO_3^- [17] P^H [726]

VENA. PO_2 [98] PCO_2 [21] D.B. [-12] HCO_3^- [10] P^H [733]

TIPO DE ACIDOSIS MATERNA [0] TIPO DE ACIDOSIS FETAL [0] Δ-P^H MADRE-FETO [04]

Δ-P^H VENA UMBILICAL-ARTERIA UMBILICAL [08] PROMEDIO DE ASCENSOS T. [17]

PROMEDIO DE ASCENSOS TRANSITORIOS QUE COINCIDEN CON LA CONTRACCION [08]

TAQUICARDIA [0] BRADICARDIA [0] VARIABILIDAD DE LA FCF [06] DIP-I [00]

DIP-II [00] TOTAL DIPS UMBILICALES [00] DIP-U [00] DIP-U_p [00]

DIP-U_t [00] DIP-U_w [00] DIP-U_{wp} [00] DIP-U_{wt} [00] DIP-U_λ [00]

DIP-$U_{\lambda p}$ [00] DIP-$U_{\lambda t}$ [00] DIP-V [00] DIP-V_p [00]

DIP-V_t [00] DIP-V_b [00] NUMERO DE CONTRACCIONES [034]

NUMERO DE MINUTOS REGISTRADOS [435]

HOJA CODIFICADA PARA EL ESTUDIO DE LAS VARIACIONES CARDIOTOCOGRAFICAS
ATRIBUIDAS A LAS CIRCULARES DEL CORDON UMBILICAL

NOMBRE Y APELLIDOS:

GRUPO ESTUDIADO [0] Nº DE Hª DE D.C. [083408] Nº DE UCIP [13119]

BOLSA [0] L.A. [3] MECONIO [0] SEMANA DE AMENORREA [44] SEXO [1]

VITALIDAD [0] EDAD MATERNA [21] PARIDAD [00] PESO DEL R.N. [3750]

FORMA DE TERMINACION DEL PARTO [0] LONGITUD DEL CORDON [56] APGAR-1 [09]

APGAR-5 [10] MORBILIDAD [0]

MADRE: PO_2 [81] PCO_2 [26] D.B. [-7] HCO_3^- [15] P^H [738]

FETO: ARTERIA. PO_2 [21] PCO_2 [45] D.B. [0] HCO_3^- [21] P^H [735]

VENA. PO_2 [27] PCO_2 [34] D.B. [-5] HCO_3^- [25] P^H [742]

TIPO DE ACIDOSIS MATERNA [0] TIPO DE ACIDOSIS FETAL [0] Δ-P^H MADRE-FETO [03]

Δ-P^H VENA UMBILICAL-ARTERIA UMBILICAL [00] PROMEDIO DE ASCENSOS T. [58]

PROMEDIO DE ASCENSOS TRANSITORIOS QUE COINCIDEN CON LA CONTRACCION [32]

TAQUICARDIA [0] BRADICARDIA [0] VARIABILIDAD DE LA FCF [07] DIP-I [00]

DIP-II [00] TOTAL DIPS UMBILICALES [00] DIP-U [00] DIP-U_p [00]

DIP-U_t [00] DIP-U_w [00] DIP-U_{wp} [00] DIP-U_{wt} [00] DIP-U_λ [00]

DIP-$U_{\lambda p}$ [00] DIP-$U_{\lambda t}$ [00] DIP-V [00] DIP-V_p [00]

DIP-V_t [00] DIP-V_b [00] NUMERO DE CONTRACCIONES [101]

NUMERO DE MINUTOS REGISTRADOS [320]

HOJA CODIFICADA PARA EL ESTUDIO DE LAS VARIACIONES CARDIOTOCOGRAFICAS
ATRIBUIDAS A LAS CIRCULARES DEL CORDON UMBILICAL

NOMBRE Y APELLIDOS:

GRUPO ESTUDIADO [0] Nº DE Hª DE D.C. [033955] Nº DE UCIP [09081]

BOLSA [0] L.A. [2] MECONIO [1] SEMANA DE AMENORREA [40] SEXO [1]

VITALIDAD [0] EDAD MATERNA [40] PARIDAD [01] PESO DEL R.N. [3650]

FORMA DE TERMINACION DEL PARTO [0] LONGITUD DEL CORDON [55] APGAR-1 [09]

APGAR-5 [10] MORBILIDAD [0]

MADRE: PO_2 [74] PCO_2 [26] D.B. [-7] HCO_3^- [20] P^H [740]

FETO: ARTERIA. PO_2 [15] PCO_2 [43] D.B. [-5] HCO_3^- [22] P^H [731]

VENA. PO_2 [30] PCO_2 [33] D.B. [-5] HCO_3^- [19] P^H [739]

TIPO DE ACIDOSIS MATERNA [0] TIPO DE ACIDOSIS FETAL [0] Δ-P^H MADRE-FETO [01]

Δ-P^H VENA UMBILICAL-ARTERIA UMBILICAL [08] PROMEDIO DE ASCENSOS T. [48]

PROMEDIO DE ASCENSOS TRANSITORIOS QUE COINCIDEN CON LA CONTRACCION [07]

TAQUICARDIA [0] BRADICARDIA [0] VARIABILIDAD DE LA FCF [05] DIP-I [00]

DIP-II [00] TOTAL DIPS UMBILICALES [00] DIP-U [00] DIP-U_p [00]

DIP-U_t [00] DIP-U_w [00] DIP-U_{wp} [00] DIP-U_{wt} [00] DIP-U_λ [00]

DIP-$U_{\lambda p}$ [00] DIP-$U_{\lambda t}$ [00] DIP-V [00] DIP-V_p [00]

DIP-V_t [00] DIP-V_b [00] NUMERO DE CONTRACCIONES [021]

NUMERO DE MINUTOS REGISTRADOS [080]

HOJA CODIFICADA PARA EL ESTUDIO DE LAS VARIACIONES CARDIOTOCOGRAFICAS
ATRIBUIDAS A LAS CIRCULARES DEL CORDON UMBILICAL

NOMBRE Y APELLIDOS:

GRUPO ESTUDIADO [0] Nº DE Hª DE D.C. [057412] Nº DE UCIP [08736]

BOLSA [0] L.A. [1] MECONIO [2] SEMANA DE AMENORREA [39] SEXO [1]

VITALIDAD [0] EDAD MATERNA [36] PARIDAD [03] PESO DEL R.N. [3330]

FORMA DE TERMINACION DEL PARTO [0] LONGITUD DEL CORDON [50] APGAR-1 [09]

APGAR-5 [10] MORBILIDAD [0]

MADRE: PO_2 [81] PCO_2 [26] D.B. [-3] HCO_3^- [18] P^H [746]

FETO: ARTERIA. PO_2 [17] PCO_2 [58] D.B. [-1] HCO_3^- [27] P^H [727]

VENA. PO_2 [21] PCO_2 [45] D.B. [-1] HCO_3^- [24] P^H [735]

TIPO DE ACIDOSIS MATERNA [0] TIPO DE ACIDOSIS FETAL [0] Δ-P^H MADRE-FETO [11]

Δ-P^H VENA UMBILICAL-ARTERIA UMBILICAL [08] PROMEDIO DE ASCENSOS T. [16]

PROMEDIO DE ASCENSOS TRANSITORIOS QUE COINCIDEN CON LA CONTRACCION [00]

TAQUICARDIA [0] BRADICARDIA [0] VARIABILIDAD DE LA FCF [06] DIP-I [00]

DIP-II [00] TOTAL DIPS UMBILICALES [00] DIP-U [00] DIP-U_p [00]

DIP-U_t [00] DIP-U_w [00] DIP-U_{wp} [00] DIP-U_{wt} [00] DIP-U_λ [00]

DIP-$U_{\lambda p}$ [00] DIP-$U_{\lambda t}$ [00] DIP-V [00] DIP-V_p [00]

DIP-V_t [00] DIP-V_b [00] NUMERO DE CONTRACCIONES [017]

NUMERO DE MINUTOS REGISTRADOS [075]

HOJA CODIFICADA PARA EL ESTUDIO DE LAS VARIACIONES CARDIOTOCOGRAFICAS
ATRIBUIDAS A LAS CIRCULARES DEL CORDON UMBILICAL

NOMBRE Y APELLIDOS:

GRUPO ESTUDIADO [0] Nº DE Hª DE D.C. [077220] Nº DE UCIP [12075]

BOLSA [0] L.A. [2] MECONIO [1] SEMANA DE AMENORREA [41] SEXO [0]

VITALIDAD [0] EDAD MATERNA [19] PARIDAD [00] PESO DEL R.N. [3900]

FORMA DE TERMINACION DEL PARTO [0] LONGITUD DEL CORDON [56] APGAR-1 [09]

APGAR-5 [09] MORBILIDAD [0]

MADRE: PO_2 [93] PCO_2 [25] D.B. [-9] HCO_3^- [13] P^H [736]

FETO: ARTERIA. PO_2 [19] PCO_2 [50] D.B. [-6] HCO_3^- [22] P^H [724]

VENA. PO_2 [32] PCO_2 [41] D.B. [-6] HCO_3^- [20] P^H [730]

TIPO DE ACIDOSIS MATERNA [0] TIPO DE ACIDOSIS FETAL [0] Δ-P^H MADRE-FETO [06]

Δ-P^H VENA UMBILICAL-ARTERIA UMBILICAL [06] PROMEDIO DE ASCENSOS T. [11]

PROMEDIO DE ASCENSOS TRANSITORIOS QUE COINCIDEN CON LA CONTRACCION [08]

TAQUICARDIA [0] BRADICARDIA [0] VARIABILIDAD DE LA FCF [07] DIP-I [00]

DIP-II [00] TOTAL DIPS UMBILICALES [00] DIP-U [00] DIP-U_p [00]

DIP-U_t [00] DIP-U_w [00] DIP-U_{wp} [00] DIP-U_{wt} [00] DIP-U_λ [00]

DIP-$U_{\lambda p}$ [00] DIP-$U_{\lambda t}$ [00] DIP-V [00] DIP-V_p [00]

DIP-V_t [00] DIP-V_b [00] NUMERO DE CONTRACCIONES [054]

NUMERO DE MINUTOS REGISTRADOS [160]

HOJA CODIFICADA PARA EL ESTUDIO DE LAS VARIACIONES CARDIOTOCOGRAFICAS
ATRIBUIDAS A LAS CIRCULARES DEL CORDON UMBILICAL

NOMBRE Y APELLIDOS:

GRUPO ESTUDIADO [0] Nº DE Hª DE D.C. [084181] Nº DE UCIP [13310]

BOLSA [0] L.A. [2] MECONIO [0] SEMANA DE AMENORREA [41] SEXO [0]

VITALIDAD [0] EDAD MATERNA [28] PARIDAD [01] PESO DEL R.N. [4620]

FORMA DE TERMINACION DEL PARTO [1] LONGITUD DEL CORDON [70] APGAR-1 [09]

APGAR-5 [10] MORBILIDAD [0]

MADRE: PO_2 [?] PCO_2 [?] D.B. [?] HCO_3^- [?] P^H [?]

FETO: ARTERIA. PO_2 [13] PCO_2 [40] D.B. [-9] HCO_3^- [17] P^H [723]

VENA. PO_2 [35] PCO_2 [31] D.B. [-6] HCO_3^- [17] P^H [738]

TIPO DE ACIDOSIS MATERNA [?] TIPO DE ACIDOSIS FETAL [0] Δ-P^H MADRE-FETO [?]

Δ-P^H VENA UMBILICAL-ARTERIA UMBILICAL [15] PROMEDIO DE ASCENSOS T. [30]

PROMEDIO DE ASCENSOS TRANSITORIOS QUE COINCIDEN CON LA CONTRACCION [00]

TAQUICARDIA [0] BRADICARDIA [0] VARIABILIDAD DE LA FCF [05] DIP-I [00]

DIP-II [00] TOTAL DIPS UMBILICALES [00] DIP-U [00] DIP-U_p [00]

DIP-U_t [00] DIP-U_w [00] DIP-U_{wp} [00] DIP-U_{wt} [00] DIP-U_λ [00]

DIP-$U_{\lambda p}$ [00] DIP-$U_{\lambda t}$ [00] DIP-V [00] DIP-V_p [00]

DIP-V_t [00] DIP-V_b [00] NUMERO DE CONTRACCIONES [001]

NUMERO DE MINUTOS REGISTRADOS [060]

HOJA CODIFICADA PARA EL ESTUDIO DE LAS VARIACIONES CARDIOTOCOGRAFICAS
ATRIBUIDAS A LAS CIRCULARES DEL CORDON UMBILICAL

NOMBRE Y APELLIDOS:

GRUPO ESTUDIADO [0] Nº DE Hª DE D.C. [056194] Nº DE UCIP [08586]

BOLSA [0] L.A. [2] MECONIO [0] SEMANA DE AMENORREA [41] SEXO [0]

VITALIDAD [0] EDAD MATERNA [22] PARIDAD [00] PESO DEL R.N. [3700]

FORMA DE TERMINACION DEL PARTO [0] LONGITUD DEL CORDON [60] APGAR-1 [09]

APGAR-5 [10] MORBILIDAD [0]

MADRE: PO_2 [80] PCO_2 [28] D.B. [-6] HCO_3^- [16] P^H [739]

FETO: ARTERIA. PO_2 [16] PCO_2 [51] D.B. [-4] HCO_3^- [23] P^H [727]

VENA. PO_2 [21] PCO_2 [46] D.B. [-5] HCO_3^- [22] P^H [729]

TIPO DE ACIDOSIS MATERNA [0] TIPO DE ACIDOSIS FETAL [0] Δ-P^H MADRE-FETO [10]

Δ-P^H VENA UMBILICAL-ARTERIA UMBILICAL [02] PROMEDIO DE ASCENSOS T. [38]

PROMEDIO DE ASCENSOS TRANSITORIOS QUE COINCIDEN CON LA CONTRACCION [08]

TAQUICARDIA [0] BRADICARDIA [0] VARIABILIDAD DE LA FCF [06] DIP-I [00]

DIP-II [00] TOTAL DIPS UMBILICALES [00] DIP-U [00] DIP-U_p [00]

DIP-U_t [00] DIP-U_w [00] DIP-U_{wp} [00] DIP-U_{wt} [00] DIP-U_λ [00]

DIP-$U_{\lambda p}$ [00] DIP-$U_{\lambda t}$ [00] DIP-V [00] DIP-V_p [00]

DIP-V_t [00] DIP-V_b [00] NUMERO DE CONTRACCIONES [031]

NUMERO DE MINUTOS REGISTRADOS [120]

HOJA CODIFICADA PARA EL ESTUDIO DE LAS VARIACIONES CARDIOTOCOGRAFICAS ATRIBUIDAS A LAS CIRCULARES DEL CORDON UMBILICAL

NOMBRE Y APELLIDOS:

GRUPO ESTUDIADO [1] [0] Nº DE Nº DE D.C. [2 3 4 5 6 7] [0 5 7 3 4 2] Nº DE UCIP [8 9 10 11 12] [0 8 7 4 8]

BOLSA [13] [0] L.A. [14] [1] MECONIO [15] [0] SEMANA DE AMENORREA [16 17] [4 1] SEXO [18] [1]

VITALIDAD [19] [0] EDAD MATERNA [20 21] [2 4] PARIDAD [22 23] [0 2] PESO DEL R.N. [24 25 26 27] [4 7 9 0]

FORMA DE TERMINACION DEL PARTO [28] [1] LONGITUD DEL CORDON [29 30] [6 0] APGAR-1 [31 32] [0 9]

APGAR-5 [33 34] [1 0] MORBILIDAD [35] [0]

MADRE: PO_2 [36 37] [1 8] PCO_2 [38 39] [3 5] D.B. [40 41 42] [- 1 0] HCO_3^- [43 44] [1 6] P^H [45 46 47] [7 2 9]

FETO: ARTERIA. PO_2 [48 49] [1 0] PCO_2 [50 51] [4 1] D.B. [52 53 54] [- - 9] HCO_3^- [55 56] [1 8] P^H [57 58 59] [7 2 1]

VENA. PO_2 [60 61] [9 0] PCO_2 [62 63] [3 1] D.B. [64 65 66] [- 1 4] HCO_3^- [67 68] [1 2] P^H [69 70 71] [7 2 8]

TIPO DE ACIDOSIS MATERNA [72] [0] TIPO DE ACIDOSIS FETAL [73] [0] Δ-P^H MADRE-FETO [74 75] [0 1]

Δ-P^H VENA UMBILICAL-ARTERIA UMBILICAL [76 77] [0 8] PROMEDIO DE ASCENSOS ?. [78 79] [0 9]

PROMEDIO DE ASCENSOS TRANSITORIOS QUE COINCIDEN CON LA CONTRACCION [80 81] [0 3]

TAQUICARDIA [82] [0] BRADICARDIA [83] [0] VARIABILIDAD DE LA FCF [84 85] [0 9] DIP-I [86 87] [0 0]

DIP-II [88 89] [0 0] TOTAL DIPS UMBILICALES [90 91] [0 0] DIP-U [92 93] [0 0] $DIP\text{-}U_p$ [94 95] [0 0]

$DIP\text{-}U_t$ [96 97] [0 0] $DIP\text{-}U_v$ [98 99] [0 0] $DIP\text{-}U_{vp}$ [100 101] [0 0] $DIP\text{-}U_{vt}$ [102 103] [0 0] $DIP\text{-}U_\lambda$ [104 105] [0 0]

$DIP\text{-}U_{\lambda p}$ [106 107] [0 0] $DIP\text{-}U_{\lambda t}$ [108 109] [0 0] DIP-V [110 111] [0 0] $DIP\text{-}V_p$ [112 113] [0 0]

$DIP\text{-}V_t$ [114 115] [0 0] $DIP\text{-}V_b$ [116 117] [0 0] NUMERO DE CONTRACCIONES [118 119 120] [0 0 0]

NUMERO DE MINUTOS REGISTRADOS [121 122 123] [0 9 5]

HOJA CODIFICADA PARA EL ESTUDIO DE LAS VARIACIONES CARDIOTOCOGRAFICAS ATRIBUIDAS A LAS CIRCULARES DEL CORDON UMBILICAL

NOMBRE Y APELLIDOS:

GRUPO ESTUDIADO [1] [0] Nº DE Nº DE D.C. [2 3 4 5 6 7] [0 7 0 8 1 5] Nº DE UCIP [8 9 10 11 12] [1 5 3 5 3]

BOLSA [13] [0] L.A. [14] [2] MECONIO [15] [1] SEMANA DE AMENORREA [16 17] [3 9] SEXO [18] [0]

VITALIDAD [19] [0] EDAD MATERNA [20 21] [2 8] PARIDAD [22 23] [0 1] PESO DEL R.N. [24 25 26 27] [2 7 6 0]

FORMA DE TERMINACION DEL PARTO [28] [0] LONGITUD DEL CORDON [29 30] [5 0] APGAR-1 [31 32] [0 9]

APGAR 5 [33 34] [1 0] MORBILIDAD [35] [0]

MADRE: PO_2 [36 37] [- -] PCO_2 [38 39] [- -] D.B. [40 41 42] [- - -] HCO_3^- [43 44] [- -] P^H [45 46 47] [- - -]

FETO: ARTERIA. PO_2 [48 49] [- -] PCO_2 [50 51] [- -] D.B. [52 53 54] [- - -] HCO_3^- [55 56] [- -] P^H [57 58 59] [- - -]

VENA. PO_2 [60 61] [- -] PCO_2 [62 63] [- -] D.B. [64 65 66] [- - -] HCO_3^- [67 68] [- -] P^H [69 70 71] [- - -]

TIPO DE ACIDOSIS MATERNA [72] [-] TIPO DE ACIDOSIS FETAL [73] [-] Δ-P^H MADRE-FETO [74 75] [- -]

Δ-P^H VENA UMBILICAL-ARTERIA UMBILICAL [76 77] [- -] PROMEDIO DE ASCENSOS ?. [78 79] [2 0]

PROMEDIO DE ASCENSOS TRANSITORIOS QUE COINCIDEN CON LA CONTRACCION [80 81] [0 0]

TAQUICARDIA [82] [0] BRADICARDIA [83] [0] VARIABILIDAD DE LA FCF [84 85] [0 6] DIP-I [86 87] [0 0]

DIP-II [88 89] [0 0] TOTAL DIPS UMBILICALES [90 91] [0 0] DIP-U [92 93] [0 0] $DIP\text{-}U_p$ [94 95] [0 0]

$DIP\text{-}U_t$ [96 97] [0 0] $DIP\text{-}U_v$ [98 99] [0 0] $DIP\text{-}U_{vp}$ [100 101] [0 0] $DIP\text{-}U_{vt}$ [102 103] [0 0] $DIP\text{-}U_\lambda$ [104 105] [0 0]

$DIP\text{-}U_{\lambda p}$ [106 107] [0 0] $DIP\text{-}U_{\lambda t}$ [108 109] [0 0] DIP-V [110 111] [0 0] $DIP\text{-}V_p$ [112 113] [0 0]

$DIP\text{-}V_t$ [114 115] [0 0] $DIP\text{-}V_b$ [116 117] [0 0] NUMERO DE CONTRACCIONES [118 119 120] [0 0 7]

NUMERO DE MINUTOS REGISTRADOS [121 122 123] [1 3 5]

HOJA CODIFICADA PARA EL ESTUDIO DE LAS VARIACIONES CARDIOTOCOGRAFICAS ATRIBUIDAS A LAS CIRCULARES DEL CORDON UMBILICAL

NOMBRE Y APELLIDOS:

GRUPO ESTUDIADO [1] [0] Nº DE Nº DE D.C. [2 3 4 5 6 7] [0 5 4 5 4 2] Nº DE UCIP [8 9 10 11 12] [1 7 5 4 1]

BOLSA [13] [0] L.A. [14] [2] MECONIO [15] [0] SEMANA DE AMENORREA [16 17] [4 2] SEXO [18] [0]

VITALIDAD [19] [0] EDAD MATERNA [20 21] [2 5] PARIDAD [22 23] [0 1] PESO DEL R.N. [24 25 26 27] [4 2 9 0]

FORMA DE TERMINACION DEL PARTO [28] [1] LONGITUD DEL CORDON [29 30] [6 0] APGAR-1 [31 32] [0 9]

APGAR-5 [33 34] [1 0] MORBILIDAD [35] [0]

MADRE: PO_2 [36 37] [9 2] PCO_2 [38 39] [2 0] D.B. [40 41 42] [- - 6] HCO_3^- [43 44] [1 4] P^H [45 46 47] [7 4 5]

FETO: ARTERIA. PO_2 [48 49] [1 7] PCO_2 [50 51] [4 2] D.B. [52 53 54] [- - 5] HCO_3^- [55 56] [2 2] P^H [57 58 59] [7 3 0]

VENA. PO_2 [60 61] [2 2] PCO_2 [62 63] [3 3] D.B. [64 65 66] [- - 3] HCO_3^- [67 68] [2 1] P^H [69 70 71] [7 4 1]

TIPO DE ACIDOSIS MATERNA [72] [0] TIPO DE ACIDOSIS FETAL [73] [0] Δ-P^H MADRE-FETO [74 75] [0 4]

Δ-P^H VENA UMBILICAL-ARTERIA UMBILICAL [76 77] [1 1] PROMEDIO DE ASCENSOS ?. [78 79] [1 2]

PROMEDIO DE ASCENSOS TRANSITORIOS QUE COINCIDEN CON LA CONTRACCION [80 81] [0 0]

TAQUICARDIA [82] [0] BRADICARDIA [83] [0] VARIABILIDAD DE LA FCF [84 85] [0 6] DIP-I [86 87] [0 0]

DIP-II [88 89] [0 0] TOTAL DIPS UMBILICALES [90 91] [0 0] DIP-U [92 93] [0 0] $DIP\text{-}U_p$ [94 95] [0 0]

$DIP\text{-}U_t$ [96 97] [0 0] $DIP\text{-}U_v$ [98 99] [0 0] $DIP\text{-}U_{vp}$ [100 101] [0 0] $DIP\text{-}U_{vt}$ [102 103] [0 0] $DIP\text{-}U_\lambda$ [104 105] [0 0]

$DIP\text{-}U_{\lambda p}$ [106 107] [0 0] $DIP\text{-}U_{\lambda t}$ [108 109] [0 0] DIP-V [110 111] [0 0] $DIP\text{-}V_p$ [112 113] [0 0]

$DIP\text{-}V_t$ [114 115] [0 0] $DIP\text{-}V_b$ [116 117] [0 0] NUMERO DE CONTRACCIONES [118 119 120] [0 5 8]

NUMERO DE MINUTOS REGISTRADOS [121 122 123] [3 2 4]

HOJA CODIFICADA PARA EL ESTUDIO DE LAS VARIACIONES CARDIOTOCOGRAFICAS ATRIBUIDAS A LAS CIRCULARES DEL CORDON UMBILICAL

NOMBRE Y APELLIDOS:

GRUPO ESTUDIADO [1] [0] Nº DE Nº DE D.C. [2 3 4 5 6 7] [0 5 9 3 3 2] Nº DE UCIP [8 9 10 11 12] [1 2 0 7 4]

BOLSA [13] [0] L.A. [14] [2] MECONIO [15] [1] SEMANA DE AMENORREA [16 17] [4 0] SEXO [18] [1]

VITALIDAD [19] [0] EDAD MATERNA [20 21] [1 8] PARIDAD [22 23] [0 0] PESO DEL R.N. [24 25 26 27] [3 2 3 0]

FORMA DE TERMINACION DEL PARTO [28] [0] LONGITUD DEL CORDON [29 30] [4 9] APGAR-1 [31 32] [0 9]

APGAR-5 [33 34] [1 0] MORBILIDAD [35] [0]

MADRE: PO_2 [36 37] [7 8] PCO_2 [38 39] [2 8] D.B. [40 41 42] [- - 9] HCO_3^- [43 44] [1 4] P^H [45 46 47] [7 3 2]

FETO: ARTERIA. PO_2 [48 49] [2 1] PCO_2 [50 51] [4 3] D.B. [52 53 54] [- - 6] HCO_3^- [55 56] [2 0] P^H [57 58 59] [7 2 9]

VENA. PO_2 [60 61] [2 6] PCO_2 [62 63] [3 5] D.B. [64 65 66] [- - 5] HCO_3^- [67 68] [1 9] P^H [69 70 71] [7 3 0]

TIPO DE ACIDOSIS MATERNA [72] [0] TIPO DE ACIDOSIS FETAL [73] [0] Δ-P^H MADRE-FETO [74 75] [0 2]

Δ-P^H VENA UMBILICAL-ARTERIA UMBILICAL [76 77] [0 1] PROMEDIO DE ASCENSOS ?. [78 79] [0 9]

PROMEDIO DE ASCENSOS TRANSITORIOS QUE COINCIDEN CON LA CONTRACCION [80 81] [0 0]

TAQUICARDIA [82] [1] BRADICARDIA [83] [0] VARIABILIDAD DE LA FCF [84 85] [0 6] DIP-I [86 87] [0 0]

DIP-II [88 89] [0 0] TOTAL DIPS UMBILICALES [90 91] [0 0] DIP-U [92 93] [0 0] $DIP\text{-}U_p$ [94 95] [0 0]

$DIP\text{-}U_t$ [96 97] [0 0] $DIP\text{-}U_v$ [98 99] [0 0] $DIP\text{-}U_{vp}$ [100 101] [0 0] $DIP\text{-}U_{vt}$ [102 103] [0 0] $DIP\text{-}U_\lambda$ [104 105] [0 0]

$DIP\text{-}U_{\lambda p}$ [106 107] [0 0] $DIP\text{-}U_{\lambda t}$ [108 109] [0 0] DIP-V [110 111] [0 0] $DIP\text{-}V_p$ [112 113] [0 0]

$DIP\text{-}V_t$ [114 115] [0 0] $DIP\text{-}V_b$ [116 117] [0 0] NUMERO DE CONTRACCIONES [118 119 120] [0 1 0]

NUMERO DE MINUTOS REGISTRADOS [121 122 123] [1 0 5]

HOJA CODIFICADA PARA EL ESTUDIO DE LAS VARIACIONES CARDIOTOCOGRAFICAS ATRIBUIDAS A LAS CIRCULARES DEL CORDON UMBILICAL

NOMBRE Y APELLIDOS:

GRUPO ESTUDIADO 1: 0 | Nº DE Hª DE D.C. 2 3 4 5 6 7: 0 8 0 4 4 8 | Nº DE UCIP 8 9 10 11 12: 1 2 6 7 7

BOLSA 13: 0 | L.A. 14: 3 | MECONIO 15: 1 | SEMANA DE AMENORREA 16 17: 4 2 | SEXO 18: 1

VITALIDAD 19: 0 | EDAD MATERNA 20 21: 2 4 | PARIDAD 22 23: 0 0 | PESO DEL R.N. 24 25 26 27: 3 5 4 0

FORMA DE TERMINACION DEL PARTO 28: 0 | LONGITUD DEL CORDON 29 30: 5 5 | APGAR-1 31 32: 0 9

APGAR-5 33 34: 1 0 | MORBILIDAD 35: 0

MADRE: PO_2 36 37: 9 1 | PCO_2 38 39: 2 0 | D.B. 40 41 42: - 1 6 | HCO_3^- 43 44: 1 3 | pH 45 46 47: 7 4 8

FETO: ARTERIA. PO_2 48 49: 2 1 | PCO_2 50 51: 4 1 | D.B. 52 53 54: - 1 4 | HCO_3^- 55 56: 2 2 | pH 57 58 59: 7 3 4

VENA. PO_2 60 61: 3 9 | PCO_2 62 63: 3 3 | D.B. 64 65 66: - 1 3 | HCO_3^- 67 68: 2 0 | pH 69 70 71: 7 4 1

TIPO DE ACIDOSIS MATERNA 72: 0 | TIPO DE ACIDOSIS FETAL 73: 0 | Δ-pH MADRE-FETO 74 75: 0 7

Δ-pH VENA UMBILICAL-ARTERIA UMBILICAL 76 77: 0 7 | PROMEDIO DE ASCENSOS ?. 78 79: 3 0

PROMEDIO DE ASCENSOS TRANSITORIOS QUE COINCIDEN CON LA CONTRACCION 80 81: 0 0

TAQUICARDIA 82: 0 | BRADICARDIA 83: 0 | VARIABILIDAD DE LA FCF 84 85: 0 6 | DIP-I 86 87: 0 0

DIP-II 88 89: 0 0 | TOTAL DIPS UMBILICALES 90 91: 0 0 | DIP-U 92 93: 0 0 | $DIP-U_p$ 94 95: 0 0

$DIP-U_1$ 96 97: 0 0 | $DIP-U_a$ 98 99: 0 0 | $DIP-U_{ap}$ 100 101: 0 0 | $DIP-U_{a1}$ 102 103: 0 0 | $DIP-U_{\lambda}$ 104 105: 0 0

$DIP-U_{\lambda p}$ 106 107: 0 0 | $DIP-U_{\lambda 1}$ 108 109: 0 0 | DIP-V 110 111: 0 0 | $DIP-V_p$ 112 113: 0 0

$DIP-V_1$ 114 115: 0 0 | $DIP-V_b$ 116 117: 0 0 | NUMERO DE CONTRACCIONES 118 119 120: 0 0 3

NUMERO DE MINUTOS REGISTRADOS 121 122 123: 0 8 0

HOJA CODIFICADA PARA EL ESTUDIO DE LAS VARIACIONES CARDIOTOCOGRAFICAS ATRIBUIDAS A LAS CIRCULARES DEL CORDON UMBILICAL

NOMBRE Y APELLIDOS:

GRUPO ESTUDIADO 1: 0 | Nº DE Hª DE D.C. 2 3 4 5 6 7: 0 6 4 5 5 4 | Nº DE UCIP 8 9 10 11 12: 1 2 4 2 3

BOLSA 13: 0 | L.A. 14: 1 | MECONIO 15: 2 | SEMANA DE AMENORREA 16 17: 3 9 | SEXO 18: 1

VITALIDAD 19: C | EDAD MATERNA 20 21: 2 9 | PARIDAD 22 23: 0 1 | PESO DEL R.N. 24 25 26 27: 3 6 5 0

FORMA DE TERMINACION DEL PARTO 28: 0 | LONGITUD DEL CORDON 29 30: 5 5 | APGAR-1 31 32: 0 9

APGAR-5 33 34: 1 0 | MORBILIDAD 35: 0

MADRE: PO_2 36 37: 6 8 | PCO_2 38 39: 2 9 | D.B. 40 41 42: - 1 1 | HCO_3^- 43 44: 1 4 | pH 45 46 47: 7 3 1

FETO: ARTERIA. PO_2 48 49: 4 6 | PCO_2 50 51: 4 6 | D.B. 52 53 54: - 1 7 | HCO_3^- 55 56: 2 0 | pH 57 58 59: 7 2 5

VENA. PO_2 60 61: 3 1 | PCO_2 62 63: 3 2 | D.B. 64 65 66: - 1 7 | HCO_3^- 67 68: 1 8 | pH 69 70 71: 7 3 4

TIPO DE ACIDOSIS MATERNA 72: 0 | TIPO DE ACIDOSIS FETAL 73: 0 | Δ-pH MADRE-FETO 74 75: 0 3

Δ-pH VENA UMBILICAL-ARTERIA UMBILICAL 76 77: 0 9 | PROMEDIO DE ASCENSOS ?. 78 79: 1 9

PROMEDIO DE ASCENSOS TRANSITORIOS QUE COINCIDEN CON LA CONTRACCION 80 81: 1 1

TAQUICARDIA 82: 0 | BRADICARDIA 83: 0 | VARIABILIDAD DE LA FCF 84 85: 0 8 | DIP-I 86 87: 0 0

DIP-II 88 89: 0 0 | TOTAL DIPS UMBILICALES 90 91: 0 0 | DIP-U 92 93: 0 0 | $DIP-U_p$ 94 95: 0 0

$DIP-U_1$ 96 97: 0 0 | $DIP-U_a$ 98 99: 0 0 | $DIP-U_{ap}$ 100 101: 0 1 0 | $DIP-U_{a1}$ 102 103: 0 1 0 | $DIP-U_{\lambda}$ 104 105: 0 0

$DIP-U_{\lambda p}$ 106 107: 0 0 | $DIP-U_{\lambda 1}$ 108 109: 0 0 | DIP-V 110 111: C 1 0 | $DIP-V_p$ 112 113: 0 0

$DIP-V_1$ 114 115: 0 0 | $DIP-V_b$ 116 117: 0 0 | NUMERO DE CONTRACCIONES 118 119 120: 0 1 2

NUMERO DE MINUTOS REGISTRADOS 121 122 123: 0 8 1

HOJA CODIFICADA PARA EL ESTUDIO DE LAS VARIACIONES CARDIOTOCOGRAFICAS ATRIBUIDAS A LAS CIRCULARES DEL CORDON UMBILICAL

NOMBRE Y APELLIDOS:

GRUPO ESTUDIADO 1: 0 | Nº DE Hª DE D.C. 2 3 4 5 6 7: 1 0 2 9 2 9 | Nº DE UCIP 8 9 10 11 12: 1 1 7 6 1 6

BOLSA 13: 1 | L.A. 14: 0 | MECONIO 15: 1 | SEMANA DE AMENORREA 16 17: 3 9 | SEXO 18: 1

VITALIDAD 19: 0 | EDAD MATERNA 20 21: 3 4 | PARIDAD 22 23: 0 0 | PESO DEL R.N. 24 25 26 27: 3 0 0 0

FORMA DE TERMINACION DEL PARTO 28: 2 | LONGITUD DEL CORDON 29 30: 5 0 | APGAR-1 31 32: 0 9

APGAR-5 33 34: 0 9 | MORBILIDAD 35: 0

MADRE: PO_2 36 37: 7 6 | PCO_2 38 39: 2 5 | D.B. 40 41 42: - 1 9 | HCO_3^- 43 44: 1 5 | pH 45 46 47: 7 4 0

FETO: ARTERIA. PO_2 48 49: 2 1 | PCO_2 50 51: 4 2 | D.B. 52 53 54: - 1 1 | HCO_3^- 55 56: 1 6 | pH 57 58 59: 7 2 1

VENA. PO_2 60 61: 3 3 | PCO_2 62 63: 2 7 | D.B. 64 65 66: - 1 0 | HCO_3^- 67 68: 1 4 | pH 69 70 71: 7 3 0

TIPO DE ACIDOSIS MATERNA 72: 0 | TIPO DE ACIDOSIS FETAL 73: 0 | Δ-pH MADRE-FETO 74 75: 1 0

Δ-pH VENA UMBILICAL-ARTERIA UMBILICAL 76 77: 0 9 | PROMEDIO DE ASCENSOS ?. 78 79: 3 5

PROMEDIO DE ASCENSOS TRANSITORIOS QUE COINCIDEN CON LA CONTRACCION 80 81: 1 5

TAQUICARDIA 82: 0 | BRADICARDIA 83: 0 | VARIABILIDAD DE LA FCF 84 85: 0 7 | DIP-I 86 87: 0 0

DIP-II 88 89: 0 0 | TOTAL DIPS UMBILICALES 90 91: 0 0 | DIP-U 92 93: 0 0 | $DIP-U_p$ 94 95: 0 0

$DIP-U_1$ 96 97: 0 0 | $DIP-U_a$ 98 99: 0 0 | $DIP-U_{ap}$ 100 101: 0 1 0 | $DIP-U_{a1}$ 102 103: 0 1 0 | $DIP-U_{\lambda}$ 104 105: 0 1 0

$DIP-U_{\lambda p}$ 106 107: 0 1 0 | $DIP-U_{\lambda 1}$ 108 109: 0 1 0 | DIP-V 110 111: 0 1 0 | $DIP-V_p$ 112 113: 0 1 0

$DIP-V_1$ 114 115: 0 0 | $DIP-V_b$ 116 117: 0 0 | NUMERO DE CONTRACCIONES 118 119 120: 0 0 5

NUMERO DE MINUTOS REGISTRADOS 121 122 123: 0 6 0

HOJA CODIFICADA PARA EL ESTUDIO DE LAS VARIACIONES CARDIOTOCOGRAFICAS ATRIBUIDAS A LAS CIRCULARES DEL CORDON UMBILICAL

NOMBRE Y APELLIDOS:

GRUPO ESTUDIADO 1: 0 | Nº DE Hª DE D.C. 2 3 4 5 6 7: 0 5 9 5 6 8 | Nº DE UCIP 8 9 10 11 12: 0 9 0 5 2

BOLSA 13: 1 | L.A. 14: 1 | MECONIO 15: 2 | SEMANA DE AMENORREA 16 17: 3 9 | SEXO 18: 1

VITALIDAD 19: 0 | EDAD MATERNA 20 21: 2 4 | PARIDAD 22 23: 0 0 | PESO DEL R.N. 24 25 26 27: 3 0 0 0

FORMA DE TERMINACION DEL PARTO 28: 0 | LONGITUD DEL CORDON 29 30: 5 5 | APGAR-1 31 32: 0 9

APGAR-5 33 34: 1 0 | MORBILIDAD 35: 0

MADRE: PO_2 36 37: - - | PCO_2 38 39: - - | D.B. 40 41 42: - - - | HCO_3^- 43 44: - - | pH 45 46 47: - - -

FETO: ARTERIA. PO_2 48 49: - - | PCO_2 50 51: - - | D.B. 52 53 54: - - - | HCO_3^- 55 56: - - | pH 57 58 59: - - -

VENA. PO_2 60 61: - - | PCO_2 62 63: - - | D.B. 64 65 66: - - - | HCO_3^- 67 68: - - | pH 69 70 71: - - -

TIPO DE ACIDOSIS MATERNA 72: - | TIPO DE ACIDOSIS FETAL 73: - | Δ-pH MADRE-FETO 74 75: - -

Δ-pH VENA UMBILICAL-ARTERIA UMBILICAL 76 77: - - | PROMEDIO DE ASCENSOS ?. 78 79: 0 7

PROMEDIO DE ASCENSOS TRANSITORIOS QUE COINCIDEN CON LA CONTRACCION 80 81: 0 0

TAQUICARDIA 82: 0 | BRADICARDIA 83: 0 | VARIABILIDAD DE LA FCF 84 85: 0 4 | DIP-I 86 87: 0 0

DIP-II 88 89: 0 0 | TOTAL DIPS UMBILICALES 90 91: 0 0 | DIP-U 92 93: 0 0 | $DIP-U_p$ 94 95: 0 0

$DIP-U_1$ 96 97: 0 0 | $DIP-U_a$ 98 99: 0 0 | $DIP-U_{ap}$ 100 101: 0 0 | $DIP-U_{a1}$ 102 103: 0 0 | $DIP-U_{\lambda}$ 104 105: 0 0

$DIP-U_{\lambda p}$ 106 107: 0 0 | $DIP-U_{\lambda 1}$ 108 109: 0 0 | DIP-V 110 111: 0 0 | $DIP-V_p$ 112 113: 0 0

$DIP-V_1$ 114 115: 0 0 | $DIP-V_b$ 116 117: 0 0 | NUMERO DE CONTRACCIONES 118 119 120: 0 4 9

NUMERO DE MINUTOS REGISTRADOS 121 122 123: 1 3 0

HOJA CODIFICADA PARA EL ESTUDIO DE LAS VARIACIONES CARDIOTOCOGRAFICAS ATRIBUIDAS A LAS CIRCULARES DEL CORDON UMBILICAL

NOMBRE Y APELLIDOS:

GRUPO ESTUDIADO 1: 0 | Nº DE Hª DE D.C. 2-7: 0 6 3 6 2 3 | Nº DE UCIP 8-12: 0 9 6 8 6

BOLSA 13: 1 | L.A. 14: 0 | MECONIO 15: 2 | SEMANA DE AMENORREA 16-17: 4 1 | SEXO 18: 0

VITALIDAD 19: 0 | EDAD MATERNA 20-21: 3 1 | PARIDAD 22-23: 0 2 | PESO DEL R.N. 24-27: 3 4 5 0

FORMA DE TERMINACION DEL PARTO 28: 0 | LONGITUD DEL CORDON 29-30: 7 0 | APGAR-1 31-32: 0 9

APGAR-5 33-34: 1 0 | MORBILIDAD 35: 0

MADRE: PO_2 36-37: 8 8 | PCO_2 38-39: 3 1 | D.B. 40-42: - 5 | HCO_3^- 43-44: 1 8 | P^H 45-47: 7 3 8

FETO: ARTERIA. PO_2 48-49: 1 3 | PCO_2 50-51: 6 2 | D.B. 52-54: + 1 | HCO_3^- 55-56: 3 1 | P^H 57-59: 7 3 2

VENA. PO_2 60-61: 2 8 | PCO_2 62-63: 4 0 | D.B. 64-66: - 1 | HCO_3^- 67-68: 2 4 | P^H 69-71: 7 4 0

TIPO DE ACIDOSIS MATERNA 72: 0 | TIPO DE ACIDOSIS FETAL 73: 0 | Δ-P^H MADRE-FETO 74-75: 0 4

Δ-P^H VENA UMBILICAL-ARTERIA UMBILICAL 76-77: 0 8 | PROMEDIO DE ASCENSOS T. 78-79: 0 1

PROMEDIO DE ASCENSOS TRANSITORIOS QUE COINCIDEN CON LA CONTRACCION 80-81: 0 0

TAQUICARDIA 82: 0 | BRADICARDIA 83: 0 | VARIABILIDAD DE LA FCF 84-85: 0 6 | DIP-I 86-87: 0 0

DIP-II 88-89: 0 0 | TOTAL DIPS UMBILICALES 90-91: 0 0 | DIP-U 92-93: 0 0 | $DIP\text{-}U_p$ 94-95: 0 0

$DIP\text{-}U_t$ 96-97: 0 0 | $DIP\text{-}U_a$ 98-99: 0 0 | $DIP\text{-}U_{ap}$ 100-101: 0 0 | $DIP\text{-}U_{at}$ 102-103: 0 0 | $DIP\text{-}U_\lambda$ 104-105: 0 0

$DIP\text{-}U_{\lambda p}$ 106-107: 0 0 | $DIP\text{-}U_{\lambda t}$ 108-109: 0 0 | DIP-V 110-111: 0 0 | $DIP\text{-}V_p$ 112-113: 0 0

$DIP\text{-}V_t$ 114-115: 0 0 | $DIP\text{-}V_b$ 116-117: 0 0 | NUMERO DE CONTRACCIONES 118-120: 0 4 7

NUMERO DE MINUTOS REGISTRADOS 121-123: 4 8 3

HOJA CODIFICADA PARA EL ESTUDIO DE LAS VARIACIONES CARDIOTOCOGRAFICAS ATRIBUIDAS A LAS CIRCULARES DEL CORDON UMBILICAL

NOMBRE Y APELLIDOS:

GRUPO ESTUDIADO 1: 0 | Nº DE Hª DE D.C. 2-7: 0 2 4 0 2 6 | Nº DE UCIP 8-12: 1 7 6 3 9

BOLSA 13: 1 | L.A. 14: 0 | MECONIO 15: 1 | SEMANA DE AMENORREA 16-17: 3 7 | SEXO 18: 1

VITALIDAD 19: 0 | EDAD MATERNA 20-21: 3 4 | PARIDAD 22-23: 0 3 | PESO DEL R.N. 24-27: 3 7 1 0

FORMA DE TERMINACION DEL PARTO 28: 1 | LONGITUD DEL CORDON 29-30: 5 0 | APGAR-1 31-32: 0 9

APGAR-5 33-34: 1 0 | MORBILIDAD 35: 0

MADRE: PO_2 36-37: 6 7 | PCO_2 38-39: 2 8 | D.B. 40-42: - 1 4 | HCO_3^- 43-44: 1 8 | P^H 45-47: 7 4 4

FETO: ARTERIA. PO_2 48-49: 2 0 | PCO_2 50-51: 4 2 | D.B. 52-54: - 4 | HCO_3^- 55-56: 2 1 | P^H 57-59: 7 3 2

VENA. PO_2 60-61: 2 9 | PCO_2 62-63: 3 5 | D.B. 64-66: - 2 | HCO_3^- 67-68: 2 1 | P^H 69-71: 7 4 1

TIPO DE ACIDOSIS MATERNA 72: 0 | TIPO DE ACIDOSIS FETAL 73: 0 | Δ-P^H MADRE-FETO 74-75: 0 3

Δ-P^H VENA UMBILICAL-ARTERIA UMBILICAL 76-77: 0 9 | PROMEDIO DE ASCENSOS T. 78-79: 1 4

PROMEDIO DE ASCENSOS TRANSITORIOS QUE COINCIDEN CON LA CONTRACCION 80-81: 2 0

TAQUICARDIA 82: 0 | BRADICARDIA 83: 0 | VARIABILIDAD DE LA FCF 84-85: 0 6 | DIP-I 86-87: 0 0

DIP-II 88-89: 0 0 | TOTAL DIPS UMBILICALES 90-91: 0 0 | DIP-U 92-93: 0 0 | $DIP\text{-}U_p$ 94-95: 0 0

$DIP\text{-}U_t$ 96-97: 0 0 | $DIP\text{-}U_a$ 98-99: 0 0 | $DIP\text{-}U_{ap}$ 100-101: 0 0 | $DIP\text{-}U_{at}$ 102-103: 0 0 | $DIP\text{-}U_\lambda$ 104-105: 0 0

$DIP\text{-}U_{\lambda p}$ 106-107: 0 0 | $DIP\text{-}U_{\lambda t}$ 108-109: 0 0 | DIP-V 110-111: 0 0 | $DIP\text{-}V_p$ 112-113: 0 0

$DIP\text{-}V_t$ 114-115: 0 0 | $DIP\text{-}V_b$ 116-117: 0 0 | NUMERO DE CONTRACCIONES 118-120: 0 1 8

NUMERO DE MINUTOS REGISTRADOS 121-123: 0 7 5

HOJA CODIFICADA PARA EL ESTUDIO DE LAS VARIACIONES CARDIOTOCOGRAFICAS ATRIBUIDAS A LAS CIRCULARES DEL CORDON UMBILICAL

NOMBRE Y APELLIDOS:

GRUPO ESTUDIADO 1: 0 | Nº DE Hª DE D.C. 2-7: 1 0 1 0 5 4 | Nº DE UCIP 8-12: 1 7 3 2 5

BOLSA 13: 0 | L.A. 14: 3 | MECONIO 15: 4 | SEMANA DE AMENORREA 16-17: 4 1 | SEXO 18: 1

VITALIDAD 19: 0 | EDAD MATERNA 20-21: 3 3 | PARIDAD 22-23: 0 0 | PESO DEL R.N. 24-27: 3 8 5 0

FORMA DE TERMINACION DEL PARTO 28: 3 | LONGITUD DEL CORDON 29-30: 6 0 | APGAR-1 31-32: 0 9

APGAR-5 33-34: 1 0 | MORBILIDAD 35: 0

MADRE: PO_2 36-37: 7 2 | PCO_2 38-39: 2 6 | D.B. 40-42: - 1 1 | HCO_3^- 43-44: 1 3 | P^H 45-47: 7 3 1

FETO: ARTERIA. PO_2 48-49: - - | PCO_2 50-51: - - | D.B. 52-54: - - - | HCO_3^- 55-56: - - | P^H 57-59: - - -

VENA. PO_2 60-61: 4 0 | PCO_2 62-63: 3 2 | D.B. 64-66: - 1 1 | HCO_3^- 67-68: 1 6 | P^H 69-71: 7 2 8

TIPO DE ACIDOSIS MATERNA 72: 0 | TIPO DE ACIDOSIS FETAL 73: 0 | Δ-P^H MADRE-FETO 74-75: 0 3

Δ-P^H VENA UMBILICAL-ARTERIA UMBILICAL 76-77: - - | PROMEDIO DE ASCENSOS T. 78-79: 0 0

PROMEDIO DE ASCENSOS TRANSITORIOS QUE COINCIDEN CON LA CONTRACCION 80-81: 0 0

TAQUICARDIA 82: 0 | BRADICARDIA 83: 0 | VARIABILIDAD DE LA FCF 84-85: 0 8 | DIP-I 86-87: 0 0

DIP-II 88-89: 0 0 | TOTAL DIPS UMBILICALES 90-91: 0 0 | DIP-U 92-93: 0 0 | $DIP\text{-}U_p$ 94-95: 0 0

$DIP\text{-}U_t$ 96-97: 0 0 | $DIP\text{-}U_a$ 98-99: 0 0 | $DIP\text{-}U_{ap}$ 100-101: 0 0 | $DIP\text{-}U_{at}$ 102-103: 0 0 | $DIP\text{-}U_\lambda$ 104-105: 0 0

$DIP\text{-}U_{\lambda p}$ 106-107: 0 0 | $DIP\text{-}U_{\lambda t}$ 108-109: 0 0 | DIP-V 110-111: 0 0 | $DIP\text{-}V_p$ 112-113: 0 0

$DIP\text{-}V_t$ 114-115: 0 0 | $DIP\text{-}V_b$ 116-117: 0 0 | NUMERO DE CONTRACCIONES 118-120: 0 0 5

NUMERO DE MINUTOS REGISTRADOS 121-123: 0 6 6

HOJA CODIFICADA PARA EL ESTUDIO DE LAS VARIACIONES CARDIOTOCOGRAFICAS ATRIBUIDAS A LAS CIRCULARES DEL CORDON UMBILICAL

NOMBRE Y APELLIDOS:

GRUPO ESTUDIADO 1: 0 | Nº DE Hª DE D.C. 2-7: 0 1 2 9 3 0 | Nº DE UCIP 8-12: 1 5 3 4 0

BOLSA 13: 1 | L.A. 14: 2 | MECONIO 15: 2 | SEMANA DE AMENORREA 16-17: 3 9 | SEXO 18: 0

VITALIDAD 19: 0 | EDAD MATERNA 20-21: 3 9 | PARIDAD 22-23: 0 3 | PESO DEL R.N. 24-27: 3 2 5 0

FORMA DE TERMINACION DEL PARTO 28: 0 | LONGITUD DEL CORDON 29-30: 5 0 | APGAR-1 31-32: 0 9

APGAR-5 33-34: 1 0 | MORBILIDAD 35: 0

MADRE: PO_2 36-37: - - | PCO_2 38-39: - - | D.B. 40-42: - - - | HCO_3^- 43-44: - - | P^H 45-47: - - -

FETO: ARTERIA. PO_2 48-49: - - | PCO_2 50-51: - - | D.B. 52-54: - - - | HCO_3^- 55-56: - - | P^H 57-59: - - -

VENA. PO_2 60-61: - - | PCO_2 62-63: - - | D.B. 64-66: - - - | HCO_3^- 67-68: - - | P^H 69-71: - - -

TIPO DE ACIDOSIS MATERNA 72: - | TIPO DE ACIDOSIS FETAL 73: - | Δ-P^H MADRE-FETO 74-75: - -

Δ-P^H VENA UMBILICAL-ARTERIA UMBILICAL 76-77: - - | PROMEDIO DE ASCENSOS T. 78-79: 4 5

PROMEDIO DE ASCENSOS TRANSITORIOS QUE COINCIDEN CON LA CONTRACCION 80-81: 0 0

TAQUICARDIA 82: 0 | BRADICARDIA 83: 1 | VARIABILIDAD DE LA FCF 84-85: 1 2 | DIP-I 86-87: 0 0

DIP-II 88-89: 0 0 | TOTAL DIPS UMBILICALES 90-91: 0 0 | DIP-U 92-93: 0 0 | $DIP\text{-}U_p$ 94-95: 0 0

$DIP\text{-}U_t$ 96-97: 0 0 | $DIP\text{-}U_a$ 98-99: 0 0 | $DIP\text{-}U_{ap}$ 100-101: 0 0 | $DIP\text{-}U_{at}$ 102-103: 0 0 | $DIP\text{-}U_\lambda$ 104-105: 0 0

$DIP\text{-}U_{\lambda p}$ 106-107: 0 0 | $DIP\text{-}U_{\lambda t}$ 108-109: 0 0 | DIP-V 110-111: 0 0 | $DIP\text{-}V_p$ 112-113: 0 0

$DIP\text{-}V_t$ 114-115: 0 0 | $DIP\text{-}V_b$ 116-117: 0 0 | NUMERO DE CONTRACCIONES 118-120: 0 0 5

NUMERO DE MINUTOS REGISTRADOS 121-123: 0 6 0

HOJA CODIFICADA PARA EL ESTUDIO DE LAS VARIACIONES CARDIOTOCOGRAFICAS ATRIBUIDAS A LAS CIRCULARES DEL CORDON UMBILICAL

NOMBRE Y APELLIDOS:

GRUPO ESTUDIADO [1] [0] Nº DE Nº DE D.C. [2 3 4 5 6 7] [0 7 4 3 7 6] Nº DE UCIP [8 9 10 11 12] [1 1 3 0 2]

BOLSA [13] [0] L.A. [14] [1] MECONIO [15] [2] SEMANA DE AMENORREA [16 17] [4 2] SEXO [18] [0]

VITALIDAD [19] [0] EDAD MATERNA [20 21] [2 8] PARIDAD [22 23] [0 1] PESO DEL R.N. [24 25 26 27] [4 4 0 0]

FORMA DE TERMINACION DEL PARTO [28] [4] LONGITUD DEL CORDON [29 30] [5 5] APGAR-1 [31 32] [0 9]

APGAR-5 [33 34] [1 0] MORBILIDAD [35] [0]

MADRE: PO_2 [36 37] [8 1] PCO_2 [38 39] [4 8] D.B. [40 41 42] [- 1 9] HCO_3^- [43 44] [1 9] P^H [45 46 47] [7 2 5]

FETO: ARTERIA. PO_2 [48 49] [2 3] PCO_2 [50 51] [6 0] D.B. [52 53 54] [- - 5] HCO_3^- [55 56] [2 4] P^H [57 58 59] [7 2 3]

VENA. PO_2 [60 61] [2 8] PCO_2 [62 63] [5 4] D.B. [64 65 66] [- - 4] HCO_3^- [67 68] [2 4] P^H [69 70 71] [7 2 6]

TIPO DE ACIDOSIS MATERNA [72] [0] TIPO DE ACIDOSIS FETAL [73] [0] Δ-P^H MADRE-FETO [74 75] [0 1]

Δ-P^H VENA UMBILICAL-ARTERIA UMBILICAL [76 77] [0 3] PROMEDIO DE ASCENSOS ?. [78 79] [1 1]

PROMEDIO DE ASCENSOS TRANSITORIOS QUE COINCIDEN CON LA CONTRACCION [80 81] [0 0]

TAQUICARDIA [82] [0] BRADICARDIA [83] [0] VARIABILIDAD DE LA FCF [84 85] [0 4] DIP-I [86 87] [0 0]

DIP-II [88 89] [0 0] TOTAL DIPS UMBILICALES [90 91] [0 0] DIP-U [92 93] [0 0] $DIP\text{-}U_p$ [94 95] [0 0]

$DIP\text{-}U_t$ [96 97] [0 0] $DIP\text{-}U_e$ [98 99] [0 0] $DIP\text{-}U_{ep}$ [100 101] [0 0] $DIP\text{-}U_{et}$ [102 103] [0 0] $DIP\text{-}U_2$ [104 105] [0 0]

$DIP\text{-}U_{\Delta p}$ [106 107] [0 0] $DIP\text{-}U_{\Delta t}$ [108 109] [0 0] DIP-V [110 111] [0 0] $DIP\text{-}V_p$ [112 113] [0 0]

$DIP\text{-}V_t$ [114 115] [0 0] $DIP\text{-}V_b$ [116 117] [0 0] NUMERO DE CONTRACCIONES [118 119 120] [0 3 4]

NUMERO DE MINUTOS REGISTRADOS [121 122 123] [2 1 6]

HOJA CODIFICADA PARA EL ESTUDIO DE LAS VARIACIONES CARDIOTOCOGRAFICAS ATRIBUIDAS A LAS CIRCULARES DEL CORDON UMBILICAL

NOMBRE Y APELLIDOS:

GRUPO ESTUDIADO [1] [0] Nº DE Nº DE D.C. [2 3 4 5 6 7] [0 3 0 7 3 2] Nº DE UCIP [8 9 10 11 12] [1 2 6 7 3]

BOLSA [13] [1] L.A. [14] [2] MECONIO [15] [1] SEMANA DE AMENORREA [16 17] [3 9] SEXO [18] [1]

VITALIDAD [19] [0] EDAD MATERNA [20 21] [2 6] PARIDAD [22 23] [0 3] PESO DEL R.N. [24 25 26 27] [3 8 4 0]

FORMA DE TERMINACION DEL PARTO [28] [0] LONGITUD DEL CORDON [29 30] [6 5] APGAR-1 [31 32] [0 9]

APGAR-5 [33 34] [1 0] MORBILIDAD [35] [0]

MADRE: PO_2 [36 37] [8 9] PCO_2 [38 39] [- -] D.B. [40 41 42] [- - -] HCO_3^- [43 44] [- -] P^H [45 46 47] [7 3 8]

FETO: ARTERIA. PO_2 [48 49] [2 6] PCO_2 [50 51] [- -] D.B. [52 53 54] [- - - -] HCO_3^- [55 56] [- -] P^H [57 58 59] [7 2 0]

VENA. PO_2 [60 61] [4 2] PCO_2 [62 63] [- -] D.B. [64 65 66] [- - - -] HCO_3^- [67 68] [- -] P^H [69 70 71] [7 2 5]

TIPO DE ACIDOSIS MATERNA [72] [0] TIPO DE ACIDOSIS FETAL [73] [9] Δ-P^H MADRE-FETO [74 75] [1 3]

Δ-P^H VENA UMBILICAL-ARTERIA UMBILICAL [76 77] [0 5] PROMEDIO DE ASCENSOS ?. [78 79] [2 5]

PROMEDIO DE ASCENSOS TRANSITORIOS QUE COINCIDEN CON LA CONTRACCION [80 81] [1 1]

TAQUICARDIA [82] [0] BRADICARDIA [83] [0] VARIABILIDAD DE LA FCF [84 85] [0 7] DIP-I [86 87] [0 0]

DIP-II [88 89] [0 0] TOTAL DIPS UMBILICALES [90 91] [0 0] DIP-U [92 93] [0 0] $DIP\text{-}U_p$ [94 95] [0 0]

$DIP\text{-}U_t$ [96 97] [0 0] $DIP\text{-}U_e$ [98 99] [0 0] $DIP\text{-}U_{ep}$ [100 101] [0 0] $DIP\text{-}U_{et}$ [102 103] [0 0] $DIP\text{-}U_2$ [104 105] [0 0]

$DIP\text{-}U_{\Delta p}$ [106 107] [0 0] $DIP\text{-}U_{\Delta t}$ [108 109] [0 0] DIP-V [110 111] [0 0] $DIP\text{-}V_p$ [112 113] [0 0]

$DIP\text{-}V_t$ [114 115] [0 0] $DIP\text{-}V_b$ [116 117] [0 0] NUMERO DE CONTRACCIONES [118 119 120] [0 2 9]

NUMERO DE MINUTOS REGISTRADOS [121 122 123] [1 1 0]

HOJA CODIFICADA PARA EL ESTUDIO DE LAS VARIACIONES CARDIOTOCOGRAFICAS ATRIBUIDAS A LAS CIRCULARES DEL CORDON UMBILICAL

NOMBRE Y APELLIDOS:

GRUPO ESTUDIADO [1] [0] Nº DE Nº DE D.C. [2 3 4 5 6 7] [0 9 4 9 4 9] Nº DE UCIP [8 9 10 11 12] [1 5 7 3 4]

BOLSA [13] [0] L.A. [14] [0] MECONIO [15] [1] SEMANA DE AMENORREA [16 17] [4 0] SEXO [18] [0]

VITALIDAD [19] [0] EDAD MATERNA [20 21] [2 3] PARIDAD [22 23] [0 0] PESO DEL R.N. [24 25 26 27] [3 2 5 0]

FORMA DE TERMINACION DEL PARTO [28] [0] LONGITUD DEL CORDON [29 30] [6 0] APGAR-1 [31 32] [0 9]

APGAR-5 [33 34] [1 0] MORBILIDAD [35] [0]

MADRE: PO_2 [36 37] [7 2] PCO_2 [38 39] [2 6] D.B. [40 41 42] [- - 8] HCO_3^- [43 44] [1 6] P^H [45 46 47] [7 4 0]

FETO: ARTERIA. PO_2 [48 49] [1 5] PCO_2 [50 51] [5 7] D.B. [52 53 54] [- - 1 0] HCO_3^- [55 56] [2 0] P^H [57 58 59] [7 1 7]

VENA. PO_2 [60 61] [3 3] PCO_2 [62 63] [3 8] D.B. [64 65 66] [- - 7] HCO_3^- [67 68] [1 9] P^H [69 70 71] [7 3 0]

TIPO DE ACIDOSIS MATERNA [72] [0] TIPO DE ACIDOSIS FETAL [73] [3] Δ-P^H MADRE-FETO [74 75] [1 0]

Δ-P^H VENA UMBILICAL-ARTERIA UMBILICAL [76 77] [1 3] PROMEDIO DE ASCENSOS ?. [78 79] [1 2]

PROMEDIO DE ASCENSOS TRANSITORIOS QUE COINCIDEN CON LA CONTRACCION [80 81] [0 2]

TAQUICARDIA [82] [0] BRADICARDIA [83] [0] VARIABILIDAD DE LA FCF [84 85] [0 7] DIP-I [86 87] [0 0]

DIP-II [88 89] [0 0] TOTAL DIPS UMBILICALES [90 91] [0 0] DIP-U [92 93] [0 0] $DIP\text{-}U_p$ [94 95] [0 0]

$DIP\text{-}U_t$ [96 97] [0 0] $DIP\text{-}U_e$ [98 99] [0 0] $DIP\text{-}U_{ep}$ [100 101] [0 0] $DIP\text{-}U_{et}$ [102 103] [0 0] $DIP\text{-}U_2$ [104 105] [0 0]

$DIP\text{-}U_{\Delta p}$ [106 107] [0 0] $DIP\text{-}U_{\Delta t}$ [108 109] [0 0] DIP-V [110 111] [0 0] $DIP\text{-}V_p$ [112 113] [0 0]

$DIP\text{-}V_t$ [114 115] [0 0] $DIP\text{-}V_b$ [116 117] [0 0] NUMERO DE CONTRACCIONES [118 119 120] [0 2 7]

NUMERO DE MINUTOS REGISTRADOS [121 122 123] [1 9 5]

HOJA CODIFICADA PARA EL ESTUDIO DE LAS VARIACIONES CARDIOTOCOGRAFICAS ATRIBUIDAS A LAS CIRCULARES DEL CORDON UMBILICAL

NOMBRE Y APELLIDOS:

GRUPO ESTUDIADO [1] [0] Nº DE Nº DE D.C. [2 3 4 5 6 7] [0 6 5 5 5 8] Nº DE UCIP [8 9 10 11 12] [1 0 0 2 0]

BOLSA [13] [0] L.A. [14] [2] MECONIO [15] [0] SEMANA DE AMENORREA [16 17] [3 9] SEXO [18] [0]

VITALIDAD [19] [0] EDAD MATERNA [20 21] [2 1] PARIDAD [22 23] [0 0] PESO DEL R.N. [24 25 26 27] [3 3 6 0]

FORMA DE TERMINACION DEL PARTO [28] [1] LONGITUD DEL CORDON [29 30] [6 0] APGAR-1 [31 32] [0 9]

APGAR-5 [33 34] [1 0] MORBILIDAD [35] [0]

MADRE: PO_2 [36 37] [9 1] PCO_2 [38 39] [1 9] D.B. [40 41 42] [- 1 0] HCO_3^- [43 44] [1 2] P^H [45 46 47] [7 3 9]

FETO: ARTERIA. PO_2 [48 49] [1 7] PCO_2 [50 51] [5 0] D.B. [52 53 54] [- - 1] HCO_3^- [55 56] [2 6] P^H [57 58 59] [7 3 3]

VENA. PO_2 [60 61] [2 8] PCO_2 [62 63] [4 0] D.B. [64 65 66] [- - 2] HCO_3^- [67 68] [2 2] P^H [69 70 71] [7 3 7]

TIPO DE ACIDOSIS MATERNA [72] [0] TIPO DE ACIDOSIS FETAL [73] [0] Δ-P^H MADRE-FETO [74 75] [0 2]

Δ-P^H VENA UMBILICAL-ARTERIA UMBILICAL [76 77] [0 4] PROMEDIO DE ASCENSOS ?. [78 79] [5 4]

PROMEDIO DE ASCENSOS TRANSITORIOS QUE COINCIDEN CON LA CONTRACCION [80 81] [2 2]

TAQUICARDIA [82] [0] BRADICARDIA [83] [0] VARIABILIDAD DE LA FCF [84 85] [1 2] DIP-I [86 87] [0 0]

DIP-II [88 89] [0 0] TOTAL DIPS UMBILICALES [90 91] [0 0] DIP-U [92 93] [0 0] $DIP\text{-}U_p$ [94 95] [0 0]

$DIP\text{-}U_t$ [96 97] [0 0] $DIP\text{-}U_e$ [98 99] [0 0] $DIP\text{-}U_{ep}$ [100 101] [0 0] $DIP\text{-}U_{et}$ [102 103] [0 0] $DIP\text{-}U_2$ [104 105] [0 0]

$DIP\text{-}U_{\Delta p}$ [106 107] [0 0] $DIP\text{-}U_{\Delta t}$ [108 109] [0 0] DIP-V [110 111] [0 0] $DIP\text{-}V_p$ [112 113] [0 0]

$DIP\text{-}V_t$ [114 115] [0 0] $DIP\text{-}V_b$ [116 117] [0 0] NUMERO DE CONTRACCIONES [118 119 120] [0 2 0]

NUMERO DE MINUTOS REGISTRADOS [121 122 123] [2 7 0]

HOJA CODIFICADA PARA EL ESTUDIO DE LAS VARIACIONES CARDIOTOCOGRAFICAS ATRIBUIDAS A LAS CIRCULARES DEL CORDON UMBILICAL

NOMBRE Y APELLIDOS:

GRUPO ESTUDIADO 1: 0 | Nº DE Hª DE D.C. 2 3 4 5 6 7: 0 1 2 7 3 4 | Nº DE UCIP 8 9 10 11 12: 1 1 7 7 2

BOLSA 13: 1 | L.A. 14: 2 | MECONIO 15: 1 | SEMANA DE AMENORREA 16 17: 3 9 | SEXO 18: 1

VITALIDAD 19: 0 | EDAD MATERNA 20 21: 2 8 | PARIDAD 22 23: 0 1 | PESO DEL R.N. 24 25 26 27: 3 8 0 0

FORMA DE TERMINACION DEL PARTO 28: 0 | LONGITUD DEL CORDON 29 30: 6 0 | APGAR-1 31 32: 0 9

APGAR-5 33 34: 0 9 | MORBILIDAD 35: 0

MADRE: PO_2 36 37: 5 7 | PCO_2 38 39: 3 8 | D.B. 40 41 42: - 1 | HCO_3^- 43 44: 2 4 | P^H 45 46 47: 7 4 0

FETO: ARTERIA. PO_2 48 49: 1 0 | PCO_2 50 51: 6 1 | D.B. 52 53 54: + 1 | HCO_3^- 55 56: 2 9 | P^H 57 58 59: 7 2 9

VENA. PO_2 60 61: 2 2 | PCO_2 62 63: 4 7 | D.B. 64 65 66: + 1 | HCO_3^- 67 68: 2 7 | P^H 69 70 71: 7 3 7

TIPO DE ACIDOSIS MATERNA 72: 0 | TIPO DE ACIDOSIS FETAL 73: 0 | Δ-P^H MADRE-FETO 74 75: 0 3

Δ-P^H VENA UMBILICAL-ARTERIA UMBILICAL 76 77: 0 8 | PROMEDIO DE ASCENSOS ?. 78 79: 5 0

PROMEDIO DE ASCENSOS TRANSITORIOS QUE COINCIDEN CON LA CONTRACCION 80 81: 0 0

TAQUICARDIA 82: 0 | BRADICARDIA 83: 0 | VARIABILIDAD DE LA FCF 84 85: 0 5 | DIP-I 86 87: 0 0

DIP-II 88 89: 0 0 | TOTAL DIPS UMBILICALES 90 91: 0 0 | DIP-U 92 93: 0 0 | $DIP\text{-}U_p$ 94 95: 0 0

$DIP\text{-}U_t$ 96 97: 0 0 | $DIP\text{-}U_e$ 98 99: 0 0 | $DIP\text{-}U_{\pi}$ 100 101: 0 0 | $DIP\text{-}U_{\pi'}$ 102 103: 0 0 | $DIP\text{-}U_{\lambda}$ 104 105: 0 0

$DIP\text{-}U_{\lambda'}$ 106 107: 0 0 | $DIP\text{-}U_{\lambda''}$ 108 109: 0 0 | DIP-V 110 111: 0 0 | $DIP\text{-}V_p$ 112 113: 0 0

$DIP\text{-}V_t$ 114 115: 0 0 | $DIP\text{-}V_b$ 116 117: 0 0 | NUMERO DE CONTRACCIONES 118 119 120: 0 0 7

NUMERO DE MINUTOS REGISTRADOS 121 122 123: 0 6 0

HOJA CODIFICADA PARA EL ESTUDIO DE LAS VARIACIONES CARDIOTOCOGRAFICAS ATRIBUIDAS A LAS CIRCULARES DEL CORDON UMBILICAL

NOMBRE Y APELLIDOS:

GRUPO ESTUDIADO 1: 0 | Nº DE Hª DE D.C. 2 3 4 5 6 7: 0 7 4 8 1 0 | Nº DE UCIP 8 9 10 11 12: 1 5 0 3 9

BOLSA 13: 0 | L.A. 14: 1 | MECONIO 15: 0 | SEMANA DE AMENORREA 16 17: 4 3 | SEXO 18: 0

VITALIDAD 19: 0 | EDAD MATERNA 20 21: 2 3 | PARIDAD 22 23: 0 1 | PESO DEL R.N. 24 25 26 27: 3 7 2 0

FORMA DE TERMINACION DEL PARTO 28: 0 | LONGITUD DEL CORDON 29 30: 6 0 | APGAR-1 31 32: 0 9

APGAR-5 33 34: 1 0 | MORBILIDAD 35: 0

MADRE: PO_2 36 37: 9 4 | PCO_2 38 39: 2 7 | D.B. 40 41 42: - 6 | HCO_3^- 43 44: 1 7 | P^H 45 46 47: 7 3 9

FETO: ARTERIA. PO_2 48 49: 3 0 | PCO_2 50 51: 4 7 | D.B. 52 53 54: - 5 | HCO_3^- 55 56: 2 2 | P^H 57 58 59: 7 2 9

VENA. PO_2 60 61: 3 8 | PCO_2 62 63: 3 4 | D.B. 64 65 66: - 3 | HCO_3^- 67 68: 2 1 | P^H 69 70 71: 7 3 9

TIPO DE ACIDOSIS MATERNA 72: 0 | TIPO DE ACIDOSIS FETAL 73: 0 | Δ-P^H MADRE-FETO 74 75: 0 2

Δ-P^H VENA UMBILICAL-ARTERIA UMBILICAL 76 77: 0 0 | PROMEDIO DE ASCENSOS ?. 78 79: 7 5

PROMEDIO DE ASCENSOS TRANSITORIOS QUE COINCIDEN CON LA CONTRACCION 80 81: 0 0

TAQUICARDIA 82: 0 | BRADICARDIA 83: 0 | VARIABILIDAD DE LA FCF 84 85: 0 6 | DIP-I 86 87: 0 0

DIP-II 88 89: 0 0 | TOTAL DIPS UMBILICALES 90 91: 0 0 | DIP-U 92 93: 0 0 | $DIP\text{-}U_p$ 94 95: 0 0

$DIP\text{-}U_t$ 96 97: 0 0 | $DIP\text{-}U_e$ 98 99: 0 0 | $DIP\text{-}U_{\pi}$ 100 101: 0 0 | $DIP\text{-}U_{\pi'}$ 102 103: 0 0 | $DIP\text{-}U_{\lambda}$ 104 105: 0 0

$DIP\text{-}U_{\lambda'}$ 106 107: 0 0 | $DIP\text{-}U_{\lambda''}$ 108 109: 0 0 | DIP-V 110 111: 0 0 | $DIP\text{-}V_p$ 112 113: 0 0

$DIP\text{-}V_t$ 114 115: 0 0 | $DIP\text{-}V_b$ 116 117: 0 0 | NUMERO DE CONTRACCIONES 118 119 120: 0 1 5

NUMERO DE MINUTOS REGISTRADOS 121 122 123: 0 8 4

HOJA CODIFICADA PARA EL ESTUDIO DE LAS VARIACIONES CARDIOTOCOGRAFICAS ATRIBUIDAS A LAS CIRCULARES DEL CORDON UMBILICAL

NOMBRE Y APELLIDOS:

GRUPO ESTUDIADO 1: 0 | Nº DE Hª DE D.C. 2 3 4 5 6 7: 0 9 3 7 2 2 | Nº DE UCIP 8 9 10 11 12: 1 5 5 3 8

BOLSA 13: 1 | L.A. 14: 2 | MECONIO 15: 1 | SEMANA DE AMENORREA 16 17: 4 0 | SEXO 18: 1

VITALIDAD 19: 0 | EDAD MATERNA 20 21: 2 1 | PARIDAD 22 23: 0 0 | PESO DEL R.N. 24 25 26 27: 3 9 0 0

FORMA DE TERMINACION DEL PARTO 28: 0 | LONGITUD DEL CORDON 29 30: 6 4 | APGAR-1 31 32: 0 9

APGAR-5 33 34: 1 0 | MORBILIDAD 35: 0

MADRE: PO_2 36 37: 2 1 | PCO_2 38 39: 2 6 | D.B. 40 41 42: - 6 | HCO_3^- 43 44: 1 6 | P^H 45 46 47: 7 4 1

FETO: ARTERIA. PO_2 48 49: 1 4 | PCO_2 50 51: 5 2 | D.B. 52 53 54: - 6 | HCO_3^- 55 56: 2 2 | P^H 57 58 59: 7 2 4

VENA. PO_2 60 61: 2 1 | PCO_2 62 63: 4 0 | D.B. 64 65 66: - 5 | HCO_3^- 67 68: 2 1 | P^H 69 70 71: 7 3 1

TIPO DE ACIDOSIS MATERNA 72: 0 | TIPO DE ACIDOSIS FETAL 73: 0 | Δ-P^H MADRE-FETO 74 75: 1 0

Δ-P^H VENA UMBILICAL-ARTERIA UMBILICAL 76 77: 0 7 | PROMEDIO DE ASCENSOS ?. 78 79: 0 9

PROMEDIO DE ASCENSOS TRANSITORIOS QUE COINCIDEN CON LA CONTRACCION 80 81: 0 1

TAQUICARDIA 82: 0 | BRADICARDIA 83: 0 | VARIABILIDAD DE LA FCF 84 85: 0 8 | DIP-I 86 87: 0 0

DIP-II 88 89: 0 0 | TOTAL DIPS UMBILICALES 90 91: 0 0 | DIP-U 92 93: 0 0 | $DIP\text{-}U_p$ 94 95: 0 0

$DIP\text{-}U_t$ 96 97: 0 0 | $DIP\text{-}U_e$ 98 99: 0 0 | $DIP\text{-}U_{\pi}$ 100 101: 0 0 | $DIP\text{-}U_{\pi'}$ 102 103: 0 0 | $DIP\text{-}U_{\lambda}$ 104 105: 0 0

$DIP\text{-}U_{\lambda'}$ 106 107: 0 0 | $DIP\text{-}U_{\lambda''}$ 108 109: 0 0 | DIP-V 110 111: 0 0 | $DIP\text{-}V_p$ 112 113: 0 0

$DIP\text{-}V_t$ 114 115: 0 0 | $DIP\text{-}V_b$ 116 117: 0 0 | NUMERO DE CONTRACCIONES 118 119 120: 1 0 8

NUMERO DE MINUTOS REGISTRADOS 121 122 123: 7 2 4

HOJA CODIFICADA PARA EL ESTUDIO DE LAS VARIACIONES CARDIOTOCOGRAFICAS ATRIBUIDAS A LAS CIRCULARES DEL CORDON UMBILICAL

NOMBRE Y APELLIDOS:

GRUPO ESTUDIADO 1: 0 | Nº DE Hª DE D.C. 2 3 4 5 6 7: 0 3 7 6 5 2 | Nº DE UCIP 8 9 10 11 12: 0 9 4 1 6

BOLSA 13: 1 | L.A. 14: 2 | MECONIO 15: 1 | SEMANA DE AMENORREA 16 17: 4 1 | SEXO 18: 0

VITALIDAD 19: 0 | EDAD MATERNA 20 21: 2 6 | PARIDAD 22 23: 0 1 | PESO DEL R.N. 24 25 26 27: 3 2 5 0

FORMA DE TERMINACION DEL PARTO 28: 1 | LONGITUD DEL CORDON 29 30: 5 0 | APGAR-1 31 32: 0 9

APGAR-5 33 34: 1 0 | MORBILIDAD 35: 0

MADRE: PO_2 36 37: 8 0 | PCO_2 38 39: 2 7 | D.B. 40 41 42: - 6 | HCO_3^- 43 44: 1 6 | P^H 45 46 47: 7 3 9

FETO: ARTERIA. PO_2 48 49: 1 7 | PCO_2 50 51: 5 0 | D.B. 52 53 54: 0 | HCO_3^- 55 56: 2 7 | P^H 57 58 59: 7 3 0

VENA. PO_2 60 61: 2 8 | PCO_2 62 63: 3 8 | D.B. 64 65 66: 0 | HCO_3^- 67 68: 2 4 | P^H 69 70 71: 7 3 8

TIPO DE ACIDOSIS MATERNA 72: 0 | TIPO DE ACIDOSIS FETAL 73: 0 | Δ-P^H MADRE-FETO 74 75: 0 1

Δ-P^H VENA UMBILICAL-ARTERIA UMBILICAL 76 77: 0 8 | PROMEDIO DE ASCENSOS ?. 78 79: 0 9

PROMEDIO DE ASCENSOS TRANSITORIOS QUE COINCIDEN CON LA CONTRACCION 80 81: 0 2

TAQUICARDIA 82: 0 | BRADICARDIA 83: 0 | VARIABILIDAD DE LA FCF 84 85: 0 6 | DIP-I 86 87: 0 0

DIP-II 88 89: 0 0 | TOTAL DIPS UMBILICALES 90 91: 0 0 | DIP-U 92 93: 0 0 | $DIP\text{-}U_p$ 94 95: 0 0

$DIP\text{-}U_t$ 96 97: 0 0 | $DIP\text{-}U_e$ 98 99: 0 0 | $DIP\text{-}U_{\pi}$ 100 101: 0 0 | $DIP\text{-}U_{\pi'}$ 102 103: 0 0 | $DIP\text{-}U_{\lambda}$ 104 105: 0 0

$DIP\text{-}U_{\lambda'}$ 106 107: 0 0 | $DIP\text{-}U_{\lambda''}$ 108 109: 0 0 | DIP-V 110 111: 0 0 | $DIP\text{-}V_p$ 112 113: 0 0

$DIP\text{-}V_t$ 114 115: 0 0 | $DIP\text{-}V_b$ 116 117: 0 0 | NUMERO DE CONTRACCIONES 118 119 120: 0 9 2

NUMERO DE MINUTOS REGISTRADOS 121 122 123: 2 6 3

HOJA CODIFICADA PARA EL ESTUDIO DE LAS VARIACIONES CARDIOTOCOGRAFICAS ATRIBUIDAS A LAS CIRCULARES DEL CORDON UMBILICAL

NOMBRE Y APELLIDOS:

GRUPO ESTUDIADO 0 | Nº DE Hª DE D.C. 08163 | Nº DE UCIP 1721 6

BOLSA 0 | L.A. 2 | MECONIO 1 | SEMANA DE AMENORREA 39 | SEXO 0

VITALIDAD 0 | EDAD MATERNA 23 | PARIDAD 01 | PESO DEL R.N. 3380

FORMA DE TERMINACION DEL PARTO 0 | LONGITUD DEL CORDON 40 | APGAR-1 09

APGAR-5 10 | MORBILIDAD 0

MADRE: PO_2 60 | PCO_2 22 | D.B. -8 | HCO_3^- 14 | pH 7.42

FETO: ARTERIA. PO_2 - - | PCO_2 - - | D.B. - - - - | HCO_3^- - - | pH - - - -

VENA. PO_2 20 | PCO_2 31 | D.B. -4 | HCO_3^- 19 | pH 7.40

TIPO DE ACIDOSIS MATERNA 0 | TIPO DE ACIDOSIS FETAL 0 | Δ-pH MADRE-FETO 02

Δ-pH VENA UMBILICAL-ARTERIA UMBILICAL - - | PROMEDIO DE ASCENSOS ?. 33

PROMEDIO DE ASCENSOS TRANSITORIOS QUE COINCIDEN CON LA CONTRACCION 05

TAQUICARDIA 0 | BRADICARDIA 0 | VARIABILIDAD DE LA FCF 09 | DIP-I 00

DIP-II 00 | TOTAL DIPS UMBILICALES 00 | DIP-U 00 | $DIP\text{-}U_p$ 00

$DIP\text{-}U_t$ 00 | $DIP\text{-}U_v$ 00 | $DIP\text{-}U_{vp}$ 00 | $DIP\text{-}U_{vt}$ 00 | $DIP\text{-}U_\lambda$ 00

$DIP\text{-}U_{\lambda p}$ 00 | $DIP\text{-}U_{\lambda t}$ 00 | DIP-V 00 | $DIP\text{-}V_p$ 00

$DIP\text{-}V_t$ 00 | $DIP\text{-}V_b$ 00 | NUMERO DE CONTRACCIONES 005

NUMERO DE MINUTOS REGISTRADOS 063

HOJA CODIFICADA PARA EL ESTUDIO DE LAS VARIACIONES CARDIOTOCOGRAFICAS ATRIBUIDAS A LAS CIRCULARES DEL CORDON UMBILICAL

NOMBRE Y APELLIDOS:

GRUPO ESTUDIADO 0 | Nº DE Hª DE D.C. 07558 4 | Nº DE UCIP 1156 0

BOLSA 0 | L.A. 1 | MECONIO 1 | SEMANA DE AMENORREA 42 | SEXO 1

VITALIDAD 0 | EDAD MATERNA 36 | PARIDAD 09 | PESO DEL R.N. 3270

FORMA DE TERMINACION DEL PARTO 2 | LONGITUD DEL CORDON 50 | APGAR-1 09

APGAR-5 10 | MORBILIDAD 0

MADRE: PO_2 99 | PCO_2 36 | D.B. -6 | HCO_3^- 18 | pH 7.35

FETO: ARTERIA. PO_2 18 | PCO_2 50 | D.B. -3 | HCO_3^- 24 | pH 7.30

VENA. PO_2 41 | PCO_2 39 | D.B. -1 | HCO_3^- 23 | pH 7.37

TIPO DE ACIDOSIS MATERNA 0 | TIPO DE ACIDOSIS FETAL 0 | Δ-pH MADRE-FETO 01

Δ-pH VENA UMBILICAL-ARTERIA UMBILICAL 07 | PROMEDIO DE ASCENSOS ?. 09

PROMEDIO DE ASCENSOS TRANSITORIOS QUE COINCIDEN CON LA CONTRACCION 00

TAQUICARDIA 0 | BRADICARDIA 0 | VARIABILIDAD DE LA FCF 04 | DIP-I 00

DIP-II 00 | TOTAL DIPS UMBILICALES 00 | DIP-U 00 | $DIP\text{-}U_p$ 00

$DIP\text{-}U_t$ 00 | $DIP\text{-}U_v$ 00 | $DIP\text{-}U_{vp}$ 00 | $DIP\text{-}U_{vt}$ 00 | $DIP\text{-}U_\lambda$ 00

$DIP\text{-}U_{\lambda p}$ 00 | $DIP\text{-}U_{\lambda t}$ 00 | DIP-V 00 | $DIP\text{-}V_p$ 00

$DIP\text{-}V_t$ 00 | $DIP\text{-}V_b$ 00 | NUMERO DE CONTRACCIONES 003

NUMERO DE MINUTOS REGISTRADOS 216

HOJA CODIFICADA PARA EL ESTUDIO DE LAS VARIACIONES CARDIOTOCOGRAFICAS ATRIBUIDAS A LAS CIRCULARES DEL CORDON UMBILICAL

NOMBRE Y APELLIDOS:

GRUPO ESTUDIADO 0 | Nº DE Hª DE D.C. 08298 7 | Nº DE UCIP 1313 8

BOLSA 1 | L.A. 3 | MECONIO 1 | SEMANA DE AMENORREA 42 | SEXO 0

VITALIDAD 0 | EDAD MATERNA 23 | PARIDAD 00 | PESO DEL R.N. 3540

FORMA DE TERMINACION DEL PARTO 1 | LONGITUD DEL CORDON 50 | APGAR-1 09

APGAR-5 10 | MORBILIDAD 0

MADRE: PO_2 78 | PCO_2 25 | D.B. -10 | HCO_3^- 12 | pH 7.34

FETO: ARTERIA. PO_2 12 | PCO_2 57 | D.B. -7 | HCO_3^- 21 | pH 7.19

VENA. PO_2 40 | PCO_2 34 | D.B. -8 | HCO_3^- 16 | pH 7.28

TIPO DE ACIDOSIS MATERNA 0 | TIPO DE ACIDOSIS FETAL 3 | Δ-pH MADRE-FETO 06

Δ-pH VENA UMBILICAL-ARTERIA UMBILICAL 09 | PROMEDIO DE ASCENSOS ?. 45

PROMEDIO DE ASCENSOS TRANSITORIOS QUE COINCIDEN CON LA CONTRACCION 06

TAQUICARDIA 0 | BRADICARDIA 0 | VARIABILIDAD DE LA FCF 07 | DIP-I 00

DIP-II 00 | TOTAL DIPS UMBILICALES 00 | DIP-U 00 | $DIP\text{-}U_p$ 00

$DIP\text{-}U_t$ 00 | $DIP\text{-}U_v$ 00 | $DIP\text{-}U_{vp}$ 00 | $DIP\text{-}U_{vt}$ 00 | $DIP\text{-}U_\lambda$ 00

$DIP\text{-}U_{\lambda p}$ 00 | $DIP\text{-}U_{\lambda t}$ 00 | DIP-V 00 | $DIP\text{-}V_p$ 00

$DIP\text{-}V_t$ 00 | $DIP\text{-}V_b$ 00 | NUMERO DE CONTRACCIONES 053

NUMERO DE MINUTOS REGISTRADOS 306

HOJA CODIFICADA PARA EL ESTUDIO DE LAS VARIACIONES CARDIOTOCOGRAFICAS ATRIBUIDAS A LAS CIRCULARES DEL CORDON UMBILICAL

NOMBRE Y APELLIDOS:

GRUPO ESTUDIADO 0 | Nº DE Hª DE D.C. 04605 8 | Nº DE UCIP 1294 5

BOLSA 0 | L.A. 2 | MECONIO 0 | SEMANA DE AMENORREA 39 | SEXO 0

VITALIDAD 0 | EDAD MATERNA 27 | PARIDAD 00 | PESO DEL R.N. 3170

FORMA DE TERMINACION DEL PARTO 0 | LONGITUD DEL CORDON 58 | APGAR-1 09

APGAR-5 10 | MORBILIDAD 0

MADRE: PO_2 - - | PCO_2 - - | D.B. - - - - | HCO_3^- - - | pH - - - -

FETO: ARTERIA. PO_2 13 | PCO_2 33 | D.B. -3 | HCO_3^- 20 | pH 7.40

VENA. PO_2 21 | PCO_2 24 | D.B. -2 | HCO_3^- 18 | pH 7.49

TIPO DE ACIDOSIS MATERNA - | TIPO DE ACIDOSIS FETAL 0 | Δ-pH MADRE-FETO - -

Δ-pH VENA UMBILICAL-ARTERIA UMBILICAL 09 | PROMEDIO DE ASCENSOS ?. 72

PROMEDIO DE ASCENSOS TRANSITORIOS QUE COINCIDEN CON LA CONTRACCION 36

TAQUICARDIA 0 | BRADICARDIA 0 | VARIABILIDAD DE LA FCF 09 | DIP-I 00

DIP-II 00 | TOTAL DIPS UMBILICALES 00 | DIP-U 00 | $DIP\text{-}U_p$ 00

$DIP\text{-}U_t$ 00 | $DIP\text{-}U_v$ 00 | $DIP\text{-}U_{vp}$ 00 | $DIP\text{-}U_{vt}$ 00 | $DIP\text{-}U_\lambda$ 00

$DIP\text{-}U_{\lambda p}$ 00 | $DIP\text{-}U_{\lambda t}$ 00 | DIP-V 00 | $DIP\text{-}V_p$ 00

$DIP\text{-}V_t$ 00 | $DIP\text{-}V_b$ 00 | NUMERO DE CONTRACCIONES 016

NUMERO DE MINUTOS REGISTRADOS 175

HOJA CODIFICADA PARA EL ESTUDIO DE LAS VARIACIONES CARDIOTOCOGRAFICAS ATRIBUIDAS A LAS CIRCULARES DEL CORDON UMBILICAL

NOMBRE Y APELLIDOS:

GRUPO ESTUDIADO [1] 0 Nº DE Hª DE D.C. [2 3 4 5 6 7] 0 6 2 4 4 1 Nº DE UCIP [8 9 10 11 12] 0 9 2 8 6

BOLSA [13] 0 L.A. [14] 2 MECONIO [15] 2 SEMANA DE AMENORREA [16 17] 3 7 SEXO [18] 0

VITALIDAD [19] 0 EDAD MATERNA [20 21] 2 6 PARIDAD [22 23] 0 1 PESO DEL R.N. [24 25 26 27] 2 5 7 0

FORMA DE TERMINACION DEL PARTO [28] 2 LONGITUD DEL CORDON [29 30] 5 5 APGAR-1 [31 32] 0 9

APGAR-5 [33 34] 1 0 MORBILIDAD [35] 0

MADRE: PO_2 [36 37] 9 9 PCO_2 [38 39] 2 0 D.B. [40 41 42] - 1 2 HCO_3^- [43 44] 1 1 P^H [45 46 47] 7 3 6

FETO: ARTERIA. PO_2 [48 49] 2 1 PCO_2 [50 51] 5 1 D.B. [52 53 54] - - 9 HCO_3^- [55 56] 2 0 P^H [57 58 59] 7 2 0

VENA. PO_2 [60 61] 2 9 PCO_2 [62 63] 3 9 D.B. [64 65 66] - - 9 HCO_3^- [67 68] 1 8 P^H [69 70 71] 7 2 6

TIPO DE ACIDOSIS MATERNA [72] 0 TIPO DE ACIDOSIS FETAL [73] 3 Δ-P^H MADRE-FETO [74 75] 1 0

Δ-P^H VENA UMBILICAL-ARTERIA UMBILICAL [76 77] 0 6 PROMEDIO DE ASCENSOS ?. [78 79] 3 0

PROMEDIO DE ASCENSOS TRANSITORIOS QUE COINCIDEN CON LA CONTRACCION [80 81] 0 0

TAQUICARDIA [82] 0 BRADICARDIA [83] 1 VARIABILIDAD DE LA FCF [84 85] 0 6 DIP-I [86 87] 0 0

DIP-II [88 89] 0 0 TOTAL DIPS UMBILICALES [90 91] 0 0 DIP-U [92 93] 0 0 $DIP\text{-}U_p$ [94 95] 0 0

$DIP\text{-}U_t$ [96 97] 0 0 $DIP\text{-}U_e$ [98 99] 0 0 $DIP\text{-}U_{rp}$ [100 101] 0 0 $DIP\text{-}U_{rt}$ [102 103] 0 0 $DIP\text{-}U_\lambda$ [104 105] 0 0

$DIP\text{-}U_{\lambda p}$ [106 107] 0 0 $DIP\text{-}U_{\lambda t}$ [108 109] 0 0 DIP-V [110 111] 0 0 $DIP\text{-}V_p$ [112 113] 0 0

$DIP\text{-}V_t$ [114 115] 0 0 $DIP\text{-}V_b$ [116 117] 0 0 NUMERO DE CONTRACCIONES [118 119 120] 0 0 0

NUMERO DE MINUTOS REGISTRADOS [121 122 123] 0 8 0

HOJA CODIFICADA PARA EL ESTUDIO DE LAS VARIACIONES CARDIOTOCOGRAFICAS ATRIBUIDAS A LAS CIRCULARES DEL CORDON UMBILICAL

NOMBRE Y APELLIDOS:

GRUPO ESTUDIADO [1] 0 Nº DE Hª DE D.C. [2 3 4 5 6 7] 0 1 8 8 2 6 Nº DE UCIP [8 9 10 11 12] 1 2 7 5 3

BOLSA [13] 0 L.A. [14] 2 MECONIO [15] 2 SEMANA DE AMENORREA [16 17] 4 3 SEXO [18] 0

VITALIDAD [19] 0 EDAD MATERNA [20 21] 2 8 PARIDAD [22 23] 0 1 PESO DEL R.N. [24 25 26 27] 3 9 5 0

FORMA DE TERMINACION DEL PARTO [28] 0 LONGITUD DEL CORDON [29 30] 5 0 APGAR-1 [31 32] 0 9

APGAR-5 [33 34] 1 0 MORBILIDAD [35] 0

MADRE: PO_2 [36 37] 9 9 PCO_2 [38 39] 2 0 D.B. [40 41 42] - 9 HCO_3^- [43 44] 1 3 P^H [45 46 47] 7 4 1

FETO: ARTERIA. PO_2 [48 49] 0 6 PCO_2 [50 51] 5 9 D.B. [52 53 54] - 1 2 HCO_3^- [55 56] 1 3 P^H [57 58 59] 7 1 2

VENA. PO_2 [60 61] 1 5 PCO_2 [62 63] 4 0 D.B. [64 65 66] - 1 2 HCO_3^- [67 68] 1 9 P^H [69 70 71] 7 2 9

TIPO DE ACIDOSIS MATERNA [72] 0 TIPO DE ACIDOSIS FETAL [73] 2 Δ-P^H MADRE-FETO [74 75] 1 2

Δ-P^H VENA UMBILICAL-ARTERIA UMBILICAL [76 77] 1 7 PROMEDIO DE ASCENSOS ?. [78 79] 0 8

PROMEDIO DE ASCENSOS TRANSITORIOS QUE COINCIDEN CON LA CONTRACCION [80 81] 0 0

TAQUICARDIA [82] 0 BRADICARDIA [83] 0 VARIABILIDAD DE LA FCF [84 85] 0 7 DIP-I [86 87] 0 0

DIP-II [88 89] 0 0 TOTAL DIPS UMBILICALES [90 91] 0 0 DIP-U [92 93] 0 0 $DIP\text{-}U_p$ [94 95] 0 0

$DIP\text{-}U_t$ [96 97] 0 0 $DIP\text{-}U_e$ [98 99] 0 0 $DIP\text{-}U_{rp}$ [100 101] 0 0 $DIP\text{-}U_{rt}$ [102 103] 0 0 $DIP\text{-}U_\lambda$ [104 105] 0 0

$DIP\text{-}U_{\lambda p}$ [106 107] 0 0 $DIP\text{-}U_{\lambda t}$ [108 109] 0 0 DIP-V [110 111] 0 0 $DIP\text{-}V_p$ [112 113] 0 0

$DIP\text{-}V_t$ [114 115] 0 0 $DIP\text{-}V_b$ [116 117] 0 0 NUMERO DE CONTRACCIONES [118 119 120] 0 4 2

NUMERO DE MINUTOS REGISTRADOS [121 122 123] 2 2 2

HOJA CODIFICADA PARA EL ESTUDIO DE LAS VARIACIONES CARDIOTOCOGRAFICAS ATRIBUIDAS A LAS CIRCULARES DEL CORDON UMBILICAL

NOMBRE Y APELLIDOS:

GRUPO ESTUDIADO [1] 0 Nº DE Hª DE D.C. [2 3 4 5 6 7] 0 3 2 0 9 8 Nº DE UCIP [8 9 10 11 12] 1 7 4 0 9

BOLSA [13] 0 L.A. [14] 3 MECONIO [15] 1 SEMANA DE AMENORREA [16 17] 3 9 SEXO [18] 0

VITALIDAD [19] 0 EDAD MATERNA [20 21] 3 7 PARIDAD [22 23] 0 2 PESO DEL R.N. [24 25 26 27] 3 6 5 0

FORMA DE TERMINACION DEL PARTO [28] 0 LONGITUD DEL CORDON [29 30] 6 5 APGAR-1 [31 32] 0 9

APGAR-5 [33 34] 1 0 MORBILIDAD [35] 0

MADRE: PO_2 [36 37] 5 7 PCO_2 [38 39] 2 8 D.B. [40 41 42] - 1 0 HCO_3^- [43 44] 1 4 P^H [45 46 47] 7 3 3

FETO: ARTERIA. PO_2 [48 49] 3 0 PCO_2 [50 51] 6 3 D.B. [52 53 54] - - 6 HCO_3^- [55 56] 2 3 P^H [57 58 59] 7 1 9

VENA. PO_2 [60 61] 3 3 PCO_2 [62 63] 3 7 D.B. [64 65 66] - - 5 HCO_3^- [67 68] 2 0 P^H [69 70 71] 7 3 5

TIPO DE ACIDOSIS MATERNA [72] 0 TIPO DE ACIDOSIS FETAL [73] 1 Δ-P^H MADRE-FETO [74 75] 0 3

Δ-P^H VENA UMBILICAL-ARTERIA UMBILICAL [76 77] 1 6 PROMEDIO DE ASCENSOS ?. [78 79] 5 5

PROMEDIO DE ASCENSOS TRANSITORIOS QUE COINCIDEN CON LA CONTRACCION [80 81] 0 0

TAQUICARDIA [82] 0 BRADICARDIA [83] 0 VARIABILIDAD DE LA FCF [84 85] 0 9 DIP-I [86 87] 0 0

DIP-II [88 89] 0 0 TOTAL DIPS UMBILICALES [90 91] 0 0 DIP-U [92 93] 0 0 $DIP\text{-}U_p$ [94 95] 0 0

$DIP\text{-}U_t$ [96 97] 0 0 $DIP\text{-}U_e$ [98 99] 0 0 $DIP\text{-}U_{rp}$ [100 101] 0 0 $DIP\text{-}U_{rt}$ [102 103] 0 0 $DIP\text{-}U_\lambda$ [104 105] 0 0

$DIP\text{-}U_{\lambda p}$ [106 107] 0 0 $DIP\text{-}U_{\lambda t}$ [108 109] 0 0 DIP-V [110 111] 0 0 $DIP\text{-}V_p$ [112 113] 0 0

$DIP\text{-}V_t$ [114 115] 0 0 $DIP\text{-}V_b$ [116 117] 0 0 NUMERO DE CONTRACCIONES [118 119 120] 0 0 0

NUMERO DE MINUTOS REGISTRADOS [121 122 123] 0 6 0

HOJA CODIFICADA PARA EL ESTUDIO DE LAS VARIACIONES CARDIOTOCOGRAFICAS ATRIBUIDAS A LAS CIRCULARES DEL CORDON UMBILICAL

NOMBRE Y APELLIDOS:

GRUPO ESTUDIADO [1] 0 Nº DE Hª DE D.C. [2 3 4 5 6 7] 0 0 4 2 0 7 Nº DE UCIP [8 9 10 11 12] 1 7 0 8 6

BOLSA [13] 0 L.A. [14] 2 MECONIO [15] 1 SEMANA DE AMENORREA [16 17] 4 0 SEXO [18] 0

VITALIDAD [19] 0 EDAD MATERNA [20 21] 3 3 PARIDAD [22 23] 0 4 PESO DEL R.N. [24 25 26 27] 3 8 0 0

FORMA DE TERMINACION DEL PARTO [28] 1 LONGITUD DEL CORDON [29 30] 7 5 APGAR-1 [31 32] 0 9

APGAR-5 [33 34] 1 0 MORBILIDAD [35] 0

MADRE: PO_2 [36 37] 6 2 PCO_2 [38 39] 2 1 D.B. [40 41 42] - - 9 HCO_3^- [43 44] 1 2 P^H [45 46 47] 7 3 9

FETO: ARTERIA. PO_2 [48 49] 2 5 PCO_2 [50 51] 3 7 D.B. [52 53 54] - - 6 HCO_3^- [55 56] 1 8 P^H [57 58 59] 7 3 1

VENA. PO_2 [60 61] 2 7 PCO_2 [61 63] 3 2 D.B. [64 65 66] - - 5 HCO_3^- [67 68] 1 8 P^H [69 70 71] 7 3 6

TIPO DE ACIDOSIS MATERNA [72] 0 TIPO DE ACIDOSIS FETAL [73] 0 Δ-P^H MADRE-FETO [74 75] 0 3

Δ-P^H VENA UMBILICAL-ARTERIA UMBILICAL [76 77] 0 5 PROMEDIO DE ASCENSOS ?. [78 79] 0 0

PROMEDIO DE ASCENSOS TRANSITORIOS QUE COINCIDEN CON LA CONTRACCION [80 81] 0 0

TAQUICARDIA [82] 0 BRADICARDIA [83] 0 VARIABILIDAD DE LA FCF [84 85] 0 6 DIP-I [86 87] 0 0

DIP-II [88 89] 0 0 TOTAL DIPS UMBILICALES [90 91] 0 0 DIP-U [92 93] 0 0 $DIP\text{-}U_p$ [94 95] 0 0

$DIP\text{-}U_t$ [96 97] 0 0 $DIP\text{-}U_e$ [98 99] 0 0 $DIP\text{-}U_{rp}$ [100 101] 0 0 $DIP\text{-}U_{rt}$ [102 103] 0 0 $DIP\text{-}U_\lambda$ [104 105] 0 0

$DIP\text{-}U_{\lambda p}$ [106 107] 0 0 $DIP\text{-}U_{\lambda t}$ [108 109] 0 0 DIP-V [110 111] 0 0 $DIP\text{-}V_p$ [112 113] 0 0

$DIP\text{-}V_t$ [114 115] 0 0 $DIP\text{-}V_b$ [116 117] 0 0 NUMERO DE CONTRACCIONES [118 119 120] 0 0 4

NUMERO DE MINUTOS REGISTRADOS [121 122 123] 0 7 8

HOJA CODIFICADA PARA EL ESTUDIO DE LAS VARIACIONES CARDIOTOCOGRAFICAS ATRIBUIDAS A LAS CIRCULARES DEL CORDON UMBILICAL

NOMBRE Y APELLIDOS:

GRUPO ESTUDIADO [0] Nº DE Nº DE D.C. [1 0 1 8 3 2] Nº DE UCIP [1 7 5 2 3]

BOLSA [0] L.A. [2] MECONIO [1] SEMANA DE AMENORREA [4 3] SEXO [0]

VITALIDAD [0] EDAD MATERNA [2 2] PARIDAD [0 1] PESO DEL R.N. [3 7 6 0]

FORMA DE TERMINACION DEL PARTO [1] LONGITUD DEL CORDON [5 5] APGAR-1 [0 9]

APGAR-5 [1 0] MORBILIDAD [0]

MADRE: PO_2 [7 8] PCO_2 [2 8] D.B. [- 5] HCO_3^- [1 1] P^H [7 4 5]

FETO: ARTERIA. PO_2 [1 5] PCO_2 [4 1] D.B. [- 2] HCO_3^- [2 3] P^H [7 3 5]

VENA. PO_2 [2 8] PCO_2 [3 1] D.B. [- 5] HCO_3^- [1 8] P^H [7 3 9]

TIPO DE ACIDOSIS MATERNA [0] TIPO DE ACIDOSIS FETAL [0] Δ-P^H MADRE-FETO [0 6]

Δ-P^H VENA UMBILICAL-ARTERIA UMBILICAL [0 4] PROMEDIO DE ASCENSOS T. [1 1]

PROMEDIO DE ASCENSOS TRANSITORIOS QUE COINCIDEN CON LA CONTRACCION [0 1]

TAQUICARDIA [0] BRADICARDIA [0] VARIABILIDAD DE LA FCF [0 6] DIP-I [0 0]

DIP-II [0 0] TOTAL DIPS UMBILICALES [0 0] DIP-U [0 0] $DIP\text{-}U_p$ [0 0]

$DIP\text{-}U_t$ [0 0] $DIP\text{-}U_e$ [0 0] $DIP\text{-}U_{ep}$ [0 0] $DIP\text{-}U_{et}$ [0 0] $DIP\text{-}U_a$ [0 0]

$DIP\text{-}U_{ap}$ [0 0] $DIP\text{-}U_{at}$ [0 0] DIP-V [0 0] $DIP\text{-}V_p$ [0 0]

$DIP\text{-}V_t$ [0 0] $DIP\text{-}V_b$ [0 0] NUMERO DE CONTRACCIONES [0 7 2]

NUMERO DE MINUTOS REGISTRADOS [2 7 9]

HOJA CODIFICADA PARA EL ESTUDIO DE LAS VARIACIONES CARDIOTOCOGRAFICAS ATRIBUIDAS A LAS CIRCULARES DEL CORDON UMBILICAL

NOMBRE Y APELLIDOS:

GRUPO ESTUDIADO [0] Nº DE Nº DE D.C. [0 9 2 4 8 7] Nº DE UCIP [1 5 3 8 0]

BOLSA [0] L.A. [0] MECONIO [0] SEMANA DE AMENORREA [3 9] SEXO [1]

VITALIDAD [0] EDAD MATERNA [3 7] PARIDAD [0 4] PESO DEL R.N. [3 0 0 0]

FORMA DE TERMINACION DEL PARTO [0] LONGITUD DEL CORDON [5 0] APGAR-1 [0 9]

APGAR-5 [1 0] MORBILIDAD [0]

MADRE: PO_2 [7 8] PCO_2 [2 1] D.B. [- 6] HCO_3^- [1 5] P^H [7 4 8]

FETO: ARTERIA. PO_2 [0 8] PCO_2 [4 7] D.B. [- 6] HCO_3^- [2 1] P^H [7 2 6]

VENA. PO_2 [1 0] PCO_2 [3 8] D.B. [- 4] HCO_3^- [2 1] P^H [7 3 5]

TIPO DE ACIDOSIS MATERN. [0] TIPO DE ACIDOSIS FETAL [0] Δ-P^H MADRE-FETO [1 3]

Δ-P^H VENA UMBILICAL-ARTERIA UMBILICAL [0 9] PROMEDIO DE ASCENSOS T. [4 8]

PROMEDIO DE ASCENSOS TRANSITORIOS QUE COINCIDEN CON LA CONTRACCION [0 0]

TAQUICARDIA [0] BRADICARDIA [0] VARIABILIDAD DE LA FCF [0 8] DIP-I [0 0]

DIP-II [0 0] TOTAL DIPS UMBILICALES [0 0] DIP-U [0 0] $DIP\text{-}U_p$ [0 0]

$DIP\text{-}U_t$ [0 0] $DIP\text{-}U_e$ [0 0] $DIP\text{-}U_{ep}$ [0 0] $DIP\text{-}U_{et}$ [0 0] $DIP\text{-}U_a$ [0 0]

$DIP\text{-}U_{ap}$ [0 0] $DIP\text{-}U_{at}$ [0 0] DIP-V [0 0] $DIP\text{-}V_p$ [0 0]

$DIP\text{-}V_t$ [0 0] $DIP\text{-}V_b$ [0 0] NUMERO DE CONTRACCIONES [0 2 6]

NUMERO DE MINUTOS REGISTRADOS [1 0 5]

HOJA CODIFICADA PARA EL ESTUDIO DE LAS VARIACIONES CARDIOTOCOGRAFICAS ATRIBUIDAS A LAS CIRCULARES DEL CORDON UMBILICAL

NOMBRE Y APELLIDOS:

GRUPO ESTUDIADO [0] Nº DE Nº DE D.C. [1 0 1 0 6 4] Nº DE UCIP [1 7 1 6 6]

BOLSA [0] L.A. [0] MECONIO [1] SEMANA DE AMENORREA [4 0] SEXO [0]

VITALIDAD [0] EDAD MATERNA [2 4] PARIDAD [0 4] PESO DEL R.N. [3 2 5 0]

FORMA DE TERMINACION DEL PARTO [0] LONGITUD DEL CORDON [5 0] APGAR-1 [0 9]

APGAR-5 [1 0] MORBILIDAD [0]

MADRE: PO_2 [7 9] PCO_2 [2 7] D.B. [- 1 0] HCO_3^- [1 5] P^H [7 3 2]

FETO: ARTERIA. PO_2 [1 6] PCO_2 [7 1] D.B. [- 4] HCO_3^- [2 7] P^H [7 2 0]

VENA. PO_2 [2 7] PCO_2 [3 4] D.B. [- 5] HCO_3^- [1 9] P^H [7 3 6]

TIPO DE ACIDOSIS MATERNA [0] TIPO DE ACIDOSIS FETAL [1] Δ-P^H MADRE-FETO [0 1]

Δ-P^H VENA UMBILICAL-ARTERIA UMBILICAL [1 1] PROMEDIO DE ASCENSOS T. [3 3]

PROMEDIO DE ASCENSOS TRANSITORIOS QUE COINCIDEN CON LA CONTRACCION [0 3]

TAQUICARDIA [0] BRADICARDIA [0] VARIABILIDAD DE LA FCF [0 6] DIP-I [0 0]

DIP-II [0 0] TOTAL DIPS UMBILICALES [0 0] DIP-U [0 0] $DIP\text{-}U_p$ [0 0]

$DIP\text{-}U_t$ [0 0] $DIP\text{-}U_e$ [0 0] $DIP\text{-}U_{ep}$ [0 0] $DIP\text{-}U_{et}$ [0 0] $DIP\text{-}U_a$ [0 0]

$DIP\text{-}U_{ap}$ [0 0] $DIP\text{-}U_{at}$ [0 0] DIP-V [0 0] $DIP\text{-}V_p$ [0 0]

$DIP\text{-}V_t$ [0 0] $DIP\text{-}V_b$ [0 0] NUMERO DE CONTRACCIONES [0 1 6]

NUMERO DE MINUTOS REGISTRADOS [0 9 0]

HOJA CODIFICADA PARA EL ESTUDIO DE LAS VARIACIONES CARDIOTOCOGRAFICAS ATRIBUIDAS A LAS CIRCULARES DEL CORDON UMBILICAL

NOMBRE Y APELLIDOS:

GRUPO ESTUDIADO [0] Nº DE Nº DE D.C. [0 7 8 5 9 3] Nº DE UCIP [1 5 2 8 1 2]

BOLSA [1] L.A. [2] MECONIO [1] SEMANA DE AMENORREA [3 6] SEXO [1]

VITALIDAD [0] EDAD MATERNA [2 7] PARIDAD [0 1] PESO DEL R.N. [3 1 8 0]

FORMA DE TERMINACION DEL PARTO [0] LONGITUD DEL CORDON [6 1] APGAR-1 [0 9]

APGAR-5 [1 0] MORBILIDAD [0]

MADRE: PO_2 [- -] PCO_2 [- -] D.B. [- - - -] HCO_3^- [- -] P^H [- - - -]

FETO: ARTERIA. PO_2 [- -] PCO_2 [- -] D.B. [- - - -] HCO_3^- [- -] P^H [- - - -]

VENA. PO_2 [- -] PCO_2 [- -] D.B. [- - - -] HCO_3^- [- -] P^H [- - - -]

TIPO DE ACIDOSIS MATERNA [-] TIPO DE ACIDOSIS FETAL [-] Δ-P^H MADRE-FETO [- -]

Δ-P^H VENA UMBILICAL-ARTERIA UMBILICAL [- -] PROMEDIO DE ASCENSOS T. [0 6]

PROMEDIO DE ASCENSOS TRANSITORIOS QUE COINCIDEN CON LA CONTRACCION [0 6]

TAQUICARDIA [1] BRADICARDIA [0] VARIABILIDAD DE LA FCF [0 4] DIP-I [0 0]

DIP-II [0 0] TOTAL DIPS UMBILICALES [0 0] DIP-U [0 0] $DIP\text{-}U_p$ [0 0]

$DIP\text{-}U_t$ [0 0] $DIP\text{-}U_e$ [0 0] $DIP\text{-}U_{ep}$ [0 0] $DIP\text{-}U_{et}$ [0 0] $DIP\text{-}U_a$ [0 0]

$DIP\text{-}U_{ap}$ [0 0] $DIP\text{-}U_{at}$ [0 0] DIP-V [0 0] $DIP\text{-}V_p$ [0 0]

$DIP\text{-}V_t$ [0 0] $DIP\text{-}V_b$ [0 0] NUMERO DE CONTRACCIONES [0 2 7]

NUMERO DE MINUTOS REGISTRADOS [0 9 0]

HOJA CODIFICADA PARA EL ESTUDIO DE LAS VARIACIONES CARDIOTOCOGRAFICAS ATRIBUIDAS A LAS CIRCULARES DEL CORDON UMBILICAL

NOMBRE Y APELLIDOS:

GRUPO ESTUDIADO [1] Nº DE Hª DE R.C. [2 3 4 5 6 7] [0 7 6 6 2 4] Nº DE UCIP [8 9 10 11 12] [1 1 9 0 4]

BOLSA [13] [0] L.A. [14] [2] NECONIO [15] [2] SEMANA DE AMENORREA [16 17] [4 0] SEXO [18] [1]

VITALIDAD [19] [0] EDAD MATERNA [20 21] [2 4] PARIDAD [22 23] [0 1] PESO DEL R.N. [24 25 26 27] [3 9 5 0]

FORMA DE TERMINACION DEL PARTO [28] [0] LONGITUD DEL CORDON [29 30] [5 0] APGAR-1 [31 32] [0 9]

APGAR-5 [33 34] [1 0] MORBILIDAD [35] [0]

MADRE: PO_2 [36 37] [7 7] PCO_2 [38 39] [2 6] D.B. [40 41 42] [- 1 1] HCO_3^- [43 44] [1 3] P^H [45 46 47] [7 3 3]

FETO: ARTERIA. PO_2 [48 49] [1 9] PCO_2 [50 51] [7 5] D.B. [52 53 54] [- 1 4] HCO_3^- [55 56] [1 9] P^H [57 58 59] [7 0 3]

VENA. PO_2 [60 61] [3 0] PCO_2 [62 63] [5 3] D.B. [64 65 66] [- 4 1] HCO_3^- [67 68] [1 8] P^H [69 70 71] [7 1 6]

TIPO DE ACIDOSIS MATERNA [72] [0] TIPO DE ACIDOSIS FETAL [73] [3] Δ-P^H MADRE-FETO [74 75] [1 7]

Δ-P^H VENA UMBILICAL-ARTERIA UMBILICAL [76 77] [1 3] PROMEDIO DE ASCENSOS ?. [78 79] [1 8]

PROMEDIO DE ASCENSOS TRANSITORIOS QUE COINCIDEN CON LA CONTRACCION [80 81] [0 0]

TAQUICARDIA [82] [0] BRADICARDIA [83] [0] VARIABILIDAD DE LA FCF [84 85] [0 7] DIP-I [86 87] [0 0]

DIP-II [88 89] [0 0] TOTAL DIPS UMBILICALES [90 91] [0 0] DIP-U [92 93] [0 0] $DIP\text{-}U_p$ [94 95] [0 0]

$DIP\text{-}U_t$ [96 97] [0 0] $DIP\text{-}U_v$ [98 99] [0 0] $DIP\text{-}U_{v_1}$ [100 101] [0 0] $DIP\text{-}U_{v_2}$ [102 103] [0 0] $DIP\text{-}U_\lambda$ [104 105] [0 0]

$DIP\text{-}U_{\lambda p}$ [106 107] [0 0] $DIP\text{-}U_{\lambda t}$ [108 109] [0 0] DIP-V [110 111] [0 0] $DIP\text{-}V_p$ [112 113] [0 0]

$DIP\text{-}V_t$ [114 115] [0 0] $DIP\text{-}V_b$ [116 117] [0 0] NUMERO DE CONTRACCIONES [118 119 120] [0 0 7]

NUMERO DE MINUTOS REGISTRADOS [121 122 123] [0 8 4]

HOJA CODIFICADA PARA EL ESTUDIO DE LAS VARIACIONES CARDIOTOCOGRAFICAS ATRIBUIDAS A LAS CIRCULARES DEL CORDON UMBILICAL

NOMBRE Y APELLIDOS:

GRUPO ESTUDIADO [1] [0] Nº DE Hª DE R.C. [2 3 4 5 6 7] [0 6 0 2 5 5] Nº DE UCIP [8 9 10 11 12] [0 9 1 1 4 0]

BOLSA [13] [0] L.A. [14] [2] NECONIO [15] [2] SEMANA DE AMENORREA [16 17] [4 1] SEXO [18] [0]

VITALIDAD [19] [0] EDAD MATERNA [20 21] [2 6] PARIDAD [22 23] [0 0] PESO DEL R.N. [24 25 26 27] [3 4 6 0]

FORMA DE TERMINACION DEL PARTO [28] [0] LONGITUD DEL CORDON [29 30] [5 5] APGAR-1 [31 32] [0 9]

APGAR-5 [33 34] [1 0] MORBILIDAD [35] [0]

MADRE: PO_2 [36 37] [8 2] PCO_2 [38 39] [2 6] D.B. [40 41 42] [- - 5] HCO_3^- [43 44] [1 6] P^H [45 46 47] [7 4 1]

FETO: ARTERIA. PO_2 [48 49] [0 7] PCO_2 [50 51] [5 0] D.B. [52 53 54] [- 1 0] HCO_3^- [55 56] [1 9] P^H [57 58 59] [7 2 0]

VENA. PO_2 [60 61] [3 0] PCO_2 [62 63] [3 6] D.B. [64 65 66] [- - 7] HCO_3^- [67 68] [1 9] P^H [69 70 71] [7 3 2]

TIPO DE ACIDOSIS MATERNA [72] [0] TIPO DE ACIDOSIS FETAL [73] [3] Δ-P^H MADRE-FETO [74 75] [0 9]

Δ-P^H VENA UMBILICAL-ARTERIA UMBILICAL [76 77] [1 2] PROMEDIO DE ASCENSOS ?. [78 79] [1 5]

PROMEDIO DE ASCENSOS TRANSITORIOS QUE COINCIDEN CON LA CONTRACCION [80 81] [0 2]

TAQUICARDIA [82] [1] BRADICARDIA [83] [0] VARIABILIDAD DE LA FCF [84 85] [0 7] DIP-I [86 87] [0 0]

DIP-II [88 89] [0 0] TOTAL DIPS UMBILICALES [90 91] [0 0] DIP-U [92 93] [0 0] $DIP\text{-}U_p$ [94 95] [0 0]

$DIP\text{-}U_t$ [96 97] [0 0] $DIP\text{-}U_v$ [98 99] [0 0] $DIP\text{-}U_{v_1}$ [100 101] [0 0] $DIP\text{-}U_{v_2}$ [102 103] [0 0] $DIP\text{-}U_\lambda$ [104 105] [0 0]

$DIP\text{-}U_{\lambda p}$ [106 107] [0 0] $DIP\text{-}U_{\lambda t}$ [108 109] [0 0] DIP-V [110 111] [0 0] $DIP\text{-}V_p$ [112 113] [0 0]

$DIP\text{-}V_t$ [114 115] [0 0] $DIP\text{-}V_b$ [116 117] [0 0] NUMERO DE CONTRACCIONES [118 119 120] [0 1 8]

NUMERO DE MINUTOS REGISTRADOS [121 122 123] [1 5 6]

HOJA CODIFICADA PARA EL ESTUDIO DE LAS VARIACIONES CARDIOTOCOGRAFICAS ATRIBUIDAS A LAS CIRCULARES DEL CORDON UMBILICAL

NOMBRE Y APELLIDOS:

GRUPO ESTUDIADO [1] [0] Nº DE Hª DE R.C. [2 3 4 5 6 7] [0 8 8 0 9 6] Nº DE UCIP [8 9 10 11 12] [1 6 4 0 6]

BOLSA [13] [0] L.A. [14] [1] NECONIO [15] [2] SEMANA DE AMENORREA [16 17] [3 7] SEXO [18] [1]

VITALIDAD [19] [0] EDAD MATERNA [20 21] [2 3] PARIDAD [22 23] [0 0] PESO DEL R.N. [24 25 26 27] [3 8 7 0]

FORMA DE TERMINACION DEL PARTO [28] [4] LONGITUD DEL CORDON [29 30] [5 5] APGAR-1 [31 32] [0 9]

APGAR-5 [33 34] [1 0] MORBILIDAD [35] [3]

MADRE: PO_2 [36 37] [5 4] PCO_2 [38 39] [3 5] D.B. [40 41 42] [- 1 2] HCO_3^- [43 44] [1 5] P^H [45 46 47] [7 2 4]

FETO: ARTERIA. PO_2 [48 49] [1 5] PCO_2 [50 51] [4 9] D.B. [52 53 54] [- - 8] HCO_3^- [55 56] [1 8] P^H [57 58 59] [7 2 3]

VENA. PO_2 [60 61] [2 9] PCO_2 [62 63] [4 2] D.B. [64 65 66] [- - 8] HCO_3^- [67 68] [1 9] P^H [69 70 71] [7 2 7]

TIPO DE ACIDOSIS MATERNA [72] [0] TIPO DE ACIDOSIS FETAL [73] [0] Δ-P^H MADRE-FETO [74 75] [0 1]

Δ-P^H VENA UMBILICAL-ARTERIA UMBILICAL [76 77] [0 1] PROMEDIO DE ASCENSOS ?. [78 79] [2 8]

PROMEDIO DE ASCENSOS TRANSITORIOS QUE COINCIDEN CON LA CONTRACCION [80 81] [0 4]

TAQUICARDIA [82] [0] BRADICARDIA [83] [0] VARIABILIDAD DE LA FCF [84 85] [0 4] DIP-I [86 87] [0 0]

DIP-II [88 89] [0 0] TOTAL DIPS UMBILICALES [90 91] [0 0] DIP-U [92 93] [0 0] $DIP\text{-}U_p$ [94 95] [0 0]

$DIP\text{-}U_t$ [96 97] [0 0] $DIP\text{-}U_v$ [98 99] [0 0] $DIP\text{-}U_{v_1}$ [100 101] [0 0] $DIP\text{-}U_{v_2}$ [102 103] [0 0] $DIP\text{-}U_\lambda$ [104 105] [0 0]

$DIP\text{-}U_{\lambda p}$ [106 107] [0 0] $DIP\text{-}U_{\lambda t}$ [108 109] [0 0] DIP-V [110 111] [0 0] $DIP\text{-}V_p$ [112 113] [0 0]

$DIP\text{-}V_t$ [114 115] [0 0] $DIP\text{-}V_b$ [116 117] [0 0] NUMERO DE CONTRACCIONES [118 119 120] [0 7 0]

NUMERO DE MINUTOS REGISTRADOS [121 122 123] [3 2 7]

HOJA CODIFICADA PARA EL ESTUDIO DE LAS VARIACIONES CARDIOTOCOGRAFICAS ATRIBUIDAS A LAS CIRCULARES DEL CORDON UMBILICAL

NOMBRE Y APELLIDOS:

GRUPO ESTUDIADO [1] [0] Nº DE Hª DE R.C. [2 3 4 5 6 7] [0 5 6 7 4 0] Nº DE UCIP [8 9 10 11 12] [0 8 6 5 8]

BOLSA [13] [0] L.A. [14] [0] NECONIO [15] [0] SEMANA DE AMENORREA [16 17] [4 2] SEXO [18] [0]

VITALIDAD [19] [0] EDAD MATERNA [20 21] [1 9] PARIDAD [22 23] [0 0] PESO DEL R.N. [24 25 26 27] [4 1 0 0]

FORMA DE TERMINACION DEL PARTO [28] [2] LONGITUD DEL CORDON [29 30] [7 0] APGAR-1 [31 32] [0 9]

APGAR-5 [33 34] [1 0] MORBILIDAD [35] [0]

MADRE: PO_2 [36 37] [9 7] PCO_2 [38 39] [2 5] D.B. [40 41 42] [- - 8] HCO_3^- [43 44] [1 4] P^H [45 46 47] [7 3 9]

FETO: ARTERIA. PO_2 [48 49] [1 9] PCO_2 [50 51] [5 2] D.B. [52 53 54] [- - 8] HCO_3^- [55 56] [2 1 1] P^H [57 58 59] [7 2 1]

VENA. PO_2 [60 61] [2 8] PCO_2 [62 63] [3 8] D.B. [64 65 66] [- - 7] HCO_3^- [67 68] [1 9] P^H [69 70 71] [7 3 0]

TIPO DE ACIDOSIS MATERNA [72] [0] TIPO DE ACIDOSIS FETAL [73] [0] Δ-P^H MADRE-FETO [74 75] [0 9]

Δ-P^H VENA UMBILICAL-ARTERIA UMBILICAL [76 77] [0 9] PROMEDIO DE ASCENSOS ?. [78 79] [2 8]

PROMEDIO DE ASCENSOS TRANSITORIOS QUE COINCIDEN CON LA CONTRACCION [80 81] [0 6]

TAQUICARDIA [82] [0] BRADICARDIA [83] [0] VARIABILIDAD DE LA FCF [84 85] [0 5] DIP-I [86 87] [0 0]

DIP-II [88 89] [0 0] TOTAL DIPS UMBILICALES [90 91] [0 0] DIP-U [92 93] [0 0] $DIP\text{-}U_p$ [94 95] [0 0]

$DIP\text{-}U_t$ [96 97] [0 0] $DIP\text{-}U_v$ [98 99] [0 0] $DIP\text{-}U_{v_1}$ [100 101] [0 0] $DIP\text{-}U_{v_2}$ [102 103] [0 0] $DIP\text{-}U_\lambda$ [104 105] [0 0]

$DIP\text{-}U_{\lambda p}$ [106 107] [0 0] $DIP\text{-}U_{\lambda t}$ [108 109] [0 0] DIP-V [110 111] [0 0] $DIP\text{-}V_p$ [112 113] [0 0]

$DIP\text{-}V_t$ [114 115] [0 0] $DIP\text{-}V_b$ [116 117] [0 0] NUMERO DE CONTRACCIONES [118 119 120] [0 2 3]

NUMERO DE MINUTOS REGISTRADOS [121 122 123] [1 4 0]

HOJA CODIFICADA PARA EL ESTUDIO DE LAS VARIACIONES CARDIOTOCOGRAFICAS ATRIBUIDAS A LAS CIRCULARES DEL CORDON UMBILICAL

NOMBRE Y APELLIDOS:

GRUPO ESTUDIADO [1] [0] Nº DE Hª DE D.C. [2 3 4 5 6 7] [4 0 2 0 0 8] Nº DE UCIP [8 9 10 11 12] [1 7 6 3 4]

BOLSA [13] [1] L.A. [14] [0] MECONIO [15] [0] SEMANA DE AMENORREA [16 17] [3 9] SEXO [18] [0]

VITALIDAD [19] [0] EDAD MATERNA [20 21] [2 6] PARIDAD [22 23] [0 1] PESO DEL R.N. [24 25 26 27] [3 4 2 0]

FORMA DE TERMINACION DEL PARTO [28] [0] LONGITUD DEL CORDON [29 30] [5 0] APGAR-1 [31 32] [1 0]

APGAR-5 [33 34] [1 0] MORBILIDAD [35] [0]

MADRE: PO_2 [36 37] [8 7] PCO_2 [38 39] [2 0] D.B. [40 41 42] [- 1 0] HCO_3^- [43 44] [1 2] P^H [45 46 47] [7 4 3]

FETO: ARTERIA. PO_2 [48 49] [1 4] PCO_2 [50 51] [2 8] D.B. [52 53 54] [- - 7] HCO_3^- [55 56] [1 7] P^H [57 58 59] [7 3 7]

VENA. PO_2 [60 61] [2 3] PCO_2 [62 63] [2 5] D.B. [64 65 66] [- - 5] HCO_3^- [67 68] [1 6] P^H [69 70 71] [7 4 4]

TIPO DE ACIDOSIS MATERNA [72] [0] TIPO DE ACIDOSIS FETAL [73] [0] Δ-P^H MADRE-FETO [74 75] [0 1]

Δ-P^H VENA UMBILICAL-ARTERIA UMBILICAL [76 77] [0 1 7] PROMEDIO DE ASCENSOS ?. [78 79] [5 3]

PROMEDIO DE ASCENSOS TRANSITORIOS QUE COINCIDEN CON LA CONTRACCION [80 81] [3 6]

TAQUICARDIA [82] [0] BRADICARDIA [83] [0] VARIABILIDAD DE LA FCF [84 85] [0 8] DIP-I [86 87] [0 0]

DIP-II [88 89] [0 0] TOTAL DIPS UMBILICALES [90 91] [0 0] DIP-U [92 93] [0 0] $DIP\text{-}U_p$ [94 95] [0 0]

$DIP\text{-}U_t$ [96 97] [0 0] $DIP\text{-}U_w$ [98 99] [0 0] $DIP\text{-}U_{w'}$ [100 101] [0 0] $DIP\text{-}U_{w''}$ [102 103] [0 0] $DIP\text{-}U_\lambda$ [104 105] [0 0]

$DIP\text{-}U_{\lambda'}$ [106 107] [0 0] $DIP\text{-}U_{\lambda''}$ [108 109] [0 0] DIP-V [110 111] [0 0] $DIP\text{-}V_p$ [112 113] [0 0]

$DIP\text{-}V_t$ [114 115] [0 0] $DIP\text{-}V_b$ [116 117] [0 0] NUMERO DE CONTRACCIONES [118 119 120] [0 3 4]

NUMERO DE MINUTOS REGISTRADOS [121 122 123] [1 0 1]

HOJA CODIFICADA PARA EL ESTUDIO DE LAS VARIACIONES CARDIOTOCOGRAFICAS ATRIBUIDAS A LAS CIRCULARES DEL CORDON UMBILICAL

NOMBRE Y APELLIDOS:

GRUPO ESTUDIADO [1] [0] Nº DE Hª DE D.C. [2 3 4 5 6 7] [0 3 3 3 3 4] Nº DE UCIP [8 9 10 11 12] [1 7 1 3 3]

BOLSA [13] [0] L.A. [14] [2] MECONIO [15] [1] SEMANA DE AMENORREA [16 17] [4 1] SEXO [18] [1]

VITALIDAD [19] [0] EDAD MATERNA [20 21] [2 6] PARIDAD [22 23] [0 1] PESO DEL R.N. [24 25 26 27] [4 3 5 0]

FORMA DE TERMINACION DEL PARTO [28] [2] LONGITUD DEL CORDON [29 30] [5 5] APGAR-1 [31 32] [1 0]

APGAR-5 [33 34] [1 0] MORBILIDAD [35] [0]

MADRE: PO_2 [36 37] [7 0] PCO_2 [38 39] [2 8] D.B. [40 41 42] [- - 8] HCO_3^- [43 44] [1 6] P^H [45 46 47] [7 3 7]

FETO: ARTERIA. PO_2 [48 49] [1 8] PCO_2 [50 51] [5 8] D.B. [52 53 54] [- - 6] HCO_3^- [55 56] [2 5] P^H [57 58 59] [7 2 1]

VENA. PO_2 [60 61] [3 0] PCO_2 [62 63] [4 4] D.B. [64 65 66] [- - 7] HCO_3^- [67 68] [2 0] P^H [69 70 71] [7 2 9]

TIPO DE ACIDOSIS MATERNA [72] [0] TIPO DE ACIDOSIS FETAL [73] [0] Δ-P^H MADRE-FETO [74 75] [0 8]

Δ-P^H VENA UMBILICAL-ARTERIA UMBILICAL [76 77] [0 8] PROMEDIO DE ASCENSOS ?. [78 79] [4 8]

PROMEDIO DE ASCENSOS TRANSITORIOS QUE COINCIDEN CON LA CONTRACCION [80 81] [0 0]

TAQUICARDIA [82] [0] BRADICARDIA [83] [0] VARIABILIDAD DE LA FCF [84 85] [0 7] DIP-I [86 87] [0 0]

DIP-II [88 89] [0 0] TOTAL DIPS UMBILICALES [90 91] [0 0] DIP-U [92 93] [0 0] $DIP\text{-}U_p$ [94 95] [0 0]

$DIP\text{-}U_t$ [96 97] [0 0] $DIP\text{-}U_w$ [98 99] [0 0] $DIP\text{-}U_{w'}$ [100 101] [0 0] $DIP\text{-}U_{w''}$ [102 103] [0 0] $DIP\text{-}U_\lambda$ [104 105] [0 0]

$DIP\text{-}U_{\lambda'}$ [106 107] [0 0] $DIP\text{-}U_{\lambda''}$ [108 109] [0 0] DIP-V [110 111] [0 0] $DIP\text{-}V_p$ [112 113] [0 0]

$DIP\text{-}V_t$ [114 115] [0 0] $DIP\text{-}V_b$ [116 117] [0 0] NUMERO DE CONTRACCIONES [118 119 120] [0 2 1]

NUMERO DE MINUTOS REGISTRADOS [121 122 123] [1 2 5]

HOJA CODIFICADA PARA EL ESTUDIO DE LAS VARIACIONES CARDIOTOCOGRAFICAS ATRIBUIDAS A LAS CIRCULARES DEL CORDON UMBILICAL

NOMBRE Y APELLIDOS:

GRUPO ESTUDIADO [1] [0] Nº DE Hª DE D.C. [2 3 4 5 6 7] [0 7 2 6 2 4] Nº DE UCIP [8 9 10 11 12] [1 1 1 6 2 7]

BOLSA [13] [1] L.A. [14] [2] MECONIO [15] [1] SEMANA DE AMENORREA [16 17] [4 0] SEXO [18] [1]

VITALIDAD [19] [0] EDAD MATERNA [20 21] [2 3] PARIDAD [22 23] [0 0] PESO DEL R.N. [24 25 26 27] [3 9 0 0]

FORMA DE TERMINACION DEL PARTO [28] [1] LONGITUD DEL CORDON [29 30] [5 5] APGAR-1 [31 32] [1 0]

APGAR-5 [33 34] [1 0] MORBILIDAD [35] [0]

MADRE: PO_2 [36 37] [9 1] PCO_2 [38 39] [2 5] D.B. [40 41 42] [- - 9] HCO_3^- [43 44] [1 4] P^H [45 46 47] [7 3 8]

FETO: ARTERIA. PO_2 [48 49] [1 8] PCO_2 [50 51] [6 3] D.B. [52 53 54] [- - 7] HCO_3^- [55 56] [2 3] P^H [57 58 59] [7 1 7]

VENA. PO_2 [60 61] [2 4] PCO_2 [62 63] [4 9] D.B. [64 65 66] [- - 7] HCO_3^- [67 68] [2 1] P^H [69 70 71] [7 2 4]

TIPO DE ACIDOSIS MATERNA [72] [0] TIPO DE ACIDOSIS FETAL [73] [3] Δ-P^H MADRE-FETO [74 75] [0 9]

Δ-P^H VENA UMBILICAL-ARTERIA UMBILICAL [76 77] [0 7] PROMEDIO DE ASCENSOS ?. [78 79] [3 9]

PROMEDIO DE ASCENSOS TRANSITORIOS QUE COINCIDEN CON LA CONTRACCION [80 81] [2 6]

TAQUICARDIA [82] [0] BRADICARDIA [83] [0] VARIABILIDAD DE LA FCF [84 85] [0 6] DIP-I [86 87] [0 0]

DIP-II [88 89] [0 0] TOTAL DIPS UMBILICALES [90 91] [0 0] DIP-U [92 93] [0 0] $DIP\text{-}U_p$ [94 95] [0 0]

$DIP\text{-}U_t$ [96 97] [0 0] $DIP\text{-}U_w$ [98 99] [0 0] $DIP\text{-}U_{w'}$ [100 101] [0 0] $DIP\text{-}U_{w''}$ [102 103] [0 0] $DIP\text{-}U_\lambda$ [104 105] [0 0]

$DIP\text{-}U_{\lambda'}$ [106 107] [0 0] $DIP\text{-}U_{\lambda''}$ [108 109] [0 0] DIP-V [110 111] [0 0] $DIP\text{-}V_p$ [112 113] [0 0]

$DIP\text{-}V_t$ [114 115] [0 0] $DIP\text{-}V_b$ [116 117] [0 0] NUMERO DE CONTRACCIONES [118 119 120] [0 1 1]

NUMERO DE MINUTOS REGISTRADOS [121 122 123] [0 7 0]

HOJA CODIFICADA PARA EL ESTUDIO DE LAS VARIACIONES CARDIOTOCOGRAFICAS ATRIBUIDAS A LAS CIRCULARES DEL CORDON UMBILICAL

NOMBRE Y APELLIDOS:

GRUPO ESTUDIADO [1] [0] Nº DE Hª DE D.C. [2 3 4 5 6 7] [0 6 2 1 9 3] Nº DE UCIP [8 9 10 11 12] [0 9 4 9 1 1]

BOLSA [13] [0] L.A. [14] [0] MECONIO [15] [0] SEMANA DE AMENORREA [16 17] [3 7] SEXO [18] [0]

VITALIDAD [19] [0] EDAD MATERNA [20 21] [3 5] PARIDAD [22 23] [0 3] PESO DEL R.N. [24 25 26 27] [2 7 5 0]

FORMA DE TERMINACION DEL PARTO [28] [4] LONGITUD DEL CORDON [29 30] [5 0] APGAR-1 [31 32] [0 2]

APGAR-5 [33 34] [0 3] MORBILIDAD [35] [3]

MADRE: PO_2 [36 37] [9 9] PCO_2 [38 39] [5 1] D.B. [40 41 42] [- - 4] HCO_3^- [43 44] [2 4] P^H [45 46 47] [7 2 8]

FETO: ARTERIA. PO_2 [48 49] [3 3] PCO_2 [50 51] [6 6] D.B. [52 53 54] [- - 4] HCO_3^- [55 56] [2 1] P^H [57 58 59] [7 2 1]

VENA. PO_2 [60 61] [4 4] PCO_2 [62 63] [6 4] D.B. [64 65 66] [- - 2] HCO_3^- [67 68] [2 6] P^H [69 70 71] [7 2 5]

TIPO DE ACIDOSIS MATERNA [72] [0] TIPO DE ACIDOSIS FETAL [73] [0] Δ-P^H MADRE-FETO [74 75] [0 3]

Δ-P^H VENA UMBILICAL-ARTERIA UMBILICAL [76 77] [0 4] PROMEDIO DE ASCENSOS ?. [78 79] [2 5]

PROMEDIO DE ASCENSOS TRANSITORIOS QUE COINCIDEN CON LA CONTRACCION [80 81] [0 0]

TAQUICARDIA [82] [0] BRADICARDIA [83] [0] VARIABILIDAD DE LA FCF [84 85] [0 8] DIP-I [86 87] [0 0]

DIP-II [88 89] [0 0] TOTAL DIPS UMBILICALES [90 91] [1 0] DIP-U [92 93] [0 0] $DIP\text{-}U_p$ [94 95] [0 0]

$DIP\text{-}U_t$ [96 97] [0 0] $DIP\text{-}U_w$ [98 99] [0 0] $DIP\text{-}U_{w'}$ [100 101] [0 0] $DIP\text{-}U_{w''}$ [102 103] [0 0] $DIP\text{-}U_\lambda$ [104 105] [1 0]

$DIP\text{-}U_{\lambda'}$ [106 107] [0 0] $DIP\text{-}U_{\lambda''}$ [108 109] [0 0] DIP-V [110 111] [0 0] $DIP\text{-}V_p$ [112 113] [0 0]

$DIP\text{-}V_t$ [114 115] [0 0] $DIP\text{-}V_b$ [116 117] [0 0] NUMERO DE CONTRACCIONES [118 119 120] [0 0 0]

NUMERO DE MINUTOS REGISTRADOS [121 122 123] [0 6 0]

HOJA CODIFICADA PARA EL ESTUDIO DE LAS VARIACIONES CARDIOTOCOGRAFICAS ATRIBUIDAS A LAS CIRCULARES DEL CORDON UMBILICAL

NOMBRE Y APELLIDOS:

GRUPO ESTUDIADO 1:[0] Nº DE Nº DE D.C. 2 3 4 5 6 7:[0 6 0 7 4 5] Nº DE UCIP 8 9 10 11 12:[0 8 8 8 4]

BOLSA 13:[0] L.A. 14:[2] MECONIO 15:[1] SEMANA DE AMENORREA 16 17:[3 9] SEXO 18:[0]

VITALIDAD 19:[0] EDAD MATERNA 20 21:[3 8] PARIDAD 22 23:[0 0] PESO DEL R.N. 24 25 26 27:[3 9 1 0]

FORMA DE TERMINACION DEL PARTO 28:[4] LONGITUD DEL CORDON 29 30:[6 0] APGAR-1 31 32:[0 2]

APGAR-5 33 34:[0 3] MORBILIDAD 35:[0]

MADRE: PO_2 36 37:[9 7] PCO_2 38 39:[2 2] D.B. 40 41 42:[- 1 2] HCO_3^- 43 44:[1 1] P^H 45 46 47:[7 3 2]

FETO: ARTERIA. PO_2 48 49:[1 7] PCO_2 50 51:[5 8] D.B. 52 53 54:[- 1 3] HCO_3^- 55 56:[1 8] P^H 57 58 59:[7 1 2]

VENA. PO_2 60 61:[3 6] PCO_2 62 63:[3 7] D.B. 64 65 66:[- 1 1] HCO_3^- 67 68:[1 5] P^H 69 70 71:[7 2 3]

TIPO DE ACIDOSIS MATERNA 72:[0] TIPO DE ACIDOSIS FETAL 73:[3] Δ-P^H MADRE-FETO 74 75:[0 9]

Δ-P^H VENA UMBILICAL-ARTERIA UMBILICAL 76 77:[1 1] PROMEDIO DE ASCENSOS ?. 78 79:[0 0]

PROMEDIO DE ASCENSOS TRANSITORIOS QUE COINCIDEN CON LA CONTRACCION 80 81:[0 0]

TAQUICARDIA 82:[0] BRADICARDIA 83:[0] VARIABILIDAD DE LA FCF 84 85:[1 2] DIP-I 86 87:[0 0]

DIP-II 88 89:[0 0] TOTAL DIPS UMBILICALES 90 91:[0 4] DIP-U 92 93:[0 0] $DIP\text{-}U_p$ 94 95:[0 0]

$DIP\text{-}U_t$ 96 97:[0 0] $DIP\text{-}U_v$ 98 99:[0 0] $DIP\text{-}U_{vp}$ 100 101:[0 0] $DIP\text{-}U_{vt}$ 102 103:[0 0] $DIP\text{-}U_2$ 104 105:[0 4]

$DIP\text{-}U_{2p}$ 106 107:[0 0] $DIP\text{-}U_{2t}$ 108 109:[0 0] DIP-V 110 111:[0 0] $DIP\text{-}V_p$ 112 113:[0 0]

$DIP\text{-}V_t$ 114 115:[0 0] $DIP\text{-}V_b$ 116 117:[0 0] NUMERO DE CONTRACCIONES 118 119 120:[0 0 0]

NUMERO DE MINUTOS REGISTRADOS 121 122 123:[0 7 2]

HOJA CODIFICADA PARA EL ESTUDIO DE LAS VARIACIONES CARDIOTOCOGRAFICAS ATRIBUIDAS A LAS CIRCULARES DEL CORDON UMBILICAL

NOMBRE Y APELLIDOS:

GRUPO ESTUDIADO 1:[0] Nº DE Nº DE D.C. 2 3 4 5 6 7:[0 4 9 9 4 5] Nº DE UCIP 8 9 10 11 12:[0 9 4 9 4]

BOLSA 13:[0] L.A. 14:[3] MECONIO 15:[1] SEMANA DE AMENORREA 16 17:[4 1] SEXO 18:[0]

VITALIDAD 19:[0] EDAD MATERNA 20 21:[2 3] PARIDAD 22 23:[0 0] PESO DEL R.N. 24 25 26 27:[3 5 4 0]

FORMA DE TERMINACION DEL PARTO 28:[4] LONGITUD DEL CORDON 29 30:[5 0] APGAR-1 31 32:[0 3]

APGAR-5 33 34:[0 9] MORBILIDAD 35:[0]

MADRE: PO_2 36 37:[9 1] PCO_2 38 39:[2 9] D.B. 40 41 42:[- 1 8] HCO_3^- 43 44:[1 6] P^H 45 46 47:[7 3 5]

FETO: ARTERIA. PO_2 48 49:[1 7] PCO_2 50 51:[5 8] D.B. 52 53 54:[1 0] HCO_3^- 55 56:[2 9] P^H 57 58 59:[7 3 0]

VENA. PO_2 60 61:[2 2] PCO_2 62 63:[5 5] D.B. 64 65 66:[- 1 1] HCO_3^- 67 68:[2 8] P^H 69 70 71:[7 3 3]

TIPO DE ACIDOSIS MATERNA 72:[0] TIPO DE ACIDOSIS FETAL 73:[0] Δ-P^H MADRE-FETO 74 75:[0 2]

Δ-P^H VENA UMBILICAL-ARTERIA UMBILICAL 76 77:[0 3] PROMEDIO DE ASCENSOS ?. 78 79:[1 5]

PROMEDIO DE ASCENSOS TRANSITORIOS QUE COINCIDEN CON LA CONTRACCION 80 81:[0 9]

TAQUICARDIA 82:[0] BRADICARDIA 83:[0] VARIABILIDAD DE LA FCF 84 85:[0 6] DIP-I 86 87:[0 0]

DIP-II 88 89:[0 0] TOTAL DIPS UMBILICALES 90 91:[0 3] DIP-U 92 93:[0 0] $DIP\text{-}U_p$ 94 95:[0 0]

$DIP\text{-}U_t$ 96 97:[0 0] $DIP\text{-}U_v$ 98 99:[0 0] $DIP\text{-}U_{vp}$ 100 101:[0 0] $DIP\text{-}U_{vt}$ 102 103:[0 0] $DIP\text{-}U_2$ 104 105:[0 1]

$DIP\text{-}U_{2p}$ 106 107:[0 1] $DIP\text{-}U_{2t}$ 108 109:[0 1] DIP-V 110 111:[0 0] $DIP\text{-}V_p$ 112 113:[0 0]

$DIP\text{-}V_t$ 114 115:[0 0] $DIP\text{-}V_b$ 116 117:[0 0] NUMERO DE CONTRACCIONES 118 119 120:[1 4 0]

NUMERO DE MINUTOS REGISTRADOS 121 122 123:[4 8 9]

HOJA CODIFICADA PARA EL ESTUDIO DE LAS VARIACIONES CARDIOTOCOGRAFICAS ATRIBUIDAS A LAS CIRCULARES DEL CORDON UMBILICAL

NOMBRE Y APELLIDOS:

GRUPO ESTUDIADO 1:[0] Nº DE Nº DE D.C. 2 3 4 5 6 7:[0 1 0 1 2 0 7] Nº DE UCIP 8 9 10 11 12:[1 7 4 0 7]

BOLSA 13:[0] L.A. 14:[2] MECONIO 15:[1] SEMANA DE AMENORREA 16 17:[4 2] SEXO 18:[0]

VITALIDAD 19:[0] EDAD MATERNA 20 21:[1 8] PARIDAD 22 23:[0 0] PESO DEL R.N. 24 25 26 27:[3 2 0 0]

FORMA DE TERMINACION DEL PARTO 28:[3] LONGITUD DEL CORDON 29 30:[6 0] APGAR-1 31 32:[0 4]

APGAR-5 33 34:[0 7] MORBILIDAD 35:[0]

MADRE: PO_2 36 37:[8 7] PCO_2 38 39:[2 7] D.B. 40 41 42:[- 1 0] HCO_3^- 43 44:[1 4] P^H 45 46 47:[7 3 2]

FETO: ARTERIA. PO_2 48 49:[2 0] PCO_2 50 51:[5 6] D.B. 52 53 54:[- 1 1] HCO_3^- 55 56:[2 0] P^H 57 58 59:[7 1 5]

VENA. PO_2 60 61:[2 6] PCO_2 62 63:[4 3] D.B. 64 65 66:[- 1 1] HCO_3^- 67 68:[1 6] P^H 69 70 71:[7 2 0]

TIPO DE ACIDOSIS MATERNA 72:[0] TIPO DE ACIDOSIS FETAL 73:[3] Δ-P^H MADRE-FETO 74 75:[1 2]

Δ-P^H VENA UMBILICAL-ARTERIA UMBILICAL 76 77:[0 5] PROMEDIO DE ASCENSOS ?. 78 79:[4 7]

PROMEDIO DE ASCENSOS TRANSITORIOS QUE COINCIDEN CON LA CONTRACCION 80 81:[0 0]

TAQUICARDIA 82:[0] BRADICARDIA 83:[2] VARIABILIDAD DE LA FCF 84 85:[1 0] DIP-I 86 87:[0 0]

DIP-II 88 89:[0 0] TOTAL DIPS UMBILICALES 90 91:[0 8] DIP-U 92 93:[0 0] $DIP\text{-}U_p$ 94 95:[0 0]

$DIP\text{-}U_t$ 96 97:[0 0] $DIP\text{-}U_v$ 98 99:[0 0] $DIP\text{-}U_{vp}$ 100 101:[0 0] $DIP\text{-}U_{vt}$ 102 103:[0 0] $DIP\text{-}U_2$ 104 105:[0 8]

$DIP\text{-}U_{2p}$ 106 107:[0 0] $DIP\text{-}U_{2t}$ 108 109:[0 0] DIP-V 110 111:[0 0] $DIP\text{-}V_p$ 112 113:[0 0]

$DIP\text{-}V_t$ 114 115:[0 0] $DIP\text{-}V_b$ 116 117:[0 0] NUMERO DE CONTRACCIONES 118 119 120:[0 1 4]

NUMERO DE MINUTOS REGISTRADOS 121 122 123:[2 0 7]

HOJA CODIFICADA PARA EL ESTUDIO DE LAS VARIACIONES CARDIOTOCOGRAFICAS ATRIBUIDAS A LAS CIRCULARES DEL CORDON UMBILICAL

NOMBRE Y APELLIDOS:

GRUPO ESTUDIADO 1:[0] Nº DE Nº DE D.C. 2 3 4 5 6 7:[1 0 1 9 5 7] Nº DE UCIP 8 9 10 11 12:[1 7 6 6 6]

BOLSA 13:[1] L.A. 14:[0] MECONIO 15:[1] SEMANA DE AMENORREA 16 17:[3 8] SEXO 18:[0]

VITALIDAD 19:[0] EDAD MATERNA 20 21:[2 8] PARIDAD 22 23:[0 0] PESO DEL R.N. 24 25 26 27:[3 0 1 0]

FORMA DE TERMINACION DEL PARTO 28:[2] LONGITUD DEL CORDON 29 30:[5 5] APGAR-1 31 32:[0 4]

APGAR-5 33 34:[0 8] MORBILIDAD 35:[0]

MADRE: PO_2 36 37:[1 8] PCO_2 38 39:[4 6] D.B. 40 41 42:[- 2] HCO_3^- 43 44:[2 5] P^H 45 46 47:[7 3 3]

FETO: ARTERIA. PO_2 48 49:[1 7] PCO_2 50 51:[5 7] D.B. 52 53 54:[- 2] HCO_3^- 55 56:[2 6] P^H 57 58 59:[7 2 6]

VENA. PO_2 60 61:[9 2] PCO_2 62 63:[2 8] D.B. 64 65 66:[- 4] HCO_3^- 67 68:[1 9] P^H 69 70 71:[7 3 2]

TIPO DE ACIDOSIS MATERNA 72:[0] TIPO DE ACIDOSIS FETAL 73:[0] Δ-P^H MADRE-FETO 74 75:[0 1]

Δ-P^H VENA UMBILICAL-ARTERIA UMBILICAL 76 77:[0 6] PROMEDIO DE ASCENSOS ?. 78 79:[0 8]

PROMEDIO DE ASCENSOS TRANSITORIOS QUE COINCIDEN CON LA CONTRACCION 80 81:[0 6]

TAQUICARDIA 82:[0] BRADICARDIA 83:[0] VARIABILIDAD DE LA FCF 84 85:[0 7] DIP-I 86 87:[0 0]

DIP-II 88 89:[0 0] TOTAL DIPS UMBILICALES 90 91:[0 0] DIP-U 92 93:[0 0] $DIP\text{-}U_p$ 94 95:[0 0]

$DIP\text{-}U_t$ 96 97:[0 0] $DIP\text{-}U_v$ 98 99:[0 0] $DIP\text{-}U_{vp}$ 100 101:[0 0] $DIP\text{-}U_{vt}$ 102 103:[0 0] $DIP\text{-}U_2$ 104 105:[0 0]

$DIP\text{-}U_{2p}$ 106 107:[0 0] $DIP\text{-}U_{2t}$ 108 109:[0 0] DIP-V 110 111:[0 2] $DIP\text{-}V_p$ 112 113:[0 4]

$DIP\text{-}V_t$ 114 115:[0 0] $DIP\text{-}V_b$ 116 117:[0 0] NUMERO DE CONTRACCIONES 118 119 120:[0 2 2]

NUMERO DE MINUTOS REGISTRADOS 121 122 123:[1 4 1]

HOJA CODIFICADA PARA EL ESTUDIO DE LAS VARIACIONES CARDIOTOCOGRAFICAS ATRIBUIDAS A LAS CIRCULARES DEL CORDON UMBILICAL

NOMBRE Y APELLIDOS:

GRUPO ESTUDIADO [1] [0] Nº DE Hª DE D.C. [2 3 4 5 6 7] [1 0 0 8 6 5] Nº DE UCIP [8 9 10 11 12] [1 7 3 5 1]

BOLSA [13] [1] L.A. [14] [2] MECONIO [15] [2] SEMANA DE AMENORREA [16 17] [4 2] SEXO [18] [1]

VITALIDAD [19] [0] EDAD MATERNA [20 21] [2 0] PARIDAD [22 23] [0 1] PESO DEL R.N. [24 25 26 27] [3 2 1 4 0]

FORMA DE TERMINACION DEL PARTO [28] [0] LONGITUD DEL CORDON [29 30] [5 6] APGAR-1 [31 32] [0 4]

APGAR-5 [33 34] [0 8] MORBILIDAD [35] [0]

MADRE: PO_2 [36 37] [9 6] PCO_2 [38 39] [3 1] D.B. [40 41 42] [- 5] HCO_3^- [43 44] [1 8] P^H [45 46 47] [7 3 9]

FETO: ARTERIA. PO_2 [48 49] [2 2] PCO_2 [50 51] [5 7] D.B. [52 53 54] [- 9] HCO_3^- [55 56] [2 5] P^H [57 58 59] [7 2 4]

VENA. PO_2 [60 61] [2 9] PCO_2 [62 63] [4 1] D.B. [64 65 66] [- 5] HCO_3^- [67 68] [2 1] P^H [69 70 71] [7 3 3]

TIPO DE ACIDOSIS MATERNA [72] [0] TIPO DE ACIDOSIS FETAL [73] [0] Δ-P^H MADRE-FETO [74 75] [0 6]

Δ-P^H VENA UMBILICAL-ARTERIA UMBILICAL [76 77] [0 9] PROMEDIO DE ASCENSOS ?. [78 79] [0 8]

PROMEDIO DE ASCENSOS TRANSITORIOS QUE COINCIDEN CON LA CONTRACCION [80 81] [0 0]

TAQUICARDIA [82] [0] BRADICARDIA [83] [0] VARIABILIDAD DE LA FCF [84 85] [0 5] DIP-I [86 87] [3 0]

DIP-II [88 89] [0 0] TOTAL DIPS UMBILICALES [90 91] [0 0] DIP-U [92 93] [0 0] $DIP\text{-}U_p$ [94 95] [0 0]

$DIP\text{-}U_t$ [96 97] [0 0] $DIP\text{-}U_v$ [98 99] [0 0] $DIP\text{-}U_{rp}$ [100 101] [0 0] $DIP\text{-}U_{rt}$ [102 103] [0 0] $DIP\text{-}U_\lambda$ [104 105] [0 0]

$DIP\text{-}U_{\lambda p}$ [106 107] [0 0] $DIP\text{-}U_{\lambda t}$ [108 109] [0 0] DIP-V [110 111] [0 0] $DIP\text{-}V_p$ [112 113] [0 0]

$DIP\text{-}V_t$ [114 115] [0 0] $DIP\text{-}V_b$ [116 117] [0 0] NUMERO DE CONTRACCIONES [118 119 120] [0 5 1]

NUMERO DE MINUTOS REGISTRADOS [121 122 123] [1 3 8]

HOJA CODIFICADA PARA EL ESTUDIO DE LAS VARIACIONES CARDIOTOCOGRAFICAS ATRIBUIDAS A LAS CIRCULARES DEL CORDON UMBILICAL

NOMBRE Y APELLIDOS:

GRUPO ESTUDIADO [1] [0] Nº DE Hª DE D.C. [2 3 4 5 6 7] [0 9 4 1 3 3] Nº DE UCIP [8 9 10 11 12] [1 5 6 2 3]

BOLSA [13] [0] L.A. [14] [2] MECONIO [15] [2] SEMANA DE AMENORREA [16 17] [3 6] SEXO [18] [1]

VITALIDAD [19] [0] EDAD MATERNA [20 21] [2 2] PARIDAD [22 23] [0 0] PESO DEL R.N. [24 25 26 27] [3 0 2 0]

FORMA DE TERMINACION DEL PARTO [28] [0] LONGITUD DEL CORDON [29 30] [5 5] APGAR-1 [31 32] [0 4]

APGAR-5 [33 34] [0 6] MORBILIDAD [35] [3]

MADRE: PO_2 [36 37] [7 2] PCO_2 [38 39] [2 7] D.B. [40 41 42] [- 7] HCO_3^- [43 44] [1 6] P^H [45 46 47] [7 3 9]

FETO: ARTERIA. PO_2 [48 49] [1 4] PCO_2 [50 51] [4 5] D.B. [52 53 54] [- 8] HCO_3^- [55 56] [1 9] P^H [57 58 59] [7 2 4]

VENA. PO_2 [60 61] [2 3] PCO_2 [62 63] [3 9] D.B. [64 65 66] [- 7] HCO_3^- [67 68] [1 9] P^H [69 70 71] [7 2 9]

TIPO DE ACIDOSIS MATERNA [72] [0] TIPO DE ACIDOSIS FETAL [73] [0] Δ-P^H MADRE-FETO [74 75] [1 0]

Δ-P^H VENA UMBILICAL-ARTERIA UMBILICAL [76 77] [0 5] PROMEDIO DE ASCENSOS ?. [78 79] [6 2]

PROMEDIO DE ASCENSOS TRANSITORIOS QUE COINCIDEN CON LA CONTRACCION [80 81] [0 0]

TAQUICARDIA [82] [0] BRADICARDIA [83] [0] VARIABILIDAD DE LA FCF [84 85] [0 7] DIP-I [86 87] [0 0]

DIP-II [88 89] [0 0] TOTAL DIPS UMBILICALES [90 91] [0 4] DIP-U [92 93] [0 0] $DIP\text{-}U_p$ [94 95] [0 0]

$DIP\text{-}U_t$ [96 97] [0 0] $DIP\text{-}U_v$ [98 99] [0 0] $DIP\text{-}U_{rp}$ [100 101] [0 0] $DIP\text{-}U_{rt}$ [102 103] [0 0] $DIP\text{-}U_\lambda$ [104 105] [0 4]

$DIP\text{-}U_{\lambda p}$ [106 107] [0 0] $DIP\text{-}U_{\lambda t}$ [108 109] [0 0] DIP-V [110 111] [0 0] $DIP\text{-}V_p$ [112 113] [0 0]

$DIP\text{-}V_t$ [114 115] [0 0] $DIP\text{-}V_b$ [116 117] [0 0] NUMERO DE CONTRACCIONES [118 119 120] [0 0 5]

NUMERO DE MINUTOS REGISTRADOS [121 122 123] [0 8 1]

HOJA CODIFICADA PARA EL ESTUDIO DE LAS VARIACIONES CARDIOTOCOGRAFICAS ATRIBUIDAS A LAS CIRCULARES DEL CORDON UMBILICAL

NOMBRE Y APELLIDOS:

GRUPO ESTUDIADO [1] [0] Nº DE Hª DE D.C. [2 3 4 5 6 7] [0 2 8 0 6 5] Nº DE UCIP [8 9 10 11 12] [1 6 7 1 1]

BOLSA [13] [1] L.A. [14] [2] MECONIO [15] [2] SEMANA DE AMENORREA [16 17] [4 4] SEXO [18] [0]

VITALIDAD [19] [0] EDAD MATERNA [20 21] [2 6] PARIDAD [22 23] [0 0] PESO DEL R.N. [24 25 26 27] [3 1 7 0]

FORMA DE TERMINACION DEL PARTO [28] [4] LONGITUD DEL CORDON [29 30] [4 5] APGAR-1 [31 32] [0 4]

APGAR-5 [33 34] [0 9] MORBILIDAD [35] [3]

MADRE: PO_2 [36 37] [9 9] PCO_2 [38 39] [2 5] D.B. [40 41 42] [- - 5] HCO_3^- [43 44] [1 7] P^H [45 46 47] [7 4 2]

FETO: ARTERIA. PO_2 [48 49] [2 6] PCO_2 [50 51] [3 8] D.B. [52 53 54] [- - 5] HCO_3^- [55 56] [2 1] P^H [57 58 59] [7 3 4]

VENA. PO_2 [60 61] [4 3] PCO_2 [62 63] [3 0] D.B. [64 65 66] [- - 7] HCO_3^- [67 68] [1 7] P^H [69 70 71] [7 3 7]

TIPO DE ACIDOSIS MATERNA [72] [0] TIPO DE ACIDOSIS FETAL [73] [0] Δ-P^H MADRE-FETO [74 75] [0 5]

Δ-P^H VENA UMBILICAL-ARTERIA UMBILICAL [76 77] [0 3] PROMEDIO DE ASCENSOS ?. [78 79] [0 3]

PROMEDIO DE ASCENSOS TRANSITORIOS QUE COINCIDEN CON LA CONTRACCION [80 81] [0 0]

TAQUICARDIA [82] [0] BRADICARDIA [83] [0] VARIABILIDAD DE LA FCF [84 85] [0 6] DIP-I [86 87] [0 0]

DIP-II [88 89] [0 0] TOTAL DIPS UMBILICALES [90 91] [0 1] DIP-U [92 93] [0 0] $DIP\text{-}U_p$ [94 95] [0 0]

$DIP\text{-}U_t$ [96 97] [0 0] $DIP\text{-}U_v$ [98 99] [0 0] $DIP\text{-}U_{rp}$ [100 101] [0 0] $DIP\text{-}U_{rt}$ [102 103] [0 0] $DIP\text{-}U_\lambda$ [104 105] [0 0]

$DIP\text{-}U_{\lambda p}$ [106 107] [0 1] $DIP\text{-}U_{\lambda t}$ [108 109] [0 0] DIP-V [110 111] [0 0] $DIP\text{-}V_p$ [112 113] [0 0]

$DIP\text{-}V_t$ [114 115] [0 0] $DIP\text{-}V_b$ [116 117] [0 0] NUMERO DE CONTRACCIONES [118 119 120] [1 0 8]

NUMERO DE MINUTOS REGISTRADOS [121 122 123] [3 8 7]

HOJA CODIFICADA PARA EL ESTUDIO DE LAS VARIACIONES CARDIOTOCOGRAFICAS ATRIBUIDAS A LAS CIRCULARES DEL CORDON UMBILICAL

NOMBRE Y APELLIDOS:

GRUPO ESTUDIADO [1] [0] Nº DE Hª DE D.C. [2 3 4 5 6 7] [0 9 2 9 0 3] Nº DE UCIP [8 9 10 11 12] [1 5 3 5 4]

BOLSA [13] [0] L.A. [14] [0] MECONIO [15] [0] SEMANA DE AMENORREA [16 17] [4 0] SEXO [18] [0]

VITALIDAD [19] [0] EDAD MATERNA [20 21] [2 3] PARIDAD [22 23] [0 0] PESO DEL R.N. [24 25 26 27] [3 7 3 0]

FORMA DE TERMINACION DEL PARTO [28] [2] LONGITUD DEL CORDON [29 30] [6 0] APGAR-1 [31 32] [0 6]

APGAR-5 [33 34] [0 9] MORBILIDAD [35] [0]

MADRE: PO_2 [36 37] [- -] PCO_2 [38 39] [- -] D.B. [40 41 42] [- - -] HCO_3^- [43 44] [- -] P^H [45 46 47] [- - - -]

FETO: ARTERIA. PO_2 [48 49] [- -] PCO_2 [50 51] [- -] D.B. [52 53 54] [- - - -] HCO_3^- [55 56] [- -] P^H [57 58 59] [- - - -]

VENA. PO_2 [60 61] [- -] PCO_2 [62 63] [- -] D.B. [64 65 66] [- - - -] HCO_3^- [67 68] [- -] P^H [69 70 71] [- - - -]

TIPO DE ACIDOSIS MATERNA [72] [-] TIPO DE ACIDOSIS FETAL [73] [-] Δ-P^H MADRE-FETO [74 75] [- -]

Δ-P^H VENA UMBILICAL-ARTERIA UMBILICAL [76 77] [- -] PROMEDIO DE ASCENSOS ?. [78 79] [1 5]

PROMEDIO DE ASCENSOS TRANSITORIOS QUE COINCIDEN CON LA CONTRACCION [80 81] [0 9]

TAQUICARDIA [82] [0] BRADICARDIA [83] [0] VARIABILIDAD DE LA FCF [84 85] [0 6] DIP-I [86 87] [0 0]

DIP-II [88 89] [0 0] TOTAL DIPS UMBILICALES [90 91] [0 1] DIP-U [92 93] [0 0] $DIP\text{-}U_p$ [94 95] [0 1]

$DIP\text{-}U_t$ [96 97] [0 0] $DIP\text{-}U_v$ [98 99] [0 0] $DIP\text{-}U_{rp}$ [100 101] [0 0] $DIP\text{-}U_{rt}$ [102 103] [0 0] $DIP\text{-}U_\lambda$ [104 105] [0 0]

$DIP\text{-}U_{\lambda p}$ [106 107] [0 0] $DIP\text{-}U_{\lambda t}$ [108 109] [0 0] DIP-V [110 111] [0 0] $DIP\text{-}V_p$ [112 113] [0 0]

$DIP\text{-}V_t$ [114 115] [0 0] $DIP\text{-}V_b$ [116 117] [0 0] NUMERO DE CONTRACCIONES [118 119 120] [1 3 2]

NUMERO DE MINUTOS REGISTRADOS [121 122 123] [5 2 8]

HOJA CODIFICADA PARA EL ESTUDIO DE LAS VARIACIONES CARDIOTOCOGRAFICAS ATRIBUIDAS A LAS CIRCULARES DEL CORDON UMBILICAL

NOMBRE Y APELLIDOS:

GRUPO ESTUDIADO [1]:0 | Nº DE Nº DE D.C. [2-7]:0944457 | Nº DE UCIP [8-12]:15621

BOLSA [13]:0 | L.A. [14]:0 | MECONIO [15]:2 | SEMANA DE AMENORREA [16-17]:42 | SEXO [18]:0

VITALIDAD [19]:0 | EDAD MATERNA [20-21]:26 | PARIDAD [22-23]:00 | PESO DEL R.N. [24-27]:4050

FORMA DE TERMINACION DEL PARTO [28]:3 | LONGITUD DEL CORDON [29-30]:62 | APGAR-1 [31-32]:06

APGAR-5 [33-34]:10 | MORBILIDAD [35]:0

MADRE: PO_2 [36-37]:72 | PCO_2 [38-39]:27 | D.B. [40-42]:-08 | HCO_3^- [43-44]:16 | P^H [45-47]:738

FETO: ARTERIA. PO_2 [48-49]:16 | PCO_2 [50-51]:57 | D.B. [52-54]:-11 | HCO_3^- [55-56]:18 | P^H [57-59]:713

VENA. PO_2 [60-61]:22 | PCO_2 [62-63]:44 | D.B. [64-66]:-08 | HCO_3^- [67-68]:19 | P^H [69-71]:727

TIPO DE ACIDOSIS MATERNA [72]:0 | TIPO DE ACIDOSIS FETAL [73]:3 | Δ-P^H MADRE-FETO [74-75]:11

Δ-P^H VENA UMBILICAL-ARTERIA UMBILICAL [76-77]:11 | PROMEDIO DE ASCENSOS ?. [78-79]:50

PROMEDIO DE ASCENSOS TRANSITORIOS QUE COINCIDEN CON LA CONTRACCION [80-81]:19

TAQUICARDIA [82]:0 | BRADICARDIA [83]:0 | VARIABILIDAD DE LA FCF [84-85]:07 | DIP-I [86-87]:00

DIP-II [88-89]:00 | TOTAL DIPS UMBILICALES [90-91]:14 | DIP-U [92-93]:00 | $DIP\text{-}U_p$ [94-95]:00

$DIP\text{-}U_t$ [96-97]:00 | $DIP\text{-}U_v$ [98-99]:00 | $DIP\text{-}U_{vp}$ [100-101]:00 | $DIP\text{-}U_{vt}$ [102-103]:00 | $DIP\text{-}U_\lambda$ [104-105]:14

$DIP\text{-}U_{\lambda p}$ [106-107]:00 | $DIP\text{-}U_{\lambda t}$ [108-109]:00 | DIP-V [110-111]:00 | $DIP\text{-}V_p$ [112-113]:00

$DIP\text{-}V_t$ [114-115]:00 | $DIP\text{-}V_b$ [116-117]:00 | NUMERO DE CONTRACCIONES [118-120]:013

NUMERO DE MINUTOS REGISTRADOS [121-123]:066

HOJA CODIFICADA PARA EL ESTUDIO DE LAS VARIACIONES CARDIOTOCOGRAFICAS ATRIBUIDAS A LAS CIRCULARES DEL CORDON UMBILICAL

NOMBRE Y APELLIDOS:

GRUPO ESTUDIADO [1]:0 | Nº DE Nº DE D.C. [2-7]:0827807 | Nº DE UCIP [8-12]:13454

BOLSA [13]:0 | L.A. [14]:2 | MECONIO [15]:1 | SEMANA DE AMENORREA [16-17]:39 | SEXO [18]:0

VITALIDAD [19]:0 | EDAD MATERNA [20-21]:28 | PARIDAD [22-23]:00 | PESO DEL R.N. [24-27]:2830

FORMA DE TERMINACION DEL PARTO [28]:4 | LONGITUD DEL CORDON [29-30]:60 | APGAR-1 [31-32]:06

APGAR-5 [33-34]:09 | MORBILIDAD [35]:0

MADRE: PO_2 [36-37]:99 | PCO_2 [38-39]:32 | D.B. [40-42]:-09 | HCO_3^- [43-44]:16 | P^H [45-47]:733

FETO: ARTERIA. PO_2 [48-49]:23 | PCO_2 [50-51]:44 | D.B. [52-54]:-112 | HCO_3^- [55-56]:16 | P^H [57-59]:721

VENA. PO_2 [60-61]:30 | PCO_2 [62-63]:40 | D.B. [64-66]:-06 | HCO_3^- [67-68]:21 | P^H [69-71]:730

TIPO DE ACIDOSIS MATERNA [72]:0 | TIPO DE ACIDOSIS FETAL [73]:0 | Δ-P^H MADRE-FETO [74-75]:03

Δ-P^H VENA UMBILICAL-ARTERIA UMBILICAL [76-77]:09 | PROMEDIO DE ASCENSOS ?. [78-79]:62

PROMEDIO DE ASCENSOS TRANSITORIOS QUE COINCIDEN CON LA CONTRACCION [80-81]:00

TAQUICARDIA [82]:0 | BRADICARDIA [83]:0 | VARIABILIDAD DE LA FCF [84-85]:06 | DIP-I [86-87]:00

DIP-II [88-89]:00 | TOTAL DIPS UMBILICALES [90-91]:03 | DIP-U [92-93]:00 | $DIP\text{-}U_p$ [94-95]:00

$DIP\text{-}U_t$ [96-97]:00 | $DIP\text{-}U_v$ [98-99]:00 | $DIP\text{-}U_{vp}$ [100-101]:00 | $DIP\text{-}U_{vt}$ [102-103]:00 | $DIP\text{-}U_\lambda$ [104-105]:03

$DIP\text{-}U_{\lambda p}$ [106-107]:00 | $DIP\text{-}U_{\lambda t}$ [108-109]:00 | DIP-V [110-111]:00 | $DIP\text{-}V_p$ [112-113]:00

$DIP\text{-}V_t$ [114-115]:00 | $DIP\text{-}V_b$ [116-117]:00 | NUMERO DE CONTRACCIONES [118-120]:010

NUMERO DE MINUTOS REGISTRADOS [121-123]:111

HOJA CODIFICADA PARA EL ESTUDIO DE LAS VARIACIONES CARDIOTOCOGRAFICAS ATRIBUIDAS A LAS CIRCULARES DEL CORDON UMBILICAL

NOMBRE Y APELLIDOS:

GRUPO ESTUDIADO [1]:0 | Nº DE Nº DE D.C. [2-7]:0589814 | Nº DE UCIP [8-12]:11461

BOLSA [13]:1 | L.A. [14]:2 | MECONIO [15]:1 | SEMANA DE AMENORREA [16-17]:40 | SEXO [18]:1

VITALIDAD [19]:0 | EDAD MATERNA [20-21]:18 | PARIDAD [22-23]:00 | PESO DEL R.N. [24-27]:3510

FORMA DE TERMINACION DEL PARTO [28]:2 | LONGITUD DEL CORDON [29-30]:55 | APGAR-1 [31-32]:06

APGAR-5 [33-34]:08 | MORBILIDAD [35]:0

MADRE: PO_2 [36-37]:65 | PCO_2 [38-39]:33 | D.B. [40-41-42]:-08 | HCO_3^- [43-44]:16 | P^H [45-46-47]:732

FETO: ARTERIA. PO_2 [48-49]:26 | PCO_2 [50-51]:68 | D.B. [52-53-54]:-04 | HCO_3^- [55-56]:26 | P^H [57-58-59]:718

VENA. PO_2 [60-61]:49 | PCO_2 [62-63]:44 | D.B. [64-65-66]:--7 | HCO_3^- [67-68]:20 | P^H [69-70-71]:726

TIPO DE ACIDOSIS MATERNA [72]:0 | TIPO DE ACIDOSIS FETAL [73]:1 | Δ-P^H MADRE-FETO [74-75]:06

Δ-P^H VENA UMBILICAL-ARTERIA UMBILICAL [76-77]:08 | PROMEDIO DE ASCENSOS ?. [78-79]:47

PROMEDIO DE ASCENSOS TRANSITORIOS QUE COINCIDEN CON LA CONTRACCION [80-81]:21

TAQUICARDIA [82]:0 | BRADICARDIA [83]:0 | VARIABILIDAD DE LA FCF [84-85]:07 | DIP-I [86-87]:00

DIP-II [88-89]:00 | TOTAL DIPS UMBILICALES [90-91]:06 | DIP-U [92-93]:00 | $DIP\text{-}U_p$ [94-95]:00

$DIP\text{-}U_t$ [96-97]:00 | $DIP\text{-}U_v$ [98-99]:00 | $DIP\text{-}U_{vp}$ [100-101]:00 | $DIP\text{-}U_{vt}$ [102-103]:00 | $DIP\text{-}U_\lambda$ [104-105]:01

$DIP\text{-}U_{\lambda p}$ [106-107]:03 | $DIP\text{-}U_{\lambda t}$ [108-109]:01 | DIP-V [110-111]:00 | $DIP\text{-}V_p$ [112-113]:00

$DIP\text{-}V_c$ [114-115]:00 | $DIP\text{-}V_b$ [116-117]:00 | NUMERO DE CONTRACCIONES [118-119-120]:080

NUMERO DE MINUTOS REGISTRADOS [121-122-123]:210

HOJA CODIFICADA PARA EL ESTUDIO DE LAS VARIACIONES CARDIOTOCOGRAFICAS ATRIBUIDAS A LAS CIRCULARES DEL CORDON UMBILICAL

NOMBRE Y APELLIDOS:

GRUPO ESTUDIADO [1]:0 | Nº DE Nº DE D.C. [2-7]:0837385 | Nº DE UCIP [8-12]:13139

BOLSA [13]:0 | L.A. [14]:0 | MECONIO [15]:0 | SEMANA DE AMENORREA [16-17]:40 | SEXO [18]:1

VITALIDAD [19]:0 | EDAD MATERNA [20-21]:24 | PARIDAD [22-23]:01 | PESO DEL R.N. [24-25-26-27]:3050

FORMA DE TERMINACION DEL PARTO [28]:2 | LONGITUD DEL CORDON [29-30]:60 | APGAR-1 [31-32]:06

APGAR-5 [33-34]:10 | MORBILIDAD [35]:0

MADRE: PO_2 [36-37]:99 | PCO_2 [38-39]:27 | D.B. [40-41-42]:-05 | HCO_3^- [43-44]:17 | P^H [45-46-47]:742

FETO: ARTERIA. PO_2 [48-49]:16 | PCO_2 [50-51]:70 | D.B. [52-53-54]:-02 | HCO_3^- [55-56]:27 | P^H [57-58-59]:720

VENA. PO_2 [60-61]:34 | PCO_2 [62-63]:43 | D.B. [64-65-66]:-04 | HCO_3^- [67-68]:22 | P^H [69-70-71]:729

TIPO DE ACIDOSIS MATERNA [72]:0 | TIPO DE ACIDOSIS FETAL [73]:1 | Δ-P^H MADRE-FETO [74-75]:13

Δ-P^H VENA UMBILICAL-ARTERIA UMBILICAL [76-77]:09 | PROMEDIO DE ASCENSOS ?. [78-79]:48

PROMEDIO DE ASCENSOS TRANSITORIOS QUE COINCIDEN CON LA CONTRACCION [80-81]:00

TAQUICARDIA [82]:0 | BRADICARDIA [83]:0 | VARIABILIDAD DE LA FCF [84-85]:08 | DIP-I [86-87]:00

DIP-II [88-89]:13 | TOTAL DIPS UMBILICALES [90-91]:03 | DIP-U [92-93]:00 | $DIP\text{-}U_p$ [94-95]:00

$DIP\text{-}U_t$ [96-97]:00 | $DIP\text{-}U_v$ [98-99]:00 | $DIP\text{-}U_{vp}$ [100-101]:00 | $DIP\text{-}U_{vt}$ [102-103]:00 | $DIP\text{-}U_\lambda$ [104-105]:03

$DIP\text{-}U_{\lambda p}$ [106-107]:00 | $DIP\text{-}U_{\lambda t}$ [108-109]:00 | DIP-V [110-111]:00 | $DIP\text{-}V_p$ [112-113]:00

$DIP\text{-}V_t$ [114-115]:00 | $DIP\text{-}V_b$ [116-117]:00 | NUMERO DE CONTRACCIONES [118-119-120]:012

NUMERO DE MINUTOS REGISTRADOS [121-122-123]:081

HOJA CODIFICADA PARA EL ESTUDIO DE LAS VARIACIONES CARDIOTOCOGRAFICAS ATRIBUIDAS A LAS CIRCULARES DEL CORDON UMBILICAL

NOMBRE Y APELLIDOS:

GRUPO ESTUDIADO [1]:0 | Nº DE Nº DE D.C. [2-7]:0500096 | Nº DE UCIP [8-12]:08728

BOLSA [13]:1 | L.A. [14]:2 | MECONIO [15]:1 | SEMANA DE AMENORREA [16-17]:39 | SEXO [18]:0

VITALIDAD [19]:0 | EDAD MATERNA [20-21]:37 | PARIDAD [22-23]:02 | PESO DEL R.N. [24-25-26-27]:3660

FORMA DE TERMINACION DEL PARTO [28]:0 | LONGITUD DEL CORDON [29-30]:70 | APGAR-1 [31-32]:06

APGAR-5 [33-34]:09 | MORBILIDAD [35]:0

MADRE: PO_2 [36-37]:96 | PCO_2 [38-39]:23 | D.B. [40-41-42]:-112 | HCO_3^- [43-44]:11 | P^H [45-46-47]:732

FETO: ARTERIA. PO_2 [48-49]:11 | PCO_2 [50-51]:58 | D.B. [52-53-54]:-08 | HCO_3^- [55-56]:22 | P^H [57-58-59]:720

VENA. PO_2 [60-61]:17 | PCO_2 [62-63]:51 | D.B. [64-65-66]:-08 | HCO_3^- [67-68]:20 | P^H [69-70-71]:724

TIPO DE ACIDOSIS MATERNA [72]:0 | TIPO DE ACIDOSIS FETAL [73]:3 | Δ-P^H MADRE-FETO [74-75]:08

Δ-P^H VENA UMBILICAL-ARTERIA UMBILICAL [76-77]:04 | PROMEDIO DE ASCENSOS ?. [78-79]:19

PROMEDIO DE ASCENSOS TRANSITORIOS QUE COINCIDEN CON LA CONTRACCION [80-81]:06

TAQUICARDIA [82]:0 | BRADICARDIA [83]:0 | VARIABILIDAD DE LA FCF [84-85]:07 | DIP-I [86-87]:00

DIP-II [88-89]:00 | TOTAL DIPS UMBILICALES [90-91]:13 | DIP-U [92-93]:00 | $DIP\text{-}U_p$ [94-95]:00

$DIP\text{-}U_t$ [96-97]:00 | $DIP\text{-}U_v$ [98-99]:00 | $DIP\text{-}U_{vp}$ [100-101]:00 | $DIP\text{-}U_{vt}$ [102-103]:00 | $DIP\text{-}U_\lambda$ [104-105]:06

$DIP\text{-}U_{\lambda p}$ [106-107]:07 | $DIP\text{-}U_{\lambda t}$ [108-109]:00 | DIP-V [110-111]:03 | $DIP\text{-}V_p$ [112-113]:00

$DIP\text{-}V_t$ [114-115]:00 | $DIP\text{-}V_b$ [116-117]:00 | NUMERO DE CONTRACCIONES [118-119-120]:033

NUMERO DE MINUTOS REGISTRADOS [121-122-123]:095

HOJA CODIFICADA PARA EL ESTUDIO DE LAS VARIACIONES CARDIOTOCOGRAFICAS ATRIBUIDAS A LAS CIRCULARES DEL CORDON UMBILICAL

NOMBRE Y APELLIDOS:

GRUPO ESTUDIADO [1]:0 | Nº DE Nº DE D.C. [2-7]:0656776 | Nº DE UCIP [8-12]:10043

BOLSA [13]:1 | L.A. [14]:2 | MECONIO [15]:2 | SEMANA DE AMENORREA [16-17]:38 | SEXO [18]:0

VITALIDAD [19]:0 | EDAD MATERNA [20-21]:37 | PARIDAD [22-23]:02 | PESO DEL R.N. [24-25-26-27]:4420

FORMA DE TERMINACION DEL PARTO [28]:0 | LONGITUD DEL CORDON [29-30]:55 | APGAR-1 [31-32]:07

APGAR-5 [33-34]:10 | MORBILIDAD [35]:3

MADRE: PO_2 [36-37]:91 | PCO_2 [38-39]:21 | D.B. [40-41-42]:-112 | HCO_3^- [43-44]:10 | P^H [45-46-47]:733

FETO: ARTERIA. PO_2 [48-49]:06 | PCO_2 [50-51]:73 | D.B. [52-53-54]:-09 | HCO_3^- [55-56]:22 | P^H [57-58-59]:710

VENA. PO_2 [60-61]:12 | PCO_2 [62-63]:52 | D.B. [64-65-66]:-08 | HCO_3^- [67-68]:21 | P^H [69-70-71]:722

TIPO DE ACIDOSIS MATERNA [72]:0 | TIPO DE ACIDOSIS FETAL [73]:3 | Δ-P^H MADRE-FETO [74-75]:11

Δ-P^H VENA UMBILICAL-ARTERIA UMBILICAL [76-77]:12 | PROMEDIO DE ASCENSOS ?. [78-79]:36

PROMEDIO DE ASCENSOS TRANSITORIOS QUE COINCIDEN CON LA CONTRACCION [80-81]:09

TAQUICARDIA [82]:0 | BRADICARDIA [83]:0 | VARIABILIDAD DE LA FCF [84-85]:08 | DIP-I [86-87]:00

DIP-II [88-89]:05 | TOTAL DIPS UMBILICALES [90-91]:09 | DIP-U [92-93]:00 | $DIP\text{-}U_p$ [94-95]:00

$DIP\text{-}U_t$ [96-97]:00 | $DIP\text{-}U_v$ [98-99]:00 | $DIP\text{-}U_{vp}$ [100-101]:00 | $DIP\text{-}U_{vt}$ [102-103]:00 | $DIP\text{-}U_\lambda$ [104-105]:04

$DIP\text{-}U_{\lambda p}$ [106-107]:04 | $DIP\text{-}U_{\lambda t}$ [108-109]:00 | DIP-V [110-111]:00 | $DIP\text{-}V_p$ [112-113]:00

$DIP\text{-}V_t$ [114-115]:00 | $DIP\text{-}V_b$ [116-117]:00 | NUMERO DE CONTRACCIONES [118-119-120]:016

NUMERO DE MINUTOS REGISTRADOS [121-122-123]:066

HOJA CODIFICADA PARA EL ESTUDIO DE LAS VARIACIONES CARDIOTOCOGRAFICAS ATRIBUIDAS A LAS CIRCULARES DEL CORDON UMBILICAL

NOMBRE Y APELLIDOS:

GRUPO ESTUDIADO [1]:0 | Nº DE Nº DE D.C. [2-7]:0844110 | Nº DE UCIP [8-12]:13G813

BOLSA [13]:1 | L.A. [14]:2 | MECONIO [15]:2 | SEMANA DE AMENORREA [16-17]:42 | SEXO [18]:1

VITALIDAD [19]:0 | EDAD MATERNA [20-21]:24 | PARIDAD [22-23]:00 | PESO DEL R.N. [24-25-26-27]:3640

FORMA DE TERMINACION DEL PARTO [28]:2 | LONGITUD DEL CORDON [29-30]:60 | APGAR-1 [31-32]:07

APGAR-5 [33-34]:08 | MORBILIDAD [35]:0

MADRE: PO_2 [36-37]:97 | PCO_2 [38-39]:25 | D.B. [40-41-42]:-110 | HCO_3^- [43-44]:12 | P^H [45-46-47]:736

FETO: ARTERIA. PO_2 [48-49]:26 | PCO_2 [50-51]:56 | D.B. [52-53-54]:-08 | HCO_3^- [55-56]:20 | P^H [57-58-59]:720

VENA. PO_2 [60-61]:46 | PCO_2 [62-63]:32 | D.B. [64-65-66]:-08 | HCO_3^- [67-68]:16 | P^H [69-70-71]:734

TIPO DE ACIDOSIS MATERNA [72]:0 | TIPO DE ACIDOSIS FETAL [73]:3 | Δ-P^H MADRE-FETO [74-75]:02

Δ-P^H VENA UMBILICAL-ARTERIA UMBILICAL [76-77]:14 | PROMEDIO DE ASCENSOS ?. [78-79]:45

PROMEDIO DE ASCENSOS TRANSITORIOS QUE COINCIDEN CON LA CONTRACCION [80-81]:09

TAQUICARDIA [82]:0 | BRADICARDIA [83]:0 | VARIABILIDAD DE LA FCF [84-85]:10 | DIP-I [86-87]:00

DIP-II [88-89]:00 | TOTAL DIPS UMBILICALES [90-91]:09 | DIP-U [92-93]:00 | $DIP\text{-}U_p$ [94-95]:00

$DIP\text{-}U_t$ [96-97]:00 | $DIP\text{-}U_v$ [98-99]:00 | $DIP\text{-}U_{vp}$ [100-101]:00 | $DIP\text{-}U_{vt}$ [102-103]:00 | $DIP\text{-}U_\lambda$ [104-105]:09

$DIP\text{-}U_{\lambda p}$ [106-107]:00 | $DIP\text{-}U_{\lambda t}$ [108-109]:00 | DIP-V [110-111]:00 | $DIP\text{-}V_p$ [112-113]:00

$DIP\text{-}V_t$ [114-115]:00 | $DIP\text{-}V_b$ [116-117]:00 | NUMERO DE CONTRACCIONES [118-119-120]:014

NUMERO DE MINUTOS REGISTRADOS [121-122-123]:061

HOJA CODIFICADA PARA EL ESTUDIO DE LAS VARIACIONES CARDIOTOCOGRAFICAS ATRIBUIDAS A LAS CIRCULARES DEL CORDON UMBILICAL

NOMBRE Y APELLIDOS:

GRUPO ESTUDIADO [1]:0 | Nº DE Nº DE D.C. [2-7]:0435514 | Nº DE UCIP [8-12]:13030

BOLSA [13]:1 | L.A. [14]:0 | MECONIO [15]:2 | SEMANA DE AMENORREA [16-17]:41 | SEXO [18]:0

VITALIDAD [19]:0 | EDAD MATERNA [20-21]:29 | PARIDAD [22-23]:00 | PESO DEL R.N. [24-25-26-27]:3270

FORMA DE TERMINACION DEL PARTO [28]:0 | LONGITUD DEL CORDON [29-30]:50 | APGAR-1 [31-32]:07

APGAR-5 [33-34]:09 | MORBILIDAD [35]:0

MADRE: PO_2 [36-37]:80 | PCO_2 [38-39]:19 | D.B. [40-41-42]:-114 | HCO_3^- [43-44]:09 | P^H [45-46-47]:732

FETO: ARTERIA. PO_2 [48-49]:09 | PCO_2 [50-51]:60 | D.B. [52-53-54]:-06 | HCO_3^- [55-56]:23 | P^H [57-58-59]:719

VENA. PO_2 [60-61]:27 | PCO_2 [62-63]:41 | D.B. [64-65-66]:-08 | HCO_3^- [67-68]:15 | P^H [69-70-71]:727

TIPO DE ACIDOSIS MATERNA [72]:0 | TIPO DE ACIDOSIS FETAL [73]:1 | Δ-P^H MADRE-FETO [74-75]:05

Δ-P^H VENA UMBILICAL-ARTERIA UMBILICAL [76-77]:08 | PROMEDIO DE ASCENSOS ?. [78-79]:07

PROMEDIO DE ASCENSOS TRANSITORIOS QUE COINCIDEN CON LA CONTRACCION [80-81]:00

TAQUICARDIA [82]:0 | BRADICARDIA [83]:0 | VARIABILIDAD DE LA FCF [84-85]:08 | DIP-I [86-87]:00

DIP-II [88-89]:00 | TOTAL DIPS UMBILICALES [90-91]:07 | DIP-U [92-93]:00 | $DIP\text{-}U_p$ [94-95]:05

$DIP\text{-}U_t$ [96-97]:00 | $DIP\text{-}U_v$ [98-99]:00 | $DIP\text{-}U_{vp}$ [100-101]:00 | $DIP\text{-}U_{vt}$ [102-103]:00 | $DIP\text{-}U_\lambda$ [104-105]:00

$DIP\text{-}U_{\lambda p}$ [106-107]:02 | $DIP\text{-}U_{\lambda t}$ [108-109]:00 | DIP-V [110-111]:02 | $DIP\text{-}V_p$ [112-113]:00

$DIP\text{-}V_t$ [114-115]:02 | $DIP\text{-}V_b$ [116-117]:00 | NUMERO DE CONTRACCIONES [118-119-120]:030

NUMERO DE MINUTOS REGISTRADOS [121-122-123]:126

HOJA CODIFICADA PARA EL ESTUDIO DE LAS VARIACIONES CARDIOTOCOGRAFICAS ATRIBUIDAS A LAS CIRCULARES DEL CORDON UMBILICAL

NOMBRE Y APELLIDOS:

GRUPO ESTUDIADO [1] [0] Nº DE Nº DE H.C. [2 3 4 5 6 7] [0 8 1 7 1 3] Nº DE UCIP [8 9 10 11 12] [1 6 8 5 1 3]

BOLSA [13] [0] L.A. [14] [3] MECONIO [15] [2] SEMANA DE AMENORREA [16 17] [4 2] SEXO [18] [1]

VITALIDAD [19] [0] EDAD MATERNA [20 21] [3 8] PARIDAD [22 23] [0 4] PESO DEL R.N. [24 25 26 27] [3 8 1 1 0]

FORMA DE TERMINACION DEL PARTO [28] [0] LONGITUD DEL CORDON [29 30] [6 5] APGAR-1 [31 32] [0 7]

APGAR-5 [33 34] [0 9] MORBILIDAD [35] [0]

MADRE: PO_2 [36 37] [- -] PCO_2 [38 39] [- -] E.B. [40 41 42] [- - -] HCO_3^- [43 44] [- -] P^H [45 46 47] [- - -]

FETO: ARTERIA. PO_2 [48 49] [1 1] PCO_2 [50 51] [4 2] D.B. [52 53 54] [- 1 0] HCO_3^- [55 56] [1 7] P^H [57 58 59] [7 2 2]

VENA. PO_2 [60 61] [4 0] PCO_2 [62 63] [3 1] D.B. [64 65 66] [- - 4] HCO_3^- [67 68] [1 9] P^H [69 70 71] [7 3 8]

TIPO DE ACIDOSIS MATERNA [72] [-] TIPO DE ACIDOSIS FETAL [73] [0] Δ-P^H MADRE-FETO [74 75] [- -]

Δ-P^H VENA UMBILICAL-ARTERIA UMBILICAL [76 77] [1 6] PROMEDIO DE ASCENSOS ?. [78 79] [2 7]

PROMEDIO DE ASCENSOS TRANSITORIOS QUE COINCIDEN CON LA CONTRACCION [80 81] [0 0]

TAQUICARDIA [82] [0] BRADICARDIA [83] [0] VARIABILIDAD DE LA FCF [84 85] [0 8] DIP-I [86 87] [0 0]

DIP-II [88 89] [0 0] TOTAL DIPS UMBILICALES [90 91] [1 2] DIP-U [92 93] [0 0] $DIP\text{-}U_p$ [94 95] [0 0]

$DIP\text{-}U_t$ [96 97] [0 0] $DIP\text{-}U_e$ [98 99] [0 0] $DIP\text{-}U_{ep}$ [100 101] [0 0] $DIP\text{-}U_{et}$ [102 103] [0 0] $DIP\text{-}U_2$ [104 105] [0 9]

$DIP\text{-}U_{2p}$ [106 107] [0 3] $DIP\text{-}U_{2t}$ [108 109] [0 0] DIP-V [110 111] [0 0] $DIP\text{-}V_p$ [112 113] [0 0]

$DIP\text{-}V_t$ [114 115] [0 0] $DIP\text{-}V_b$ [116 117] [0 0] NUMERO DE CONTRACCIONES [118 119 120] [0 1 2]

NUMERO DE MINUTOS REGISTRADOS [121 122 123] [0 1 9]

HOJA CODIFICADA PARA EL ESTUDIO DE LAS VARIACIONES CARDIOTOCOGRAFICAS ATRIBUIDAS A LAS CIRCULARES DEL CORDON UMBILICAL

NOMBRE Y APELLIDOS:

GRUPO ESTUDIADO [1] [0] Nº DE Nº DE H.C. [2 3 4 5 6 7] [0 5 8 8 6 4] Nº DE UCIP [8 9 10 11 12] [0 8 9 3 6]

BOLSA [13] [0] L.A. [14] [2] MECONIO [15] [2] SEMANA DE AMENORREA [16 17] [3 5] SEXO [18] [1]

VITALIDAD [19] [0] EDAD MATERNA [20 21] [2 7] PARIDAD [22 23] [0 0] PESO DEL R.N. [24 25 26 27] [2 7 3 0]

FORMA DE TERMINACION DEL PARTO [28] [0] LONGITUD DEL CORDON [29 30] [4 5] APGAR-1 [31 32] [0 8]

APGAR-5 [33 34] [0 9] MORBILIDAD [35] [0]

MADRE: PO_2 [36 37] [- -] PCO_2 [38 39] [- -] D.B. [40 41 42] [- - -] HCO_3^- [43 44] [- -] P^H [45 46 47] [- - -]

FETO: ARTERIA. PO_2 [48 49] [2 0] PCO_2 [50 51] [4 6] D.B. [52 53 54] [- - 7] HCO_3^- [55 56] [1 9] P^H [57 58 59] [7 2 5]

VENA. PO_2 [60 61] [3 4] PCO_2 [62 63] [3 3] D.B. [64 65 66] [- - 7] HCO_3^- [67 68] [6 1] P^H [69 70 71] [7 3 3]

TIPO DE ACIDOSIS MATERNA [72] [-] TIPO DE ACIDOSIS FETAL [73] [0] Δ-P^H MADRE-FETO [74 75] [- -]

Δ-P^H VENA UMBILICAL-ARTERIA UMBILICAL [76 77] [0 8] PROMEDIO DE ASCENSOS ?. [78 79] [2 6]

PROMEDIO DE ASCENSOS TRANSITORIOS QUE COINCIDEN CON LA CONTRACCION [80 81] [0 0]

TAQUICARDIA [82] [0] BRADICARDIA [83] [0] VARIABILIDAD DE LA FCF [84 85] [0 6] DIP-I [86 87] [0 0]

DIP-II [88 89] [0 0] TOTAL DIPS UMBILICALES [90 91] [0 6] DIP-U [92 93] [0 0] $DIP\text{-}U_p$ [94 95] [0 0]

$DIP\text{-}U_t$ [96 97] [0 0] $DIP\text{-}U_e$ [98 99] [0 0] $DIP\text{-}U_{ep}$ [100 101] [0 0] $DIP\text{-}U_{et}$ [102 103] [0 0] $DIP\text{-}U_2$ [104 105] [0 6]

$DIP\text{-}U_{2p}$ [106 107] [0 0] $DIP\text{-}U_{2t}$ [108 109] [0 0] DIP-V [110 111] [0 6] $DIP\text{-}V_p$ [112 113] [0 0]

$DIP\text{-}V_t$ [114 115] [0 0] $DIP\text{-}V_b$ [116 117] [0 0] NUMERO DE CONTRACCIONES [118 119 120] [0 0 0]

NUMERO DE MINUTOS REGISTRADOS [121 122 123] [1 0 5]

HOJA CODIFICADA PARA EL ESTUDIO DE LAS VARIACIONES CARDIOTOCOGRAFICAS ATRIBUIDAS A LAS CIRCULARES DEL CORDON UMBILICAL

NOMBRE Y APELLIDOS:

GRUPO ESTUDIADO [1] [0] Nº DE Nº DE H.C. [2 3 4 5 6 7] [0 3 5 0 6 6] Nº DE UCIP [8 9 10 11 12] [1 1 7 4 7]

BOLSA [13] [1] L.A. [14] [2] MECONIO [15] [1] SEMANA DE AMENORREA [16 17] [4 0] SEXO [18] [0]

VITALIDAD [19] [0] EDAD MATERNA [20 21] [2 3] PARIDAD [22 23] [0 1] PESO DEL R.N. [24 25 26 27] [3 4 2 0]

FORMA DE TERMINACION DEL PARTO [28] [1] LONGITUD DEL CORDON [29 30] [4 0] APGAR-1 [31 32] [0 8]

APGAR-5 [33 34] [1 0] MORBILIDAD [35] [0]

MADRE: PO_2 [36 37] [1 5] PCO_2 [38 39] [2 3] D.B. [40 41 42] [- 1 0] HCO_3^- [43 44] [1 3] P^H [45 46 47] [7 4 6]

FETO: ARTERIA. PO_2 [48 49] [1 0] PCO_2 [50 51] [3 5] D.B. [52 53 54] [- 1 5] HCO_3^- [55 56] [1 2] P^H [57 58 59] [7 2 4]

VENA. PO_2 [60 61] [1 5] PCO_2 [62 63] [2 5] D.B. [64 65 66] [- - 5] HCO_3^- [67 68] [1 6] P^H [69 70 71] [7 4 4]

TIPO DE ACIDOSIS MATERNA [72] [0] TIPO DE ACIDOSIS FETAL [73] [0] Δ-P^H MADRE-FETO [74 75] [0 2]

Δ-P^H VENA UMBILICAL-ARTERIA UMBILICAL [76 77] [2 0] PROMEDIO DE ASCENSOS ?. [78 79] [4 1]

PROMEDIO DE ASCENSOS TRANSITORIOS QUE COINCIDEN CON LA CONTRACCION [80 81] [0 0]

TAQUICARDIA [82] [0] BRADICARDIA [83] [0] VARIABILIDAD DE LA FCF [84 85] [0 7] DIP-I [86 87] [0 0]

DIP-II [88 89] [0 0] TOTAL DIPS UMBILICALES [90 91] [0 3] DIP-U [92 93] [0 0] $DIP\text{-}U_p$ [94 95] [0 0]

$DIP\text{-}U_t$ [96 97] [0 0] $DIP\text{-}U_e$ [98 99] [0 0] $DIP\text{-}U_{ep}$ [100 101] [0 0] $DIP\text{-}U_{et}$ [102 103] [0 0] $DIP\text{-}U_2$ [104 105] [0 1]

$DIP\text{-}U_{2p}$ [106 107] [0 2] $DIP\text{-}U_{2t}$ [108 109] [0 0] DIP-V [110 111] [0 0] $DIP\text{-}V_p$ [112 113] [0 0]

$DIP\text{-}V_t$ [114 115] [0 1 9] $DIP\text{-}V_b$ [116 117] [0 0] NUMERO DE CONTRACCIONES [118 119 120] [0 8 0]

NUMERO DE MINUTOS REGISTRADOS [121 122 123] [3 7 0]

HOJA CODIFICADA PARA EL ESTUDIO DE LAS VARIACIONES CARDIOTOCOGRAFICAS ATRIBUIDAS A LAS CIRCULARES DEL CORDON UMBILICAL

NOMBRE Y APELLIDOS:

GRUPO ESTUDIADO [1] [0] Nº DE Nº DE H.C. [2 3 4 5 6 7] [0 6 5 2 8 8] Nº DE UCIP [8 9 10 11 12] [1 5 3 8 2]

BOLSA [13] [1] L.A. [14] [2] MECONIO [15] [1] SEMANA DE AMENORREA [16 17] [4 3] SEXO [18] [1]

VITALIDAD [19] [0] EDAD MATERNA [20 21] [2 6] PARIDAD [22 23] [0 4] PESO DEL R.N. [24 25 26 27] [3 8 1 0]

FORMA DE TERMINACION DEL PARTO [28] [1] LONGITUD DEL CORDON [29 30] [4 5] APGAR-1 [31 32] [0 8]

APGAR-5 [33 34] [0 9] MORBILIDAD [35] [0]

MADRE: PO_2 [36 37] [9 0] PCO_2 [38 39] [2 8] D.B. [40 41 42] [- + 3] HCO_3^- [43 44] [2 4] P^H [45 46 47] [7 5 0]

FETO: ARTERIA. PO_2 [48 49] [1 1] PCO_2 [50 51] [6 1] D.B. [52 53 54] [- 1 1] HCO_3^- [55 56] [2 0] P^H [57 58 59] [7 4 1]

VENA. PO_2 [60 61] [3 0] PCO_2 [62 63] [4 7] D.B. [64 65 66] [- - 4] HCO_3^- [67 68] [2 3] P^H [69 70 71] [7 2 8]

TIPO DE ACIDOSIS MATERNA [72] [0] TIPO DE ACIDOSIS FETAL [73] [3] Δ-P^H MADRE-FETO [74 75] [2 2]

Δ-P^H VENA UMBILICAL-ARTERIA UMBILICAL [76 77] [1 7] PROMEDIO DE ASCENSOS ?. [78 79] [0 0]

PROMEDIO DE ASCENSOS TRANSITORIOS QUE COINCIDEN CON LA CONTRACCION [80 81] [0 0]

TAQUICARDIA [82] [2] BRADICARDIA [83] [0] VARIABILIDAD DE LA FCF [84 85] [0 6] DIP-I [86 87] [0 0]

DIP-II [88 89] [0 0] TOTAL DIPS UMBILICALES [90 91] [0 5] DIP-U [92 93] [0 0] $DIP\text{-}U_p$ [94 95] [0 0]

$DIP\text{-}U_t$ [96 97] [0 0] $DIP\text{-}U_e$ [98 99] [0 0] $DIP\text{-}U_{ep}$ [100 101] [0 0] $DIP\text{-}U_{et}$ [102 103] [0 0] $DIP\text{-}U_2$ [104 105] [0 0]

$DIP\text{-}U_{2p}$ [106 107] [0 0] $DIP\text{-}U_{2t}$ [108 109] [0 0] DIP-V [110 111] [0 0] $DIP\text{-}V_p$ [112 113] [0 0]

$DIP\text{-}V_t$ [114 115] [0 0] $DIP\text{-}V_b$ [116 117] [2 7] NUMERO DE CONTRACCIONES [118 119 120] [0 2 8]

NUMERO DE MINUTOS REGISTRADOS [121 122 123] [1 1 1]

HOJA CODIFICADA PARA EL ESTUDIO DE LAS VARIACIONES CARDIOTOCOGRAFICAS ATRIBUIDAS A LAS CIRCULARES DEL CORDON UMBILICAL

NOMBRE Y APELLIDOS:

GRUPO ESTUDIADO [1] [0] Nº DE Hª DE D.C. [2 3 4 5 6 7] [0 2 3 4 9 2] Nº DE UCIP [8 9 10 11 12] [0 9 3 2 2]

BOLSA [13] [0] L.A. [14] [2] MECONIO [15] [1] SEMANA DE AMENORREA [16 17] [4 0] SEXO [18] [1]

VITALIDAD [19] [0] EDAD MATERNA [20 21] [2 8] PARIDAD [22 23] [0 1] PESO DEL R.N. [24 25 26 27] [3 4 2 0]

FORMA DE TERMINACION DEL PARTO [28] [0] LONGITUD DEL CORDON [29 30] [5 5] APGAR-1 [31 32] [0 8]

APGAR-5 [33 34] [0 9] MORBILIDAD [35] [0]

MADRE: PO_2 [36 37] [6 9] PCO_2 [38 39] [3 1] D.B. [40 41 42] [- 8] HCO_3^- [43 44] [1 6] pH [45 46 47] [7 3 4]

FETO: ARTERIA. PO_2 [48 49] [1 7] PCO_2 [50 51] [6 9] D.B. [52 53 54] [- 1 3] HCO_3^- [55 56] [1 9] pH [57 58 59] [7 2 0]

VENA. PO_2 [60 61] [4 0] PCO_2 [62 63] [4 1] D.B. [64 65 66] [- 1 3] HCO_3^- [67 68] [1 9] pH [69 70 71] [7 2 9]

TIPO DE ACIDOSIS MATERNA [72] [0] TIPO DE ACIDOSIS FETAL [73] [3] Δ-pH MADRE-FETO [74 75] [0 5]

Δ-pH VENA UMBILICAL-ARTERIA UMBILICAL [76 77] [0 9] PROMEDIO DE ASCENSOS ?. [78 79] [0 9]

PROMEDIO DE ASCENSOS TRANSITORIOS QUE COINCIDEN CON LA CONTRACCION [80 81] [0 0]

TAQUICARDIA [82] [0] BRADICARDIA [83] [1] VARIABILIDAD DE LA FCF [84 85] [0 4] DIP-I [86 87] [0 0]

DIP-II [88 89] [0 0] TOTAL DIPS UMBILICALES [90 91] [0 5] DIP-U [92 93] [0 0] $DIP\text{-}U_p$ [94 95] [0 0]

$DIP\text{-}U_t$ [96 97] [0 0] $DIP\text{-}U_e$ [98 99] [0 0] $DIP\text{-}U_{cp}$ [100 101] [0 0] $DIP\text{-}U_{cn}$ [102 103] [0 0] $DIP\text{-}U_2$ [104 105] [0 0]

$DIP\text{-}U_{\lambda p}$ [106 107] [0 5] $DIP\text{-}U_{\lambda t}$ [108 109] [0 0] DIP-V [110 111] [0 0] $DIP\text{-}V_p$ [112 113] [0 5]

$DIP\text{-}V_t$ [114 115] [0 0] $DIP\text{-}V_b$ [116 117] [0 0] NUMERO DE CONTRACCIONES [118 119 120] [0 1 7]

NUMERO DE MINUTOS REGISTRADOS [121 122 123] [0 6 3]

HOJA CODIFICADA PARA EL ESTUDIO DE LAS VARIACIONES CARDIOTOCOGRAFICAS ATRIBUIDAS A LAS CIRCULARES DEL CORDON UMBILICAL

NOMBRE Y APELLIDOS:

GRUPO ESTUDIADO [1] [0] Nº DE Hª DE D.C. [2 3 4 5 6 7] [0 6 5 3 2 3] Nº DE UCIP [8 9 10 11 12] [1 0 0 1 9]

BOLSA [13] [1] L.A. [14] [1] MECONIO [15] [1] SEMANA DE AMENORREA [16 17] [3 6] SEXO [18] [0]

VITALIDAD [19] [0] EDAD MATERNA [20 21] [2 6] PARIDAD [22 23] [0 1] PESO DEL R.N. [24 25 26 27] [3 1 0 0]

FORMA DE TERMINACION DEL PARTO [28] [0] LONGITUD DEL CORDON [29 30] [3 8] APGAR-1 [31 32] [0 8]

APGAR-5 [33 34] [1 0] MORBILIDAD [35] [0]

MADRE: PO_2 [36 37] [8 9] PCO_2 [38 39] [3 1] D.B. [40 41 42] [- 5] HCO_3^- [43 44] [1 8] pH [45 46 47] [7 4 1]

FETO: ARTERIA. PO_2 [48 49] [2 1] PCO_2 [50 51] [5 3] D.B. [52 53 54] [- 7] HCO_3^- [55 56] [2 1] pH [57 58 59] [7 2 4]

VENA. PO_2 [60 61] [3 3] PCO_2 [62 63] [4 6] D.B. [64 65 66] [- 5] HCO_3^- [67 68] [2 2] pH [69 70 71] [7 3 0]

TIPO DE ACIDOSIS MATERNA [72] [0] TIPO DE ACIDOSIS FETAL [73] [0] Δ-pH MADRE-FETO [74 75] [1 1]

Δ-pH VENA UMBILICAL-ARTERIA UMBILICAL [76 77] [0 6] PROMEDIO DE ASCENSOS ?. [78 79] [0 3]

PROMEDIO DE ASCENSOS TRANSITORIOS QUE COINCIDEN CON LA CONTRACCION [80 81] [0 3]

TAQUICARDIA [82] [0] BRADICARDIA [83] [0] VARIABILIDAD DE LA FCF [84 85] [0 4] DIP-I [86 87] [0 0]

DIP-II [88 89] [0 0] TOTAL DIPS UMBILICALES [90 91] [0 0] DIP-U [92 93] [0 0] $DIP\text{-}U_p$ [94 95] [0 0]

$DIP\text{-}U_t$ [96 97] [0 0] $DIP\text{-}U_e$ [98 99] [0 0] $DIP\text{-}U_{cp}$ [100 101] [0 0] $DIP\text{-}U_{cn}$ [102 103] [0 0] $DIP\text{-}U_2$ [104 105] [0 0]

$DIP\text{-}U_{\lambda p}$ [106 107] [0 0] $DIP\text{-}U_{\lambda t}$ [108 109] [0 0] DIP-V [110 111] [0 0] $DIP\text{-}V_p$ [112 113] [0 0]

$DIP\text{-}V_t$ [114 115] [0 3] $DIP\text{-}V_b$ [116 117] [0 0] NUMERO DE CONTRACCIONES [118 119 120] [0 1 2]

NUMERO DE MINUTOS REGISTRADOS [121 122 123] [1 0 8]

HOJA CODIFICADA PARA EL ESTUDIO DE LAS VARIACIONES CARDIOTOCOGRAFICAS ATRIBUIDAS A LAS CIRCULARES DEL CORDON UMBILICAL

NOMBRE Y APELLIDOS:

GRUPO ESTUDIADO [1] [0] Nº DE Hª DE D.C. [2 3 4 5 6 7] [0 6 3 4 0 7] Nº DE UCIP [8 9 10 11 12] [0 9 7 3 2]

BOLSA [13] [0] L.A. [14] [0] MECONIO [15] [0] SEMANA DE AMENORREA [16 17] [3 9] SEXO [18] [1]

VITALIDAD [19] [0] EDAD MATERNA [20 21] [3 6] PARIDAD [22 23] [0 2] PESO DEL R.N. [24 25 26 27] [5 1 0 0]

FORMA DE TERMINACION DEL PARTO [28] [1] LONGITUD DEL CORDON [29 30] [6 0] APGAR-1 [31 32] [0 8]

APGAR-5 [33 34] [1 0] MORBILIDAD [35] [3]

MADRE: PO_2 [36 37] [7 4] PCO_2 [38 39] [2 8] D.B. [40 41 42] [- 9] HCO_3^- [43 44] [1 4] pH [45 46 47] [7 3 8]

FETO: ARTERIA. PO_2 [48 49] [1 7] PCO_2 [50 51] [5 5] D.B. [52 53 54] [- 2] HCO_3^- [55 56] [2 6] pH [57 58 59] [7 2 9]

VENA. PO_2 [60 61] [2 3] PCO_2 [62 63] [4 0] D.B. [64 65 66] [- 4] HCO_3^- [67 68] [2 1] pH [69 70 71] [7 3 5]

TIPO DE ACIDOSIS MATERNA [72] [0] TIPO DE ACIDOSIS FETAL [73] [0] Δ-pH MADRE-FETO [74 75] [0 3]

Δ-pH VENA UMBILICAL-ARTERIA UMBILICAL [76 77] [0 6] PROMEDIO DE ASCENSOS ?. [78 79] [0 3]

PROMEDIO DE ASCENSOS TRANSITORIOS QUE COINCIDEN CON LA CONTRACCION [80 81] [0 0]

TAQUICARDIA [82] [0] BRADICARDIA [83] [0] VARIABILIDAD DE LA FCF [84 85] [0 4] DIP-I [86 87] [0 0]

DIP-II [88 89] [0 0] TOTAL DIPS UMBILICALES [90 91] [1 1] DIP-U [92 93] [0 0] $DIP\text{-}U_p$ [94 95] [0 0]

$DIP\text{-}U_t$ [96 97] [0 1] $DIP\text{-}U_e$ [98 99] [0 0] $DIP\text{-}U_{cp}$ [100 101] [0 0] $DIP\text{-}U_{cn}$ [102 103] [0 0] $DIP\text{-}U_2$ [104 105] [0 4]

$DIP\text{-}U_{\lambda p}$ [106 107] [0 4] $DIP\text{-}U_{\lambda t}$ [108 109] [0 1] DIP-V [110 111] [0 0] $DIP\text{-}V_p$ [112 113] [0 0]

$DIP\text{-}V_t$ [114 115] [0 0] $DIP\text{-}V_b$ [116 117] [0 0] NUMERO DE CONTRACCIONES [118 119 120] [0 3 6]

NUMERO DE MINUTOS REGISTRADOS [121 122 123] [2 2 5]

HOJA CODIFICADA PARA EL ESTUDIO DE LAS VARIACIONES CARDIOTOCOGRAFICAS ATRIBUIDAS A LAS CIRCULARES DEL CORDON UMBILICAL

NOMBRE Y APELLIDOS:

GRUPO ESTUDIADO [1] [0] Nº DE Hª DE D.C. [2 3 4 5 6 7] [0 6 3 5 9 4] Nº DE UCIP [8 9 10 11 12] [0 9 6 5 4]

BOLSA [13] [1] L.A. [14] [0] MECONIO [15] [1] SEMANA DE AMENORREA [16 17] [4 2] SEXO [18] [0]

VITALIDAD [19] [0] EDAD MATERNA [20 21] [3 2] PARIDAD [22 23] [0 2] PESO DEL R.N. [24 25 26 27] [4 8 0 0]

FORMA DE TERMINACION DEL PARTO [28] [0] LONGITUD DEL CORDON [29 30] [5 5] APGAR-1 [31 32] [0 8]

APGAR-5 [33 34] [1 0] MORBILIDAD [35] [0]

MADRE: PO_2 [36 37] [7 5] PCO_2 [38 39] [2 6] D.B. [40 41 42] [- 4] HCO_3^- [43 44] [1 8] pH [45 46 47] [7 4 5]

FETO: ARTERIA. PO_2 [48 49] [1 2] PCO_2 [50 51] [6 4] D.B. [52 53 54] [- 4] HCO_3^- [55 56] [2 6] pH [57 58 59] [7 2 3]

VENA. PO_2 [60 61] [2 5] PCO_2 [62 63] [2 6] D.B. [64 65 66] [- 6] HCO_3^- [67 68] [1 9] pH [69 70 71] [7 3 3]

TIPO DE ACIDOSIS MATERNA [72] [0] TIPO DE ACIDOSIS FETAL [73] [0] Δ-pH MADRE-FETO [74 75] [1 2]

Δ-pH VENA UMBILICAL-ARTERIA UMBILICAL [76 77] [1 0] PROMEDIO DE ASCENSOS ?. [78 79] [2 2]

PROMEDIO DE ASCENSOS TRANSITORIOS QUE COINCIDEN CON LA CONTRACCION [80 81] [1 0]

TAQUICARDIA [82] [0] BRADICARDIA [83] [0] VARIABILIDAD DE LA FCF [84 85] [0 7] DIP-I [86 87] [0 0]

DIP-II [88 89] [0 0] TOTAL DIPS UMBILICALES [90 91] [0 8] DIP-U [92 93] [0 0] $DIP\text{-}U_p$ [94 95] [0 0]

$DIP\text{-}U_t$ [96 97] [0 0] $DIP\text{-}U_e$ [98 99] [0 0] $DIP\text{-}U_{cp}$ [100 101] [0 0] $DIP\text{-}U_{cn}$ [102 103] [0 0] $DIP\text{-}U_2$ [104 105] [0 3]

$DIP\text{-}U_{\lambda p}$ [106 107] [0 2] $DIP\text{-}U_{\lambda t}$ [108 109] [0 3] DIP-V [110 111] [0 0] $DIP\text{-}V_p$ [112 113] [0 0]

$DIP\text{-}V_t$ [114 115] [0 0] $DIP\text{-}V_b$ [116 117] [0 0] NUMERO DE CONTRACCIONES [118 119 120] [0 6 6]

NUMERO DE MINUTOS REGISTRADOS [121 122 123] [1 8 9]

HOJA CODIFICADA PARA EL ESTUDIO DE LAS VARIACIONES CARDIOTOCOGRAFICAS ATRIBUIDAS A LAS CIRCULARES DEL CORDON UMBILICAL

NOMBRE Y APELLIDOS:

GRUPO ESTUDIADO [1] 0 — Nº DE Hª DE D.C. [2 3 4 5 6 7] 094507 — Nº DE UCIP [8 9 10 11 12] 15709

BOLSA [13] 0 — L.A. [14] 0 — MECONIO [15] 2 — SEMANA DE AMENORREA [16 17] 43 — SEXO [18] 0

VITALIDAD [19] 0 — EDAD MATERNA [20 21] 21 — PARIDAD [22 23] 00 — PESO DEL R.N. [24 25 26 27] 4540

FORMA DE TERMINACION DEL PARTO [28] 1 — LONGITUD DEL CORDON [29 30] 50 — APGAR-1 [31 32] 08

APGAR-5 [33 34] 10 — MORBILIDAD [35] 0

MADRE: PO_2 [36 37] 99 — PCO_2 [38 39] 21 — D.B. [40 41 42] -8 — HCO_3^- [43 44] 13 — P^H [45 46 47] 743

FETO: ARTERIA. PO_2 [48 49] 11 — PCO_2 [50 51] 54 — D.B. [52 53 54] -2 — HCO_3^- [55 56] 26 — P^H [57 58 59] 729

VENA. PO_2 [60 61] 20 — PCO_2 [62 63] 34 — D.B. [64 65 66] -3 — HCO_3^- [67 68] 20 — P^H [69 70 71] 740

TIPO DE ACIDOSIS MATERNA [72] 0 — TIPO DE ACIDOSIS FETAL [73] 0 — Δ-P^H MADRE-FETO [74 75] 03

Δ-P^H VENA UMBILICAL-ARTERIA UMBILICAL [76 77] 11 — PROMEDIO DE ASCENSOS ?. [78 79] 58

PROMEDIO DE ASCENSOS TRANSITORIOS QUE COINCIDEN CON LA CONTRACCION [80 81] 00

TAQUICARDIA [82] 0 — BRADICARDIA [83] 0 — VARIABILIDAD DE LA FCF [84 85] 10 — DIP-I [86 87] 00

DIP-II [88 89] 00 — TOTAL DIPS UMBILICALES [90 91] 09 — DIP-U [92 93] 00 — $DIP\text{-}U_p$ [94 95] 00

$DIP\text{-}U_t$ [96 97] 00 — $DIP\text{-}U_a$ [98 99] 00 — $DIP\text{-}U_{ap}$ [100 101] 00 — $DIP\text{-}U_{at}$ [102 103] 00 — $DIP\text{-}U_\lambda$ [104 105] 09

$DIP\text{-}U_{\lambda p}$ [106 107] 00 — $DIP\text{-}U_{\lambda t}$ [108 109] 00 — DIP-V [110 111] 00 — $DIP\text{-}V_p$ [112 113] 00

$DIP\text{-}V_t$ [114 115] 00 — $DIP\text{-}V_b$ [116 117] 00 — NUMERO DE CONTRACCIONES [118 119 120] 003

NUMERO DE MINUTOS REGISTRADOS [121 122 123] 062

HOJA CODIFICADA PARA EL ESTUDIO DE LAS VARIACIONES CARDIOTOCOGRAFICAS ATRIBUIDAS A LAS CIRCULARES DEL CORDON UMBILICAL

NOMBRE Y APELLIDOS:

GRUPO ESTUDIADO [1] 0 — Nº DE Hª DE D.C. [2 3 4 5 6 7] 037186 — Nº DE UCIP [8 9 10 11 12] 09387

BOLSA [13] 0 — L.A. [14] 0 — MECONIO [15] 0 — SEMANA DE AMENORREA [16 17] 39 — SEXO [18] 0

VITALIDAD [19] 0 — EDAD MATERNA [20 21] 39 — PARIDAD [22 23] 06 — PESO DEL R.N. [24 25 26 27] 4200

FORMA DE TERMINACION DEL PARTO [28] 3 — LONGITUD DEL CORDON [29 30] 50 — APGAR-1 [31 32] 08

APGAR-5 [33 34] 08 — MORBILIDAD [35] 0

MADRE: PO_2 [36 37] 99 — PCO_2 [38 39] 33 — D.B. [40 41 42] -4 — HCO_3^- [43 44] 19 — P^H [45 46 47] 739

FETO: ARTERIA. PO_2 [48 49] 27 — PCO_2 [50 51] 53 — D.B. [52 53 54] -7 — HCO_3^- [55 56] 23 — P^H [57 58 59] 723

VENA. PO_2 [60 61] 40 — PCO_2 [62 63] 44 — D.B. [64 65 66] -4 — HCO_3^- [67 68] 21 — P^H [69 70 71] 731

TIPO DE ACIDOSIS MATERNA [72] 0 — TIPO DE ACIDOSIS FETAL [73] 0 — Δ-P^H MADRE-FETO [74 75] 08

Δ-P^H VENA UMBILICAL-ARTERIA UMBILICAL [76 77] 08 — PROMEDIO DE ASCENSOS ?. [78 79] 29

PROMEDIO DE ASCENSOS TRANSITORIOS QUE COINCIDEN CON LA CONTRACCION [80 81] 00

TAQUICARDIA [82] 0 — BRADICARDIA [83] 0 — VARIABILIDAD DE LA FCF [84 85] 06 — DIP-I [86 87] 00

DIP-II [88 89] 00 — TOTAL DIPS UMBILICALES [90 91] 02 — DIP-U [92 93] 00 — $DIP\text{-}U_p$ [94 95] 00

$DIP\text{-}U_t$ [96 97] 00 — $DIP\text{-}U_a$ [98 99] 00 — $DIP\text{-}U_{ap}$ [100 101] 00 — $DIP\text{-}U_{at}$ [102 103] 00 — $DIP\text{-}U_\lambda$ [104 105] 02

$DIP\text{-}U_{\lambda p}$ [106 107] 00 — $DIP\text{-}U_{\lambda t}$ [108 109] 00 — DIP-V [110 111] 00 — $DIP\text{-}V_p$ [112 113] 00

$DIP\text{-}V_t$ [114 115] 00 — $DIP\text{-}V_b$ [116 117] 00 — NUMERO DE CONTRACCIONES [118 119 120] 015

NUMERO DE MINUTOS REGISTRADOS [121 122 123] 131

HOJA CODIFICADA PARA EL ESTUDIO DE LAS VARIACIONES CARDIOTOCOGRAFICAS ATRIBUIDAS A LAS CIRCULARES DEL CORDON UMBILICAL

NOMBRE Y APELLIDOS:

GRUPO ESTUDIADO [1] 0 — Nº DE Hª DE D.C. [2 3 4 5 6 7] 083491 — Nº DE UCIP [8 9 10 11 12] 13230

BOLSA [13] 1 — L.A. [14] 0 — MECONIO [15] 0 — SEMANA DE AMENORREA [16 17] 42 — SEXO [18] 1

VITALIDAD [19] 0 — EDAD MATERNA [20 21] 33 — PARIDAD [22 23] 02 — PESO DEL R.N. [24 25 26 27] 2390

FORMA DE TERMINACION DEL PARTO [28] 0 — LONGITUD DEL CORDON [29 30] 50 — APGAR-1 [31 32] 09

APGAR-5 [33 34] 10 — MORBILIDAD [35] 0

MADRE: PO_2 [36 37] 71 — PCO_2 [38 39] 33 — D.B. [40 41 42] -4 — HCO_3^- [43 44] 19 — P^H [45 46 47] 736

FETO: ARTERIA. PO_2 [48 49] 19 — PCO_2 [50 51] 50 — D.B. [52 53 54] -4 — HCO_3^- [55 56] 22 — P^H [57 58 59] 726

VENA. PO_2 [60 61] 25 — PCO_2 [62 63] 42 — D.B. [64 65 66] -2 — HCO_3^- [67 68] 23 — P^H [69 70 71] 735

TIPO DE ACIDOSIS MATERNA [72] 0 — TIPO DE ACIDOSIS FETAL [73] 0 — Δ-P^H MADRE-FETO [74 75] 01

Δ-P^H VENA UMBILICAL-ARTERIA UMBILICAL [76 77] 09 — PROMEDIO DE ASCENSOS ?. [78 79] 04

PROMEDIO DE ASCENSOS TRANSITORIOS QUE COINCIDEN CON LA CONTRACCION [80 81] 00

TAQUICARDIA [82] 0 — BRADICARDIA [83] 0 — VARIABILIDAD DE LA FCF [84 85] 08 — DIP-I [86 87] 00

DIP-II [88 89] 00 — TOTAL DIPS UMBILICALES [90 91] 04 — DIP-U [92 93] 00 — $DIP\text{-}U_p$ [94 95] 00

$DIP\text{-}U_t$ [96 97] 00 — $DIP\text{-}U_a$ [98 99] 00 — $DIP\text{-}U_{ap}$ [100 101] 00 — $DIP\text{-}U_{at}$ [102 103] 00 — $DIP\text{-}U_\lambda$ [104 105] 00

$DIP\text{-}U_{\lambda p}$ [106 107] 04 — $DIP\text{-}U_{\lambda t}$ [108 109] 00 — DIP-V [110 111] 00 — $DIP\text{-}V_p$ [112 113] 00

$DIP\text{-}V_t$ [114 115] 00 — $DIP\text{-}V_b$ [116 117] 00 — NUMERO DE CONTRACCIONES [118 119 120] 017

NUMERO DE MINUTOS REGISTRADOS [121 122 123] 085

HOJA CODIFICADA PARA EL ESTUDIO DE LAS VARIACIONES CARDIOTOCOGRAFICAS ATRIBUIDAS A LAS CIRCULARES DEL CORDON UMBILICAL

NOMBRE Y APELLIDOS:

GRUPO ESTUDIADO [1] 0 — Nº DE Hª DE D.C. [2 3 4 5 6 7] 085601 — Nº DE UCIP [8 9 10 11 12] 17617

BOLSA [13] 0 — L.A. [14] 2 — MECONIO [15] 1 — SEMANA DE AMENORREA [16 17] 41 — SEXO [18] 1

VITALIDAD [19] 0 — EDAD MATERNA [20 21] 27 — PARIDAD [22 23] 00 — PESO DEL R.N. [24 25 26 27] 3490

FORMA DE TERMINACION DEL PARTO [28] 0 — LONGITUD DEL CORDON [29 30] 60 — APGAR-1 [31 32] 09

APGAR-5 [33 34] 10 — MORBILIDAD [35] 0

MADRE: PO_2 [36 37] 98 — PCO_2 [38 39] 26 — D.B. [40 41 42] -6 — HCO_3^- [43 44] 19 — P^H [45 46 47] 736

FETO: ARTERIA. PO_2 [48 49] 25 — PCO_2 [50 51] 46 — D.B. [52 53 54] -9 — HCO_3^- [55 56] 20 — P^H [57 58 59] 721

VENA. PO_2 [60 61] 40 — PCO_2 [62 63] 30 — D.B. [64 65 66] -8 — HCO_3^- [67 68] 14 — P^H [69 70 71] 732

TIPO DE ACIDOSIS MATERNA [72] 0 — TIPO DE ACIDOSIS FETAL [73] 0 — Δ-P^H MADRE-FETO [74 75] 04

Δ-P^H VENA UMBILICAL-ARTERIA UMBILICAL [76 77] 11 — PROMEDIO DE ASCENSOS ?. [78 79] 38

PROMEDIO DE ASCENSOS TRANSITORIOS QUE COINCIDEN CON LA CONTRACCION [80 81] 23

TAQUICARDIA [82] 0 — BRADICARDIA [83] 0 — VARIABILIDAD DE LA FCF [84 85] 07 — DIP-I [86 87] 00

DIP-II [88 89] 00 — TOTAL DIPS UMBILICALES [90 91] 04 — DIP-U [92 93] 00 — $DIP\text{-}U_p$ [94 95] 00

$DIP\text{-}U_t$ [96 97] 00 — $DIP\text{-}U_a$ [98 99] 00 — $DIP\text{-}U_{ap}$ [100 101] 00 — $DIP\text{-}U_{at}$ [102 103] 00 — $DIP\text{-}U_\lambda$ [104 105] 04

$DIP\text{-}U_{\lambda p}$ [106 107] 00 — $DIP\text{-}U_{\lambda t}$ [108 109] 00 — DIP-V [110 111] 00 — $DIP\text{-}V_p$ [112 113] 00

$DIP\text{-}V_t$ [114 115] 00 — $DIP\text{-}V_b$ [116 117] 00 — NUMERO DE CONTRACCIONES [118 119 120] 016

NUMERO DE MINUTOS REGISTRADOS [121 122 123] 078

HOJA CODIFICADA PARA EL ESTUDIO DE LAS VARIACIONES CARDIOTOCOGRAFICAS ATRIBUIDAS A LAS CIRCULARES DEL CORDON UMBILICAL

NOMBRE Y APELLIDOS:

GRUPO ESTUDIADO [0] Nº DE Hª DE D.C. [0 2 3 2 9 8] Nº DE UCIP [1 5 5 0 1]

BOLSA [1] L.A. [0] MECONIO [1] SEMANA DE AMENORREA [4 0] SEXO [1]

VITALIDAD [0] EDAD MATERNA [3 5] PARIDAD [0 2] PESO DEL R.N. [3 4 3 0]

FORMA DE TERMINACION DEL PARTO [0] LONGITUD DEL CORDON [6 0] APGAR-1 [0 9]

APGAR-5 [1 0] MORBILIDAD [0]

MADRE: PO_2 [8 8] PCO_2 [2 6] D.B. [-6] HCO_3^- [1 3] P^H [7 3 9]

FETO: ARTERIA. PO_2 [1 0] PCO_2 [5 5] D.B. [1 0] HCO_3^- [2 7] P^H [7 3 0]

VENA. PO_2 [2 4] PCO_2 [3 5] D.B. [-2] HCO_3^- [2 1] P^H [7 3 8]

TIPO DE ACIDOSIS MATERNA [0] TIPO DE ACIDOSIS FETAL [0] Δ-P^H MADRE-FETO [0 1]

Δ-P^H VENA UMBILICAL-ARTERIA UMBILICAL [0 8] PROMEDIO DE ASCENSOS T. [3 9]

PROMEDIO DE ASCENSOS TRANSITORIOS QUE COINCIDEN CON LA CONTRACCION [0 3]

TAQUICARDIA [0] BRADICARDIA [0] VARIABILIDAD DE LA FCF [0 8] DIP-I [0 0]

DIP-II [0 0] TOTAL DIPS UMBILICALES [0 3] DIP-U [0 0] $DIP\text{-}U_p$ [0 0]

$DIP\text{-}U_t$ [0 0] $DIP\text{-}U_v$ [0 0] $DIP\text{-}U_{vp}$ [0 0] $DIP\text{-}U_{vt}$ [0 0] $DIP\text{-}U_\lambda$ [0 3]

$DIP\text{-}U_{\lambda p}$ [0 0] $DIP\text{-}U_{\lambda t}$ [0 0] DIP-V [0 0] $DIP\text{-}V_p$ [0 0]

$DIP\text{-}V_t$ [0 0] $DIP\text{-}V_b$ [0 0] NUMERO DE CONTRACCIONES [0 0 3]

NUMERO DE MINUTOS REGISTRADOS [1 0 0]

HOJA CODIFICADA PARA EL ESTUDIO DE LAS VARIACIONES CARDIOTOCOGRAFICAS ATRIBUIDAS A LAS CIRCULARES DEL CORDON UMBILICAL

NOMBRE Y APELLIDOS:

GRUPO ESTUDIADO [0] Nº DE Hª DE D.C. [0 7 6 2 4 2] Nº DE UCIP [1 2 5 4 0]

BOLSA [0] L.A. [2] MECONIO [2] SEMANA DE AMENORREA [4 0] SEXO [0]

VITALIDAD [0] EDAD MATERNA [2 1] PARIDAD [0 1] PESO DEL R.N. [3 3 6 0]

FORMA DE TERMINACION DEL PARTO [0] LONGITUD DEL CORDON [6 0] APGAR-1 [0 9]

APGAR-5 [1 0] MORBILIDAD [0]

MADRE: PO_2 [8 0] PCO_2 [2 0] D.B. [-1 0] HCO_3^- [1 1] P^H [7 3 7]

FETO: ARTERIA. PO_2 [1 3] PCO_2 [5 4] D.B. [-8] HCO_3^- [2 0] P^H [7 2 1]

VENA. PO_2 [2 1] PCO_2 [4 1] D.B. [-8] HCO_3^- [1 8] P^H [7 2 8]

TIPO DE ACIDOSIS MATERNA [0] TIPO DE ACIDOSIS FETAL [0] Δ-P^H MADRE-FETO [0 9]

Δ-P^H VENA UMBILICAL-ARTERIA UMBILICAL [0 7] PROMEDIO DE ASCENSOS T. [0 3]

PROMEDIO DE ASCENSOS TRANSITORIOS QUE COINCIDEN CON LA CONTRACCION [0 0]

TAQUICARDIA [0] BRADICARDIA [0] VARIABILIDAD DE LA FCF [0 6] DIP-I [0 0]

DIP-II [0 0] TOTAL DIPS UMBILICALES [0 0] DIP-U [0 0] $DIP\text{-}U_p$ [0 0]

$DIP\text{-}U_t$ [0 0] $DIP\text{-}U_v$ [0 0] $DIP\text{-}U_{vp}$ [0 0] $DIP\text{-}U_{vt}$ [0 0] $DIP\text{-}U_\lambda$ [0 0]

$DIP\text{-}U_{\lambda p}$ [0 0] $DIP\text{-}U_{\lambda t}$ [0 0] DIP-V [0 0] $DIP\text{-}V_p$ [0 0]

$DIP\text{-}V_t$ [0 0] $DIP\text{-}V_b$ [0 0] NUMERO DE CONTRACCIONES [0 3 8]

NUMERO DE MINUTOS REGISTRADOS [2 1 0]

HOJA CODIFICADA PARA EL ESTUDIO DE LAS VARIACIONES CARDIOTOCOGRAFICAS ATRIBUIDAS A LAS CIRCULARES DEL CORDON UMBILICAL

NOMBRE Y APELLIDOS:

GRUPO ESTUDIADO [0] Nº DE Hª DE D.C. [1 0 0 8 3 7] Nº DE UCIP [1 1 2 4 2]

BOLSA [1] L.A. [1] MECONIO [2] SEMANA DE AMENORREA [3 9] SEXO [1]

VITALIDAD [0] EDAD MATERNA [2 6] PARIDAD [0 0] PESO DEL R.N. [3 5 7 0]

FORMA DE TERMINACION DEL PARTO [3] LONGITUD DEL CORDON [5 0] APGAR-1 [0 9]

APGAR-5 [0 9] MORBILIDAD [0]

MADRE: PO_2 [8 4] PCO_2 [2 8] D.B. [-7] HCO_3^- [1 6] P^H [7 3 7]

FETO: ARTERIA. PO_2 [2 4] PCO_2 [3 9] D.B. [-11] HCO_3^- [1 6] P^H [7 2 2]

VENA. PO_2 [5 7] PCO_2 [3 4] D.B. [-8] HCO_3^- [1 7] P^H [7 3 1]

TIPO DE ACIDOSIS MATERNA [0] TIPO DE ACIDOSIS FETAL [0] Δ-P^H MADRE-FETO [0 6]

Δ-P^H VENA UMBILICAL-ARTERIA UMBILICAL [0 9] PROMEDIO DE ASCENSOS T. [0 6]

PROMEDIO DE ASCENSOS TRANSITORIOS QUE COINCIDEN CON LA CONTRACCION [0 0]

TAQUICARDIA [0] BRADICARDIA [0] VARIABILIDAD DE LA FCF [0 6] DIP-I [0 0]

DIP-II [0 0] TOTAL DIPS UMBILICALES [0 0] DIP-U [0 0] $DIP\text{-}U_p$ [0 0]

$DIP\text{-}U_t$ [0 0] $DIP\text{-}U_v$ [0 0] $DIP\text{-}U_{vp}$ [0 0] $DIP\text{-}U_{vt}$ [0 0] $DIP\text{-}U_\lambda$ [0 0]

$DIP\text{-}U_{\lambda p}$ [0 0] $DIP\text{-}U_{\lambda t}$ [0 0] DIP-V [0 1] $DIP\text{-}V_p$ [0 0]

$DIP\text{-}V_t$ [0 0] $DIP\text{-}V_b$ [0 0] NUMERO DE CONTRACCIONES [1 3 8]

NUMERO DE MINUTOS REGISTRADOS [4 7 4]

HOJA CODIFICADA PARA EL ESTUDIO DE LAS VARIACIONES CARDIOTOCOGRAFICAS ATRIBUIDAS A LAS CIRCULARES DEL CORDON UMBILICAL

NOMBRE Y APELLIDOS:

GRUPO ESTUDIADO [0] Nº DE Hª DE D.C. [0 4 1 7 5 0] Nº DE UCIP [1 2 7 0 3]

BOLSA [1] L.A. [2] MECONIO [0] SEMANA DE AMENORREA [3 8] SEXO [1]

VITALIDAD [0] EDAD MATERNA [3 2] PARIDAD [0 3] PESO DEL R.N. [3 2 8 0]

FORMA DE TERMINACION DEL PARTO [0] LONGITUD DEL CORDON [4 5] APGAR-1 [0 9]

APGAR-5 [1 0] MORBILIDAD [0]

MADRE: PO_2 [- -] PCO_2 [- -] D.B. [- - -] HCO_3^- [- -] P^H [- - -]

FETO: ARTERIA. PO_2 [- -] PCO_2 [- -] D.B. [- - -] HCO_3^- [- -] P^H [- - -]

VENA. PO_2 [- -] PCO_2 [- -] D.B. [- - -] HCO_3^- [- -] P^H [- - -]

TIPO DE ACIDOSIS MATERNA [-] TIPO DE ACIDOSIS FETAL [-] Δ-P^H MADRE-FETO [- -]

Δ-P^H VENA UMBILICAL-ARTERIA UMBILICAL [- -] PROMEDIO DE ASCENSOS T. [4 7]

PROMEDIO DE ASCENSOS TRANSITORIOS QUE COINCIDEN CON LA CONTRACCION [0 4]

TAQUICARDIA [0] BRADICARDIA [0] VARIABILIDAD DE LA FCF [0 8] DIP-I [0 0]

DIP-II [0 0] TOTAL DIPS UMBILICALES [0 4] DIP-U [0 0] $DIP\text{-}U_p$ [0 0]

$DIP\text{-}U_t$ [0 0] $DIP\text{-}U_v$ [0 0] $DIP\text{-}U_{vp}$ [0 0] $DIP\text{-}U_{vt}$ [0 0] $DIP\text{-}U_\lambda$ [0 4]

$DIP\text{-}U_{\lambda p}$ [0 0] $DIP\text{-}U_{\lambda t}$ [0 0] DIP-V [0 0] $DIP\text{-}V_p$ [0 4]

$DIP\text{-}V_t$ [0 4] $DIP\text{-}V_b$ [0 0] NUMERO DE CONTRACCIONES [0 0 9]

NUMERO DE MINUTOS REGISTRADOS [0 6 3]

HOJA CODIFICADA PARA EL ESTUDIO DE LAS VARIACIONES CARDIOTOCOGRAFICAS ATRIBUIDAS A LAS CIRCULARES DEL CORDON UMBILICAL

NOMBRE Y APELLIDOS:

GRUPO ESTUDIADO [0] Nº DE Hª DE D.C. [1 0 2 0 8 7] Nº DE UCIP [1 7 6 5 0]

BOLSA [1] L.A. [2] NECONIO [1] SEMANA DE AMENORREA [3 7] SEXO [1]

VITALIDAD [0] EDAD MATERNA [2 1] PARIDAD [0 0] PESO DEL R.N. [3 4 7 0]

FORMA DE TERMINACION DEL PARTO [1] LONGITUD DEL CORDON [5 0] APGAR-1 [0 9]

APGAR-5 [1 0] MORBILIDAD [0]

MADRE: PO_2 [- -] PCO_2 [- -] D.B. [- - -] HCO_3^- [- -] P^H [- - - -]

FETO: ARTERIA. PO_2 [3 5] PCO_2 [3 6] D.B. [- 4] HCO_3^- [2 0] P^H [7 3 5]

VENA. PO_2 [7 7] PCO_2 [3 4] D.B. [- 2] HCO_3^- [2 2] P^H [7 4 0]

TIPO DE ACIDOSIS MATERNA [-] TIPO DE ACIDOSIS FETAL [0] Δ-P^H MADRE-FETO [- -]

Δ-P^H VENA UMBILICAL-ARTERIA UMBILICAL [0 5] PROMEDIO DE ASCENSOS ?. [4 6]

PROMEDIO DE ASCENSOS TRANSITORIOS QUE COINCIDEN CON LA CONTRACCION [1 3]

TAQUICARDIA [0] BRADICARDIA [0] VARIABILIDAD DE LA FCF [0 7] DIP-I [0 0]

DIP-II [0 0] TOTAL DIPS UMBILICALES [0 2] DIP-U [0 0] $DIP\text{-}U_p$ [0 0]

$DIP\text{-}U_t$ [0 0] $DIP\text{-}U_e$ [0 0] $DIP\text{-}U_{e'}$ [0 0] $DIP\text{-}U_{e'}$ [0 0] $DIP\text{-}U_2$ [0 2]

$DIP\text{-}U_{\lambda p}$ [0 0] $DIP\text{-}U_{\lambda t}$ [0 0] DIP-V [0 0] $DIP\text{-}V_p$ [0 0]

$DIP\text{-}V_t$ [0 0] $DIP\text{-}V_b$ [0 0] NUMERO DE CONTRACCIONES [0 3 0]

NUMERO DE MINUTOS REGISTRADOS [1 4 4]

HOJA CODIFICADA PARA EL ESTUDIO DE LAS VARIACIONES CARDIOTOCOGRAFICAS ATRIBUIDAS A LAS CIRCULARES DEL CORDON UMBILICAL

NOMBRE Y APELLIDOS:

GRUPO ESTUDIADO [0] Nº DE Hª DE D.C. [1 0 2 0 5 7] Nº DE UCIP [1 7 6 4 9]

BOLSA [0] L.A. [2] NECONIO [1] SEMANA DE AMENORREA [4 1] SEXO [1]

VITALIDAD [0] EDAD MATERNA [3 5] PARIDAD [0 2] PESO DEL R.N. [3 8 5 0]

FORMA DE TERMINACION DEL PARTO [0] LONGITUD DEL CORDON [6 0] APGAR-1 [0 9]

APGAR-5 [1 0] MORBILIDAD [0]

MADRE: PO_2 [8 1] PCO_2 [2 8] D.B. [- 9] HCO_3^- [1 5] P^H [7 3 6]

FETO: ARTERIA. PO_2 [1 4] PCO_2 [4 9] D.B. [- 5] HCO_3^- [2 1] P^H [7 2 3]

VENA. PO_2 [2 6] PCO_2 [3 6] D.B. [- 6] HCO_3^- [1 2] P^H [7 3 5]

TIPO DE ACIDOSIS MATERNA [0] TIPO DE ACIDOSIS FETAL [0] Δ-P^H MADRE-FETO [0 9]

Δ-P^H VENA UMBILICAL-ARTERIA UMBILICAL [1 2] PROMEDIO DE ASCENSOS ?. [0 7]

PROMEDIO DE ASCENSOS TRANSITORIOS QUE COINCIDEN CON LA CONTRACCION [0 3]

TAQUICARDIA [0] BRADICARDIA [0] VARIABILIDAD DE LA FCF [0 6] DIP-I [0 0]

DIP-II [0 0] TOTAL DIPS UMBILICALES [0 0] DIP-U [0 0] $DIP\text{-}U_p$ [0 0]

$DIP\text{-}U_t$ [0 0] $DIP\text{-}U_e$ [0 0] $DIP\text{-}U_{e'}$ [0 0] $DIP\text{-}U_{e'}$ [0 0] $DIP\text{-}U_2$ [0 0]

$DIP\text{-}U_{\lambda p}$ [0 0] $DIP\text{-}U_{\lambda t}$ [0 0] DIP-V [0 0] $DIP\text{-}V_p$ [0 3]

$DIP\text{-}V_t$ [0 0] $DIP\text{-}V_b$ [0 0] NUMERO DE CONTRACCIONES [0 5 3]

NUMERO DE MINUTOS REGISTRADOS [1 7 4]

HOJA CODIFICADA PARA EL ESTUDIO DE LAS VARIACIONES CARDIOTOCOGRAFICAS ATRIBUIDAS A LAS CIRCULARES DEL CORDON UMBILICAL

NOMBRE Y APELLIDOS:

GRUPO ESTUDIADO [0] Nº DE Hª DE D.C. [0 6 3 3 0 0] Nº DE UCIP [0 9 6 4 5]

BOLSA [1] L.A. [2] NECONIO [1] SEMANA DE AMENORREA [3 8] SEXO [0]

VITALIDAD [0] EDAD MATERNA [3 8] PARIDAD [0 0] PESO DEL R.N. [3 7 6 0]

FORMA DE TERMINACION DEL PARTO [0] LONGITUD DEL CORDON [5 0] APGAR-1 [0 9]

APGAR-5 [1 0] MORBILIDAD [0]

MADRE: PO_2 [7 9] PCO_2 [2 5] D.B. [- 6] HCO_3^- [1 5] P^H [7 4 2]

FETO: ARTERIA. PO_2 [1 7] PCO_2 [5 1] D.B. [- 3] HCO_3^- [2 3] P^H [7 2 8]

VENA. PO_2 [2 6] PCO_2 [4 3] D.B. [- 1] HCO_3^- [2 6] P^H [7 3 7]

TIPO DE ACIDOSIS MATERNA [0] TIPO DE ACIDOSIS FETAL [0] Δ-P^H MADRE-FETO [0 5]

Δ-P^H VENA UMBILICAL-ARTERIA UMBILICAL [0 9] PROMEDIO DE ASCENSOS ?. [4 2]

PROMEDIO DE ASCENSOS TRANSITORIOS QUE COINCIDEN CON LA CONTRACCION [1 8]

TAQUICARDIA [0] BRADICARDIA [0] VARIABILIDAD DE LA FCF [0 6] DIP-I [0 0]

DIP-II [0 0] TOTAL DIPS UMBILICALES [0 5] DIP-U [0 0] $DIP\text{-}U_p$ [0 0]

$DIP\text{-}U_t$ [0 0] $DIP\text{-}U_e$ [0 0] $DIP\text{-}U_{e'}$ [0 0] $DIP\text{-}U_{e'}$ [0 0] $DIP\text{-}U_2$ [0 0]

$DIP\text{-}U_{\lambda p}$ [0 0] $DIP\text{-}U_{\lambda t}$ [0 5] DIP-V [0 0] $DIP\text{-}V_p$ [0 0]

$DIP\text{-}V_t$ [0 0] $DIP\text{-}V_b$ [0 0] NUMERO DE CONTRACCIONES [0 2 2]

NUMERO DE MINUTOS REGISTRADOS [0 6 6]

HOJA CODIFICADA PARA EL ESTUDIO DE LAS VARIACIONES CARDIOTOCOGRAFICAS ATRIBUIDAS A LAS CIRCULARES DEL CORDON UMBILICAL

NOMBRE Y APELLIDOS:

GRUPO ESTUDIADO [0] Nº DE Hª DE D.C. [0 3 6 7 6 3] Nº DE UCIP [1 3 5 4 5]

BOLSA [0] L.A. [2] NECONIO [1] SEMANA DE AMENORREA [4 1] SEXO [1]

VITALIDAD [0] EDAD MATERNA [2 7] PARIDAD [0 1] PESO DEL R.N. [3 1 0 0]

FORMA DE TERMINACION DEL PARTO [0] LONGITUD DEL CORDON [5 0] APGAR-1 [0 9]

APGAR-5 [1 0] MORBILIDAD [0]

MADRE: PO_2 [8 0] PCO_2 [2 5] D.B. [- 8] HCO_3^- [1 4] P^H [7 3 6]

FETO: ARTERIA. PO_2 [1 3] PCO_2 [6 4] D.B. [- 6] HCO_3^- [2 4] P^H [7 1 9]

VENA. PO_2 [3 4] PCO_2 [3 4] D.B. [- 6] HCO_3^- [1 9] P^H [7 3 6]

TIPO DE ACIDOSIS MATERNA [0] TIPO DE ACIDOSIS FETAL [1] Δ-P^H MADRE-FETO [0 0]

Δ-P^H VENA UMBILICAL-ARTERIA UMBILICAL [1 7] PROMEDIO DE ASCENSOS ?. [8 0]

PROMEDIO DE ASCENSOS TRANSITORIOS QUE COINCIDEN CON LA CONTRACCION [0 0]

TAQUICARDIA [0] BRADICARDIA [0] VARIABILIDAD DE LA FCF [1 0] DIP-I [0 0]

DIP-II [0 0] TOTAL DIPS UMBILICALES [1 6] DIP-U [0 0] $DIP\text{-}U_p$ [0 0]

$DIP\text{-}U_t$ [0 0] $DIP\text{-}U_e$ [0 0] $DIP\text{-}U_{e'}$ [0 0] $DIP\text{-}U_{e'}$ [0 0] $DIP\text{-}U_2$ [1 6]

$DIP\text{-}U_{\lambda p}$ [0 0] $DIP\text{-}U_{\lambda t}$ [0 0] DIP-V [0 0] $DIP\text{-}V_p$ [0 0]

$DIP\text{-}V_t$ [0 0] $DIP\text{-}V_b$ [0 0] NUMERO DE CONTRACCIONES [0 2 0]

NUMERO DE MINUTOS REGISTRADOS [1 8 3]

HOJA CODIFICADA PARA EL ESTUDIO DE LAS VARIACIONES CARDIOTOCOGRAFICAS ATRIBUIDAS A LAS CIRCULARES DEL CORDON UMBILICAL

NOMBRE Y APELLIDOS:

GRUPO ESTUDIADO 1: 0 | Nº DE Hª DE D.C. 2 3 4 5 6 7: 0 6 0 9 8 5 | Nº DE UCIP 8 9 10 11 12: 1 2 2 0 5

BOLSA 13: 0 | L.A. 14: 1 | MECONIO 15: 2 | SEMANA DE AMENORREA 16 17: 4 0 | SEXO 18: 0

VITALIDAD 19: 0 | EDAD MATERNA 20 21: 3 4 | PARIDAD 22 23: 0 4 | PESO DEL R.N. 24 25 26 27: 3 8 4 0

FORMA DE TERMINACION DEL PARTO 28: 0 | LONGITUD DEL CORDON 29 30: 7 2 | APGAR-1 31 32: 0 9

APGAR-5 33 34: 1 0 | MORBILIDAD 35: 0

MADRE: PO_2 36 37: 9 3 | PCO_2 38 39: 1 9 | D.B. 40 41 42: - 1 0 | HCO_3^- 43 44: 1 1 | P^H 45 46 47: 7 4 5

FETO: ARTERIA. PO_2 48 49: 1 9 | PCO_2 50 51: 5 2 | D.B. 52 53 54: - 2 | HCO_3^- 55 56: 2 8 | P^H 57 58 59: 7 3 0

VENA. PO_2 60 61: 2 9 | PCO_2 62 63: 4 5 | D.B. 64 65 66: - 1 7 | HCO_3^- 67 68: 2 3 | P^H 69 70 71: 7 3 7

TIPO DE ACIDOSIS MATERNA 72: 0 | TIPO DE ACIDOSIS FETAL 73: 0 | Δ-P^H MADRE-FETO 74 75: 0 8

Δ-P^H VENA UMBILICAL-ARTERIA UMBILICAL 76 77: 0 7 | PROMEDIO DE ASCENSOS ?. 78 79: 0 0

PROMEDIO DE ASCENSOS TRANSITORIOS QUE COINCIDEN CON LA CONTRACCION 80 81: 0 0

TAQUICARDIA 82: 1 | BRADICARDIA 83: 0 | VARIABILIDAD DE LA FCF 84 85: 0 8 | DIP-I 86 87: 0 0

DIP-II 88 89: 0 0 | TOTAL DIPS UMBILICALES 90 91: 0 3 | DIP-U 92 93: 0 0 | $DIP\text{-}U_p$ 94 95: 0 0

$DIP\text{-}U_t$ 96 97: 0 3 | $DIP\text{-}U_v$ 98 99: 0 0 | $DIP\text{-}U_{vp}$ 100 101: 0 0 | $DIP\text{-}U_{vt}$ 102 103: 0 0 | $DIP\text{-}U_\lambda$ 104 105: 0 0

$DIP\text{-}U_{\lambda p}$ 106 107: 0 0 | $DIP\text{-}U_{\lambda t}$ 108 109: 0 0 | DIP-V 110 111: 0 3 | $DIP\text{-}V_p$ 112 113: 0 0

$DIP\text{-}V_t$ 114 115: 1 6 | $DIP\text{-}V_b$ 116 117: 0 5 | NUMERO DE CONTRACCIONES 118 119 120: 0 3 3

NUMERO DE MINUTOS REGISTRADOS 121 122 123: 1 1 0

HOJA CODIFICADA PARA EL ESTUDIO DE LAS VARIACIONES CARDIOTOCOGRAFICAS ATRIBUIDAS A LAS CIRCULARES DEL CORDON UMBILICAL

NOMBRE Y APELLIDOS:

GRUPO ESTUDIADO 1: 0 | Nº DE Hª DE D.C. 2 3 4 5 6 7: 0 3 7 8 6 5 | Nº DE UCIP 8 9 10 11 12: 1 7 2 9 3

BOLSA 13: 0 | L.A. 14: 3 | MECONIO 15: 2 | SEMANA DE AMENORREA 16 17: 4 1 | SEXO 18: 0

VITALIDAD 19: 0 | EDAD MATERNA 20 21: 3 0 | PARIDAD 22 23: 0 2 | PESO DEL R.N. 24 25 26 27: 3 5 1 0

FORMA DE TERMINACION DEL PARTO 28: 1 | LONGITUD DEL CORDON 29 30: 6 5 | APGAR-1 31 32: 0 9

APGAR-5 33 34: 1 0 | MORBILIDAD 35: 0

MADRE: PO_2 36 37: 3 9 | PCO_2 38 39: 2 2 | D.B. 40 41 42: - 1 7 | HCO_3^- 43 44: 1 4 | P^H 45 46 47: 7 4 2

FETO: ARTERIA. PO_2 48 49: 0 2 | PCO_2 50 51: 6 2 | D.B. 52 53 54: - 5 | HCO_3^- 55 56: 2 5 | P^H 57 58 59: 7 2 1

VENA. PO_2 60 61: 1 4 | PCO_2 62 63: 4 4 | D.B. 64 65 66: - 1 7 | HCO_3^- 67 68: 2 0 | P^H 69 70 71: 7 2 6

TIPO DE ACIDOSIS MATERNA 72: 0 | TIPO DE ACIDOSIS FETAL 73: 0 | Δ-P^H MADRE-FETO 74 75: 1 6

Δ-P^H VENA UMBILICAL-ARTERIA UMBILICAL 76 77: 0 5 | PROMEDIO DE ASCENSOS ?. 78 79: 2 9

PROMEDIO DE ASCENSOS TRANSITORIOS QUE COINCIDEN CON LA CONTRACCION 80 81: 0 0

TAQUICARDIA 82: 0 | BRADICARDIA 83: 0 | VARIABILIDAD DE LA FCF 84 85: 1 0 | DIP-I 86 87: 0 0

DIP-II 88 89: 0 0 | TOTAL DIPS UMBILICALES 90 91: 0 2 | DIP-U 92 93: 0 0 | $DIP\text{-}U_p$ 94 95: 0 0

$DIP\text{-}U_t$ 96 97: 0 0 | $DIP\text{-}U_v$ 98 99: 0 0 | $DIP\text{-}U_{vp}$ 100 101: 0 0 | $DIP\text{-}U_{vt}$ 102 103: 0 0 | $DIP\text{-}U_\lambda$ 104 105: 0 2

$DIP\text{-}U_{\lambda p}$ 106 107: 0 0 | $DIP\text{-}U_{\lambda t}$ 108 109: 0 0 | DIP-V 110 111: 0 0 | $DIP\text{-}V_p$ 112 113: 0 0

$DIP\text{-}V_t$ 114 115: 0 0 | $DIP\text{-}V_b$ 116 117: 0 0 | NUMERO DE CONTRACCIONES 118 119 120: 0 0 0

NUMERO DE MINUTOS REGISTRADOS 121 122 123: 1 2 3

HOJA CODIFICADA PARA EL ESTUDIO DE LAS VARIACIONES CARDIOTOCOGRAFICAS ATRIBUIDAS A LAS CIRCULARES DEL CORDON UMBILICAL

NOMBRE Y APELLIDOS:

GRUPO ESTUDIADO 1: 0 | Nº DE Hª DE D.C. 2 3 4 5 6 7: 0 5 7 2 3 6 | Nº DE UCIP 8 9 10 11 12: 0 8 7 0 7

BOLSA 13: 1 | L.A. 14: 2 | MECONIO 15: 1 | SEMANA DE AMENORREA 16 17: 3 9 | SEXO 18: 1

VITALIDAD 19: 0 | EDAD MATERNA 20 21: 2 8 | PARIDAD 22 23: 0 1 | PESO DEL R.N. 24 25 26 27: 3 5 6 0

FORMA DE TERMINACION DEL PARTO 28: 0 | LONGITUD DEL CORDON 29 30: 6 0 | APGAR-1 31 32: 0 9

APGAR-5 33 34: 1 0 | MORBILIDAD 35: 0

MADRE: PO_2 36 37: 6 2 | PCO_2 38 39: 3 5 | D.B. 40 41 42: - 1 8 | HCO_3^- 43 44: 1 7 | P^H 45 46 47: 7 3 0

FETO: ARTERIA. PO_2 48 49: 1 3 | PCO_2 50 51: 7 5 | D.B. 52 53 54: - 5 | HCO_3^- 55 56: 2 7 | P^H 57 58 59: 7 1 6

VENA. PO_2 60 61: 2 9 | PCO_2 62 63: 4 9 | D.B. 64 65 66: - 1 4 | HCO_3^- 67 68: 2 3 | P^H 69 70 71: 7 2 8

TIPO DE ACIDOSIS MATERNA 72: 0 | TIPO DE ACIDOSIS FETAL 73: 1 | Δ-P^H MADRE-FETO 74 75: 0 2

Δ-P^H VENA UMBILICAL-ARTERIA UMBILICAL 76 77: 1 2 | PROMEDIO DE ASCENSOS ?. 78 79: 0 9

PROMEDIO DE ASCENSOS TRANSITORIOS QUE COINCIDEN CON LA CONTRACCION 80 81: 0 0

TAQUICARDIA 82: 0 | BRADICARDIA 83: 0 | VARIABILIDAD DE LA FCF 84 85: 0 3 | DIP-I 86 87: 0 0

DIP-II 88 89: 0 0 | TOTAL DIPS UMBILICALES 90 91: 0 9 | DIP-U 92 93: 0 0 | $DIP\text{-}U_p$ 94 95: 0 0

$DIP\text{-}U_t$ 96 97: 0 0 | $DIP\text{-}U_v$ 98 99: 0 0 | $DIP\text{-}U_{vp}$ 100 101: 0 0 | $DIP\text{-}U_{vt}$ 102 103: 0 0 | $DIP\text{-}U_\lambda$ 104 105: 0 9

$DIP\text{-}U_{\lambda p}$ 106 107: 0 0 | $DIP\text{-}U_{\lambda t}$ 108 109: 0 0 | DIP-V 110 111: 0 0 | $DIP\text{-}V_p$ 112 113: 0 0

$DIP\text{-}V_t$ 114 115: 0 0 | $DIP\text{-}V_b$ 116 117: 0 0 | NUMERO DE CONTRACCIONES 118 119 120: 0 0 5

NUMERO DE MINUTOS REGISTRADOS 121 122 123: 0 7 0

HOJA CODIFICADA PARA EL ESTUDIO DE LAS VARIACIONES CARDIOTOCOGRAFICAS ATRIBUIDAS A LAS CIRCULARES DEL CORDON UMBILICAL

NOMBRE Y APELLIDOS:

GRUPO ESTUDIADO 1: 0 | Nº DE Hª DE D.C. 2 3 4 5 6 7: 0 8 4 7 8 9 | Nº DE UCIP 8 9 10 11 12: 1 3 2 3 2

BOLSA 13: 0 | L.A. 14: 0 | MECONIO 15: 2 | SEMANA DE AMENORREA 16 17: 4 4 | SEXO 18: 1

VITALIDAD 19: 0 | EDAD MATERNA 20 21: 2 3 | PARIDAD 22 23: 0 0 | PESO DEL R.N. 24 25 26 27: 3 1 2 0

FORMA DE TERMINACION DEL PARTO 28: 1 | LONGITUD DEL CORDON 29 30: 3 5 | APGAR-1 31 32: 0 9

APGAR-5 33 34: 1 0 | MORBILIDAD 35: 0

MADRE: PO_2 36 37: 8 7 | PCO_2 38 39: 2 7 | D.B. 40 41 42: - 1 5 | HCO_3^- 43 44: 1 7 | P^H 45 46 47: 7 4 2

FETO: ARTERIA. PO_2 48 49: 1 9 | PCO_2 50 51: 7 5 | D.B. 52 53 54: - 8 | HCO_3^- 55 56: 2 4 | P^H 57 58 59: 7 1 0

VENA. PO_2 60 61: 2 8 | PCO_2 62 63: 5 2 | D.B. 64 65 66: - 1 7 | HCO_3^- 67 68: 2 8 | P^H 69 70 71: 7 2 2

TIPO DE ACIDOSIS MATERNA 72: 0 | TIPO DE ACIDOSIS FETAL 73: 3 | Δ-P^H MADRE-FETO 74 75: 2 0

Δ-P^H VENA UMBILICAL-ARTERIA UMBILICAL 76 77: 1 2 | PROMEDIO DE ASCENSOS ?. 78 79: 5 9

PROMEDIO DE ASCENSOS TRANSITORIOS QUE COINCIDEN CON LA CONTRACCION 80 81: 0 0

TAQUICARDIA 82: 0 | BRADICARDIA 83: 0 | VARIABILIDAD DE LA FCF 84 85: 0 7 | DIP-I 86 87: 0 0

DIP-II 88 89: 0 0 | TOTAL DIPS UMBILICALES 90 91: 0 5 | DIP-U 92 93: 0 0 | $DIP\text{-}U_p$ 94 95: 0 0

$DIP\text{-}U_t$ 96 97: 0 0 | $DIP\text{-}U_v$ 98 99: 0 0 | $DIP\text{-}U_{vp}$ 100 101: 0 0 | $DIP\text{-}U_{vt}$ 102 103: 0 0 | $DIP\text{-}U_\lambda$ 104 105: 0 5

$DIP\text{-}U_{\lambda p}$ 106 107: 0 0 | $DIP\text{-}U_{\lambda t}$ 108 109: 0 0 | DIP-V 110 111: 0 0 | $DIP\text{-}V_p$ 112 113: 0 0

$DIP\text{-}V_t$ 114 115: 0 5 | $DIP\text{-}V_b$ 116 117: 0 0 | NUMERO DE CONTRACCIONES 118 119 120: 0 0 1

NUMERO DE MINUTOS REGISTRADOS 121 122 123: 0 6 6

HOJA CODIFICADA PARA EL ESTUDIO DE LAS VARIACIONES CARDIOTOCOGRAFICAS ATRIBUIDAS A LAS CIRCULARES DEL CORDON UMBILICAL

NOMBRE Y APELLIDOS:

GRUPO ESTUDIADO [0] Nº DE Hª DE P.C. [0938336] Nº DE UCIP [15506]

BOLSA [1] L.A. [2] MECONIO [2] SEMANA DE AMENORREA [42] SEXO [0]

VITALIDAD [0] EDAD MATERNA [39] PARIDAD [05] PESO DEL R.N. [2930]

FORMA DE TERMINACION DEL PARTO [1] LONGITUD DEL CORDON [65] APGAR-1 [09]

APGAR-5 [09] MORBILIDAD [0]

MADRE: PO_2 [80] PCO_2 [26] D.B. [-14] HCO_3^- [17] P^H [7345]

FETO: ARTERIA. PO_2 [--] PCO_2 [--] D.B. [----] HCO_3^- [--] P^H [----]

VENA. PO_2 [26] PCO_2 [96] D.B. [-17] HCO_3^- [16] P^H [7339]

TIPO DE ACIDOSIS MATERNA [0] TIPO DE ACIDOSIS FETAL [0] Δ-P^H MADRE-FETO [06]

Δ-P^H VENA UMBILICAL-ARTERIA UMBILICAL [--] PROMEDIO DE ASCENSOS ?. [05]

PROMEDIO DE ASCENSOS TRANSITORIOS QUE COINCIDEN CON LA CONTRACCION [013]

TAQUICARDIA [0] BRADICARDIA [0] VARIABILIDAD DE LA FCF [05] DIP-I [00]

DIP-II [00] TOTAL DIPS UMBILICALES [33] DIP-U [01] $DIP\text{-}U_p$ [22]

$DIP\text{-}U_t$ [011] $DIP\text{-}U_e$ [011] $DIP\text{-}U_{ep}$ [000] $DIP\text{-}U_{et}$ [000] $DIP\text{-}U_\lambda$ [006]

$DIP\text{-}U_{\lambda p}$ [011] $DIP\text{-}U_{\lambda t}$ [000] DIP-V [000] $DIP\text{-}V_p$ [000]

$DIP\text{-}V_t$ [011] $DIP\text{-}V_b$ [000] NUMERO DE CONTRACCIONES [046]

NUMERO DE MINUTOS REGISTRADOS [258]

HOJA CODIFICADA PARA EL ESTUDIO DE LAS VARIACIONES CARDIOTOCOGRAFICAS ATRIBUIDAS A LAS CIRCULARES DEL CORDON UMBILICAL

NOMBRE Y APELLIDOS:

GRUPO ESTUDIADO [0] Nº DE Hª DE P.C. [0593800] Nº DE UCIP [09038]

BOLSA [0] L.A. [1] MECONIO [2] SEMANA DE AMENORREA [42] SEXO [0]

VITALIDAD [0] EDAD MATERNA [35] PARIDAD [06] PESO DEL R.N. [3370]

FORMA DE TERMINACION DEL PARTO [0] LONGITUD DEL CORDON [60] APGAR-1 [09]

APGAR-5 [10] MORBILIDAD [0]

MADRE: PO_2 [98] PCO_2 [29] D.B. [-16] HCO_3^- [17] P^H [7389]

FETO: ARTERIA. PO_2 [27] PCO_2 [68] D.B. [-14] HCO_3^- [26] P^H [7320]

VENA. PO_2 [44] PCO_2 [40] D.B. [-12] HCO_3^- [22] P^H [7337]

TIPO DE ACIDOSIS MATERNA [0] TIPO DE ACIDOSIS FETAL [1] Δ-P^H MADRE-FETO [02]

Δ-P^H VENA UMBILICAL-ARTERIA UMBILICAL [17] PROMEDIO DE ASCENSOS ?. [31]

PROMEDIO DE ASCENSOS TRANSITORIOS QUE COINCIDEN CON LA CONTRACCION [117]

TAQUICARDIA [0] BRADICARDIA [0] VARIABILIDAD DE LA FCF [07] DIP-I [00]

DIP-II [00] TOTAL DIPS UMBILICALES [03] DIP-U [00] $DIP\text{-}U_p$ [00]

$DIP\text{-}U_t$ [00] $DIP\text{-}U_e$ [00] $DIP\text{-}U_{ep}$ [000] $DIP\text{-}U_{et}$ [000] $DIP\text{-}U_\lambda$ [01]

$DIP\text{-}U_{\lambda p}$ [016] $DIP\text{-}U_{\lambda t}$ [011] DIP-V [000] $DIP\text{-}V_p$ [000]

$DIP\text{-}V_t$ [000] $DIP\text{-}V_b$ [000] NUMERO DE CONTRACCIONES [183]

NUMERO DE MINUTOS REGISTRADOS [619]

HOJA CODIFICADA PARA EL ESTUDIO DE LAS VARIACIONES CARDIOTOCOGRAFICAS ATRIBUIDAS A LAS CIRCULARES DEL CORDON UMBILICAL

NOMBRE Y APELLIDOS:

GRUPO ESTUDIADO [0] Nº DE Hª DE P.C. [0611146] Nº DE UCIP [09299]

BOLSA [1] L.A. [3] MECONIO [0] SEMANA DE AMENORREA [40] SEXO [1]

VITALIDAD [0] EDAD MATERNA [22] PARIDAD [00] PESO DEL R.N. [3360]

FORMA DE TERMINACION DEL PARTO [0] LONGITUD DEL CORDON [55] APGAR-1 [09]

APGAR-5 [10] MORBILIDAD [0]

MADRE: PO_2 [96] PCO_2 [26] D.B. [-10] HCO_3^- [14] P^H [7334]

FETO: ARTERIA. PO_2 [26] PCO_2 [60] D.B. [-11] HCO_3^- [20] P^H [7314]

VENA. PO_2 [38] PCO_2 [37] D.B. [-9] HCO_3^- [17] P^H [7329]

TIPO DE ACIDOSIS MATERNA [0] TIPO DE ACIDOSIS FETAL [3] Δ-P^H MADRE-FETO [05]

Δ-P^H VENA UMBILICAL-ARTERIA UMBILICAL [15] PROMEDIO DE ASCENSOS ?. [26]

PROMEDIO DE ASCENSOS TRANSITORIOS QUE COINCIDEN CON LA CONTRACCION [03]

TAQUICARDIA [0] BRADICARDIA [0] VARIABILIDAD DE LA FCF [07] DIP-I [00]

DIP-II [00] TOTAL DIPS UMBILICALES [08] DIP-U [00] $DIP\text{-}U_p$ [00]

$DIP\text{-}U_t$ [00] $DIP\text{-}U_e$ [00] $DIP\text{-}U_{ep}$ [000] $DIP\text{-}U_{et}$ [000] $DIP\text{-}U_\lambda$ [06]

$DIP\text{-}U_{\lambda p}$ [002] $DIP\text{-}U_{\lambda t}$ [000] DIP-V [000] $DIP\text{-}V_p$ [000]

$DIP\text{-}V_t$ [000] $DIP\text{-}V_b$ [000] NUMERO DE CONTRACCIONES [030]

NUMERO DE MINUTOS REGISTRADOS [258]

HOJA CODIFICADA PARA EL ESTUDIO DE LAS VARIACIONES CARDIOTOCOGRAFICAS ATRIBUIDAS A LAS CIRCULARES DEL CORDON UMBILICAL

NOMBRE Y APELLIDOS:

GRUPO ESTUDIADO [0] Nº DE Hª DE P.C. [0801211] Nº DE UCIP [12563]

BOLSA [0] L.A. [2] MECONIO [2] SEMANA DE AMENORREA [43] SEXO [0]

VITALIDAD [0] EDAD MATERNA [23] PARIDAD [00] PESO DEL R.N. [4100]

FORMA DE TERMINACION DEL PARTO [0] LONGITUD DEL CORDON [60] APGAR-1 [09]

APGAR-5 [10] MORBILIDAD [0]

MADRE: PO_2 [76] PCO_2 [26] D.B. [-15] HCO_3^- [16] P^H [7342]

FETO: ARTERIA. PO_2 [14] PCO_2 [64] D.B. [-15] HCO_3^- [24] P^H [7319]

VENA. PO_2 [28] PCO_2 [41] D.B. [-15] HCO_3^- [21] P^H [7332]

TIPO DE ACIDOSIS MATERNA [0] TIPO DE ACIDOSIS FETAL [1] Δ-P^H MADRE-FETO [10]

Δ-P^H VENA UMBILICAL-ARTERIA UMBILICAL [13] PROMEDIO DE ASCENSOS ?. [00]

PROMEDIO DE ASCENSOS TRANSITORIOS QUE COINCIDEN CON LA CONTRACCION [00]

TAQUICARDIA [0] BRADICARDIA [0] VARIABILIDAD DE LA FCF [10] DIP-I [00]

DIP-II [00] TOTAL DIPS UMBILICALES [01] DIP-U [00] $DIP\text{-}U_p$ [00]

$DIP\text{-}U_t$ [00] $DIP\text{-}U_e$ [00] $DIP\text{-}U_{ep}$ [000] $DIP\text{-}U_{et}$ [000] $DIP\text{-}U_\lambda$ [01]

$DIP\text{-}U_{\lambda p}$ [000] $DIP\text{-}U_{\lambda t}$ [000] DIP-V [000] $DIP\text{-}V_p$ [000]

$DIP\text{-}V_t$ [000] $DIP\text{-}V_b$ [000] NUMERO DE CONTRACCIONES [032]

NUMERO DE MINUTOS REGISTRADOS [255]

HOJA CODIFICADA PARA EL ESTUDIO DE LAS VARIACIONES CARDIOTOCOGRAFICAS ATRIBUIDAS A LAS CIRCULARES DEL CORDON UMBILICAL

NOMBRE Y APELLIDOS:

GRUPO ESTUDIADO [0] Nº DE Hª DE D.C. [0 7 3 6 0 2] Nº DE UCIP [1 1 3 6 6]

BOLSA [2] L.A. [0] MECONIO [1] SEMANA DE AMENORREA [3 6] SEXO [1]

VITALIDAD [0] EDAD MATERNA [3 9] PARIDAD [0 0] PESO DEL R.N. [3 1 4 0]

FORMA DE TERMINACION DEL PARTO [4] LONGITUD DEL CORDON [5 0] APGAR-1 [0 9]

APGAR-5 [1 0] MORBILIDAD [0]

MADRE: PO_2 [2 2] PCO_2 [3 1] D.B. [- 1 2] HCO_3^- [1 1] P^H [7 3 4]

FETO: ARTERIA. PO_2 [1 9] PCO_2 [4 9] D.B. [- 1 5] HCO_3^- [2 2] P^H [7 2 8]

VENA. PO_2 [4 6] PCO_2 [2 6] D.B. [- 1 0] HCO_3^- [1 3] P^H [7 3 3]

TIPO DE ACIDOSIS MATERNA [0] TIPO DE ACIDOSIS FETAL [0] Δ-P^H MADRE-FETO [0 1]

Δ-P^H VENA UMBILICAL-ARTERIA UMBILICAL [0 5] PROMEDIO DE ASCENSOS ?. [2 8]

PROMEDIO DE ASCENSOS TRANSITORIOS QUE COINCIDEN CON LA CONTRACCION [1 4]

TAQUICARDIA [0] BRADICARDIA [0] VARIABILIDAD DE LA FCF [0 7] DIP-I [0 0]

DIP-II [0 0] TOTAL DIPS UMBILICALES [0 1] DIP-U [0 0] $DIP\text{-}U_p$ [0 0]

$DIP\text{-}U_t$ [0 0] $DIP\text{-}U_a$ [0 0] $DIP\text{-}U_{ap}$ [0 0] $DIP\text{-}U_{at}$ [0 0] $DIP\text{-}U_\lambda$ [0 0]

$DIP\text{-}U_{\lambda p}$ [0 0] $DIP\text{-}U_{\lambda t}$ [0 0] DIP-V [0 0] $DIP\text{-}V_p$ [0 0]

$DIP\text{-}V_t$ [0 0] $DIP\text{-}V_b$ [0 0] NUMERO DE CONTRACCIONES [2 2 5]

NUMERO DE MINUTOS REGISTRADOS [7 8 3]

HOJA CODIFICADA PARA EL ESTUDIO DE LAS VARIACIONES CARDIOTOCOGRAFICAS ATRIBUIDAS A LAS CIRCULARES DEL CORDON UMBILICAL

NOMBRE Y APELLIDOS:

GRUPO ESTUDIADO [0] Nº DE Hª DE D.C. [0 3 3 8 1 9] Nº DE UCIP [1 1 1 0 2]

BOLSA [0] L.A. [2] MECONIO [1] SEMANA DE AMENORREA [3 8] SEXO [0]

VITALIDAD [0] EDAD MATERNA [2 5] PARIDAD [0 1] PESO DEL R.N. [2 7 8 0]

FORMA DE TERMINACION DEL PARTO [1] LONGITUD DEL CORDON [5 0] APGAR-1 [0 9]

APGAR-5 [1 0] MORBILIDAD [0]

MADRE: PO_2 [- -] PCO_2 [- -] D.B. [- - -] HCO_3^- [- -] P^H [7 3 9]

FETO: ARTERIA. PO_2 [- -] PCO_2 [- -] D.B. [- - -] HCO_3^- [- -] P^H [7 2 7]

VENA. PO_2 [- -] PCO_2 [- -] D.B. [- - -] HCO_3^- [- -] P^H [7 3 7]

TIPO DE ACIDOSIS MATERNA [-] TIPO DE ACIDOSIS FETAL [-] Δ-P^H MADRE-FETO [1 2]

Δ-P^H VENA UMBILICAL-ARTERIA UMBILICAL [1 0] PROMEDIO DE ASCENSOS ?. [2 8]

PROMEDIO DE ASCENSOS TRANSITORIOS QUE COINCIDEN CON LA CONTRACCION [1 3]

TAQUICARDIA [0] BRADICARDIA [0] VARIABILIDAD DE LA FCF [0 9] DIP-I [0 0]

DIP-II [0 0] TOTAL DIPS UMBILICALES [0 4] DIP-U [0 0] $DIP\text{-}U_p$ [0 0]

$DIP\text{-}U_t$ [0 0] $DIP\text{-}U_a$ [0 0] $DIP\text{-}U_{ap}$ [0 0] $DIP\text{-}U_{at}$ [0 0] $DIP\text{-}U_\lambda$ [0 0]

$DIP\text{-}U_{\lambda p}$ [0 2] $DIP\text{-}U_{\lambda t}$ [0 2] DIP-V [0 2] $DIP\text{-}V_p$ [0 0]

$DIP\text{-}V_t$ [0 0] $DIP\text{-}V_b$ [0 0] NUMERO DE CONTRACCIONES [0 4 4]

NUMERO DE MINUTOS REGISTRADOS [1 6 0]

HOJA CODIFICADA PARA EL ESTUDIO DE LAS VARIACIONES CARDIOTOCOGRAFICAS ATRIBUIDAS A LAS CIRCULARES DEL CORDON UMBILICAL

NOMBRE Y APELLIDOS:

GRUPO ESTUDIADO [0] Nº DE Hª DE D.C. [0 1 3 4 8 5] Nº DE UCIP [1 3 0 8 2]

BOLSA [0] L.A. [2] MECONIO [2] SEMANA DE AMENORREA [3 8] SEXO [1]

VITALIDAD [0] EDAD MATERNA [3 9] PARIDAD [0 2] PESO DEL R.N. [3 4 3 0]

FORMA DE TERMINACION DEL PARTO [0] LONGITUD DEL CORDON [5 5] APGAR-1 [0 9]

APGAR-5 [1 0] MORBILIDAD [0]

MADRE: PO_2 [7 0] PCO_2 [9 5] D.B. [- - 5] HCO_3^- [1 8] P^H [7 4 4]

FETO: ARTERIA. PO_2 [2 0] PCO_2 [3 0] D.B. [- - 1] HCO_3^- [2 6] P^H [7 3 1]

VENA. PO_2 [3 4] PCO_2 [5 2] D.B. [- - 2] HCO_3^- [2 1] P^H [7 4 3]

TIPO DE ACIDOSIS MATERNA [0] TIPO DE ACIDOSIS FETAL [0] Δ-P^H MADRE-FETO [0 1]

Δ-P^H VENA UMBILICAL-ARTERIA UMBILICAL [1 2] PROMEDIO DE ASCENSOS ?. [2 0]

PROMEDIO DE ASCENSOS TRANSITORIOS QUE COINCIDEN CON LA CONTRACCION [0 0]

TAQUICARDIA [0] BRADICARDIA [0] VARIABILIDAD DE LA FCF [0 8] DIP-I [0 0]

DIP-II [0 0] TOTAL DIPS UMBILICALES [2 0] DIP-U [0 0] $DIP\text{-}U_p$ [0 0]

$DIP\text{-}U_t$ [0 0] $DIP\text{-}U_a$ [0 0] $DIP\text{-}U_{ap}$ [0 0] $DIP\text{-}U_{at}$ [0 0] $DIP\text{-}U_\lambda$ [1 6]

$DIP\text{-}U_{\lambda p}$ [0 4] $DIP\text{-}U_{\lambda t}$ [0 0] DIP-V [0 0] $DIP\text{-}V_p$ [0 4]

$DIP\text{-}V_t$ [0 0] $DIP\text{-}V_b$ [0 0] NUMERO DE CONTRACCIONES [0 1 9]

NUMERO DE MINUTOS REGISTRADOS [0 7 5]

HOJA CODIFICADA PARA EL ESTUDIO DE LAS VARIACIONES CARDIOTOCOGRAFICAS ATRIBUIDAS A LAS CIRCULARES DEL CORDON UMBILICAL

NOMBRE Y APELLIDOS:

GRUPO ESTUDIADO [0] Nº DE Hª DE D.C. [1 0 1 4 8 8] Nº DE UCIP [1 7 4 4 2]

BOLSA [0] L.A. [0] MECONIO [1] SEMANA DE AMENORREA [4 0] SEXO [1]

VITALIDAD [0] EDAD MATERNA [4 0] PARIDAD [0 0] PESO DEL R.N. [2 7 2 0]

FORMA DE TERMINACION DEL PARTO [0] LONGITUD DEL CORDON [5 0] APGAR-1 [0 9]

APGAR-5 [1 0] MORBILIDAD [0]

MADRE: PO_2 [7 2] PCO_2 [2 0] D.B. [- - 6] HCO_3^- [1 4] P^H [7 4 8]

FETO: ARTERIA. PO_2 [1 3] PCO_2 [4 0] D.B. [- - 3] HCO_3^- [2 2] P^H [7 3 6]

VENA. PO_2 [1 9] PCO_2 [2 9] D.B. [- - 5] HCO_3^- [1 8] P^H [7 4 1]

TIPO DE ACIDOSIS MATERNA [0] TIPO DE ACIDOSIS FETAL [0] Δ-P^H MADRE-FETO [0 7]

Δ-P^H VENA UMBILICAL-ARTERIA UMBILICAL [0 5] PROMEDIO DE ASCENSOS ?. [0 8]

PROMEDIO DE ASCENSOS TRANSITORIOS QUE COINCIDEN CON LA CONTRACCION [0 2]

TAQUICARDIA [0] BRADICARDIA [0] VARIABILIDAD DE LA FCF [0 5] DIP-I [0 0]

DIP-II [0 0] TOTAL DIPS UMBILICALES [0 2] DIP-U [0 0] $DIP\text{-}U_p$ [0 0]

$DIP\text{-}U_t$ [0 0] $DIP\text{-}U_a$ [0 0] $DIP\text{-}U_{ap}$ [0 0] $DIP\text{-}U_{at}$ [0 0] $DIP\text{-}U_\lambda$ [0 2]

$DIP\text{-}U_{\lambda p}$ [0 0] $DIP\text{-}U_{\lambda t}$ [0 0] DIP-V [0 0] $DIP\text{-}V_p$ [0 0]

$DIP\text{-}V_t$ [0 0] $DIP\text{-}V_b$ [0 0] NUMERO DE CONTRACCIONES [0 1 8]

NUMERO DE MINUTOS REGISTRADOS [1 5 0]

HOJA CODIFICADA PARA EL ESTUDIO DE LAS VARIACIONES CARDIOTOCOGRAFICAS ATRIBUIDAS A LAS CIRCULARES DEL CORDON UMBILICAL

NOMBRE Y APELLIDOS:

GRUPO ESTUDIADO [0] Nº DE Hª DE D.C. [0 8 0 7 8 2] Nº DE UCIP [1 2 7 5 7]

BOLSA [1] L.A. [0] MECONIO [1] SEMANA DE AMENORREA [4 0] SEXO [0]

VITALIDAD [0] EDAD MATERNA [2 3] PARIDAD [0 0] PESO DEL R.N. [2 9 5 0]

FORMA DE TERMINACION DEL PARTO [0] LONGITUD DEL CORDON [4 5] APGAR-1 [0 9]

APGAR-5 [1 0] MORBILIDAD [0]

MADRE: PO_2 [1 6] PCO_2 [1 8] D.B. [- 1 7] HCO_3^- [1 2] P^H [7 4 8]

FETO: ARTERIA. PO_2 [1 4] PCO_2 [3 3] D.B. [- 3] HCO_3^- [2 0] P^H [7 4 0]

VENA. PO_2 [2 2] PCO_2 [2 2] D.B. [- 4] HCO_3^- [1 6] P^H [7 4 8]

TIPO DE ACIDOSIS MATERNA [0] TIPO DE ACIDOSIS FETAL [0] Δ-P^H MADRE-FETO [0 0]

Δ-P^H VENA UMBILICAL-ARTERIA UMBILICAL [0 8] PROMEDIO DE ASCENSOS ?. [1 2]

PROMEDIO DE ASCENSOS TRANSITORIOS QUE COINCIDEN CON LA CONTRACCION [0 2]

TAQUICARDIA [0] BRADICARDIA [0] VARIABILIDAD DE LA FCF [0 5] DIP-I [0 0]

DIP-II [0 0] TOTAL DIPS UMBILICALES [0 7] DIP-U [0 0] $DIP\text{-}U_p$ [0 0]

$DIP\text{-}U_t$ [0 0] $DIP\text{-}U_a$ [0 0] $DIP\text{-}U_{\pi}$ [0 0] $DIP\text{-}U_{\pi'}$ [0 0] $DIP\text{-}U_{\lambda}$ [0 2]

$DIP\text{-}U_{\lambda'}$ [0 5] $DIP\text{-}U_{\lambda'}$ [0 0] DIP-V [0 0] $DIP\text{-}V_p$ [0 0]

$DIP\text{-}V_t$ [0 0] $DIP\text{-}V_b$ [0 0] NUMERO DE CONTRACCIONES [0 4 1]

NUMERO DE MINUTOS REGISTRADOS [1 3 0]

HOJA CODIFICADA PARA EL ESTUDIO DE LAS VARIACIONES CARDIOTOCOGRAFICAS ATRIBUIDAS A LAS CIRCULARES DEL CORDON UMBILICAL

NOMBRE Y APELLIDOS:

GRUPO ESTUDIADO [0] Nº DE Hª DE D.C. [0 8 0 5 9 7] Nº DE UCIP [1 2 7 2 7]

BOLSA [0] L.A. [2] MECONIO [2] SEMANA DE AMENORREA [3 8] SEXO [1]

VITALIDAD [0] EDAD MATERNA [3 5] PARIDAD [0 5] PESO DEL R.N. [4 2 5 0]

FORMA DE TERMINACION DEL PARTO [0] LONGITUD DEL CORDON [4 0] APGAR-1 [0 9]

APGAR-5 [1 0] MORBILIDAD [0]

MADRE: PO_2 [9 1] PCO_2 [1 6] D.B. [- 9] HCO_3^- [1 0] P^H [7 4 4]

FETO: ARTERIA. PO_2 [1 5] PCO_2 [4 9] D.B. [- 1 0] HCO_3^- [1 9] P^H [7 2 0]

VENA. PO_2 [2 4] PCO_2 [2 8] D.B. [- 9] HCO_3^- [1 5] P^H [7 3 2]

TIPO DE ACIDOSIS MATERNA [0] TIPO DE ACIDOSIS FETAL [3] Δ-P^H MADRE-FETO [1 2]

Δ-P^H VENA UMBILICAL-ARTERIA UMBILICAL [1 2] PROMEDIO DE ASCENSOS ?. [2 2]

PROMEDIO DE ASCENSOS TRANSITORIOS QUE COINCIDEN CON LA CONTRACCION [0 0]

TAQUICARDIA [1] BRADICARDIA [0] VARIABILIDAD DE LA FCF [0 6] DIP-I [0 0]

DIP-II [0 0] TOTAL DIPS UMBILICALES [0 0] DIP-U [0 0] $DIP\text{-}U_p$ [0 0]

$DIP\text{-}U_t$ [0 0] $DIP\text{-}U_a$ [0 0] $DIP\text{-}U_{\pi}$ [0 0] $DIP\text{-}U_{\pi'}$ [0 0] $DIP\text{-}U_{\lambda}$ [0 0]

$DIP\text{-}U_{\lambda'}$ [0 0] $DIP\text{-}U_{\lambda'}$ [0 0] DIP-V [0 0] $DIP\text{-}V_p$ [0 7]

$DIP\text{-}V_t$ [0 0] $DIP\text{-}V_b$ [0 0] NUMERO DE CONTRACCIONES [0 0 6]

NUMERO DE MINUTOS REGISTRADOS [0 8 2]

HOJA CODIFICADA PARA EL ESTUDIO DE LAS VARIACIONES CARDIOTOCOGRAFICAS ATRIBUIDAS A LAS CIRCULARES DEL CORDON UMBILICAL

NOMBRE Y APELLIDOS:

GRUPO ESTUDIADO [0] Nº DE Hª DE D.C. [0 8 3 9 1 8] Nº DE UCIP [1 3 3 1 7]

BOLSA [1] L.A. [0] MECONIO [0] SEMANA DE AMENORREA [3 6] SEXO [0]

VITALIDAD [0] EDAD MATERNA [2 1] PARIDAD [0 0] PESO DEL R.N. [3 1 0 0]

FORMA DE TERMINACION DEL PARTO [0] LONGITUD DEL CORDON [6 0] APGAR-1 [0 9]

APGAR-5 [1 0] MORBILIDAD [0]

MADRE: PO_2 [6 4] PCO_2 [2 5] D.B. [- 4] HCO_3^- [1 7] P^H [7 4 7]

FETO: ARTERIA. PO_2 [2 0] PCO_2 [4 1] D.B. [- 2] HCO_3^- [2 3] P^H [7 3 4]

VENA. PO_2 [3 4] PCO_2 [3 3] D.B. [- 1] HCO_3^- [2 2] P^H [7 4 4]

TIPO DE ACIDOSIS MATERNA [0] TIPO DE ACIDOSIS FETAL [0] Δ-P^H MADRE-FETO [0 3]

Δ-P^H VENA UMBILICAL-ARTERIA UMBILICAL [1 0] PROMEDIO DE ASCENSOS ?. [2 0]

PROMEDIO DE ASCENSOS TRANSITORIOS QUE COINCIDEN CON LA CONTRACCION [0 2]

TAQUICARDIA [0] BRADICARDIA [0] VARIABILIDAD DE LA FCF [0 6] DIP-I [0 0]

DIP-II [0 0] TOTAL DIPS UMBILICALES [0 6] DIP-U [0 0] $DIP\text{-}U_p$ [0 0]

$DIP\text{-}U_t$ [0 0] $DIP\text{-}U_a$ [0 0] $DIP\text{-}U_{\pi}$ [0 0] $DIP\text{-}U_{\pi'}$ [0 0] $DIP\text{-}U_{\lambda}$ [0 4]

$DIP\text{-}U_{\lambda'}$ [0 2] $DIP\text{-}U_{\lambda'}$ [0 0] DIP-V [0 0] $DIP\text{-}V_p$ [0 0]

$DIP\text{-}V_t$ [0 0] $DIP\text{-}V_b$ [0 0] NUMERO DE CONTRACCIONES [0 1 9]

NUMERO DE MINUTOS REGISTRADOS [1 3 5]

HOJA CODIFICADA PARA EL ESTUDIO DE LAS VARIACIONES CARDIOTOCOGRAFICAS ATRIBUIDAS A LAS CIRCULARES DEL CORDON UMBILICAL

NOMBRE Y APELLIDOS:

GRUPO ESTUDIADO [0] Nº DE Hª DE D.C. [0 6 0 3 9 7] Nº DE UCIP [0 9 1 6 8]

BOLSA [0] L.A. [2] MECONIO [2] SEMANA DE AMENORREA [4 2] SEXO [1]

VITALIDAD [0] EDAD MATERNA [2 8] PARIDAD [0 1] PESO DEL R.N. [3 2 5 0]

FORMA DE TERMINACION DEL PARTO [0] LONGITUD DEL CORDON [4 0] APGAR-1 [0 9]

APGAR-5 [1 0] MORBILIDAD [0]

MADRE: PO_2 [- -] PCO_2 [- -] D.B. [- - -] HCO_3^- [- -] P^H [- - -]

FETO: ARTERIA. PO_2 [- -] PCO_2 [- -] D.B. [- - -] HCO_3^- [- -] P^H [- - -]

VENA. PO_2 [- -] PCO_2 [- -] D.B. [- - -] HCO_3^- [- -] P^H [- - -]

TIPO DE ACIDOSIS MATERNA [-] TIPO DE ACIDOSIS FETAL [-] Δ-P^H MADRE-FETO [- -]

Δ-P^H VENA UMBILICAL-ARTERIA UMBILICAL [- -] PROMEDIO DE ASCENSOS ?. [0 4]

PROMEDIO DE ASCENSOS TRANSITORIOS QUE COINCIDEN CON LA CONTRACCION [0 0]

TAQUICARDIA [0] BRADICARDIA [0] VARIABILIDAD DE LA FCF [0 6] DIP-I [0 0]

DIP-II [0 0] TOTAL DIPS UMBILICALES [0 8] DIP-U [0 0] $DIP\text{-}U_p$ [0 0]

$DIP\text{-}U_t$ [0 0] $DIP\text{-}U_a$ [0 0] $DIP\text{-}U_{\pi}$ [0 0] $DIP\text{-}U_{\pi'}$ [0 0] $DIP\text{-}U_{\lambda}$ [0 8]

$DIP\text{-}U_{\lambda'}$ [0 0] $DIP\text{-}U_{\lambda'}$ [0 0] DIP-V [0 0] $DIP\text{-}V_p$ [0 0]

$DIP\text{-}V_t$ [0 0] $DIP\text{-}V_b$ [0 0] NUMERO DE CONTRACCIONES [0 0 7]

NUMERO DE MINUTOS REGISTRADOS [0 7 8]

HOJA CODIFICADA PARA EL ESTUDIO DE LAS VARIACIONES CARDIOTOCOGRAFICAS ATRIBUIDAS A LAS CIRCULARES DEL CORDON UMBILICAL

NOMBRE Y APELLIDOS:

GRUPO ESTUDIADO [1] [0] Nº DE Hª DE D.C. [2 3 4 5 6 7] [0 2 8 4 7 7] Nº DE UCIP [8 9 10 11 12] [1 2 2 0 4]

BOLSA [13] [0] L.A. [14] [2] MECONIO [15] [1] SEMANA DE AMENORREA [16 17] [4 0] SEXO [18] [1]

VITALIDAD [19] [0] EDAD MATERNA [20 21] [2 5] PARIDAD [22 23] [0 1] PESO DEL R.N. [24 25 26 27] [3 3 4 0]

FORMA DE TERMINACION DEL PARTO [28] [1] LONGITUD DEL CORDON [29 30] [4 9] APGAR-1 [31 32] [0 9]

APGAR-5 [33 34] [1 0] MORBILIDAD [35] [0]

MADRE: PO_2 [36 37] [8 0] PCO_2 [38 39] [2 5] D.B. [40 41 42] [- 9] HCO_3^- [43 44] [1 6] P^H [45 46 47] [7 4 1]

FETO: ARTERIA. PO_2 [48 49] [3 1] PCO_2 [50 51] [4 2] D.B. [52 53 54] [+ 9] HCO_3^- [55 56] [3 5] P^H [57 58 59] [7 2 0]

VENA. PO_2 [60 61] [2 7] PCO_2 [62 63] [3 0] D.B. [64 65 66] [+ 2] HCO_3^- [67 68] [2 7] P^H [69 70 71] [7 3 7]

TIPO DE ACIDOSIS MATERNA [72] [0] TIPO DE ACIDOSIS FETAL [73] [1] Δ-P^H MADRE-FETO [74 75] [0 4]

Δ-P^H VENA UMBILICAL-ARTERIA UMBILICAL [76 77] [1 7] PROMEDIO DE ASCENSOS ?. [78 79] [2 6]

PROMEDIO DE ASCENSOS TRANSITORIOS QUE COINCIDEN CON LA CONTRACCION [80 81] [0 0]

TAQUICARDIA [82] [0] BRADICARDIA [83] [0] VARIABILIDAD DE LA FCF [84 85] [0 8] DIP-I [86 87] [0 0]

DIP-II [88 89] [0 0] TOTAL DIPS UMBILICALES [90 91] [0 2] DIP-U [92 93] [0 0] $DIP\text{-}U_p$ [94 95] [0 0]

$DIP\text{-}U_t$ [96 97] [0 0] $DIP\text{-}U_v$ [98 99] [0 0] $DIP\text{-}U_{vt}$ [100 101] [0 0] $DIP\text{-}U_{vt}$ [102 103] [0 0] $DIP\text{-}U_\lambda$ [104 105] [0 2]

$DIP\text{-}U_{\lambda p}$ [106 107] [0 0] $DIP\text{-}U_{\lambda t}$ [108 109] [0 0] DIP-V [110 111] [0 0] $DIP\text{-}V_p$ [112 113] [0 0]

$DIP\text{-}V_t$ [114 115] [0 0] $DIP\text{-}V_b$ [116 117] [0 0] NUMERO DE CONTRACCIONES [118 119 120] [0 2 4]

NUMERO DE MINUTOS REGISTRADOS [121 122 123] [1 2 5]

HOJA CODIFICADA PARA EL ESTUDIO DE LAS VARIACIONES CARDIOTOCOGRAFICAS ATRIBUIDAS A LAS CIRCULARES DEL CORDON UMBILICAL

NOMBRE Y APELLIDOS:

GRUPO ESTUDIADO [1] [0] Nº DE Hª DE D.C. [2 3 4 5 6 7] [1 0 0 6 2 7] Nº DE UCIP [8 9 10 11 12] [1 7 1 6 4]

BOLSA [13] [1] L.A. [14] [0] MECONIO [15] [1] SEMANA DE AMENORREA [16 17] [4 2] SEXO [18] [0]

VITALIDAD [19] [0] EDAD MATERNA [20 21] [2 6] PARIDAD [22 23] [0 0] PESO DEL R.N. [24 25 26 27] [3 8 5 0]

FORMA DE TERMINACION DEL PARTO [28] [0] LONGITUD DEL CORDON [29 30] [5 0] APGAR-1 [31 32] [0 9]

APGAR-5 [33 34] [0 9] MORBILIDAD [35] [0]

MADRE: PO_2 [36 37] [7 7] PCO_2 [38 39] [2 0] D.B. [40 41 42] [- 9] HCO_3^- [43 44] [1 0] P^H [45 46 47] [7 4 4]

FETO: ARTERIA. PO_2 [48 49] [1 1] PCO_2 [50 51] [3 7] D.B. [52 53 54] [- 0 2] HCO_3^- [55 56] [1 5] P^H [57 58 59] [7 2 4]

VENA. PO_2 [60 61] [2 0] PCO_2 [62 63] [3 4] D.B. [64 65 66] [- 1 1] HCO_3^- [67 68] [1 5] P^H [69 70 71] [7 2 8]

TIPO DE ACIDOSIS MATERNA [72] [0] TIPO DE ACIDOSIS FETAL [73] [0] Δ-P^H MADRE-FETO [74 75] [1 6]

Δ-P^H VENA UMBILICAL-ARTERIA UMBILICAL [76 77] [0 4] PROMEDIO DE ASCENSOS ?. [78 79] [0 9]

PROMEDIO DE ASCENSOS TRANSITORIOS QUE COINCIDEN CON LA CONTRACCION [80 81] [0 3]

TAQUICARDIA [82] [0] BRADICARDIA [83] [0] VARIABILIDAD DE LA FCF [84 85] [0 7] DIP-I [86 87] [0 0]

DIP-II [88 89] [0 0] TOTAL DIPS UMBILICALES [90 91] [0 3] DIP-U [92 93] [0 0] $DIP\text{-}U_p$ [94 95] [0 0]

$DIP\text{-}U_t$ [96 97] [0 0] $DIP\text{-}U_v$ [98 99] [0 0] $DIP\text{-}U_{vt}$ [100 101] [0 0] $DIP\text{-}U_{vt}$ [102 103] [0 0] $DIP\text{-}U_\lambda$ [104 105] [0 0]

$DIP\text{-}U_{\lambda p}$ [106 107] [0 3] $DIP\text{-}U_{\lambda t}$ [108 109] [0 0] DIP-V [110 111] [0 0] $DIP\text{-}V_p$ [112 113] [0 0]

$DIP\text{-}V_t$ [114 115] [0 0] $DIP\text{-}V_b$ [116 117] [0 0] NUMERO DE CONTRACCIONES [118 119 120] [0 2 0]

NUMERO DE MINUTOS REGISTRADOS [121 122 123] [0 9 6]

HOJA CODIFICADA PARA EL ESTUDIO DE LAS VARIACIONES CARDIOTOCOGRAFICAS ATRIBUIDAS A LAS CIRCULARES DEL CORDON UMBILICAL

NOMBRE Y APELLIDOS:

GRUPO ESTUDIADO [1] [0] Nº DE Hª DE D.C. [2 3 4 5 6 7] [0 5 7 1 0 5] Nº DE UCIP [8 9 10 11 12] [0 8 6 8 1]

BOLSA [13] [0] L.A. [14] [2] MECONIO [15] [1] SEMANA DE AMENORREA [16 17] [4 3] SEXO [18] [1]

VITALIDAD [19] [0] EDAD MATERNA [20 21] [1 9] PARIDAD [22 23] [0 1] PESO DEL R.N. [24 25 26 27] [2 7 5 0]

FORMA DE TERMINACION DEL PARTO [28] [1] LONGITUD DEL CORDON [29 30] [4 0] APGAR-1 [31 32] [0 9]

APGAR-5 [33 34] [1 0] MORBILIDAD [35] [0]

MADRE: PO_2 [36 37] [9 3] PCO_2 [38 39] [3 1] D.B. [40 41 42] [- 7] HCO_3^- [43 44] [1 8] P^H [45 46 47] [7 4 6]

FETO: ARTERIA. PO_2 [48 49] [2 0] PCO_2 [50 51] [5 5] D.B. [52 53 54] [- 2] HCO_3^- [55 56] [2 6] P^H [57 58 59] [7 2 8]

VENA. PO_2 [60 61] [7 0] PCO_2 [62 63] [3 4] D.B. [64 65 66] [- 1] HCO_3^- [67 68] [2 2] P^H [69 70 71] [7 4 0]

TIPO DE ACIDOSIS MATERNA [72] [0] TIPO DE ACIDOSIS FETAL [73] [0] Δ-P^H MADRE-FETO [74 75] [0 1]

Δ-P^H VENA UMBILICAL-ARTERIA UMBILICAL [76 77] [1 2] PROMEDIO DE ASCENSOS ?. [78 79] [2 1]

PROMEDIO DE ASCENSOS TRANSITORIOS QUE COINCIDEN CON LA CONTRACCION [80 81] [0 2]

TAQUICARDIA [82] [0] BRADICARDIA [83] [0] VARIABILIDAD DE LA FCF [84 85] [0 7] DIP-I [86 87] [0 0]

DIP-II [88 89] [0 4] TOTAL DIPS UMBILICALES [90 91] [0 5] DIP-U [92 93] [0 0] $DIP\text{-}U_p$ [94 95] [0 0]

$DIP\text{-}U_t$ [96 97] [0 0] $DIP\text{-}U_v$ [98 99] [0 0] $DIP\text{-}U_{vt}$ [100 101] [0 0] $DIP\text{-}U_{vt}$ [102 103] [0 0] $DIP\text{-}U_\lambda$ [104 105] [0 2]

$DIP\text{-}U_{\lambda p}$ [106 107] [0 3] $DIP\text{-}U_{\lambda t}$ [108 109] [0 0] DIP-V [110 111] [0 0] $DIP\text{-}V_p$ [112 113] [0 0]

$DIP\text{-}V_t$ [114 115] [0 0] $DIP\text{-}V_b$ [116 117] [0 0] NUMERO DE CONTRACCIONES [118 119 120] [0 3 1]

NUMERO DE MINUTOS REGISTRADOS [121 122 123] [1 9 0]

HOJA CODIFICADA PARA EL ESTUDIO DE LAS VARIACIONES CARDIOTOCOGRAFICAS ATRIBUIDAS A LAS CIRCULARES DEL CORDON UMBILICAL

NOMBRE Y APELLIDOS:

GRUPO ESTUDIADO [1] [0] Nº DE Hª DE D.C. [2 3 4 5 6 7] [0 6 5 5 6 6] Nº DE UCIP [8 9 10 11 12] [1 0 0 5 5]

BOLSA [13] [0] L.A. [14] [3] MECONIO [15] [1] SEMANA DE AMENORREA [16 17] [4 1] SEXO [18] [0]

VITALIDAD [19] [0] EDAD MATERNA [20 21] [2 0] PARIDAD [22 23] [0 0] PESO DEL R.N. [24 25 26 27] [3 2 1 0]

FORMA DE TERMINACION DEL PARTO [28] [0] LONGITUD DEL CORDON [29 30] [5 5] APGAR-1 [31 32] [0 9]

APGAR-5 [33 34] [1 0] MORBILIDAD [35] [0]

MADRE: PO_2 [36 37] [8 8] PCO_2 [38 39] [2 4] D.B. [40 41 42] [- 9] HCO_3^- [43 44] [1 3] P^H [45 46 47] [7 3 7]

FETO: ARTERIA. PO_2 [48 49] [0 9] PCO_2 [50 51] [5 8] D.B. [52 53 54] [- 1 7] HCO_3^- [55 56] [2 2] P^H [57 58 59] [7 2 1]

VENA. PO_2 [60 61] [1 9] PCO_2 [62 63] [4 1] D.B. [64 65 66] [- 1 7] HCO_3^- [67 68] [1 9] P^H [69 70 71] [7 3 0]

TIPO DE ACIDOSIS MATERNA [72] [0] TIPO DE ACIDOSIS FETAL [73] [0] Δ-P^H MADRE-FETO [74 75] [0 7]

Δ-P^H VENA UMBILICAL-ARTERIA UMBILICAL [76 77] [0 9] PROMEDIO DE ASCENSOS ?. [78 79] [0 5]

PROMEDIO DE ASCENSOS TRANSITORIOS QUE COINCIDEN CON LA CONTRACCION [80 81] [0 0]

TAQUICARDIA [82] [0] BRADICARDIA [83] [0] VARIABILIDAD DE LA FCF [84 85] [0 6] DIP-I [86 87] [0 0]

DIP-II [88 89] [0 1] TOTAL DIPS UMBILICALES [90 91] [0 0] DIP-U [92 93] [0 0] $DIP\text{-}U_p$ [94 95] [0 0]

$DIP\text{-}U_t$ [96 97] [0 0] $DIP\text{-}U_v$ [98 99] [0 0] $DIP\text{-}U_{vt}$ [100 101] [0 0] $DIP\text{-}U_{vt}$ [102 103] [0 0] $DIP\text{-}U_\lambda$ [104 105] [0 0]

$DIP\text{-}U_{\lambda p}$ [106 107] [0 0] $DIP\text{-}U_{\lambda t}$ [108 109] [0 0] DIP-V [110 111] [0 4] $DIP\text{-}V_p$ [112 113] [0 0]

$DIP\text{-}V_t$ [114 115] [0 4] $DIP\text{-}V_b$ [116 117] [0 0] NUMERO DE CONTRACCIONES [118 119 120] [0 8 1]

NUMERO DE MINUTOS REGISTRADOS [121 122 123] [2 3 7]

HOJA CODIFICADA PARA EL ESTUDIO DE LAS VARIACIONES CARDIOTOCOGRAFICAS ATRIBUIDAS A LAS CIRCULARES DEL CORDON UMBILICAL

NOMBRE Y APELLIDOS:

GRUPO ESTUDIADO [1: 0] Nº DE Hª DE D.C. [2 3 4 5 6 7: 0 3 0 1 4 6] Nº DE UCIP [8 9 10 11 12: 1 7 3 8 4]

BOLSA [13: 1] L.A. [14: 0] MECONIO [15: 1] SEMANA DE AMENORREA [16 17: 4 0] SEXO [18: 0]

VITALIDAD [19: 0] EDAD MATERNA [20 21: 3 7] PARIDAD [22 23: 0 5] PESO DEL R.N. [24 25 26 27: 3 7 0 0]

FORMA DE TERMINACION DEL PARTO [28: 1] LONGITUD DEL CORDON [29 30: 5 0] APGAR-1 [31 32: 0 9]

APGAR-5 [33 34: 1 0] MORBILIDAD [35: 0]

MADRE: PO_2 [36 37: 7 6] PCO_2 [38 39: 2 1] D.B. [40 41 42: - 9] HCO_3^- [43 44: 1 3] p^H [45 46 47: 7 4 1]

FETO: ARTERIA. PO_2 [48 49: 2 4] PCO_2 [50 51: 4 0] D.B. [52 53 54: - 7] HCO_3^- [55 56: 1 9] p^H [57 58 59: 7 2 9]

VENA. PO_2 [60 61: 3 2] PCO_2 [62 63: 2 8] D.B. [64 65 66: - 6] HCO_3^- [67 68: 1 7] p^H [69 70 71: 7 3 8]

TIPO DE ACIDOSIS MATERNA [72: 0] TIPO DE ACIDOSIS FETAL [73: 0] Δ-p^H MADRE-FETO [74 75: 0 3]

Δ-p^H VENA UMBILICAL-ARTERIA UMBILICAL [76 77: 0 9] PROMEDIO DE ASCENSOS ?. [78 79: 3 3]

PROMEDIO DE ASCENSOS TRANSITORIOS QUE COINCIDEN CON LA CONTRACCION [80 81: 0 6]

TAQUICARDIA [82: 0] BRADICARDIA [83: 0] VARIABILIDAD DE LA FCF [84 85: 0 6] DIP-I [86 87: 0 0]

DIP-II [88 89: 0 0] TOTAL DIPS UMBILICALES [90 91: 0 6] DIP-U [92 93: 0 0] $DIP\text{-}U_p$ [94 95: 0 0]

$DIP\text{-}U_t$ [96 97: 0 0] $DIP\text{-}U_e$ [98 99: 0 0] $DIP\text{-}U_{cp}$ [100 101: 0 0] $DIP\text{-}U_{cs}$ [102 103: 0 0] $DIP\text{-}U_\lambda$ [104 105: 0 3]

$DIP\text{-}U_{\lambda p}$ [106 107: 0 3] $DIP\text{-}U_{\lambda t}$ [108 109: 0 0] DIP-V [110 111: 0 0] $DIP\text{-}V_p$ [112 113: 0 0]

$DIP\text{-}V_t$ [114 115: 0 0] $DIP\text{-}V_b$ [116 117: 0 0] NUMERO DE CONTRACCIONES [118 119 120: 0 1 9]

NUMERO DE MINUTOS REGISTRADOS [121 122 123: 0 9 9]

HOJA CODIFICADA PARA EL ESTUDIO DE LAS VARIACIONES CARDIOTOCOGRAFICAS ATRIBUIDAS A LAS CIRCULARES DEL CORDON UMBILICAL

NOMBRE Y APELLIDOS:

GRUPO ESTUDIADO [1: 0] Nº DE Hª DE D.C. [2 3 4 5 6 7: 0 8 6 7 4 3] Nº DE UCIP [8 9 10 11 12: 1 4 2 3 4]

BOLSA [13: 0] L.A. [14: 1] MECONIO [15: 1] SEMANA DE AMENORREA [16 17: 4 1] SEXO [18: 0]

VITALIDAD [19: 0] EDAD MATERNA [20 21: 2 4] PARIDAD [22 23: 0 1] PESO DEL R.N. [24 25 26 27: 3 2 5 0]

FORMA DE TERMINACION DEL PARTO [28: 0] LONGITUD DEL CORDON [29 30: 4 3] APGAR-1 [31 32: 0 9]

APGAR-5 [33 34: 1 0] MORBILIDAD [35: 0]

MADRE: PO_2 [36 37: 8 1] PCO_2 [38 39: 1 5] D.B. [40 41 42: - 9] HCO_3^- [43 44: 0 9] p^H [45 46 47: 7 4 9]

FETO: ARTERIA. PO_2 [48 49: 1 7] PCO_2 [50 51: 4 3] D.B. [52 53 54: - 3] HCO_3^- [55 56: 2 2] p^H [57 58 59: 7 2 8]

VENA. PO_2 [60 61: 3 0] PCO_2 [62 63: 3 6] D.B. [64 65 66: - 6] HCO_3^- [67 68: 1 1] p^H [69 70 71: 7 4 8]

TIPO DE ACIDOSIS MATERNA [72: 0] TIPO DE ACIDOSIS FETAL [73: 0] Δ-p^H MADRE-FETO [74 75: 0 1]

Δ-p^H VENA UMBILICAL-ARTERIA UMBILICAL [76 77: 2 0] PROMEDIO DE ASCENSOS ?. [78 79: 2 9]

PROMEDIO DE ASCENSOS TRANSITORIOS QUE COINCIDEN CON LA CONTRACCION [80 81: 0 0]

TAQUICARDIA [82: 0] BRADICARDIA [83: 0] VARIABILIDAD DE LA FCF [84 85: 0 6] DIP-I [86 87: 0 0]

DIP-II [88 89: 0 0] TOTAL DIPS UMBILICALES [90 91: 0 5] DIP-U [92 93: 0 0] $DIP\text{-}U_p$ [94 95: 0 0]

$DIP\text{-}U_t$ [96 97: 0 0] $DIP\text{-}U_e$ [98 99: 0 0] $DIP\text{-}U_{cp}$ [100 101: 0 0] $DIP\text{-}U_{cs}$ [102 103: 0 0] $DIP\text{-}U_\lambda$ [104 105: 0 5]

$DIP\text{-}U_{\lambda p}$ [106 107: 0 0] $DIP\text{-}U_{\lambda t}$ [108 109: 0 0] DIP-V [110 111: 0 0] $DIP\text{-}V_p$ [112 113: 0 0]

$DIP\text{-}V_t$ [114 115: 0 0] $DIP\text{-}V_b$ [116 117: 0 0] NUMERO DE CONTRACCIONES [118 119 120: 0 0 1]

NUMERO DE MINUTOS REGISTRADOS [121 122 123: 1 1 3]

HOJA CODIFICADA PARA EL ESTUDIO DE LAS VARIACIONES CARDIOTOCOGRAFICAS ATRIBUIDAS A LAS CIRCULARES DEL CORDON UMBILICAL

NOMBRE Y APELLIDOS:

GRUPO ESTUDIADO [1: 0] Nº DE Hª DE D.C. [2 3 4 5 6 7: 0 8 1 6 2 9] Nº DE UCIP [8 9 10 11 12: 1 2 7 3 0]

BOLSA [13: 0] L.A. [14: 3] MECONIO [15: 1] SEMANA DE AMENORREA [16 17: 4 0] SEXO [18: 1]

VITALIDAD [19: 0] EDAD MATERNA [20 21: 3 9] PARIDAD [22 23: 0 0] PESO DEL R.N. [24 25 26 27: 3 2 7 0]

FORMA DE TERMINACION DEL PARTO [28: 0] LONGITUD DEL CORDON [29 30: 6 0] APGAR-1 [31 32: 0 9]

APGAR-5 [33 34: 1 0] MORBILIDAD [35: 0]

MADRE: PO_2 [36 37: 7 4] PCO_2 [38 39: 2 0] D.B. [40 41 42: - 4] HCO_3^- [43 44: 1 6] p^H [45 46 47: 7 5 1]

FETO: ARTERIA. PO_2 [48 49: 1 6] PCO_2 [50 51: 4 2] D.B. [52 53 54: - 4] HCO_3^- [55 56: 2 2] p^H [57 58 59: 7 3 3]

VENA. PO_2 [60 61: 2 8] PCO_2 [62 63: 3 2] D.B. [64 65 66: - 3] HCO_3^- [67 68: 2 1] p^H [69 70 71: 7 4 0]

TIPO DE ACIDOSIS MATERNA [72: 0] TIPO DE ACIDOSIS FETAL [73: 0] Δ-p^H MADRE-FETO [74 75: 1 1]

Δ-p^H VENA UMBILICAL-ARTERIA UMBILICAL [76 77: 0 7] PROMEDIO DE ASCENSOS ?. [78 79: 3 8]

PROMEDIO DE ASCENSOS TRANSITORIOS QUE COINCIDEN CON LA CONTRACCION [80 81: 0 0]

TAQUICARDIA [82: 0] BRADICARDIA [83: 0] VARIABILIDAD DE LA FCF [84 85: 1 2] DIP-I [86 87: 0 0]

DIP-II [88 89: 0 0] TOTAL DIPS UMBILICALES [90 91: 0 4] DIP-U [92 93: 0 0] $DIP\text{-}U_p$ [94 95: 0 0]

$DIP\text{-}U_t$ [96 97: 0 0] $DIP\text{-}U_e$ [98 99: 0 0] $DIP\text{-}U_{cp}$ [100 101: 0 0] $DIP\text{-}U_{cs}$ [102 103: 0 0] $DIP\text{-}U_\lambda$ [104 105: 0 4]

$DIP\text{-}U_{\lambda p}$ [106 107: 0 0] $DIP\text{-}U_{\lambda t}$ [108 109: 0 0] DIP-V [110 111: 0 0] $DIP\text{-}V_p$ [112 113: 0 0]

$DIP\text{-}V_t$ [114 115: 0 0] $DIP\text{-}V_b$ [116 117: 0 0] NUMERO DE CONTRACCIONES [118 119 120: 0 0 2]

NUMERO DE MINUTOS REGISTRADOS [121 122 123: 0 7 8]

HOJA CODIFICADA PARA EL ESTUDIO DE LAS VARIACIONES CARDIOTOCOGRAFICAS ATRIBUIDAS A LAS CIRCULARES DEL CORDON UMBILICAL

NOMBRE Y APELLIDOS:

GRUPO ESTUDIADO [1: 0] Nº DE Hª DE D.C. [2 3 4 5 6 7: 0 7 0 8 5 7] Nº DE UCIP [8 9 10 11 12: 1 3 4 2 4]

BOLSA [13: 1] L.A. [14: 2] MECONIO [15: 0] SEMANA DE AMENORREA [16 17: 4 3] SEXO [18: 0]

VITALIDAD [19: 0] EDAD MATERNA [20 21: 2 3] PARIDAD [22 23: 0 0] PESO DEL R.N. [24 25 26 27: 3 2 5 0]

FORMA DE TERMINACION DEL PARTO [28: 0] LONGITUD DEL CORDON [29 30: 5 4] APGAR-1 [31 32: 0 9]

APGAR-5 [33 34: 1 0] MORBILIDAD [35: 0]

MADRE: PO_2 [36 37: 9 9] PCO_2 [38 39: 1 5] D.B. [40 41 42: - 1 5] HCO_3^- [43 44: 0 8] p^H [45 46 47: 7 3 7]

FETO: ARTERIA. PO_2 [48 49: 1 5] PCO_2 [50 51: 3 9] D.B. [52 53 54: - 6] HCO_3^- [55 56: 2 0] p^H [57 58 59: 7 3 1]

VENA. PO_2 [60 61: 2 8] PCO_2 [62 63: 3 4] D.B. [64 65 66: - 6] HCO_3^- [67 68: 1 8] p^H [69 70 71: 7 3 5]

TIPO DE ACIDOSIS MATERNA [72: 0] TIPO DE ACIDOSIS FETAL [73: 0] Δ-p^H MADRE-FETO [74 75: 0 2]

Δ-p^H VENA UMBILICAL-ARTERIA UMBILICAL [76 77: 0 4] PROMEDIO DE ASCENSOS ?. [78 79: 2 7]

PROMEDIO DE ASCENSOS TRANSITORIOS QUE COINCIDEN CON LA CONTRACCION [80 81: 0 3]

TAQUICARDIA [82: 0] BRADICARDIA [83: 0] VARIABILIDAD DE LA FCF [84 85: 0 6] DIP-I [86 87: 0 0]

DIP-II [88 89: 0 0] TOTAL DIPS UMBILICALES [90 91: 1 0] DIP-U [92 93: 0 0] $DIP\text{-}U_p$ [94 95: 0 0]

$DIP\text{-}U_t$ [96 97: 0 0] $DIP\text{-}U_e$ [98 99: 0 0] $DIP\text{-}U_{cp}$ [100 101: 0 0] $DIP\text{-}U_{cs}$ [102 103: 0 0] $DIP\text{-}U_\lambda$ [104 105: 0 6]

$DIP\text{-}U_{\lambda p}$ [106 107: 0 3] $DIP\text{-}U_{\lambda t}$ [108 109: 0 0] DIP-V [110 111: 0 0] $DIP\text{-}V_p$ [112 113: 0 1 0]

$DIP\text{-}V_t$ [114 115: 0 0] $DIP\text{-}V_b$ [116 117: 0 0] NUMERO DE CONTRACCIONES [118 119 120: 0 4 5]

NUMERO DE MINUTOS REGISTRADOS [121 122 123: 2 7 0]

HOJA CODIFICADA PARA EL ESTUDIO DE LAS VARIACIONES CARDIOTOCOGRAFICAS ATRIBUIDAS A LAS CIRCULARES DEL CORDON UMBILICAL

NOMBRE Y APELLIDOS:

GRUPO ESTUDIADO [0] Nº DE Hª DE D.C. [05989] Nº DE UCIP [09612]

BOLSA [1] L.A. [3] MECONIO [2] SEMANA DE AMENORREA [43] SEXO [1]

VITALIDAD [0] EDAD MATERNA [23] PARIDAD [01] PESO DEL R.N. [3940]

FORMA DE TERMINACION DEL PARTO [1] LONGITUD DEL CORDON [45] APGAR-1 [09]

APGAR-5 [09] MORBILIDAD [0]

MADRE: PO_2 [67] PCO_2 [30] D.B. [-14] HCO_3^- [19] P^H [742]

FETO: ARTERIA. PO_2 [14] PCO_2 [64] D.B. [-3] HCO_3^- [27] P^H [725]

VENA. PO_2 [35] PCO_2 [42] D.B. [-4] HCO_3^- [24] P^H [737]

TIPO DE ACIDOSIS MATERNA [0] TIPO DE ACIDOSIS FETAL [0] Δ-P^H MADRE-FETO [05]

Δ-P^H VENA UMBILICAL-ARTERIA UMBILICAL [12] PROMEDIO DE ASCENSOS T. [31]

PROMEDIO DE ASCENSOS TRANSITORIOS QUE COINCIDEN CON LA CONTRACCION [01]

TAQUICARDIA [0] BRADICARDIA [0] VARIABILIDAD DE LA FCF [07] DIP-I [00]

DIP-II [00] TOTAL DIPS UMBILICALES [08] DIP-U [00] $DIP\text{-}U_p$ [00]

$DIP\text{-}U_t$ [00] $DIP\text{-}U_a$ [00] $DIP\text{-}U_{a'}$ [00] $DIP\text{-}U_{a''}$ [00] $DIP\text{-}U_\lambda$ [08]

$DIP\text{-}U_{\lambda p}$ [00] $DIP\text{-}U_{\lambda t}$ [00] DIP-V [00] $DIP\text{-}V_p$ [00]

$DIP\text{-}V_t$ [00] $DIP\text{-}V_b$ [00] NUMERO DE CONTRACCIONES [016]

NUMERO DE MINUTOS REGISTRADOS [222]

HOJA CODIFICADA PARA EL ESTUDIO DE LAS VARIACIONES CARDIOTOCOGRAFICAS ATRIBUIDAS A LAS CIRCULARES DEL CORDON UMBILICAL

NOMBRE Y APELLIDOS:

GRUPO ESTUDIADO [0] Nº DE Hª DE D.C. [09947] Nº DE UCIP [11143]

BOLSA [0] L.A. [2] MECONIO [2] SEMANA DE AMENORREA [43] SEXO [0]

VITALIDAD [0] EDAD MATERNA [40] PARIDAD [03] PESO DEL R.N. [4000]

FORMA DE TERMINACION DEL PARTO [1] LONGITUD DEL CORDON [55] APGAR-1 [09]

APGAR-5 [10] MORBILIDAD [0]

MADRE: PO_2 [83] PCO_2 [18] D.B. [-10] HCO_3^- [11] P^H [742]

FETO: ARTERIA. PO_2 [13] PCO_2 [40] D.B. [-8] HCO_3^- [18] P^H [728]

VENA. PO_2 [26] PCO_2 [32] D.B. [-8] HCO_3^- [16] P^H [733]

TIPO DE ACIDOSIS MATERNA [0] TIPO DE ACIDOSIS FETAL [0] Δ-P^H MADRE-FETO [09]

Δ-P^H VENA UMBILICAL-ARTERIA UMBILICAL [05] PROMEDIO DE ASCENSOS T. [03]

PROMEDIO DE ASCENSOS TRANSITORIOS QUE COINCIDEN CON LA CONTRACCION [00]

TAQUICARDIA [0] BRADICARDIA [0] VARIABILIDAD DE LA FCF [04] DIP-I [00]

DIP-II [00] TOTAL DIPS UMBILICALES [02] DIP-U [00] $DIP\text{-}U_p$ [00]

$DIP\text{-}U_t$ [00] $DIP\text{-}U_a$ [00] $DIP\text{-}U_{a'}$ [00] $DIP\text{-}U_{a''}$ [00] $DIP\text{-}U_\lambda$ [00]

$DIP\text{-}U_{\lambda p}$ [02] $DIP\text{-}U_{\lambda t}$ [00] DIP-V [02] $DIP\text{-}V_p$ [00]

$DIP\text{-}V_t$ [00] $DIP\text{-}V_b$ [00] NUMERO DE CONTRACCIONES [031]

NUMERO DE MINUTOS REGISTRADOS [192]

HOJA CODIFICADA PARA EL ESTUDIO DE LAS VARIACIONES CARDIOTOCOGRAFICAS ATRIBUIDAS A LAS CIRCULARES DEL CORDON UMBILICAL

NOMBRE Y APELLIDOS:

GRUPO ESTUDIADO [0] Nº DE Hª DE D.C. [07911] Nº DE UCIP [12078]

BOLSA [2] L.A. [2] MECONIO [1] SEMANA DE AMENORREA [39] SEXO [1]

VITALIDAD [0] EDAD MATERNA [45] PARIDAD [03] PESO DEL R.N. [4340]

FORMA DE TERMINACION DEL PARTO [1] LONGITUD DEL CORDON [64] APGAR-1 [09]

APGAR-5 [09] MORBILIDAD [0]

MADRE: PO_2 [84] PCO_2 [19] D.B. [-8] HCO_3^- [12] P^H [744]

FETO: ARTERIA. PO_2 [19] PCO_2 [44] D.B. [-6] HCO_3^- [21] P^H [727]

VENA. PO_2 [30] PCO_2 [31] D.B. [-4] HCO_3^- [18] P^H [741]

TIPO DE ACIDOSIS MATERNA [0] TIPO DE ACIDOSIS FETAL [0] Δ-P^H MADRE-FETO [03]

Δ-P^H VENA UMBILICAL-ARTERIA UMBILICAL [14] PROMEDIO DE ASCENSOS T. [22]

PROMEDIO DE ASCENSOS TRANSITORIOS QUE COINCIDEN CON LA CONTRACCION [11]

TAQUICARDIA [0] BRADICARDIA [0] VARIABILIDAD DE LA FCF [07] DIP-I [00]

DIP-II [00] TOTAL DIPS UMBILICALES [02] DIP-U [00] $DIP\text{-}U_p$ [00]

$DIP\text{-}U_t$ [00] $DIP\text{-}U_a$ [00] $DIP\text{-}U_{a'}$ [00] $DIP\text{-}U_{a''}$ [00] $DIP\text{-}U_\lambda$ [02]

$DIP\text{-}U_{\lambda p}$ [00] $DIP\text{-}U_{\lambda t}$ [00] DIP-V [00] $DIP\text{-}V_p$ [00]

$DIP\text{-}V_t$ [00] $DIP\text{-}V_b$ [00] NUMERO DE CONTRACCIONES [042]

NUMERO DE MINUTOS REGISTRADOS [190]

HOJA CODIFICADA PARA EL ESTUDIO DE LAS VARIACIONES CARDIOTOCOGRAFICAS ATRIBUIDAS A LAS CIRCULARES DEL CORDON UMBILICAL

NOMBRE Y APELLIDOS:

GRUPO ESTUDIADO [0] Nº DE Hª DE D.C. [08157] Nº DE UCIP [15396]

BOLSA [1] L.A. [2] MECONIO [2] SEMANA DE AMENORREA [40] SEXO [1]

VITALIDAD [0] EDAD MATERNA [20] PARIDAD [00] PESO DEL R.N. [3270]

FORMA DE TERMINACION DEL PARTO [2] LONGITUD DEL CORDON [60] APGAR-1 [09]

APGAR-5 [10] MORBILIDAD [0]

MADRE: PO_2 [--] PCO_2 [--] D.B. [----] HCO_3^- [--] P^H [----]

FETO: ARTERIA. PO_2 [--] PCO_2 [--] D.B. [----] HCO_3^- [--] P^H [----]

VENA. PO_2 [--] PCO_2 [--] D.B. [----] HCO_3^- [--] P^H [----]

TIPO DE ACIDOSIS MATERNA [-] TIPO DE ACIDOSIS FETAL [-] Δ-P^H MADRE-FETO [--]

Δ-P^H VENA UMBILICAL-ARTERIA UMBILICAL [--] PROMEDIO DE ASCENSOS T. [00]

PROMEDIO DE ASCENSOS TRANSITORIOS QUE COINCIDEN CON LA CONTRACCION [00]

TAQUICARDIA [0] BRADICARDIA [0] VARIABILIDAD DE LA FCF [04] DIP-I [00]

DIP-II [00] TOTAL DIPS UMBILICALES [00] DIP-U [00] $DIP\text{-}U_p$ [00]

$DIP\text{-}U_t$ [00] $DIP\text{-}U_a$ [00] $DIP\text{-}U_{a'}$ [00] $DIP\text{-}U_{a''}$ [00] $DIP\text{-}U_\lambda$ [00]

$DIP\text{-}U_{\lambda p}$ [00] $DIP\text{-}U_{\lambda t}$ [00] DIP-V [00] $DIP\text{-}V_p$ [21]

$DIP\text{-}V_t$ [04] $DIP\text{-}V_b$ [04] NUMERO DE CONTRACCIONES [024]

NUMERO DE MINUTOS REGISTRADOS [070]

HOJA CODIFICADA PARA EL ESTUDIO DE LAS VARIACIONES CARDIOTOCOGRAFICAS ATRIBUIDAS A LAS CIRCULARES DEL CORDON UMBILICAL

NOMBRE Y APELLIDOS:

GRUPO ESTUDIADO 0 | Nº DE Hª DE D.C. 0822282 | Nº DE UCIP 129888

BOLSA 1 | L.A. 2 | MECONIO 1 | SEMANA DE AMENORREA 40 | SEXO 1

VITALIDAD 0 | EDAD MATERNA 30 | PARIDAD 00 | PESO DEL R.N. 3420

FORMA DE TERMINACION DEL PARTO 1 | LONGITUD DEL CORDON 55 | APGAR-1 09

APGAR-5 10 | MORBILIDAD 0

MADRE: PO_2 85 | PCO_2 18 | D.B. -9 | HCO_3^- 12 | P^H 7340

FETO: ARTERIA. PO_2 25 | PCO_2 51 | D.B. -4 | HCO_3^- 23 | P^H 7327

VENA. PO_2 33 | PCO_2 30 | D.B. -7 | HCO_3^- 18 | P^H 7338

TIPO DE ACIDOSIS MATERNA 0 | TIPO DE ACIDOSIS FETAL 0 | Δ-P^H MADRE-FETO 02

Δ-P^H VENA UMBILICAL-ARTERIA UMBILICAL 11 | PROMEDIO DE ASCENSOS ?. 02

PROMEDIO DE ASCENSOS TRANSITORIOS QUE COINCIDEN CON LA CONTRACCION 01

TAQUICARDIA 0 | BRADICARDIA 0 | VARIABILIDAD DE LA FCF 07 | DIP-I 04

DIP-II 00 | TOTAL DIPS UMBILICALES 04 | DIP-U 00 | $DIP\text{-}U_p$ 00

$DIP\text{-}U_t$ 00 | $DIP\text{-}U_a$ 00 | $DIP\text{-}U_{ap}$ 00 | $DIP\text{-}U_{at}$ 00 | $DIP\text{-}U_2$ 01

$DIP\text{-}U_{2p}$ 03 | $DIP\text{-}U_{2t}$ 00 | DIP-V 00 | $DIP\text{-}V_p$ 01

$DIP\text{-}V_t$ 00 | $DIP\text{-}V_b$ 00 | NUMERO DE CONTRACCIONES 158

NUMERO DE MINUTOS REGISTRADOS 492

HOJA CODIFICADA PARA EL ESTUDIO DE LAS VARIACIONES CARDIOTOCOGRAFICAS ATRIBUIDAS A LAS CIRCULARES DEL CORDON UMBILICAL

NOMBRE Y APELLIDOS:

GRUPO ESTUDIADO 0 | Nº DE Hª DE D.C. 060920 | Nº DE UCIP 09036

BOLSA 0 | L.A. 2 | MECONIO 2 | SEMANA DE AMENORREA 40 | SEXO 0

VITALIDAD 0 | EDAD MATERNA 36 | PARIDAD 04 | PESO DEL R.N. 3750

FORMA DE TERMINACION DEL PARTO 1 | LONGITUD DEL CORDON 58 | APGAR-1 09

APGAR-5 10 | MORBILIDAD 0

MADRE: PO_2 75 | PCO_2 25 | D.B. -8 | HCO_3^- 13 | P^H 7338

FETO: ARTERIA. PO_2 21 | PCO_2 48 | D.B. -6 | HCO_3^- 21 | P^H 7326

VENA. PO_2 32 | PCO_2 39 | D.B. -2 | HCO_3^- 22 | P^H 7334

TIPO DE ACIDOSIS MATERNA 0 | TIPO DE ACIDOSIS FETAL 0 | Δ-P^H MADRE-FETO 01

Δ-P^H VENA UMBILICAL-ARTERIA UMBILICAL 11 | PROMEDIO DE ASCENSOS ?. 11

PROMEDIO DE ASCENSOS TRANSITORIOS QUE COINCIDEN CON LA CONTRACCION 02

TAQUICARDIA 0 | BRADICARDIA 0 | VARIABILIDAD DE LA FCF 08 | DIP-I 00

DIP-II 00 | TOTAL DIPS UMBILICALES 06 | DIP-U 00 | $DIP\text{-}U_p$ 00

$DIP\text{-}U_t$ 00 | $DIP\text{-}U_a$ 00 | $DIP\text{-}U_{ap}$ 00 | $DIP\text{-}U_{at}$ 00 | $DIP\text{-}U_2$ 05

$DIP\text{-}U_{2p}$ 01 | $DIP\text{-}U_{2t}$ 00 | DIP-V 00 | $DIP\text{-}V_p$ 00

$DIP\text{-}V_t$ 00 | $DIP\text{-}V_b$ 00 | NUMERO DE CONTRACCIONES 139

NUMERO DE MINUTOS REGISTRADOS 237

HOJA CODIFICADA PARA EL ESTUDIO DE LAS VARIACIONES CARDIOTOCOGRAFICAS ATRIBUIDAS A LAS CIRCULARES DEL CORDON UMBILICAL

NOMBRE Y APELLIDOS:

GRUPO ESTUDIADO 0 | Nº DE Hª DE D.C. 058129 | Nº DE UCIP 11638

BOLSA 1 | L.A. 2 | MECONIO 2 | SEMANA DE AMENORREA 39 | SEXO 1

VITALIDAD 0 | EDAD MATERNA 27 | PARIDAD 01 | PESO DEL R.N. 3440

FORMA DE TERMINACION DEL PARTO 0 | LONGITUD DEL CORDON 50 | APGAR-1 10

APGAR-5 10 | MORBILIDAD 0

MADRE: PO_2 80 | PCO_2 21 | D.B. -10 | HCO_3^- 14 | P^H 7345

FETO: ARTERIA. PO_2 17 | PCO_2 40 | D.B. -12 | HCO_3^- 23 | P^H 7336

VENA. PO_2 28 | PCO_2 28 | D.B. -16 | HCO_3^- 18 | P^H 7343

TIPO DE ACIDOSIS MATERNA 0 | TIPO DE ACIDOSIS FETAL 0 | Δ-P^H MADRE-FETO 02

Δ-P^H VENA UMBILICAL-ARTERIA UMBILICAL 07 | PROMEDIO DE ASCENSOS ?. 39

PROMEDIO DE ASCENSOS TRANSITORIOS QUE COINCIDEN CON LA CONTRACCION 16

TAQUICARDIA 0 | BRADICARDIA 0 | VARIABILIDAD DE LA FCF 08 | DIP-I 00

DIP-II 00 | TOTAL DIPS UMBILICALES 03 | DIP-U 00 | $DIP\text{-}U_p$ 00

$DIP\text{-}U_t$ 00 | $DIP\text{-}U_a$ 00 | $DIP\text{-}U_{ap}$ 00 | $DIP\text{-}U_{at}$ 00 | $DIP\text{-}U_2$ 03

$DIP\text{-}U_{2p}$ 00 | $DIP\text{-}U_{2t}$ 00 | DIP-V 00 | $DIP\text{-}V_p$ 00

$DIP\text{-}V_t$ 00 | $DIP\text{-}V_b$ 00 | NUMERO DE CONTRACCIONES 029

NUMERO DE MINUTOS REGISTRADOS 114

HOJA CODIFICADA PARA EL ESTUDIO DE LAS VARIACIONES CARDIOTOCOGRAFICAS ATRIBUIDAS A LAS CIRCULARES DEL CORDON UMBILICAL

NOMBRE Y APELLIDOS:

GRUPO ESTUDIADO 0 | Nº DE Hª DE D.C. 046985 | Nº DE UCIP 12762

BOLSA 0 | L.A. 1 | MECONIO 1 | SEMANA DE AMENORREA 42 | SEXO 0

VITALIDAD 0 | EDAD MATERNA 27 | PARIDAD 00 | PESO DEL R.N. 3360

FORMA DE TERMINACION DEL PARTO 0 | LONGITUD DEL CORDON 55 | APGAR-1 10

APGAR-5 10 | MORBILIDAD 0

MADRE: PO_2 82 | PCO_2 21 | D.B. -9 | HCO_3^- 13 | P^H 7339

FETO: ARTERIA. PO_2 18 | PCO_2 39 | D.B. -5 | HCO_3^- 21 | P^H 7330

VENA. PO_2 25 | PCO_2 29 | D.B. -5 | HCO_3^- 18 | P^H 7339

TIPO DE ACIDOSIS MATERNA 0 | TIPO DE ACIDOSIS FETAL 0 | Δ-P^H MADRE-FETO 00

Δ-P^H VENA UMBILICAL-ARTERIA UMBILICAL 09 | PROMEDIO DE ASCENSOS ?. 34

PROMEDIO DE ASCENSOS TRANSITORIOS QUE COINCIDEN CON LA CONTRACCION 00

TAQUICARDIA 0 | BRADICARDIA 0 | VARIABILIDAD DE LA FCF 07 | DIP-I 00

DIP-II 00 | TOTAL DIPS UMBILICALES 14 | DIP-U 00 | $DIP\text{-}U_p$ 00

$DIP\text{-}U_t$ 00 | $DIP\text{-}U_a$ 00 | $DIP\text{-}U_{ap}$ 00 | $DIP\text{-}U_{at}$ 00 | $DIP\text{-}U_2$ 14

$DIP\text{-}U_{2p}$ 00 | $DIP\text{-}U_{2t}$ 00 | DIP-V 00 | $DIP\text{-}V_p$ 00

$DIP\text{-}V_t$ 00 | $DIP\text{-}V_b$ 00 | NUMERO DE CONTRACCIONES 001

NUMERO DE MINUTOS REGISTRADOS 087

HOJA CODIFICADA PARA EL ESTUDIO DE LAS VARIACIONES CARDIOTOCOGRAFICAS ATRIBUIDAS A LAS CIRCULARES DEL CORDON UMBILICAL

NOMBRE Y APELLIDOS:

GRUPO ESTUDIADO 0 | Nº DE Hª DE D.C. 063399 | Nº DE UCIP 09649

BOLSA 0 | L.A. 2 | MECONIO 2 | SEMANA DE AMENORREA 39 | SEXO 1

VITALIDAD 0 | EDAD MATERNA 42 | PARIDAD 02 | PESO DEL R.N. 3260

FORMA DE TERMINACION DEL PARTO 0 | LONGITUD DEL CORDON 50 | APGAR-1 09

APGAR-5 10 | MORBILIDAD 0

MADRE: PO_2 82 | PCO_2 31 | D.B. +2 | HCO_3^- 22 | P^H 7340

FETO: ARTERIA. PO_2 13 | PCO_2 50 | D.B. -6 | HCO_3^- 23 | P^H 7325

VENA. PO_2 23 | PCO_2 34 | D.B. -11 | HCO_3^- 24 | P^H 7340

TIPO DE ACIDOSIS MATERNA 0 | TIPO DE ACIDOSIS FETAL 0 | Δ-P^H MADRE-FETO 00

Δ-P^H VENA UMBILICAL-ARTERIA UMBILICAL 15 | PROMEDIO DE ASCENSOS ?. 10

PROMEDIO DE ASCENSOS TRANSITORIOS QUE COINCIDEN CON LA CONTRACCION 10

TAQUICARDIA 0 | BRADICARDIA 0 | VARIABILIDAD DE LA FCF 06 | DIP-I 00

DIP-II 00 | TOTAL DIPS UMBILICALES 05 | DIP-U 00 | $DIP\text{-}U_p$ 00

$DIP\text{-}U_t$ 00 | $DIP\text{-}U_a$ 00 | $DIP\text{-}U_{ap}$ 00 | $DIP\text{-}U_{at}$ 00 | $DIP\text{-}U_2$ 05

$DIP\text{-}U_{2p}$ 00 | $DIP\text{-}U_{2t}$ 00 | DIP-V 00 | $DIP\text{-}V_p$ 00

$DIP\text{-}V_t$ 00 | $DIP\text{-}V_b$ 00 | NUMERO DE CONTRACCIONES 006

NUMERO DE MINUTOS REGISTRADOS 160

HOJA CODIFICADA PARA EL ESTUDIO DE LAS VARIACIONES CARDIOTOCOGRAFICAS ATRIBUIDAS A LAS CIRCULARES DEL CORDON UMBILICAL

NOMBRE Y APELLIDOS:

GRUPO ESTUDIADO 0 | Nº DE Hª DE D.C. 065682 | Nº DE UCIP 12213

BOLSA 0 | L.A. 2 | MECONIO 1 | SEMANA DE AMENORREA 40 | SEXO 0

VITALIDAD 0 | EDAD MATERNA 32 | PARIDAD 03 | PESO DEL R.N. 4450

FORMA DE TERMINACION DEL PARTO 1 | LONGITUD DEL CORDON 68 | APGAR-1 09

APGAR-5 09 | MORBILIDAD 0

MADRE: PO_2 86 | PCO_2 25 | D.B. -10 | HCO_3^- 13 | P^H 7336

FETO: ARTERIA. PO_2 26 | PCO_2 45 | D.B. -8 | HCO_3^- 20 | P^H 7323

VENA. PO_2 38 | PCO_2 32 | D.B. -8 | HCO_3^- 17 | P^H 7332

TIPO DE ACIDOSIS MATERNA 0 | TIPO DE ACIDOSIS FETAL 0 | Δ-P^H MADRE-FETO 04

Δ-P^H VENA UMBILICAL-ARTERIA UMBILICAL 09 | PROMEDIO DE ASCENSOS ?. 10

PROMEDIO DE ASCENSOS TRANSITORIOS QUE COINCIDEN CON LA CONTRACCION 03

TAQUICARDIA 0 | BRADICARDIA 0 | VARIABILIDAD DE LA FCF 10 | DIP-I 00

DIP-II 00 | TOTAL DIPS UMBILICALES 08 | DIP-U 00 | $DIP\text{-}U_p$ 00

$DIP\text{-}U_t$ 00 | $DIP\text{-}U_a$ 00 | $DIP\text{-}U_{ap}$ 00 | $DIP\text{-}U_{at}$ 00 | $DIP\text{-}U_2$ 05

$DIP\text{-}U_{2p}$ 03 | $DIP\text{-}U_{2t}$ 00 | DIP-V 00 | $DIP\text{-}V_p$ 00

$DIP\text{-}V_t$ 00 | $DIP\text{-}V_b$ 00 | NUMERO DE CONTRACCIONES 014

NUMERO DE MINUTOS REGISTRADOS 120

HOJA CODIFICADA PARA EL ESTUDIO DE LAS VARIACIONES CARDIOTOCOGRAFICAS ATRIBUIDAS A LAS CIRCULARES DEL CORDON UMBILICAL

NOMBRE Y APELLIDOS:

GRUPO ESTUDIADO 0 | Nº DE Hª DE D.C. 100206 | Nº DE UCIP 14638

BOLSA 1 | L.A. 2 | MECONIO 1 | SEMANA DE AMENORREA 40 | SEXO 1

VITALIDAD 0 | EDAD MATERNA 21 | PARIDAD 00 | PESO DEL R.N. 3420

FORMA DE TERMINACION DEL PARTO 0 | LONGITUD DEL CORDON 60 | APGAR-1 10

APGAR-5 10 | MORBILIDAD 0

MADRE: PO_2 66 | PCO_2 25 | D.B. -8 | HCO_3^- 15 | P^H 7339

FETO: ARTERIA. PO_2 19 | PCO_2 41 | D.B. -2 | HCO_3^- 24 | P^H 7335

VENA. PO_2 30 | PCO_2 33 | D.B. -5 | HCO_3^- 19 | P^H 7338

TIPO DE ACIDOSIS MATERNA 0 | TIPO DE ACIDOSIS FETAL 0 | Δ-P^H MADRE-FETO 01

Δ-P^H VENA UMBILICAL-ARTERIA UMBILICAL 03 | PROMEDIO DE ASCENSOS ?. 32

PROMEDIO DE ASCENSOS TRANSITORIOS QUE COINCIDEN CON LA CONTRACCION 05

TAQUICARDIA 0 | BRADICARDIA 0 | VARIABILIDAD DE LA FCF 06 | DIP-I 00

DIP-II 00 | TOTAL DIPS UMBILICALES 13 | DIP-U 00 | $DIP\text{-}U_p$ 00

$DIP\text{-}U_t$ 00 | $DIP\text{-}U_a$ 00 | $DIP\text{-}U_{ap}$ 00 | $DIP\text{-}U_{at}$ 00 | $DIP\text{-}U_2$ 04

$DIP\text{-}U_{2p}$ 09 | $DIP\text{-}U_{2t}$ 00 | DIP-V 00 | $DIP\text{-}V_p$ 00

$DIP\text{-}V_t$ 00 | $DIP\text{-}V_b$ 00 | NUMERO DE CONTRACCIONES 022

NUMERO DE MINUTOS REGISTRADOS 165

HOJA CODIFICADA PARA EL ESTUDIO DE LAS VARIACIONES CARDIOTOCOGRAFICAS ATRIBUIDAS A LAS CIRCULARES DEL CORDON UMBILICAL

NOMBRE Y APELLIDOS:

GRUPO ESTUDIADO 0 | Nº DE Hª DE D.C. 079304 | Nº DE UCIP 15288

BOLSA 0 | L.A. 2 | MECONIO 1 | SEMANA DE AMENORREA 39 | SEXO 0

VITALIDAD 0 | EDAD MATERNA 34 | PARIDAD 03 | PESO DEL R.N. 3530

FORMA DE TERMINACION DEL PARTO 0 | LONGITUD DEL CORDON 65 | APGAR-1 10

APGAR-5 10 | MORBILIDAD 0

MADRE: PO_2 -- | PCO_2 -- | D.B. ---- | HCO_3^- -- | P^H ----

FETO: ARTERIA. PO_2 -- | PCO_2 -- | D.B. ---- | HCO_3^- -- | P^H ----

VENA. PO_2 -- | PCO_2 -- | D.B. ---- | HCO_3^- -- | P^H ----

TIPO DE ACIDOSIS MATERNA - | TIPO DE ACIDOSIS FETAL - | Δ-P^H MADRE-FETO --

Δ-P^H VENA UMBILICAL-ARTERIA UMBILICAL -- | PROMEDIO DE ASCENSOS ?. 27

PROMEDIO DE ASCENSOS TRANSITORIOS QUE COINCIDEN CON LA CONTRACCION 14

TAQUICARDIA 0 | BRADICARDIA 0 | VARIABILIDAD DE LA FCF 08 | DIP-I 00

DIP-II 00 | TOTAL DIPS UMBILICALES 02 | DIP-U 00 | $DIP\text{-}U_p$ 00

$DIP\text{-}U_t$ 00 | $DIP\text{-}U_a$ 00 | $DIP\text{-}U_{ap}$ 00 | $DIP\text{-}U_{at}$ 00 | $DIP\text{-}U_2$ 02

$DIP\text{-}U_{2p}$ 00 | $DIP\text{-}U_{2t}$ 00 | DIP-V 00 | $DIP\text{-}V_p$ 00

$DIP\text{-}V_t$ 00 | $DIP\text{-}V_b$ 00 | NUMERO DE CONTRACCIONES 013

NUMERO DE MINUTOS REGISTRADOS 182

HOJA CODIFICADA PARA EL ESTUDIO DE LAS VARIACIONES CARDIOTOCOGRAFICAS ATRIBUIDAS A LAS CIRCULARES DEL CORDON UMBILICAL

NOMBRE Y APELLIDOS:

GRUPO ESTUDIADO 1: 0 | Nº DE Hª DE D.C. 2 3 4 5 6 7: 0 1 1 6 4 0 | Nº DE UCIP 8 9 10 11 12: 0 9 3 7 2

BOLSA 13: 0 | L.A. 14: 2 | MECONIO 15: 0 | SEMANA DE AMENORREA 16 17: 4 0 | SEXO 18: 1

VITALIDAD 19: 0 | EDAD MATERNA 20 21: 2 7 | PARIDAD 22 23: 0 1 | PESO DEL R.N. 24 25 26 27: 3 1 9 0

FORMA DE TERMINACION DEL PARTO 28: 4 | LONGITUD DEL CORDON 29 30: 5 0 | APGAR-1 31 32: 1 0

APGAR-5 33 34: 1 0 | MORBILIDAD 35: 3

MADRE: Po_2 36 37: 9 2 | Pco_2 38 39: 5 3 | D.B. 40 41 42: - - 5 | HCO_3^- 43 44: 2 3 | P^H 45 46 47: 7 2 8

FETO: ARTERIA. Po_2 48 49: 2 1 | Pco_2 50 51: 7 0 | D.B. 52 53 54: - - 1 | HCO_3^- 55 56: 2 9 | P^H 57 58 59: 7 2 3

VENA. Po_2 60 61: 4 0 | Pco_2 62 63: 6 0 | D.B. 64 65 66: - - 2 | HCO_3^- 67 68: 2 7 | P^H 69 70 71: 7 2 7

TIPO DE ACIDOSIS MATERNA 72: 0 | TIPO DE ACIDOSIS FETAL 73: 0 | Δ-P^H MADRE-FETO 74 75: 0 2

Δ-P^H VENA UMBILICAL-ARTERIA UMBILICAL 76 77: 0 4 | PROMEDIO DE ASCENSOS ?. 78 79: 4 5

PROMEDIO DE ASCENSOS TRANSITORIOS QUE COINCIDEN CON LA CONTRACCION 80 81: 1 0

TAQUICARDIA 82: 0 | BRADICARDIA 83: 0 | VARIABILIDAD DE LA FCF 84 85: 0 6 | DIP-I 86 87: 0 0

DIP-II 88 89: 0 0 | TOTAL DIPS UMBILICALES 90 91: 0 5 | DIP-U 92 93: 0 0 | $DIP\text{-}U_p$ 94 95: 0 0

$DIP\text{-}U_t$ 96 97: 0 0 | $DIP\text{-}U_m$ 98 99: 0 0 | $DIP\text{-}U_{m'}$ 100 101: 0 0 | $DIP\text{-}U_{m''}$ 102 103: 0 0 | $DIP\text{-}U_2$ 104 105: 0 0

$DIP\text{-}U_{\lambda p}$ 106 107: 0 5 | $DIP\text{-}U_{\lambda t}$ 108 109: 0 0 | DIP-V 110 111: 0 0 | $DIP\text{-}V_p$ 112 113: 0 0

$DIP\text{-}V_t$ 114 115: 0 0 | $DIP\text{-}V_b$ 116 117: 0 0 | NUMERO DE CONTRACCIONES 118 119 120: 0 0 7

NUMERO DE MINUTOS REGISTRADOS 121 122 123: 0 6 0

HOJA CODIFICADA PARA EL ESTUDIO DE LAS VARIACIONES CARDIOTOCOGRAFICAS ATRIBUIDAS A LAS CIRCULARES DEL CORDON UMBILICAL

NOMBRE Y APELLIDOS:

GRUPO ESTUDIADO 1: 2 | Nº DE Hª DE D.C. 2 3 4 5 6 7: 0 5 0 7 3 9 | Nº DE UCIP 8 9 10 11 12: 1 2 4 7 0

BOLSA 13: 0 | L.A. 14: 3 | MECONIO 15: 2 | SEMANA DE AMENORREA 16 17: 4 0 | SEXO 18: 1

VITALIDAD 19: 0 | EDAD MATERNA 20 21: 2 8 | PARIDAD 22 23: 0 1 | PESO DEL R.N. 24 25 26 27: 4 3 1 0

FORMA DE TERMINACION DEL PARTO 28: 0 | LONGITUD DEL CORDON 29 30: 6 0 | APGAR-1 31 32: 0 7

APGAR-5 33 34: 0 9 | MORBILIDAD 35: 0

MADRE: Po_2 36 37: 9 3 | Pco_2 38 39: - - | D.B. 40 41 42: - - - | HCO_3^- 43 44: - - | P^H 45 46 47: 7 3 8

FETO: ARTERIA. Po_2 48 49: 1 3 | Pco_2 50 51: - - | D.B. 52 53 54: - - - | HCO_3^- 55 56: - - | P^H 57 58 59: 7 3 6

VENA. Po_2 60 61: 3 2 | Pco_2 62 63: - - | D.B. 64 65 66: - - - | HCO_3^- 67 68: - - | P^H 69 70 71: 7 3 7

TIPO DE ACIDOSIS MATERNA 72: - | TIPO DE ACIDOSIS FETAL 73: - | Δ-P^H MADRE-FETO 74 75: 0 1

Δ-P^H VENA UMBILICAL-ARTERIA UMBILICAL 76 77: 0 1 | PROMEDIO DE ASCENSOS ?. 78 79: 0 3

PROMEDIO DE ASCENSOS TRANSITORIOS QUE COINCIDEN CON LA CONTRACCION 80 81: 0 0

TAQUICARDIA 82: 0 | BRADICARDIA 83: 0 | VARIABILIDAD DE LA FCF 84 85: 0 7 | DIP-I 86 87: 0 0

DIP-II 88 89: 0 0 | TOTAL DIPS UMBILICALES 90 91: 1 2 | DIP-U 92 93: 0 0 | $DIP\text{-}U_p$ 94 95: 0 0

$DIP\text{-}U_t$ 96 97: 0 0 | $DIP\text{-}U_m$ 98 99: 0 0 | $DIP\text{-}U_{m'}$ 100 101: 0 0 | $DIP\text{-}U_{m''}$ 102 103: 0 0 | $DIP\text{-}U_2$ 104 105: 1 2

$DIP\text{-}U_{\lambda p}$ 106 107: 0 0 | $DIP\text{-}U_{\lambda t}$ 108 109: 0 0 | DIP-V 110 111: 0 2 | $DIP\text{-}V_p$ 112 113: 0 0

$DIP\text{-}V_t$ 114 115: 0 0 | $DIP\text{-}V_b$ 116 117: 0 0 | NUMERO DE CONTRACCIONES 118 119 120: 0 3 8

NUMERO DE MINUTOS REGISTRADOS 121 122 123: 1 8 0

HOJA CODIFICADA PARA EL ESTUDIO DE LAS VARIACIONES CARDIOTOCOGRAFICAS ATRIBUIDAS A LAS CIRCULARES DEL CORDON UMBILICAL

NOMBRE Y APELLIDOS:

GRUPO ESTUDIADO 1: 2 | Nº DE Hª DE D.C. 2 3 4 5 6 7: 0 4 6 2 4 3 | Nº DE UCIP 8 9 10 11 12: 0 9 8 8 6

BOLSA 13: 1 | L.A. 14: 2 | MECONIO 15: 0 | SEMANA DE AMENORREA 16 17: 4 2 | SEXO 18: 1

VITALIDAD 19: 0 | EDAD MATERNA 20 21: 3 6 | PARIDAD 22 23: 0 2 | PESO DEL R.N. 24 25 26 27: 2 7 8 0

FORMA DE TERMINACION DEL PARTO 28: 1 | LONGITUD DEL CORDON 29 30: 4 0 | APGAR-1 31 32: 0 7

APGAR-5 33 34: 0 9 | MORBILIDAD 35: 0

MADRE: Po_2 36 37: 7 2 | Pco_2 38 39: 3 1 | D.B. 40 41 42: - - 8 | HCO_3^- 43 44: 1 6 | P^H 45 46 47: 7 3 4

FETO: ARTERIA. Po_2 48 49: 1 6 | Pco_2 50 51: 6 1 | D.B. 52 53 54: - - 4 | HCO_3^- 55 56: 2 5 | P^H 57 58 59: 7 2 7

VENA. Po_2 60 61: 2 5 | Pco_2 62 63: 4 2 | D.B. 64 65 66: - - 4 | HCO_3^- 67 68: 2 2 | P^H 69 70 71: 7 3 3

TIPO DE ACIDOSIS MATERNA 72: 0 | TIPO DE ACIDOSIS FETAL 73: 0 | Δ-P^H MADRE-FETO 74 75: 0 1

Δ-P^H VENA UMBILICAL-ARTERIA UMBILICAL 76 77: 0 6 | PROMEDIO DE ASCENSOS ?. 78 79: 1 5

PROMEDIO DE ASCENSOS TRANSITORIOS QUE COINCIDEN CON LA CONTRACCION 80 81: 0 1

TAQUICARDIA 82: 0 | BRADICARDIA 83: 0 | VARIABILIDAD DE LA FCF 84 85: 0 8 | DIP-I 86 87: 0 0

DIP-II 88 89: 0 0 | TOTAL DIPS UMBILICALES 90 91: 0 8 | DIP-U 92 93: 0 0 | $DIP\text{-}U_p$ 94 95: 0 0

$DIP\text{-}U_t$ 96 97: 0 0 | $DIP\text{-}U_m$ 98 99: 0 0 | $DIP\text{-}U_{m'}$ 100 101: 0 0 | $DIP\text{-}U_{m''}$ 102 103: 0 0 | $DIP\text{-}U_2$ 104 105: 0 5

$DIP\text{-}U_{\lambda p}$ 106 107: 0 1 | $DIP\text{-}U_{\lambda t}$ 108 109: 0 2 | DIP-V 110 111: 0 1 | $DIP\text{-}V_p$ 112 113: 0 0

$DIP\text{-}V_t$ 114 115: 0 1 | $DIP\text{-}V_b$ 116 117: 0 1 | NUMERO DE CONTRACCIONES 118 119 120: 0 7 3

NUMERO DE MINUTOS REGISTRADOS 121 122 123: 6 5 5

HOJA CODIFICADA PARA EL ESTUDIO DE LAS VARIACIONES CARDIOTOCOGRAFICAS ATRIBUIDAS A LAS CIRCULARES DEL CORDON UMBILICAL

NOMBRE Y APELLIDOS:

GRUPO ESTUDIADO 1: 2 | Nº DE Hª DE D.C. 2 3 4 5 6 7: 0 8 2 2 6 0 | Nº DE UCIP 8 9 10 11 12: 1 2 2 0 3

BOLSA 13: 1 | L.A. 14: 2 | MECONIO 15: 0 | SEMANA DE AMENORREA 16 17: 4 1 | SEXO 18: 0

VITALIDAD 19: 0 | EDAD MATERNA 20 21: 2 3 | PARIDAD 22 23: 0 2 | PESO DEL R.N. 24 25 26 27: 3 2 2 0

FORMA DE TERMINACION DEL PARTO 28: 1 | LONGITUD DEL CORDON 29 30: 5 5 | APGAR-1 31 32: 0 8

APGAR-5 33 34: 0 9 | MORBILIDAD 35: 3

MADRE: Po_2 36 37: 8 2 | Pco_2 38 39: 3 5 | D.B. 40 41 42: - - 6 | HCO_3^- 43 44: 1 7 | P^H 45 46 47: 7 3 4

FETO: ARTERIA. Po_2 48 49: 1 8 | Pco_2 50 51: 4 5 | D.B. 52 53 54: - - 4 | HCO_3^- 55 56: 2 1 | P^H 57 58 59: 7 2 8

VENA. Po_2 60 61: 2 5 | Pco_2 62 63: 4 2 | D.B. 64 65 66: - - 3 | HCO_3^- 67 68: 2 2 | P^H 69 70 71: 7 3 4

TIPO DE ACIDOSIS MATERNA 72: 0 | TIPO DE ACIDOSIS FETAL 73: 0 | Δ-P^H MADRE-FETO 74 75: 0 0

Δ-P^H VENA UMBILICAL-ARTERIA UMBILICAL 76 77: 0 6 | PROMEDIO DE ASCENSOS ?. 78 79: 0 0

PROMEDIO DE ASCENSOS TRANSITORIOS QUE COINCIDEN CON LA CONTRACCION 80 81: 0 0

TAQUICARDIA 82: 0 | BRADICARDIA 83: 0 | VARIABILIDAD DE LA FCF 84 85: 0 7 | DIP-I 86 87: 0 1

DIP-II 88 89: 0 0 | TOTAL DIPS UMBILICALES 90 91: 2 6 | DIP-U 92 93: 0 1 | $DIP\text{-}U_p$ 94 95: 0 1

$DIP\text{-}U_t$ 96 97: 0 0 | $DIP\text{-}U_m$ 98 99: 0 0 | $DIP\text{-}U_{m'}$ 100 101: 0 0 | $DIP\text{-}U_{m''}$ 102 103: 0 0 | $DIP\text{-}U_2$ 104 105: 2 0

$DIP\text{-}U_{\lambda p}$ 106 107: 0 4 | $DIP\text{-}U_{\lambda t}$ 108 109: 0 0 | DIP-V 110 111: 0 7 | $DIP\text{-}V_p$ 112 113: 0 2

$DIP\text{-}V_t$ 114 115: 0 1 | $DIP\text{-}V_b$ 116 117: 0 0 | NUMERO DE CONTRACCIONES 118 119 120: 1 2 3

NUMERO DE MINUTOS REGISTRADOS 121 122 123: 4 9 2

HOJA CODIFICADA PARA EL ESTUDIO DE LAS VARIACIONES CARDIOTOCOGRAFICAS ATRIBUIDAS A LAS CIRCULARES DEL CORDON UMBILICAL

NOMBRE Y APELLIDOS:

GRUPO ESTUDIADO 1 [1] Nº DE Hª DE D.C. 2 3 4 5 6 7 [0 7 4 4 8 2] Nº DE UCIP 8 9 10 11 12 [1 1 2 9 8]

BOLSA 13 [1] L.A. 14 [0] MECONIO 15 [0] SEMANA DE AMENORREA 16 17 [4 0] SEXO 18 [1]

VITALIDAD 19 [0] EDAD MATERNA 20 21 [3 0] PARIDAD 22 23 [0 1] PESO DEL R.N. 24 25 26 27 [3 6 9 0]

FORMA DE TERMINACION DEL PARTO 28 [4] LONGITUD DEL CORDON 29 30 [7 0] APGAR-1 31 32 [0 3]

APGAR-5 33 34 [0 8] MORBILIDAD 35 [0]

MADRE: PO_2 36 37 [5 1] PCO_2 38 39 [4 3] D.B. 40 41 42 [- 2] HCO_3^- 43 44 [2 3] P^H 45 46 47 [7 3 5]

FETO: ARTERIA. PO_2 48 49 [1 5] PCO_2 50 51 [4 0] D.B. 52 53 54 [- 2] HCO_3^- 55 56 [2 7] P^H 57 58 59 [7 2 5]

VENA. PO_2 60 61 [2 9] PCO_2 62 63 [5 3] D.B. 64 65 66 [- 1] HCO_3^- 67 68 [2 6] P^H 69 70 71 [7 3 0]

TIPO DE ACIDOSIS MATERNA 72 [0] TIPO DE ACIDOSIS FETAL 73 [0] Δ-P^H MADRE-FETO 74 75 [0 5]

Δ-P^H VENA UMBILICAL-ARTERIA UMBILICAL 76 77 [0 5] PROMEDIO DE ASCENSOS ?. 78 79 [0 0]

PROMEDIO DE ASCENSOS TRANSITORIOS QUE COINCIDEN CON LA CONTRACCION 80 81 [0 0]

TAQUICARDIA 82 [C] BRADICARDIA 83 [0] VARIABILIDAD DE LA FCF 84 85 [0 5] DIP-I 86 87 [0 0]

DIP-II 88 89 [0 0] TOTAL DIPS UMBILICALES 90 91 [0 0] DIP-U 92 93 [0 0] $DIP\text{-}U_p$ 94 95 [0 0]

$DIP\text{-}U_t$ 96 97 [0 0] $DIP\text{-}U_v$ 98 99 [0 0] $DIP\text{-}U_{vp}$ 100 101 [0 0] $DIP\text{-}U_{vt}$ 102 103 [0 0] $DIP\text{-}U_\lambda$ 104 105 [0 0]

$DIP\text{-}U_{\lambda p}$ 106 107 [0 0] $DIP\text{-}U_{\lambda t}$ 108 109 [0 0] DIP-V 110 111 [0 0] $DIP\text{-}V_p$ 112 113 [0 0]

$DIP\text{-}V_t$ 114 115 [0 0] $DIP\text{-}V_b$ 116 117 [0 0] NUMERO DE CONTRACCIONES 118 119 120 [0 5 4]

NUMERO DE MINUTOS REGISTRADOS 121 122 123 [1 6 8]

HOJA CODIFICADA PARA EL ESTUDIO DE LAS VARIACIONES CARDIOTOCOGRAFICAS ATRIBUIDAS A LAS CIRCULARES DEL CORDON UMBILICAL

NOMBRE Y APELLIDOS:

GRUPO ESTUDIADO 1 [1] Nº DE Hª DE D.C. 2 3 4 5 6 7 [0 6 1 2 0 5] Nº DE UCIP 8 9 10 11 12 [0 9 3 1 1 3]

BOLSA 13 [0] L.A. 14 [2] MECONIO 15 [0] SEMANA DE AMENORREA 16 17 [3 9] SEXO 18 [1]

VITALIDAD 19 [0] EDAD MATERNA 20 21 [2 1] PARIDAD 22 23 [0 0] PESO DEL R.N. 24 25 26 27 [3 9 2 0]

FORMA DE TERMINACION DEL PARTO 28 [2] LONGITUD DEL CORDON 29 30 [6 0] APGAR-1 31 32 [0 6]

APGAR-5 33 34 [0 9] MORBILIDAD 35 [0]

MADRE: PO_2 36 37 [5 8] PCO_2 38 39 [2 8] D.B. 40 41 42 [- 7] HCO_3^- 43 44 [1 6] P^H 45 46 47 [7 3 8]

FETO: ARTERIA. PO_2 48 49 [2 2] PCO_2 50 51 [5 9] D.B. 52 53 54 [- 7] HCO_3^- 55 56 [2 3] P^H 57 58 59 [7 2 0]

VENA. PO_2 60 61 [3 1] PCO_2 62 63 [4 5] D.B. 64 65 66 [- 5] HCO_3^- 67 68 [2 2] P^H 69 70 71 [7 3 0]

TIPO DE ACIDOSIS MATERNA 72 [0] TIPO DE ACIDOSIS FETAL 73 [3] Δ-P^H MADRE-FETO 74 75 [0 8]

Δ-P^H VENA UMBILICAL-ARTERIA UMBILICAL 76 77 [1 0] PROMEDIO DE ASCENSOS ?. 78 79 [6 5]

PROMEDIO DE ASCENSOS TRANSITORIOS QUE COINCIDEN CON LA CONTRACCION 80 81 [0 5]

TAQUICARDIA 82 [0] BRADICARDIA 83 [0] VARIABILIDAD DE LA FCF 84 85 [0 6] DIP-I 86 87 [0 0]

DIP-II 88 89 [0 0] TOTAL DIPS UMBILICALES 90 91 [0 0] DIP-U 92 93 [0 0] $DIP\text{-}U_p$ 94 95 [0 0]

$DIP\text{-}U_t$ 96 97 [0 0] $DIP\text{-}U_v$ 98 99 [0 0] $DIP\text{-}U_{vp}$ 100 101 [0 0] $DIP\text{-}U_{vt}$ 102 103 [0 0] $DIP\text{-}U_\lambda$ 104 105 [0 0]

$DIP\text{-}U_{\lambda p}$ 106 107 [0 0] $DIP\text{-}U_{\lambda t}$ 108 109 [0 0] DIP-V 110 111 [0 0] $DIP\text{-}V_p$ 112 113 [0 0]

$DIP\text{-}V_t$ 114 115 [0 0] $DIP\text{-}V_b$ 116 117 [0 0] NUMERO DE CONTRACCIONES 118 119 120 [0 1 8]

NUMERO DE MINUTOS REGISTRADOS 121 122 123 [1 6 5]

HOJA CODIFICADA PARA EL ESTUDIO DE LAS VARIACIONES CARDIOTOCOGRAFICAS ATRIBUIDAS A LAS CIRCULARES DEL CORDON UMBILICAL

NOMBRE Y APELLIDOS:

GRUPO ESTUDIADO 1 [1] Nº DE Hª DE D.C. 2 3 4 5 6 7 [0 5 8 4 4 0] Nº DE UCIP 8 9 10 11 12 [1 2 8 2 8]

BOLSA 13 [0] L.A. 14 [2] MECONIO 15 [0] SEMANA DE AMENORREA 16 17 [3 9] SEXO 18 [0]

VITALIDAD 19 [0] EDAD MATERNA 20 21 [2 5] PARIDAD 22 23 [0 2] PESO DEL R.N. 24 25 26 27 [3 7 8 0]

FORMA DE TERMINACION DEL PARTO 28 [0] LONGITUD DEL CORDON 29 30 [6 0] APGAR-1 31 32 [0 7]

APGAR-5 33 34 [1 0] MORBILIDAD 35 [0]

MADRE: PO_2 36 37 [9 2] PCO_2 38 39 [2 7] D.B. 40 41 42 [- 8] HCO_3^- 43 44 [1 5] P^H 45 46 47 [7 3 5]

FETO: ARTERIA. PO_2 48 49 [0 5] PCO_2 50 51 [7 3] D.B. 52 53 54 [- 3] HCO_3^- 55 56 [2 8] P^H 57 58 59 [7 1 9]

VENA. PO_2 60 61 [2 8] PCO_2 62 63 [4 6] D.B. 64 65 66 [- 4] HCO_3^- 67 68 [2 2] P^H 69 70 71 [7 3 0]

TIPO DE ACIDOSIS MATERNA 72 [0] TIPO DE ACIDOSIS FETAL 73 [1] Δ-P^H MADRE-FETO 74 75 [0 5]

Δ-P^H VENA UMBILICAL-ARTERIA UMBILICAL 76 77 [1 1] PROMEDIO DE ASCENSOS ?. 78 79 [0 9]

PROMEDIO DE ASCENSOS TRANSITORIOS QUE COINCIDEN CON LA CONTRACCION 80 81 [0 0]

TAQUICARDIA 82 [0] BRADICARDIA 83 [0] VARIABILIDAD DE LA FCF 84 85 [0 4] DIP-I 86 87 [0 0]

DIP-II 88 89 [0 0] TOTAL DIPS UMBILICALES 90 91 [0 0] DIP-U 92 93 [0 0] $DIP\text{-}U_p$ 94 95 [0 0]

$DIP\text{-}U_t$ 96 97 [0 0] $DIP\text{-}U_v$ 98 99 [0 0] $DIP\text{-}U_{vp}$ 100 101 [0 0] $DIP\text{-}U_{vt}$ 102 103 [0 0] $DIP\text{-}U_\lambda$ 104 105 [0 0]

$DIP\text{-}U_{\lambda p}$ 106 107 [0 0] $DIP\text{-}U_{\lambda t}$ 108 109 [0 0] DIP-V 110 111 [0 0] $DIP\text{-}V_p$ 112 113 [0 0]

$DIP\text{-}V_t$ 114 115 [0 0] $DIP\text{-}V_b$ 116 117 [0 0] NUMERO DE CONTRACCIONES 118 119 120 [0 0 9]

NUMERO DE MINUTOS REGISTRADOS 121 122 123 [0 6 9]

HOJA CODIFICADA PARA EL ESTUDIO DE LAS VARIACIONES CARDIOTOCOGRAFICAS ATRIBUIDAS A LAS CIRCULARES DEL CORDON UMBILICAL

NOMBRE Y APELLIDOS:

GRUPO ESTUDIADO 1 [1] Nº DE Hª DE D.C. 2 3 4 5 6 7 [0 8 3 9 1 6] Nº DE UCIP 8 9 10 11 12 [1 3 3 1 1 6]

BOLSA 13 [0] L.A. 14 [2] MECONIO 15 [2] SEMANA DE AMENORREA 16 17 [4 2] SEXO 18 [1]

VITALIDAD 19 [0] EDAD MATERNA 20 21 [2 0] PARIDAD 22 23 [0 0] PESO DEL R.N. 24 25 26 27 [3 4 5 0]

FORMA DE TERMINACION DEL PARTO 28 [3] LONGITUD DEL CORDON 29 30 [6 0] APGAR-1 31 32 [0 8]

APGAR-5 33 34 [1 0] MORBILIDAD 35 [0]

MADRE: PO_2 36 37 [8 3] PCO_2 38 39 [2 0] D.B. 40 41 42 [- 1 0] HCO_3^- 43 44 [1 2] P^H 45 46 47 [7 3 7]

FETO: ARTERIA. PO_2 48 49 [2 1] PCO_2 50 51 [4 8] D.B. 52 53 54 [- 1 0] HCO_3^- 55 56 [1 9] P^H 57 58 59 [7 1 9]

VENA. PO_2 60 61 [2 9] PCO_2 62 63 [3 4] D.B. 64 65 66 [- 1 0] HCO_3^- 67 68 [1 6] P^H 69 70 71 [7 2 8]

TIPO DE ACIDOSIS MATERNA 72 [0] TIPO DE ACIDOSIS FETAL 73 [3] Δ-P^H MADRE-FETO 74 75 [0 9]

Δ-P^H VENA UMBILICAL-ARTERIA UMBILICAL 76 77 [0 9] PROMEDIO DE ASCENSOS ?. 78 79 [2 7]

PROMEDIO DE ASCENSOS TRANSITORIOS QUE COINCIDEN CON LA CONTRACCION 80 81 [1 4]

TAQUICARDIA 82 [0] BRADICARDIA 83 [0] VARIABILIDAD DE LA FCF 84 85 [0 7] DIP-I 86 87 [0 0]

DIP-II 88 89 [0 0] TOTAL DIPS UMBILICALES 90 91 [0 0] DIP-U 92 93 [0 0] $DIP\text{-}U_p$ 94 95 [0 0]

$DIP\text{-}U_t$ 96 97 [0 0] $DIP\text{-}U_v$ 98 99 [0 0] $DIP\text{-}U_{vp}$ 100 101 [0 0] $DIP\text{-}U_{vt}$ 102 103 [0 0] $DIP\text{-}U_\lambda$ 104 105 [0 0]

$DIP\text{-}U_{\lambda p}$ 106 107 [0 0] $DIP\text{-}U_{\lambda t}$ 108 109 [0 0] DIP-V 110 111 [0 0] $DIP\text{-}V_p$ 112 113 [0 0]

$DIP\text{-}V_t$ 114 115 [0 0] $DIP\text{-}V_b$ 116 117 [0 0] NUMERO DE CONTRACCIONES 118 119 120 [0 1 7]

NUMERO DE MINUTOS REGISTRADOS 121 122 123 [2 3 1]

HOJA CODIFICADA PARA EL ESTUDIO DE LAS VARIACIONES CARDIOTOCOGRAFICAS ATRIBUIDAS A LAS CIRCULARES DEL CORDON UMBILICAL

NOMBRE Y APELLIDOS:

GRUPO ESTUDIADO 1 | Nº DE Hª DE D.C. 2 3 4 5 6 7 | 0 3 6 3 9 4 | Nº DE UCIP 8 9 10 11 12 | 1 5 3 5 2

BOLSA 13 | 0 | L.A. 14 | 2 | MECONIO 15 | 2 | SEMANA DE AMENORREA 16 17 | 4 1 | SEXO 18 | 0

VITALIDAD 19 | 0 | EDAD MATERNA 20 21 | 2 5 | PARIDAD 22 23 | 0 1 | PESO DEL R.N. 24 25 26 27 | 4 0 0 0

FORMA DE TERMINACION DEL PARTO 28 | 0 | LONGITUD DEL CORDON 29 30 | 5 0 | APGAR-1 31 32 | 0 8

APGAR-5 33 34 | 0 9 | MORBILIDAD 35 | 0

MADRE: PO_2 36 37 | - - | PCO_2 38 39 | - - | D.B. 40 41 42 | - - - | HCO_3^- 43 44 | - - | P^H 45 46 47 | - - -

FETO: ARTERIA. PO_2 48 49 | - - | PCO_2 50 51 | - - | D.B. 52 53 54 | - - - | HCO_3^- 55 56 | - - | P^H 57 58 59 | - - -

VENA. PO_2 60 61 | - - | PCO_2 62 63 | - - | D.B. 64 65 66 | - - - | HCO_3^- 67 68 | - - | P^H 69 70 71 | - - -

TIPO DE ACIDOSIS MATERNA 72 | - | TIPO DE ACIDOSIS FETAL 73 | - | Δ-P^H MADRE-FETO 74 75 | - -

Δ-P^H VENA UMBILICAL-ARTERIA UMBILICAL 76 77 | - - | PROMEDIO DE ASCENSOS ?. 78 79 | 7 1

PROMEDIO DE ASCENSOS TRANSITORIOS QUE COINCIDEN CON LA CONTRACCION 80 81 | 1 3

TAQUICARDIA 82 | 0 | BRADICARDIA 83 | 0 | VARIABILIDAD DE LA FCF 84 85 | 0 8 | DIP-I 86 87 | 0 0

DIP-II 88 89 | 0 0 | TOTAL DIPS UMBILICALES 90 91 | 0 0 | DIP-U 92 93 | 0 0 | $DIP\text{-}U_p$ 94 95 | 0 0

$DIP\text{-}U_t$ 96 97 | 0 0 | $DIP\text{-}U_v$ 98 99 | 0 0 | $DIP\text{-}U_{vp}$ 100 101 | 0 0 | $DIP\text{-}U_{vt}$ 102 103 | 0 0 | $DIP\text{-}U_\lambda$ 104 105 | 0 0

$DIP\text{-}U_{\lambda p}$ 106 107 | 0 0 | $DIP\text{-}U_{\lambda t}$ 108 109 | 0 0 | DIP-V 110 111 | 0 0 | $DIP\text{-}V_p$ 112 113 | 0 0

$DIP\text{-}V_t$ 114 115 | 0 0 | $DIP\text{-}V_b$ 116 117 | 0 0 | NUMERO DE CONTRACCIONES 118 119 120 | 0 1 1

NUMERO DE MINUTOS REGISTRADOS 121 122 123 | 0 6 8

HOJA CODIFICADA PARA EL ESTUDIO DE LAS VARIACIONES CARDIOTOCOGRAFICAS ATRIBUIDAS A LAS CIRCULARES DEL CORDON UMBILICAL

NOMBRE Y APELLIDOS:

GRUPO ESTUDIADO 1 | Nº DE Hª DE D.C. 2 3 4 5 6 7 | 0 1 4 4 6 3 | Nº DE UCIP 8 9 10 11 12 | 1 3 4 2 3

BOLSA 13 | 0 | L.A. 14 | 2 | MECONIO 15 | 2 | SEMANA DE AMENORREA 16 17 | 4 0 | SEXO 18 | 0

VITALIDAD 19 | 0 | EDAD MATERNA 20 21 | 3 8 | PARIDAD 22 23 | 0 4 | PESO DEL R.N. 24 25 26 27 | 3 2 0 0

FORMA DE TERMINACION DEL PARTO 28 | 0 | LONGITUD DEL CORDON 29 30 | 6 0 | APGAR-1 31 32 | 0 9

APGAR-5 33 34 | 1 0 | MORBILIDAD 35 | 0

MADRE: PO_2 36 37 | 9 8 | PCO_2 38 39 | 2 1 | D.B. 40 41 42 | - 5 | HCO_3^- 43 44 | 1 6 | P^H 45 46 47 | 7 4 9

FETO: ARTERIA. PO_2 48 49 | 2 0 | PCO_2 50 51 | 5 5 | D.B. 52 53 54 | - 8 | HCO_3^- 55 56 | 2 1 | P^H 57 58 59 | 7 2 6

VENA. PO_2 60 61 | 2 8 | PCO_2 62 63 | 3 2 | D.B. 64 65 66 | - 5 | HCO_3^- 67 68 | 2 0 | P^H 69 70 71 | 7 3 8

TIPO DE ACIDOSIS MATERNA 72 | 0 | TIPO DE ACIDOSIS FETAL 73 | 0 | Δ-P^H MADRE-FETO 74 75 | 1 1

Δ-P^H VENA UMBILICAL-ARTERIA UMBILICAL 76 77 | 1 2 | PROMEDIO DE ASCENSOS ?. 78 79 | 3 6

PROMEDIO DE ASCENSOS TRANSITORIOS QUE COINCIDEN CON LA CONTRACCION 80 81 | 0 0

TAQUICARDIA 82 | 0 | BRADICARDIA 83 | 0 | VARIABILIDAD DE LA FCF 84 85 | 0 8 | DIP-I 86 87 | 0 0

DIP-II 88 89 | 0 0 | TOTAL DIPS UMBILICALES 90 91 | 0 0 | DIP-U 92 93 | 0 0 | $DIP\text{-}U_p$ 94 95 | 0 0

$DIP\text{-}U_t$ 96 97 | 0 0 | $DIP\text{-}U_v$ 98 99 | 0 0 | $DIP\text{-}U_{vp}$ 100 101 | 0 0 | $DIP\text{-}U_{vt}$ 102 103 | 0 0 | $DIP\text{-}U_\lambda$ 104 105 | 0 0

$DIP\text{-}U_{\lambda p}$ 106 107 | 0 0 | $DIP\text{-}U_{\lambda t}$ 108 109 | 0 0 | DIP-V 110 111 | 0 0 | $DIP\text{-}V_p$ 112 113 | 0 0

$DIP\text{-}V_t$ 114 115 | 0 0 | $DIP\text{-}V_b$ 116 117 | 0 0 | NUMERO DE CONTRACCIONES 118 119 120 | 0 0 5

NUMERO DE MINUTOS REGISTRADOS 121 122 123 | 0 6 5

HOJA CODIFICADA PARA EL ESTUDIO DE LAS VARIACIONES CARDIOTOCOGRAFICAS ATRIBUIDAS A LAS CIRCULARES DEL CORDON UMBILICAL

NOMBRE Y APELLIDOS:

GRUPO ESTUDIADO 1 | Nº DE Hª DE D.C. 2 3 4 5 6 7 | 0 3 9 3 8 4 | Nº DE UCIP 8 9 10 11 12 | 1 3 4 9 4

BOLSA 13 | 0 | L.A. 14 | 1 | MECONIO 15 | 0 | SEMANA DE AMENORREA 16 17 | 4 1 | SEXO 18 | 0

VITALIDAD 19 | 0 | EDAD MATERNA 20 21 | 2 5 | PARIDAD 22 23 | 0 1 | PESO DEL R.N. 24 25 26 27 | 3 4 2 0

FORMA DE TERMINACION DEL PARTO 28 | 0 | LONGITUD DEL CORDON 29 30 | 6 0 | APGAR-1 31 32 | 0 9

APGAR-5 33 34 | 1 0 | MORBILIDAD 35 | 0

MADRE: PO_2 36 37 | 9 4 | PCO_2 38 39 | 2 2 | D.B. 40 41 42 | - 1 0 | HCO_3^- 43 44 | 1 2 | P^H 45 46 47 | 7 3 6

FETO: ARTERIA. PO_2 48 49 | - - | PCO_2 50 51 | - - | D.B. 52 53 54 | - - - | HCO_3^- 55 56 | - - | P^H 57 58 59 | - - -

VENA. PO_2 60 61 | 2 9 | PCO_2 62 63 | 3 2 | D.B. 64 65 66 | - 9 | HCO_3^- 67 68 | 1 7 | P^H 69 70 71 | 7 3 3

TIPO DE ACIDOSIS MATERNA 72 | 0 | TIPO DE ACIDOSIS FETAL 73 | 0 | Δ-P^H MADRE-FETO 74 75 | 0 3

Δ-P^H VENA UMBILICAL-ARTERIA UMBILICAL 76 77 | - - | PROMEDIO DE ASCENSOS ?. 78 79 | 2 6

PROMEDIO DE ASCENSOS TRANSITORIOS QUE COINCIDEN CON LA CONTRACCION 80 81 | 0 7

TAQUICARDIA 82 | 0 | BRADICARDIA 83 | 0 | VARIABILIDAD DE LA FCF 84 85 | 0 8 | DIP-I 86 87 | 0 0

DIP-II 88 89 | 0 0 | TOTAL DIPS UMBILICALES 90 91 | 0 0 | DIP-U 92 93 | 0 0 | $DIP\text{-}U_p$ 94 95 | 0 0

$DIP\text{-}U_t$ 96 97 | 0 0 | $DIP\text{-}U_v$ 98 99 | 0 0 | $DIP\text{-}U_{vp}$ 100 101 | 0 0 | $DIP\text{-}U_{vt}$ 102 103 | 0 0 | $DIP\text{-}U_\lambda$ 104 105 | 0 0

$DIP\text{-}U_{\lambda p}$ 106 107 | 0 0 | $DIP\text{-}U_{\lambda t}$ 108 109 | 0 0 | DIP-V 110 111 | 0 0 | $DIP\text{-}V_p$ 112 113 | 0 0

$DIP\text{-}V_t$ 114 115 | 0 0 | $DIP\text{-}V_b$ 116 117 | 0 0 | NUMERO DE CONTRACCIONES 118 119 120 | 0 3 7

NUMERO DE MINUTOS REGISTRADOS 121 122 123 | 1 2 5

HOJA CODIFICADA PARA EL ESTUDIO DE LAS VARIACIONES CARDIOTOCOGRAFICAS ATRIBUIDAS A LAS CIRCULARES DEL CORDON UMBILICAL

NOMBRE Y APELLIDOS:

GRUPO ESTUDIADO 1 | Nº DE Hª DE D.C. 2 3 4 5 6 7 | 0 1 7 8 0 1 | Nº DE UCIP 8 9 10 11 12 | 0 5 6 9 2

BOLSA 13 | 0 | L.A. 14 | 2 | MECONIO 15 | 2 | SEMANA DE AMENORREA 16 17 | 4 2 | SEXO 18 | 1

VITALIDAD 19 | 0 | EDAD MATERNA 20 21 | 2 8 | PARIDAD 22 23 | 0 2 | PESO DEL R.N. 24 25 26 27 | 3 6 8 0

FORMA DE TERMINACION DEL PARTO 28 | 0 | LONGITUD DEL CORDON 29 30 | 6 0 | APGAR-1 31 32 | 0 9

APGAR-5 33 34 | 1 0 | MORBILIDAD 35 | 0

MADRE: PO_2 36 37 | 7 6 | PCO_2 38 39 | 3 0 | D.B. 40 41 42 | - 1 6 | HCO_3^- 43 44 | 1 7 | P^H 45 46 47 | 7 3 5

FETO: ARTERIA. PO_2 48 49 | 1 5 | PCO_2 50 51 | 5 8 | D.B. 52 53 54 | - 3 | HCO_3^- 55 56 | 2 6 | P^H 57 58 59 | 7 1 2

VENA. PO_2 60 61 | 2 6 | PCO_2 62 63 | 4 6 | D.B. 64 65 66 | - 3 | HCO_3^- 67 68 | 2 4 | P^H 69 70 71 | 7 2 7

TIPO DE ACIDOSIS MATERNA 72 | 0 | TIPO DE ACIDOSIS FETAL 73 | 1 | Δ-P^H MADRE-FETO 74 75 | 0 8

Δ-P^H VENA UMBILICAL-ARTERIA UMBILICAL 76 77 | 1 3 | PROMEDIO DE ASCENSOS ?. 78 79 | 1 1

PROMEDIO DE ASCENSOS TRANSITORIOS QUE COINCIDEN CON LA CONTRACCION 80 81 | 0 0

TAQUICARDIA 82 | 0 | BRADICARDIA 83 | 0 | VARIABILIDAD DE LA FCF 84 85 | 0 8 | DIP-I 86 87 | 0 0

DIP-II 88 89 | 0 0 | TOTAL DIPS UMBILICALES 90 91 | 0 0 | DIP-U 92 93 | 0 0 | $DIP\text{-}U_p$ 94 95 | 0 0

$DIP\text{-}U_t$ 96 97 | 0 0 | $DIP\text{-}U_v$ 98 99 | 0 0 | $DIP\text{-}U_{vp}$ 100 101 | 0 0 | $DIP\text{-}U_{vt}$ 102 103 | 0 0 | $DIP\text{-}U_\lambda$ 104 105 | 0 0

$DIP\text{-}U_{\lambda p}$ 106 107 | 0 0 | $DIP\text{-}U_{\lambda t}$ 108 109 | 0 0 | DIP-V 110 111 | 0 0 | $DIP\text{-}V_p$ 112 113 | 0 0

$DIP\text{-}V_t$ 114 115 | 0 0 | $DIP\text{-}V_b$ 116 117 | 0 0 | NUMERO DE CONTRACCIONES 118 119 120 | 0 2 0

NUMERO DE MINUTOS REGISTRADOS 121 122 123 | 1 0 8

HOJA CODIFICADA PARA EL ESTUDIO DE LAS VARIACIONES CARDIOTOCOGRAFICAS ATRIBUIDAS A LAS CIRCULARES DEL CORDON UMBILICAL

NOMBRE Y APELLIDOS:

GRUPO ESTUDIADO [1] Nº DE Nº DE D.C. [0569446] Nº DE UCIP [08679]

BOLSA [0] L.A. [2] MECONIO [2] SEMANA DE AMENORREA [43] SEXO [1]

VITALIDAD [0] EDAD MATERNA [36] PARIDAD [02] PESO DEL R.N. [3750]

FORMA DE TERMINACION DEL PARTO [0] LONGITUD DEL CORDON [58] APGAR-1 [09]

APGAR-5 [10] MORBILIDAD [0]

MADRE: PO_2 [86] PCO_2 [23] D.B. [-9] HCO_3^- [13] P^H [739]

FETO: ARTERIA. PO_2 [19] PCO_2 [66] D.B. [-1] HCO_3^- [28] P^H [725]

VENA. PO_2 [32] PCO_2 [43] D.B. [-2] HCO_3^- [24] P^H [735]

TIPO DE ACIDOSIS MATERNA [0] TIPO DE ACIDOSIS FETAL [0] Δ-P^H MADRE-FETO [04]

Δ-P^H VENA UMBILICAL-ARTERIA UMBILICAL [10] PROMEDIO DE ASCENSOS ?. [44]

PROMEDIO DE ASCENSOS TRANSITORIOS QUE COINCIDEN CON LA CONTRACCION [06]

TAQUICARDIA [0] BRADICARDIA [0] VARIABILIDAD DE LA FCF [08] DIP-I [00]

DIP-II [00] TOTAL DIPS UMBILICALES [00] DIP-U [00] $DIP\text{-}U_p$ [00]

$DIP\text{-}U_t$ [00] $DIP\text{-}U_e$ [00] $DIP\text{-}U_{ep}$ [00] $DIP\text{-}U_{et}$ [00] $DIP\text{-}U_2$ [00]

$DIP\text{-}U_{\Delta p}$ [00] $DIP\text{-}U_{\Delta t}$ [00] DIP-V [00] $DIP\text{-}V_p$ [00]

$DIP\text{-}V_t$ [00] $DIP\text{-}V_b$ [00] NUMERO DE CONTRACCIONES [025]

NUMERO DE MINUTOS REGISTRADOS [150]

HOJA CODIFICADA PARA EL ESTUDIO DE LAS VARIACIONES CARDIOTOCOGRAFICAS ATRIBUIDAS A LAS CIRCULARES DEL CORDON UMBILICAL

NOMBRE Y APELLIDOS:

GRUPO ESTUDIADO [1] Nº DE Nº DE D.C. [0641006] Nº DE UCIP [12715]

BOLSA [0] L.A. [2] MECONIO [2] SEMANA DE AMENORREA [40] SEXO [0]

VITALIDAD [0] EDAD MATERNA [23] PARIDAD [01] PESO DEL R.N. [3410]

FORMA DE TERMINACION DEL PARTO [0] LONGITUD DEL CORDON [55] APGAR-1 [09]

APGAR-5 [10] MORBILIDAD [0]

MADRE: PO_2 [--] PCO_2 [--] D.B. [---] HCO_3^- [--] P^H [---]

FETO: ARTERIA. PO_2 [--] PCO_2 [--] D.B. [---] HCO_3^- [--] P^H [---]

VENA. PO_2 [--] PCO_2 [--] D.B. [---] HCO_3^- [--] P^H [---]

TIPO DE ACIDOSIS MATERNA [-] TIPO DE ACIDOSIS FETAL [-] Δ-P^H MADRE-FETO [--]

Δ-P^H VENA UMBILICAL-ARTERIA UMBILICAL [--] PROMEDIO DE ASCENSOS ?. [33]

PROMEDIO DE ASCENSOS TRANSITORIOS QUE COINCIDEN CON LA CONTRACCION [00]

TAQUICARDIA [0] BRADICARDIA [0] VARIABILIDAD DE LA FCF [08] DIP-I [00]

DIP-II [00] TOTAL DIPS UMBILICALES [00] DIP-U [00] $DIP\text{-}U_p$ [00]

$DIP\text{-}U_t$ [00] $DIP\text{-}U_e$ [00] $DIP\text{-}U_{ep}$ [00] $DIP\text{-}U_{et}$ [00] $DIP\text{-}U_2$ [00]

$DIP\text{-}U_{\Delta p}$ [00] $DIP\text{-}U_{\Delta t}$ [00] DIP-V [00] $DIP\text{-}V_p$ [00]

$DIP\text{-}V_t$ [00] $DIP\text{-}V_b$ [00] NUMERO DE CONTRACCIONES [006]

NUMERO DE MINUTOS REGISTRADOS [081]

HOJA CODIFICADA PARA EL ESTUDIO DE LAS VARIACIONES CARDIOTOCOGRAFICAS ATRIBUIDAS A LAS CIRCULARES DEL CORDON UMBILICAL

NOMBRE Y APELLIDOS:

GRUPO ESTUDIADO [1] Nº DE Nº DE D.C. [0240388] Nº DE UCIP [09056]

BOLSA [0] L.A. [2] MECONIO [1] SEMANA DE AMENORREA [39] SEXO [0]

VITALIDAD [0] EDAD MATERNA [25] PARIDAD [00] PESO DEL R.N. [4150]

FORMA DE TERMINACION DEL PARTO [0] LONGITUD DEL CORDON [55] APGAR-1 [09]

APGAR-5 [10] MORBILIDAD [0]

MADRE: PO_2 [77] PCO_2 [26] D.B. [-9] HCO_3^- [14] P^H [738]

FETO: ARTERIA. PO_2 [13] PCO_2 [65] D.B. [-6] HCO_3^- [26] P^H [720]

VENA. PO_2 [33] PCO_2 [38] D.B. [-5] HCO_3^- [20] P^H [734]

TIPO DE ACIDOSIS MATERNA [0] TIPO DE ACIDOSIS FETAL [1] Δ-P^H MADRE-FETO [04]

Δ-P^H VENA UMBILICAL-ARTERIA UMBILICAL [14] PROMEDIO DE ASCENSOS ?. [00]

PROMEDIO DE ASCENSOS TRANSITORIOS QUE COINCIDEN CON LA CONTRACCION [00]

TAQUICARDIA [0] BRADICARDIA [0] VARIABILIDAD DE LA FCF [04] DIP-I [00]

DIP-II [00] TOTAL DIPS UMBILICALES [00] DIP-U [00] $DIP\text{-}U_p$ [00]

$DIP\text{-}U_t$ [00] $DIP\text{-}U_e$ [00] $DIP\text{-}U_{ep}$ [00] $DIP\text{-}U_{et}$ [00] $DIP\text{-}U_2$ [00]

$DIP\text{-}U_{\Delta p}$ [00] $DIP\text{-}U_{\Delta t}$ [00] DIP-V [00] $DIP\text{-}V_p$ [00]

$DIP\text{-}V_t$ [00] $DIP\text{-}V_b$ [00] NUMERO DE CONTRACCIONES [006]

NUMERO DE MINUTOS REGISTRADOS [070]

HOJA CODIFICADA PARA EL ESTUDIO DE LAS VARIACIONES CARDIOTOCOGRAFICAS ATRIBUIDAS A LAS CIRCULARES DEL CORDON UMBILICAL

NOMBRE Y APELLIDOS:

GRUPO ESTUDIADO [1] Nº DE Nº DE D.C. [0065613] Nº DE UCIP [11339]

BOLSA [0] L.A. [0] MECONIO [0] SEMANA DE AMENORREA [40] SEXO [0]

VITALIDAD [0] EDAD MATERNA [28] PARIDAD [02] PESO DEL R.N. [4010]

FORMA DE TERMINACION DEL PARTO [0] LONGITUD DEL CORDON [60] APGAR-1 [09]

APGAR-5 [10] MORBILIDAD [0]

MADRE: PO_2 [82] PCO_2 [24] D.B. [-6] HCO_3^- [15] P^H [742]

FETO: ARTERIA. PO_2 [24] PCO_2 [53] D.B. [-5] HCO_3^- [23] P^H [725]

VENA. PO_2 [37] PCO_2 [42] D.B. [-4] HCO_3^- [22] P^H [733]

TIPO DE ACIDOSIS MATERNA [0] TIPO DE ACIDOSIS FETAL [0] Δ-P^H MADRE-FETO [09]

Δ-P^H VENA UMBILICAL-ARTERIA UMBILICAL [08] PROMEDIO DE ASCENSOS ?. [60]

PROMEDIO DE ASCENSOS TRANSITORIOS QUE COINCIDEN CON LA CONTRACCION [00]

TAQUICARDIA [0] BRADICARDIA [0] VARIABILIDAD DE LA FCF [06] DIP-I [00]

DIP-II [00] TOTAL DIPS UMBILICALES [00] DIP-U [00] $DIP\text{-}U_p$ [00]

$DIP\text{-}U_t$ [00] $DIP\text{-}U_e$ [00] $DIP\text{-}U_{ep}$ [00] $DIP\text{-}U_{et}$ [00] $DIP\text{-}U_2$ [00]

$DIP\text{-}U_{\Delta p}$ [00] $DIP\text{-}U_{\Delta t}$ [00] DIP-V [00] $DIP\text{-}V_p$ [00]

$DIP\text{-}V_t$ [00] $DIP\text{-}V_b$ [00] NUMERO DE CONTRACCIONES [005]

NUMERO DE MINUTOS REGISTRADOS [060]

HOJA CODIFICADA PARA EL ESTUDIO DE LAS VARIACIONES CARDIOTOCOGRAFICAS ATRIBUIDAS A LAS CIRCULARES DEL CORDON UMBILICAL

NOMBRE Y APELLIDOS:

GRUPO ESTUDIADO [1] Nº DE Hª DE D.C. [2 3 4 5 6 7] [0 2 5 1 1 8] Nº DE UCIP [8 9 10 11 12] [0 9 2 8 3]

BOLSA [13] [1] L.A. [14] [2] MECONIO [15] [0] SEMANA DE AMENORREA [16 17] [4 0] SEXO [18] [1]

VITALIDAD [19] [0] EDAD MATERNA [20 21] [2 2] PARIDAD [22 23] [0 1] PESO DEL R.N. [24 25 26 27] [3 4 0 0]

FORMA DE TERMINACION DEL PARTO [28] [1] LONGITUD DEL CORDON [29 30] [7 0] APGAR-1 [31 32] [0 9]

APGAR-5 [33 34] [1 0] MORBILIDAD [35] [0]

MADRE: PO_2 [36 37] [- -] PCO_2 [38 39] [- -] D.B. [40 41 42] [- - -] HCO_3^- [43 44] [- -] P^H [45 46 47] [- - -]

FETO: ARTERIA. PO_2 [48 49] [- -] PCO_2 [50 51] [- -] D.B. [52 53 54] [- - -] HCO_3^- [55 56] [- -] P^H [57 58 59] [- - -]

VENA. PO_2 [60 61] [- -] PCO_2 [62 63] [- -] D.B. [64 65 66] [- - -] HCO_3^- [67 68] [- -] P^H [69 70 71] [- - -]

TIPO DE ACIDOSIS MATERNA [72] [-] TIPO DE ACIDOSIS FETAL [73] [-] Δ-P^H MADRE-FETO [74 75] [- -]

Δ-P^H VENA UMBILICAL-ARTERIA UMBILICAL [76 77] [- -] PROMEDIO DE ASCENSOS ?. [78 79] [0 9]

PROMEDIO DE ASCENSOS TRANSITORIOS QUE COINCIDEN CON LA CONTRACCION [80 81] [0 0]

TAQUICARDIA [82] [0] BRADICARDIA [83] [1] VARIABILIDAD DE LA FCF [84 85] [0 4] DIP-I [86 87] [0 0]

DIP-II [88 89] [0 0] TOTAL DIPS UMBILICALES [90 91] [0 0] DIP-U [92 93] [0 0] $DIP\text{-}U_p$ [94 95] [0 0]

$DIP\text{-}U_t$ [96 97] [0 0] $DIP\text{-}U_e$ [98 99] [0 0] $DIP\text{-}U_{ep}$ [100 101] [0 0] $DIP\text{-}U_{et}$ [102 103] [0 0] $DIP\text{-}U_\lambda$ [104 105] [0 0]

$DIP\text{-}U_{\lambda p}$ [106 107] [0 0] $DIP\text{-}U_{\lambda t}$ [108 109] [0 0] DIP-V [110 111] [0 0] $DIP\text{-}V_p$ [112 113] [0 0]

$DIP\text{-}V_t$ [114 115] [0 0] $DIP\text{-}V_b$ [116 117] [0 0] NUMERO DE CONTRACCIONES [118 119 120] [0 2 0]

NUMERO DE MINUTOS REGISTRADOS [121 122 123] [1 3 6]

HOJA CODIFICADA PARA EL ESTUDIO DE LAS VARIACIONES CARDIOTOCOGRAFICAS ATRIBUIDAS A LAS CIRCULARES DEL CORDON UMBILICAL

NOMBRE Y APELLIDOS:

GRUPO ESTUDIADO [1] Nº DE Hª DE D.C. [2 3 4 5 6 7] [0 7 5 0 6 5] Nº DE UCIP [8 9 10 11 12] [1 1 6 2 6]

BOLSA [13] [0] L.A. [14] [3] MECONIO [15] [0] SEMANA DE AMENORREA [16 17] [3 9] SEXO [18] [0]

VITALIDAD [19] [0] EDAD MATERNA [20 21] [2 2] PARIDAD [22 23] [0 0] PESO DEL R.N. [24 25 26 27] [2 0 6 0]

FORMA DE TERMINACION DEL PARTO [28] [1] LONGITUD DEL CORDON [29 30] [6 0] APGAR-1 [31 32] [0 9]

APGAR-5 [33 34] [1 0] MORBILIDAD [35] [0]

MADRE: PO_2 [36 37] [7 5] PCO_2 [38 39] [3 0] D.B. [40 41 42] [- - 8] HCO_3^- [43 44] [1 5] P^H [45 46 47] [7 3 4]

FETO: ARTERIA. PO_2 [48 49] [1 1] PCO_2 [50 51] [5 0] D.B. [52 53 54] [- - 6] HCO_3^- [55 56] [2 2] P^H [57 58 59] [7 2 5]

VENA. PO_2 [60 61] [2 5] PCO_2 [62 63] [3 8] D.B. [64 65 66] [- - 6] HCO_3^- [67 68] [1 9] P^H [69 70 71] [7 3 2]

TIPO DE ACIDOSIS MATERNA [72] [0] TIPO DE ACIDOSIS FETAL [73] [0] Δ-P^H MADRE-FETO [74 75] [0 2]

Δ-P^H VENA UMBILICAL-ARTERIA UMBILICAL [76 77] [0 7] PROMEDIO DE ASCENSOS ?. [78 79] [6 8]

PROMEDIO DE ASCENSOS TRANSITORIOS QUE COINCIDEN CON LA CONTRACCION [80 81] [1 1]

TAQUICARDIA [82] [0] BRADICARDIA [83] [1] VARIABILIDAD DE LA FCF [84 85] [0 5] DIP-I [86 87] [0 0]

DIP-II [88 89] [0 0] TOTAL DIPS UMBILICALES [90 91] [0 0] DIP-U [92 93] [0 0] $DIP\text{-}U_p$ [94 95] [0 0]

$DIP\text{-}U_t$ [96 97] [0 0] $DIP\text{-}U_e$ [98 99] [0 0] $DIP\text{-}U_{ep}$ [100 101] [0 0] $DIP\text{-}U_{et}$ [102 103] [0 0] $DIP\text{-}U_\lambda$ [104 105] [0 0]

$DIP\text{-}U_{\lambda p}$ [106 107] [0 0] $DIP\text{-}U_{\lambda t}$ [108 109] [0 0] DIP-V [110 111] [0 0] $DIP\text{-}V_p$ [112 113] [0 0]

$DIP\text{-}V_t$ [114 115] [0 0] $DIP\text{-}V_b$ [116 117] [0 0] NUMERO DE CONTRACCIONES [118 119 120] [0 1 1]

NUMERO DE MINUTOS REGISTRADOS [121 122 123] [0 6 0]

HOJA CODIFICADA PARA EL ESTUDIO DE LAS VARIACIONES CARDIOTOCOGRAFICAS ATRIBUIDAS A LAS CIRCULARES DEL CORDON UMBILICAL

NOMBRE Y APELLIDOS:

GRUPO ESTUDIADO [1] Nº DE Hª DE D.C. [2 3 4 5 6 7] [0 8 3 7 6 4] Nº DE UCIP [8 9 10 11 12] [1 3 2 9 4]

BOLSA [13] [0] L.A. [14] [2] MECONIO [15] [1] SEMANA DE AMENORREA [16 17] [3 6] SEXO [18] [1]

VITALIDAD [19] [0] EDAD MATERNA [20 21] [4 0] PARIDAD [22 23] [0 4] PESO DEL R.N. [24 25 26 27] [3 3 1 0]

FORMA DE TERMINACION DEL PARTO [28] [0] LONGITUD DEL CORDON [29 30] [6 0] APGAR-1 [31 32] [0 9]

APGAR-5 [33 34] [1 0] MORBILIDAD [35] [0]

MADRE: PO_2 [36 37] [8 7] PCO_2 [38 39] [2 4] D.B. [40 41 42] [- - 8] HCO_3^- [43 44] [1 4] P^H [45 46 47] [7 3 7]

FETO: ARTERIA. PO_2 [48 49] [2 4] PCO_2 [50 51] [6 7] D.B. [52 53 54] [- - 4] HCO_3^- [55 56] [2 5] P^H [57 58 59] [7 2 0]

VENA. PO_2 [60 61] [3 6] PCO_2 [62 63] [3 9] D.B. [64 65 66] [- - 7] HCO_3^- [67 68] [1 8] P^H [69 70 71] [7 2 6]

TIPO DE ACIDOSIS MATERNA [72] [0] TIPO DE ACIDOSIS FETAL [73] [1] Δ-P^H MADRE-FETO [74 75] [1 1]

Δ-P^H VENA UMBILICAL-ARTERIA UMBILICAL [76 77] [0 6] PROMEDIO DE ASCENSOS ?. [78 79] [1 0]

PROMEDIO DE ASCENSOS TRANSITORIOS QUE COINCIDEN CON LA CONTRACCION [80 81] [0 0]

TAQUICARDIA [82] [0] BRADICARDIA [83] [0] VARIABILIDAD DE LA FCF [84 85] [0 7] DIP-I [86 87] [0 0]

DIP-II [88 89] [0 0] TOTAL DIPS UMBILICALES [90 91] [0 0] DIP-U [92 93] [0 0] $DIP\text{-}U_p$ [94 95] [0 0]

$DIP\text{-}U_t$ [96 97] [0 0] $DIP\text{-}U_e$ [98 99] [0 0] $DIP\text{-}U_{ep}$ [100 101] [0 0] $DIP\text{-}U_{et}$ [102 103] [0 0] $DIP\text{-}U_\lambda$ [104 105] [0 0]

$DIP\text{-}U_{\lambda p}$ [106 107] [0 0] $DIP\text{-}U_{\lambda t}$ [108 109] [0 0] DIP-V [110 111] [0 0] $DIP\text{-}V_p$ [112 113] [0 0]

$DIP\text{-}V_t$ [114 115] [0 0] $DIP\text{-}V_b$ [116 117] [0 0] NUMERO DE CONTRACCIONES [118 119 120] [0 1 4]

NUMERO DE MINUTOS REGISTRADOS [121 122 123] [0 6 0]

HOJA CODIFICADA PARA EL ESTUDIO DE LAS VARIACIONES CARDIOTOCOGRAFICAS ATRIBUIDAS A LAS CIRCULARES DEL CORDON UMBILICAL

NOMBRE Y APELLIDOS:

GRUPO ESTUDIADO [1] Nº DE Hª DE D.C. [2 3 4 5 6 7] [0 7 2 5 4 5] Nº DE UCIP [8 9 10 11 12] [1 1 1 0 1]

BOLSA [13] [0] L.A. [14] [2] MECONIO [15] [0] SEMANA DE AMENORREA [16 17] [4 0] SEXO [18] [1]

VITALIDAD [19] [0] EDAD MATERNA [20 21] [2 2] PARIDAD [22 23] [0 1 0] PESO DEL R.N. [24 25 26 27] [3 7 7 0]

FORMA DE TERMINACION DEL PARTO [28] [0] LONGITUD DEL CORDON [29 30] [6 0] APGAR-1 [31 32] [0 9]

APGAR-5 [33 34] [1 0] MORBILIDAD [35] [0]

MADRE: PO_2 [36 37] [9 8] PCO_2 [38 39] [2 3] D.B. [40 41 42] [- - 7] HCO_3^- [43 44] [1 5] P^H [45 46 47] [7 4 3]

FETO: ARTERIA. PO_2 [48 49] [1 6] PCO_2 [50 51] [5 3] D.B. [52 53 54] [- - 2] HCO_3^- [55 56] [2 5] P^H [57 58 59] [7 3 0]

VENA. PO_2 [60 61] [3 3] PCO_2 [62 63] [3 1] D.B. [64 65 66] [- - 5] HCO_3^- [67 68] [1 8] P^H [69 70 71] [7 3 9]

TIPO DE ACIDOSIS MATERNA [72] [0] TIPO DE ACIDOSIS FETAL [73] [0] Δ-P^H MADRE-FETO [74 75] [0 4]

Δ-P^H VENA UMBILICAL-ARTERIA UMBILICAL [76 77] [0 9] PROMEDIO DE ASCENSOS ?. [78 79] [2 6]

PROMEDIO DE ASCENSOS TRANSITORIOS QUE COINCIDEN CON LA CONTRACCION [80 81] [0 2]

TAQUICARDIA [82] [1] BRADICARDIA [83] [0] VARIABILIDAD DE LA FCF [84 85] [0 7] DIP-I [86 87] [0 0]

DIP-II [88 89] [0 0] TOTAL DIPS UMBILICALES [90 91] [0 0] DIP-U [92 93] [0 0] $DIP\text{-}U_p$ [94 95] [0 0]

$DIP\text{-}U_t$ [96 97] [0 0] $DIP\text{-}U_e$ [98 99] [0 0] $DIP\text{-}U_{ep}$ [100 101] [0 0] $DIP\text{-}U_{et}$ [102 103] [0 0] $DIP\text{-}U_\lambda$ [104 105] [0 0]

$DIP\text{-}U_{\lambda p}$ [106 107] [0 0] $DIP\text{-}U_{\lambda t}$ [108 109] [0 0] DIP-V [110 111] [0 0] $DIP\text{-}V_p$ [112 113] [0 0]

$DIP\text{-}V_t$ [114 115] [0 0] $DIP\text{-}V_b$ [116 117] [0 0] NUMERO DE CONTRACCIONES [118 119 120] [0 3 9]

NUMERO DE MINUTOS REGISTRADOS [121 122 123] [1 5 0]

HOJA CODIFICADA PARA EL ESTUDIO DE LAS VARIACIONES CARDIOTOCOGRAFICAS ATRIBUIDAS A LAS CIRCULARES DEL CORDON UMBILICAL

NOMBRE Y APELLIDOS:

GRUPO ESTUDIADO [1] [2] Nº DE Hº DE D.C. [2 3 4 5 6 7] [0 9 2 7 1 1 6] Nº DE UCIP [8 9 10 11 12] [1 5 2 8 7]

BOLSA [13] [0] L.A. [14] [0] MECONIO [15] [0] SEMANA DE AMENORREA [16 17] [4 0] SEXO [18] [1]

VITALIDAD [19] [0] EDAD MATERNA [20 21] [2 1] PARIDAD [22 23] [0 0] PESO DEL R.N. [24 25 26 27] [2 7 5 0]

FORMA DE TERMINACION DEL PARTO [28] [3] LONGITUD DEL CORDON [29 30] [5 0] APGAR-1 [31 32] [0 1]

APGAR-5 [33 34] [0 4] MORBILIDAD [35] [0]

MADRE: PO_2 [36 37] [- -] PCO_2 [38 39] [- -] D.B. [40 41 42] [- - -] HCO_3^- [43 44] [- -] P^H [45 46 47] [- - -]

FETO: ARTERIA. PO_2 [48 49] [- -] PCO_2 [50 51] [- -] D.B. [52 53 54] [- - -] HCO_3^- [55 56] [- -] P^H [57 58 59] [- - -]

VENA. PO_2 [60 61] [- -] PCO_2 [62 63] [- -] D.B. [64 65 66] [- - -] HCO_3^- [67 68] [- -] P^H [69 70 71] [- - -]

TIPO DE ACIDOSIS MATERNA [72] [-] TIPO DE ACIDOSIS FETAL [73] [-] Δ-P^H MADRE-FETO [74 75] [- -]

Δ-P^H VENA UMBILICAL-ARTERIA UMBILICAL [76 77] [- -] PROMEDIO DE ASCENSOS ?. [78 79] [1 3]

PROMEDIO DE ASCENSOS TRANSITORIOS QUE COINCIDEN CON LA CONTRACCION [80 81] [0 1]

TAQUICARDIA [82] [0] BRADICARDIA [83] [0] VARIABILIDAD DE LA FCF [84 85] [0 8] DIP-I [86 87] [0 1]

DIP-II [88 89] [0 1] TOTAL DIPS UMBILICALES [90 91] [0 0] DIP-U [92 93] [0 0] $DIP\text{-}U_p$ [94 95] [0 0]

$DIP\text{-}U_t$ [96 97] [0 0] $DIP\text{-}U_e$ [98 99] [0 0] $DIP\text{-}U_{cp}$ [100 101] [0 0] $DIP\text{-}U_{ct}$ [102 103] [0 0] $DIP\text{-}U_\lambda$ [104 105] [0 0]

$DIP\text{-}U_{\lambda p}$ [106 107] [0 0] $DIP\text{-}U_{\lambda t}$ [108 109] [0 0] DIP-V [110 111] [0 0] $DIP\text{-}V_p$ [112 113] [0 0]

$DIP\text{-}V_t$ [114 115] [0 0] $DIP\text{-}V_b$ [116 117] [0 0] NUMERO DE CONTRACCIONES [118 119 120] [1 1 0]

NUMERO DE MINUTOS REGISTRADOS [121 122 123] [5 6 0]

HOJA CODIFICADA PARA EL ESTUDIO DE LAS VARIACIONES CARDIOTOCOGRAFICAS ATRIBUIDAS A LAS CIRCULARES DEL CORDON UMBILICAL

NOMBRE Y APELLIDOS:

GRUPO ESTUDIADO [1] [2] Nº DE Hº DE D.C. [2 3 4 5 6 7] [0 9 4 8 1 4] Nº DE UCIP [8 9 10 11 12] [1 5 1 3 1]

BOLSA [13] [0] L.A. [14] [3] MECONIO [15] [0] SEMANA DE AMENORREA [16 17] [4 1] SEXO [18] [1]

VITALIDAD [19] [0] EDAD MATERNA [20 21] [2 6] PARIDAD [22 23] [0 0] PESO DEL R.N. [24 25 26 27] [2 8 9 0]

FORMA DE TERMINACION DEL PARTO [28] [3] LONGITUD DEL CORDON [29 30] [6 5] APGAR-1 [31 32] [0 4]

APGAR-5 [33 34] [0 9] MORBILIDAD [35] [0]

MADRE: PO_2 [36 37] [8 2] PCO_2 [38 39] [2 9] D.B. [40 41 42] [- - 1] HCO_3^- [43 44] [1 6] P^H [45 46 47] [7 3 7]

FETO: ARTERIA. PO_2 [48 49] [0 9] PCO_2 [50 51] [9 9] D.B. [52 53 54] [- 1 0] HCO_3^- [55 56] [2 7] P^H [57 58 59] [7 0 0]

VENA. PO_2 [60 61] [3 3] PCO_2 [62 63] [5 5] D.B. [64 65 66] [- 1 1] HCO_3^- [67 68] [1 9] P^H [69 70 71] [7 1 5]

TIPO DE ACIDOSIS MATERNA [72] [0] TIPO DE ACIDOSIS FETAL [73] [3] Δ-P^H MADRE-FETO [74 75] [2 2]

Δ-P^H VENA UMBILICAL-ARTERIA UMBILICAL [76 77] [1 5] PROMEDIO DE ASCENSOS ?. [78 79] [2 7]

PROMEDIO DE ASCENSOS TRANSITORIOS QUE COINCIDEN CON LA CONTRACCION [80 81] [0 0]

TAQUICARDIA [82] [0] BRADICARDIA [83] [0] VARIABILIDAD DE LA FCF [84 85] [0 7] DIP-I [86 87] [0 0]

DIP-II [88 89] [0 0] TOTAL DIPS UMBILICALES [90 91] [0 0] DIP-U [92 93] [0 0] $DIP\text{-}U_p$ [94 95] [0 0]

$DIP\text{-}U_t$ [96 97] [0 0] $DIP\text{-}U_e$ [98 99] [0 0] $DIP\text{-}U_{cp}$ [100 101] [0 0] $DIP\text{-}U_{ct}$ [102 103] [0 0] $DIP\text{-}U_\lambda$ [104 105] [0 0]

$DIP\text{-}U_{\lambda p}$ [106 107] [0 0] $DIP\text{-}U_{\lambda t}$ [108 109] [0 0] DIP-V [110 111] [0 0] $DIP\text{-}V_p$ [112 113] [0 0]

$DIP\text{-}V_t$ [114 115] [0 0] $DIP\text{-}V_b$ [116 117] [0 0] NUMERO DE CONTRACCIONES [118 119 120] [0 0 1]

NUMERO DE MINUTOS REGISTRADOS [121 122 123] [0 1 6 6]

HOJA CODIFICADA PARA EL ESTUDIO DE LAS VARIACIONES CARDIOTOCOGRAFICAS ATRIBUIDAS A LAS CIRCULARES DEL CORDON UMBILICAL

NOMBRE Y APELLIDOS:

GRUPO ESTUDIADO [1] [2] Nº DE Hº DE D.C. [2 3 4 5 6 7] [0 6 3 2 9 1 8] Nº DE UCIP [8 9 10 11 12] [0 9 6 4 4]

BOLSA [13] [1] L.A. [14] [2] MECONIO [15] [2] SEMANA DE AMENORREA [16 17] [3 7] SEXO [18] [1]

VITALIDAD [19] [0] EDAD MATERNA [20 21] [2 3] PARIDAD [22 23] [0 2] PESO DEL R.N. [24 25 26 27] [3 0 7 0]

FORMA DE TERMINACION DEL PARTO [28] [0] LONGITUD DEL CORDON [29 30] [5 0] APGAR-1 [31 32] [0 8]

APGAR-5 [33 34] [0 9] MORBILIDAD [35] [0]

MADRE: PO_2 [36 37] [2 2] PCO_2 [38 39] [1 9] D.B. [40 41 42] [- - 8] HCO_3^- [43 44] [1 2] P^H [45 46 47] [7 4 4]

FETO: ARTERIA. PO_2 [48 49] [- -] PCO_2 [50 51] [- -] D.B. [52 53 54] [- - -] HCO_3^- [55 56] [- -] P^H [57 58 59] [- - -]

VENA. PO_2 [60 61] [3 1] PCO_2 [62 63] [3 2] D.B. [64 65 66] [- - 4] HCO_3^- [67 68] [1 9] P^H [69 70 71] [7 3 9]

TIPO DE ACIDOSIS MATERNA [72] [0] TIPO DE ACIDOSIS FETAL [73] [0] Δ-P^H MADRE-FETO [74 75] [0 5]

Δ-P^H VENA UMBILICAL-ARTERIA UMBILICAL [76 77] [- -] PROMEDIO DE ASCENSOS ?. [78 79] [1 1]

PROMEDIO DE ASCENSOS TRANSITORIOS QUE COINCIDEN CON LA CONTRACCION [80 81] [ ]

TAQUICARDIA [82] [0] BRADICARDIA [83] [0] VARIABILIDAD DE LA FCF [84 85] [0 4] DIP-I [86 87] [0 0]

DIP-II [88 89] [0 0] TOTAL DIPS UMBILICALES [90 91] [0 0] DIP-U [92 93] [0 0] $DIP\text{-}U_p$ [94 95] [0 0]

$DIP\text{-}U_t$ [96 97] [0 0] $DIP\text{-}U_e$ [98 99] [0 0] $DIP\text{-}U_{cp}$ [100 101] [0 0] $DIP\text{-}U_{ct}$ [102 103] [0 0] $DIP\text{-}U_\lambda$ [104 105] [0 0]

$DIP\text{-}U_{\lambda p}$ [106 107] [0 0] $DIP\text{-}U_{\lambda t}$ [108 109] [0 0] DIP-V [110 111] [0 0] $DIP\text{-}V_p$ [112 113] [0 0]

$DIP\text{-}V_t$ [114 115] [0 1 0] $DIP\text{-}V_b$ [116 117] [0 0] NUMERO DE CONTRACCIONES [118 119 120] [0 2 0]

NUMERO DE MINUTOS REGISTRADOS [121 122 123] [0 8 1]

HOJA CODIFICADA PARA EL ESTUDIO DE LAS VARIACIONES CARDIOTOCOGRAFICAS ATRIBUIDAS A LAS CIRCULARES DEL CORDON UMBILICAL

NOMBRE Y APELLIDOS:

GRUPO ESTUDIADO [1] [2] Nº DE Hº DE D.C. [2 3 4 5 6 7] [0 6 8 6 0 1] Nº DE UCIP [8 9 10 11 12] [1 5 1 1 6 6]

BOLSA [13] [0] L.A. [14] [2] MECONIO [15] [1] SEMANA DE AMENORREA [16 17] [4 0] SEXO [18] [0]

VITALIDAD [19] [0] EDAD MATERNA [20 21] [3 4] PARIDAD [22 23] [0 5] PESO DEL R.N. [24 25 26 27] [3 3 5 0]

FORMA DE TERMINACION DEL PARTO [28] [0] LONGITUD DEL CORDON [29 30] [7 5] APGAR-1 [31 32] [0 8]

APGAR-5 [33 34] [1 0] MORBILIDAD [35] [0]

MADRE: PO_2 [36 37] [- -] PCO_2 [38 39] [- -] D.B. [40 41 42] [- - -] HCO_3^- [43 44] [- -] P^H [45 46 47] [- - -]

FETO: ARTERIA. PO_2 [48 49] [- -] PCO_2 [50 51] [- -] D.B. [52 53 54] [- - -] HCO_3^- [55 56] [- -] P^H [57 58 59] [- - -]

VENA. PO_2 [60 61] [- -] PCO_2 [62 63] [- -] D.B. [64 65 66] [- - -] HCO_3^- [67 68] [- -] P^H [69 70 71] [- - -]

TIPO DE ACIDOSIS MATERNA [72] [-] TIPO DE ACIDOSIS FETAL [73] [-] Δ-P^H MADRE-FETO [74 75] [- -]

Δ-P^H VENA UMBILICAL-ARTERIA UMBILICAL [76 77] [- -] PROMEDIO DE ASCENSOS ?. [78 79] [3 0]

PROMEDIO DE ASCENSOS TRANSITORIOS QUE COINCIDEN CON LA CONTRACCION [80 81] [2 5]

TAQUICARDIA [82] [0] BRADICARDIA [83] [0] VARIABILIDAD DE LA FCF [84 85] [0 7] DIP-I [86 87] [0 0]

DIP-II [88 89] [0 0] TOTAL DIPS UMBILICALES [90 91] [0 0] DIP-U [92 93] [0 0] $DIP\text{-}U_p$ [94 95] [0 0]

$DIP\text{-}U_t$ [96 97] [0 0] $DIP\text{-}U_e$ [98 99] [0 0] $DIP\text{-}U_{cp}$ [100 101] [0 0] $DIP\text{-}U_{ct}$ [102 103] [0 0] $DIP\text{-}U_\lambda$ [104 105] [0 0]

$DIP\text{-}U_{\lambda p}$ [106 107] [0 0] $DIP\text{-}U_{\lambda t}$ [108 109] [0 0] DIP-V [110 111] [0 0] $DIP\text{-}V_p$ [112 113] [0 0]

$DIP\text{-}V_t$ [114 115] [0 0] $DIP\text{-}V_b$ [116 117] [0 0] NUMERO DE CONTRACCIONES [118 119 120] [0 2 3]

NUMERO DE MINUTOS REGISTRADOS [121 122 123] [1 2 0]

HOJA CODIFICADA PARA EL ESTUDIO DE LAS VARIACIONES CARDIOTOCOGRAFICAS ATRIBUIDAS A LAS CIRCULARES DEL CORDON UMBILICAL

NOMBRE Y APELLIDOS:

GRUPO ESTUDIADO 1: [2] Nº DE Hª DE D.C. 2 3 4 5 6 7: [0 8 3 8 3 3] Nº DE UCIP 8 9 10 11 12: [1 3 2 9 3]

BOLSA 13: [0] L.A. 14: [0] MECONIO 15: [0] SEMANA DE AMENORREA 16 17: [4 1] SEXO 18: [0]

VITALIDAD 19: [0] EDAD MATERNA 20 21: [2 1] PARIDAD 22 23: [0 0] PESO DEL R.N. 24 25 26 27: [3 1 3 0]

FORMA DE TERMINACION DEL PARTO 28: [1] LONGITUD DEL CORDON 29 30: [6 5] APGAR-1 31 32: [0 9]

APGAR-5 33 34: [1 0] MORBILIDAD 35: [0]

MADRE: PO_2 36 37: [7 9] PCO_2 38 39: [2 1] D.B. 40 41 42: [- 1 1] HCO_3^- 43 44: [1 0] P^H 45 46 47: [7 3 7]

FETO: ARTERIA. PO_2 48 49: [1 8] PCO_2 50 51: [4 7] D.B. 52 53 54: [- - 9] HCO_3^- 55 56: [1 8] P^H 57 58 59: [7 2 1]

VENA. PO_2 60 61: [2 9] PCO_2 62 63: [3 3] D.B. 64 65 66: [- 1 0] HCO_3^- 67 68: [1 4] P^H 69 70 71: [7 3 0]

TIPO DE ACIDOSIS MATERNA 72: [0] TIPO DE ACIDOSIS FETAL 73: [0] Δ-P^H MADRE-FETO 74 75: [0 7]

Δ-P^H VENA UMBILICAL-ARTERIA UMBILICAL 76 77: [0 9] PROMEDIO DE ASCENSOS ?. 78 79: [1 7]

PROMEDIO DE ASCENSOS TRANSITORIOS QUE COINCIDEN CON LA CONTRACCION 80 81: [0 8]

TAQUICARDIA 82: [0] BRADICARDIA 83: [0] VARIABILIDAD DE LA FCF 84 85: [0 7] DIP-I 86 87: [0 0]

DIP-II 88 89: [0 0] TOTAL DIPS UMBILICALES 90 91: [0 0] DIP-U 92 93: [0 0] $DIP\text{-}U_p$ 94 95: [0 0]

$DIP\text{-}U_t$ 96 97: [0 0] $DIP\text{-}U_u$ 98 99: [0 0] $DIP\text{-}U_{sp}$ 100 101: [0 0] $DIP\text{-}U_{st}$ 102 103: [0 0] $DIP\text{-}U_\lambda$ 104 105: [0 0]

$DIP\text{-}U_{\lambda p}$ 106 107: [0 0] $DIP\text{-}U_{\lambda t}$ 108 109: [0 0] DIP-V 110 111: [0 0] $DIP\text{-}V_p$ 112 113: [0 0]

$DIP\text{-}V_t$ 114 115: [0 0] $DIP\text{-}V_b$ 116 117: [0 0] NUMERO DE CONTRACCIONES 118 119 120: [0 6 3]

NUMERO DE MINUTOS REGISTRADOS 121 122 123: [1 9 1]

HOJA CODIFICADA PARA EL ESTUDIO DE LAS VARIACIONES CARDIOTOCOGRAFICAS ATRIBUIDAS A LAS CIRCULARES DEL CORDON UMBILICAL

NOMBRE Y APELLIDOS:

GRUPO ESTUDIADO 1: [1] Nº DE Hª DE D.C. 2 3 4 5 6 7: [0 9 3 2 7 1] Nº DE UCIP 8 9 10 11 12: [1 5 4 5 4]

BOLSA 13: [0] L.A. 14: [0] MECONIO 15: [2] SEMANA DE AMENORREA 16 17: [4 2] SEXO 18: [0]

VITALIDAD 19: [0] EDAD MATERNA 20 21: [3 3] PARIDAD 22 23: [0 4] PESO DEL R.N. 24 25 26 27: [3 6 0 0]

FORMA DE TERMINACION DEL PARTO 28: [0] LONGITUD DEL CORDON 29 30: [6 5] APGAR-1 31 32: [0 1]

APGAR-5 33 34: [0 6] MORBILIDAD 35: [0]

MADRE: PO_2 36 37: [- -] PCO_2 38 39: [- -] D.B. 40 41 42: [- - -] HCO_3^- 43 44: [- -] P^H 45 46 47: [7 3 6]

FETO: ARTERIA. PO_2 48 49: [- -] PCO_2 50 51: [- -] D.B. 52 53 54: [- - -] HCO_3^- 55 56: [- -] P^H 57 58 59: [7 0 5]

VENA. PO_2 60 61: [- -] PCO_2 62 63: [- -] D.B. 64 65 66: [- - -] HCO_3^- 67 68: [- -] P^H 69 70 71: [7 3 0]

TIPO DE ACIDOSIS MATERNA 72: [0] TIPO DE ACIDOSIS FETAL 73: [9] Δ-P^H MADRE-FETO 74 75: [3 1]

Δ-P^H VENA UMBILICAL-ARTERIA UMBILICAL 76 77: [2 5] PROMEDIO DE ASCENSOS ?. 78 79: [0 6]

PROMEDIO DE ASCENSOS TRANSITORIOS QUE COINCIDEN CON LA CONTRACCION 80 81: [0 4]

TAQUICARDIA 82: [1] BRADICARDIA 83: [0] VARIABILIDAD DE LA FCF 84 85: [0 6] DIP-I 86 87: [0 0]

DIP-II 88 89: [0 0] TOTAL DIPS UMBILICALES 90 91: [3 1] DIP-U 92 93: [0 0] $DIP\text{-}U_p$ 94 95: [0 6]

$DIP\text{-}U_t$ 96 97: [0 0] $DIP\text{-}U_u$ 98 99: [0 0] $DIP\text{-}U_{sp}$ 100 101: [0 0] $DIP\text{-}U_{st}$ 102 103: [0 0] $DIP\text{-}U_\lambda$ 104 105: [0 9]

$DIP\text{-}U_{\lambda p}$ 106 107: [0 9] $DIP\text{-}U_{\lambda t}$ 108 109: [0 7] DIP-V 110 111: [0 0] $DIP\text{-}V_p$ 112 113: [0 0]

$DIP\text{-}V_t$ 114 115: [0 2] $DIP\text{-}V_b$ 116 117: [0 0] NUMERO DE CONTRACCIONES 118 119 120: [0 7 6]

NUMERO DE MINUTOS REGISTRADOS 121 122 123: [2 8 0]

HOJA CODIFICADA PARA EL ESTUDIO DE LAS VARIACIONES CARDIOTOCOGRAFICAS ATRIBUIDAS A LAS CIRCULARES DEL CORDON UMBILICAL

NOMBRE Y APELLIDOS:

GRUPO ESTUDIADO 1: [1] Nº DE Hª DE D.C. 2 3 4 5 6 7: [0 6 6 7 5 0] Nº DE UCIP 8 9 10 11 12: [1 1 3 2 5]

BOLSA 13: [1] L.A. 14: [1] MECONIO 15: [0] SEMANA DE AMENORREA 16 17: [3 9] SEXO 18: [0]

VITALIDAD 19: [0] EDAD MATERNA 20 21: [2 2] PARIDAD 22 23: [0 0] PESO DEL R.N. 24 25 26 27: [2 9 5 0]

FORMA DE TERMINACION DEL PARTO 28: [4] LONGITUD DEL CORDON 29 30: [5 0] APGAR-1 31 32: [0 2]

APGAR-5 33 34: [0 7] MORBILIDAD 35: [3]

MADRE: PO_2 36 37: [6 5] PCO_2 38 39: [2 3] D.B. 40 41 42: [- - 5] HCO_3^- 43 44: [1 6] P^H 45 46 47: [7 4 6]

FETO: ARTERIA. PO_2 48 49: [- -] PCO_2 50 51: [- -] D.B. 52 53 54: [- - - -] HCO_3^- 55 56: [- -] P^H 57 58 59: [7 1 5]

VENA. PO_2 60 61: [- -] PCO_2 62 63: [- -] D.B. 64 65 66: [- - - -] HCO_3^- 67 68: [- -] P^H 69 70 71: [- - -]

TIPO DE ACIDOSIS MATERNA 72: [-] TIPO DE ACIDOSIS FETAL 73: [9] Δ-P^H MADRE-FETO 74 75: [2 1]

Δ-P^H VENA UMBILICAL-ARTERIA UMBILICAL 76 77: [- -] PROMEDIO DE ASCENSOS ?. 78 79: [4 2]

PROMEDIO DE ASCENSOS TRANSITORIOS QUE COINCIDEN CON LA CONTRACCION 80 81: [2 2]

TAQUICARDIA 82: [0] BRADICARDIA 83: [0] VARIABILIDAD DE LA FCF 84 85: [0 6] DIP-I 86 87: [0 0]

DIP-II 88 89: [0 0] TOTAL DIPS UMBILICALES 90 91: [1 3] DIP-U 92 93: [0 0] $DIP\text{-}U_p$ 94 95: [0 3]

$DIP\text{-}U_t$ 96 97: [0 0] $DIP\text{-}U_u$ 98 99: [0 0] $DIP\text{-}U_{sp}$ 100 101: [0 0] $DIP\text{-}U_{st}$ 102 103: [0 0] $DIP\text{-}U_\lambda$ 104 105: [0 3]

$DIP\text{-}U_{\lambda p}$ 106 107: [0 6] $DIP\text{-}U_{\lambda t}$ 108 109: [0 0] DIP-V 110 111: [0 0] $DIP\text{-}V_p$ 112 113: [0 3]

$DIP\text{-}V_t$ 114 115: [0 0] $DIP\text{-}V_b$ 116 117: [0 0] NUMERO DE CONTRACCIONES 118 119 120: [0 0 8]

NUMERO DE MINUTOS REGISTRADOS 121 122 123: [0 9 3]

HOJA CODIFICADA PARA EL ESTUDIO DE LAS VARIACIONES CARDIOTOCOGRAFICAS ATRIBUIDAS A LAS CIRCULARES DEL CORDON UMBILICAL

NOMBRE Y APELLIDOS:

GRUPO ESTUDIADO 1: [1] Nº DE Hª DE D.C. 2 3 4 5 6 7: [0 7 3 9 8 6] Nº DE UCIP 8 9 10 11 12: [1 1 3 6 4]

BOLSA 13: [0] L.A. 14: [2] MECONIO 15: [0] SEMANA DE AMENORREA 16 17: [4 1] SEXO 18: [1]

VITALIDAD 19: [0] EDAD MATERNA 20 21: [3 1] PARIDAD 22 23: [0 0] PESO DEL R.N. 24 25 26 27: [3 7 2 0]

FORMA DE TERMINACION DEL PARTO 28: [1] LONGITUD DEL CORDON 29 30: [5 5] APGAR-1 31 32: [0 2]

APGAR-5 33 34: [0 6] MORBILIDAD 35: [0]

MADRE: PO_2 36 37: [8 0] PCO_2 38 39: [3 1] D.B. 40 41 42: [- - 6] HCO_3^- 43 44: [1 7] P^H 45 46 47: [7 3 8]

FETO: ARTERIA. PO_2 48 49: [4 1] PCO_2 50 51: [4 0] D.B. 52 53 54: [- - 3] HCO_3^- 55 56: [2 2] P^H 57 58 59: [7 3 5]

VENA. PO_2 60 61: [4 7] PCO_2 62 63: [3 3] D.B. 64 65 66: [- - 3] HCO_3^- 67 68: [2 0] P^H 69 70 71: [7 3 7]

TIPO DE ACIDOSIS MATERNA 72: [0] TIPO DE ACIDOSIS FETAL 73: [0] Δ-P^H MADRE-FETO 74 75: [0 1]

Δ-P^H VENA UMBILICAL-ARTERIA UMBILICAL 76 77: [0 2] PROMEDIO DE ASCENSOS ?. 78 79: [2 1]

PROMEDIO DE ASCENSOS TRANSITORIOS QUE COINCIDEN CON LA CONTRACCION 80 81: [0 0]

TAQUICARDIA 82: [0] BRADICARDIA 83: [1] VARIABILIDAD DE LA FCF 84 85: [0 7] DIP-I 86 87: [0 0]

DIP-II 88 89: [0 0] TOTAL DIPS UMBILICALES 90 91: [2 9] DIP-U 92 93: [0 0] $DIP\text{-}U_p$ 94 95: [0 0]

$DIP\text{-}U_t$ 96 97: [0 0] $DIP\text{-}U_u$ 98 99: [0 0] $DIP\text{-}U_{sp}$ 100 101: [0 0] $DIP\text{-}U_{st}$ 102 103: [0 0] $DIP\text{-}U_\lambda$ 104 105: [2 5]

$DIP\text{-}U_{\lambda p}$ 106 107: [0 8] $DIP\text{-}U_{\lambda t}$ 108 109: [0 0] DIP-V 110 111: [0 0] $DIP\text{-}V_p$ 112 113: [0 0]

$DIP\text{-}V_t$ 114 115: [0 0] $DIP\text{-}V_b$ 116 117: [0 0] NUMERO DE CONTRACCIONES 118 119 120: [0 1 6]

NUMERO DE MINUTOS REGISTRADOS 121 122 123: [1 0 2]

HOJA CODIFICADA PARA EL ESTUDIO DE LAS VARIACIONES CARDIOTOCOGRAFICAS ATRIBUIDAS A LAS CIRCULARES DEL CORDON UMBILICAL

NOMBRE Y APELLIDOS:

GRUPO ESTUDIADO (1) Nº DE Nº DE D.C. (057462) Nº DE UCIP (08741) BOLSA (0) L.A. (0) MECONIO (2) SEMANA DE AMENORREA (42) SEXO (0)
VITALIDAD (0) EDAD MATERNA (43) PARIDAD (08) PESO DEL R.N. (3880)
FORMA DE TERMINACION DEL PARTO (4) LONGITUD DEL CORDON (50) APGAR-1 (03)
APGAR-5 (07) MORBILIDAD (3)
MADRE: PO_2 (--) PCO_2 (---) D.B. (----) HCO_3^- (---) P^H (----)
FETO: ARTERIA. PO_2 (05) PCO_2 (50) D.B. (+1) HCO_3^- (27) P^H (735)
VENA. PO_2 (19) PCO_2 (45) D.B. (+1) HCO_3^- (26) P^H (739)
TIPO DE ACIDOSIS MATERNA (-) TIPO DE ACIDOSIS FETAL (0) Δ-P^H MADRE-FETO (--)
Δ-P^H VENA UMBILICAL-ARTERIA UMBILICAL (04) PROMEDIO DE ASCENSOS T. (06)
PROMEDIO DE ASCENSOS TRANSITORIOS QUE COINCIDEN CON LA CONTRACCION (00)
TAQUICARDIA (1) BRADICARDIA (0) VARIABILIDAD DE LA FCF (05) DIP-I (00)
DIP-II (00) TOTAL DIPS UMBILICALES (00) DIP-U (00) $DIP\text{-}U_p$ (00)
$DIP\text{-}U_t$ (00) $DIP\text{-}U_e$ (00) $DIP\text{-}U_{ep}$ (00) $DIP\text{-}U_{et}$ (00) $DIP\text{-}U_\lambda$ (00)
$DIP\text{-}U_{\lambda p}$ (00) $DIP\text{-}U_{\lambda t}$ (00) DIP-V (15) $DIP\text{-}V_p$ (00)
$DIP\text{-}V_t$ (00) $DIP\text{-}V_b$ (00) NUMERO DE CONTRACCIONES (005)
NUMERO DE MINUTOS REGISTRADOS (210)

HOJA CODIFICADA PARA EL ESTUDIO DE LAS VARIACIONES CARDIOTOCOGRAFICAS ATRIBUIDAS A LAS CIRCULARES DEL CORDON UMBILICAL

NOMBRE Y APELLIDOS:

GRUPO ESTUDIADO (1) Nº DE Nº DE D.C. (045400) Nº DE UCIP (09296) BOLSA (1) L.A. (2) MECONIO (0) SEMANA DE AMENORREA (39) SEXO (0)
VITALIDAD (0) EDAD MATERNA (19) PARIDAD (00) PESO DEL R.N. (4180)
FORMA DE TERMINACION DEL PARTO (4) LONGITUD DEL CORDON (60) APGAR-1 (03)
APGAR-5 (06) MORBILIDAD (1)
MADRE: PO_2 (99) PCO_2 (30) D.B. (-1) HCO_3^- (22) P^H (746)
FETO: ARTERIA. PO_2 (19) PCO_2 (63) D.B. (-3) HCO_3^- (27) P^H (724)
VENA. PO_2 (33) PCO_2 (45) D.B. (-3) HCO_3^- (23) P^H (733)
TIPO DE ACIDOSIS MATERNA (0) TIPO DE ACIDOSIS FETAL (0) Δ-P^H MADRE-FETO (13)
Δ-P^H VENA UMBILICAL-ARTERIA UMBILICAL (09) PROMEDIO DE ASCENSOS T. (12)
PROMEDIO DE ASCENSOS TRANSITORIOS QUE COINCIDEN CON LA CONTRACCION (03)
TAQUICARDIA (0) BRADICARDIA (0) VARIABILIDAD DE LA FCF (07) DIP-I (00)
DIP-II (00) TOTAL DIPS UMBILICALES (04) DIP-U (00) $DIP\text{-}U_p$ (00)
$DIP\text{-}U_t$ (00) $DIP\text{-}U_e$ (00) $DIP\text{-}U_{ep}$ (00) $DIP\text{-}U_{et}$ (00) $DIP\text{-}U_\lambda$ (04)
$DIP\text{-}U_{\lambda p}$ (00) $DIP\text{-}U_{\lambda t}$ (00) DIP-V (00) $DIP\text{-}V_p$ (00)
$DIP\text{-}V_t$ (00) $DIP\text{-}V_b$ (00) NUMERO DE CONTRACCIONES (044)
NUMERO DE MINUTOS REGISTRADOS (346)

HOJA CODIFICADA PARA EL ESTUDIO DE LAS VARIACIONES CARDIOTOCOGRAFICAS ATRIBUIDAS A LAS CIRCULARES DEL CORDON UMBILICAL

NOMBRE Y APELLIDOS:

GRUPO ESTUDIADO (1) Nº DE Nº DE D.C. (074660) Nº DE UCIP (09781) BOLSA (1) L.A. (0) MECONIO (2) SEMANA DE AMENORREA (42) SEXO (0)
VITALIDAD (0) EDAD MATERNA (28) PARIDAD (00) PESO DEL R.N. (3250)
FORMA DE TERMINACION DEL PARTO (4) LONGITUD DEL CORDON (55) APGAR-1 (04)
APGAR-5 (07) MORBILIDAD (0)
MADRE: PO_2 (90) PCO_2 (16) D.B. (-112) HCO_3^- (12) P^H (751)
FETO: ARTERIA. PO_2 (12) PCO_2 (60) D.B. (-115) HCO_3^- (13) P^H (700)
VENA. PO_2 (25) PCO_2 (46) D.B. (-113) HCO_3^- (14) P^H (714)
TIPO DE ACIDOSIS MATERNA (0) TIPO DE ACIDOSIS FETAL (3) Δ-P^H MADRE-FETO (37)
Δ-P^H VENA UMBILICAL-ARTERIA UMBILICAL (14) PROMEDIO DE ASCENSOS T. (01)
PROMEDIO DE ASCENSOS TRANSITORIOS QUE COINCIDEN CON LA CONTRACCION (00)
TAQUICARDIA (0) BRADICARDIA (0) VARIABILIDAD DE LA FCF (06) DIP-I (00)
DIP-II (00) TOTAL DIPS UMBILICALES (24) DIP-U (03) $DIP\text{-}U_p$ (00)
$DIP\text{-}U_t$ (00) $DIP\text{-}U_e$ (00) $DIP\text{-}U_{ep}$ (00) $DIP\text{-}U_{et}$ (00) $DIP\text{-}U_\lambda$ (10)
$DIP\text{-}U_{\lambda p}$ (11) $DIP\text{-}U_{\lambda t}$ (00) DIP-V (13) $DIP\text{-}V_p$ (01)
$DIP\text{-}V_t$ (00) $DIP\text{-}V_b$ (04) NUMERO DE CONTRACCIONES (087)
NUMERO DE MINUTOS REGISTRADOS (340)

HOJA CODIFICADA PARA EL ESTUDIO DE LAS VARIACIONES CARDIOTOCOGRAFICAS ATRIBUIDAS A LAS CIRCULARES DEL CORDON UMBILICAL

NOMBRE Y APELLIDOS:

GRUPO ESTUDIADO (1) Nº DE Nº DE D.C. (084064) Nº DE UCIP (13118) BOLSA (0) L.A. (2) MECONIO (2) SEMANA DE AMENORREA (40) SEXO (1)
VITALIDAD (0) EDAD MATERNA (40) PARIDAD (00) PESO DEL R.N. (3170)
FORMA DE TERMINACION DEL PARTO (4) LONGITUD DEL CORDON (58) APGAR-1 (04)
APGAR-5 (07) MORBILIDAD (0)
MADRE: PO_2 (98) PCO_2 (53) D.B. (-13) HCO_3^- (24) P^H (728)
FETO: ARTERIA. PO_2 (08) PCO_2 (48) D.B. (0) HCO_3^- (28) P^H (719)
VENA. PO_2 (34) PCO_2 (44) D.B. (+1) HCO_3^- (25) P^H (726)
TIPO DE ACIDOSIS MATERNA (0) TIPO DE ACIDOSIS FETAL (1) Δ-P^H MADRE-FETO (02)
Δ-P^H VENA UMBILICAL-ARTERIA UMBILICAL (07) PROMEDIO DE ASCENSOS T. (18)
PROMEDIO DE ASCENSOS TRANSITORIOS QUE COINCIDEN CON LA CONTRACCION (00)
TAQUICARDIA (0) BRADICARDIA (0) VARIABILIDAD DE LA FCF (11) DIP-I (00)
DIP-II (00) TOTAL DIPS UMBILICALES (06) DIP-U (00) $DIP\text{-}U_p$ (00)
$DIP\text{-}U_t$ (00) $DIP\text{-}U_e$ (00) $DIP\text{-}U_{ep}$ (00) $DIP\text{-}U_{et}$ (00) $DIP\text{-}U_\lambda$ (06)
$DIP\text{-}U_{\lambda p}$ (00) $DIP\text{-}U_{\lambda t}$ (00) DIP-V (06) $DIP\text{-}V_p$ (00)
$DIP\text{-}V_t$ (00) $DIP\text{-}V_b$ (03) NUMERO DE CONTRACCIONES (009)
NUMERO DE MINUTOS REGISTRADOS (019)

HOJA CODIFICADA PARA EL ESTUDIO DE LAS VARIACIONES CARDIOTOCOGRAFICAS ATRIBUIDAS A LAS CIRCULARES DEL CORDON UMBILICAL

NOMBRE Y APELLIDOS:

GRUPO ESTUDIADO 1 [1] Nº DE Hª DE D.C. 2 3 4 5 6 7 [0 1 0 5 6 9] Nº DE UCIP 8 9 10 11 12 [0 9 3 2 3]

BOLSA 13 [1] L.A. 14 [2] MECONIO 15 [0] SEMANA DE AMENORREA 16 17 [3 9] SEXO 18 [0]

VITALIDAD 19 [0] EDAD MATERNA 20 21 [2 9] PARIDAD 22 23 [0 1] PESO DEL R.N. 24 25 26 27 [3 7 2 0]

FORMA DE TERMINACION DEL PARTO 28 [4] LONGITUD DEL CORDON 29 30 [8 0] APGAR-1 31 32 [0 4]

APGAR-5 33 34 [0 9] MORBILIDAD 35 [0]

MADRE: PO_2 36 37 [6 8] PCO_2 38 39 [2 4] D.B. 40 41 42 [- - 3] HCO_3^- 43 44 [1 8] P^H 45 46 47 [7 4 6]

FETO: ARTERIA. PO_2 48 49 [1 0] PCO_2 50 51 [6 4] D.B. 52 53 54 [- - 3] HCO_3^- 55 56 [2 7] P^H 57 58 59 [7 2 3]

VENA. PO_2 60 61 [2 5] PCO_2 62 63 [5 4] D.B. 64 65 66 [- 1 3] HCO_3^- 67 68 [2 3] P^H 69 70 71 [7 3 0]

TIPO DE ACIDOSIS MATERNA 72 [0] TIPO DE ACIDOSIS FETAL 73 [0] Δ-P^H MADRE-FETO 74 75 [1 6]

Δ-P^H VENA UMBILICAL-ARTERIA UMBILICAL 76 77 [0 7] PROMEDIO DE ASCENSOS ?. 78 79 [0 9]

PROMEDIO DE ASCENSOS TRANSITORIOS QUE COINCIDEN CON LA CONTRACCION 80 81 [0 5]

TAQUICARDIA 82 [0] BRADICARDIA 83 [0] VARIABILIDAD DE LA FCF 84 85 [1 2] DIP-I 86 87 [0 1]

DIP-II 88 89 [0 0] TOTAL DIPS UMBILICALES 90 91 [0 0] DIP-U 92 93 [0 0] $DIP\text{-}U_p$ 94 95 [0 0]

$DIP\text{-}U_t$ 96 97 [0 0] $DIP\text{-}U_e$ 98 99 [0 0] $DIP\text{-}U_{cp}$ 100 101 [0 0] $DIP\text{-}U_{ct}$ 102 103 [0 0] $DIP\text{-}U_\lambda$ 104 105 [0 0]

$DIP\text{-}U_{\lambda p}$ 106 107 [0 0] $DIP\text{-}U_{\lambda t}$ 108 109 [0 0] D.P-V 110 111 [0 0] $DIP\text{-}V_p$ 112 113 [0 5]

$DIP\text{-}V_t$ 114 115 [1 2] $DIP\text{-}V_b$ 116 117 [0 0] NUMERO DE CONTRACCIONES 118 119 120 [0 6 8]

NUMERO DE MINUTOS REGISTRADOS 121 122 123 [3 1 0]

HOJA CODIFICADA PARA EL ESTUDIO DE LAS VARIACIONES CARDIOTOCOGRAFICAS ATRIBUIDAS A LAS CIRCULARES DEL CORDON UMBILICAL

NOMBRE Y APELLIDOS:

GRUPO ESTUDIADO 1 [1] Nº DE Hª DE D.C. 2 3 4 5 6 7 [0 6 4 3 4 7] Nº DE UCIP 8 9 10 11 12 [0 9 8 4 0]

BOLSA 13 [0] L.A. 14 [2] MECONIO 15 [2] SEMANA DE AMENORREA 16 17 [4 2] SEXO 18 [0]

VITALIDAD 19 [0] EDAD MATERNA 20 21 [2 4] PARIDAD 22 23 [0 3] PESO DEL R.N. 24 25 26 27 [3 2 5 0]

FORMA DE TERMINACION DEL PARTO 28 [0] LONGITUD DEL CORDON 29 30 [6 0] APGAR-1 31 32 [0 5]

APGAR-5 33 34 [0 9] MORBILIDAD 35 [0]

MADRE: PO_2 36 37 [8 6] PCO_2 38 39 [2 3] D.B. 40 41 42 [- - 7] HCO_3^- 43 44 [1 4] P^H 45 46 47 [7 4 2]

FETO: ARTERIA. PO_2 48 49 [1 1] PCO_2 50 51 [6 6] D.B. 52 53 54 [- 1 1] HCO_3^- 55 56 [2 1] P^H 57 58 59 [7 1 3]

VENA. PO_2 60 61 [3 3] PCO_2 62 63 [3 8] D.B. 64 65 66 [- - 7] HCO_3^- 67 68 [1 9] P^H 69 70 71 [7 3 2]

TIPO DE ACIDOSIS MATERNA 72 [0] TIPO DE ACIDOSIS FETAL 73 [3] Δ-P^H MADRE-FETO 74 75 [1 0]

Δ-P^H VENA UMBILICAL-ARTERIA UMBILICAL 76 77 [1 9] PROMEDIO DE ASCENSOS ?. 78 79 [1 1]

PROMEDIO DE ASCENSOS TRANSITORIOS QUE COINCIDEN CON LA CONTRACCION 80 81 [0 4]

TAQUICARDIA 82 [0] BRADICARDIA 83 [0] VARIABILIDAD DE LA FCF 84 85 [0 5] DIP-I 86 87 [0 0]

DIP-II 88 89 [0 0] TOTAL DIPS UMBILICALES 90 91 [0 4] DIP-U 92 93 [0 0] $DIP\text{-}U_p$ 94 95 [0 0]

$DIP\text{-}U_t$ 96 97 [0 0] $DIP\text{-}U_e$ 98 99 [0 0] $DIP\text{-}U_{cp}$ 100 101 [0 0] $DIP\text{-}U_{ct}$ 102 103 [0 0] $DIP\text{-}U_\lambda$ 104 105 [0 0]

$DIP\text{-}U_{\lambda p}$ 106 107 [0 0] $DIP\text{-}U_{\lambda t}$ 108 109 [0 4] DIP-V 110 111 [0 0] $DIP\text{-}V_p$ 112 113 [0 0]

$DIP\text{-}V_t$ 114 115 [0 0] $DIP\text{-}V_b$ 116 117 [0 0] NUMERO DE CONTRACCIONES 118 119 120 [0 1 1]

NUMERO DE MINUTOS REGISTRADOS 121 122 123 [0 1 8]

HOJA CODIFICADA PARA EL ESTUDIO DE LAS VARIACIONES CARDIOTOCOGRAFICAS ATRIBUIDAS A LAS CIRCULARES DEL CORDON UMBILICAL

NOMBRE Y APELLIDOS:

GRUPO ESTUDIADO 2 [2] Nº DE Hª DE D.C. 2 3 4 5 6 7 [0 3 1 6 4 9] Nº DE UCIP 8 9 10 11 12 [0 9 4 0 9]

BOLSA 13 [1] L.A. 14 [0] MECONIO 15 [2] SEMANA DE AMENORREA 16 17 [4 2] SEXO 18 [0]

VITALIDAD 19 [0] EDAD MATERNA 20 21 [3 2] PARIDAD 22 23 [0 0] PESO DEL R.N. 24 25 26 27 [4 4 2 0]

FORMA DE TERMINACION DEL PARTO 28 [2] LONGITUD DEL CORDON 29 30 [5 5] APGAR-1 31 32 [0 5]

APGAR-5 33 34 [0 7] MORBILIDAD 35 [0]

MADRE: PO_2 36 37 [9 9] PCO_2 38 39 [3 2] D.B. 40 41 42 [- - 5] HCO_3^- 43 44 [1 9] P^H 45 46 47 [7 3 8]

FETO: ARTERIA. PO_2 48 49 [2 5] PCO_2 50 51 [7 2] D.B. 52 53 54 [- - 2] HCO_3^- 55 56 [2 9] P^H 57 58 59 [7 2 2]

VENA. PO_2 60 61 [- -] PCO_2 62 63 [- -] D.B. 64 65 66 [- - - -] HCO_3^- 67 68 [- -] P^H 69 70 71 [- - -]

TIPO DE ACIDOSIS MATERNA 72 [0] TIPO DE ACIDOSIS FETAL 73 [-] Δ-P^H MADRE-FETO 74 75 [- -]

Δ-P^H VENA UMBILICAL-ARTERIA UMBILICAL 76 77 [- -] PROMEDIO DE ASCENSOS ?. 78 79 [0 5]

PROMEDIO DE ASCENSOS TRANSITORIOS QUE COINCIDEN CON LA CONTRACCION 80 81 [0 1]

TAQUICARDIA 82 [0] BRADICARDIA 83 [0] VARIABILIDAD DE LA FCF 84 85 [0 4] DIP-I 86 87 [0 0]

DIP-II 88 89 [0 0] TOTAL DIPS UMBILICALES 90 91 [1 1] DIP-U 92 93 [0 1] $DIP\text{-}U_p$ 94 95 [0 1]

$DIP\text{-}U_t$ 96 97 [0 0] $DIP\text{-}U_e$ 98 99 [0 0] $DIP\text{-}U_{cp}$ 100 101 [0 0] $DIP\text{-}U_{ct}$ 102 103 [0 0] $DIP\text{-}U_\lambda$ 104 105 [0 5]

$DIP\text{-}U_{\lambda p}$ 106 107 [0 4] $DIP\text{-}U_{\lambda t}$ 108 109 [0 0] DIP-V 110 111 [0 0] $DIP\text{-}V_p$ 112 113 [0 1]

$DIP\text{-}V_t$ 114 115 [0 0] $DIP\text{-}V_b$ 116 117 [0 0] NUMERO DE CONTRACCIONES 118 119 120 [0 8 5]

NUMERO DE MINUTOS REGISTRADOS 121 122 123 [2 9 0]

HOJA CODIFICADA PARA EL ESTUDIO DE LAS VARIACIONES CARDIOTOCOGRAFICAS ATRIBUIDAS A LAS CIRCULARES DEL CORDON UMBILICAL

NOMBRE Y APELLIDOS:

GRUPO ESTUDIADO 1 [1] Nº DE Hª DE D.C. 2 3 4 5 6 7 [0 7 3 3 0 9] Nº DE UCIP 8 9 10 11 12 [1 1 2 7 7]

BOLSA 13 [0] L.A. 14 [2] MECONIO 15 [1] SEMANA DE AMENORREA 16 17 [3 9] SEXO 18 [0]

VITALIDAD 19 [0] EDAD MATERNA 20 21 [2 2] PARIDAD 22 23 [0 0] PESO DEL R.N. 24 25 26 27 [4 0 5 0]

FORMA DE TERMINACION DEL PARTO 28 [1] LONGITUD DEL CORDON 29 30 [6 0] APGAR-1 31 32 [0 5]

APGAR-5 33 34 [1 0] MORBILIDAD 35 [0]

MADRE: PO_2 36 37 [9 4] PCO_2 38 39 [1 8] D.B. 40 41 42 [- 1 2] HCO_3^- 43 44 [1 0] P^H 45 46 47 [7 3 6]

FETO: ARTERIA. PO_2 48 49 [2 0] PCO_2 50 51 [4 4] D.B. 52 53 54 [- - 5] HCO_3^- 55 56 [2 1] P^H 57 58 59 [7 2 9]

VENA. PO_2 60 61 [2 8] PCO_2 62 63 [3 2] D.B. 64 65 66 [- - 7] HCO_3^- 67 68 [1 7] P^H 69 70 71 [7 3 5]

TIPO DE ACIDOSIS MATERNA 72 [0] TIPO DE ACIDOSIS FETAL 73 [0] Δ-P^H MADRE-FETO 74 75 [0 1]

Δ-P^H VENA UMBILICAL-ARTERIA UMBILICAL 76 77 [0 6] PROMEDIO DE ASCENSOS ?. 78 79 [0 0]

PROMEDIO DE ASCENSOS TRANSITORIOS QUE COINCIDEN CON LA CONTRACCION 80 81 [0 0]

TAQUICARDIA 82 [2] BRADICARDIA 83 [0] VARIABILIDAD DE LA FCF 84 85 [0 4] DIP-I 86 87 [1 8]

DIP-II 88 89 [0 0] TOTAL DIPS UMBILICALES 90 91 [7 7] DIP-U 92 93 [0 3] $DIP\text{-}U_p$ 94 95 [7 2]

$DIP\text{-}U_t$ 96 97 [0 0] $DIP\text{-}U_e$ 98 99 [0 0] $DIP\text{-}U_{cp}$ 100 101 [0 0] $DIP\text{-}U_{ct}$ 102 103 [0 0] $DIP\text{-}U_\lambda$ 104 105 [0 0]

$DIP\text{-}U_{\lambda p}$ 106 107 [0 1] $DIP\text{-}U_{\lambda t}$ 108 109 [0 0] DIP-V 110 111 [0 8] $DIP\text{-}V_p$ 112 113 [0 3]

$DIP\text{-}V_t$ 114 115 [0 1] $DIP\text{-}V_b$ 116 117 [0 0] NUMERO DE CONTRACCIONES 118 119 120 [0 5 8]

NUMERO DE MINUTOS REGISTRADOS 121 122 123 [1 7 4]

HOJA CODIFICADA PARA EL ESTUDIO DE LAS VARIACIONES CARDIOTOCOGRAFICAS ATRIBUIDAS A LAS CIRCULARES DEL CORDON UMBILICAL

NOMBRE Y APELLIDOS:

GRUPO ESTUDIADO [1] Nº DE Hª DE D.C. [2 3 4 5 6 7] 0 8 3 9 1 5 Nº DE UCIP [8 9 10 11 12] 1 3 3 0 9

BOLSA [13] 0 L.A. [14] 0 MECONIO [15] 0 SEMANA DE AMENORREA [16 17] 4 2 SEXO [18] 1

VITALIDAD [19] 0 EDAD MATERNA [20 21] 2 5 PARIDAD [22 23] 0 0 PESO DEL R.N. [24 25 26 27] 3 1 3 0

FORMA DE TERMINACION DEL PARTO [28] 4 LONGITUD DEL CORDON [29 30] 6 0 APGAR-1 [31 32] 0 5

APGAR-5 [33 34] 0 9 MORBILIDAD [35] 1

MADRE: PO_2 [36 37] 3 8 PCO_2 [38 39] 3 5 D.B. [40 41 42] + 2 HCO_3^- [43 44] 2 5 P^H [45 46 47] 7 4 5

FETO: ARTERIA. PO_2 [48 49] 1 9 PCO_2 [50 51] 7 4 D.B. [52 53 54] + 2 HCO_3^- [55 56] 3 2 P^H [57 58 59] 7 2 2

VENA. PO_2 [60 61] 3 3 PCO_2 [62 63] 5 4 D.B. [64 65 66] + 1 HCO_3^- [67 68] 2 8 P^H [69 70 71] 7 3 2

TIPO DE ACIDOSIS MATERNA [72] 0 TIPO DE ACIDOSIS FETAL [73] 0 Δ-P^H MADRE-FETO [74 75] 1 3

Δ-P^H VENA UMBILICAL-ARTERIA UMBILICAL [76 77] 1 0 PROMEDIO DE ASCENSOS ?. [78 79] 4 2

PROMEDIO DE ASCENSOS TRANSITORIOS QUE COINCIDEN CON LA CONTRACCION [80 81] 0 4

TAQUICARDIA [82] 0 BRADICARDIA [83] 0 VARIABILIDAD DE LA FCF [84 85] 0 8 DIP-I [86 87] 0 0

DIP-II [88 89] 0 0 TOTAL DIPS UMBILICALES [90 91] 0 6 DIP-U [92 93] 0 0 $DIP\text{-}U_p$ [94 95] 0 0

$DIP\text{-}U_t$ [96 97] 0 0 $DIP\text{-}U_v$ [98 99] 0 0 $DIP\text{-}U_{vp}$ [100 101] 0 0 $DIP\text{-}U_{vt}$ [102 103] 0 0 $DIP\text{-}U_\lambda$ [104 105] 0 3

$DIP\text{-}U_{\lambda p}$ [106 107] 0 3 $DIP\text{-}U_{\lambda t}$ [108 109] 0 0 DIP-V [110 111] 0 1 $DIP\text{-}V_p$ [112 113] 0 1

$DIP\text{-}V_t$ [114 115] 0 7 $DIP\text{-}V_b$ [116 117] 0 1 NUMERO DE CONTRACCIONES [118 119 120] 0 8 0

NUMERO DE MINUTOS REGISTRADOS [121 122 123] 3 1 8

HOJA CODIFICADA PARA EL ESTUDIO DE LAS VARIACIONES CARDIOTOCOGRAFICAS ATRIBUIDAS A LAS CIRCULARES DEL CORDON UMBILICAL

NOMBRE Y APELLIDOS:

GRUPO ESTUDIADO [1] Nº DE Hª DE D.C. [2 3 4 5 6 7] 0 6 9 6 4 8 Nº DE UCIP [8 9 10 11 12] 1 1 8 9 5

BOLSA [13] 1 L.A. [14] 1 MECONIO [15] 0 SEMANA DE AMENORREA [16 17] 4 0 SEXO [18] 0

VITALIDAD [19] 0 EDAD MATERNA [20 21] 2 9 PARIDAD [22 23] 0 4 PESO DEL R.N. [24 25 26 27] 4 1 2 0

FORMA DE TERMINACION DEL PARTO [28] 1 LONGITUD DEL CORDON [29 30] 7 0 APGAR-1 [31 32] 0 5

APGAR-5 [33 34] 0 9 MORBILIDAD [35] 0

MADRE: PO_2 [36 37] 6 7 PCO_2 [38 39] 1 8 D.B. [40 41 42] - 8 HCO_3^- [43 44] 1 2 P^H [45 46 47] 7 4 3

FETO: ARTERIA. PO_2 [48 49] 1 0 PCO_2 [50 51] 9 9 D.B. [52 53 54] + 1 HCO_3^- [55 56] 3 4 P^H [57 58 59] 7 1 5

VENA. PO_2 [60 61] 2 4 PCO_2 [62 63] 3 7 D.B. [64 65 66] - 2 HCO_3^- [67 68] 2 2 P^H [69 70 71] 7 3 9

TIPO DE ACIDOSIS MATERNA [72] 0 TIPO DE ACIDOSIS FETAL [73] 1 Δ-P^H MADRE-FETO [74 75] 0 4

Δ-P^H VENA UMBILICAL-ARTERIA UMBILICAL [76 77] 2 4 PROMEDIO DE ASCENSOS ?. [78 79] 1 2

PROMEDIO DE ASCENSOS TRANSITORIOS QUE COINCIDEN CON LA CONTRACCION [80 81] 0 0

TAQUICARDIA [82] 0 BRADICARDIA [83] 0 VARIABILIDAD DE LA FCF [84 85] 1 5 DIP-I [86 87] 0 0

DIP-II [88 89] 0 0 TOTAL DIPS UMBILICALES [90 91] 1 0 DIP-U [92 93] 0 0 $DIP\text{-}U_p$ [94 95] 0 0

$DIP\text{-}U_t$ [96 97] 0 0 $DIP\text{-}U_v$ [98 99] 0 0 $DIP\text{-}U_{vp}$ [100 101] 0 0 $DIP\text{-}U_{vt}$ [102 103] 0 0 $DIP\text{-}U_\lambda$ [104 105] 0 9

$DIP\text{-}U_{\lambda p}$ [106 107] 0 1 $DIP\text{-}U_{\lambda t}$ [108 109] 0 0 DIP-V [110 111] 0 0 $DIP\text{-}V_p$ [112 113] 0 0

$DIP\text{-}V_t$ [114 115] 0 1 $DIP\text{-}V_b$ [116 117] 0 0 NUMERO DE CONTRACCIONES [118 119 120] 0 3 7

NUMERO DE MINUTOS REGISTRADOS [121 122 123] 2 0 8

HOJA CODIFICADA PARA EL ESTUDIO DE LAS VARIACIONES CARDIOTOCOGRAFICAS ATRIBUIDAS A LAS CIRCULARES DEL CORDON UMBILICAL

NOMBRE Y APELLIDOS:

GRUPO ESTUDIADO [1] Nº DE Hª DE D.C. [2 3 4 5 6 7] 0 6 4 1 6 8 Nº DE UCIP [8 9 10 11 12] 0 9 8 0 5

BOLSA [13] 0 L.A. [14] 2 MECONIO [15] 2 SEMANA DE AMENORREA [16 17] 4 1 SEXO [18] 1

VITALIDAD [19] 0 EDAD MATERNA [20 21] 2 7 PARIDAD [22 23] 0 0 PESO DEL R.N. [24 25 26 27] 3 1 9 0

FORMA DE TERMINACION DEL PARTO [28] 2 LONGITUD DEL CORDON [29 30] 9 7 APGAR-1 [31 32] 0 5

APGAR-5 [33 34] 0 7 MORBILIDAD [35] 0

MADRE: PO_2 [36 37] 7 7 PCO_2 [38 39] 3 0 D.B. [40 41 42] - 6 HCO_3^- [43 44] 1 7 P^H [45 46 47] 7 3 9

FETO: ARTERIA. PO_2 [48 49] 4 0 PCO_2 [50 51] 5 4 D.B. [52 53 54] - 9 HCO_3^- [55 56] 2 0 P^H [57 58 59] 7 1 9

VENA. PO_2 [60 61] 4 3 PCO_2 [62 63] 3 6 D.B [64 65 66] - 6 HCO_3^- [67 68] 2 0 P^H [69 70 71] 7 3 5

TIPO DE ACIDOSIS MATERNA [72] 0 TIPO DE ACIDOSIS FETAL [73] 3 Δ-P^H MADRE-FETO [74 75] 0 4

Δ-P^H VENA UMBILICAL-ARTERIA UMBILICAL [76 77] 1 6 PROMEDIO DE ASCENSOS ?. [78 79] 5 5

PROMEDIO DE ASCENSOS TRANSITORIOS QUE COINCIDEN CON LA CONTRACCION [80 81] 0 4

TAQUICARDIA [82] 0 BRADICARDIA [83] 0 VARIABILIDAD DE LA FCF [84 85] 1 0 DIP-I [86 87] 0 0

DIP-II [88 89] 0 0 TOTAL DIPS UMBILICALES [90 91] 2 0 DIP-U [92 93] 0 0 $DIP\text{-}U_p$ [94 95] 0 0

$DIP\text{-}U_t$ [96 97] 0 0 $DIP\text{-}U_v$ [98 99] 0 0 $DIP\text{-}U_{vp}$ [100 101] 0 0 $DIP\text{-}U_{vt}$ [102 103] 0 0 $DIP\text{-}U_\lambda$ [104 105] 1 5

$DIP\text{-}U_{\lambda p}$ [106 107] 0 5 $DIP\text{-}U_{\lambda t}$ [108 109] 0 1 DIP-V [110 111] 0 0 $DIP\text{-}V_p$ [112 113] 0 0

$DIP\text{-}V_t$ [114 115] 0 0 $DIP\text{-}V_b$ [116 117] 0 0 NUMERO DE CONTRACCIONES [118 119 120] 0 8 9

NUMERO DE MINUTOS REGISTRADOS [121 122 123] 3 9 0

HOJA CODIFICADA PARA EL ESTUDIO DE LAS VARIACIONES CARDIOTOCOGRAFICAS ATRIBUIDAS A LAS CIRCULARES DEL CORDON UMBILICAL

NOMBRE Y APELLIDOS:

GRUPO ESTUDIADO [1] Nº DE Hª DE D.C. [2 3 4 5 6 7] 0 8 4 1 8 0 Nº DE UCIP [8 9 10 11 12] 1 3 4 0 4

BOLSA [13] 0 L.A. [14] 0 MECONIO [15] 2 SEMANA DE AMENORREA [16 17] 4 2 SEXO [18] 1

VITALIDAD [19] 0 EDAD MATERNA [20 21] 1 9 PARIDAD [22 23] 0 0 PESO DEL R.N. [24 25 26 27] 3 6 0 0

FORMA DE TERMINACION DEL PARTO [28] 2 LONGITUD DEL CORDON [29 30] 7 0 APGAR-1 [31 32] 0 6

APGAR-5 [33 34] 0 9 MORBILIDAD [35] 0

MADRE: PO_2 [36 37] 7 6 PCO_2 [38 39] 2 3 D.B. [40 41 42] - 7 HCO_3^- [43 44] 1 4 P^H [45 46 47] 7 4 3

FETO: ARTERIA. PO_2 [48 49] 1 3 PCO_2 [50 51] 5 9 D.B. [52 53 54] - 9 HCO_3^- [55 56] 2 0 P^H [57 58 59] 7 1 9

VENA. PO_2 [60 61] 3 1 PCO_2 [62 63] 3 5 D.B. [64 65 66] - 8 HCO_3^- [67 68] 1 6 P^H [69 70 71] 7 2 7

TIPO DE ACIDOSIS MATERNA [72] 0 TIPO DE ACIDOSIS FETAL [73] 3 Δ-P^H MADRE-FETO [74 75] 1 6

Δ-P^H VENA UMBILICAL-ARTERIA UMBILICAL [76 77] 0 8 PROMEDIO DE ASCENSOS ?. [78 79] 4 3

PROMEDIO DE ASCENSOS TRANSITORIOS QUE COINCIDEN CON LA CONTRACCION [80 81] 0 4

TAQUICARDIA [82] 0 BRADICARDIA [83] 0 VARIABILIDAD DE LA FCF [84 85] 0 5 DIP-I [86 87] 0 0

DIP-II [88 89] 0 0 TOTAL DIPS UMBILICALES [90 91] 0 4 DIP-U [92 93] 0 0 $DIP\text{-}U_p$ [94 95] 0 0

$DIP\text{-}U_t$ [96 97] 0 0 $DIP\text{-}U_v$ [98 99] 0 0 $DIP\text{-}U_{vp}$ [100 101] 0 0 $DIP\text{-}U_{vt}$ [102 103] 0 0 $DIP\text{-}U_\lambda$ [104 105] 0 4

$DIP\text{-}U_{\lambda p}$ [106 107] 0 0 $DIP\text{-}U_{\lambda t}$ [108 109] 0 0 DIP-V [110 111] 0 0 $DIP\text{-}V_p$ [112 113] 0 0

$DIP\text{-}V_t$ [114 115] 0 0 $DIP\text{-}V_b$ [116 117] 0 0 NUMERO DE CONTRACCIONES [118 119 120] C 0 0

NUMERO DE MINUTOS REGISTRADOS [121 122 123] 0 6 9

HOJA CODIFICADA PARA EL ESTUDIO DE LAS VARIACIONES CARDIOTOCOGRAFICAS ATRIBUIDAS A LAS CIRCULARES DEL CORDON UMBILICAL

NOMBRE Y APELLIDOS:

GRUPO ESTUDIADO [1] Nº DE Hª DE D.C. [0 8 0 4 1 1] Nº DE UCIP [1 2 6 9 5]

BOLSA [0] L.A. [2] MECONIO [2] SEMANA DE AMENORREA [4 1] SEXO [1]

VITALIDAD [0] EDAD MATERNA [2 9] PARIDAD [0 1] PESO DEL R.N. [4 2 1 0]

FORMA DE TERMINACION DEL PARTO [0] LONGITUD DEL CORDON [9 5] APGAR-1 [0 6]

APGAR-5 [1 0] MORBILIDAD [0]

MADRE: PO_2 [9 0] PCO_2 [2 5] D.B. [-6] HCO_3^- [1 5] P^H [7 4 1]

FETO: ARTERIA. PO_2 [0 4] PCO_2 [6 3] D.B. [-4] HCO_3^- [2 6] P^H [7 2 2]

VENA. PO_2 [3 1] PCO_2 [3 5] D.B. [-4] HCO_3^- [2 0] P^H [7 3 8]

TIPO DE ACIDOSIS MATERNA [0] TIPO DE ACIDOSIS FETAL [0] Δ-P^H MADRE-FETO [0 3]

Δ-P^H VENA UMBILICAL-ARTERIA UMBILICAL [1 6] PROMEDIO DE ASCENSOS T. [0 7]

PROMEDIO DE ASCENSOS TRANSITORIOS QUE COINCIDEN CON LA CONTRACCION [0 0]

TAQUICARDIA [0] BRADICARDIA [0] VARIABILIDAD DE LA FCF [0 5] DIP-I [0 0]

DIP-II [0 0] TOTAL DIPS UMBILICALES [0 3] DIP-U [0 0] $DIP\text{-}U_p$ [0 0]

$DIP\text{-}U_t$ [0 0] $DIP\text{-}U_w$ [0 0] $DIP\text{-}U_{wp}$ [0 0] $DIP\text{-}U_{wt}$ [0 0] $DIP\text{-}U_\lambda$ [0 0]

$DIP\text{-}U_{\lambda p}$ [0 3] $DIP\text{-}U_{\lambda t}$ [0 0] DIP-V [0 0] $DIP\text{-}V_p$ [0 0]

$DIP\text{-}V_t$ [0 0] $DIP\text{-}V_b$ [0 0] NUMERO DE CONTRACCIONES [0 1 8]

NUMERO DE MINUTOS REGISTRADOS [0 8 9]

HOJA CODIFICADA PARA EL ESTUDIO DE LAS VARIACIONES CARDIOTOCOGRAFICAS ATRIBUIDAS A LAS CIRCULARES DEL CORDON UMBILICAL

NOMBRE Y APELLIDOS:

GRUPO ESTUDIADO [1] Nº DE Hª DE D.C. [0 5 9 4 5 1] Nº DE UCIP [0 9 0 3 4]

BOLSA [0] L.A. [2] MECONIO [2] SEMANA DE AMENORREA [4 1] SEXO [1]

VITALIDAD [0] EDAD MATERNA [2 6] PARIDAD [0 0] PESO DEL R.N. [3 7 0 0]

FORMA DE TERMINACION DEL PARTO [4] LONGITUD DEL CORDON [5 5] APGAR-1 [0 6]

APGAR-5 [1 0] MORBILIDAD [1]

MADRE: PO_2 [9 1] PCO_2 [1 8] D.B. [-1 1] HCO_3^- [1 0] P^H [7 3 3]

FETO: ARTERIA. PO_2 [1 2] PCO_2 [6 4] D.B. [-5] HCO_3^- [2 5] P^H [7 2 0]

VENA. PO_2 [3 2] PCO_2 [5 0] D.B. [-6] HCO_3^- [2 2] P^H [7 2 6]

TIPO DE ACIDOSIS MATERNA [0] TIPO DE ACIDOSIS FETAL [1] Δ-P^H MADRE-FETO [0 7]

Δ-P^H VENA UMBILICAL-ARTERIA UMBILICAL [0 6] PROMEDIO DE ASCENSOS T. [0 8]

PROMEDIO DE ASCENSOS TRANSITORIOS QUE COINCIDEN CON LA CONTRACCION [0 1]

TAQUICARDIA [0] BRADICARDIA [0] VARIABILIDAD DE LA FCF [0 5] DIP-I [0 0]

DIP-II [0 0] TOTAL DIPS UMBILICALES [1 0] DIP-U [0 2] $DIP\text{-}U_p$ [0 0]

$DIP\text{-}U_t$ [0 1] $DIP\text{-}U_w$ [0 0] $DIP\text{-}U_{wp}$ [0 0] $DIP\text{-}U_{wt}$ [0 0] $DIP\text{-}U_\lambda$ [0 3]

$DIP\text{-}U_{\lambda p}$ [0 4] $DIP\text{-}U_{\lambda t}$ [0 0] DIP-V [0 0] $DIP\text{-}V_p$ [0 1]

$DIP\text{-}V_t$ [0 2] $DIP\text{-}V_b$ [0 0] NUMERO DE CONTRACCIONES [1 3 7]

NUMERO DE MINUTOS REGISTRADOS [4 3 7]

HOJA CODIFICADA PARA EL ESTUDIO DE LAS VARIACIONES CARDIOTOCOGRAFICAS ATRIBUIDAS A LAS CIRCULARES DEL CORDON UMBILICAL

NOMBRE Y APELLIDOS:

GRUPO ESTUDIADO [1] Nº DE Hª DE D.C. [0 7 5 1 2 1] Nº DE UCIP [1 1 6 3 5]

BOLSA [1] L.A. [3] MECONIO [2] SEMANA DE AMENORREA [4 2] SEXO [1]

VITALIDAD [0] EDAD MATERNA [2 4] PARIDAD [0 0] PESO DEL R.N. [3 0 6 0]

FORMA DE TERMINACION DEL PARTO [3] LONGITUD DEL CORDON [6 0] APGAR-1 [0 6]

APGAR-5 [1 0] MORBILIDAD [3]

MADRE: PO_2 [5 2] PCO_2 [3 0] D.B. [-1 1] HCO_3^- [2 2] P^H [7 4 8]

FETO: ARTERIA. PO_2 [1 4] PCO_2 [6 3] D.B. [-1 8] HCO_3^- [2 2] P^H [7 1 4]

VENA. PO_2 [2 2] PCO_2 [5 0] D.B. [-5] HCO_3^- [2 3] P^H [7 2 5]

TIPO DE ACIDOSIS MATERNA [0] TIPO DE ACIDOSIS FETAL [3] Δ-P^H MADRE-FETO [2 3]

Δ-P^H VENA UMBILICAL-ARTERIA UMBILICAL [1 1] PROMEDIO DE ASCENSOS T. [3 0]

PROMEDIO DE ASCENSOS TRANSITORIOS QUE COINCIDEN CON LA CONTRACCION [1 0]

TAQUICARDIA [0] BRADICARDIA [0] VARIABILIDAD DE LA FCF [0 7] DIP-I [0 0]

DIP-II [0 0] TOTAL DIPS UMBILICALES [0 7] DIP-U [0 0] $DIP\text{-}U_p$ [0 0]

$DIP\text{-}U_t$ [0 0] $DIP\text{-}U_w$ [0 0] $DIP\text{-}U_{wp}$ [0 0] $DIP\text{-}U_{wt}$ [0 0] $DIP\text{-}U_\lambda$ [0 0]

$DIP\text{-}U_{\lambda p}$ [0 3] $DIP\text{-}U_{\lambda t}$ [0 4] DIP-V [0 0] $DIP\text{-}V_p$ [0 0]

$DIP\text{-}V_t$ [0 3] $DIP\text{-}V_b$ [0 0] NUMERO DE CONTRACCIONES [0 2 1]

NUMERO DE MINUTOS REGISTRADOS [0 9 0]

HOJA CODIFICADA PARA EL ESTUDIO DE LAS VARIACIONES CARDIOTOCOGRAFICAS ATRIBUIDAS A LAS CIRCULARES DEL CORDON UMBILICAL

NOMBRE Y APELLIDOS:

GRUPO ESTUDIADO [1] Nº DE Hª DE D.C. [0 6 2 2 4 2] Nº DE UCIP [0 9 4 9 0]

BOLSA [1] L.A. [0] MECONIO [2] SEMANA DE AMENORREA [4 3] SEXO [1]

VITALIDAD [0] EDAD MATERNA [2 4] PARIDAD [0 3] PESO DEL R.N. [2 7 8 0]

FORMA DE TERMINACION DEL PARTO [1] LONGITUD DEL CORDON [5 0] APGAR-1 [0 6]

APGAR-5 [0 9] MORBILIDAD [0]

MADRE: PO_2 [7 0] PCO_2 [2 7] D.B. [-8] HCO_3^- [1 5] P^H [7 3 8]

FETO: ARTERIA. PO_2 [1 1] PCO_2 [5 4] D.B. [-6] HCO_3^- [2 3] P^H [7 2 4]

VENA. PO_2 [3 9] PCO_2 [2 8] D.B. [-7] HCO_3^- [1 8] P^H [7 4 3]

TIPO DE ACIDOSIS MATERNA [0] TIPO DE ACIDOSIS FETAL [0] Δ-P^H MADRE-FETO [1 4]

Δ-P^H VENA UMBILICAL-ARTERIA UMBILICAL [1 9] PROMEDIO DE ASCENSOS T. [0 0]

PROMEDIO DE ASCENSOS TRANSITORIOS QUE COINCIDEN CON LA CONTRACCION [0 0]

TAQUICARDIA [0] BRADICARDIA [0] VARIABILIDAD DE LA FCF [0 4] DIP-I [0 0]

DIP-II [0 0] TOTAL DIPS UMBILICALES [0 0] DIP-U [0 0] $DIP\text{-}U_p$ [0 0]

$DIP\text{-}U_t$ [0 0] $DIP\text{-}U_w$ [0 0] $DIP\text{-}U_{wp}$ [0 0] $DIP\text{-}U_{wt}$ [0 0] $DIP\text{-}U_\lambda$ [0 2]

$DIP\text{-}U_{\lambda p}$ [0 0] $DIP\text{-}U_{\lambda t}$ [0 0] DIP-V [0 0] $DIP\text{-}V_p$ [0 2]

$DIP\text{-}V_t$ [0 2] $DIP\text{-}V_b$ [0 0] NUMERO DE CONTRACCIONES [0 3 2]

NUMERO DE MINUTOS REGISTRADOS [1 5 3]

HOJA CODIFICADA PARA EL ESTUDIO DE LAS VARIACIONES CARDIOTOCOGRAFICAS ATRIBUIDAS A LAS CIRCULARES DEL CORDON UMBILICAL

NOMBRE Y APELLIDOS:

GRUPO ESTUDIADO [1] Nº DE Hª DE D.C. [0 7 5 1 2 0] Nº DE UCIP [1 1 5 8 8]

BOLSA [1] L.A. [0] MECONIO [0] SEMANA DE AMENORREA [3 6] SEXO [1]

VITALIDAD [0] EDAD MATERNA [3 9] PARIDAD [0 2] PESO DEL R.N. [2 9 4 0]

FORMA DE TERMINACION DEL PARTO [1] LONGITUD DEL CORDON [5 4] APGAR-1 [0 7]

APGAR-5 [0 9] MORBILIDAD [0]

MADRE: PO_2 [7 0] PCO_2 [2 9] D.B. [- 9] HCO_3^- [1 6] P^H [7 3 8]

FETO: ARTERIA. PO_2 [- -] PCO_2 [- -] D.B. [- - -] HCO_3^- [- -] P^H [- - -]

VENA. PO_2 [6 0] PCO_2 [3 4] D.B. [- 5] HCO_3^- [2 0] P^H [7 3 8]

TIPO DE ACIDOSIS MATERNA [0] TIPO DE ACIDOSIS FETAL [9] Δ-P^H MADRE-FETO [0 0]

Δ-P^H VENA UMBILICAL-ARTERIA UMBILICAL [- -] PROMEDIO DE ASCENSOS ?. [1 0]

PROMEDIO DE ASCENSOS TRANSITORIOS QUE COINCIDEN CON LA CONTRACCION [0 0]

TAQUICARDIA [0] BRADICARDIA [0] VARIABILIDAD DE LA FCF [0 7] DIP-I [0 0]

DIP-II [0 0] TOTAL DIPS UMBILICALES [0 2] DIP-U [0 0] $DIP\text{-}U_p$ [0 0]

$DIP\text{-}U_t$ [0 0] $DIP\text{-}U_e$ [0 0] $DIP\text{-}U_{ep}$ [0 0] $DIP\text{-}U_{et}$ [0 0] $DIP\text{-}U_2$ [0 2]

$DIP\text{-}U_{\Delta p}$ [0 0] $DIP\text{-}U_{\Delta t}$ [0 0] DIP-V [0 0] $DIP\text{-}V_p$ [0 0]

$DIP\text{-}V_t$ [0 0] $DIP\text{-}V_b$ [0 0] NUMERO DE CONTRACCIONES [0 2 7]

NUMERO DE MINUTOS REGISTRADOS [3 7 3]

HOJA CODIFICADA PARA EL ESTUDIO DE LAS VARIACIONES CARDIOTOCOGRAFICAS ATRIBUIDAS A LAS CIRCULARES DEL CORDON UMBILICAL

NOMBRE Y APELLIDOS:

GRUPO ESTUDIADO [1] Nº DE Hª DE D.C. [0 4 3 4 3 3] Nº DE UCIP [1 5 5 6 3]

BOLSA [1] L.A. [0] MECONIO [1] SEMANA DE AMENORREA [3 8] SEXO [0]

VITALIDAD [0] EDAD MATERNA [2 8] PARIDAD [0 0] PESO DEL R.N. [3 7 4 0]

FORMA DE TERMINACION DEL PARTO [0] LONGITUD DEL CORDON [5 5] APGAR-1 [0 7]

APGAR-5 [0 9] MORBILIDAD [0]

MADRE: PO_2 [8 8] PCO_2 [2 9] D.B. [- 8] HCO_3^- [1 5] P^H [7 3 6]

FETO: ARTERIA. PO_2 [0 8] PCO_2 [6 3] D.B. [- 7] HCO_3^- [2 3] P^H [7 2 0]

VENA. PO_2 [3 7] PCO_2 [3 2] D.B. [- 5] HCO_3^- [1 9] P^H [7 3 5]

TIPO DE ACIDOSIS MATERNA [0] TIPO DE ACIDOSIS FETAL [3] Δ-P^H MADRE-FETO [0 1]

Δ-P^H VENA UMBILICAL-ARTERIA UMBILICAL [1 5] PROMEDIO DE ASCENSOS ?. [2 7]

PROMEDIO DE ASCENSOS TRANSITORIOS QUE COINCIDEN CON LA CONTRACCION [0 0]

TAQUICARDIA [0] BRADICARDIA [0] VARIABILIDAD DE LA FCF [0 4] DIP-I [0 0]

DIP-II [0 0] TOTAL DIPS UMBILICALES [1 3] DIP-U [0 0] $DIP\text{-}U_p$ [0 0]

$DIP\text{-}U_t$ [0 0] $DIP\text{-}U_e$ [0 0] $DIP\text{-}U_{ep}$ [0 0] $DIP\text{-}U_{et}$ [0 0] $DIP\text{-}U_2$ [1 3]

$DIP\text{-}U_{\Delta p}$ [0 0] $DIP\text{-}U_{\Delta t}$ [0 0] DIP-V [0 0] $DIP\text{-}V_p$ [0 0]

$DIP\text{-}V_t$ [0 0] $DIP\text{-}V_b$ [0 0] NUMERO DE CONTRACCIONES [0 0 1]

NUMERO DE MINUTOS REGISTRADOS [0 7 2]

HOJA CODIFICADA PARA EL ESTUDIO DE LAS VARIACIONES CARDIOTOCOGRAFICAS ATRIBUIDAS A LAS CIRCULARES DEL CORDON UMBILICAL

NOMBRE Y APELLIDOS:

GRUPO ESTUDIADO [1] Nº DE Hª DE D.C. [0 1 1 1 4 9] Nº DE UCIP [1 2 7 1 4]

BOLSA [0] L.A. [1] MECONIO [1] SEMANA DE AMENORREA [4 1] SEXO [1]

VITALIDAD [0] EDAD MATERNA [3 4] PARIDAD [0 3] PESO DEL R.N. [3 5 2 0]

FORMA DE TERMINACION DEL PARTO [2] LONGITUD DEL CORDON [8 0] APGAR-1 [0 7]

APGAR-5 [0 7] MORBILIDAD [0]

MADRE: PO_2 [9 6] PCO_2 [2 0] D.B. [- 1 0] HCO_3^- [1 2] P^H [7 3 9]

FETO: ARTERIA. PO_2 [1 9] PCO_2 [5 6] D.B. [- 1 0] HCO_3^- [1 7] P^H [7 2 0]

VENA. PO_2 [3 1] PCO_2 [4 2] D.B. [- 9] HCO_3^- [1 4] P^H [7 2 5]

TIPO DE ACIDOSIS MATERNA [0] TIPO DE ACIDOSIS FETAL [3] Δ-P^H MADRE-FETO [1 4]

Δ-P^H VENA UMBILICAL-ARTERIA UMBILICAL [0 5] PROMEDIO DE ASCENSOS ?. [1 4]

PROMEDIO DE ASCENSOS TRANSITORIOS QUE COINCIDEN CON LA CONTRACCION [0 0]

TAQUICARDIA [0] BRADICARDIA [0] VARIABILIDAD DE LA FCF [0 7] DIP-I [0 0]

DIP-II [0 0] TOTAL DIPS UMBILICALES [0 5] DIP-U [0 0] $DIP\text{-}U_p$ [0 0]

$DIP\text{-}U_t$ [0 0] $DIP\text{-}U_e$ [0 0] $DIP\text{-}U_{ep}$ [0 0] $DIP\text{-}U_{et}$ [0 0] $DIP\text{-}U_2$ [0 5]

$DIP\text{-}U_{\Delta p}$ [0 0] $DIP\text{-}U_{\Delta t}$ [0 0] DIP-V [0 0] $DIP\text{-}V_p$ [0 0]

$DIP\text{-}V_t$ [0 0] $DIP\text{-}V_b$ [0 0] NUMERO DE CONTRACCIONES [0 1 3]

NUMERO DE MINUTOS REGISTRADOS [1 2 9]

HOJA CODIFICADA PARA EL ESTUDIO DE LAS VARIACIONES CARDIOTOCOGRAFICAS ATRIBUIDAS A LAS CIRCULARES DEL CORDON UMBILICAL

NOMBRE Y APELLIDOS:

GRUPO ESTUDIADO [1] Nº DE Hª DE D.C. [0 7 9 5 1 5] Nº DE UCIP [1 2 4 7 5]

BOLSA [1] L.A. [2] MECONIO [2] SEMANA DE AMENORREA [4 1] SEXO [0]

VITALIDAD [0] EDAD MATERNA [4 2] PARIDAD [0 3] PESO DEL R.N. [3 7 2 0]

FORMA DE TERMINACION DEL PARTO [1] LONGITUD DEL CORDON [6 0] APGAR-1 [0 7]

APGAR-5 [1 0] MORBILIDAD [0]

MADRE: PO_2 [6 8] PCO_2 [2 8] D.B. [- 8] HCO_3^- [1 5] P^H [7 3 7]

FETO: ARTERIA. PO_2 [3 4] PCO_2 [6 8] D.B. [- 1 3] HCO_3^- [1 9] P^H [7 0 7]

VENA. PO_2 [6 6] PCO_2 [4 3] D.B. [- 6] HCO_3^- [2 0] P^H [7 2 9]

TIPO DE ACIDOSIS MATERNA [0] TIPO DE ACIDOSIS FETAL [3] Δ-P^H MADRE-FETO [0 8]

Δ-P^H VENA UMBILICAL-ARTERIA UMBILICAL [2 2] PROMEDIO DE ASCENSOS ?. [0 6]

PROMEDIO DE ASCENSOS TRANSITORIOS QUE COINCIDEN CON LA CONTRACCION [0 2]

TAQUICARDIA [0] BRADICARDIA [0] VARIABILIDAD DE LA FCF [0 5] DIP-I [0 0]

DIP-II [0 0] TOTAL DIPS UMBILICALES [0 6] DIP-U [0 0] $DIP\text{-}U_p$ [0 0]

$DIP\text{-}U_t$ [0 0] $DIP\text{-}U_e$ [0 0] $DIP\text{-}U_{ep}$ [0 0] $DIP\text{-}U_{et}$ [0 0] $DIP\text{-}U_2$ [0 2]

$DIP\text{-}U_{\Delta p}$ [0 1 4] $DIP\text{-}U_{\Delta t}$ [0 0] DIP-V [0 2] $DIP\text{-}V_p$ [0 1 4]

$DIP\text{-}V_t$ [0 1 4] $DIP\text{-}V_b$ [0 0] NUMERO DE CONTRACCIONES [0 1 9]

NUMERO DE MINUTOS REGISTRADOS [1 4 0]

HOJA CODIFICADA PARA EL ESTUDIO DE LAS VARIACIONES CARDIOTOCOGRAFICAS ATRIBUIDAS A LAS CIRCULARES DEL CORDON UMBILICAL

NOMBRE Y APELLIDOS:

GRUPO ESTUDIADO [1] Nº DE Hª DE D.C. [0711124] Nº DE UCIP [12008]

BOLSA [0] L.A. [0] MECONIO [0] SEMANA DE AMENORREA [44] SEXO [1]

VITALIDAD [0] EDAD MATERNA [28] PARIDAD [03] PESO DEL R.N. [2840]

FORMA DE TERMINACION DEL PARTO [3] LONGITUD DEL CORDON [65] APGAR-1 [07]

APGAR-5 [10] MORBILIDAD [3]

MADRE: PO_2 [74] PCO_2 [24] D.B. [--7] HCO_3^- [15] P^H [7412]

FETO: ARTERIA. PO_2 [27] PCO_2 [58] D.B. [-17] HCO_3^- [15] P^H [7403]

VENA. PO_2 [37] PCO_2 [40] D.B. [-11] HCO_3^- [16] P^H [7423]

TIPO DE ACIDOSIS MATERNA [0] TIPO DE ACIDOSIS FETAL [3] Δ-P^H MADRE-FETO [19]

Δ-P^H VENA UMBILICAL-ARTERIA UMBILICAL [20] PROMEDIO DE ASCENSOS ?. [32]

PROMEDIO DE ASCENSOS TRANSITORIOS QUE COINCIDEN CON LA CONTRACCION [09]

TAQUICARDIA [0] BRADICARDIA [0] VARIABILIDAD DE LA FCF [10] DIP-I [00]

DIP-II [00] TOTAL DIPS UMBILICALES [08] DIP-U [00] $DIP\text{-}U_p$ [66]

$DIP\text{-}U_t$ [00] $DIP\text{-}U_w$ [00] $DIP\text{-}U_{wp}$ [00] $DIP\text{-}U_{wt}$ [00] $DIP\text{-}U_2$ [13]

$DIP\text{-}U_{\lambda p}$ [03] $DIP\text{-}U_{\lambda t}$ [06] DIP-V [00] $DIP\text{-}V_p$ [00]

$DIP\text{-}V_t$ [00] $DIP\text{-}V_b$ [00] NUMERO DE CONTRACCIONES [029]

NUMERO DE MINUTOS REGISTRADOS [095]

HOJA CODIFICADA PARA EL ESTUDIO DE LAS VARIACIONES CARDIOTOCOGRAFICAS ATRIBUIDAS A LAS CIRCULARES DEL CORDON UMBILICAL

NOMBRE Y APELLIDOS:

GRUPO ESTUDIADO [1] Nº DE Hª DE D.C. [0612203] Nº DE UCIP [09320]

BOLSA [1] L.A. [2] MECONIO [1] SEMANA DE AMENORREA [40] SEXO [1]

VITALIDAD [0] EDAD MATERNA [33] PARIDAD [00] PESO DEL R.N. [2930]

FORMA DE TERMINACION DEL PARTO [1] LONGITUD DEL CORDON [50] APGAR-1 [07]

APGAR-5 [10] MORBILIDAD [0]

MADRE: PO_2 [68] PCO_2 [28] D.B. [--4] HCO_3^- [18] P^H [7443]

FETO: ARTERIA. PO_2 [15] PCO_2 [69] D.B. [-24] HCO_3^- [29] P^H [7320]

VENA. PO_2 [23] PCO_2 [47] D.B. [-3] HCO_3^- [23] P^H [7331]

TIPO DE ACIDOSIS MATERNA [0] TIPO DE ACIDOSIS FETAL [1] Δ-P^H MADRE-FETO [12]

Δ-P^H VENA UMBILICAL-ARTERIA UMBILICAL [11] PROMEDIO DE ASCENSOS ?. [02]

PROMEDIO DE ASCENSOS TRANSITORIOS QUE COINCIDEN CON LA CONTRACCION [02]

TAQUICARDIA [0] BRADICARDIA [0] VARIABILIDAD DE LA FCF [04] DIP-I [00]

DIP-II [00] TOTAL DIPS UMBILICALES [22] DIP-U [06] $DIP\text{-}U_p$ [09]

$DIP\text{-}U_t$ [00] $DIP\text{-}U_w$ [00] $DIP\text{-}U_{wp}$ [00] $DIP\text{-}U_{wt}$ [00] $DIP\text{-}U_2$ [05]

$DIP\text{-}U_{\lambda p}$ [02] $DIP\text{-}U_{\lambda t}$ [00] DIP-V [00] $DIP\text{-}V_p$ [00]

$DIP\text{-}V_t$ [00] $DIP\text{-}V_b$ [00] NUMERO DE CONTRACCIONES [023]

NUMERO DE MINUTOS REGISTRADOS [192]

HOJA CODIFICADA PARA EL ESTUDIO DE LAS VARIACIONES CARDIOTOCOGRAFICAS ATRIBUIDAS A LAS CIRCULARES DEL CORDON UMBILICAL

NOMBRE Y APELLIDOS:

GRUPO ESTUDIADO [1] Nº DE Hª DE D.C. [0128659] Nº DE UCIP [11559]

BOLSA [1] L.A. [1] MECONIO [0] SEMANA DE AMENORREA [43] SEXO [0]

VITALIDAD [0] EDAD MATERNA [32] PARIDAD [01] PESO DEL R.N. [4540]

FORMA DE TERMINACION DEL PARTO [1] LONGITUD DEL CORDON [60] APGAR-1 [07]

APGAR-5 [10] MORBILIDAD [0]

MADRE: PO_2 [--] PCO_2 [--] D.B. [----] HCO_3^- [--] P^H [----]

FETO: ARTERIA. PO_2 [--] PCO_2 [--] D.B. [----] HCO_3^- [--] P^H [----]

VENA. PO_2 [--] PCO_2 [--] D.B. [----] HCO_3^- [--] P^H [----]

TIPO DE ACIDOSIS MATERNA [-] TIPO DE ACIDOSIS FETAL [-] Δ-P^H MADRE-FETO [--]

Δ-P^H VENA UMBILICAL-ARTERIA UMBILICAL [--] PROMEDIO DE ASCENSOS ?. [05]

PROMEDIO DE ASCENSOS TRANSITORIOS QUE COINCIDEN CON LA CONTRACCION [00]

TAQUICARDIA [0] BRADICARDIA [0] VARIABILIDAD DE LA FCF [07] DIP-I [00]

DIP-II [00] TOTAL DIPS UMBILICALES [05] DIP-U [00] $DIP\text{-}U_p$ [00]

$DIP\text{-}U_t$ [00] $DIP\text{-}U_w$ [00] $DIP\text{-}U_{wp}$ [00] $DIP\text{-}U_{wt}$ [00] $DIP\text{-}U_2$ [03]

$DIP\text{-}U_{\lambda p}$ [02] $DIP\text{-}U_{\lambda t}$ [00] DIP-V [00] $DIP\text{-}V_p$ [00]

$DIP\text{-}V_t$ [00] $DIP\text{-}V_b$ [00] NUMERO DE CONTRACCIONES [073]

NUMERO DE MINUTOS REGISTRADOS [318]

HOJA CODIFICADA PARA EL ESTUDIO DE LAS VARIACIONES CARDIOTOCOGRAFICAS ATRIBUIDAS A LAS CIRCULARES DEL CORDON UMBILICAL

NOMBRE Y APELLIDOS:

GRUPO ESTUDIADO [1] Nº DE Hª DE D.C. [0780?0] Nº DE UCIP [12210]

BOLSA [1] L.A. [0] MECONIO [2] SEMANA DE AMENORREA [39] SEXO [0]

VITALIDAD [0] EDAD MATERNA [26] PARIDAD [01] PESO DEL R.N. [2650]

FORMA DE TERMINACION DEL PARTO [1] LONGITUD DEL CORDON [65] APGAR-1 [08]

APGAR-5 [09] MORBILIDAD [0]

MADRE: PO_2 [80] PCO_2 [25] D.B. [-1-] HCO_3^- [15] P^H [7441]

FETO: ARTERIA. PO_2 [16] PCO_2 [39] D.B. [-9-] HCO_3^- [18] P^H [7327]

VENA. PO_2 [23] PCO_2 [33] D.B. [-8-] HCO_3^- [17] P^H [7331]

TIPO DE ACIDOSIS MATERNA [0] TIPO DE ACIDOSIS FETAL [0] Δ-P^H MADRE-FETO [10]

Δ-P^H VENA UMBILICAL-ARTERIA UMBILICAL [04] PROMEDIO DE ASCENSOS ?. [00]

PROMEDIO DE ASCENSOS TRANSITORIOS QUE COINCIDEN CON LA CONTRACCION [00]

TAQUICARDIA [0] BRADICARDIA [0] VARIABILIDAD DE LA FCF [15] DIP-I [00]

DIP-II [00] TOTAL DIPS UMBILICALES [36] DIP-U [00] $DIP\text{-}U_p$ [30]

$DIP\text{-}U_t$ [00] $DIP\text{-}U_w$ [00] $DIP\text{-}U_{wp}$ [00] $DIP\text{-}U_{wt}$ [00] $DIP\text{-}U_2$ [02]

$DIP\text{-}U_{\lambda p}$ [04] $DIP\text{-}U_{\lambda t}$ [00] DIP-V [00] $DIP\text{-}V_p$ [00]

$DIP\text{-}V_t$ [00] $DIP\text{-}V_b$ [00] NUMERO DE CONTRACCIONES [028]

NUMERO DE MINUTOS REGISTRADOS [150]

HOJA CODIFICADA PARA EL ESTUDIO DE LAS VARIACIONES CARDIOTOCOGRAFICAS ATRIBUIDAS A LAS CIRCULARES DEL CORDON UMBILICAL

NOMBRE Y APELLIDOS:

GRUPO ESTUDIADO [1] Nº DE Hª DE D.C. [0715145] Nº DE UCIP [08701]

BOLSA [1] L.A. [0] MECONIO [0] SEMANA DE AMENORREA [41] SEXO [0]

VITALIDAD [0] EDAD MATERNA [22] PARIDAD [00] PESO DEL R.N. [3960]

FORMA DE TERMINACION DEL PARTO [1] LONGITUD DEL CORDON [55] APGAR-1 [07]

APGAR-5 [10] MORBILIDAD [0]

MADRE: PO_2 [67] PCO_2 [26] D.B. [--8] HCO_3^- [15] P^H [7438]

FETO: ARTERIA. PO_2 [22] PCO_2 [71] D.B. [-24] HCO_3^- [27] P^H [7320]

VENA. PO_2 [40] PCO_2 [33] D.B. [-16] HCO_3^- [19] P^H [7337]

TIPO DE ACIDOSIS MATERNA [0] TIPO DE ACIDOSIS FETAL [1] Δ-P^H MADRE-FETO [01]

Δ-P^H VENA UMBILICAL-ARTERIA UMBILICAL [17] PROMEDIO DE ASCENSOS ?. [30]

PROMEDIO DE ASCENSOS TRANSITORIOS QUE COINCIDEN CON LA CONTRACCION [00]

TAQUICARDIA [11] BRADICARDIA [0] VARIABILIDAD DE LA FCF [07] DIP-I [00]

DIP-II [00] TOTAL DIPS UMBILICALES [11] DIP-U [00] $DIP\text{-}U_p$ [00]

$DIP\text{-}U_t$ [00] $DIP\text{-}U_w$ [00] $DIP\text{-}U_{wp}$ [00] $DIP\text{-}U_{wt}$ [00] $DIP\text{-}U_2$ [11]

$DIP\text{-}U_{\lambda p}$ [00] $DIP\text{-}U_{\lambda t}$ [00] DIP-V [00] $DIP\text{-}V_p$ [03]

$DIP\text{-}V_t$ [03] $DIP\text{-}V_b$ [00] NUMERO DE CONTRACCIONES [006]

NUMERO DE MINUTOS REGISTRADOS [110]

HOJA CODIFICADA PARA EL ESTUDIO DE LAS VARIACIONES CARDIOTOCOGRAFICAS ATRIBUIDAS A LAS CIRCULARES DEL CORDON UMBILICAL

NOMBRE Y APELLIDOS:

GRUPO ESTUDIADO [1] Nº DE Hª DE D.C. [0415916] Nº DE UCIP [09055]

BOLSA [1] L.A. [0] MECONIO [2] SEMANA DE AMENORREA [40] SEXO [1]

VITALIDAD [0] EDAD MATERNA [40] PARIDAD [03] PESO DEL R.N. [3750]

FORMA DE TERMINACION DEL PARTO [1] LONGITUD DEL CORDON [75] APGAR-1 [08]

APGAR-5 [09] MORBILIDAD [0]

MADRE: PO_2 [75] PCO_2 [25] D.B. [-10] HCO_3^- [14] P^H [7334]

FETO: ARTERIA. PO_2 [11] PCO_2 [62] D.B. [-10] HCO_3^- [20] P^H [7313]

VENA. PO_2 [41] PCO_2 [34] D.B. [-8] HCO_3^- [17] P^H [7332]

TIPO DE ACIDOSIS MATERNA [0] TIPO DE ACIDOSIS FETAL [3] Δ-P^H MADRE-FETO [02]

Δ-P^H VENA UMBILICAL-ARTERIA UMBILICAL [19] PROMEDIO DE ASCENSOS ?. [00]

PROMEDIO DE ASCENSOS TRANSITORIOS QUE COINCIDEN CON LA CONTRACCION [00]

TAQUICARDIA [0] BRADICARDIA [0] VARIABILIDAD DE LA FCF [08] DIP-I [00]

DIP-II [00] TOTAL DIPS UMBILICALES [10] DIP-U [00] $DIP\text{-}U_p$ [00]

$DIP\text{-}U_t$ [00] $DIP\text{-}U_w$ [00] $DIP\text{-}U_{wp}$ [00] $DIP\text{-}U_{wt}$ [00] $DIP\text{-}U_2$ [10]

$DIP\text{-}U_{\lambda p}$ [00] $DIP\text{-}U_{\lambda t}$ [00] DIP-V [10] $DIP\text{-}V_p$ [00]

$DIP\text{-}V_t$ [00] $DIP\text{-}V_b$ [00] NUMERO DE CONTRACCIONES [010]

NUMERO DE MINUTOS REGISTRADOS [060]

HOJA CODIFICADA PARA EL ESTUDIO DE LAS VARIACIONES CARDIOTOCOGRAFICAS ATRIBUIDAS A LAS CIRCULARES DEL CORDON UMBILICAL

NOMBRE Y APELLIDOS:

GRUPO ESTUDIADO [1] Nº DE Hª DE D.C. [0065124] Nº DE UCIP [12759]

BOLSA [0] L.A. [1] MECONIO [2] SEMANA DE AMENORREA [41] SEXO [1]

VITALIDAD [0] EDAD MATERNA [30] PARIDAD [02] PESO DEL R.N. [3640]

FORMA DE TERMINACION DEL PARTO [0] LONGITUD DEL CORDON [50] APGAR-1 [08]

APGAR-5 [09] MORBILIDAD [0]

MADRE: PO_2 [79] PCO_2 [30] D.B. [---] HCO_3^- [--] P^H [7433]

FETO: ARTERIA. PO_2 [16] PCO_2 [57] D.B. [---] HCO_3^- [--] P^H [7117]

VENA. PO_2 [39] PCO_2 [36] D.B. [----] HCO_3^- [--] P^H [7333]

TIPO DE ACIDOSIS MATERNA [0] TIPO DE ACIDOSIS FETAL [9] Δ-P^H MADRE-FETO [00]

Δ-P^H VENA UMBILICAL-ARTERIA UMBILICAL [16] PROMEDIO DE ASCENSOS ?. [24]

PROMEDIO DE ASCENSOS TRANSITORIOS QUE COINCIDEN CON LA CONTRACCION [08]

TAQUICARDIA [0] BRADICARDIA [0] VARIABILIDAD DE LA FCF [05] DIP-I [00]

DIP-II [00] TOTAL DIPS UMBILICALES [04] DIP-U [00] $DIP\text{-}U_p$ [00]

$DIP\text{-}U_t$ [00] $DIP\text{-}U_w$ [00] $DIP\text{-}U_{wp}$ [00] $DIP\text{-}U_{wt}$ [00] $DIP\text{-}U_2$ [04]

$DIP\text{-}U_{\lambda p}$ [00] $DIP\text{-}U_{\lambda t}$ [00] DIP-V [00] $DIP\text{-}V_p$ [00]

$DIP\text{-}V_t$ [00] $DIP\text{-}V_b$ [00] NUMERO DE CONTRACCIONES [018]

NUMERO DE MINUTOS REGISTRADOS [075]

HOJA CODIFICADA PARA EL ESTUDIO DE LAS VARIACIONES CARDIOTOCOGRAFICAS ATRIBUIDAS A LAS CIRCULARES DEL CORDON UMBILICAL

NOMBRE Y APELLIDOS:

GRUPO ESTUDIADO [1] Nº DE Hª DE D.C. [0 9 3 3 1 6] Nº DE UCIP [1 5 3 4 5]

BOLSA [1] L.A. [2] MECONIO [2] SEMANA DE AMENORREA [4 0] SEXO [0]

VITALIDAD [0] EDAD MATERNA [2 8] PARIDAD [0 0] PESO DEL R.N. [3 5 7 0]

FORMA DE TERMINACION DEL PARTO [3] LONGITUD DEL CORDON [6 0] APGAR-1 [0 8]

APGAR-5 [1 0] MORBILIDAD [0]

MADRE: PO_2 [8 0] PCO_2 [2 9] D.B. [-1 3] HCO_3^- [1 6] P^H [7 4 0]

FETO: ARTERIA. PO_2 [1 1 7] PCO_2 [5 9] D.B. [-1 1 4] HCO_3^- [1 1 7] P^H [7 0 8]

VENA. PO_2 [2 6] PCO_2 [4 8] D.B. [-1 1 1] HCO_3^- [1 1 7] P^H [7 1 8]

TIPO DE ACIDOSIS MATERNA [0] TIPO DE ACIDOSIS FETAL [3] Δ-P^H MADRE-FETO [2 2]

Δ-P^H VENA UMBILICAL-ARTERIA UMBILICAL [1 0] PROMEDIO DE ASCENSOS ?. [0 0]

PROMEDIO DE ASCENSOS TRANSITORIOS QUE COINCIDEN CON LA CONTRACCION [0 0]

TAQUICARDIA [0] BRADICARDIA [0] VARIABILIDAD DE LA FCF [0 7] DIP-I [0 0]

DIP-II [0 0] TOTAL DIPS UMBILICALES [1 1] DIP-U [0 0] $DIP\text{-}U_p$ [0 0]

$DIP\text{-}U_t$ [0 2] $DIP\text{-}U_e$ [0 0] $DIP\text{-}U_{ep}$ [0 0] $DIP\text{-}U_{et}$ [0 0] $DIP\text{-}U_\lambda$ [0 4]

$DIP\text{-}U_{\lambda p}$ [0 5] $DIP\text{-}U_{\lambda t}$ [0 0] DIP-V [1 1] $DIP\text{-}V_p$ [2 1]

$DIP\text{-}V_t$ [2 0] $DIP\text{-}V_b$ [0 0] NUMERO DE CONTRACCIONES [0 4 1]

NUMERO DE MINUTOS REGISTRADOS [1 3 8]

HOJA CODIFICADA PARA EL ESTUDIO DE LAS VARIACIONES CARDIOTOCOGRAFICAS ATRIBUIDAS A LAS CIRCULARES DEL CORDON UMBILICAL

NOMBRE Y APELLIDOS:

GRUPO ESTUDIADO [1] Nº DE Hª DE D.C. [0 5 8 1 7 9] Nº DE UCIP [0 8 8 7 7]

BOLSA [0] L.A. [2] MECONIO [0] SEMANA DE AMENORREA [3 9] SEXO [1]

VITALIDAD [0] EDAD MATERNA [4 2] PARIDAD [0 5] PESO DEL R.N. [3 4 1 0]

FORMA DE TERMINACION DEL PARTO [1] LONGITUD DEL CORDON [5 0] APGAR-1 [0 8]

APGAR-5 [1 0] MORBILIDAD [0]

MADRE: PO_2 [6 8] PCO_2 [2 9] D.B. [-1 6] HCO_3^- [1 7] P^H [7 3 8]

FETO: ARTERIA. PO_2 [1 0] PCO_2 [6 0] D.B. [-1 4] HCO_3^- [2 5] P^H [7 2 4]

VENA. PO_2 [1 9] PCO_2 [4 8] D.B. [-1 3] HCO_3^- [2 4] P^H [7 3 0]

TIPO DE ACIDOSIS MATERNA [0] TIPO DE ACIDOSIS FETAL [0] Δ-P^H MADRE-FETO [0 8]

Δ-P^H VENA UMBILICAL-ARTERIA UMBILICAL [0 6] PROMEDIO DE ASCENSOS ?. [1 9]

PROMEDIO DE ASCENSOS TRANSITORIOS QUE COINCIDEN CON LA CONTRACCION [0 0]

TAQUICARDIA [0] BRADICARDIA [0] VARIABILIDAD DE LA FCF [0 8] DIP-I [0 0]

DIP-II [0 0] TOTAL DIPS UMBILICALES [0 3] DIP-U [0 0] $DIP\text{-}U_p$ [0 0]

$DIP\text{-}U_t$ [0 0] $DIP\text{-}U_e$ [0 0] $DIP\text{-}U_{ep}$ [0 0] $DIP\text{-}U_{et}$ [0 0] $DIP\text{-}U_\lambda$ [0 3]

$DIP\text{-}U_{\lambda p}$ [0 0] $DIP\text{-}U_{\lambda t}$ [0 0] DIP-V [0 0] $DIP\text{-}V_p$ [0 0]

$DIP\text{-}V_t$ [0 0] $DIP\text{-}V_b$ [0 0] NUMERO DE CONTRACCIONES [0 7 3]

NUMERO DE MINUTOS REGISTRADOS [2 0 5]

HOJA CODIFICADA PARA EL ESTUDIO DE LAS VARIACIONES CARDIOTOCOGRAFICAS ATRIBUIDAS A LAS CIRCULARES DEL CORDON UMBILICAL

NOMBRE Y APELLIDOS:

GRUPO ESTUDIADO [1] Nº DE Hª DE D.C. [0 7 5 6 4 0] Nº DE UCIP [1 1 7 4 6]

BOLSA [1] L.A. [2] MECONIO [2] SEMANA DE AMENORREA [4 0] SEXO [0]

VITALIDAD [0] EDAD MATERNA [1 6] PARIDAD [0 0] PESO DEL R.N. [3 1 7 0]

FORMA DE TERMINACION DEL PARTO [1] LONGITUD DEL CORDON [6 0] APGAR-1 [0 8]

APGAR-5 [1 0] MORBILIDAD [0]

MADRE: PO_2 [7 0] PCO_2 [2 2] D.B. [-1 7] HCO_3^- [1 4] P^H [7 4 2]

FETO: ARTERIA. PO_2 [1 1 6] PCO_2 [5 3] D.B. [-1 1 0] HCO_3^- [1 1 9] P^H [7 2 0]

VENA. PO_2 [2 6] PCO_2 [3 1] D.B. [-9] HCO_3^- [1 1 5] P^H [7 3 2]

TIPO DE ACIDOSIS MATERNA [0] TIPO DE ACIDOSIS FETAL [3] Δ-P^H MADRE-FETO [1 0]

Δ-P^H VENA UMBILICAL-ARTERIA UMBILICAL [1 2] PROMEDIO DE ASCENSOS ?. [5 2]

PROMEDIO DE ASCENSOS TRANSITORIOS QUE COINCIDEN CON LA CONTRACCION [0 6]

TAQUICARDIA [0] BRADICARDIA [0] VARIABILIDAD DE LA FCF [0 6] DIP-I [0 0]

DIP II [0 0] TOTAL DIPS UMBILICALES [1 2] DIP-U [0 0] $DIP\text{-}U_p$ [0 2]

$DIP\text{-}U_t$ [0 0] $DIP\text{-}U_e$ [0 0] $DIP\text{-}U_{ep}$ [0 2] $DIP\text{-}U_{et}$ [0 0] $DIP\text{-}U_\lambda$ [0 7]

$DIP\text{-}U_{\lambda p}$ [0 2] $DIP\text{-}U_{\lambda t}$ [0 0] DIP-V [0 2] $DIP\text{-}V_p$ [0 0]

$DIP\text{-}V_t$ [0 0] $DIP\text{-}V_b$ [0 0] NUMERO DE CONTRACCIONES [0 5 8]

NUMERO DE MINUTOS REGISTRADOS [2 0 0]

HOJA CODIFICADA PARA EL ESTUDIO DE LAS VARIACIONES CARDIOTOCOGRAFICAS ATRIBUIDAS A LAS CIRCULARES DEL CORDON UMBILICAL

NOMBRE Y APELLIDOS:

GRUPO ESTUDIADO [1] Nº DE Hª DE D.C. [0 5 9 0 2 1] Nº DE UCIP [0 8 8 5 1]

BOLSA [0] L.A. [2] MECONIO [2] SEMANA DE AMENORREA [4 2] SEXO [1]

VITALIDAD [0] EDAD MATERNA [3 5] PARIDAD [0 0] PESO DEL R.N. [3 7 5 0]

FORMA DE TERMINACION DEL PARTO [0] LONGITUD DEL CORDON [5 5] APGAR-1 [0 8]

APGAR-5 [1 0] MORBILIDAD [0]

MADRE: PO_2 [8 9] PCO_2 [2 2] D.B. [-1 7] HCO_3^- [1 5] P^H [7 4 2]

FETO: ARTERIA. PO_2 [2 2] PCO_2 [5 0] D.B. [-1 7] HCO_3^- [2 1] P^H [7 2 5]

VENA. PO_2 [3 1] PCO_2 [3 6] D.B. [-5] HCO_3^- [2 0] P^H [7 3 6]

TIPO DE ACIDOSIS MATERNA [0] TIPO DE ACIDOSIS FETAL [0] Δ-P^H MADRE-FETO [0 6]

Δ-P^H VENA UMBILICAL-ARTERIA UMBILICAL [1 1] PROMEDIO DE ASCENSOS ?. [0 8]

PROMEDIO DE ASCENSOS TRANSITORIOS QUE COINCIDEN CON LA CONTRACCION [0 0]

TAQUICARDIA [0] BRADICARDIA [0] VARIABILIDAD DE LA FCF [0 7] DIP-I [0 0]

DIP-II [0 0] TOTAL DIPS UMBILICALES [1 3] DIP-U [0 1] $DIP\text{-}U_p$ [0 0]

$DIP\text{-}U_t$ [0 0] $DIP\text{-}U_e$ [0 0] $DIP\text{-}U_{ep}$ [0 0] $DIP\text{-}U_{et}$ [0 0] $DIP\text{-}U_\lambda$ [1 2]

$DIP\text{-}U_{\lambda p}$ [0 0] $DIP\text{-}U_{\lambda t}$ [0 0] DIP-V [0 0] $DIP\text{-}V_p$ [0 0]

$DIP\text{-}V_t$ [0 0] $DIP\text{-}V_b$ [0 0] NUMERO DE CONTRACCIONES [0 0 5]

NUMERO DE MINUTOS REGISTRADOS [2 c 3]

HOJA CODIFICADA PARA EL ESTUDIO DE LAS VARIACIONES CARDIOTOCOGRAFICAS ATRIBUIDAS A LAS CIRCULARES DEL CORDON UMBILICAL

NOMBRE Y APELLIDOS:

GRUPO ESTUDIADO [1] Nº DE Nº DE D.C. [0 1 2 1 5 3] Nº DE UCIP [1 2 6 7 1 7]

BOLSA [0] L.A. [2] MECONIO [1] SEMANA DE AMENORREA [40] SEXO [1]

VITALIDAD [0] EDAD MATERNA [26] PARIDAD [0 1] PESO DEL R.N. [4 6 5 0]

FORMA DE TERMINACION DEL PARTO [0] LONGITUD DEL CORDON [5 5] APGAR-1 [0 8]

APGAR-5 [1 0] MORBILIDAD [0]

MADRE: PO_2 [7 0] PCO_2 [2 3] D.B. [- - -] HCO_3^- [- -] pH [7 3 7]

FETO: ARTERIA. PO_2 [2 6] PCO_2 [6 1] D.B. [- 5] HCO_3^- [2 5] pH [7 2 1]

VENA. PO_2 [3 7] PCO_2 [3 2] D.B. [- 5] HCO_3^- [1 8] pH [7 3 7]

TIPO DE ACIDOSIS MATERNA [0] TIPO DE ACIDOSIS FETAL [0] Δ-pH MADRE-FETO [0 0]

Δ-pH VENA UMBILICAL-ARTERIA UMBILICAL [1 6] PROMEDIO DE ASCENSOS T. [3 8]

PROMEDIO DE ASCENSOS TRANSITORIOS QUE COINCIDEN CON LA CONTRACCION [0 9]

TAQUICARDIA [0] BRADICARDIA [0] VARIABILIDAD DE LA FCF [0 4] DIP-I [0 0]

DIP-II [0 0] TOTAL DIPS UMBILICALES [9 6] DIP-U [0 0] $DIP\text{-}U_p$ [0 0]

$DIP\text{-}U_t$ [0 0] $DIP\text{-}U_v$ [0 0] $DIP\text{-}U_{vp}$ [0 0] $DIP\text{-}U_{vt}$ [0 0] $DIP\text{-}U_\lambda$ [0 6]

$DIP\text{-}U_{\lambda p}$ [0 0] $DIP\text{-}U_{\lambda t}$ [0 0] DIP-V [0 0] $DIP\text{-}V_p$ [0 0]

$DIP\text{-}V_t$ [0 0] $DIP\text{-}V_b$ [0 0] NUMERO DE CONTRACCIONES [0 2 5]

NUMERO DE MINUTOS REGISTRADOS [1 0 1]

HOJA CODIFICADA PARA EL ESTUDIO DE LAS VARIACIONES CARDIOTOCOGRAFICAS ATRIBUIDAS A LAS CIRCULARES DEL CORDON UMBILICAL

NOMBRE Y APELLIDOS:

GRUPO ESTUDIADO [1] Nº DE Nº DE D.C. [0 7 4 3 1 7] Nº DE UCIP [1 5 5 4 2]

BOLSA [0] L.A. [1] MECONIO [1] SEMANA DE AMENORREA [40] SEXO [0]

VITALIDAD [0] EDAD MATERNA [33] PARIDAD [0 1] PESO DEL R.N. [3 1 7 0]

FORMA DE TERMINACION DEL PARTO [4] LONGITUD DEL CORDON [6 0] APGAR-1 [0 8]

APGAR-5 [0 9] MORBILIDAD [3]

MADRE: PO_2 [9 9] PCO_2 [3 0] D.E. [- 7] HCO_3^- [1 7] pH [7 3 8]

FETO: ARTERIA. PO_2 [2 3] PCO_2 [3 1] D.B. [- 6] HCO_3^- [2 0] pH [7 3 2]

VENA. PO_2 [3 4] PCO_2 [3 3] D.B. [- 6] HCO_3^- [1 9] pH [7 3 5]

TIPO DE ACIDOSIS MATERNA [0] TIPO DE ACIDOSIS FETAL [0] Δ-pH MADRE-FETO [0 3]

Δ-pH VENA UMBILICAL-ARTERIA UMBILICAL [0 3] PROMEDIO DE ASCENSOS T. [0 8]

PROMEDIO DE ASCENSOS TRANSITORIOS QUE COINCIDEN CON LA CONTRACCION [0 2]

TAQUICARDIA [0] BRADICARDIA [0] VARIABILIDAD DE LA FCF [0 7] DIP-I [0 0]

DIP-II [0 0] TOTAL DIPS UMBILICALES [1 9] DIP-U [0 1] $DIP\text{-}U_p$ [0 0]

$DIP\text{-}U_t$ [0 0] $DIP\text{-}U_v$ [0 0] $DIP\text{-}U_{vp}$ [0 0] $DIP\text{-}U_{vt}$ [0 0] $DIP\text{-}U_\lambda$ [1 3]

$DIP\text{-}U_{\lambda p}$ [0 3] $DIP\text{-}U_{\lambda t}$ [0 1] DIP-V [0 1] $DIP\text{-}V_p$ [0 2]

$DIP\text{-}V_t$ [0 0] $DIP\text{-}V_b$ [0 0] NUMERO DE CONTRACCIONES [0 8 9]

NUMERO DE MINUTOS REGISTRADOS [5 3 4]

HOJA CODIFICADA PARA EL ESTUDIO DE LAS VARIACIONES CARDIOTOCOGRAFICAS ATRIBUIDAS A LAS CIRCULARES DEL CORDON UMBILICAL

NOMBRE Y APELLIDOS:

GRUPO ESTUDIADO [1] Nº DE Nº DE D.C. [0 6 4 0 0 2] Nº DE UCIP [0 9 6 1 3 4]

BOLSA [1] L.A. [2] MECONIO [0] SEMANA DE AMENORREA [40] SEXO [0]

VITALIDAD [0] EDAD MATERNA [22] PARIDAD [0 0] PESO DEL R.N. [2 9 1 0]

FORMA DE TERMINACION DEL PARTO [1] LONGITUD DEL CORDON [5 0] APGAR-1 [0 8]

APGAR-5 [0 9] MORBILIDAD [0]

MADRE: PO_2 [8 2] PCO_2 [2 4] D.B. [- 8] HCO_3^- [1 4] pH [7 4 0]

FETO: ARTERIA. PO_2 [1 6] PCO_2 [3 9] D.B. [- 1 3] HCO_3^- [1 4] pH [7 2 0]

VENA. PO_2 [3 1] PCO_2 [2 6] D.B. [- 9] HCO_3^- [1 3] pH [7 3 6]

TIPO DE ACIDOSIS MATERNA [0] TIPO DE ACIDOSIS FETAL [2] Δ-pH MADRE-FETO [0 4]

Δ-pH VENA UMBILICAL-ARTERIA UMBILICAL [1 6] PROMEDIO DE ASCENSOS T. [0 9]

PROMEDIO DE ASCENSOS TRANSITORIOS QUE COINCIDEN CON LA CONTRACCION [0 1]

TAQUICARDIA [0] BRADICARDIA [1] VARIABILIDAD DE LA FCF [0 4] DIP-I [0 0]

DIP-II [0 0] TOTAL DIPS UMBILICALES [0 1] DIP-U [0 0] $DIP\text{-}U_p$ [0 0]

$DIP\text{-}U_t$ [0 0] $DIP\text{-}U_v$ [0 0] $DIP\text{-}U_{vp}$ [0 0] $DIP\text{-}U_{vt}$ [0 0] $DIP\text{-}U_\lambda$ [0 1]

$DIP\text{-}U_{\lambda p}$ [0 1] $DIP\text{-}U_{\lambda t}$ [0 0] DIP-V [0 0] $DIP\text{-}V_p$ [0 1]

$DIP\text{-}V_t$ [0 0] $DIP\text{-}V_b$ [0 0] NUMERO DE CONTRACCIONES [3 0 0]

NUMERO DE MINUTOS REGISTRADOS [9 5 3]

HOJA CODIFICADA PARA EL ESTUDIO DE LAS VARIACIONES CARDIOTOCOGRAFICAS ATRIBUIDAS A LAS CIRCULARES DEL CORDON UMBILICAL

NOMBRE Y APELLIDOS:

GRUPO ESTUDIADO [1] Nº DE Nº DE D.C. [0 5 7 0 4 9] Nº DE UCIP [0 8 6 9 1 4]

BOLSA [0] I.A. [3] MECONIO [2] SEMANA DE AMENORREA [41] SEXO [0]

VITALIDAD [0] EDAD MATERNA [26] PARIDAD [0 1] PESO DEL R.N. [3 2 0 0]

FORMA DE TERMINACION DEL PARTO [4] LONGITUD DEL CORDON [5 5] APGAR-1 [0 9]

APGAR-5 [1 0] MORBILIDAD [0]

MADRE: PO_2 [- -] PCO_2 [- -] D.B. [- - -] HCO_3^- [- -] pH [- - -]

FETO: ARTERIA. PO_2 [- -] PCO_2 [- -] D.B. [- - -] HCO_3^- [- -] pH [- - -]

VENA. PO_2 [- -] PCO_2 [- -] D.B. [- - -] HCO_3^- [- -] pH [- - -]

TIPO DE ACIDOSIS MATERNA [-] TIPO DE ACIDOSIS FETAL [-] Δ-pH MADRE-FETO [- -]

Δ-pH VENA UMBILICAL-ARTERIA UMBILICAL [- -] PROMEDIO DE ASCENSOS T. [1 9]

PROMEDIO DE ASCENSOS TRANSITORIOS QUE COINCIDEN CON LA CONTRACCION [0 7]

TAQUICARDIA [0] BRADICARDIA [0] VARIABILIDAD DE LA FCF [0 8] DIP-I [0 0]

DIP-II [0 0] TOTAL DIPS UMBILICALES [0 5] DIP-U [0 0] $DIP\text{-}U_p$ [0 0]

$DIP\text{-}U_t$ [0 0] $DIP\text{-}U_v$ [0 0] $DIP\text{-}U_{vp}$ [0 0] $DIP\text{-}U_{vt}$ [0 0] $DIP\text{-}U_\lambda$ [0 5]

$DIP\text{-}U_{\lambda p}$ [0 0] $DIP\text{-}U_{\lambda t}$ [0 0] DIP-V [0 0] $DIP\text{-}V_p$ [0 0]

$DIP\text{-}V_t$ [0 0] $DIP\text{-}V_b$ [0 0] NUMERO DE CONTRACCIONES [0 2 4]

NUMERO DE MINUTOS REGISTRADOS [1 2 9]

HOJA CODIFICADA PARA EL ESTUDIO DE LAS VARIACIONES CARDIOTOCOGRAFICAS ATRIBUIDAS A LAS CIRCULARES DEL CORDON UMBILICAL

NOMBRE Y APELLIDOS:

GRUPO ESTUDIADO [1] Nº DE Hª DE P.C. [0040004] Nº DE UCIP [130811]

BOLSA [0] L.A. [1] MECONIO [2] SEMANA DE AMENORREA [41] SEXO [0]

VITALIDAD [0] EDAD MATERNA [28] PARIDAD [02] PESO DEL R.N. [4500]

FORMA DE TERMINACION DEL PARTO [0] LONGITUD DEL CORDON [65] APGAR-1 [09]

APGAR-5 [09] MORBILIDAD [0]

MADRE: PO_2 [77] PCO_2 [30] D.B. [-6] HCO_3^- [18] P^H [7389]

FETO: ARTERIA. PO_2 [16] PCO_2 [53] D.B. [-11] HCO_3^- [26] P^H [7381]

VENA. PO_2 [25] PCO_2 [44] D.B. [-1] HCO_3^- [24] P^H [7387]

TIPO DE ACIDOSIS MATERNA [0] TIPO DE ACIDOSIS FETAL [0] Δ-P^H MADRE-FETO [02]

Δ-P^H VENA UMBILICAL-ARTERIA UMBILICAL [06] PROMEDIO DE ASCENSOS ?. [04]

PROMEDIO DE ASCENSOS TRANSITORIOS QUE COINCIDEN CON LA CONTRACCION [00]

TAQUICARDIA [0] BRADICARDIA [0] VARIABILIDAD DE LA FCF [07] DIP-I [00]

DIP-II [00] TOTAL DIPS UMBILICALES [12] DIP-U [00] $DIP\text{-}U_p$ [00]

$DIP\text{-}U_t$ [00] $DIP\text{-}U_a$ [00] $DIP\text{-}U_{ap}$ [00] $DIP\text{-}U_{at}$ [00] $DIP\text{-}U_\lambda$ [08]

$DIP\text{-}U_{\lambda p}$ [00] $DIP\text{-}U_{\lambda t}$ [04] DIP-V [00] $DIP\text{-}V_p$ [00]

$DIP\text{-}V_t$ [00] $DIP\text{-}V_b$ [00] NUMERO DE CONTRACCIONES [014]

NUMERO DE MINUTOS REGISTRADOS [178]

HOJA CODIFICADA PARA EL ESTUDIO DE LAS VARIACIONES CARDIOTOCOGRAFICAS ATRIBUIDAS A LAS CIRCULARES DEL CORDON UMBILICAL

NOMBRE Y APELLIDOS:

GRUPO ESTUDIADO [1] Nº DE Hª DE P.C. [076332] Nº DE UCIP [118655]

BOLSA [1] L.A. [0] MECONIO [1] SEMANA DE AMENORREA [38] SEXO [0]

VITALIDAD [0] EDAD MATERNA [26] PARIDAD [00] PESO DEL R.N. [3000]

FORMA DE TERMINACION DEL PARTO [0] LONGITUD DEL CORDON [50] APGAR-1 [09]

APGAR-5 [10] MORBILIDAD [0]

MADRE: PO_2 [97] PCO_2 [28] D.B. [-6] HCO_3^- [16] P^H [7400]

FETO: ARTERIA. PO_2 [20] PCO_2 [43] D.B. [-17] HCO_3^- [16] P^H [7325]

VENA. PO_2 [42] PCO_2 [34] D.B. [-7] HCO_3^- [17] P^H [7332]

TIPO DE ACIDOSIS MATERNA [0] TIPO DE ACIDOSIS FETAL [0] Δ-P^H MADRE-FETO [08]

Δ-P^H VENA UMBILICAL-ARTERIA UMBILICAL [07] PROMEDIO DE ASCENSOS ?. [21]

PROMEDIO DE ASCENSOS TRANSITORIOS QUE COINCIDEN CON LA CONTRACCION [02]

TAQUICARDIA [0] BRADICARDIA [0] VARIABILIDAD DE LA FCF [07] DIP-I [00]

DIP-II [00] TOTAL DIPS UMBILICALES [09] DIP-U [03] $DIP\text{-}U_p$ [02]

$DIP\text{-}U_t$ [03] $DIP\text{-}U_a$ [00] $DIP\text{-}U_{ap}$ [00] $DIP\text{-}U_{at}$ [00] $DIP\text{-}U_\lambda$ [00]

$DIP\text{-}U_{\lambda p}$ [02] $DIP\text{-}U_{\lambda t}$ [00] DIP-V [00] $DIP\text{-}V_p$ [00]

$DIP\text{-}V_t$ [00] $DIP\text{-}V_b$ [00] NUMERO DE CONTRACCIONES [049]

NUMERO DE MINUTOS REGISTRADOS [192]

HOJA CODIFICADA PARA EL ESTUDIO DE LAS VARIACIONES CARDIOTOCOGRAFICAS ATRIBUIDAS A LAS CIRCULARES DEL CORDON UMBILICAL

NOMBRE Y APELLIDOS:

GRUPO ESTUDIADO [1] Nº DE Hª DE P.C. [082746] Nº DE UCIP [129417]

BOLSA [1] L.A. [0] MECONIO [2] SEMANA DE AMENORREA [41] SEXO [1]

VITALIDAD [0] EDAD MATERNA [24] PARIDAD [00] PESO DEL R.N. [3550]

FORMA DE TERMINACION DEL PARTO [0] LONGITUD DEL CORDON [60] APGAR-1 [09]

APGAR-5 [10] MORBILIDAD [0]

MADRE: PO_2 [--] PCO_2 [20] D.B. [-8] HCO_3^- [12] P^H [7415]

FETO: ARTERIA. PO_2 [--] PCO_2 [42] D.B. [-17] HCO_3^- [19] P^H [7279]

VENA. PO_2 [--] PCO_2 [37] D.B. [-8] HCO_3^- [16] P^H [7332]

TIPO DE ACIDOSIS MATERNA [0] TIPO DE ACIDOSIS FETAL [0] Δ-P^H MADRE-FETO [13]

Δ-P^H VENA UMBILICAL-ARTERIA UMBILICAL [03] PROMEDIO DE ASCENSOS ?. [12]

PROMEDIO DE ASCENSOS TRANSITORIOS QUE COINCIDEN CON LA CONTRACCION [00]

TAQUICARDIA [0] BRADICARDIA [0] VARIABILIDAD DE LA FCF [07] DIP-I [00]

DIP-II [00] TOTAL DIPS UMBILICALES [12] DIP-U [00] $DIP\text{-}U_p$ [00]

$DIP\text{-}U_t$ [00] $DIP\text{-}U_a$ [00] $DIP\text{-}U_{ap}$ [00] $DIP\text{-}U_{at}$ [00] $DIP\text{-}U_\lambda$ [06]

$DIP\text{-}U_{\lambda p}$ [06] $DIP\text{-}U_{\lambda t}$ [00] DIP-V [00] $DIP\text{-}V_p$ [00]

$DIP\text{-}V_t$ [00] $DIP\text{-}V_b$ [00] NUMERO DE CONTRACCIONES [016]

NUMERO DE MINUTOS REGISTRADOS [267]

HOJA CODIFICADA PARA EL ESTUDIO DE LAS VARIACIONES CARDIOTOCOGRAFICAS ATRIBUIDAS A LAS CIRCULARES DEL CORDON UMBILICAL

NOMBRE Y APELLIDOS:

GRUPO ESTUDIADO [1] Nº DE Hª DE P.C. [065013] Nº DE UCIP [129418]

BOLSA [0] L.A. [3] MECONIO [2] SEMANA DE AMENORREA [40] SEXO [1]

VITALIDAD [0] EDAD MATERNA [32] PARIDAD [01] PESO DEL R.N. [3380]

FORMA DE TERMINACION DEL PARTO [0] LONGITUD DEL CORDON [60] APGAR-1 [09]

APGAR-5 [10] MORBILIDAD [0]

MADRE: PO_2 [82] PCO_2 [25] D.B. [-2] HCO_3^- [18] P^H [7417]

FETO: ARTERIA. PO_2 [22] PCO_2 [34] D.B. [-2] HCO_3^- [22] P^H [7388]

VENA. PO_2 [39] PCO_2 [27] D.B. [0] HCO_3^- [20] P^H [7415]

TIPO DE ACIDOSIS MATERNA [0] TIPO DE ACIDOSIS FETAL [0] Δ-P^H MADRE-FETO [02]

Δ-P^H VENA UMBILICAL-ARTERIA UMBILICAL [07] PROMEDIO DE ASCENSOS ?. [15]

PROMEDIO DE ASCENSOS TRANSITORIOS QUE COINCIDEN CON LA CONTRACCION [00]

TAQUICARDIA [0] BRADICARDIA [0] VARIABILIDAD DE LA FCF [08] DIP-I [00]

DIP-II [00] TOTAL DIPS UMBILICALES [15] DIP-U [00] $DIP\text{-}U_p$ [00]

$DIP\text{-}U_t$ [00] $DIP\text{-}U_a$ [00] $DIP\text{-}U_{ap}$ [00] $DIP\text{-}U_{at}$ [00] $DIP\text{-}U_\lambda$ [15]

$DIP\text{-}U_{\lambda p}$ [00] $DIP\text{-}U_{\lambda t}$ [00] DIP-V [00] $DIP\text{-}V_p$ [00]

$DIP\text{-}V_t$ [00] $DIP\text{-}V_b$ [00] NUMERO DE CONTRACCIONES [002]

NUMERO DE MINUTOS REGISTRADOS [178]

HOJA CODIFICADA PARA EL ESTUDIO DE LAS VARIACIONES CARDIOTOCOGRAFICAS ATRIBUIDAS A LAS CIRCULARES DEL CORDON UMBILICAL

NOMBRE Y APELLIDOS:

GRUPO ESTUDIADO 1 | Nº DE Hª DE D.C. 2 3 4 5 6 7 | 0 8 1 7 1 7 | Nº DE UCIP 8 9 10 11 12 | 1 2 8 5 5

BOLSA 13 | 0 | L.A. 14 | 0 | MECONIO 15 | 2 | SEMANA DE AMENORREA 16 17 | 4 1 | SEXO 18 | 0

VITALIDAD 19 | 0 | EDAD MATERNA 20 21 | 1 8 | PARIDAD 22 23 | 0 0 | PESO DEL R.N. 24 25 26 27 | 2 9 3 0

FORMA DE TERMINACION DEL PARTO 28 | 0 | LONGITUD DEL CORDON 29 30 | 5 5 | APGAR-1 31 32 | 0 9

APGAR-5 33 34 | 1 0 | MORBILIDAD 35 | 0

MADRE: PO_2 36 37 | 6 6 | PCO_2 38 39 | 2 6 | D.B. 40 41 42 | - 9 | HCO_3^- 43 44 | 2 0 | P^H 45 46 47 | 7 4 0

FETO: ARTERIA. PO_2 48 49 | 1 3 | PCO_2 50 51 | 5 4 | D.B. 52 53 54 | - 8 | HCO_3^- 55 56 | 2 0 | P^H 57 58 59 | 7 2 0

VENA. PO_2 60 61 | 2 2 | PCO_2 62 63 | 3 8 | D.B. 64 65 66 | - 1 | HCO_3^- 67 68 | 2 3 | P^H 69 70 71 | 7 3 9

TIPO DE ACIDOSIS MATERNA 72 | 0 | TIPO DE ACIDOSIS FETAL 73 | 3 | Δ-P^H MADRE-FETO 74 75 | 0 1

Δ-P^H VENA UMBILICAL-ARTERIA UMBILICAL 76 77 | 1 9 | PROMEDIO DE ASCENSOS ?. 78 79 | 2 7

PROMEDIO DE ASCENSOS TRANSITORIOS QUE COINCIDEN CON LA CONTRACCION 80 81 | 0 5

TAQUICARDIA 82 | 0 | BRADICARDIA 83 | 0 | VARIABILIDAD DE LA FCF 84 85 | 1 0 | DIP-I 86 87 | 0 0

DIP-II 88 89 | 0 0 | TOTAL DIPS UMBILICALES 90 91 | 0 7 | DIP-U 92 93 | 0 0 | $DIP\text{-}U_p$ 94 95 | 0 0

$DIP\text{-}U_1$ 96 97 | 0 0 | $DIP\text{-}U_2$ 98 99 | 0 0 | $DIP\text{-}U_{>2}$ 100 101 | 0 0 | $DIP\text{-}U_{>3}$ 102 103 | 0 0 | $DIP\text{-}U_3$ 104 105 | 0 7

$DIP\text{-}U_{\Delta p}$ 106 107 | 0 0 | $DIP\text{-}U_{\Delta 1}$ 108 109 | 0 0 | DIP-V 110 111 | 0 0 | $DIP\text{-}V_p$ 112 113 | 0 0

$DIP\text{-}V_1$ 114 115 | 0 0 | $DIP\text{-}V_b$ 116 117 | 0 0 | NUMERO DE CONTRACCIONES 118 119 120 | 0 3 4

NUMERO DE MINUTOS REGISTRADOS 121 122 123 | 1 6 8

HOJA CODIFICADA PARA EL ESTUDIO DE LAS VARIACIONES CARDIOTOCOGRAFICAS ATRIBUIDAS A LAS CIRCULARES DEL CORDON UMBILICAL

NOMBRE Y APELLIDOS:

GRUPO ESTUDIADO 1 | Nº DE Hª DE D.C. 2 3 4 5 6 7 | 0 9 3 3 6 2 | Nº DE UCIP 8 9 10 11 12 | 1 5 3 8 1

BOLSA 13 | 0 | L.A. 14 | 2 | MECONIO 15 | 1 | SEMANA DE AMENORREA 16 17 | 3 7 | SEXO 18 | 1

VITALIDAD 19 | 0 | EDAD MATERNA 20 21 | 2 9 | PARIDAD 22 23 | 0 1 | PESO DEL R.N. 24 25 26 27 | 3 1 4 0

FORMA DE TERMINACION DEL PARTO 28 | 0 | LONGITUD DEL CORDON 29 30 | 6 0 | APGAR-1 31 32 | 0 9

APGAR-5 33 34 | 1 0 | MORBILIDAD 35 | 0

MADRE: PO_2 36 37 | 7 0 | PCO_2 38 39 | 3 5 | D.B. 40 41 42 | - 1 | HCO_3^- 43 44 | 1 7 | P^H 45 46 47 | 7 3 1

FETO: ARTERIA. PO_2 48 49 | 2 1 | PCO_2 50 51 | 4 1 | D.B. 52 53 54 | - 9 | HCO_3^- 55 56 | 1 8 | P^H 57 58 59 | 7 2 6

VENA. PO_2 60 61 | 3 9 | PCO_2 62 63 | 3 2 | D.B. 64 65 66 | - 4 | HCO_3^- 67 68 | 1 9 | P^H 69 70 71 | 7 3 0

TIPO DE ACIDOSIS MATERNA 72 | 0 | TIPO DE ACIDOSIS FETAL 73 | 0 | Δ-P^H MADRE-FETO 74 75 | 0 1

Δ-P^H VENA UMBILICAL-ARTERIA UMBILICAL 76 77 | 0 4 | PROMEDIO DE ASCENSOS ?. 78 79 | 1 7

PROMEDIO DE ASCENSOS TRANSITORIOS QUE COINCIDEN CON LA CONTRACCION 80 81 | 0 0

TAQUICARDIA 82 | 0 | BRADICARDIA 83 | 0 | VARIABILIDAD DE LA FCF 84 85 | 0 6 | DIP-I 86 87 | 0 0

DIP-II 88 89 | 0 0 | TOTAL DIPS UMBILICALES 90 91 | 2 8 | DIP-U 92 93 | 0 0 | $DIP\text{-}U_p$ 94 95 | 0 0

$DIP\text{-}U_1$ 96 97 | 0 0 | $DIP\text{-}U_2$ 98 99 | 0 0 | $DIP\text{-}U_{>2}$ 100 101 | 0 0 | $DIP\text{-}U_{>3}$ 102 103 | 0 0 | $DIP\text{-}U_3$ 104 105 | 2 8

$DIP\text{-}U_{\Delta p}$ 106 107 | 0 0 | $DIP\text{-}U_{\Delta 1}$ 108 109 | 0 0 | DIP-V 110 111 | 0 0 | $DIP\text{-}V_p$ 112 113 | 0 0

$DIP\text{-}V_1$ 114 115 | 0 0 | $DIP\text{-}V_b$ 116 117 | 0 0 | NUMERO DE CONTRACCIONES 118 119 120 | 0 0 2

NUMERO DE MINUTOS REGISTRADOS 121 122 123 | 0 6 0

HOJA CODIFICADA PARA EL ESTUDIO DE LAS VARIACIONES CARDIOTOCOGRAFICAS ATRIBUIDAS A LAS CIRCULARES DEL CORDON UMBILICAL

NOMBRE Y APELLIDOS:

GRUPO ESTUDIADO 1 | Nº DE Hª DE D.C. 2 3 4 5 6 7 | 0 8 3 0 4 3 | Nº DE UCIP 8 9 10 11 12 | 1 3 1 5 9

BOLSA 13 | 0 | L.A. 14 | 0 | MECONIO 15 | 2 | SEMANA DE AMENORREA 16 17 | 3 8 | SEXO 18 | 1

VITALIDAD 19 | 0 | EDAD MATERNA 20 21 | 2 0 | PARIDAD 22 23 | 0 0 | PESO DEL R.N. 24 25 26 27 | 2 8 8 0

FORMA DE TERMINACION DEL PARTO 28 | 0 | LONGITUD DEL CORDON 29 30 | 5 0 | APGAR-1 31 32 | 0 9

APGAR-5 33 34 | 1 0 | MORBILIDAD 35 | 0

MADRE: PO_2 36 37 | 7 5 | PCO_2 38 39 | 2 1 | D.B. 40 41 42 | - 4 | HCO_3^- 43 44 | 1 6 | P^H 45 46 47 | 7 4 5

FETO: ARTERIA. PO_2 48 49 | 2 8 | PCO_2 50 51 | 4 3 | D.B. 52 53 54 | - 8 | HCO_3^- 55 56 | 1 8 | P^H 57 58 59 | 7 2 4

VENA. PO_2 60 61 | 3 3 | PCO_2 62 63 | 3 9 | D.B. 64 65 66 | - 3 | HCO_3^- 67 68 | 2 2 | P^H 69 70 71 | 7 3 7

TIPO DE ACIDOSIS MATERNA 72 | 0 | TIPO DE ACIDOSIS FETAL 73 | 0 | Δ-P^H MADRE-FETO 74 75 | 0 8

Δ-P^H VENA UMBILICAL-ARTERIA UMBILICAL 76 77 | 1 3 | PROMEDIO DE ASCENSOS ?. 78 79 | 7 2

PROMEDIO DE ASCENSOS TRANSITORIOS QUE COINCIDEN CON LA CONTRACCION 80 81 | 0 0

TAQUICARDIA 82 | 0 | BRADICARDIA 83 | 0 | VARIABILIDAD DE LA FCF 84 85 | 1 1 | DIP-I 86 87 | 0 0

DIP-II 88 89 | 0 0 | TOTAL DIPS UMBILICALES 90 91 | 6 5 | DIP-U 92 93 | 0 0 | $DIP\text{-}U_p$ 94 95 | 0 0

$DIP\text{-}U_1$ 96 97 | 0 0 | $DIP\text{-}U_2$ 98 99 | 0 0 | $DIP\text{-}U_{>2}$ 100 101 | 0 0 | $DIP\text{-}U_{>3}$ 102 103 | 0 0 | $DIP\text{-}U_3$ 104 105 | 4 1

$DIP\text{-}U_{\Delta p}$ 106 107 | 2 4 | $DIP\text{-}U_{\Delta 1}$ 108 109 | 0 0 | DIP-V 110 111 | 0 3 | $DIP\text{-}V_p$ 112 113 | 0 0

$DIP\text{-}V_1$ 114 115 | 0 0 | $DIP\text{-}V_b$ 116 117 | 0 0 | NUMERO DE CONTRACCIONES 118 119 120 | 0 2 4

NUMERO DE MINUTOS REGISTRADOS 121 122 123 | 0 8 7

HOJA CODIFICADA PARA EL ESTUDIO DE LAS VARIACIONES CARDIOTOCOGRAFICAS ATRIBUIDAS A LAS CIRCULARES DEL CORDON UMBILICAL

NOMBRE Y APELLIDOS:

GRUPO ESTUDIADO 1 | Nº DE Hª DE D.C. 2 3 4 5 6 7 | 0 8 3 5 3 3 | Nº DE UCIP 8 9 10 11 12 | 1 3 2 2 7

BOLSA 13 | 1 | L.A. 14 | 2 | MECONIO 15 | 2 | SEMANA DE AMENORREA 16 17 | 4 0 | SEXO 18 | 0

VITALIDAD 19 | 0 | EDAD MATERNA 20 21 | 2 6 | PARIDAD 22 23 | 0 0 | PESO DEL R.N. 24 25 26 27 | 3 1 7 0

FORMA DE TERMINACION DEL PARTO 28 | 0 | LONGITUD DEL CORDON 29 30 | 5 0 | APGAR-1 31 32 | 0 9

APGAR-5 33 34 | 1 0 | MORBILIDAD 35 | 0

MADRE: PO_2 36 37 | 6 7 | PCO_2 38 39 | 2 8 | D.B. 40 41 42 | - 6 | HCO_3^- 43 44 | 1 7 | P^H 45 46 47 | 7 3 7

FETO: ARTERIA. PO_2 48 49 | 0 9 | PCO_2 50 51 | 6 0 | D.P. 52 53 54 | - 7 | HCO_3^- 55 56 | 2 2 | P^H 57 58 59 | 7 1 8

VENA. PO_2 60 61 | 1 5 | PCO_2 62 63 | 4 6 | D.B. 64 65 66 | - 5 | HCO_3^- 67 68 | 2 1 | P^H 69 70 71 | 7 2 8

TIPO DE ACIDOSIS MATERNA 72 | 0 | TIPO DE ACIDOSIS FETAL 73 | 3 | Δ-P^H MADRE-FETO 74 75 | 0 9

Δ-P^H VENA UMBILICAL-ARTERIA UMBILICAL 76 77 | 1 0 | PROMEDIO DE ASCENSOS ?. 78 79 | 1 5

PROMEDIO DE ASCENSOS TRANSITORIOS QUE COINCIDEN CON LA CONTRACCION 80 81 | 0 2

TAQUICARDIA 82 | 0 | BRADICARDIA 83 | 0 | VARIABILIDAD DE LA FCF 84 85 | 0 8 | DIP-I 86 87 | 0 0

DIP-II 88 89 | 0 0 | TOTAL DIPS UMBILICALES 90 91 | 0 6 | DIP-U 92 93 | 0 0 | $DIP\text{-}U_p$ 94 95 | 0 0

$DIP\text{-}U_1$ 96 97 | 0 0 | $DIP\text{-}U_2$ 98 99 | 0 0 | $DIP\text{-}U_{>2}$ 100 101 | 0 0 | $DIP\text{-}U_{>3}$ 102 103 | 0 0 | $DIP\text{-}U_3$ 104 105 | 0 4

$DIP\text{-}U_{\Delta p}$ 106 107 | 0 2 | $DIP\text{-}U_{\Delta 1}$ 108 109 | 0 0 | DIP-V 110 111 | 0 0 | $DIP\text{-}V_p$ 112 113 | 0 0

$DIP\text{-}V_1$ 114 115 | 0 0 | $DIP\text{-}V_b$ 116 117 | 0 0 | NUMERO DE CONTRACCIONES 118 119 120 | 0 1 9

NUMERO DE MINUTOS REGISTRADOS 121 122 123 | 1 0 0

HOJA CODIFICADA PARA EL ESTUDIO DE LAS VARIACIONES CARDIOTOCOGRAFICAS ATRIBUIDAS A LAS CIRCULARES DEL CORDON UMBILICAL

NOMBRE Y APELLIDOS:

GRUPO ESTUDIADO [1] Nº DE Hº DE D.C. [0 6 3 2 8 2] Nº DE UCIP [0 9 6 3 8]

BOLSA [1] L.A. [0] MECONIO [2] SEMANA DE AMENORREA [4 2] SEXO [1]

VITALIDAD [0] EDAD MATERNA [2 8] PARIDAD [0 3] PESO DEL R.N. [3 2 3 0]

FORMA DE TERMINACION DEL PARTO [4] LONGITUD DEL CORDON [6 0] APGAR-1 [0 9]

APGAR-5 [1 0] MORBILIDAD [1]

MADRE: PO_2 [9 9] PCO_2 [3 9] D.B. [-5] HCO_3^- [2 1] P^H [7 3 4]

FETO: ARTERIA. PO_2 [2 3] PCO_2 [6 0] D.B. [0] HCO_3^- [2 9] P^H [7 2 9]

VENA. PO_2 [4 4] PCO_2 [4 6] D.B. [-1] HCO_3^- [2 6] P^H [7 3 3]

TIPO DE ACIDOSIS MATERNA [0] TIPO DE ACIDOSIS FETAL [0] Δ-P^H MADRE-FETO [0 1]

Δ-P^H VENA UMBILICAL-ARTERIA UMBILICAL [0 4] PROMEDIO DE ASCENSOS ?. [0 7]

PROMEDIO DE ASCENSOS TRANSITORIOS QUE COINCIDEN CON LA CONTRACCION [0 2]

TAQUICARDIA [1] BRADICARDIA [0] VARIABILIDAD DE LA FCF [0 4] DIP-I [0 0]

DIP-II [0 0] TOTAL DIPS UMBILICALES [1 8] DIP-U [0 3] $DIP\text{-}U_p$ [0 1]

$DIP\text{-}U_t$ [0 0] $DIP\text{-}U_v$ [0 0] $DIP\text{-}U_{vp}$ [0 0] $DIP\text{-}U_{vt}$ [0 0] $DIP\text{-}U_\lambda$ [1 1]

$DIP\text{-}U_{\lambda p}$ [0 4] $DIP\text{-}U_{\lambda t}$ [0 0] DIP-V [0 0] $DIP\text{-}V_p$ [0 0]

$DIP\text{-}V_t$ [0 3] $DIP\text{-}V_b$ [0 2] NUMERO DE CONTRACCIONES [0 8 5]

NUMERO DE MINUTOS REGISTRADOS [3 9 0]

HOJA CODIFICADA PARA EL ESTUDIO DE LAS VARIACIONES CARDIOTOCOGRAFICAS ATRIBUIDAS A LAS CIRCULARES DEL CORDON UMBILICAL

NOMBRE Y APELLIDOS:

GRUPO ESTUDIADO [1] Nº DE Hº DE D.C. [0 6 0 3 4 2] Nº DE UCIP [0 8 7 8 9]

BOLSA [0] L.A. [2] MECONIO [0] SEMANA DE AMENORREA [3 9] SEXO [0]

VITALIDAD [0] EDAD MATERNA [3 1] PARIDAD [0 0] PESO DEL R.N. [2 7 0 0]

FORMA DE TERMINACION DEL PARTO [3] LONGITUD DEL CORDON [6 3] APGAR-1 [0 9]

APGAR-5 [1 0] MORBILIDAD [0]

MADRE: PO_2 [9 9] PCO_2 [2 3] D.B. [-5] HCO_3^- [1 6] P^H [7 4 5]

FETO: ARTERIA. PO_2 [1 8] PCO_2 [5 6] D.B. [-7] HCO_3^- [2 2] P^H [7 2 1]

VENA. PO_2 [3 0] PCO_2 [4 5] D.B. [-6] HCO_3^- [2 1] P^H [7 2 6]

TIPO DE ACIDOSIS MATERNA [0] TIPO DE ACIDOSIS FETAL [0] Δ-P^H MADRE-FETO [1 9]

Δ-P^H VENA UMBILICAL-ARTERIA UMBILICAL [0 5] PROMEDIO DE ASCENSOS ?. [1 2]

PROMEDIO DE ASCENSOS TRANSITORIOS QUE COINCIDEN CON LA CONTRACCION [0 3]

TAQUICARDIA [0] BRADICARDIA [1] VARIABILIDAD DE LA FCF [0 8] DIP-I [0 0]

DIP-II [0 0] TOTAL DIPS UMBILICALES [0 9] DIP-U [0 0] $DIP\text{-}U_p$ [0 0]

$DIP\text{-}U_t$ [0 0] $DIP\text{-}U_v$ [0 0] $DIP\text{-}U_{vp}$ [0 0] $DIP\text{-}U_{vt}$ [0 0] $DIP\text{-}U_\lambda$ [0 9]

$DIP\text{-}U_{\lambda p}$ [0 0] $DIP\text{-}U_{\lambda t}$ [0 0] DIP-V [0 0] $DIP\text{-}V_p$ [0 0]

$DIP\text{-}V_t$ [0 0] $DIP\text{-}V_b$ [0 0] NUMERO DE CONTRACCIONES [0 3 1]

NUMERO DE MINUTOS REGISTRADOS [1 5 3]

HOJA CODIFICADA PARA EL ESTUDIO DE LAS VARIACIONES CARDIOTOCOGRAFICAS ATRIBUIDAS A LAS CIRCULARES DEL CORDON UMBILICAL

NOMBRE Y APELLIDOS:

GRUPO ESTUDIADO [1] Nº DE Hº DE D.C. [0 6 3 3 4 5] Nº DE UCIP [1 2 9 8 6]

BOLSA [0] L.A. [3] MECONIO [1] SEMANA DE AMENORREA [4 1] SEXO [1]

VITALIDAD [0] EDAD MATERNA [2 3] PARIDAD [0 0] PESO DEL R.N. [3 2 4 0]

FORMA DE TERMINACION DEL PARTO [0] LONGITUD DEL CORDON [5 0] APGAR-1 [0 9]

APGAR-5 [1 0] MORBILIDAD [0]

MADRE: PO_2 [7 4] PCO_2 [3 0] D.B. [-4] HCO_3^- [1 9] P^H [7 4 1]

FETO: ARTERIA. PO_2 [1 0] PCO_2 [5 7] D.B. [-3] HCO_3^- [2 5] P^H [7 2 6]

VENA. PO_2 [3 3] PCO_2 [3 5] D.B. [-3] HCO_3^- [2 1] P^H [7 3 8]

TIPO DE ACIDOSIS MATERNA [0] TIPO DE ACIDOSIS FETAL [0] Δ-P^H MADRE-FETO [0 3]

Δ-P^H VENA UMBILICAL-ARTERIA UMBILICAL [1 2] PROMEDIO DE ASCENSOS ?. [3 4]

PROMEDIO DE ASCENSOS TRANSITORIOS QUE COINCIDEN CON LA CONTRACCION [0 0]

TAQUICARDIA [0] BRADICARDIA [0] VARIABILIDAD DE LA FCF [0 6] DIP-I [0 0]

DIP-II [0 0] TOTAL DIPS UMBILICALES [0 4] DIP-U [0 0] $DIP\text{-}U_p$ [0 0]

$DIP\text{-}U_t$ [0 0] $DIP\text{-}U_v$ [0 0] $DIP\text{-}U_{vp}$ [0 0] $DIP\text{-}U_{vt}$ [0 0] $DIP\text{-}U_\lambda$ [0 0]

$DIP\text{-}U_{\lambda p}$ [0 4] $DIP\text{-}U_{\lambda t}$ [0 0] DIP-V [0 0] $DIP\text{-}V_p$ [0 0]

$DIP\text{-}V_t$ [0 0] $DIP\text{-}V_b$ [0 0] NUMERO DE CONTRACCIONES [0 1 6]

NUMERO DE MINUTOS REGISTRADOS [0 7 8]

HOJA CODIFICADA PARA EL ESTUDIO DE LAS VARIACIONES CARDIOTOCOGRAFICAS ATRIBUIDAS A LAS CIRCULARES DEL CORDON UMBILICAL

NOMBRE Y APELLIDOS:

GRUPO ESTUDIADO [1] Nº DE Hº DE D.C. [0 8 1 8 3 6] Nº DE UCIP [1 1 0 5 8]

BOLSA [1] L.A. [3] MECONIO [0] SEMANA DE AMENORREA [3 9] SEXO [0]

VITALIDAD [0] EDAD MATERNA [3 6] PARIDAD [0 4] PESO DEL R.N. [3 8 8 0]

FORMA DE TERMINACION DEL PARTO [1] LONGITUD DEL CORDON [5 8] APGAR-1 [0 9]

APGAR-5 [1 0] MORBILIDAD [0]

MADRE: PO_2 [9 8] PCO_2 [2 8] D.B. [-7] HCO_3^- [1 6] P^H [7 3 8]

FETO: ARTERIA. PO_2 [1 1] PCO_2 [5 8] D.B. [-5] HCO_3^- [2 4] P^H [7 2 4]

VENA. PO_2 [2 4] PCO_2 [4 0] D.B. [-5] HCO_3^- [2 0] P^H [7 3 2]

TIPO DE ACIDOSIS MATERNA [0] TIPO DE ACIDOSIS FETAL [0] Δ-P^H MADRE-FETO [0 6]

Δ-P^H VENA UMBILICAL-ARTERIA UMBILICAL [0 8] PROMEDIO DE ASCENSOS ?. [3 3]

PROMEDIO DE ASCENSOS TRANSITORIOS QUE COINCIDEN CON LA CONTRACCION [0 0]

TAQUICARDIA [0] BRADICARDIA [0] VARIABILIDAD DE LA FCF [0 8] DIP-I [0 0]

DIP-II [0 0] TOTAL DIPS UMBILICALES [1 3] DIP-U [0 1] $DIP\text{-}U_p$ [0 0]

$DIP\text{-}U_t$ [0 0] $DIP\text{-}U_v$ [0 0] $DIP\text{-}U_{vp}$ [0 0] $DIP\text{-}U_{vt}$ [0 0] $DIP\text{-}U_\lambda$ [1 3]

$DIP\text{-}U_{\lambda p}$ [0 0] $DIP\text{-}U_{\lambda t}$ [0 0] DIP-V [0 1] $DIP\text{-}V_p$ [0 0]

$DIP\text{-}V_t$ [0 2] $DIP\text{-}V_b$ [0 0] NUMERO DE CONTRACCIONES [0 9 9]

NUMERO DE MINUTOS REGISTRADOS [3 3 6]

HOJA CODIFICADA PARA EL ESTUDIO DE LAS VARIACIONES CARDIOTOCOGRAFICAS ATRIBUIDAS A LAS CIRCULARES DEL CORDON UMBILICAL

NOMBRE Y APELLIDOS:

GRUPO ESTUDIADO [1] Nº DE Hº DE D.C. [0 8 0 8 4 1] Nº DE UCIP [1 2 5 8 3]

BOLSA [0] L.A. [0] MECONIO [2] SEMANA DE AMENORREA [4 0] SEXO [1]

VITALIDAD [0] EDAD MATERNA [2 1] PARIDAD [0 2] PESO DEL R.N. [3 8 2 0]

FORMA DE TERMINACION DEL PARTO [0] LONGITUD DEL CORDON [5 0] APGAR-1 [0 9]

APGAR-5 [0 9] MORBILIDAD [0]

MADRE: PO_2 [7 5] PCO_2 [2 5] I.B. [- - 8] HCO_3^- [1 4] P^H [7 4 1]

FETO: ARTERIA. PO_2 [1 4] PCO_2 [4 0] D.B. [- - 8] HCO_3^- [1 9] P^H [7 3 0]

VENA. PO_2 [2 5] PCO_2 [2 9] D.B. [- - 8] HCO_3^- [1 5] P^H [7 3 7]

TIPO DE ACIDOSIS MATERNA [0] TIPO DE ACIDOSIS FETAL [0] Δ-P^H MADRE-FETO [0 4]

Δ-P^H VENA UMBILICAL-ARTERIA UMBILICAL [0 7] PROMEDIO DE ASCENSOS T. [4 2]

PROMEDIO DE ASCENSOS TRANSITORIOS QUE COINCIDEN CON LA CONTRACCION [0 0]

TAQUICARDIA [0] BRADICARDIA [0] VARIABILIDAD DE LA FCF [1 0] DIP-I [0 0]

DIP-II [0 0] TOTAL DIPS UMBILICALES [0 6] DIP-U [0 0] $DIP\text{-}U_p$ [0 0]

$DIP\text{-}U_t$ [0 0] $DIP\text{-}U_e$ [0 0] $DIP\text{-}U_{ep}$ [0 0] $DIP\text{-}U_{et}$ [0 0] $DIP\text{-}U_a$ [0 6]

$DIP\text{-}U_{ap}$ [0 0] $DIP\text{-}U_{at}$ [0 0] DIP-V [0 3] $DIP\text{-}V_p$ [0 3]

$DIP\text{-}V_t$ [0 0] $DIP\text{-}V_b$ [0 3] NUMERO DE CONTRACCIONES [0 0 1]

NUMERO DE MINUTOS REGISTRADOS [0 9 8]

HOJA CODIFICADA PARA EL ESTUDIO DE LAS VARIACIONES CARDIOTOCOGRAFICAS ATRIBUIDAS A LAS CIRCULARES DEL CORDON UMBILICAL

NOMBRE Y APELLIDOS:

GRUPO ESTUDIADO [1] Nº DE Hº DE D.C. [0 5 8 2 8 3] Nº DE UCIP [0 8 8 8 3]

BOLSA [0] L.A. [2] MECONIO [2] SEMANA DE AMENORREA [3 9] SEXO [1]

VITALIDAD [0] EDAD MATERNA [2 4] PARIDAD [0 0] PESO DEL R.N. [3 5 0 0]

FORMA DE TERMINACION DEL PARTO [1] LONGITUD DEL CORDON [5 0] APGAR-1 [0 9]

APGAR-5 [1 0] MORBILIDAD [0]

MADRE: PO_2 [- -] PCO_2 [- -] D.B. [- - - -] HCO_3^- [- -] P^H [- - - -]

FETO: ARTERIA. PO_2 [- -] PCO_2 [- -] D.B. [- - - -] HCO_3^- [- -] P^H [- - - -]

VENA. PO_2 [- -] PCO_2 [- -] D.B. [- - - -] HCO_3^- [- -] P^H [- - - -]

TIPO DE ACIDOSIS MATERNA [-] TIPO DE ACIDOSIS FETAL [-] Δ-P^H MADRE-FETO [- -]

Δ-P^H VENA UMBILICAL-ARTERIA UMBILICAL [- -] PROMEDIO DE ASCENSOS T. [4 6]

PROMEDIO DE ASCENSOS TRANSITORIOS QUE COINCIDEN CON LA CONTRACCION [0 5]

TAQUICARDIA [0] BRADICARDIA [0] VARIABILIDAD DE LA FCF [0 4] DIP-I [0 0]

DIP-II [0 0] TOTAL DIPS UMBILICALES [0 0] DIP-U [0 0] $DIP\text{-}U_p$ [0 0]

$DIP\text{-}U_t$ [0 0] $DIP\text{-}U_e$ [0 0] $DIP\text{-}U_{ep}$ [0 0] $DIP\text{-}U_{et}$ [0 0] $DIP\text{-}U_a$ [0 0]

$DIP\text{-}U_{ap}$ [0 0] $DIP\text{-}U_{at}$ [0 0] DIP-V [0 0] $DIP\text{-}V_p$ [0 1]

$DIP\text{-}V_t$ [0 0] $DIP\text{-}V_b$ [0 0] NUMERO DE CONTRACCIONES [0 6 6]

NUMERO DE MINUTOS REGISTRADOS [3 5 0]

HOJA CODIFICADA PARA EL ESTUDIO DE LAS VARIACIONES CARDIOTOCOGRAFICAS ATRIBUIDAS A LAS CIRCULARES DEL CORDON UMBILICAL

NOMBRE Y APELLIDOS:

GRUPO ESTUDIADO [1] Nº DE Hº DE D.C. [0 5 6 9 4 6] Nº DE UCIP [0 9 6 7 9]

BOLSA [1] L.A. [2] MECONIO [2] SEMANA DE AMENORREA [4 3] SEXO [0]

VITALIDAD [0] EDAD MATERNA [3 6] PARIDAD [0 2] PESO DEL R.N. [3 7 5 0]

FORMA DE TERMINACION DEL PARTO [0] LONGITUD DEL CORDON [5 8] APGAR-1 [0 9]

APGAR-5 [1 0] MORBILIDAD [0]

MADRE: PO_2 [8 6] PCO_2 [2 3] D.B. [- - 9] HCO_3^- [1 3] P^H [7 3 9]

FETO: ARTERIA. PO_2 [1 9] PCO_2 [6 6] D.B. [- - 6] HCO_3^- [2 8] P^H [7 2 5]

VENA. PO_2 [3 2] PCO_2 [4 3] D.B. [- - 2] HCO_3^- [3 4] P^H [7 3 5]

TIPO DE ACIDOSIS MATERNA [0] TIPO DE ACIDOSIS FETAL [0] Δ-P^H MADRE-FETO [0 4]

Δ-P^H VENA UMBILICAL-ARTERIA UMBILICAL [1 0] PROMEDIO DE ASCENSOS T. [1 6]

PROMEDIO DE ASCENSOS TRANSITORIOS QUE COINCIDEN CON LA CONTRACCION [0 6]

TAQUICARDIA [0] BRADICARDIA [0] VARIABILIDAD DE LA FCF [0 5] DIP-I [0 0]

DIP-II [0 0] TOTAL DIPS UMBILICALES [1 2] DIP-U [0 0] $DIP\text{-}U_p$ [0 4]

$DIP\text{-}U_t$ [0 0] $DIP\text{-}U_e$ [0 0] $DIP\text{-}U_{ep}$ [0 0] $DIP\text{-}U_{et}$ [0 0] $DIP\text{-}U_a$ [0 0]

$DIP\text{-}U_{ap}$ [0 8] $DIP\text{-}U_{at}$ [0 0] DIP-V [0 7] $DIP\text{-}V_p$ [0 7]

$DIP\text{-}V_t$ [0 0] $DIP\text{-}V_b$ [0 0] NUMERO DE CONTRACCIONES [0 7 4]

NUMERO DE MINUTOS REGISTRADOS [2 9 5]

HOJA CODIFICADA PARA EL ESTUDIO DE LAS VARIACIONES CARDIOTOCOGRAFICAS ATRIBUIDAS A LAS CIRCULARES DEL CORDON UMBILICAL

NOMBRE Y APELLIDOS:

GRUPO ESTUDIADO [1] Nº DE Hº DE D.C. [0 8 2 2 4 7] Nº DE UCIP [1 2 9 8 5]

BOLSA [0] L.A. [0] MECONIO [2] SEMANA DE AMENORREA [4 2] SEXO [1]

VITALIDAD [0] EDAD MATERNA [2 7] PARIDAD [0 0] PESO DEL R.N. [3 8 5 0]

FORMA DE TERMINACION DEL PARTO [0] LONGITUD DEL CORDON [6 5] APGAR-1 [0 9]

APGAR-5 [1 0] MORBILIDAD [0]

MADRE: PO_2 [7 6] PCO_2 [2 9] D.B. [- - 4] HCO_3^- [1 9] P^H [7 4 2]

FETO: ARTERIA. PO_2 [1 4] PCO_2 [6 5] D.B. [- - 5] HCO_3^- [2 4] P^H [7 2 0]

VENA. PO_2 [3 0] PCO_2 [3 3] D.B. [- - 4] HCO_3^- [1 9] P^H [7 3 8]

TIPO DE ACIDOSIS MATERNA [0] TIPO DE ACIDOSIS FETAL [1] Δ-P^H MADRE-FETO [0 4]

Δ-P^H VENA UMBILICAL-ARTERIA UMBILICAL [1 8] PROMEDIO DE ASCENSOS T. [6 0]

PROMEDIO DE ASCENSOS TRANSITORIOS QUE COINCIDEN CON LA CONTRACCION [1 2]

TAQUICARDIA [0] BRADICARDIA [0] VARIABILIDAD DE LA FCF [1 0] DIP-I [0 0]

DIP-II [0 0] TOTAL DIPS UMBILICALES [0 6] DIP-U [0 0] $DIP\text{-}U_p$ [0 0]

$DIP\text{-}U_t$ [0 0] $DIP\text{-}U_e$ [0 0] $DIP\text{-}U_{ep}$ [0 0] $DIP\text{-}U_{et}$ [0 0] $DIP\text{-}U_a$ [0 6]

$DIP\text{-}U_{ap}$ [0 0] $DIP\text{-}U_{at}$ [0 0] DIP-V [0 0] $DIP\text{-}V_p$ [0 6]

$DIP\text{-}V_t$ [0 0] $DIP\text{-}V_b$ [0 0] NUMERO DE CONTRACCIONES [0 1 3]

NUMERO DE MINUTOS REGISTRADOS [0 6 0]

HOJA CODIFICADA PARA EL ESTUDIO DE LAS VARIACIONES CARDIOTOCOGRAFICAS ATRIBUIDAS A LAS CIRCULARES DEL CORDON UMBILICAL

NOMBRE Y APELLIDOS:

GRUPO ESTUDIADO [1] Nº DE Hª DE D.C. [0603396] Nº DE UCIP [0911720]

BOLSA [1] L.A. [0] MECONIO [1] SEMANA DE AMENORREA [38] SEXO [0]

VITALIDAD [0] EDAD MATERNA [24] PARIDAD [00] PESO DEL R.N. [3700]

FORMA DE TERMINACION DEL PARTO [2] LONGITUD DEL CORDON [56] APGAR-1 [09]

APGAR-5 [10] MORBILIDAD [0]

MADRE: PO_2 [98] PCO_2 [24] D.B. [-9] HCO_3^- [13] P^H [7378]

FETO: ARTERIA. PO_2 [10] PCO_2 [60] D.B. [-15] HCO_3^- [16] P^H [7306]

VENA. PO_2 [18] PCO_2 [36] D.B. [-18] HCO_3^- [36] P^H [7321]

TIPO DE ACIDOSIS MATERNA [0] TIPO DE ACIDOSIS FETAL [3] Δ-P^H MADRE-FETO [17]

Δ-P^H VENA UMBILICAL-ARTERIA UMBILICAL [15] PROMEDIO DE ASCENSOS ?. [04]

PROMEDIO DE ASCENSOS TRANSITORIOS QUE COINCIDEN CON LA CONTRACCION [00]

TAQUICARDIA [0] BRADICARDIA [0] VARIABILIDAD DE LA FCF [03] DIP-I [00]

DIP-II [00] TOTAL DIPS UMBILICALES [00] DIP-U [00] $DIP\text{-}U_p$ [00]

$DIP\text{-}U_t$ [00] $DIP\text{-}U_a$ [00] $DIP\text{-}U_{ap}$ [00] $DIP\text{-}U_{at}$ [00] $DIP\text{-}U_\lambda$ [00]

$DIP\text{-}U_{\lambda p}$ [00] $DIP\text{-}U_{\lambda t}$ [00] DIP-V [01] $DIP\text{-}V_p$ [02]

$DIP\text{-}V_t$ [03] $DIP\text{-}V_b$ [00] NUMERO DE CONTRACCIONES [053]

NUMERO DE MINUTOS REGISTRADOS [480]

HOJA CODIFICADA PARA EL ESTUDIO DE LAS VARIACIONES CARDIOTOCOGRAFICAS ATRIBUIDAS A LAS CIRCULARES DEL CORDON UMBILICAL

NOMBRE Y APELLIDOS:

GRUPO ESTUDIADO [1] Nº DE Hª DE D.C. [0117688] Nº DE UCIP [1522]

BOLSA [1] L.A. [2] MECONIO [1] SEMANA DE AMENORREA [38] SEXO [0]

VITALIDAD [0] EDAD MATERNA [29] PARIDAD [03] PESO DEL R.N. [3240]

FORMA DE TERMINACION DEL PARTO [0] LONGITUD DEL CORDON [50] APGAR-1 [09]

APGAR-5 [10] MORBILIDAD [0]

MADRE: PO_2 [96] PCO_2 [24] D.B. [-2] HCO_3^- [18] P^H [7351]

FETO: ARTERIA. PO_2 [21] PCO_2 [47] D.B. [+2] HCO_3^- [27] P^H [7378]

VENA. PO_2 [32] PCO_2 [33] D.B. [+1] HCO_3^- [24] P^H [7417]

TIPO DE ACIDOSIS MATERNA [0] TIPO DE ACIDOSIS FETAL [0] Δ-P^H MADRE-FETO [04]

Δ-P^H VENA UMBILICAL-ARTERIA UMBILICAL [09] PROMEDIO DE ASCENSOS ?. [07]

PROMEDIO DE ASCENSOS TRANSITORIOS QUE COINCIDEN CON LA CONTRACCION [02]

TAQUICARDIA [0] BRADICARDIA [0] VARIABILIDAD DE LA FCF [07] DIP-I [00]

DIP-II [00] TOTAL DIPS UMBILICALES [31] DIP-U [02] $DIP\text{-}U_p$ [00]

$DIP\text{-}U_t$ [00] $DIP\text{-}U_a$ [00] $DIP\text{-}U_{ap}$ [00] $DIP\text{-}U_{at}$ [00] $DIP\text{-}U_\lambda$ [18]

$DIP\text{-}U_{\lambda p}$ [11] $DIP\text{-}U_{\lambda t}$ [00] DIP-V [00] $DIP\text{-}V_p$ [00]

$DIP\text{-}V_t$ [00] $DIP\text{-}V_b$ [00] NUMERO DE CONTRACCIONES [052]

NUMERO DE MINUTOS REGISTRADOS [165]

HOJA CODIFICADA PARA EL ESTUDIO DE LAS VARIACIONES CARDIOTOCOGRAFICAS ATRIBUIDAS A LAS CIRCULARES DEL CORDON UMBILICAL

NOMBRE Y APELLIDOS:

GRUPO ESTUDIADO [1] Nº DE Hª DE D.C. [0837737] Nº DE UCIP [132333]

BOLSA [1] L.A. [0] MECONIO [0] SEMANA DE AMENORREA [41] SEXO [1]

VITALIDAD [0] EDAD MATERNA [32] PARIDAD [03] PESO DEL R.N. [3980]

FORMA DE TERMINACION DEL PARTO [0] LONGITUD DEL CORDON [60] APGAR-1 [09]

APGAR-5 [10] MORBILIDAD [0]

MADRE: PO_2 [89] PCO_2 [23] D.B. [-11] HCO_3^- [10] P^H [7378]

FETO: ARTERIA. PO_2 [10] PCO_2 [55] D.B. [-9] HCO_3^- [20] P^H [7220]

VENA. PO_2 [33] PCO_2 [30] D.B. [-8] HCO_3^- [16] P^H [7333]

TIPO DE ACIDOSIS MATERNA [0] TIPO DE ACIDOSIS FETAL [3] Δ-P^H MADRE-FETO [05]

Δ-P^H VENA UMBILICAL-ARTERIA UMBILICAL [13] PROMEDIO DE ASCENSOS ?. [17]

PROMEDIO DE ASCENSOS TRANSITORIOS QUE COINCIDEN CON LA CONTRACCION [00]

TAQUICARDIA [0] BRADICARDIA [0] VARIABILIDAD DE LA FCF [08] DIP-I [00]

DIP-II [00] TOTAL DIPS UMBILICALES [33] DIP-U [00] $DIP\text{-}U_p$ [00]

$DIP\text{-}U_t$ [00] $DIP\text{-}U_a$ [00] $DIP\text{-}U_{ap}$ [00] $DIP\text{-}U_{at}$ [00] $DIP\text{-}U_\lambda$ [33]

$DIP\text{-}U_{\lambda p}$ [00] $DIP\text{-}U_{\lambda t}$ [00] DIP-V [03] $DIP\text{-}V_p$ [00]

$DIP\text{-}V_t$ [00] $DIP\text{-}V_b$ [00] NUMERO DE CONTRACCIONES [004]

NUMERO DE MINUTOS REGISTRADOS [108]

HOJA CODIFICADA PARA EL ESTUDIO DE LAS VARIACIONES CARDIOTOCOGRAFICAS ATRIBUIDAS A LAS CIRCULARES DEL CORDON UMBILICAL

NOMBRE Y APELLIDOS:

GRUPO ESTUDIADO [1] Nº DE Hª DE D.C. [0649117] Nº DE UCIP [125412]

BOLSA [1] L.A. [1] MECONIO [2] SEMANA DE AMENORREA [44] SEXO [1]

VITALIDAD [0] EDAD MATERNA [23] PARIDAD [00] PESO DEL R.N. [3000]

FORMA DE TERMINACION DEL PARTO [0] LONGITUD DEL CORDON [50] APGAR-1 [09]

APGAR-5 [10] MORBILIDAD [0]

MADRE: PO_2 [--] PCO_2 [--] D.B. [----] HCO_3^- [--] P^H [----]

FETO: ARTERIA. PO_2 [--] PCO_2 [--] D.B. [----] HCO_3^- [--] P^H [----]

VENA. PO_2 [--] PCO_2 [--] D.B. [----] HCO_3^- [--] P^H [----]

TIPO DE ACIDOSIS MATERNA [-] TIPO DE ACIDOSIS FETAL [-] Δ-P^H MADRE-FETO [--]

Δ-P^H VENA UMBILICAL-ARTERIA UMBILICAL [--] PROMEDIO DE ASCENSOS ?. [24]

PROMEDIO DE ASCENSOS TRANSITORIOS QUE COINCIDEN CON LA CONTRACCION [02]

TAQUICARDIA [0] BRADICARDIA [0] VARIABILIDAD DE LA FCF [09] DIP-I [00]

DIP-II [00] TOTAL DIPS UMBILICALES [15] DIP-U [00] $DIP\text{-}U_p$ [00]

$DIP\text{-}U_t$ [00] $DIP\text{-}U_a$ [00] $DIP\text{-}U_{ap}$ [00] $DIP\text{-}U_{at}$ [00] $DIP\text{-}U_\lambda$ [13]

$DIP\text{-}U_{\lambda p}$ [02] $DIP\text{-}U_{\lambda t}$ [00] DIP-V [01] $DIP\text{-}V_p$ [10]

$DIP\text{-}V_t$ [00] $DIP\text{-}V_b$ [00] NUMERO DE CONTRACCIONES [237]

NUMERO DE MINUTOS REGISTRADOS [100]

HOJA CODIFICADA PARA EL ESTUDIO DE LAS VARIACIONES CARDIOTOCOGRAFICAS ATRIBUIDAS A LAS CIRCULARES DEL CORDON UMBILICAL

NOMBRE Y APELLIDOS:

GRUPO ESTUDIADO [1] Nº DE Nº DE D.C. [0 8 5 0 4 9] Nº DE UCIP [1 3 4 2 2]

BOLSA [1] L.A. [2] MECONIO [1] SEMANA DE AMENORREA [3 7] SEXO [0]

VITALIDAD [0] EDAD MATERNA [2 7] PARIDAD [0 0] PESO DEL R.N. [3 5 0 0]

FORMA DE TERMINACION DEL PARTO [0] LONGITUD DEL CORDON [7 0] APGAR-1 [0 9]

APGAR-5 [1 0] MORBILIDAD [0]

MADRE: PO_2 [1 1 7] PCO_2 [2 4] D.B. [-1 7] HCO_3^- [1 5] P^H [7 4 2]

FETO: ARTERIA. PO_2 [3 0] PCO_2 [4 4] D.B. [-1 6] HCO_3^- [2 1] P^H [7 2 8]

VENA. PO_2 [3 7] PCO_2 [3 7] D.B. [-5] HCO_3^- [1 9] P^H [7 3 4]

TIPO DE ACIDOSIS MATERNA [0] TIPO DE ACIDOSIS FETAL [0] Δ-P^H MADRE-FETO [0 8]

Δ-P^H VENA UMBILICAL-ARTERIA UMBILICAL [0 6] PROMEDIO DE ASCENSOS T. [3 2]

PROMEDIO DE ASCENSOS TRANSITORIOS QUE COINCIDEN CON LA CONTRACCION [1 1]

TAQUICARDIA [0] BRADICARDIA [0] VARIABILIDAD DE LA FCF [0 7] DIP-I [0 0]

DIP-II [0 0] TOTAL DIPS UMBILICALES [6 0] DIP-U [0 0] $DIP\text{-}U_p$ [0 0]

$DIP\text{-}U_t$ [0 0] $DIP\text{-}U_e$ [0 0] $DIP\text{-}U_{ep}$ [0 0] $DIP\text{-}U_{et}$ [0 0] $DIP\text{-}U_\lambda$ [2 1]

$DIP\text{-}U_{\lambda p}$ [3 2] $DIP\text{-}U_{\lambda t}$ [0 7] DIP-V [0 4] $DIP\text{-}V_p$ [0 4]

$DIP\text{-}V_t$ [0 6] $DIP\text{-}V_b$ [0 0] NUMERO DE CONTRACCIONES [0 0 6]

NUMERO DE MINUTOS REGISTRADOS [0 9 5]

HOJA CODIFICADA PARA EL ESTUDIO DE LAS VARIACIONES CARDIOTOCOGRAFICAS ATRIBUIDAS A LAS CIRCULARES DEL CORDON UMBILICAL

NOMBRE Y APELLIDOS:

GRUPO ESTUDIADO [1] Nº DE Nº DE D.C. [0 3 5 6 3 7] Nº DE UCIP [1 2 0 7 7]

BOLSA [1] L.A. [2] MECONIO [1] SEMANA DE AMENORREA [4 0] SEXO [1]

VITALIDAD [0] EDAD MATERNA [3 2] PARIDAD [0 0] PESO DEL R.N. [3 9 4 0]

FORMA DE TERMINACION DEL PARTO [0] LONGITUD DEL CORDON [6 5] APGAR-1 [0 9]

APGAR-5 [1 0] MORBILIDAD [0]

MADRE: PO_2 [1 0] PCO_2 [3 3] D.B. [-4] HCO_3^- [1 9] P^H [7 3 8]

FETO: ARTERIA. PO_2 [1 4] PCO_2 [5 6] D.B. [-1 7] HCO_3^- [2 2] P^H [7 2 1]

VENA. PO_2 [2 0] PCO_2 [4 9] D.B. [-5] HCO_3^- [2 2] P^H [7 2 6]

TIPO DE ACIDOSIS MATERNA [0] TIPO DE ACIDOSIS FETAL [0] Δ-P^H MADRE-FETO [1 2]

Δ-P^H VENA UMBILICAL-ARTERIA UMBILICAL [0 5] PROMEDIO DE ASCENSOS T. [2 6]

PROMEDIO DE ASCENSOS TRANSITORIOS QUE COINCIDEN CON LA CONTRACCION [0 4]

TAQUICARDIA [1] BRADICARDIA [0] VARIABILIDAD DE LA FCF [0 6] DIP-I [0 0]

DIP-II [0 0] TOTAL DIPS UMBILICALES [1 7] DIP-U [0 0] $DIP\text{-}U_p$ [0 0]

$DIP\text{-}U_t$ [0 0] $DIP\text{-}U_e$ [0 0] $DIP\text{-}U_{ep}$ [0 0] $DIP\text{-}U_{et}$ [0 0] $DIP\text{-}U_\lambda$ [0 0]

$DIP\text{-}U_{\lambda p}$ [1 3] $DIP\text{-}U_{\lambda t}$ [0 4] DIP-V [0 0] $DIP\text{-}V_p$ [0 0]

$DIP\text{-}V_t$ [0 0] $DIP\text{-}V_b$ [0 0] NUMERO DE CONTRACCIONES [0 1 6]

NUMERO DE MINUTOS REGISTRADOS [0 6 9]

HOJA CODIFICADA PARA EL ESTUDIO DE LAS VARIACIONES CARDIOTOCOGRAFICAS ATRIBUIDAS A LAS CIRCULARES DEL CORDON UMBILICAL

NOMBRE Y APELLIDOS:

GRUPO ESTUDIADO [1] Nº DE Nº DE D.C. [0 1 9 8 7 2] Nº DE UCIP [0 9 3 0 9]

BOLSA [0] L.A. [0] MECONIO [2] SEMANA DE AMENORREA [4 2] SEXO [1]

VITALIDAD [0] EDAD MATERNA [2 3] PARIDAD [0 1] PESO DEL R.N. [3 0 5 0]

FORMA DE TERMINACION DEL PARTO [0] LONGITUD DEL CORDON [6 0] APGAR-1 [0 9]

APGAR-5 [1 0] MORBILIDAD [0]

MADRE: PO_2 [1 1] PCO_2 [3 4] D.B. [-9] HCO_3^- [1 6] P^H [7 3 0]

FETO: ARTERIA. PO_2 [2 8] PCO_2 [6 1] D.B. [-1 6] HCO_3^- [2 3] P^H [7 2 2]

VENA. PO_2 [3 4] PCO_2 [4 4] D.B. [-1 4] HCO_3^- [2 2] P^H [7 3 0]

TIPO DE ACIDOSIS MATERNA [0] TIPO DE ACIDOSIS FETAL [0] Δ-P^H MADRE-FETO [0 0]

Δ-P^H VENA UMBILICAL-ARTERIA UMBILICAL [0 8] PROMEDIO DE ASCENSOS T. [0 6]

PROMEDIO DE ASCENSOS TRANSITORIOS QUE COINCIDEN CON LA CONTRACCION [0 0]

TAQUICARDIA [0] BRADICARDIA [0] VARIABILIDAD DE LA FCF [0 5] DIP-I [0 0]

DIP-II [0 0] TOTAL DIPS UMBILICALES [0 0] DIP-U [0 0] $DIP\text{-}U_p$ [0 0]

$DIP\text{-}U_t$ [0 0] $DIP\text{-}U_e$ [0 0] $DIP\text{-}U_{ep}$ [0 0] $DIP\text{-}U_{et}$ [0 0] $DIP\text{-}U_\lambda$ [0 0]

$DIP\text{-}U_{\lambda p}$ [0 0] $DIP\text{-}U_{\lambda t}$ [0 0] DIP-V [0 0] $DIP\text{-}V_p$ [0 3]

$DIP\text{-}V_t$ [0 0] $DIP\text{-}V_b$ [0 0] NUMERO DE CONTRACCIONES [0 6 5]

NUMERO DE MINUTOS REGISTRADOS [2 0 4]

HOJA CODIFICADA PARA EL ESTUDIO DE LAS VARIACIONES CARDIOTOCOGRAFICAS ATRIBUIDAS A LAS CIRCULARES DEL CORDON UMBILICAL

NOMBRE Y APELLIDOS:

GRUPO ESTUDIADO [1] Nº DE Nº DE D.C. [0 9 3 3 9 1] Nº DE UCIP [1 5 4 5 5]

BOLSA [1] L.A. [2] MECONIO [0] SEMANA DE AMENORREA [3 8] SEXO [1]

VITALIDAD [0] EDAD MATERNA [2 7] PARIDAD [0 0] PESO DEL R.N. [2 5 3 0]

FORMA DE TERMINACION DEL PARTO [0] LONGITUD DEL CORDON [6 5] APGAR-1 [0 9]

APGAR-5 [1 0] MORBILIDAD [0]

MADRE: PO_2 [7 9] PCO_2 [2 6] D.B. [-3] HCO_3^- [1 7] P^H [7 4 7]

FETO: ARTERIA. PO_2 [1 0] PCO_2 [5 4] D.B. [-1 3] HCO_3^- [1 7] P^H [7 1 2]

VENA. PO_2 [2 2] PCO_2 [3 6] D.B. [-8] HCO_3^- [1 7] P^H [7 3 0]

TIPO DE ACIDOSIS MATERNA [0] TIPO DE ACIDOSIS FETAL [3] Δ-P^H MADRE-FETO [1 7]

Δ-P^H VENA UMBILICAL-ARTERIA UMBILICAL [1 8] PROMEDIO DE ASCENSOS T. [3 2]

PROMEDIO DE ASCENSOS TRANSITORIOS QUE COINCIDEN CON LA CONTRACCION [0 0]

TAQUICARDIA [0] BRADICARDIA [0] VARIABILIDAD DE LA FCF [0 8] DIP-I [0 0]

DIP-II [0 0] TOTAL DIPS UMBILICALES [0 6] DIP-U [0 0] $DIP\text{-}U_p$ [0 0]

$DIP\text{-}U_t$ [0 0] $DIP\text{-}U_e$ [0 0] $DIP\text{-}U_{ep}$ [0 0] $DIP\text{-}U_{et}$ [0 0] $DIP\text{-}U_\lambda$ [0 3]

$DIP\text{-}U_{\lambda p}$ [0 3] $DIP\text{-}U_{\lambda t}$ [0 0] DIP-V [0 6] $DIP\text{-}V_p$ [0 0]

$DIP\text{-}V_t$ [0 0] $DIP\text{-}V_b$ [0 0] NUMERO DE CONTRACCIONES [0 3 0]

NUMERO DE MINUTOS REGISTRADOS [0 9 5]

HOJA CODIFICADA PARA EL ESTUDIO DE LAS VARIACIONES CARDIOTOCOGRAFICAS ATRIBUIDAS A LAS CIRCULARES DEL CORDON UMBILICAL

NOMBRE Y APELLIDOS:

GRUPO ESTUDIADO 1 | Nº DE Hª DE D.C. 2 3 4 5 6 7 | 0 8 2 4 0 7 | Nº DE UCIP 8 9 10 11 12 | 1 3 0 2 1

BOLSA 13 | 1 | L.A. 14 | 2 | MECONIO 15 | 2 | SEMANA DE AMENORREA 16 17 | 4 0 | SEXO 18 | 0

VITALIDAD 19 | 0 | EDAD MATERNA 20 21 | 4 0 | PARIDAD 22 23 | 0 2 | PESO DEL R.N. 24 25 26 27 | 4 1 9 0

FORMA DE TERMINACION DEL PARTO 28 | 0 | LONGITUD DEL CORDON 29 30 | 5 0 | APGAR-1 31 32 | 0 9

APGAR-5 33 34 | 1 0 | MORBILIDAD 35 | 0

MADRE: PO_2 36 37 | 7 7 | PCO_2 38 39 | 2 5 | D.B. 40 41 42 | - 8 | HCO_3^- 43 44 | 1 5 | P^H 45 46 47 | 7 3 6

FETO: ARTERIA. PO_2 48 49 | 1 0 | PCO_2 50 51 | 5 0 | D.B. 52 53 54 | - 8 | HCO_3^- 55 56 | 2 0 | P^H 57 58 59 | 7 2 2

VENA. PO_2 60 61 | 3 4 | PCO_2 62 63 | 3 0 | D.B. 64 65 66 | - 5 | HCO_3^- 67 68 | 1 8 | P^H 69 70 71 | 7 3 5

TIPO DE ACIDOSIS MATERNA 72 | 0 | TIPO DE ACIDOSIS FETAL 73 | 0 | Δ-P^H MADRE-FETO 74 75 | 0 1

Δ-P^H VENA UMBILICAL-ARTERIA UMBILICAL 76 77 | 1 3 | PROMEDIO DE ASCENSOS ?. 78 79 | 3 3

PROMEDIO DE ASCENSOS TRANSITORIOS QUE COINCIDEN CON LA CONTRACCION 80 81 | 0 0

TAQUICARDIA 82 | 0 | BRADICARDIA 83 | 0 | VARIABILIDAD DE LA FCF 84 85 | 0 9 | DIP-I 86 87 | 0 0

DIP-II 88 89 | 0 0 | TOTAL DIPS UMBILICALES 90 91 | 1 6 | DIP-U 92 93 | 0 0 | $DIP\text{-}U_p$ 94 95 | 0 0

$DIP\text{-}U_t$ 96 97 | 0 0 | $DIP\text{-}U_e$ 98 99 | 0 0 | $DIP\text{-}U_{ep}$ 100 101 | 0 0 | $DIP\text{-}U_{et}$ 102 103 | 0 0 | $DIP\text{-}U_2$ 104 105 | 0 7

$DIP\text{-}U_{\Delta P}$ 106 107 | 0 4 | $DIP\text{-}U_{\Delta t}$ 108 109 | 0 0 | DIP-V 110 111 | 0 0 | $DIP\text{-}V_p$ 112 113 | 1 1

$DIP\text{-}V_t$ 114 115 | 0 0 | $DIP\text{-}V_b$ 116 117 | 0 0 | NUMERO DE CONTRACCIONES 118 119 120 | 0 4 3

NUMERO DE MINUTOS REGISTRADOS 121 122 123 | 1 6 5

HOJA CODIFICADA PARA EL ESTUDIO DE LAS VARIACIONES CARDIOTOCOGRAFICAS ATRIBUIDAS A LAS CIRCULARES DEL CORDON UMBILICAL

NOMBRE Y APELLIDOS:

GRUPO ESTUDIADO 1 | Nº DE Hª DE D.C. 2 3 4 5 6 7 | 0 7 9 8 8 7 | Nº DE UCIP 8 9 10 11 12 | 1 2 0 7 1

BOLSA 13 | 0 | L.A. 14 | 2 | MECONIO 15 | 1 | SEMANA DE AMENORREA 16 17 | 4 1 | SEXO 18 | 0

VITALIDAD 19 | 0 | EDAD MATERNA 20 21 | 3 5 | PARIDAD 22 23 | 0 4 | PESO DEL R.N. 24 25 26 27 | 3 2 2 0

FORMA DE TERMINACION DEL PARTO 28 | 1 | LONGITUD DEL CORDON 29 30 | 8 4 | APGAR-1 31 32 | 0 9

APGAR-5 33 34 | 0 9 | MORBILIDAD 35 | 0

MADRE: PO_2 36 37 | 9 2 | PCO_2 38 39 | 2 4 | D.B. 40 41 42 | - - 9 | HCO_3^- 43 44 | 1 3 | P^H 45 46 47 | 7 3 7

FETO: ARTERIA. PO_2 48 49 | 1 8 | PCO_2 50 51 | 4 7 | D.B. 52 53 54 | - - 8 | HCO_3^- 55 56 | 1 9 | P^H 57 58 59 | 7 2 2

VENA. PO_2 60 61 | 3 4 | PCO_2 62 63 | 3 1 | D.B. 64 65 66 | - - 6 | HCO_3^- 67 68 | 1 8 | P^H 69 70 71 | 7 3 5

TIPO DE ACIDOSIS MATERNA 72 | 0 | TIPO DE ACIDOSIS FETAL 73 | 0 | Δ-P^H MADRE-FETO 74 75 | 0 2

Δ-P^H VENA UMBILICAL-ARTERIA UMBILICAL 76 77 | 1 3 | PROMEDIO DE ASCENSOS ?. 78 79 | 2 1

PROMEDIO DE ASCENSOS TRANSITORIOS QUE COINCIDEN CON LA CONTRACCION 80 81 | 0 2

TAQUICARDIA 82 | 0 | BRADICARDIA 83 | 0 | VARIABILIDAD DE LA FCF 84 85 | 0 5 | DIP-I 86 87 | 0 0

DIP-II 88 89 | 0 0 | TOTAL DIPS UMBILICALES 90 91 | 3 0 | DIP-U 92 93 | 0 0 | $DIP\text{-}U_p$ 94 95 | 0 4

$DIP\text{-}U_t$ 96 97 | 0 1 | $DIP\text{-}U_e$ 98 99 | 0 0 | $DIP\text{-}U_{ep}$ 100 101 | 0 0 | $DIP\text{-}U_{et}$ 102 103 | 0 0 | $DIP\text{-}U_2$ 104 105 | 1 2

$DIP\text{-}U_{\Delta P}$ 106 107 | 1 2 | $DIP\text{-}U_{\Delta t}$ 108 109 | 0 0 | DIP-V 110 111 | 0 0 | $DIP\text{-}V_p$ 112 113 | 0 0

$DIP\text{-}V_t$ 114 115 | 0 0 | $DIP\text{-}V_b$ 116 117 | 0 0 | NUMERO DE CONTRACCIONES 118 119 120 | 0 6 7

NUMERO DE MINUTOS REGISTRADOS 121 122 123 | 2 7 0

HOJA CODIFICADA PARA EL ESTUDIO DE LAS VARIACIONES CARDIOTOCOGRAFICAS ATRIBUIDAS A LAS CIRCULARES DEL CORDON UMBILICAL

NOMBRE Y APELLIDOS:

GRUPO ESTUDIADO 1 | Nº DE Hª DE D.C. 2 3 4 5 6 7 | 0 8 4 1 4 7 | Nº DE UCIP 8 9 10 11 12 | 1 3 1 3 7

BOLSA 13 | 0 | L.A. 14 | 2 | MECONIO 15 | 1 | SEMANA DE AMENORREA 16 17 | 4 0 | SEXO 18 | 1

VITALIDAD 19 | 0 | EDAD MATERNA 20 21 | 3 3 | PARIDAD 22 23 | 0 1 | PESO DEL R.N. 24 25 26 27 | 3 4 3 0

FORMA DE TERMINACION DEL PARTO 28 | 1 | LONGITUD DEL CORDON 29 30 | 5 0 | APGAR-1 31 32 | 0 9

APGAR-5 33 34 | 1 0 | MORBILIDAD 35 | 0

MADRE: PO_2 36 37 | 7 1 | PCO_2 38 39 | 3 0 | D.B. 40 41 42 | - - 7 | HCO_3^- 43 44 | 1 6 | P^H 45 46 47 | 7 3 8

FETO: ARTERIA. PO_2 48 49 | 1 0 | PCO_2 50 51 | 5 6 | D.B. 52 53 54 | - - 3 | HCO_3^- 55 56 | 2 7 | P^H 57 58 59 | 7 3 0

VENA. PO_2 60 61 | 2 6 | PCO_2 62 63 | 3 7 | D.B. 64 65 66 | - - 2 | HCO_3^- 67 68 | 2 1 | P^H 69 70 71 | 7 3 7

TIPO DE ACIDOSIS MATERNA 72 | 0 | TIPO DE ACIDOSIS FETAL 73 | 0 | Δ-P^H MADRE-FETO 74 75 | 0 1

Δ-P^H VENA UMBILICAL-ARTERIA UMBILICAL 76 77 | 0 7 | PROMEDIO DE ASCENSOS ?. 78 79 | 2 9

PROMEDIO DE ASCENSOS TRANSITORIOS QUE COINCIDEN CON LA CONTRACCION 80 81 | 0 0

TAQUICARDIA 82 | 0 | BRADICARDIA 83 | 0 | VARIABILIDAD DE LA FCF 84 85 | 0 7 | DIP-I 86 87 | 0 0

DIP II 88 89 | 0 0 | TOTAL DIPS UMBILICALES 90 91 | 2 0 | DIP-U 92 93 | 0 0 | $DIP\text{-}U_p$ 94 95 | 0 0

$DIP\text{-}U_t$ 96 97 | 0 0 | $DIP\text{-}U_e$ 98 99 | 0 0 | $DIP\text{-}U_{ep}$ 100 101 | 0 0 | $DIP\text{-}U_{et}$ 102 103 | 0 0 | $DIP\text{-}U_2$ 104 105 | 1 5

$DIP\text{-}U_{\Delta P}$ 106 107 | 0 5 | $DIP\text{-}U_{\Delta t}$ 108 109 | 0 0 | DIP-V 110 111 | 0 0 | $DIP\text{-}V_p$ 112 113 | 0 0

$DIP\text{-}V_t$ 114 115 | 0 0 | $DIP\text{-}V_b$ 116 117 | 0 0 | NUMERO DE CONTRACCIONES 118 119 120 | 0 0 6

NUMERO DE MINUTOS REGISTRADOS 121 122 123 | 1 2 3

HOJA CODIFICADA PARA EL ESTUDIO DE LAS VARIACIONES CARDIOTOCOGRAFICAS ATRIBUIDAS A LAS CIRCULARES DEL CORDON UMBILICAL

NOMBRE Y APELLIDOS:

GRUPO ESTUDIADO 1 | Nº DE Hª DE D.C. 2 3 4 5 6 7 | 0 2 6 8 2 1 | Nº DE UCIP 8 9 10 11 12 | 0 9 3 8 4

BOLSA 13 | 0 | L.A. 14 | 2 | MECONIO 15 | 1 | SEMANA DE AMENORREA 16 17 | 4 2 | SEXO 18 | 1

VITALIDAD 19 | 0 | EDAD MATERNA 20 21 | 3 7 | PARIDAD 22 23 | 0 0 | PESO DEL R.N. 24 25 26 27 | 3 6 7 0

FORMA DE TERMINACION DEL PARTO 28 | 0 | LONGITUD DEL CORDON 29 30 | 6 5 | APGAR-1 31 32 | 0 9

APGAR-5 33 34 | 0 9 | MORBILIDAD 35 | 0

MADRE: PO_2 36 37 | - - | PCO_2 38 39 | - - | D.B. 40 41 42 | - - - | HCO_3^- 43 44 | - - | P^H 45 46 47 | - - -

FETO: ARTERIA. PO_2 48 49 | 1 3 | PCO_2 50 51 | 5 8 | D.B. 52 53 54 | - - 4 | HCO_3^- 55 56 | 2 5 | P^H 57 58 59 | 7 2 4

VENA. PO_2 60 61 | 2 0 | PCO_2 62 63 | 4 7 | D.B. 64 65 66 | - - 3 | HCO_3^- 67 68 | 2 4 | P^H 69 70 71 | 7 3 1

TIPO DE ACIDOSIS MATERNA 72 | - | TIPO DE ACIDOSIS FETAL 73 | 0 | Δ-P^H MADRE-FETO 74 75 | - -

Δ-P^H VENA UMBILICAL-ARTERIA UMBILICAL 76 77 | 0 7 | PROMEDIO DE ASCENSOS ?. 78 79 | 3 2

PROMEDIO DE ASCENSOS TRANSITORIOS QUE COINCIDEN CON LA CONTRACCION 80 81 | 0 5

TAQUICARDIA 82 | 0 | BRADICARDIA 83 | 0 | VARIABILIDAD DE LA FCF 84 85 | 0 9 | DIP-I 86 87 | 0 0

DIP-II 88 89 | 0 0 | TOTAL DIPS UMBILICALES 90 91 | 2 2 | DIP-U 92 93 | 0 0 | $DIP\text{-}U_p$ 94 95 | 0 0

$DIP\text{-}U_t$ 96 97 | 0 0 | $DIP\text{-}U_e$ 98 99 | 0 0 | $DIP\text{-}U_{ep}$ 100 101 | 0 0 | $DIP\text{-}U_{et}$ 102 103 | 0 0 | $DIP\text{-}U_2$ 104 105 | 2 2

$DIP\text{-}U_{\Delta P}$ 106 107 | 0 0 | $DIP\text{-}U_{\Delta t}$ 108 109 | 0 0 | DIP-V 110 111 | 0 0 | $DIP\text{-}V_p$ 112 113 | 0 0

$DIP\text{-}V_t$ 114 115 | 0 0 | $DIP\text{-}V_b$ 116 117 | 0 0 | NUMERO DE CONTRACCIONES 118 119 120 | 0 0 6

NUMERO DE MINUTOS REGISTRADOS 121 122 123 | 0 6 6

HOJA CODIFICADA PARA EL ESTUDIO DE LAS VARIACIONES CARDIOTOCOGRAFICAS ATRIBUIDAS A LAS CIRCULARES DEL CORDON UMBILICAL

NOMBRE Y APELLIDOS:

GRUPO ESTUDIADO [1] Nº DE Hª DE D.C. [0 0 3 4 1 7] Nº DE UCIP [0 8 7 2 1]

BOLSA [0] L.A. [2] MECONIO [0] SEMANA DE AMENORREA [4 2] SEXO [1]

VITALIDAD [0] EDAD MATERNA [3 1] PARIDAD [0 1] PESO DEL R.N. [3 2 7 0]

FORMA DE TERMINACION DEL PARTO [1] LONGITUD DEL CORDON [6 0] APGAR-1 [0 9]

APGAR-5 [1 0] MORBILIDAD [0]

MADRE: PO_2 [9 2] PCO_2 [2 7] D.B. [- - 8] HCO_3^- [1 5] P^H [7 3 2]

FETO: ARTERIA. PO_2 [1 2] PCO_2 [6 3] D.B. [- - 7] HCO_3^- [2 4] P^H [7 2 0]

VENA. PO_2 [2 9] PCO_2 [3 9] D.B. [- - 5] HCO_3^- [2 0] P^H [7 3 1]

TIPO DE ACIDOSIS MATERNA [0] TIPO DE ACIDOSIS FETAL [3] Δ-P^H MADRE-FETO [0 1]

Δ-P^H VENA UMBILICAL-ARTERIA UMBILICAL [1 1] PROMEDIO DE ASCENSOS T. [1 8]

PROMEDIO DE ASCENSOS TRANSITORIOS QUE COINCIDEN CON LA CONTRACCION [0 0]

TAQUICARDIA [0] BRADICARDIA [0] VARIABILIDAD DE LA FCF [0 8] DIP-I [0 0]

DIP-II [0 0] TOTAL DIPS UMBILICALES [0 2] DIP-U [0 0] $DIP\text{-}U_p$ [0 0]

$DIP\text{-}U_t$ [0 0] $DIP\text{-}U_a$ [0 0] $DIP\text{-}U_{ap}$ [0 0] $DIP\text{-}U_{at}$ [0 0] $DIP\text{-}U_\lambda$ [0 0]

$DIP\text{-}U_{\lambda p}$ [0 2] $DIP\text{-}U_{\lambda t}$ [0 0] DIP-V [0 0] $DIP\text{-}V_p$ [0 2]

$DIP\text{-}V_t$ [0 2] $DIP\text{-}V_b$ [0 0] NUMERO DE CONTRACCIONES [0 1 5]

NUMERO DE MINUTOS REGISTRADOS [1 3 0]

HOJA CODIFICADA PARA EL ESTUDIO DE LAS VARIACIONES CARDIOTOCOGRAFICAS ATRIBUIDAS A LAS CIRCULARES DEL CORDON UMBILICAL

NOMBRE Y APELLIDOS:

GRUPO ESTUDIADO [1] Nº DE Hª DE D.C. [0 2 1 4 8 7] Nº DE UCIP [1 2 0 0 3]

BOLSA [0] L.A. [2] MECONIO [2] SEMANA DE AMENORREA [3 7] SEXO [0]

VITALIDAD [0] EDAD MATERNA [1 8] PARIDAD [0 0] PESO DEL R.N. [3 0 2 0]

FORMA DE TERMINACION DEL PARTO [1] LONGITUD DEL CORDON [6 0] APGAR-1 [0 9]

APGAR-5 [1 0] MORBILIDAD [0]

MADRE: PO_2 [- -] PCO_2 [- -] D.B. [- - - -] HCO_3^- [- -] P^H [- - - -]

FETO: ARTERIA. PO_2 [- -] PCO_2 [- -] D.B. [- - - -] HCO_3^- [- -] P^H [- - - -]

VENA. PO_2 [- -] PCO_2 [- -] D.B. [- - - -] HCO_3^- [- -] P^H [- - - -]

TIPO DE ACIDOSIS MATERNA [-] TIPO DE ACIDOSIS FETAL [-] Δ-P^H MADRE-FETO [- -]

Δ-P^H VENA UMBILICAL-ARTERIA UMBILICAL [- -] PROMEDIO DE ASCENSOS T. [5 4]

PROMEDIO DE ASCENSOS TRANSITORIOS QUE COINCIDEN CON LA CONTRACCION [1 4]

TAQUICARDIA [0] BRADICARDIA [0] VARIABILIDAD DE LA FCF [1 0] DIP-I [0 0]

DIP-II [0 0] TOTAL DIPS UMBILICALES [0 6] DIP-U [0 0] $DIP\text{-}U_p$ [0 0]

$DIP\text{-}U_t$ [0 0] $DIP\text{-}U_a$ [0 0] $DIP\text{-}U_{ap}$ [0 0] $DIP\text{-}U_{at}$ [0 0] $DIP\text{-}U_\lambda$ [0 6]

$DIP\text{-}U_{\lambda p}$ [0 0] $DIP\text{-}U_{\lambda t}$ [0 0] DIP-V [0 2] $DIP\text{-}V_p$ [0 1 0]

$DIP\text{-}V_t$ [0 1 0] $DIP\text{-}V_b$ [0 0] NUMERO DE CONTRACCIONES [0 0 4]

NUMERO DE MINUTOS REGISTRADOS [1 5 0]

HOJA CODIFICADA PARA EL ESTUDIO DE LAS VARIACIONES CARDIOTOCOGRAFICAS ATRIBUIDAS A LAS CIRCULARES DEL CORDON UMBILICAL

NOMBRE Y APELLIDOS:

GRUPO ESTUDIADO [1] Nº DE Hª DE D.C. [0 8 2 5 1 2] Nº DE UCIP [1 3 0 2 2]

BOLSA [0] L.A. [2] MECONIO [2] SEMANA DE AMENORREA [4 0] SEXO [1]

VITALIDAD [0] EDAD MATERNA [3 2] PARIDAD [0 0] PESO DEL R.N. [3 6 0 0]

FORMA DE TERMINACION DEL PARTO [2] LONGITUD DEL CORDON [5 5] APGAR-1 [0 9]

APGAR-5 [1 0] MORBILIDAD [0]

MADRE: PO_2 [8 5] PCO_2 [2 1] D.B. [- - 1] HCO_3^- [1 7] P^H [7 3 4]

FETO: ARTERIA. PO_2 [2 5] PCO_2 [4 9] D.B. [- - 8] HCO_3^- [1 9] P^H [7 2 0]

VENA. PO_2 [3 3] PCO_2 [3 8] D.B. [- - 9] HCO_3^- [1 9] P^H [7 2 7]

TIPO DE ACIDOSIS MATERNA [0] TIPO DE ACIDOSIS FETAL [3] Δ-P^H MADRE-FETO [0 7]

Δ-P^H VENA UMBILICAL-ARTERIA UMBILICAL [0 7] PROMEDIO DE ASCENSOS T. [3 6]

PROMEDIO DE ASCENSOS TRANSITORIOS QUE COINCIDEN CON LA CONTRACCION [0 0]

TAQUICARDIA [0] BRADICARDIA [0] VARIABILIDAD DE LA FCF [0 8] DIP-I [0 0]

DIP-II [0 0] TOTAL DIPS UMBILICALES [1 9] DIP-U [0 0] $DIP\text{-}U_p$ [0 0]

$DIP\text{-}U_t$ [0 0] $DIP\text{-}U_a$ [0 0] $DIP\text{-}U_{ap}$ [0 0] $DIP\text{-}U_{at}$ [0 0] $DIP\text{-}U_\lambda$ [1 4]

$DIP\text{-}U_{\lambda p}$ [0 5] $DIP\text{-}U_{\lambda t}$ [0 0] DIP-V [0 7] $DIP\text{-}V_p$ [0 0]

$DIP\text{-}V_t$ [0 0] $DIP\text{-}V_b$ [0 0] NUMERO DE CONTRACCIONES [0 1 5]

NUMERO DE MINUTOS REGISTRADOS [1 2 6]

HOJA CODIFICADA PARA EL ESTUDIO DE LAS VARIACIONES CARDIOTOCOGRAFICAS ATRIBUIDAS A LAS CIRCULARES DEL CORDON UMBILICAL

NOMBRE Y APELLIDOS:

GRUPO ESTUDIADO [1] Nº DE Hª DE D.C. [0 7 3 9 8 9] Nº DE UCIP [1 1 4 1 1 4]

BOLSA [0] L.A. [2] MECONIO [2] SEMANA DE AMENORREA [4 1] SEXO [0]

VITALIDAD [0] EDAD MATERNA [1 5] PARIDAD [0 0] PESO DEL R.N. [3 7 0 0]

FORMA DE TERMINACION DEL PARTO [0] LONGITUD DEL CORDON [6 0] APGAR-1 [0 9]

APGAR-5 [1 0] MORBILIDAD [0]

MADRE: PO_2 [7 4] PCO_2 [2 6] D.B. [- - 7] HCO_3^- [1 6] P^H [7 4 1]

FETO: ARTERIA. PO_2 [1 8] PCO_2 [6 5] D.B. [- - 3] HCO_3^- [2 7] P^H [7 2 3]

VENA. PO_2 [2 6] PCO_2 [4 2] D.B. [- - 3] HCO_3^- [2 3] P^H [7 3 4]

TIPO DE ACIDOSIS MATERNA [0] TIPO DE ACIDOSIS FETAL [0] Δ-P^H MADRE-FETO [0 7]

Δ-P^H VENA UMBILICAL-ARTERIA UMBILICAL [1 1] PROMEDIO DE ASCENSOS T. [2 8]

PROMEDIO DE ASCENSOS TRANSITORIOS QUE COINCIDEN CON LA CONTRACCION [0 7]

TAQUICARDIA [0] BRADICARDIA [1] VARIABILIDAD DE LA FCF [0 7] DIP-I [0 0]

DIP-II [0 0] TOTAL DIPS UMBILICALES [0 7] DIP-U [0 0] $DIP\text{-}U_p$ [0 0]

$DIP\text{-}U_t$ [0 0] $DIP\text{-}U_a$ [0 0] $DIP\text{-}U_{ap}$ [0 0] $DIP\text{-}U_{at}$ [0 0] $DIP\text{-}U_\lambda$ [0 7]

$DIP\text{-}U_{\lambda p}$ [0 0] $DIP\text{-}U_{\lambda t}$ [0 0] DIP-V [0 0] $DIP\text{-}V_p$ [0 0]

$DIP\text{-}V_t$ [0 0] $DIP\text{-}V_b$ [0 0] NUMERO DE CONTRACCIONES [0 0 1]

NUMERO DE MINUTOS REGISTRADOS [1 3 7]

HOJA CODIFICADA PARA EL ESTUDIO DE LAS VARIACIONES CARDIOTOCOGRAFICAS ATRIBUIDAS A LAS CIRCULARES DEL CORDON UMBILICAL

NOMBRE Y APELLIDOS:

GRUPO ESTUDIADO 1 | Nº DE Hª DE D.C. 2 3 4 5 6 7: 0 7 9 1 3 5 | Nº DE UCIP 8 9 10 11 12: 1 2 4 1 4

BOLSA 13: 0 | L.A. 14: 3 | MECONIO 15: 2 | SEMANA DE AMENORREA 16 17: 4 1 | SEXO 18: 0

VITALIDAD 19: 0 | EDAD MATERNA 20 21: 2 5 | PARIDAD 22 23: 0 0 | PESO DEL R.N. 24 25 26 27: 3 4 8 0

FORMA DE TERMINACION DEL PARTO 28: 1 | LONGITUD DEL CORDON 29 30: 8 0 | APGAR-1 31 32: 0 9

APGAR-5 33 34: 1 0 | MORBILIDAD 35: 0

MADRE: PO_2 36 37: 9 3 | PCO_2 38 39: 2 5 | D.B. 40 41 42: - 1 2 | HCO_3^- 43 44: 1 2 | P^H 45 46 47: 7 3 4

FETO: ARTERIA. PO_2 48 49: 1 4 | PCO_2 50 51: 5 0 | D.B. 52 53 54: - 1 7 | HCO_3^- 55 56: 1 9 | P^H 57 58 59: 7 2 1

VENA. PO_2 60 61: 2 7 | PCO_2 62 63: 3 7 | D.B. 64 65 66: - 1 8 | HCO_3^- 67 68: 1 7 | P^H 69 70 71: 7 2 9

TIPO DE ACIDOSIS MATERNA 72: 0 | TIPO DE ACIDOSIS FETAL 73: 0 | Δ-P^H MADRE-FETO 74 75: 0 5

Δ-P^H VENA UMBILICAL-ARTERIA UMBILICAL 76 77: 0 8 | PROMEDIO DE ASCENSOS ?. 78 79: 0 8

PROMEDIO DE ASCENSOS TRANSITORIOS QUE COINCIDEN CON LA CONTRACCION 80 81: 0 3

TAQUICARDIA 82: 0 | BRADICARDIA 83: 1 | VARIABILIDAD DE LA FCF 84 85: 0 4 | DIP-I 86 87: 0 0

DIP-II 88 89: 0 0 | TOTAL DIPS UMBILICALES 90 91: 0 1 | DIP-U 92 93: 0 0 | $DIP\text{-}U_p$ 94 95: 0 0

$DIP\text{-}U_t$ 96 97: 0 0 | $DIP\text{-}U_v$ 98 99: 0 0 | $DIP\text{-}U_{v_1}$ 100 101: 0 0 | $DIP\text{-}U_{v_2}$ 102 103: 0 0 | $DIP\text{-}U_\lambda$ 104 105: 0 1

$DIP\text{-}U_{\lambda p}$ 106 107: 0 0 | $DIP\text{-}U_{\lambda t}$ 108 109: 0 0 | DIP-V 110 111: 0 0 | $DIP\text{-}V_p$ 112 113: 0 0

$DIP\text{-}V_t$ 114 115: 0 0 | $DIP\text{-}V_b$ 116 117: 0 0 | NUMERO DE CONTRACCIONES 118 119 120: 0 8 2

NUMERO DE MINUTOS REGISTRADOS 121 122 123: 2 7 7

HOJA CODIFICADA PARA EL ESTUDIO DE LAS VARIACIONES CARDIOTOCOGRAFICAS ATRIBUIDAS A LAS CIRCULARES DEL CORDON UMBILICAL

NOMBRE Y APELLIDOS:

GRUPO ESTUDIADO 1 | Nº DE Hª DE D.C. 2 3 4 5 6 7: 0 1 1 6 9 5 | Nº DE UCIP 8 9 10 11 12: 0 8 8 8 2

BOLSA 13: 0 | L.A. 14: 2 | MECONIO 15: 2 | SEMANA DE AMENORREA 16 17: 4 0 | SEXO 18: 1

VITALIDAD 19: 0 | EDAD MATERNA 20 21: 2 6 | PARIDAD 22 23: 0 0 | PESO DEL R.N. 24 25 26 27: 3 0 5 0

FORMA DE TERMINACION DEL PARTO 28: 1 | LONGITUD DEL CORDON 29 30: 6 9 | APGAR-1 31 32: 0 9

APGAR-5 33 34: 1 0 | MORBILIDAD 35: 0

MADRE: PO_2 36 37: 7 7 | PCO_2 38 39: 2 7 | D.B. 40 41 42: - 1 | HCO_3^- 43 44: 1 6 | P^H 45 46 47: 7 3 8

FETO: ARTERIA. PO_2 48 49: 0 7 | PCO_2 50 51: 5 4 | D.B. 52 53 54: - 1 5 | HCO_3^- 55 56: 2 3 | P^H 57 58 59: 7 2 5

VENA. PO_2 60 61: 1 6 | PCO_2 62 63: 4 7 | D.B. 64 65 66: - 1 5 | HCO_3^- 67 68: 2 2 | P^H 69 70 71: 7 2 9

TIPO DE ACIDOSIS MATERNA 72: 0 | TIPO DE ACIDOSIS FETAL 73: 0 | Δ-P^H MADRE-FETO 74 75: 0 9

Δ-P^H VENA UMBILICAL-ARTERIA UMBILICAL 76 77: 0 4 | PROMEDIO DE ASCENSOS ?. 78 79: 2 3

PROMEDIO DE ASCENSOS TRANSITORIOS QUE COINCIDEN CON LA CONTRACCION 80 81: 0 2

TAQUICARDIA 82: 0 | BRADICARDIA 83: 0 | VARIABILIDAD DE LA FCF 84 85: 0 5 | DIP-I 86 87: 0 0

DIP-II 88 89: 0 0 | TOTAL DIPS UMBILICALES 90 91: 0 8 | DIP-U 92 93: 0 0 | $DIP\text{-}U_p$ 94 95: 0 0

$DIP\text{-}U_t$ 96 97: 0 0 | $DIP\text{-}U_v$ 98 99: 0 0 | $DIP\text{-}U_{v_1}$ 100 101: 0 0 | $DIP\text{-}U_{v_2}$ 102 103: 0 0 | $DIP\text{-}U_\lambda$ 104 105: 0 6

$DIP\text{-}U_{\lambda p}$ 106 107: 0 2 | $DIP\text{-}U_{\lambda t}$ 108 109: 0 0 | DIP-V 110 111: 0 0 | $DIP\text{-}V_p$ 112 113: 0 3

$DIP\text{-}V_t$ 114 115: 0 0 | $DIP\text{-}V_b$ 116 117: 0 0 | NUMERO DE CONTRACCIONES 118 119 120: 0 5 6

NUMERO DE MINUTOS REGISTRADOS 121 122 123: 2 0 0

HOJA CODIFICADA PARA EL ESTUDIO DE LAS VARIACIONES CARDIOTOCOGRAFICAS ATRIBUIDAS A LAS CIRCULARES DEL CORDON UMBILICAL

NOMBRE Y APELLIDOS:

GRUPO ESTUDIADO 1 | Nº DE Hª DE D.C. 2 3 4 5 6 7: 0 3 0 6 4 2 | Nº DE UCIP 8 9 10 11 12: 0 9 0 7 7

BOLSA 13: 0 | L.A. 14: 1 | MECONIO 15: 0 | SEMANA DE AMENORREA 16 17: 3 8 | SEXO 18: 1

VITALIDAD 19: 0 | EDAD MATERNA 20 21: 2 2 | PARIDAD 22 23: 0 0 | PESO DEL R.N. 24 25 26 27: 3 6 1 0

FORMA DE TERMINACION DEL PARTO 28: 1 | LONGITUD DEL CORDON 29 30: 6 5 | APGAR-1 31 32: 0 9

APGAR-5 33 34: 1 0 | MORBILIDAD 35: 0

MADRE: PO_2 36 37: 7 8 | PCO_2 38 39: 2 5 | D.B. 40 41 42: - 1 8 | HCO_3^- 43 44: 1 4 | P^H 45 46 47: 7 3 7

FETO: ARTERIA. PO_2 48 49: 1 1 | PCO_2 50 51: 5 6 | D.B. 52 53 54: - 1 1 0 | HCO_3^- 55 56: 1 9 | P^H 57 58 59: 7 1 5

VENA. PO_2 60 61: 1 6 | PCO_2 62 63: 5 0 | D.B. 64 65 66: - 1 8 | HCO_3^- 67 68: 2 1 | P^H 69 70 71: 7 2 2

TIPO DE ACIDOSIS MATERNA 72: 0 | TIPO DE ACIDOSIS FETAL 73: 3 | Δ-P^H MADRE-FETO 74 75: 1 5

Δ-P^H VENA UMBILICAL-ARTERIA UMBILICAL 76 77: 0 7 | PROMEDIO DE ASCENSOS ?. 78 79: 1 3

PROMEDIO DE ASCENSOS TRANSITORIOS QUE COINCIDEN CON LA CONTRACCION 80 81: 0 3

TAQUICARDIA 82: 0 | BRADICARDIA 83: 0 | VARIABILIDAD DE LA FCF 84 85: 0 2 | DIP-I 86 87: 0 0

DIP-II 88 89: 0 0 | TOTAL DIPS UMBILICALES 90 91: 0 5 | DIP-U 92 93: 0 0 | $DIP\text{-}U_p$ 94 95: 0 0

$DIP\text{-}U_t$ 96 97: 0 0 | $DIP\text{-}U_v$ 98 99: 0 0 | $DIP\text{-}U_{v_1}$ 100 101: 0 0 | $DIP\text{-}U_{v_2}$ 102 103: 0 0 | $DIP\text{-}U_\lambda$ 104 105: 0 2

$DIP\text{-}U_{\lambda p}$ 106 107: 0 3 | $DIP\text{-}U_{\lambda t}$ 108 109: 0 0 | DIP-V 110 111: 0 0 | $DIP\text{-}V_p$ 112 113: 0 0

$DIP\text{-}V_t$ 114 115: 0 0 | $DIP\text{-}V_b$ 116 117: 0 0 | NUMERO DE CONTRACCIONES 118 119 120: 0 4 6

NUMERO DE MINUTOS REGISTRADOS 121 122 123: 1 8 0

HOJA CODIFICADA PARA EL ESTUDIO DE LAS VARIACIONES CARDIOTOCOGRAFICAS ATRIBUIDAS A LAS CIRCULARES DEL CORDON UMBILICAL

NOMBRE Y APELLIDOS:

GRUPO ESTUDIADO 1 | Nº DE Hª DE D.C. 2 3 4 5 6 7: 0 8 4 3 0 4 | Nº DE UCIP 8 9 10 11 12: 1 5 7 3 0

BOLSA 13: 0 | L.A. 14: 2 | MECONIO 15: 1 | SEMANA DE AMENORREA 16 17: 3 9 | SEXO 18: 0

VITALIDAD 19: 0 | EDAD MATERNA 20 21: 4 3 | PARIDAD 22 23: 0 2 | PESO DEL R.N. 24 25 26 27: 3 7 2 0

FORMA DE TERMINACION DEL PARTO 28: 1 | LONGITUD DEL CORDON 29 30: 6 5 | APGAR-1 31 32: 0 9

APGAR-5 33 34: 1 0 | MORBILIDAD 35: 0

MADRE: PO_2 36 37: 8 4 | PCO_2 38 39: 2 4 | D.B. 40 41 42: - 1 8 | HCO_3^- 43 44: 1 5 | P^H 45 46 47: 7 4 0

FETO: ARTERIA. PO_2 48 49: 1 2 | PCO_2 50 51: 5 1 | D.B. 52 53 54: 0 | HCO_3^- 55 56: 2 7 | P^H 57 58 59: 7 3 3

VENA. PO_2 60 61: 2 8 | PCO_2 62 63: 3 9 | D.B. 64 65 66: 0 | HCO^- 67 68: 2 7 | P^H 69 70 71: 7 3 8

TIPO DE ACIDOSIS MATERNA 72: 0 | TIPO DE ACIDOSIS FETAL 73: 0 | Δ-P^H MADRE-FETO 74 75: 0 2

Δ-P^H VENA UMBILICAL-ARTERIA UMBILICAL 76 77: 0 5 | PROMEDIO DE ASCENSOS ?. 78 79: 1 6

PROMEDIO DE ASCENSOS TRANSITORIOS QUE COINCIDEN CON LA CONTRACCION 80 81: 0 3

TAQUICARDIA 82: 0 | BRADICARDIA 83: 0 | VARIABILIDAD DE LA FCF 84 85: 0 8 | DIP-I 86 87: 0 0

DIP-II 88 89: 0 0 | TOTAL DIPS UMBILICALES 90 91: 0 3 | DIP-U 92 93: 0 0 | $DIP\text{-}U_p$ 94 95: 0 0

$DIP\text{-}U_t$ 96 97: 0 0 | $DIP\text{-}U_v$ 98 99: 0 0 | $DIP\text{-}U_{v_1}$ 100 101: 0 0 | $DIP\text{-}U_{v_2}$ 102 103: 0 0 | $DIP\text{-}U_\lambda$ 104 105: 0 3

$DIP\text{-}U_{\lambda p}$ 106 107: 0 1 | $DIP\text{-}U_{\lambda t}$ 108 109: 0 0 | DIP-V 110 111: 0 2 | $DIP\text{-}V_p$ 112 113: 0 0

$DIP\text{-}V_t$ 114 115: 0 0 | $DIP\text{-}V_b$ 116 117: 0 0 | NUMERO DE CONTRACCIONES 118 119 120: 0 8 1

NUMERO DE MINUTOS REGISTRADOS 121 122 123: 2 8 2

HOJA CODIFICADA PARA EL ESTUDIO DE LAS VARIACIONES CARDIOTOCOGRAFICAS ATRIBUIDAS A LAS CIRCULARES DEL CORDON UMBILICAL

NOMBRE Y APELLIDOS:

GRUPO ESTUDIADO [1] Nº DE Nº DE D.C. [2 3 4 5 6 7: 0 8 4 3 0 4] Nº DE UCIP [8 9 10 11 12: 1 5 7 3 0]

BOLSA [13: 1] L.A. [14: 2] MECONIO [15: 1] SEMANA DE AMENORREA [16 17: 3 9] SEXO [18: 0]

VITALIDAD [19: 0] EDAD MATERNA [20 21: 4 3] PARIDAD [22 23: 0 2] PESO DEL R.N. [24 25 26 27: 3 7 2 0]

FORMA DE TERMINACION DEL PARTO [28: 1] LONGITUD DEL CORDON [29 30: 6 5] APGAR-1 [31 32: 0 9]

APGAR-5 [33 34: 1 0] MORBILIDAD [35: 0]

MADRE: PO_2 [36 37: 8 4] PCO_2 [38 39: 2 4] D.B. [40 41 42: - 8] HCO_3^- [43 44: 1 5] P^H [45 46 47: 7 4 0]

FETO: ARTERIA. PO_2 [48 49: 1 2] PCO_2 [50 51: 5 1] D.B. [52 53 54: 0] HCO_3^- [55 56: 2 7] P^H [57 58 59: 7 3 3]

VENA. PO_2 [60 61: 2 8] PCO_2 [62 63: 3 9] D.B. [64 65 66: 0] HCO_3^- [67 68: 2 7] P^H [69 70 71: 7 3 8]

TIPO DE ACIDOSIS MATERNA [72: 0] TIPO DE ACIDOSIS FETAL [73: 0] Δ-P^H MADRE-FETO [74 75: 0 2]

Δ-P^H VENA UMBILICAL-ARTERIA UMBILICAL [76 77: 0 5] PROMEDIO DE ASCENSOS ?. [78 79: 0 0]

PROMEDIO DE ASCENSOS TRANSITORIOS QUE COINCIDEN CON LA CONTRACCION [80 81: 0 0]

TAQUICARDIA [82: 0] BRADICARDIA [83: 0] VARIABILIDAD DE LA FCF [84 85: 0 8] DIP-I [86 87: 1 0]

DIP-II [88 89: 0 0] TOTAL DIPS UMBILICALES [90 91: 1 0] DIP-U [92 93: 0 0] $DIP\text{-}U_p$ [94 95: 0 0]

$DIP\text{-}U_t$ [96 97: 0 0] $DIP\text{-}U_v$ [98 99: 0 0] $DIP\text{-}U_{vp}$ [100 101: 0 0] $DIP\text{-}U_{vt}$ [102 103: 0 0] $DIP\text{-}U_\lambda$ [104 105: 0 5]

$DIP\text{-}U_{\lambda p}$ [106 107: 0 0] $DIP\text{-}U_{\lambda t}$ [108 109: 0 5] DIP-V [110 111: 2 5] $DIP\text{-}V_p$ [112 113: 3 5]

$DIP\text{-}V_t$ [114 115: 0 0] $DIP\text{-}V_b$ [116 117: 0 0] NUMERO DE CONTRACCIONES [118 119 120: 0 1 6]

NUMERO DE MINUTOS REGISTRADOS [121 122 123: 0 6 0]

HOJA CODIFICADA PARA EL ESTUDIO DE LAS VARIACIONES CARDIOTOCOGRAFICAS ATRIBUIDAS A LAS CIRCULARES DEL CORDON UMBILICAL

NOMBRE Y APELLIDOS:

GRUPO ESTUDIADO [1] Nº DE Nº DE D.C. [2 3 4 5 6 7: 0 5 7 9 9 8] Nº DE UCIP [8 9 10 11 12: 0 8 8 3 1]

BOLSA [13: 0] L.A. [14: 2] MECONIO [15: 1] SEMANA DE AMENORREA [16 17: 4 1] SEXO [18: 1]

VITALIDAD [19: 0] EDAD MATERNA [20 21: 3 1] PARIDAD [22 23: 0 2] PESO DEL R.N. [24 25 26 27: 3 0 0 0]

FORMA DE TERMINACION DEL PARTO [28: 1] LONGITUD DEL CORDON [29 30: 5 4] APGAR-1 [31 32: 0 9]

APGAR-5 [33 34: 1 0] MORBILIDAD [35: 0]

MADRE: PO_2 [36 37: 8 0] PCO_2 [38 39: 3 5] D.B. [40 41 42: - 3] HCO_3^- [43 44: 2 0] P^H [45 46 47: 7 3 7]

FETO: ARTERIA. PO_2 [48 49: 1 4] PCO_2 [50 51: 7 7] D.B. [52 53 54: - 3] HCO_3^- [55 56: 2 9] P^H [57 58 59: 7 [illegible] 3]

VENA. PO_2 [60 61: 2 8] PCO_2 [62 63: 5 0] D.B. [64 65 66: + 5] HCO_3^- [67 68: 3 1] P^H [69 70 71: 7 3 3]

TIPO DE ACIDOSIS MATERNA [72: 0] TIPO DE ACIDOSIS FETAL [73: 1] Δ-P^H MADRE-FETO [74 75: 0 4]

Δ-P^H VENA UMBILICAL-ARTERIA UMBILICAL [76 77: 1 5] PROMEDIO DE ASCENSOS ?. [78 79: 0 1]

PROMEDIO DE ASCENSOS TRANSITORIOS QUE COINCIDEN CON LA CONTRACCION [80 81: 0 0]

TAQUICARDIA [82: 0] BRADICARDIA [83: 0] VARIABILIDAD DE LA FCF [84 85: 0 4] DIP-I [86 87: 0 0]

DIP-II [88 89: 0 0] TOTAL DIPS UMBILICALES [90 91: 0 1] DIP-U [92 93: 0 0] $DIP\text{-}U_p$ [94 95: 0 0]

$DIP\text{-}U_t$ [96 97: 0 0] $DIP\text{-}U_v$ [98 99: 0 0] $DIP\text{-}U_{vp}$ [100 101: 0 0] $DIP\text{-}U_{vt}$ [102 103: 0 0] $DIP\text{-}U_\lambda$ [104 105: 0 1]

$DIP\text{-}U_{\lambda p}$ [106 107: 0 0] $DIP\text{-}U_{\lambda t}$ [108 109: 0 0] DIP-V [110 111: 0 0] $DIP\text{-}V_p$ [112 113: 0 0]

$DIP\text{-}V_t$ [114 115: 0 0] $DIP\text{-}V_b$ [116 117: 0 0] NUMERO DE CONTRACCIONES [118 119 120: 0 2 8]

NUMERO DE MINUTOS REGISTRADOS [121 122 123: 2 1 2]

HOJA CODIFICADA PARA EL ESTUDIO DE LAS VARIACIONES CARDIOTOCOGRAFICAS ATRIBUIDAS A LAS CIRCULARES DEL CORDON UMBILICAL

NOMBRE Y APELLIDOS:

GRUPO ESTUDIADO [1] Nº DE Nº DE D.C. [2 3 4 5 6 7: 0 5 9 3 7 9] Nº DE UCIP [8 9 10 11 12: 0 8 6 5 4]

BOLSA [13: 0] L.A. [14: 0] MECONIO [15: 0] SEMANA DE AMENORREA [16 17: 4 3] SEXO [18: 0]

VITALIDAD [19: 0] EDAD MATERNA [20 21: 2 3] PARIDAD [22 23: 0 0] PESO DEL R.N. [24 25 26 27: 3 1 6 0]

FORMA DE TERMINACION DEL PARTO [28: 1] LONGITUD DEL CORDON [29 30: 6 5] APGAR-1 [31 32: 0 9]

APGAR-5 [33 34: 1 0] MORBILIDAD [35: 0]

MADRE: PO_2 [36 37: 9 6] PCO_2 [38 39: 2 3] D.B. [40 41 42: - 1 1] HCO_3^- [43 44: 1 4] P^H [45 46 47: 7 3 9]

FETO: ARTERIA. PO_2 [48 49: 1 7] PCO_2 [50 51: 5 0] D.B. [52 53 54: - 6] HCO_3^- [55 56: 2 0] P^H [57 58 59: 7 2 1]

VENA. PO_2 [60 61: 4 3] PCO_2 [62 63: 3 0] D.B. [64 65 66: - 7] HCO_3^- [67 68: 1 7] P^H [69 70 71: 7 3 9]

TIPO DE ACIDOSIS MATERNA [72: 0] TIPO DE ACIDOSIS FETAL [73: 0] Δ-P^H MADRE-FETO [74 75: 0 0]

Δ-P^H VENA UMBILICAL-ARTERIA UMBILICAL [76 77: 1 8] PROMEDIO DE ASCENSOS ?. [78 79: 0 8]

PROMEDIO DE ASCENSOS TRANSITORIOS QUE COINCIDEN CON LA CONTRACCION [80 81: 0 2]

TAQUICARDIA [82: 0] BRADICARDIA [83: 0] VARIABILIDAD DE LA FCF [84 85: 0 4] DIP-I [86 87: 0 0]

DIP-II [88 89: 0 0] TOTAL DIPS UMBILICALES [90 91: 0 1] DIP-U [92 93: 0 0] $DIP\text{-}U_p$ [94 95: 0 0]

$DIP\text{-}U_t$ [96 97: 0 0] $DIP\text{-}U_v$ [98 99: 0 0] $DIP\text{-}U_{vp}$ [100 101: 0 0] $DIP\text{-}U_{vt}$ [102 103: 0 0] $DIP\text{-}U_\lambda$ [104 105: 0 1]

$DIP\text{-}U_{\lambda p}$ [106 107: 0 0] $DIP\text{-}U_{\lambda t}$ [108 109: 0 1] DIP-V [110 111: 0 1] $DIP\text{-}V_p$ [112 113: 0 0]

$DIP\text{-}V_t$ [114 115: 0 2] $DIP\text{-}V_b$ [116 117: 0 0] NUMERO DE CONTRACCIONES [118 119 120: 0 3 4]

NUMERO DE MINUTOS REGISTRADOS [121 122 123: 3 0 7]

HOJA CODIFICADA PARA EL ESTUDIO DE LAS VARIACIONES CARDIOTOCOGRAFICAS ATRIBUIDAS A LAS CIRCULARES DEL CORDON UMBILICAL

NOMBRE Y APELLIDOS:

GRUPO ESTUDIADO [1] Nº DE Nº DE D.C. [2 3 4 5 6 7: 0 2 0 8 2 0] Nº DE UCIP [8 9 10 11 12: 1 3 2 7 3]

BOLSA [13: 0] L.A. [14: 2] MECONIO [15: 0] SEMANA DE AMENORREA [16 17: 4 0] SEXO [18: 1]

VITALIDAD [19: 0] EDAD MATERNA [20 21: 3 4] PARIDAD [22 23: 0 2] PESO DEL R.N. [24 25 26 27: 3 6 1 0]

FORMA DE TERMINACION DEL PARTO [28: 0] LONGITUD DEL CORDON [29 30: 6 5] APGAR-1 [31 32: 0 9]

APGAR-5 [33 34: 1 0] MORBILIDAD [35: 0]

MADRE: PO_2 [36 37: 9 9] PCO_2 [38 39: 2 0] D.B. [40 41 42: - 1 2] HCO_3^- [43 44: 1 0] P^H [45 46 47: 7 3 5]

FETO: ARTERIA. PO_2 [48 49: - -] PCO_2 [50 51: - -] D.B. [52 53 54: - - -] HCO_3^- [55 56: - -] P^H [57 58 59: - - -]

VENA. PO_2 [60 61: 3 0] PCO_2 [62 63: 3 4] D.B. [64 65 66: - 1 0] HCO_3^- [67 68: 1 5] P^H [69 70 71: 7 3 0]

TIPO DE ACIDOSIS MATERNA [72: 0] TIPO DE ACIDOSIS FETAL [73: -] Δ-P^H MADRE-FETO [74 75: 0 5]

Δ-P^H VENA UMBILICAL-ARTERIA UMBILICAL [76 77: - -] PROMEDIO DE ASCENSOS ?. [78 79: 2 7]

PROMEDIO DE ASCENSOS TRANSITORIOS QUE COINCIDEN CON LA CONTRACCION [80 81: 1 7]

TAQUICARDIA [82: 0] BRADICARDIA [83: 0] VARIABILIDAD DE LA FCF [84 85: 0 6] DIP-I [86 87: 0 0]

DIP-II [88 89: 0 0] TOTAL DIPS UMBILICALES [90 91: 1 0] DIP-U [92 93: 0 0] $DIP\text{-}U_p$ [94 95: 0 0]

$DIP\text{-}U_t$ [96 97: 0 0] $DIP\text{-}U_v$ [98 99: 0 0] $DIP\text{-}U_{vp}$ [100 101: 0 0] $DIP\text{-}U_{vt}$ [102 103: 0 0] $DIP\text{-}U_\lambda$ [104 105: 1 0]

$DIP\text{-}U_{\lambda p}$ [106 107: 0 0] $DIP\text{-}U_{\lambda t}$ [108 109: 0 0] DIP-V [110 111: 0 0] $DIP\text{-}V_p$ [112 113: 0 0]

$DIP\text{-}V_t$ [114 115: 0 0] $DIP\text{-}V_b$ [116 117: 0 0] NUMERO DE CONTRACCIONES [118 119 120: 0 2 8]

NUMERO DE MINUTOS REGISTRADOS [121 122 123: 1 5 6]

HOJA CODIFICADA PARA EL ESTUDIO DE LAS VARIACIONES CARDIOTOCOGRAFICAS ATRIBUIDAS A LAS CIRCULARES DEL CORDON UMBILICAL

NOMBRE Y APELLIDOS:

GRUPO ESTUDIADO [1] Nº DE Hº DE D.C. [0766825] Nº DE UCIP [11903]

BOLSA [1] L.A. [0] MECONIO [2] SEMANA DE AMENORREA [42] SEXO [0]

VITALIDAD [0] EDAD MATERNA [29] PARIDAD [00] PESO DEL R.N. [3550]

FORMA DE TERMINACION DEL PARTO [2] LONGITUD DEL CORDON [80] APGAR-1 [09]

APGAR-5 [09] MORBILIDAD [0]

MADRE: PO_2 [97] PCO_2 [23] D.B. [-18] HCO_3^- [14] P^H [7441]

FETO: ARTERIA. PO_2 [19] PCO_2 [65] D.B. [-18] HCO_3^- [22] P^H [7116]

VENA. PO_2 [32] PCO_2 [44] D.B. [-18] HCO_3^- [20] P^H [7326]

TIPO DE ACIDOSIS MATERNA [0] TIPO DE ACIDOSIS FETAL [3] Δ-P^H MADRE-FETO [15]

Δ-P^H VENA UMBILICAL-ARTERIA UMBILICAL [10] PROMEDIO DE ASCENSOS ?. [13]

PROMEDIO DE ASCENSOS TRANSITORIOS QUE COINCIDEN CON LA CONTRACCION [03]

TAQUICARDIA [1] BRADICARDIA [0] VARIABILIDAD DE LA FCF [05] DIP-I [00]

DIP-II [00] TOTAL DIPS UMBILICALES [22] DIP-U [00] DIP-U_p [03]

DIP-U_t [00] DIP-U_e [00] DIP-U_{ep} [00] DIP-U_{et} [00] DIP-U_a [08]

DIP-U_{ap} [11] DIP-U_{at} [00] DIP-V [01] DIP-V_p [00]

DIP-V_t [00] DIP-V_b [04] NUMERO DE CONTRACCIONES [0174]

NUMERO DE MINUTOS REGISTRADOS [270]

HOJA CODIFICADA PARA EL ESTUDIO DE LAS VARIACIONES CARDIOTOCOGRAFICAS ATRIBUIDAS A LAS CIRCULARES DEL CORDON UMBILICAL

NOMBRE Y APELLIDOS:

GRUPO ESTUDIADO [1] Nº DE Hº DE D.C. [0226557] Nº DE UCIP [08506]

BOLSA [0] L.A. [2] MECONIO [1] SEMANA DE AMENORREA [40] SEXO [0]

VITALIDAD [0] EDAD MATERNA [31] PARIDAD [02] PESO DEL R.N. [3610]

FORMA DE TERMINACION DEL PARTO [1] LONGITUD DEL CORDON [80] APGAR-1 [09]

APGAR-5 [10] MORBILIDAD [0]

MADRE: PO_2 [70] PCO_2 [27] D.B. [-15] HCO_3^- [17] P^H [7341]

FETO: ARTERIA. PO_2 [11] PCO_2 [45] D.B. [-14] HCO_3^- [23] P^H [7337]

VENA. PO_2 [24] PCO_2 [40] D.B. [-12] HCO_3^- [23] P^H [7337]

TIPO DE ACIDOSIS MATERNA [0] TIPO DE ACIDOSIS FETAL [0] Δ-P^H MADRE-FETO [04]

Δ-P^H VENA UMBILICAL-ARTERIA UMBILICAL [06] PROMEDIO DE ASCENSOS ?. [31]

PROMEDIO DE ASCENSOS TRANSITORIOS QUE COINCIDEN CON LA CONTRACCION [10]

TAQUICARDIA [0] BRADICARDIA [0] VARIABILIDAD DE LA FCF [10] DIP-I [00]

DIP-II [03] TOTAL DIPS UMBILICALES [18] DIP-U [00] DIP-U_p [00]

DIP-U_t [00] DIP-U_e [00] DIP-U_{ep} [00] DIP-U_{et} [00] DIP-U_a [10]

DIP-U_{ap} [06] DIP-U_{at} [02] DIP-V [05] DIP-V_p [00]

DIP-V_t [00] DIP-V_b [00] NUMERO DE CONTRACCIONES [053]

NUMERO DE MINUTOS REGISTRADOS [185]

HOJA CODIFICADA PARA EL ESTUDIO DE LAS VARIACIONES CARDIOTOCOGRAFICAS ATRIBUIDAS A LAS CIRCULARES DEL CORDON UMBILICAL

NOMBRE Y APELLIDOS:

GRUPO ESTUDIADO [1] Nº DE Hº DE D.C. [0661100] Nº DE UCIP [09041]

BOLSA [0] L.A. [1] MECONIO [1] SEMANA DE AMENORREA [41] SEXO [1]

VITALIDAD [0] EDAD MATERNA [27] PARIDAD [02] PESO DEL R.N. [4030]

FORMA DE TERMINACION DEL PARTO [0] LONGITUD DEL CORDON [50] APGAR-1 [10]

APGAR-5 [10] MORBILIDAD [0]

MADRE: PO_2 [88] PCO_2 [32] D.B. [-11] HCO_3^- [28] P^H [7344]

FETO: ARTERIA. PO_2 [17] PCO_2 [50] D.B. [-19] HCO_3^- [20] P^H [7211]

VENA. PO_2 [40] PCO_2 [33] D.B. [-14] HCO_3^- [19] P^H [7339]

TIPO DE ACIDOSIS MATERNA [0] TIPO DE ACIDOSIS FETAL [0] Δ-P^H MADRE-FETO [05]

Δ-P^H VENA UMBILICAL-ARTERIA UMBILICAL [18] PROMEDIO DE ASCENSOS ?. [07]

PROMEDIO DE ASCENSOS TRANSITORIOS QUE COINCIDEN CON LA CONTRACCION [00]

TAQUICARDIA [0] BRADICARDIA [0] VARIABILIDAD DE LA FCF [06] DIP-I [00]

DIP-II [00] TOTAL DIPS UMBILICALES [11] DIP-U [00] DIP-U_p [00]

DIP-U_t [00] DIP-U_e [00] DIP-U_{ep} [00] DIP-U_{et} [00] DIP-U_a [18]

DIP-U_{ap} [03] DIP-U_{at} [00] DIP-V [00] DIP-V_p [00]

DIP-V_t [00] DIP-V_b [00] NUMERO DE CONTRACCIONES [010]

NUMERO DE MINUTOS REGISTRADOS [084]

HOJA CODIFICADA PARA EL ESTUDIO DE LAS VARIACIONES CARDIOTOCOGRAFICAS ATRIBUIDAS A LAS CIRCULARES DEL CORDON UMBILICAL

NOMBRE Y APELLIDOS:

GRUPO ESTUDIADO [2] Nº DE Hº DE D.C. [0644231] Nº DE UCIP [09797]

BOLSA [0] L.A. [2] MECONIO [0] SEMANA DE AMENORREA [40] SEXO [0]

VITALIDAD [0] EDAD MATERNA [22] PARIDAD [01] PESO DEL R.N. [3200]

FORMA DE TERMINACION DEL PARTO [4] LONGITUD DEL CORDON [60] APGAR-1 [02]

APGAR-5 [08] MORBILIDAD [1]

MADRE: PO_2 [99] PCO_2 [38] D.B. [-18] HCO_3^- [18] P^H [7310]

FETO: ARTERIA. PO_2 [14] PCO_2 [99] D.B. [-115] HCO_3^- [23] P^H [6973]

VENA. PO_2 [28] PCO_2 [82] D.B. [-115] HCO_3^- [20] P^H [6999]

TIPO DE ACIDOSIS MATERNA [0] TIPO DE ACIDOSIS FETAL [3] Δ-P^H MADRE-FETO [31]

Δ-P^H VENA UMBILICAL-ARTERIA UMBILICAL [016] PROMEDIO DE ASCENSOS ?. [13]

PROMEDIO DE ASCENSOS TRANSITORIOS QUE COINCIDEN CON LA CONTRACCION [016]

TAQUICARDIA [0] BRADICARDIA [0] VARIABILIDAD DE LA FCF [04] DIP-I [00]

DIP-II [00] TOTAL DIPS UMBILICALES [01] DIP-U [00] DIP-U_p [00]

DIP-U_t [00] DIP-U_e [00] DIP-U_{ep} [00] DIP-U_{et} [00] DIP-U_a [01]

DIP-U_{ap} [00] DIP-U_{at} [00] DIP-V [00] DIP-V_p [00]

DIP-V_t [00] DIP-V_b [00] NUMERO DE CONTRACCIONES [0160]

NUMERO DE MINUTOS REGISTRADOS [245]

HOJA CODIFICADA PARA EL ESTUDIO DE LAS VARIACIONES CARDIOTOCOGRAFICAS ATRIBUIDAS A LAS CIRCULARES DEL CORDON UMBILICAL

NOMBRE Y APELLIDOS:

GRUPO ESTUDIADO [2] Nº DE Hº DE D.C. [0440118] Nº DE UCIP [15507]

BOLSA [0] L.A. [2] MECONIO [2] SEMANA DE AMENORREA [43] SEXO [0]

VITALIDAD [0] EDAD MATERNA [24] PARIDAD [00] PESO DEL R.N. [3480]

FORMA DE TERMINACION DEL PARTO [4] LONGITUD DEL CORDON [50] APGAR-1 [02]

APGAR-5 [02] MORBILIDAD [1]

MADRE: PO_2 [72] PCO_2 [25] D.B. [-11] HCO_3^- [14] P^H [7345]

FETO: ARTERIA. PO_2 [15] PCO_2 [45] D.B. [-19] HCO_3^- [19] P^H [7323]

VENA. PO_2 [40] PCO_2 [42] D.B. [-18] HCO_3^- [19] P^H [7328]

TIPO DE ACIDOSIS MATERNA [0] TIPO DE ACIDOSIS FETAL [0] Δ-P^H MADRE-FETO [12]

Δ-P^H VENA UMBILICAL-ARTERIA UMBILICAL [05] PROMEDIO DE ASCENSOS ?. [01]

PROMEDIO DE ASCENSOS TRANSITORIOS QUE COINCIDEN CON LA CONTRACCION [00]

TAQUICARDIA [0] BRADICARDIA [0] VARIABILIDAD DE LA FCF [06] DIP-I [00]

DIP-II [00] TOTAL DIPS UMBILICALES [15] DIP-U [00] DIP-U_p [00]

DIP-U_t [01] DIP-U_e [00] DIP-U_{ep} [00] DIP-U_{et} [00] DIP-U_a [06]

DIP-U_{ap} [06] DIP-U_{at} [01] DIP-V [04] DIP-V_p [02]

DIP-V_t [01] DIP-V_b [05] NUMERO DE CONTRACCIONES [082]

NUMERO DE MINUTOS REGISTRADOS [512]

HOJA CODIFICADA PARA EL ESTUDIO DE LAS VARIACIONES CARDIOTOCOGRAFICAS ATRIBUIDAS A LAS CIRCULARES DEL CORDON UMBILICAL

NOMBRE Y APELLIDOS:

GRUPO ESTUDIADO [2] Nº DE Hº DE D.C. [0503O9] Nº DE UCIP [09102]

BOLSA [0] L.A. [3] MECONIO [0] SEMANA DE AMENORREA [37] SEXO [1]

VITALIDAD [1] EDAD MATERNA [40] PARIDAD [04] PESO DEL R.N. [3810]

FORMA DE TERMINACION DEL PARTO [4] LONGITUD DEL CORDON [60] APGAR-1 [02]

APGAR-5 [07] MORBILIDAD [1]

MADRE: PO_2 [60] PCO_2 [516] D.B. [-17] HCO_3^- [22] P^H [7211]

FETO: ARTERIA. PO_2 [04] PCO_2 [99] D.B. [-124] HCO_3^- [16] P^H [6973]

VENA. PO_2 [22] PCO_2 [64] D.B. [-212] HCO_3^- [15] P^H [6883]

TIPO DE ACIDOSIS MATERNA [0] TIPO DE ACIDOSIS FETAL [3] Δ-P^H MADRE-FETO [38]

Δ-P^H VENA UMBILICAL-ARTERIA UMBILICAL [110] PROMEDIO DE ASCENSOS ?. [00]

PROMEDIO DE ASCENSOS TRANSITORIOS QUE COINCIDEN CON LA CONTRACCION [010]

TAQUICARDIA [0] BRADICARDIA [0] VARIABILIDAD DE LA FCF [03] DIP-I [00]

DIP-II [00] TOTAL DIPS UMBILICALES [00] DIP-U [00] DIP-U_p [00]

DIP-U_t [00] DIP-U_e [010] DIP-U_{ep} [00] DIP-U_{et} [010] DIP-U_a [00]

DIP-U_{ap} [010] DIP-U_{at} [010] DIP-V [63] DIP-V_p [010]

DIP-V_t [010] DIP-V_b [00] NUMERO DE CONTRACCIONES [016]

NUMERO DE MINUTOS REGISTRADOS [090]

HOJA CODIFICADA PARA EL ESTUDIO DE LAS VARIACIONES CARDIOTOCOGRAFICAS ATRIBUIDAS A LAS CIRCULARES DEL CORDON UMBILICAL

NOMBRE Y APELLIDOS:

GRUPO ESTUDIADO [2] Nº DE Hº DE D.C. [0440118] Nº DE UCIP [15507]

BOLSA [0] L.A. [2] MECONIO [2] SEMANA DE AMENORREA [43] SEXO [0]

VITALIDAD [0] EDAD MATERNA [24] PARIDAD [010] PESO DEL R.N. [3480]

FORMA DE TERMINACION DEL PARTO [4] LONGITUD DEL CORDON [50] APGAR-1 [02]

APGAR-5 [012] MORBILIDAD [1]

MADRE: PO_2 [72] PCO_2 [25] D.B. [-11] HCO_3^- [14] P^H [7345]

FETO: ARTERIA. PO_2 [15] PCO_2 [45] D.B. [-19] HCO_3^- [19] P^H [7323]

VENA. PO_2 [40] PCO_2 [42] D.B. [-18] HCO_3^- [19] P^H [7328]

TIPO DE ACIDOSIS MATERNA [0] TIPO DE ACIDOSIS FETAL [0] Δ-P^H MADRE-FETO [12]

Δ-P^H VENA UMBILICAL-ARTERIA UMBILICAL [015] PROMEDIO DE ASCENSOS ?. [01]

PROMEDIO DE ASCENSOS TRANSITORIOS QUE COINCIDEN CON LA CONTRACCION [010]

TAQUICARDIA [0] BRADICARDIA [0] VARIABILIDAD DE LA FCF [06] DIP-I [00]

DIP-II [00] TOTAL DIPS UMBILICALES [15] DIP-U [00] DIP-U_p [00]

DIP-U_t [01] DIP-U_e [00] DIP-U_{ep} [00] DIP-U_{et} [00] DIP-U_a [06]

DIP-U_{ap} [06] DIP-U_{at} [01] DIP-V [04] DIP-V_p [02]

DIP-V_t [01] DIP-V_b [05] NUMERO DE CONTRACCIONES [082]

NUMERO DE MINUTOS REGISTRADOS [512]

HOJA CODIFICADA PARA EL ESTUDIO DE LAS VARIACIONES CARDIOTOCOGRAFICAS ATRIBUIDAS A LAS CIRCULARES DEL CORDON UMBILICAL

NOMBRE Y APELLIDOS:

GRUPO ESTUDIADO [2] Nº DE Hº DE D.C. [0503O9] Nº DE UCIP [09102]

BOLSA [0] L.A. [3] MECONIO [0] SEMANA DE AMENORREA [37] SEXO [1]

VITALIDAD [1] EDAD MATERNA [40] PARIDAD [04] PESO DEL R.N. [3810]

FORMA DE TERMINACION DEL PARTO [4] LONGITUD DEL CORDON [60] APGAR-1 [02]

APGAR-5 [07] MORBILIDAD [1]

MADRE: PO_2 [60] PCO_2 [516] D.B. [-17] HCO_3^- [22] P^H [7211]

FETO: ARTERIA. PO_2 [04] PCO_2 [99] D.B. [-124] HCO_3^- [16] P^H [6973]

VENA. PO_2 [22] PCO_2 [64] D.B. [-212] HCO_3^- [15] P^H [6883]

TIPO DE ACIDOSIS MATERNA [0] TIPO DE ACIDOSIS FETAL [3] Δ-P^H MADRE-FETO [38]

Δ-P^H VENA UMBILICAL-ARTERIA UMBILICAL [110] PROMEDIO DE ASCENSOS ?. [00]

PROMEDIO DE ASCENSOS TRANSITORIOS QUE COINCIDEN CON LA CONTRACCION [010]

TAQUICARDIA [0] BRADICARDIA [0] VARIABILIDAD DE LA FCF [03] DIP-I [00]

DIP-II [00] TOTAL DIPS UMBILICALES [00] DIP-U [00] DIP-U_p [00]

DIP-U_t [00] DIP-U_e [010] DIP-U_{ep} [00] DIP-U_{et} [010] DIP-U_a [00]

DIP-U_{ap} [010] DIP-U_{at} [010] DIP-V [63] DIP-V_p [010]

DIP-V_t [010] DIP-V_b [00] NUMERO DE CONTRACCIONES [016]

NUMERO DE MINUTOS REGISTRADOS [090]

HOJA CODIFICADA PARA EL ESTUDIO DE LAS VARIACIONES CARDIOTOCOGRAFICAS ATRIBUIDAS A LAS CIRCULARES DEL CORDON UMBILICAL

NOMBRE Y APELLIDOS:

GRUPO ESTUDIADO 1: [2] Nº DE Hª DE D.C. 2 3 4 5 6 7: [0 8 4 7 1 9] Nº DE UCIP 8 9 10 11 12: [1 3 4 9 3]

BOLSA 13: [0] L.A. 14: [2] MECONIO 15: [2] SEMANA DE AMENORREA 16 17: [4 1] SEXO 18: [0]

VITALIDAD 19: [0] EDAD MATERNA 20 21: [2 3] PARIDAD 22 23: [0 0] PESO DEL R.N. 24 25 26 27: [3 2 9 0]

FORMA DE TERMINACION DEL PARTO 28: [2] LONGITUD DEL CORDON 29 30: [5 0] APGAR-1 31 32: [0 2]

APGAR-5 33 34: [0 5] MORBILIDAD 35: [0]

MADRE: PO_2 36 37: [7 2] PCO_2 38 39: [2 2] D.B. 40 41 42: [- 8] HCO_3^- 43 44: [1 4] P^H 45 46 47: [7 3 9]

FETO: ARTERIA. PO_2 48 49: [1 5] PCO_2 50 51: [6 1] D.B. 52 53 54: [- 1 0] HCO_3^- 55 56: [2 0] P^H 57 58 59: [7 1 4]

VENA. PO_2 60 61: [2 0] PCO_2 62 63: [5 2] D.B. 64 65 66: [- 9] HCO_3^- 67 68: [2 0] P^H 69 70 71: [7 1 8]

TIPO DE ACIDOSIS MATERNA 72: [0] TIPO DE ACIDOSIS FETAL 73: [3] Δ-P^H MADRE-FETO 74 75: [0 1]

Δ-P^H VENA UMBILICAL-ARTERIA UMBILICAL 76 77: [0 4] PROMEDIO DE ASCENSOS ?. 78 79: [1 7]

PROMEDIO DE ASCENSOS TRANSITORIOS QUE COINCIDEN CON LA CONTRACCION 80 81: [0 2]

TAQUICARDIA 82: [0] BRADICARDIA 83: [0] VARIABILIDAD DE LA FCF 84 85: [0 8] DIP-I 86 87: [0 0]

DIP-II 88 89: [0 0] TOTAL DIPS UMBILICALES 90 91: [0 8] DIP-U 92 93: [0 0] $DIP\text{-}U_p$ 94 95: [0 1]

$DIP\text{-}U_t$ 96 97: [0 0] $DIP\text{-}U_v$ 98 99: [0 0] $DIP\text{-}U_{vp}$ 100 101: [0 0] $DIP\text{-}U_{vt}$ 102 103: [0 0] $DIP\text{-}U_\lambda$ 104 105: [0 2]

$DIP\text{-}U_{\lambda p}$ 106 107: [0 6] $DIP\text{-}U_{\lambda t}$ 108 109: [0 0] DIP-V 110 111: [0 1] $DIP\text{-}V_p$ 112 113: [0 0]

$DIP\text{-}V_t$ 114 115: [0 0] $DIP\text{-}V_b$ 116 117: [0 0] NUMERO DE CONTRACCIONES 118 119 120: [0 4 7]

NUMERO DE MINUTOS REGISTRADOS 121 122 123: [3 2 0]

HOJA CODIFICADA PARA EL ESTUDIO DE LAS VARIACIONES CARDIOTOCOGRAFICAS ATRIBUIDAS A LAS CIRCULARES DEL CORDON UMBILICAL

NOMBRE Y APELLIDOS:

GRUPO ESTUDIADO 1: [2] Nº DE Hª DE D.C. 2 3 4 5 6 7: [0 1 5 4 7 4] Nº DE UCIP 8 9 10 11 12: [1 5 4 9 5]

BOLSA 13: [1] L.A. 14: [0] MECONIO 15: [0] SEMANA DE AMENORREA 16 17: [4 4] SEXO 18: [1]

VITALIDAD 19: [0] EDAD MATERNA 20 21: [2 7] PARIDAD 22 23: [0 1] PESO DEL R.N. 24 25 26 27: [3 4 3 0]

FORMA DE TERMINACION DEL PARTO 28: [4] LONGITUD DEL CORDON 29 30: [5 0] APGAR-1 31 32: [0 3]

APGAR-5 33 34: [0 8] MORBILIDAD 35: [1]

MADRE: PO_2 36 37: [9 9] PCO_2 38 39: [5 2] D.B. 40 41 42: [- 1 2] HCO_3^- 43 44: [1 9] P^H 45 46 47: [7 1 4]

FETO: ARTERIA. PO_2 48 49: [1 3] PCO_2 50 51: [5 4] D.B. 52 53 54: [- 1 4] HCO_3^- 55 56: [1 6] P^H 57 58 59: [7 0 9]

VENA. PO_2 60 61: [3 2] PCO_2 62 63: [5 0] D.B. 64 65 66: [- 8] HCO_3^- 67 68: [2 1] P^H 69 70 71: [7 4 3]

TIPO DE ACIDOSIS MATERNA 72: [3] TIPO DE ACIDOSIS FETAL 73: [3] Δ-P^H MADRE-FETO 74 75: [0 1]

Δ-P^H VENA UMBILICAL-ARTERIA UMBILICAL 76 77: [0 4] PROMEDIO DE ASCENSOS ?. 78 79: [1 6]

PROMEDIO DE ASCENSOS TRANSITORIOS QUE COINCIDEN CON LA CONTRACCION 80 81: [0 4]

TAQUICARDIA 82: [0] BRADICARDIA 83: [0] VARIABILIDAD DE LA FCF 84 85: [0 7] DIP-I 86 87: [0 0]

DIP-II 88 89: [0 0] TOTAL DIPS UMBILICALES 90 91: [2 5] DIP-U 92 93: [0 0] $DIP\text{-}U_p$ 94 95: [0 0]

$DIP\text{-}U_t$ 96 97: [0 0] $DIP\text{-}U_v$ 98 99: [0 0] $DIP\text{-}U_{vp}$ 100 101: [0 0] $DIP\text{-}U_{vt}$ 102 103: [0 0] $DIP\text{-}U_\lambda$ 104 105: [2 2]

$DIP\text{-}U_{\lambda p}$ 106 107: [0 3] $DIP\text{-}U_{\lambda t}$ 108 109: [0 0] DIP-V 110 111: [0 0] $DIP\text{-}V_p$ 112 113: [0 4]

$DIP\text{-}V_t$ 114 115: [0 0] $DIP\text{-}V_b$ 116 117: [0 0] NUMERO DE CONTRACCIONES 118 119 120: [0 4 4]

NUMERO DE MINUTOS REGISTRADOS 121 122 123: [1 6 5]

HOJA CODIFICADA PARA EL ESTUDIO DE LAS VARIACIONES CARDIOTOCOGRAFICAS ATRIBUIDAS A LAS CIRCULARES DEL CORDON UMBILICAL

NOMBRE Y APELLIDOS:

GRUPO ESTUDIADO 1: [2] Nº DE Hª DE D.C. 2 3 4 5 6 7: [0 7 8 0 9 4] Nº DE UCIP 8 9 10 11 12: [1 1 6 3 3]

BOLSA 13: [1] L.A. 14: [3] MECONIO 15: [0] SEMANA DE AMENORREA 16 17: [4 1] SEXO 18: [0]

VITALIDAD 19: [0] EDAD MATERNA 20 21: [3 4] PARIDAD 22 23: [0 4] PESO DEL R.N. 24 25 26 27: [3 5 0 0]

FORMA DE TERMINACION DEL PARTO 28: [4] LONGITUD DEL CORDON 29 30: [7 0] APGAR-1 31 32: [0 4]

APGAR-5 33 34: [1 0] MORBILIDAD 35: [3]

MADRE: PO_2 36 37: [9 8] PCO_2 38 39: [3 1] D.B. 40 41 42: [- 8] HCO_3^- 43 44: [1 7] P^H 45 46 47: [7 3 4]

FETO: ARTERIA. PO_2 48 49: [0 5] PCO_2 50 51: [6 0] D.B. 52 53 54: [- 1] HCO_3^- 55 56: [2 0] P^H 57 58 59: [7 1 4]

VENA. PO_2 60 61: [2 6] PCO_2 62 63: [5 6] D.B. 64 65 66: [- 7] HCO_3^- 67 68: [2 2] P^H 69 70 71: [7 2 0]

TIPO DE ACIDOSIS MATERNA 72: [0] TIPO DE ACIDOSIS FETAL 73: [1] Δ-P^H MADRE-FETO 74 75: [1 4]

Δ-P^H VENA UMBILICAL-ARTERIA UMEILICAL 76 77: [0 6] PROMEDIO DE ASCENSOS ?. 78 79: [0 0]

PROMEDIO DE ASCENSOS TRANSITORIOS QUE COINCIDEN CON LA CONTRACCION 80 81: [0 0]

TAQUICARDIA 82: [1] BRADICARDIA 83: [0] VARIABILIDAD DE LA FCF 84 85: [1 3] DIP-I 86 87: [0 0]

DIP-II 88 89: [0 0] TOTAL DIPS UMBILICALES 90 91: [1 7] DIP-U 92 93: [0 3] $DIP\text{-}U_p$ 94 95: [0 3]

$DIP\text{-}U_t$ 96 97: [0 3] $DIP\text{-}U_v$ 98 99: [0 0] $DIP\text{-}U_{vp}$ 100 101: [0 0] $DIP\text{-}U_{vt}$ 102 103: [0 0] $DIP\text{-}U_\lambda$ 104 105: [0 6]

$DIP\text{-}U_{\lambda p}$ 106 107: [0 0] $DIP\text{-}U_{\lambda t}$ 108 109: [0 0] DIP-V 110 111: [0 0] $DIP\text{-}V_p$ 112 113: [0 3]

$DIP\text{-}V_t$ 114 115: [0 3] $DIP\text{-}V_b$ 116 117: [0 0] NUMERO DE CONTRACCIONES 118 119 120: [0 1 5]

NUMERO DE MINUTOS REGISTRADOS 121 122 123: [0 9 0]

HOJA CODIFICADA PARA EL ESTUDIO DE LAS VARIACIONES CARDIOTOCOGRAFICAS ATRIBUIDAS A LAS CIRCULARES DEL CORDON UMBILICAL

NOMBRE Y APELLIDOS:

GRUPO ESTUDIADO 1: [2] Nº DE Hª DE D.C. 2 3 4 5 6 7: [0 0 3 4 5 8] Nº DE UCIP 8 9 10 11 12: [1 3 2 2 2]

BOLSA 13: [0] L.A. 14: [3] MECONIO 15: [2] SEMANA DE AMENORREA 16 17: [4 1] SEXO 18: [0]

VITALIDAD 19: [0] EDAD MATERNA 20 21: [3 7] PARIDAD 22 23: [0 2] PESO DEL R.N. 24 25 26 27: [3 7 5 0]

FORMA DE TERMINACION DEL PARTO 28: [0] LONGITUD DEL CORDON 29 30: [7 0] APGAR-1: 31 32: [0 6]

APGAR-5 33 34: [0 9] MORBILIDAD 35: [0]

MADRE: PO_2 36 37: [9 0] PCO_2 38 39: [2 7] D.B. 40 41 42: [- 5] HCO_3^- 43 44: [1 7] P^H 45 46 47: [7 4 2]

FETO: ARTERIA. PO_2 48 49: [0 6] PCO_2 50 51: [7 4] D.B. 52 53 54: [- 5] HCO_3^- 55 56: [2 2] P^H 57 58 59: [7 1 0]

VENA. PO_2 60 61: [3 9] PCO_2 62 63: [3 8] D.B. 64 65 66: [- 6] HCO_3^- 67 68: [1 8] P^H 69 70 71: [7 3 6]

TIPO DE ACIDOSIS MATERNA 72: [0] TIPO DE ACIDOSIS FETAL 73: [1] Δ-P^H MADRE-FETO 74 75: [0 6]

Δ-P^H VENA UMBILICAL-ARTERIA UMBILICAL 76 77: [2 6] PROMEDIO DE ASCENSOS ?. 78 79: [1 5]

PROMEDIO DE ASCENSOS TRANSITORIOS QUE COINCIDEN CON LA CONTRACCION 80 81: [0 4]

TAQUICARDIA 82: [0] BRADICARDIA 83: [0] VARIABILIDAD DE LA FCF 84 85: [0 3] DIP-I 86 87: [0 4]

DIP-II 88 89: [0 0] TOTAL DIPS UMBILICALES 90 91: [0 5] DIP-U 92 93: [0 0] $DIP\text{-}U_p$ 94 95: [0 0]

$DIP\text{-}U_t$ 96 97: [0 0] $DIP\text{-}U_v$ 98 99: [0 0] $DIP\text{-}U_{vp}$ 100 101: [0 0] $DIP\text{-}U_{vt}$ 102 103: [0 0] $DIP\text{-}U_\lambda$ 104 105: [0 4]

$DIP\text{-}U_{\lambda p}$ 106 107: [0 1] $DIP\text{-}U_{\lambda t}$ 108 109: [0 0] DIP-V 110 111: [0 0] $DIP\text{-}V_p$ 112 113: [0 0]

$DIP\text{-}V_t$ 114 115: [0 1] $DIP\text{-}V_b$ 116 117: [0 0] NUMERO DE CONTRACCIONES 118 119 120: [0 3 4]

NUMERO DE MINUTOS REGISTRADOS 121 122 123: [3 3 6]

HOJA CODIFICADA PARA EL ESTUDIO DE LAS VARIACIONES CARDIOTOCOGRAFICAS ATRIBUIDAS A LAS CIRCULARES DEL CORDON UMBILICAL

NOMBRE Y APELLIDOS:

GRUPO ESTUDIADO [2] Nº DE Nº DE D.C. [059519] Nº DE UCIP [09039]

BOLSA [1] L.A. [0] MECONIO [0] SEMANA DE AMENORREA [39] SEXO [0]

VITALIDAD [0] EDAD MATERNA [40] PARIDAD [04] PESO DEL R.N. [3780]

FORMA DE TERMINACION DEL PARTO [0] LONGITUD DEL CORDON [79] APGAR-1 [06]

APGAR-5 [08] MORBILIDAD [0]

MADRE: PO_2 [77] PCO_2 [26] D.B. [-16] HCO_3^- [16] P^H [7340]

FETO: ARTERIA. PO_2 [06] PCO_2 [59] D.B. [-10] HCO_3^- [21] P^H [7315]

VENA. PO_2 [25] PCO_2 [36] D.B. [-9] HCO_3^- [17] P^H [7325]

TIPO DE ACIDOSIS MATERNA [0] TIPO DE ACIDOSIS FETAL [3] Δ-P^H MADRE-FETO [15]

Δ-P^H VENA UMBILICAL-ARTERIA UMBILICAL [10] PROMEDIO DE ASCENSOS T. [12]

PROMEDIO DE ASCENSOS TRANSITORIOS QUE COINCIDEN CON LA CONTRACCION [00]

TAQUICARDIA [0] BRADICARDIA [0] VARIABILIDAD DE LA FCF [07] DIP-I [00]

DIP-II [00] TOTAL DIPS UMBILICALES [03] DIP-U [00] $DIP\text{-}U_p$ [00]

$DIP\text{-}U_t$ [00] $DIP\text{-}U_v$ [00] $DIP\text{-}U_{rp}$ [00] $DIP\text{-}U_{rt}$ [00] $DIP\text{-}U_\lambda$ [03]

$DIP\text{-}U_{\lambda p}$ [00] $DIP\text{-}U_{\lambda t}$ [00] DIP-V [01] $DIP\text{-}V_p$ [00]

$DIP\text{-}V_t$ [00] $DIP\text{-}V_b$ [00] NUMERO DE CONTRACCIONES [006]

NUMERO DE MINUTOS REGISTRADOS [323]

HOJA CODIFICADA PARA EL ESTUDIO DE LAS VARIACIONES CARDIOTOCOGRAFICAS ATRIBUIDAS A LAS CIRCULARES DEL CORDON UMBILICAL

NOMBRE Y APELLIDOS:

GRUPO ESTUDIADO [2] Nº DE Nº DE D.C. [064448] Nº DE UCIP [09830]

BOLSA [1] L.A. [2] MECONIO [0] SEMANA DE AMENORREA [38] SEXO [1]

VITALIDAD [0] EDAD MATERNA [37] PARIDAD [05] PESO DEL R.N. [2990]

FORMA DE TERMINACION DEL PARTO [1] LONGITUD DEL CORDON [80] APGAR-1 [06]

APGAR-5 [10] MORBILIDAD [0]

MADRE: PO_2 [83] PCO_2 [26] D.B. [-8] HCO_3^- [14] P^H [7338]

FETO: ARTERIA. PO_2 [07] PCO_2 [57] D.B. [-9] HCO_3^- [21] P^H [7317]

VENA. PO_2 [19] PCO_2 [45] D.B. [-8] HCO_3^- [20] P^H [7326]

TIPO DE ACIDOSIS MATERNA [0] TIPO DE ACIDOSIS FETAL [3] Δ-P^H MADRE-FETO [12]

Δ-P^H VENA UMBILICAL-ARTERIA UMBILICAL [09] PROMEDIO DE ASCENSOS T. [01]

PROMEDIO DE ASCENSOS TRANSITORIOS QUE COINCIDEN CON LA CONTRACCION [00]

TAQUICARDIA [0] BRADICARDIA [0] VARIABILIDAD DE LA FCF [10] DIP-I [01]

DIP-II [00] TOTAL DIPS UMBILICALES [99] DIP-U [02] $DIP\text{-}U_p$ [85]

$DIP\text{-}U_t$ [00] $DIP\text{-}U_v$ [00] $DIP\text{-}U_{rp}$ [00] $DIP\text{-}U_{rt}$ [00] $DIP\text{-}U_\lambda$ [07]

$DIP\text{-}U_{\lambda p}$ [05] $DIP\text{-}U_{\lambda t}$ [00] DIP-V [00] $DIP\text{-}V_p$ [03]

$DIP\text{-}V_t$ [00] $DIP\text{-}V_b$ [00] NUMERO DE CONTRACCIONES [035]

NUMERO DE MINUTOS REGISTRADOS [330]

HOJA CODIFICADA PARA EL ESTUDIO DE LAS VARIACIONES CARDIOTOCOGRAFICAS ATRIBUIDAS A LAS CIRCULARES DEL CORDON UMBILICAL

NOMBRE Y APELLIDOS:

GRUPO ESTUDIADO [2] Nº DE Nº DE D.C. [064821] Nº DE UCIP [09921]

BOLSA [0] L.A. [1] MECONIO [0] SEMANA DE AMENORREA [42] SEXO [0]

VITALIDAD [0] EDAD MATERNA [23] PARIDAD [00] PESO DEL R.N. [3900]

FORMA DE TERMINACION DEL PARTO [2] LONGITUD DEL CORDON [50] APGAR-1 [06]

APGAR-5 [10] MORBILIDAD [0]

MADRE: PO_2 [70] PCO_2 [35] D.B. [-16] HCO_3^- [18] P^H [7335]

FETO: ARTERIA. PO_2 [16] PCO_2 [73] D.B. [-16] HCO_3^- [26] P^H [7317]

VENA. PO_2 [31] PCO_2 [45] D.B. [-14] HCO_3^- [25] P^H [7317]

TIPO DE ACIDOSIS MATERNA [0] TIPO DE ACIDOSIS FETAL [1] Δ-P^H MADRE-FETO [04]

Δ-P^H VENA UMBILICAL-ARTERIA UMBILICAL [14] PROMEDIO DE ASCENSOS T. [14]

PROMEDIO DE ASCENSOS TRANSITORIOS QUE COINCIDEN CON LA CONTRACCION [05]

TAQUICARDIA [0] BRADICARDIA [0] VARIABILIDAD DE LA FCF [07] DIP-I [00]

DIP-II [00] TOTAL DIPS UMBILICALES [0] DIP-U [0] $DIP\text{-}U_p$ [00]

$DIP\text{-}U_t$ [00] $DIP\text{-}U_v$ [00] $DIP\text{-}U_{rp}$ [00] $DIP\text{-}U_{rt}$ [00] $DIP\text{-}U_\lambda$ [00]

$DIP\text{-}U_{\lambda p}$ [09] $DIP\text{-}U_{\lambda t}$ [00] DIP-V [00] $DIP\text{-}V_p$ [00]

$DIP\text{-}V_t$ [00] $DIP\text{-}V_b$ [00] NUMERO DE CONTRACCIONES [012]

NUMERO DE MINUTOS REGISTRADOS [066]

HOJA CODIFICADA PARA EL ESTUDIO DE LAS VARIACIONES CARDIOTOCOGRAFICAS ATRIBUIDAS A LAS CIRCULARES DEL CORDON UMBILICAL

NOMBRE Y APELLIDOS:

GRUPO ESTUDIADO [2] Nº DE Nº DE D.C. [073449] Nº DE UCIP [12061]

BOLSA [0] L.A. [3] MECONIO [1] SEMANA DE AMENORREA [38] SEXO [0]

VITALIDAD [0] EDAD MATERNA [22] PARIDAD [00] PESO DEL R.N. [2100]

FORMA DE TERMINACION DEL PARTO [4] LONGITUD DEL CORDON [50] APGAR-1 [06]

APGAR-5 [09] MORBILIDAD [1]

MADRE: PO_2 [--] PCO_2 [--] D.B. [----] HCO_3^- [--] P^H [----]

FETO: ARTERIA. PO_2 [16] PCO_2 [51] D.B. [-2] HCO_3^- [25] P^H [7330]

VENA. PO_2 [29] PCO_2 [49] D.B. [-1] HCO_3^- [26] P^H [7335]

TIPO DE ACIDOSIS MATERNA [-] TIPO DE ACIDOSIS FETAL [0] Δ-P^H MADRE-FETO [--]

Δ-P^H VENA UMBILICAL-ARTERIA UMBILICAL [05] PROMEDIO DE ASCENSOS T. [01]

PROMEDIO DE ASCENSOS TRANSITORIOS QUE COINCIDEN CON LA CONTRACCION [00]

TAQUICARDIA [0] BRADICARDIA [0] VARIABILIDAD DE LA FCF [08] DIP-I [00]

DIP-II [00] TOTAL DIPS UMBILICALES [06] DIP-U [01] $DIP\text{-}U_p$ [00]

$DIP\text{-}U_t$ [00] $DIP\text{-}U_v$ [00] $DIP\text{-}U_{rp}$ [00] $DIP\text{-}U_{rt}$ [00] $DIP\text{-}U_\lambda$ [03]

$DIP\text{-}U_{\lambda p}$ [02] $DIP\text{-}U_{\lambda t}$ [00] DIP-V [12] $DIP\text{-}V_p$ [00]

$DIP\text{-}V_t$ [05] $DIP\text{-}V_b$ [00] NUMERO DE CONTRACCIONES [067]

NUMERO DE MINUTOS REGISTRADOS [704]

HOJA CODIFICADA PARA EL ESTUDIO DE LAS VARIACIONES CARDIOTOCOGRAFICAS ATRIBUIDAS A LAS CIRCULARES DEL CORDON UMBILICAL

NOMBRE Y APELLIDOS:

GRUPO ESTUDIADO 1: 2 | Nº DE Hª DE D.C. 2-7: 0 6 1 2 0 0 | Nº DE UCIP 8-12: 0 9 3 2 1

BOLSA 13: 0 | L.A. 14: 3 | MECONIO 15: 2 | SEMANA DE AMENORREA 16-17: 4 2 | SEXO 18: 0

VITALIDAD 19: 0 | EDAD MATERNA 20-21: 2 9 | PARIDAD 22-23: 0 0 | PESO DEL R.N. 24-27: 3 4 4 0

FORMA DE TERMINACION DEL PARTO 28: 3 | LONGITUD DEL CORDON 29-30: 6 0 | APGAR-1 31-32: 0 6

APGAR-5 33-34: 1 0 | MORBILIDAD 35: 0

MADRE: PO_2 36-37: 6 9 | PCO_2 38-39: 2 4 | D.B. 40-42: - 1 4 | HCO_3^- 43-44: 1 1 | P^H 45-47: 7 2 7

FETO: ARTERIA. PO_2 48-49: 1 5 | PCO_2 50-51: 6 0 | D.B. 52-54: - - 8 | HCO_3^- 55-56: 2 2 | P^H 57-59: 7 2 8

VENA. PO_2 60-61: 2 2 | PCO_2 62-63: 4 6 | D.B. 64-66: - - 7 | HCO_3^- 67-68: 2 0 | P^H 69-71: 7 2 6

TIPO DE ACIDOSIS MATERNA 72: 0 | TIPO DE ACIDOSIS FETAL 73: 0 | Δ-P^H MADRE-FETO 74-75: 0 4

Δ-P^H VENA UMBILICAL-ARTERIA UMBILICAL 76-77: 0 8 | PROMEDIO DE ASCENSOS ?. 78-79: 2 9

PROMEDIO DE ASCENSOS TRANSITORIOS QUE COINCIDEN CON LA CONTRACCION 80-81: 0 2

TAQUICARDIA 82: 0 | BRADICARDIA 83: 0 | VARIABILIDAD DE LA FCF 84-85: 0 4 | DIP-I 86-87: 0 0

DIP-II 88-89: 0 0 | TOTAL DIPS UMBILICALES 90-91: 0 8 | DIP-U 92-93: 0 0 | $DIP\text{-}U_p$ 94-95: 0 0

$DIP\text{-}U_t$ 96-97: 0 0 | $DIP\text{-}U_v$ 98-99: 0 0 | $DIP\text{-}U_{cp}$ 100-101: 0 0 | $DIP\text{-}U_{cn}$ 102-103: 0 0 | $DIP\text{-}U_\lambda$ 104-105: 0 2

$DIP\text{-}U_{\lambda p}$ 106-107: 0 6 | $DIP\text{-}U_{\lambda t}$ 108-109: 0 0 | DIP-V 110-111: 0 8 | $DIP\text{-}V_p$ 112-113: 0 0

$DIP\text{-}V_t$ 114-115: 0 0 | $DIP\text{-}V_b$ 116-117: 0 2 | NUMERO DE CONTRACCIONES 118-120: 0 0 9

NUMERO DE MINUTOS REGISTRADOS 121-123: 1 9 5

HOJA CODIFICADA PARA EL ESTUDIO DE LAS VARIACIONES CARDIOTOCOGRAFICAS ATRIBUIDAS A LAS CIRCULARES DEL CORDON UMBILICAL

NOMBRE Y APELLIDOS:

GRUPO ESTUDIADO 1: 2 | Nº DE Hª DE D.C. 2-7: 0 7 3 6 9 9 | Nº DE UCIP 8-12: 1 1 1 8 0

BOLSA 13: 0 | L.A. 14: 0 | MECONIO 15: 1 | SEMANA DE AMENORREA 16-17: 4 4 | SEXO 18: 1

VITALIDAD 19: 0 | EDAD MATERNA 20-21: 2 6 | PARIDAD 22-23: 0 0 | PESO DEL R.N. 24-27: 3 5 1 7 0

FORMA DE TERMINACION DEL PARTO 28: 1 | LONGITUD DEL CORDON 29-30: 8 5 | APGAR-1 31-32: 0 6

APGAR-5 33-34: 1 0 | MORBILIDAD 35: 0

MADRE: PO_2 36-37: 8 0 | PCO_2 38-39: 1 8 | D.B. 40-42: - - 8 | HCO_3^- 43-44: 1 1 | P^H 45-47: 7 4 5

FETO: ARTERIA. PO_2 48-49: 1 2 | PCO_2 50-51: 5 3 | D.B. 52-54: - 1 7 | HCO_3^- 55-56: 1 4 | P^H 57-59: 7 0 6

VENA. PO_2 60-61: 2 0 | PCO_2 62-63: 3 9 | D.B. 64-66: - 1 3 | HCO_3^- 67-68: 1 5 | P^H 69-71: 7 2 0

TIPO DE ACIDOSIS MATERNA 72: 0 | TIPO DE ACIDOSIS FETAL 73: 3 | Δ-P^H MADRE-FETO 74-75: 2 5

Δ-P^H VENA UMBILICAL-ARTERIA UMBILICAL 76-77: 1 4 | PROMEDIO DE ASCENSOS ?. 78-79: 2 7

PROMEDIO DE ASCENSOS TRANSITORIOS QUE COINCIDEN CON LA CONTRACCION 80-81: 0 1

TAQUICARDIA 82: 0 | BRADICARDIA 83: 0 | VARIABILIDAD DE LA FCF 84-85: 1 2 | DIP-I 86-87: 0 0

DIP-II 88-89: 0 0 | TOTAL DIPS UMBILICALES 90-91: 2 1 | DIP-U 92-93: 0 0 | $DIP\text{-}U_p$ 94-95: 0 0

$DIP\text{-}U_t$ 96-97: 0 0 | $DIP\text{-}U_v$ 98-99: 0 0 | $DIP\text{-}U_{cp}$ 100-101: 0 0 | $DIP\text{-}U_{cn}$ 102-103: 0 0 | $DIP\text{-}U_\lambda$ 104-105: 1 2

$DIP\text{-}U_{\lambda p}$ 106-107: 0 9 | $DIP\text{-}U_{\lambda t}$ 108-109: 0 0 | DIP-V 110-111: 0 0 | $DIP\text{-}V_p$ 112-113: 0 0

$DIP\text{-}V_t$ 114-115: 0 0 | $DIP\text{-}V_b$ 116-117: 0 0 | NUMERO DE CONTRACCIONES 118-120: 0 9 3

NUMERO DE MINUTOS REGISTRADOS 121-123: 2 6 9

HOJA CODIFICADA PARA EL ESTUDIO DE LAS VARIACIONES CARDIOTOCOGRAFICAS ATRIBUIDAS A LAS CIRCULARES DEL CORDON UMBILICAL

NOMBRE Y APELLIDOS:

GRUPO ESTUDIADO 1: 2 | Nº DE Hª DE D.C. 2-7: 0 7 4 9 0 5 | Nº DE UCIP 8-12: 1 1 5 9 4

BOLSA 13: 0 | L.A. 14: 2 | MECONIO 15: 2 | SEMANA DE AMENORREA 16-17: 4 2 | SEXO 18: 0

VITALIDAD 19: 0 | EDAD MATERNA 20-21: 2 4 | PARIDAD 22-23: 0 0 | PESO DEL R.N. 24-27: 4 1 0 0

FORMA DE TERMINACION DEL PARTO 28: 4 | LONGITUD DEL CORDON 29-30: 6 0 | APGAR-1 31-32: 0 6

APGAR-5 33-34: 0 9 | MORBILIDAD 35: 0

MADRE: PO_2 36-37: - - | PCO_2 38-39: 3 5 | D.B. 40-42: - - - | HCO_3^- 43-44: - - | P^H 45-47: 7 3 4

FETO: ARTERIA. PO_2 48-49: 0 7 | PCO_2 50-51: 6 3 | D.B. 52-54: - - 6 | HCO_3^- 55-56: 2 4 | P^H 57-59: 7 2 0

VENA. PO_2 60-61: 2 8 | PCO_2 62-63: 5 2 | D.B. 64-66: - - 5 | HCO_3^- 67-68: 2 3 | P^H 69-70-71: 7 2 6

TIPO DE ACIDOSIS MATERNA 72: 0 | TIPO DE ACIDOSIS FETAL 73: 1 | Δ-P^H MADRE-FETO 74-75: 0 8

Δ-P^H VENA UMBILICAL-ARTERIA UMBILICAL 76-77: 0 6 | PROMEDIO DE ASCENSOS ?. 78-79: 0 7

PROMEDIO DE ASCENSOS TRANSITORIOS QUE COINCIDEN CON LA CONTRACCION 80-81: 0 0

TAQUICARDIA 82: 0 | BRADICARDIA 83: 0 | VARIABILIDAD DE LA FCF 84-85: 0 7 | DIP-I 86-87: 0 0

DIP-II 88-89: 0 0 | TOTAL DIPS UMBILICALES 90-91: 0 1 | DIP-U 92-93: 0 0 | $DIP\text{-}U_p$ 94-95: 0 0

$DIP\text{-}U_t$ 96-97: 0 0 | $DIP\text{-}U_v$ 98-99: 0 0 | $DIP\text{-}U_{cp}$ 100-101: 0 0 | $DIP\text{-}U_{cn}$ 102-103: 0 0 | $DIP\text{-}U_\lambda$ 104-105: 0 1

$DIP\text{-}U_{\lambda p}$ 106-107: 0 0 | $DIP\text{-}U_{\lambda t}$ 108-109: 0 0 | DIP-V 110-111: 0 0 | $DIP\text{-}V_p$ 112-113: 0 0

$DIP\text{-}V_t$ 114-115: 0 0 | $DIP\text{-}V_b$ 116-117: 0 0 | NUMERO DE CONTRACCIONES 118-120: 0 7 8

NUMERO DE MINUTOS REGISTRADOS 121-123: 4 4 1

HOJA CODIFICADA PARA EL ESTUDIO DE LAS VARIACIONES CARDIOTOCOGRAFICAS ATRIBUIDAS A LAS CIRCULARES DEL CORDON UMBILICAL

NOMBRE Y APELLIDOS:

GRUPO ESTUDIADO 1: 2 | Nº DE Hª DE D.C. 2-7: 0 7 6 7 7 2 | Nº DE UCIP 8-12: 1 1 9 2 9

BOLSA 13: 1 | L.A. 14: 2 | MECONIO 15: 2 | SEMANA DE AMENORREA 16-17: 4 2 | SEXO 18: 0

VITALIDAD 19: 0 | EDAD MATERNA 20-21: 2 2 | PARIDAD 22-23: 0 0 | PESO DEL R.N. 24-27: 3 1 5 0

FORMA DE TERMINACION DEL PARTO 28: 2 | LONGITUD DEL CORDON 29-30: 6 0 | APGAR-1 31-32: 0 7

APGAR-5 33-34: 0 9 | MORBILIDAD 35: 2

MADRE: PO_2 36-37: 8 0 | PCO_2 38-39: 2 9 | D.B. 40-41-42: - 1 4 | HCO_3^- 43-44: 1 9 | P^H 45-46-47: 7 4 2

FETO: ARTERIA. PO_2 48-49: 1 0 | PCO_2 50-51: 7 8 | D.B. 52-53-54: - - 3 | HCO_3^- 55-56: 2 7 | P^H 57-58-59: 7 1 5

VENA. PO_2 60-61: 2 0 | PCO_2 62-63: 5 6 | D.B. 64-65-66: - - 2 | HCO_3^- 67-68: 2 5 | P^H 69-70-71: 7 2 5

TIPO DE ACIDOSIS MATERNA 72: 0 | TIPO DE ACIDOSIS FETAL 73: 1 | Δ-P^H MADRE-FETO 74-75: 1 7

Δ-P^H VENA UMBILICAL-ARTERIA UMBILICAL 76-77: 1 0 | PROMEDIO DE ASCENSOS ?. 78-79: 0 0

PROMEDIO DE ASCENSOS TRANSITORIOS QUE COINCIDEN CON LA CONTRACCION 80-81: 0 0

TAQUICARDIA 82: 0 | BRADICARDIA 83: 0 | VARIABILIDAD DE LA FCF 84-85: 1 2 | DIP-I 86-87: 0 0

DIP-II 88-89: 0 0 | TOTAL DIPS UMBILICALES 90-91: 2 7 | DIP-U 92-93: 0 5 | $DIP\text{-}U_p$ 94-95: 0 9

$DIP\text{-}U_t$ 96-97: 0 1 | $DIP\text{-}U_v$ 98-99: 0 0 | $DIP\text{-}U_{cp}$ 100-101: 0 0 | $DIP\text{-}U_{cn}$ 102-103: 0 0 | $DIP\text{-}U_\lambda$ 104-105: 0 6

$DIP\text{-}U_{\lambda p}$ 106-107: 0 6 | $DIP\text{-}U_{\lambda t}$ 108-109: 0 0 | DIP-V 110-111: 0 0 | $DIP\text{-}V_p$ 112-113: 0 3

$DIP\text{-}V_t$ 114-115: 0 0 | $DIP\text{-}V_b$ 116-117: 0 0 | NUMERO DE CONTRACCIONES 118-120: 0 6 5

NUMERO DE MINUTOS REGISTRADOS 121-123: 2 6 0

HOJA CODIFICADA PARA EL ESTUDIO DE LAS VARIACIONES CARDIOTOCOGRAFICAS ATRIBUIDAS A LAS CIRCULARES DEL CORDON UMBILICAL

NOMBRE Y APELLIDOS:

GRUPO ESTUDIADO 2 | Nº DE Nº DE D.C. 044467 | Nº DE UCIP 09058

BOLSA 1 | L.A. 0 | MECONIO 1 | SEMANA DE AMENORREA 37 | SEXO 1

VITALIDAD 0 | EDAD MATERNA 23 | PARIDAD 01 | PESO DEL R.N. 2800

FORMA DE TERMINACION DEL PARTO 1 | LONGITUD DEL CORDON 45 | APGAR-1 08

APGAR-5 10 | MORBILIDAD 0

MADRE: PO_2 53 | PCO_2 28 | D.B. -7 | HCO_3^- 17 | P^H 741

FETO: ARTERIA. PO_2 16 | PCO_2 63 | D.B. -1 | HCO_3^- 26 | P^H 723

VENA. PO_2 25 | PCO_2 35 | D.B. -4 | HCO_3^- 21 | P^H 738

TIPO DE ACIDOSIS MATERNA 0 | TIPO DE ACIDOSIS FETAL 0 | Δ-P^H MADRE-FETO 03

Δ-P^H VENA UMBILICAL-ARTERIA UMBILICAL 15 | PROMEDIO DE ASCENSOS T. 25

PROMEDIO DE ASCENSOS TRANSITORIOS QUE COINCIDEN CON LA CONTRACCION 06

TAQUICARDIA 0 | BRADICARDIA 0 | VARIABILIDAD DE LA FCF 06 | DIP-I 00

DIP-II 00 | TOTAL DIPS UMBILICALES 06 | DIP-U 00 | $DIP\text{-}U_p$ 00

$DIP\text{-}U_t$ 00 | $DIP\text{-}U_w$ 00 | $DIP\text{-}U_{wp}$ 00 | $DIP\text{-}U_{wt}$ 00 | $DIP\text{-}U_\lambda$ 02

$DIP\text{-}U_{\lambda p}$ 04 | $DIP\text{-}U_{\lambda t}$ 00 | DIP-V 00 | $DIP\text{-}V_p$ 00

$DIP\text{-}V_t$ 00 | $DIP\text{-}V_b$ 00 | NUMERO DE CONTRACCIONES 034

NUMERO DE MINUTOS REGISTRADOS 156

HOJA CODIFICADA PARA EL ESTUDIO DE LAS VARIACIONES CARDIOTOCOGRAFICAS ATRIBUIDAS A LAS CIRCULARES DEL CORDON UMBILICAL

NOMBRE Y APELLIDOS:

GRUPO ESTUDIADO 2 | Nº DE Nº DE D.C. 061784 | Nº DE UCIP 09312

BOLSA 1 | L.A. 3 | MECONIO 0 | SEMANA DE AMENORREA 39 | SEXO 1

VITALIDAD 0 | EDAD MATERNA 25 | PARIDAD 01 | PESO DEL R.N. 3350

FORMA DE TERMINACION DEL PARTO 3 | LONGITUD DEL CORDON 50 | APGAR-1 08

APGAR-5 09 | MORBILIDAD 0

MADRE: PO_2 -- | PCO_2 -- | D.B. ---- | HCO_3^- -- | P^H ----

FETO: ARTERIA. PO_2 22 | PCO_2 76 | D.B. -2 | HCO_3^- 24 | P^H 711

VENA. PO_2 35 | PCO_2 58 | D.B. -5 | HCO_3^- 21 | P^H 718

TIPO DE ACIDOSIS MATERNA - | TIPO DE ACIDOSIS FETAL 1 | Δ-P^H MADRE-FETO --

Δ-P^H VENA UMBILICAL-ARTERIA UMBILICAL 07 | PROMEDIO DE ASCENSOS T. 38

PROMEDIO DE ASCENSOS TRANSITORIOS QUE COINCIDEN CON LA CONTRACCION 04

TAQUICARDIA 0 | BRADICARDIA 0 | VARIABILIDAD DE LA FCF 07 | DIP-I 00

DIP-II 00 | TOTAL DIPS UMBILICALES 06 | DIP-U 00 | $DIP\text{-}U_p$ 00

$DIP\text{-}U_t$ 00 | $DIP\text{-}U_w$ 00 | $DIP\text{-}U_{wp}$ 00 | $DIP\text{-}U_{wt}$ 00 | $DIP\text{-}U_\lambda$ 04

$DIP\text{-}U_{\lambda p}$ 02 | $DIP\text{-}U_{\lambda t}$ 00 | DIP-V 02 | $DIP\text{-}V_p$ 02

$DIP\text{-}V_t$ 00 | $DIP\text{-}V_b$ 00 | NUMERO DE CONTRACCIONES 035

NUMERO DE MINUTOS REGISTRADOS 148

HOJA CODIFICADA PARA EL ESTUDIO DE LAS VARIACIONES CARDIOTOCOGRAFICAS ATRIBUIDAS A LAS CIRCULARES DEL CORDON UMBILICAL

NOMBRE Y APELLIDOS:

GRUPO ESTUDIADO 2 | Nº DE Nº DE D.C. 080486 | Nº DE UCIP 12670

BOLSA 1 | L.A. 0 | MECONIO 1 | SEMANA DE AMENORREA 37 | SEXO 1

VITALIDAD 0 | EDAD MATERNA 33 | PARIDAD 03 | PESO DEL R.N. 2720

FORMA DE TERMINACION DEL PARTO 1 | LONGITUD DEL CORDON 50 | APGAR-1 08

APGAR-5 10 | MORBILIDAD 0

MADRE: PO_2 63 | PCO_2 32 | D.B. -2 | HCO_3^- 21 | P^H 743

FETO: ARTERIA. PO_2 29 | PCO_2 52 | D.B. -112 | HCO_3^- 17 | P^H 714

VENA. PO_2 32 | PCO_2 40 | D.B. -0 | HCO_3^- 25 | P^H 742

TIPO DE ACIDOSIS MATERNA 0 | TIPO DE ACIDOSIS FETAL 3 | Δ-P^H MADRE-FETO 01

Δ-P^H VENA UMBILICAL-ARTERIA UMBILICAL 28 | PROMEDIO DE ASCENSOS T. 04

PROMEDIO DE ASCENSOS TRANSITORIOS QUE COINCIDEN CON LA CONTRACCION 00

TAQUICARDIA 0 | BRADICARDIA 0 | VARIABILIDAD DE LA FCF 07 | DIP-I 00

DIP-II 00 | TOTAL DIPS UMBILICALES 11 | DIP-U 00 | $DIP\text{-}U_p$ 05

$DIP\text{-}U_t$ 00 | $DIP\text{-}U_w$ 00 | $DIP\text{-}U_{wp}$ 00 | $DIP\text{-}U_{wt}$ 00 | $DIP\text{-}U_\lambda$ 04

$DIP\text{-}U_{\lambda p}$ 02 | $DIP\text{-}U_{\lambda t}$ 00 | DIP-V 10 | $DIP\text{-}V_p$ 08

$DIP\text{-}V_t$ 02 | $DIP\text{-}V_b$ 00 | NUMERO DE CONTRACCIONES 110

NUMERO DE MINUTOS REGISTRADOS 335

HOJA CODIFICADA PARA EL ESTUDIO DE LAS VARIACIONES CARDIOTOCOGRAFICAS ATRIBUIDAS A LAS CIRCULARES DEL CORDON UMBILICAL

NOMBRE Y APELLIDOS:

GRUPO ESTUDIADO 2 | Nº DE Nº DE D.C. 065781 | Nº DE UCIP 10042

BOLSA 1 | L.A. 2 | MECONIO 1 | SEMANA DE AMENORREA 39 | SEXO 1

VITALIDAD 0 | EDAD MATERNA 25 | PARIDAD 00 | PESO DEL R.N. 3410

FORMA DE TERMINACION DEL PARTO 1 | LONGITUD DEL CORDON 55 | APGAR-1 08

APGAR-5 10 | MORBILIDAD 0

MADRE: PO_2 -- | PCO_2 -- | D.B. ---- | HCO_3^- -- | P^H ----

FETO: ARTERIA. PO_2 -- | PCO_2 -- | D.B. ---- | HCO_3^- -- | P^H ----

VENA. PO_2 -- | PCO_2 -- | D.B. ---- | HCO_3^- -- | P^H ----

TIPO DE ACIDOSIS MATERNA - | TIPO DE ACIDOSIS FETAL - | Δ-P^H MADRE-FETO --

Δ-P^H VENA UMBILICAL-ARTERIA UMBILICAL -- | PROMEDIO DE ASCENSOS T. 11

PROMEDIO DE ASCENSOS TRANSITORIOS QUE COINCIDEN CON LA CONTRACCION 00

TAQUICARDIA 0 | BRADICARDIA 0 | VARIABILIDAD DE LA FCF 10 | DIP-I 00

DIP-II 00 | TOTAL DIPS UMBILICALES 04 | DIP-U 00 | $DIP\text{-}U_p$ 00

$DIP\text{-}U_t$ 00 | $DIP\text{-}U_w$ 00 | $DIP\text{-}U_{wp}$ 00 | $DIP\text{-}U_{wt}$ 00 | $DIP\text{-}U_\lambda$ 04

$DIP\text{-}U_{\lambda p}$ 00 | $DIP\text{-}U_{\lambda t}$ 00 | DIP-V 04 | $DIP\text{-}V_p$ 00

$DIP\text{-}V_t$ 00 | $DIP\text{-}V_b$ 00 | NUMERO DE CONTRACCIONES 000

NUMERO DE MINUTOS REGISTRADOS 083

HOJA CODIFICADA PARA EL ESTUDIO DE LAS VARIACIONES CARDIOTOCOGRAFICAS ATRIBUIDAS A LAS CIRCULARES DEL CORDON UMBILICAL

NOMBRE Y APELLIDOS:

GRUPO ESTUDIADO [1] [2] Nº DE Nº DE H.C. [2 3 4 5 6 7] [0 6 8 2 6 7] Nº DE UCIP [8 9 10 11 12] [1 5 3 9 5]

BOLSA [13] [0] L.A. [14] [0] MECONIO [15] [1] SEMANA DE AMENORREA [16 17] [3 6] SEXO [18] [0]

VITALIDAD [19] [0] EDAD MATERNA [20 21] [1 6] PARIDAD [22 23] [0 0] PESO DEL R.N. [24 25 26 27] [3 0 0 0]

FORMA DE TERMINACION DEL PARTO [28] [1] LONGITUD DEL CORDON [29 30] [5 0] APGAR-1 [31 32] [0 8]

APGAR-5 [33 34] [0 8] MORBILIDAD [35] [0]

MADRE: PO_2 [36 37] [9 7] PCO_2 [38 39] [2 2] D.B. [40 41 42] [- 1 3] HCO_3^- [43 44] [1 0] P^H [45 46 47] [7 3 0]

FETO: ARTERIA. PO_2 [48 49] [2 5] PCO_2 [50 51] [6 9] D.B. [52 53 54] [- - 7] HCO_3^- [55 56] [0 7] P^H [57 58 59] [7 1 7]

VENA. PO_2 [60 61] [1 9] PCO_2 [62 63] [4 2] D.B. [64 65 66] [- - 9] HCO_3^- [67 68] [0 9] P^H [69 70 71] [7 2 5]

TIPO DE ACIDOSIS MATERNA [72] [0] TIPO DE ACIDOSIS FETAL [73] [3] Δ-P^H MADRE-FETO [74 75] [0 5]

Δ-P^H VENA UMBILICAL-ARTERIA UMBILICAL [76 77] [0 8] PROMEDIO DE ASCENSOS ?. [78 79] [4 5]

PROMEDIO DE ASCENSOS TRANSITORIOS QUE COINCIDEN CON LA CONTRACCION [80 81] [0 0]

TAQUICARDIA [82] [0] BRADICARDIA [83] [0] VARIABILIDAD DE LA FCF [84 85] [0 5] DIP-I [86 87] [0 0]

DIP-II [88 89] [0 0] TOTAL DIPS UMBILICALES [90 91] [0 0] DIP-U [92 93] [0 0] $DIP\text{-}U_p$ [94 95] [0 0]

$DIP\text{-}U_t$ [96 97] [0 0] $DIP\text{-}U_a$ [98 99] [0 0] $DIP\text{-}U_{a_p}$ [100 101] [0 0] $DIP\text{-}U_{a_t}$ [102 103] [0 0] $DIP\text{-}U_\lambda$ [104 105] [0 0]

$DIP\text{-}U_{\lambda_p}$ [106 107] [0 0] $DIP\text{-}U_{\lambda_t}$ [108 109] [0 0] DIP-V [110 111] [0 7] $DIP\text{-}V_p$ [112 113] [0 0]

$DIP\text{-}V_t$ [114 115] [0 0] $DIP\text{-}V_b$ [116 117] [0 0] NUMERO DE CONTRACCIONES [118 119 120] [0 1 0]

NUMERO DE MINUTOS REGISTRADOS [121 122 123] [0 9 2]

HOJA CODIFICADA PARA EL ESTUDIO DE LAS VARIACIONES CARDIOTOCOGRAFICAS ATRIBUIDAS A LAS CIRCULARES DEL CORDON UMBILICAL

NOMBRE Y APELLIDOS:

GRUPO ESTUDIADO [1] [2] Nº DE Nº DE H.C. [2 3 4 5 6 7] [0 8 4 3 0 9] Nº DE UCIP [8 9 10 11 12] [1 3 3 6 4]

BOLSA [13] [0] L.A. [14] [3] MECONIO [15] [1] SEMANA DE AMENORREA [16 17] [4 2] SEXO [18] [0]

VITALIDAD [19] [0] EDAD MATERNA [20 21] [1 9] PARIDAD [22 23] [0 0] PESO DEL R.N. [24 25 26 27] [3 3 7 0]

FORMA DE TERMINACION DEL PARTO [28] [0] LONGITUD DEL CORDON [29 30] [8 0] APGAR-1 [31 32] [0 9]

APGAR-5 [33 34] [1 0] MORBILIDAD [35] [0]

MADRE: PO_2 [36 37] [7 9] PCO_2 [38 39] [2 5] D.B. [40 41 42] [- - 6] HCO_3^- [43 44] [1 6] P^H [45 46 47] [7 4 4]

FETO: ARTERIA. PO_2 [48 49] [2 2] PCO_2 [50 51] [5 0] D.B. [52 53 54] [- 1 3] HCO_3^- [55 56] [1 7] P^H [57 58 59] [7 1 5]

VENA. PO_2 [60 61] [7 2] PCO_2 [62 63] [3 3] D.B. [64 65 66] [- - 5] HCO_3^- [67 68] [1 9] P^H [69 70 71] [7 3 7]

TIPO DE ACIDOSIS MATERNA [72] [0] TIPO DE ACIDOSIS FETAL [73] [3] Δ-P^H MADRE-FETO [74 75] [0 7]

Δ-P^H VENA UMBILICAL-ARTERIA UMBILICAL [76 77] [2 2] PROMEDIO DE ASCENSOS ?. [78 79] [3 0]

PROMEDIO DE ASCENSOS TRANSITORIOS QUE COINCIDEN CON LA CONTRACCION [80 81] [0 0]

TAQUICARDIA [82] [0] BRADICARDIA [83] [0] VARIABILIDAD DE LA FCF [84 85] [0 8] DIP-I [86 87] [0 0]

DIP-II [88 89] [0 0] TOTAL DIPS UMBILICALES [90 91] [0 3] DIP-U [92 93] [0 0] $DIP\text{-}U_p$ [94 95] [0 0]

$DIP\text{-}U_t$ [96 97] [0 0] $DIP\text{-}U_a$ [98 99] [0 0] $DIP\text{-}U_{a_p}$ [100 101] [0 0] $DIP\text{-}U_{a_t}$ [102 103] [0 0] $DIP\text{-}U_\lambda$ [104 105] [0 3]

$DIP\text{-}U_{\lambda_p}$ [106 107] [0 0] $DIP\text{-}U_{\lambda_t}$ [108 109] [0 0] DIP-V [110 111] [0 3] $DIP\text{-}V_p$ [112 113] [0 1]

$DIP\text{-}V_t$ [114 115] [0 0] $DIP\text{-}V_b$ [116 117] [0 0] NUMERO DE CONTRACCIONES [118 119 120] [0 2 7]

NUMERO DE MINUTOS REGISTRADOS [121 122 123] [2 1 0]

HOJA CODIFICADA PARA EL ESTUDIO DE LAS VARIACIONES CARDIOTOCOGRAFICAS ATRIBUIDAS A LAS CIRCULARES DEL CORDON UMBILICAL

NOMBRE Y APELLIDOS:

GRUPO ESTUDIADO [1] [2] Nº DE Nº DE H.C. [2 3 4 5 6 7] [0 4 2 8 8 0] Nº DE UCIP [8 9 10 11 12] [1 3 0 2 8]

BOLSA [13] [0] L.A. [14] [2] MECONIO [15] [2] SEMANA DE AMENORREA [16 17] [3 7] SEXO [18] [0]

VITALIDAD [19] [0] EDAD MATERNA [20 21] [3 3] PARIDAD [22 23] [0 3] PESO DEL R.N. [24 25 26 27] [3 6 7 0]

FORMA DE TERMINACION DEL PARTO [28] [0] LONGITUD DEL CORDON [29 30] [5 0] APGAR-1 [31 32] [0 9]

APGAR-5 [33 34] [1 0] MORBILIDAD [35] [0]

MADRE: PO_2 [36 37] [7 8] PCO_2 [38 39] [2 5] D.B. [40 41 42] [- - 7] HCO_3^- [43 44] [1 5] P^H [45 46 47] [7 3 7]

FETO: ARTERIA. PO_2 [48 49] [1 3] PCO_2 [50 51] [5 6] D.B. [52 53 54] [- - 3] HCO_3^- [55 56] [2 4] P^H [57 58 59] [7 2 4]

VEN. . PO_2 [60 61] [2 6] PCO_2 [62 63] [4 2] D.B. [64 65 66] [- - 2] HCO_3^- [67 68] [2 3] P^H [69 70 71] [7 3 2]

TIPO DE ACIDOSIS MATERNA [72] [0] TIPO DE ACIDOSIS FETAL [73] [0] Δ-P^H MADRE-FETO [74 75] [0 5]

Δ-P^H VENA UMBI.ICAL-ARTERIA UMBILICAL [76 77] [0 8] PROMEDIO DE ASCENSOS ?. [78 79] [5 0]

PROMEDIO DE ASCENSOS TRANSITORIOS QUE COINCIDEN CON LA CONTRACCION [80 81] [0 0]

TAQUICARDIA [82] [0] BRADICARDIA [83] [0] VARIABILIDAD DE LA FCF [84 85] [0 7] DIP-I [86 87] [0 0]

DI.-II [88 89] [0 0] TOTAL DIPS UMBILICALES [90 91] [1 3] DIP-U [92 93] [0 0] $DIP\text{-}U_p$ [94 95] [0 0]

$DIP\text{-}U_t$ [96 97] [0 0] $DIP\text{-}U_a$ [98 99] [0 0] $DIP\text{-}U_{a_p}$ [100 101] [0 0] $DIP\text{-}U_{a_t}$ [102 103] [0 0] $DIP\text{-}U_\lambda$ [104 105] [1 3]

$DIP\text{-}U_{\lambda_p}$ [106 107] [0 0] $DIP\text{-}U_{\lambda_t}$ [108 109] [0 0] DIP-V [110 111] [0 0] $DIP\text{-}V_p$ [112 113] [0 0]

$DIP\text{-}V_t$ [114 115] [0 0] $DIP\text{-}V_b$ [116 117] [0 0] NUMERO DE CONTRACCIONES [118 119 120] [0 0 1]

NUMERO DE MINUTOS REGISTRADOS [121 122 123] [0 7 2]

HOJA CODIFICADA PARA EL ESTUDIO DE LAS VARIACIONES CARDIOTOCOGRAFICAS ATRIBUIDAS A LAS CIRCULARES DEL CORDON UMBILICAL

NOMBRE Y APELLIDOS:

GRUPO ESTUDIADO [1] [2] Nº DE Nº DE H.C. [2 3 4 5 6 7] [0 9 3 4 2 6] Nº DE UCIP [8 9 10 11 12] [1 5 3 2 8]

BOLSA [13] [0] L.A. [14] [3] MECONIO [15] [1] SEMANA DE AMENORREA [16 17] [4 0] SEXO [18] [0]

VITALIDAD [19] [0] EDAD MATERNA [20 21] [3 2] PARIDAD [22 23] [0 4] PESO DEL R.N. [24 25 26 27] [3 8 6 0]

FORMA DE TERMINACION DEL PARTO [28] [0] LONGITUD DEL CORDON [29 30] [7 5] APGAR-1 [31 32] [0 9]

APGAR-5 [33 34] [1 0] MORBILIDAD [35] [0]

MADRE: PO_2 [36 37] [8 1] PCO_2 [38 39] [2 9] D.B. [40 41 42] [- - 9] HCO_3^- [43 44] [1 5] P^H [45 46 47] [7 3 1]

FETO: ARTERIA. PO_2 [48 49] [1 3] PCO_2 [50 51] [5 3] D.B. [52 53 54] [- - 6] HCO_3^- [55 56] [2 2] P^H [57 58 59] [7 2 3]

VENA. PO_2 [60 61] [3 8] PCO_2 [62 63] [3 6] D.B. [64 65 66] [- - 4] HCO_3^- [67 68] [2 0] P^H [69 70 71] [7 3 5]

TIPO DE ACIDOSIS MATERNA [72] [0] TIPO DE ACIDOSIS FETAL [73] [0] Δ-P^H MADRE-FETO [74 75] [0 0]

Δ-P^H VENA UMBILICAL-ARTERIA UMBILICAL [76 77] [0 8] PROMEDIO DE ASCENSOS ?. [78 79] [3 0]

PROMEDIO DE ASCENSOS TRANSITORIOS QUE COINCIDEN CON LA CONTRACCION [80 81] [1 0]

TAQUICARDIA [82] [1] BRADICARDIA [83] [0] VARIABILIDAD DE LA FCF [84 85] [1 0] DIP-I [86 87] [0 0]

DIP-II [88 89] [0 0] TOTAL DIPS UMBILICALES [90 91] [0 5] DIP-U [92 93] [0 0] $DIP\text{-}U_p$ [94 95] [0 5]

$DIP\text{-}U_t$ [96 97] [0 0] $DIP\text{-}U_a$ [98 99] [0 0] $DIP\text{-}U_{a_p}$ [100 101] [0 0] $DIP\text{-}U_{a_t}$ [102 103] [0 0] $DIP\text{-}U_\lambda$ [104 105] [0 0]

$DIP\text{-}U_{\lambda_p}$ [106 107] [0 0] $DIP\text{-}U_{\lambda_t}$ [108 109] [0 0] DIP-V [110 111] [0 5] $DIP\text{-}V_p$ [112 113] [0 0]

$DIP\text{-}V_t$ [114 115] [0 0] $DIP\text{-}V_b$ [116 117] [0 0] NUMERO DE CONTRACCIONES [118 119 120] [0 1 0]

NUMERO DE MINUTOS REGISTRADOS [121 122 123] [0 6 0]

HOJA CODIFICADA PARA EL ESTUDIO DE LAS VARIACIONES CARDIOTOCOGRAFICAS ATRIBUIDAS A LAS CIRCULARES DEL CORDON UMBILICAL

NOMBRE Y APELLIDOS:

GRUPO ESTUDIADO [2] Nº DE Hº DE D.C. [0 8 2 8 3 3] Nº DE UCIP [1 3 0 2 3]

BOLSA [0] L.A. [2] MECONIO [2] SEMANA DE AMENORREA [4 0] SEXO [1]

VITALIDAD [0] EDAD MATERNA [2 3] PARIDAD [0 0] PESO DEL R.N. [3 8 4 0]

FORMA DE TERMINACION DEL PARTO [0] LONGITUD DEL CORDON [8 0] APGAR-1 [0 9]

APGAR-5 [1 0] MORBILIDAD [0]

MADRE: PO_2 [9 9] PCO_2 [2 7] D.B. [- 5] HCO_3^- [1 7] P^H [7 4 2]

FETO: ARTERIA. PO_2 [1 2] PCO_2 [3 7] D.B. [- 6] HCO_3^- [1 9] P^H [7 3 2]

VENA. PO_2 [2 4] PCO_2 [3 0] D.B. [- 5] HCO_3^- [1 8] P^H [7 3 9]

TIPO DE ACIDOSIS MATERNA [0] TIPO DE ACIDOSIS FETAL [0] Δ-P^H MADRE-FETO [0 3]

Δ-P^H VENA UMBILICAL-ARTERIA UMBILICAL [0 7] PROMEDIO DE ASCENSOS ?. [3 7]

PROMEDIO DE ASCENSOS TRANSITORIOS QUE COINCIDEN CON LA CONTRACCION [0 7]

TAQUICARDIA [0] BRADICARDIA [0] VARIABILIDAD DE LA FCF [0 6] DIP-I [0 0]

DIP-II [0 0] TOTAL DIPS UMBILICALES [6 7] DIP-U [0 0] $DIP\text{-}U_p$ [0 0]

$DIP\text{-}U_t$ [0 0] $DIP\text{-}U_a$ [0 0] $DIP\text{-}U_{ap}$ [0 0] $DIP\text{-}U_{at}$ [0 0] $DIP\text{-}U_\lambda$ [5 3]

$DIP\text{-}U_{\lambda p}$ [1 3] $DIP\text{-}U_{\lambda t}$ [0 0] DIP-V [0 0] $DIP\text{-}V_p$ [0 0]

$DIP\text{-}V_t$ [0 0] $DIP\text{-}V_b$ [0 0] NUMERO DE CONTRACCIONES [0 1 4]

NUMERO DE MINUTOS REGISTRADOS [0 9 0]

HOJA CODIFICADA PARA EL ESTUDIO DE LAS VARIACIONES CARDIOTOCOGRAFICAS ATRIBUIDAS A LAS CIRCULARES DEL CORDON UMBILICAL

NOMBRE Y APELLIDOS:

GRUPO ESTUDIADO [2] Nº DE Hº DE D.C. [0 7 2 3 8 6] Nº DE UCIP [1 1 1 7 1]

BOLSA [0] L.A. [2] MECONIO [1] SEMANA DE AMENORREA [3 8] SEXO [0]

VITALIDAD [0] EDAD MATERNA [1 7] PARIDAD [0 1] PESO DEL R.N. [2 9 6 0]

FORMA DE TERMINACION DEL PARTO [0] LONGITUD DEL CORDON [6 0] APGAR-1 [0 9]

APGAR-5 [1 0] MORBILIDAD [0]

MADRE: PO_2 [9 5] PCO_2 [2 4] D.B. [- 8] HCO_3^- [1 3] P^H [7 3 6]

FETO: ARTERIA. PO_2 [3 0] PCO_2 [4 5] D.B. [- 6] HCO_3^- [2 0] P^H [7 2 5]

VENA. PO_2 [5 9] PCO_2 [3 1] D.B. [- 6] HCO_3^- [1 8] P^H [7 3 6]

TIPO DE ACIDOSIS MATERNA [0] TIPO DE ACIDOSIS FETAL [0] Δ-P^H MADRE-FETO [0 0]

Δ-P^H VENA UMBILICAL-ARTERIA UMBILICAL [1 1] PROMEDIO DE ASCENSOS ?. [3 2]

PROMEDIO DE ASCENSOS TRANSITORIOS QUE COINCIDEN CON LA CONTRACCION [0 6]

TAQUICARDIA [0] BRADICARDIA [0] VARIABILIDAD DE LA FCF [0 5] DIP-I [0 0]

DIP-II [0 0] TOTAL DIPS UMBILICALES [0 4] DIP-U [0 0] $DIP\text{-}U_p$ [0 0]

$DIP\text{-}U_t$ [0 0] $DIP\text{-}U_a$ [0 0] $DIP\text{-}U_{ap}$ [0 0] $DIP\text{-}U_{at}$ [0 0] $DIP\text{-}U_\lambda$ [0 3]

$DIP\text{-}U_{\lambda p}$ [0 0] $DIP\text{-}U_{\lambda t}$ [0 1] DIP-V [0 0] $DIP\text{-}V_p$ [0 0]

$DIP\text{-}V_t$ [0 0] $DIP\text{-}V_b$ [0 0] NUMERO DE CONTRACCIONES [1 0 4]

NUMERO DE MINUTOS REGISTRADOS [3 2 4]

HOJA CODIFICADA PARA EL ESTUDIO DE LAS VARIACIONES CARDIOTOCOGRAFICAS ATRIBUIDAS A LAS CIRCULARES DEL CORDON UMBILICAL

NOMBRE Y APELLIDOS:

GRUPO ESTUDIADO [2] Nº DE Hº DE D.C. [0 7 4 1 7 8] Nº DE UCIP [1 1 4 6 0]

BOLSA [1] L.A. [3] MECONIO [0] SEMANA DE AMENORREA [3 9] SEXO [0]

VITALIDAD [0] EDAD MATERNA [3 7] PARIDAD [0 1] PESO DEL R.N. [3 4 6 0]

FORMA DE TERMINACION DEL PARTO [1] LONGITUD DEL CORDON [5 0] APGAR-1 [0 9]

APGAR-5 [1 0] MORBILIDAD [0]

MADRE: PO_2 [6 4] PCO_2 [2 6] D.B. [- 4] HCO_3^- [1 7] P^H [7 4 4]

FETO: ARTERIA. PO_2 [0 6] PCO_2 [4 7] D.B. [- 7] HCO_3^- [2 6] P^H [7 3 5]

VENA. PO_2 [2 0] PCO_2 [3 2] D.B. [- 6] HCO_3^- [2 2] P^H [7 4 3]

TIPO DE ACIDOSIS MATERNA [0] TIPO DE ACIDOSIS FETAL [0] Δ-P^H MADRE-FETO [0 1]

Δ-P^H VENA UMBILICAL-ARTERIA UMBILICAL [0 8] PROMEDIO DE ASCENSOS ?. [1 4]

PROMEDIO DE ASCENSOS TRANSITORIOS QUE COINCIDEN CON LA CONTRACCION [0 0]

TAQUICARDIA [0] BRADICARDIA [0] VARIABILIDAD DE LA FCF [0 7] DIP-I [0 0]

DIP-II [0 0] TOTAL DIPS UMBILICALES [1 1] DIP-U [0 0] $DIP\text{-}U_p$ [0 0]

$DIP\text{-}U_t$ [0 0] $DIP\text{-}U_a$ [0 0] $DIP\text{-}U_{ap}$ [0 0] $DIP\text{-}U_{at}$ [0 0] $DIP\text{-}U_\lambda$ [0 5]

$DIP\text{-}U_{\lambda p}$ [0 4] $DIP\text{-}U_{\lambda t}$ [0 2] DIP-V [0 0] $DIP\text{-}V_p$ [0 0]

$DIP\text{-}V_t$ [0 0] $DIP\text{-}V_b$ [0 0] NUMERO DE CONTRACCIONES [0 7 6]

NUMERO DE MINUTOS REGISTRADOS [2 8 8]

HOJA CODIFICADA PARA EL ESTUDIO DE LAS VARIACIONES CARDIOTOCOGRAFICAS ATRIBUIDAS A LAS CIRCULARES DEL CORDON UMBILICAL

NOMBRE Y APELLIDOS:

GRUPO ESTUDIADO [2] Nº DE Hº DE D.C. [0 1 6 1 4 3] Nº DE UCIP [0 4 8 8 2]

BOLSA [1] L.A. [2] MECONIO [1] SEMANA DE AMENORREA [4 0] SEXO [0]

VITALIDAD [0] EDAD MATERNA [2 4] PARIDAD [0 0] PESO DEL R.N. [2 6 0 0]

FORMA DE TERMINACION DEL PARTO [0] LONGITUD DEL CORDON [4 5] APGAR-1 [0 9]

APGAR-5 [1 0] MORBILIDAD [0]

MADRE: PO_2 [0 0] PCO_2 [0 0] D.B. [- - -] HCO_3^- [- -] P^H [7 4 6]

FETO: ARTERIA. PO_2 [- -] PCO_2 [- -] D.B. [- - - -] HCO_3^- [- -] P^H [7 3 0]

VENA. PO_2 [- -] PCO_2 [- -] D.B. [- - - -] HCO_3^- [- -] P^H [7 4 6]

TIPO DE ACIDOSIS MATERNA [0] TIPO DE ACIDOSIS FETAL [0] Δ-P^H MADRE-FETO [0 0]

Δ-P^H VENA UMBILICAL-ARTERIA UMBILICAL [1 6] PROMEDIO DE ASCENSOS ?. [2 4]

PROMEDIO DE ASCENSOS TRANSITORIOS QUE COINCIDEN CON LA CONTRACCION [0 0]

TAQUICARDIA [0] BRADICARDIA [0] VARIABILIDAD DE LA FCF [0 8] DIP-I [0 0]

DIP-II [0 0] TOTAL DIPS UMBILICALES [2 0] DIP-U [0 0] $DIP\text{-}U_p$ [0 8]

$DIP\text{-}U_t$ [0 0] $DIP\text{-}U_a$ [0 0] $DIP\text{-}U_{ap}$ [0 0] $DIP\text{-}U_{at}$ [0 0] $DIP\text{-}U_\lambda$ [1 2]

$DIP\text{-}U_{\lambda p}$ [0 0] $DIP\text{-}U_{\lambda t}$ [0 0] DIP-V [0 0] $DIP\text{-}V_p$ [0 4]

$DIP\text{-}V_t$ [0 0] $DIP\text{-}V_b$ [0 0] NUMERO DE CONTRACCIONES [0 2 1]

NUMERO DE MINUTOS REGISTRADOS [0 7 5]

HOJA CODIFICADA PARA EL ESTUDIO DE LAS VARIACIONES CARDIOTOCOGRAFICAS ATRIBUIDAS A LAS CIRCULARES DEL CORDON UMBILICAL

NOMBRE Y APELLIDOS:

GRUPO ESTUDIADO [2] Nº DE Hª DE D.C. [0 2 1 5 5 8] Nº DE UCIP [1 0 0 4 7]

BOLSA [0] L.A. [2] MECONIO [0] SEMANA DE AMENORREA [3 9] SEXO [1]

VITALIDAD [0] EDAD MATERNA [2 5] PARIDAD [0 4] PESO DEL R.N. [3 5 3 0]

FORMA DE TERMINACION DEL PARTO [0] LONGITUD DEL CORDON [6 0] APGAR-1 [0 9]

APGAR-5 [1 0] MORBILIDAD [0]

MADRE: PO_2 [- -] PCO_2 [- -] D.B. [- - -] HCO_3^- [- -] P^H [- - -]

FETO: ARTERIA. PO_2 [- -] PCO_2 [- -] D.B. [- - -] HCO_3^- [- -] P^H [- - -]

VENA. PO_2 [- -] PCO_2 [- -] D.B. [- - -] HCO_3^- [- -] P^H [- - -]

TIPO DE ACIDOSIS MATERNA [-] TIPO DE ACIDOSIS FETAL [-] Δ-P^H MADRE-FETO [- -]

Δ-P^H VENA UMBILICAL-ARTERIA UMBILICAL [- -] PROMEDIO DE ASCENSOS T. [2 3]

PROMEDIO DE ASCENSOS TRANSITORIOS QUE COINCIDEN CON LA CONTRACCION [0 2]

TAQUICARDIA [0] BRADICARDIA [0] VARIABILIDAD DE LA FCF [0 7] DIP-I [0 0]

DIP-II [0 0] TOTAL DIPS UMBILICALES [2 1] DIP-U [0 0] $DIP\text{-}U_p$ [0 2]

$DIP\text{-}U_t$ [0 0] $DIP\text{-}U_v$ [0 0] $DIP\text{-}U_{vp}$ [0 0] $DIP\text{-}U_{vt}$ [0 0] $DIP\text{-}U_\lambda$ [1 9]

$DIP\text{-}U_{\lambda p}$ [0 0] $DIP\text{-}U_{\lambda t}$ [0 0] DIP-V [0 0] $DIP\text{-}V_p$ [0 7]

$DIP\text{-}V_t$ [0 0] $DIP\text{-}V_b$ [0 0] NUMERO DE CONTRACCIONES [0 4 5]

NUMERO DE MINUTOS REGISTRADOS [1 5 9]

HOJA CODIFICADA PARA EL ESTUDIO DE LAS VARIACIONES CARDIOTOCOGRAFICAS ATRIBUIDAS A LAS CIRCULARES DEL CORDON UMBILICAL

NOMBRE Y APELLIDOS:

GRUPO ESTUDIADO [2] Nº DE Hª DE D.C. [0 7 1 9 6 6] Nº DE UCIP [1 5 7 1 0]

BOLSA [0] L.A. [1] MECONIO [2] SEMANA DE AMENORREA [4 0] SEXO [1]

VITALIDAD [0] EDAD MATERNA [2 3] PARIDAD [0 1] PESO DEL R.N. [3 6 5 0]

FORMA DE TERMINACION DEL PARTO [0] LONGITUD DEL CORDON [5 0] APGAR-1 [0 9]

APGAR-5 [1 0] MORBILIDAD [0]

MADRE: PO_2 [8 8] PCO_2 [2 1] D.B. [- 1 4] HCO_3^- [1 1 6] P^H [7 5 0]

FETO: ARTERIA. PO_2 [2 8] PCO_2 [4 8] D.B. [+ 2] HCO_3^- [2 7] P^H [7 3 7]

VENA. PO_2 [8 4] PCO_2 [3 2] D.B. [- 1] HCO_3^- [2 2] P^H [7 4 4]

TIPO DE ACIDOSIS MATERNA [0] TIPO DE ACIDOSIS FETAL [0] Δ-P^H MADRE-FETO [0 6]

Δ-P^H VENA UMBILICAL-ARTERIA UMBILICAL [0 7] PROMEDIO DE ASCENSOS T. [2 1]

PROMEDIO DE ASCENSOS TRANSITORIOS QUE COINCIDEN CON LA CONTRACCION [0 0]

TAQUICARDIA [0] BRADICARDIA [0] VARIABILIDAD DE LA FCF [1 5] DIP-I [0 0]

DIP-II [0 0] TOTAL DIPS UMBILICALES [4 6] DIP-U [0 0] $DIP\text{-}U_p$ [0 0]

$DIP\text{-}U_t$ [0 0] $DIP\text{-}U_v$ [0 0] $DIP\text{-}U_{vp}$ [0 0] $DIP\text{-}U_{vt}$ [0 0] $DIP\text{-}U_\lambda$ [4 6]

$DIP\text{-}U_{\lambda p}$ [0 0] $DIP\text{-}U_{\lambda t}$ [0 0] DIP-V [0 0] $DIP\text{-}V_p$ [0 0]

$DIP\text{-}V_t$ [0 0] $DIP\text{-}V_b$ [0 0] NUMERO DE CONTRACCIONES [0 0 1]

NUMERO DE MINUTOS REGISTRADOS [0 8 4]

HOJA CODIFICADA PARA EL ESTUDIO DE LAS VARIACIONES CARDIOTOCOGRAFICAS ATRIBUIDAS A LAS CIRCULARES DEL CORDON UMBILICAL

NOMBRE Y APELLIDOS:

GRUPO ESTUDIADO [2] Nº DE Hª DE D.C. [0 8 3 7 1 3] Nº DE UCIP [1 3 2 7 4]

BOLSA [0] L.A. [2] MECONIO [0] SEMANA DE AMENORREA [4 2] SEXO [1]

VITALIDAD [0] EDAD MATERNA [2 7] PARIDAD [0 2] PESO DEL R.N. [3 5 6 0]

FORMA DE TERMINACION DEL PARTO [0] LONGITUD DEL CORDON [8 0] APGAR-1 [0 9]

APGAR-5 [1 0] MORBILIDAD [0]

MADRE: PO_2 [8 2] PCO_2 [2 7] D.B. [- - 6] HCO_3^- [1 7] P^H [7 3 7]

FETO: ARTERIA. PO_2 [1 9] PCO_2 [5 7] D.B. [- 0] HCO_3^- [2 8] P^H [7 2 7]

VENA. PO_2 [2 7] PCO_2 [3 0] D.B. [- 2] HCO_3^- [2 0] P^H [7 3 8]

TIPO DE ACIDOSIS MATERNA [0] TIPO DE ACIDOSIS FETAL [0] Δ-P^H MADRE-FETO [0 1]

Δ-P^H VENA UMBILICAL-ARTERIA UMBILICAL [0 9] PROMEDIO DE ASCENSOS T. [2 8]

PROMEDIO DE ASCENSOS TRANSITORIOS QUE COINCIDEN CON LA CONTRACCION [0 0]

TAQUICARDIA [1] BRADICARDIA [0] VARIABILIDAD DE LA FCF [1 0] DIP-I [0 0]

DIP-II [0 0] TOTAL DIPS UMBILICALES [1 6] DIP-U [0 0] $DIP\text{-}U_p$ [0 0]

$DIP\text{-}U_t$ [0 0] $DIP\text{-}U_v$ [0 0] $DIP\text{-}U_{vp}$ [0 0] $DIP\text{-}U_{vt}$ [0 0] $DIP\text{-}U_\lambda$ [0 4]

$DIP\text{-}U_{\lambda p}$ [1 2] $DIP\text{-}U_{\lambda t}$ [0 0] DIP-V [0 0] $DIP\text{-}V_p$ [0 0]

$DIP\text{-}V_t$ [0 0] $DIP\text{-}V_b$ [0 0] NUMERO DE CONTRACCIONES [0 0 4]

NUMERO DE MINUTOS REGISTRADOS [0 7 6]

HOJA CODIFICADA PARA EL ESTUDIO DE LAS VARIACIONES CARDIOTOCOGRAFICAS ATRIBUIDAS A LAS CIRCULARES DEL CORDON UMBILICAL

NOMBRE Y APELLIDOS:

GRUPO ESTUDIADO [2] Nº DE Hª DE D.C. [0 8 3 7 3 5] Nº DE UCIP [1 3 2 9 2]

BOLSA [1] L.A. [3] MECONIO [1] SEMANA DE AMENORREA [3 8] SEXO [1]

VITALIDAD [0] EDAD MATERNA [3 1] PARIDAD [0 3] PESO DEL R.N. [3 2 2 0]

FORMA DE TERMINACION DEL PARTO [0] LONGITUD DEL CORDON [5 5] APGAR-1 [0 9]

APGAR-5 [1 0] MORBILIDAD [0]

MADRE: PO_2 [8 3] PCO_2 [1 8] D.B. [- - 3] HCO_3^- [1 5] P^H [7 5 6]

FETO: ARTERIA. PO_2 [1 1] PCO_2 [5 1] D.B. [- 2] HCO_3^- [2 6] P^H [7 3 1]

VENA. PO_2 [3 3] PCO_2 [2 3] D.B. [- - 4] HCO_3^- [2 2] P^H [7 4 2]

TIPO DE ACIDOSIS MATERNA [0] TIPO DE ACIDOSIS FETAL [0] Δ-P^H MADRE-FETO [1 4]

Δ-P^H VENA UMBILICAL-ARTERIA UMBILICAL [1 1] PROMEDIO DE ASCENSOS T. [2 9]

PROMEDIO DE ASCENSOS TRANSITORIOS QUE COINCIDEN CON LA CONTRACCION [0 1]

TAQUICARDIA [0] BRADICARDIA [0] VARIABILIDAD DE LA FCF [0 7] DIP-I [0 0]

DIP-II [0 0] TOTAL DIPS UMBILICALES [0 6] DIP-U [0 0] $DIP\text{-}U_p$ [0 0]

$DIP\text{-}U_t$ [0 0] $DIP\text{-}U_v$ [0 0] $DIP\text{-}U_{vp}$ [0 0] $DIP\text{-}U_{vt}$ [0 0] $DIP\text{-}U_\lambda$ [0 3]

$DIP\text{-}U_{\lambda p}$ [0 1] $DIP\text{-}U_{\lambda t}$ [0 1] DIP-V [0 0] $DIP\text{-}V_p$ [0 0]

$DIP\text{-}V_t$ [0 0] $DIP\text{-}V_b$ [0 0] NUMERO DE CONTRACCIONES [0 3 1]

NUMERO DE MINUTOS REGISTRADOS [2 1 0]

HOJA CODIFICADA PARA EL ESTUDIO DE LAS VARIACIONES CARDIOTOCOGRAFICAS ATRIBUIDAS A LAS CIRCULARES DEL CORDON UMBILICAL

NOMBRE Y APELLIDOS:

GRUPO ESTUDIADO [2] Nº DE Hª DE D.C. [0 7 6 7 1 5] Nº DE UCIP [1 1 9 0 5]

BOLSA [0] L.A. [2] MECONIO [2] SEMANA DE AMENORREA [4 2] SEXO [0]

VITALIDAD [0] EDAD MATERNA [2 9] PARIDAD [0 2] PESO DEL R.N. [4 0 0 0]

FORMA DE TERMINACION DEL PARTO [0] LONGITUD DEL CORDON [5 0] APGAR-1 [0 9]

APGAR-5 [1 0] MORBILIDAD [0]

MADRE: PO_2 [8 0] PCO_2 [3 6] D.B. [- - 2] HCO_3^- [2 2] pH [7 4 0]

FETO: ARTERIA. PO_2 [3 0] PCO_2 [4 6] D.B. [- 1 2] HCO_3^- [1 7] pH [7 2 0]

VENA. PO_2 [3 7] PCO_2 [2 6] D.B. [- - 6] HCO_3^- [1 7] pH [7 3 4]

TIPO DE ACIDOSIS MATERNA [0] TIPO DE ACIDOSIS FETAL [2] Δ-pH MADRE-FETO [0 1]

Δ-pH VENA UMBILICAL-ARTERIA UMBILICAL [1 9] PROMEDIO DE ASCENSOS T. [0 4]

PROMEDIO DE ASCENSOS TRANSITORIOS QUE COINCIDEN CON LA CONTRACCION [0 0]

TAQUICARDIA [0] BRADICARDIA [0] VARIABILIDAD DE LA FCF [0 9] DIP-I [0 0]

DIP-II [0 0] TOTAL DIPS UMBILICALES [1 4] DIP-U [0 0] $DIP\text{-}U_p$ [0 6]

$DIP\text{-}U_t$ [0 0] $DIP\text{-}U_v$ [0 0] $DIP\text{-}U_{vt}$ [0 0] $DIP\text{-}U_{\lambda}$ [0 0] $DIP\text{-}U_{\lambda p}$ [0 0] $DIP\text{-}U_{\lambda t}$ [0 0] DIP-V [0 0] $DIP\text{-}V_p$ [0 0] $DIP\text{-}V_t$ [0 0] $DIP\text{-}V_b$ [0 0]

NUMERO DE CONTRACCIONES [0 7 0]

NUMERO DE MINUTOS REGISTRADOS [4 2 2]

HOJA CODIFICADA PARA EL ESTUDIO DE LAS VARIACIONES CARDIOTOCOGRAFICAS ATRIBUIDAS A LAS CIRCULARES DEL CORDON UMBILICAL

NOMBRE Y APELLIDOS:

GRUPO ESTUDIADO [2] Nº DE Hª DE D.C. [0 9 3 7 2 6] Nº DE UCIP [1 5 1 6 3]

BOLSA [0] L.A. [2] MECONIO [2] SEMANA DE AMENORREA [4 1] SEXO [0]

VITALIDAD [0] EDAD MATERNA [3 8] PARIDAD [0 2] PESO DEL R.N. [3 7 7 0]

FORMA DE TERMINACION DEL PARTO [0] LONGITUD DEL CORDON [4 5] APGAR-1 [0 9]

APGAR-5 [1 0] MORBILIDAD [0]

MADRE: PO_2 [8 4] PCO_2 [2 9] D.B. [- - 8] HCO_3^- [1 6] pH [7 3 7]

FETO: ARTERIA. PO_2 [1 1] PCO_2 [4 2] D.B. [- - 3] HCO_3^- [2 3] pH [7 3 3]

VENA. PO_2 [2 4] PCO_2 [3 0] D.B. [- - 3] HCO_3^- [2 0] pH [7 3 5]

TIPO DE ACIDOSIS MATERNA [0] TIPO DE ACIDOSIS FETAL [0] Δ-pH MADRE-FETO [0 2]

Δ-pH VENA UMBILICAL-ARTERIA UMBILICAL [0 2] PROMEDIO DE ASCENSOS T. [1 8]

PROMEDIO DE ASCENSOS TRANSITORIOS QUE COINCIDEN CON LA CONTRACCION [0 5]

TAQUICARDIA [0] BRADICARDIA [0] VARIABILIDAD DE LA FCF [0 6] DIP-I [0 0]

DIP-II [0 0] TOTAL DIPS UMBILICALES [5 0] DIP-U [0 0] $DIP\text{-}U_p$ [0 0]

$DIP\text{-}U_t$ [0 0] $DIP\text{-}U_v$ [0 0] $DIP\text{-}U_{vt}$ [0 0] $DIP\text{-}U_{\lambda}$ [4 6] $DIP\text{-}U_{\lambda p}$ [0 4] $DIP\text{-}U_{\lambda t}$ [0 0] DIP-V [0 0] $DIP\text{-}V_p$ [0 4]

$DIP\text{-}V_t$ [1 4] $DIP\text{-}V_b$ [0 0] NUMERO DE CONTRACCIONES [0 0 9]

NUMERO DE MINUTOS REGISTRADOS [0 6 6]

HOJA CODIFICADA PARA EL ESTUDIO DE LAS VARIACIONES CARDIOTOCOGRAFICAS ATRIBUIDAS A LAS CIRCULARES DEL CORDON UMBILICAL

NOMBRE Y APELLIDOS:

GRUPO ESTUDIADO [2] Nº DE Hª DE D.C. [0 6 0 1 0 1] Nº DE UCIP [0 9 1 2 5]

BOLSA [1] L.A. [2] MECONIO [0] SEMANA DE AMENORREA [4 0] SEXO [1]

VITALIDAD [0] EDAD MATERNA [2 5] PARIDAD [0 0] PESO DEL R.N. [3 0 4 0]

FORMA DE TERMINACION DEL PARTO [1] LONGITUD DEL CORDON [7 0] APGAR-1 [0 9]

APGAR-5 [1 0] MORBILIDAD [0]

MADRE: PO_2 [1 2] PCO_2 [2 4] D.B. [- - 9] HCO_3^- [1 3] pH [7 3 7]

FETO: ARTERIA. PO_2 [2 4] PCO_2 [3 9] D.B. [- - 9] HCO_3^- [1 8] pH [7 2 7]

VENA. PO_2 [2 7] PCO_2 [3 6] D.B. [- - 8] HCO_3^- [1 7] pH [7 3 1]

TIPO DE ACIDOSIS MATERNA [0] TIPO DE ACIDOSIS FETAL [0] Δ-pH MADRE-FETO [0 6]

Δ-pH VENA UMBILICAL-ARTERIA UMBILICAL [0 4] PROMEDIO DE ASCENSOS T. [1 6]

PROMEDIO DE ASCENSOS TRANSITORIOS QUE COINCIDEN CON LA CONTRACCION [0 4]

TAQUICARDIA [0] BRADICARDIA [0] VARIABILIDAD DE LA FCF [0 8] DIP-I [0 0]

DIP-II [0 0] TOTAL DIPS UMBILICALES [1 3] DIP-U [0 0] $DIP\text{-}U_p$ [0 0]

$DIP\text{-}U_t$ [0 0] $DIP\text{-}U_v$ [0 0] $DIP\text{-}U_{vt}$ [0 0] $DIP\text{-}U_{\lambda}$ [1 3] $DIP\text{-}U_{\lambda p}$ [0 0] $DIP\text{-}U_{\lambda t}$ [0 0] DIP-V [0 0] $DIP\text{-}V_p$ [0 0]

$DIP\text{-}V_t$ [0 0] $DIP\text{-}V_b$ [0 0] NUMERO DE CONTRACCIONES [0 1 3]

NUMERO DE MINUTOS REGISTRADOS [0 7 2]

HOJA CODIFICADA PARA EL ESTUDIO DE LAS VARIACIONES CARDIOTOCOGRAFICAS ATRIBUIDAS A LAS CIRCULARES DEL CORDON UMBILICAL

NOMBRE Y APELLIDOS:

GRUPO ESTUDIADO [2] Nº DE Hª DE D.C. [0 5 6 5 9 8] Nº DE UCIP [0 0 6 4 5]

BOLSA [1] L.A. [0] MECONIO [0] SEMANA DE AMENORREA [3 8] SEXO [1]

VITALIDAD [0] EDAD MATERNA [2 3] PARIDAD [0 0] PESO DEL R.N. [2 9 3 0]

FORMA DE TERMINACION DEL PARTO [1] LONGITUD DEL CORDON [6 5] APGAR-1 [0 9]

APGAR-5 [1 0] MORBILIDAD [0]

MADRE: PO_2 [- -] PCO_2 [- -] D.B. [- - - -] HCO_3^- [- - -] pH [- - - -]

FETO: ARTERIA. PO_2 [- -] PCO_2 [- -] D.B. [- - - -] HCO_3^- [- - -] pH [- - - -]

VENA. PO_2 [- -] PCO_2 [- -] D.B. [- - - -] HCO_3^- [- - -] pH [- - - -]

TIPO DE ACIDOSIS MATERNA [-] TIPO DE ACIDOSIS FETAL [-] Δ-pH MADRE-FETO [- -]

Δ-pH VENA UMBILICAL-ARTERIA UMBILICAL [- -] PROMEDIO DE ASCENSOS T. [3 3]

PROMEDIO DE ASCENSOS TRANSITORIOS QUE COINCIDEN CON LA CONTRACCION [0 3]

TAQUICARDIA [0] BRADICARDIA [0] VARIABILIDAD DE LA FCF [0 8] DIP-I [0 0]

DIP-II [0 0] TOTAL DIPS UMBILICALES [1 9] DIP-U [0 3] $DIP\text{-}U_p$ [0 0]

$DIP\text{-}U_t$ [0 3] $DIP\text{-}U_v$ [0 0] $DIP\text{-}U_{vt}$ [0 0] $DIP\text{-}U_{\lambda}$ [0 0] $DIP\text{-}U_{\lambda p}$ [1 3] $DIP\text{-}U_{\lambda t}$ [0 0] DIP-V [0 0] $DIP\text{-}V_p$ [0 0]

$DIP\text{-}V_t$ [0 0] $DIP\text{-}V_b$ [0 0] NUMERO DE CONTRACCIONES [0 3 1]

NUMERO DE MINUTOS REGISTRADOS [1 1 0]

HOJA CODIFICADA PARA EL ESTUDIO DE LAS VARIACIONES CARDIOTOCOGRAFICAS ATRIBUIDAS A LAS CIRCULARES DEL CORDON UMBILICAL

NOMBRE Y APELLIDOS:

GRUPO ESTUDIADO [2] Nº DE Hª DE D.C. [0 7 9 6 0 3] Nº DE UCIP [1 2 3 6 5]

BOLSA [0] L.A. [2] MECONIO [1] SEMANA DE AMENORREA [3 9] SEXO [0]

VITALIDAD [0] EDAD MATERNA [2 4] PARIDAD [0 0] PESO DEL R.N. [2 7 4 0]

FORMA DE TERMINACION DEL PARTO [0] LONGITUD DEL CORDON [9 9] APGAR-1 [0 9]

APGAR-5 [1 0] MORBILIDAD [0]

MADRE: PO_2 [8 7] PCO_2 [2 4] D.B. [- - 8] HCO_3^- [1 4] P^H [7 3 9]

FETO: ARTERIA. PO_2 [1 8] PCO_2 [5 3] D.B. [- 1 1 1] HCO_3^- [1 9] P^H [7 1 6]

VENA. PO_2 [2 7] PCO_2 [3 8] D.B. [- - 8] HCO_3^- [1 8] P^H [7 3 0]

TIPO DE ACIDOSIS MATERNA [0] TIPO DE ACIDOSIS FETAL [3] Δ-P^H MADRE-FETO [0 9]

Δ-P^H VENA UMBILICAL-ARTERIA UMBILICAL [1 4] PROMEDIO DE ASCENSOS ?. [0 4]

PROMEDIO DE ASCENSOS TRANSITORIOS QUE COINCIDEN CON LA CONTRACCION [0 4]

TAQUICARDIA [0] BRADICARDIA [0] VARIABILIDAD DE LA FCF [0 8] DIP-I [0 0]

DIP-II [0 0] TOTAL DIPS UMBILICALES [0 6] DIP-U [0 0] $DIP\text{-}U_p$ [0 0]

$DIP\text{-}U_t$ [0 0] $DIP\text{-}U_v$ [0 0] $DIP\text{-}U_{m_p}$ [0 0] $DIP\text{-}U_{m_t}$ [0 0] $DIP\text{-}U_a$ [0 0]

$DIP\text{-}U_{a_p}$ [0 6] $DIP\text{-}U_{a_t}$ [0 0] DIP-V [0 0] $DIP\text{-}V_p$ [0 0]

$DIP\text{-}V_t$ [0 0] $DIP\text{-}V_b$ [0 0] NUMERO DE CONTRACCIONES [0 3 1]

NUMERO DE MINUTOS REGISTRADOS [1 5 5]

HOJA CODIFICADA PARA EL ESTUDIO DE LAS VARIACIONES CARDIOTOCOGRAFICAS ATRIBUIDAS A LAS CIRCULARES DEL CORDON UMBILICAL

NOMBRE Y APELLIDOS:

GRUPO ESTUDIADO [2] Nº DE Hª DE D.C. [0 6 5 7 3 8] Nº DE UCIP [1 0 0 5 1]

BOLSA [1] L.A. [2] MECONIO [0] SEMANA DE AMENORREA [3 5] SEXO [0]

VITALIDAD [0] EDAD MATERNA [3 6] PARIDAD [0 2] PESO DEL R.N. [3 7 0 0]

FORMA DE TERMINACION DEL PARTO [0] LONGITUD DEL CORDON [6 8] APGAR-1 [0 9]

APGAR-5 [1 0] MORBILIDAD [0]

MADRE: PO_2 [8 6] PCO_2 [2 5] D.B. [- - 4] HCO_3^- [1 7] P^H [7 4 6]

FETO: ARTERIA. PO_2 [1 2] PCO_2 [3 5] D.B. [- - 6] HCO_3^- [1 9] P^H [7 3 5]

VENA. PO_2 [2 8] PCO_2 [2 6] D.B. [- - 3] HCO_3^- [1 8] P^H [7 4 5]

TIPO DE ACIDOSIS MATERNA [0] TIPO DE ACIDOSIS FETAL [0] Δ-P^H MADRE-FETO [0 1]

Δ-P^H VENA UMBILICAL-ARTERIA UMBILICAL [1 0] PROMEDIO DE ASCENSOS ?. [1 6]

PROMEDIO DE ASCENSOS TRANSITORIOS QUE COINCIDEN CON LA CONTRACCION [0 8]

TAQUICARDIA [0] BRADICARDIA [0] VARIABILIDAD DE LA FCF [0 7] DIP-I [0 0]

DIP-II [0 0] TOTAL DIPS UMBILICALES [0 9] DIP-U [0 0] $DIP\text{-}U_p$ [0 4]

$DIP\text{-}U_t$ [0 0] $DIP\text{-}U_v$ [0 0] $DIP\text{-}U_{m_p}$ [0 0] $DIP\text{-}U_{m_t}$ [0 1] $DIP\text{-}U_a$ [0 4]

$DIP\text{-}U_{a_p}$ [0 0] $DIP\text{-}U_{a_t}$ [0 0] DIP-V [0 1] $DIP\text{-}V_p$ [0 0]

$DIP\text{-}V_t$ [0 0] $DIP\text{-}V_b$ [0 0] NUMERO DE CONTRACCIONES [0 2 4]

NUMERO DE MINUTOS REGISTRADOS [2 7 6]

HOJA CODIFICADA PARA EL ESTUDIO DE LAS VARIACIONES CARDIOTOCOGRAFICAS ATRIBUIDAS A LAS CIRCULARES DEL CORDON UMBILICAL

NOMBRE Y APELLIDOS:

GRUPO ESTUDIADO [2] Nº DE Hª DE D.C. [0 6 0 1 0 2] Nº DE UCIP [0 9 1 2 4]

BOLSA [1] L.A. [2] MECONIO [1] SEMANA DE AMENORREA [3 6] SEXO [1]

VITALIDAD [0] EDAD MATERNA [3 3] PARIDAD [0 0] PESO DEL R.N. [2 7 1 0]

FORMA DE TERMINACION DEL PARTO [1] LONGITUD DEL CORDON [4 5] APGAR-1 [0 9]

APGAR-5 [1 0] MORBILIDAD [0]

MADRE: PO_2 [7 0] PCO_2 [3 0] D.B. [- - 4] HCO_3^- [1 9] P^H [7 4 2]

FETO: ARTERIA. PO_2 [1 2] PCO_2 [5 4] D.B. [- - 5] HCO_3^- [2 4] P^H [7 2 4]

VENA. PO_2 [2 2] PCO_2 [3 9] D.B. [- - 4] HCO_3^- [2 2] P^H [7 3 6]

TIPO DE ACIDOSIS MATERNA [0] TIPO DE ACIDOSIS FETAL [0] Δ-P^H MADRE-FETO [0 6]

Δ-P^H VENA UMBILICAL-ARTERIA UMBILICAL [1 2] PROMEDIO DE ASCENSOS ?. [2 1]

PROMEDIO DE ASCENSOS TRANSITORIOS QUE COINCIDEN CON LA CONTRACCION [0 0]

TAQUICARDIA [0] BRADICARDIA [0] VARIABILIDAD DE LA FCF [0 6] DIP-I [0 0]

DIP-II [0 0] TOTAL DIPS UMBILICALES [0 4] DIP-U [0 0] $DIP\text{-}U_p$ [0 0]

$DIP\text{-}U_t$ [0 0] $DIP\text{-}U_v$ [0 0] $DIP\text{-}U_{m_p}$ [0 0] $DIP\text{-}U_{m_t}$ [0 0] $DIP\text{-}U_a$ [0 4]

$DIP\text{-}U_{a_p}$ [0 0] $DIP\text{-}U_{a_t}$ [0 0] DIP-V [0 0] $DIP\text{-}V_p$ [0 0]

$DIP\text{-}V_t$ [0 0] $DIP\text{-}V_b$ [0 0] NUMERO DE CONTRACCIONES [0 1 5]

NUMERO DE MINUTOS REGISTRADOS [0 8 5]

HOJA CODIFICADA PARA EL ESTUDIO DE LAS VARIACIONES CARDIOTOCOGRAFICAS ATRIBUIDAS A LAS CIRCULARES DEL CORDON UMBILICAL

NOMBRE Y APELLIDOS:

GRUPO ESTUDIADO [2] Nº DE Hª DE D.C. [0 6 3 5 8 9] Nº DE UCIP [0 9 5 5 3]

BOLSA [0] L.A. [2] MECONIO [1] SEMANA DE AMENORREA [4 0] SEXO [0]

VITALIDAD [0] EDAD MATERNA [2 7] PARIDAD [0 1] PESO DEL R.N. [3 6 0 0]

FORMA DE TERMINACION DEL PARTO [0] LONGITUD DEL CORDON [5 6] APGAR-1 [0 9]

APGAR-5 [1 0] MORBILIDAD [0]

MADRE: PO_2 [5 8] PCO_2 [2 9] D.B. [- - 3] HCO_3^- [1 9] P^H [7 4 3]

FETO: ARTERIA. PO_2 [- -] PCO_2 [- -] D.B. [- - - -] HCO_3^- [- -] P^H [- - -]

VENA. PO_2 [4 0] PCO_2 [3 7] D.B. [- - 1] HCO_3^- [2 3] P^H [7 4 1]

TIPO DE ACIDOSIS MATERNA [0] TIPO DE ACIDOSIS FETAL [-] Δ-P^H MADRE-FETO [0 2]

Δ-P^H VENA UMBILICAL-ARTERIA UMBILICAL [- -] PROMEDIO DE ASCENSOS ?. [2 9]

PROMEDIO DE ASCENSOS TRANSITORIOS QUE COINCIDEN CON LA CONTRACCION [0 0]

TAQUICARDIA [0] BRADICARDIA [0] VARIABILIDAD DE LA FCF [0 8] DIP-I [0 0]

DIP-II [0 0] TOTAL DIPS UMBILICALES [2 5] DIP-U [0 4] $DIP\text{-}U_p$ [0 0]

$DIP\text{-}U_t$ [0 0] $DIP\text{-}U_v$ [0 0] $DIP\text{-}U_{m_p}$ [0 0] $DIP\text{-}U_{m_t}$ [0 0] $DIP\text{-}U_a$ [2 1]

$DIP\text{-}U_{a_p}$ [0 0] $DIP\text{-}U_{a_t}$ [0 0] DIP-V [0 0] $DIP\text{-}V_p$ [0 0]

$DIP\text{-}V_t$ [0 0] $DIP\text{-}V_b$ [0 0] NUMERO DE CONTRACCIONES [0 0 3]

NUMERO DE MINUTOS REGISTRADOS [0 7 2]

HOJA CODIFICADA PARA EL ESTUDIO DE LAS VARIACIONES CARDIOTOCOGRAFICAS ATRIBUIDAS A LAS CIRCULARES DEL CORDON UMBILICAL

NOMBRE Y APELLIDOS:

GRUPO ESTUDIADO [2] Nº DE Hª DE D.C. [0 5 8 3 1 5] Nº DE UCIP [1 2 5 1 1 9]

BOLSA [0] L.A. [2] MECONIO [0] SEMANA DE AMENORREA [4 1] SEXO [0]

VITALIDAD [0] EDAD MATERNA [2 3] PARIDAD [0 0] PESO DEL R.N. [4 3 9 0]

FORMA DE TERMINACION DEL PARTO [0] LONGITUD DEL CORDON [6 1] APGAR-1 [0 9]

APGAR-5 [0 9] MORBILIDAD [0]

MADRE: PO_2 [8 0] PCO_2 [2 1 9] D.B. [-5] HCO_3^- [1 7] P^H [7 4 1]

FETO: ARTERIA. PO_2 [0 9] PCO_2 [5 0] D.B. [-2] HCO_3^- [2 5] P^H [7 2 2]

VENA. PO_2 [2 7] PCO_2 [3 9] D.B. [-3] HCO_3^- [2 1] P^H [7 3 6]

TIPO DE ACIDOSIS MATERNA [0] TIPO DE ACIDOSIS FETAL [0] Δ-P^H MADRE-FETO [0 5]

Δ-P^H VENA UMBILICAL-ARTERIA UMBILICAL [1 4] PROMEDIO DE ASCENSOS T. [9 9]

PROMEDIO DE ASCENSOS TRANSITORIOS QUE COINCIDEN CON LA CONTRACCION [0 0]

TAQUICARDIA [0] BRADICARDIA [0] VARIABILIDAD DE LA FCF [1 0] DIP-I [0 0]

DIP-II [0 0] TOTAL DIPS UMBILICALES [4 0] DIP-U [0 0] $DIP\text{-}U_p$ [0 0]

$DIP\text{-}U_t$ [0 0] $DIP\text{-}U_a$ [0 0] $DIP\text{-}U_{ap}$ [0 0] $DIP\text{-}U_{at}$ [0 0] $DIP\text{-}U_\lambda$ [0 3]

$DIP\text{-}U_{\lambda p}$ [0 1] $DIP\text{-}U_{\lambda t}$ [0 0] DIP-V [0 0] $DIP\text{-}V_p$ [0 0]

$DIP\text{-}V_t$ [0 0] $DIP\text{-}V_b$ [0 0] NUMERO DE CONTRACCIONES [0 0 6]

NUMERO DE MINUTOS REGISTRADOS [0 7 5]

HOJA CODIFICADA PARA EL ESTUDIO DE LAS VARIACIONES CARDIOTOCOGRAFICAS ATRIBUIDAS A LAS CIRCULARES DEL CORDON UMBILICAL

NOMBRE Y APELLIDOS:

GRUPO ESTUDIADO [2] Nº DE Hª DE D.C. [0 8 0 0 2 3] Nº DE UCIP [1 2 5 6 2]

BOLSA [0] L.A. [2] MECONIO [0] SEMANA DE AMENORREA [3 8] SEXO [1]

VITALIDAD [0] EDAD MATERNA [3 0] PARIDAD [0 0] PESO DEL R.N. [2 9 2 0]

FORMA DE TERMINACION DEL PARTO [1] LONGITUD DEL CORDON [5 5] APGAR-1 [0 9]

APGAR-5 [1 0] MORBILIDAD [0]

MADRE: PO_2 [8 5] PCO_2 [3 1] D.B. [-6] HCO_3^- [1 7] P^H [7 3 8]

FETO: ARTERIA. PO_2 [1 9] PCO_2 [4 7] D.B. [-12] HCO_3^- [1 7] P^H [7 1 8]

VENA. PO_2 [2 9] PCO_2 [3 9] D.B. [-5] HCO_3^- [2 0] P^H [7 3 3]

TIPO DE ACIDOSIS MATERNA [0] TIPO DE ACIDOSIS FETAL [2] Δ-P^H MADRE-FETO [0 5]

Δ-P^H VENA UMBILICAL-ARTERIA UMBILICAL [1 5] PROMEDIO DE ASCENSOS T. [3 3]

PROMEDIO DE ASCENSOS TRANSITORIOS QUE COINCIDEN CON LA CONTRACCION [0 8]

TAQUICARDIA [0] BRADICARDIA [0] VARIABILIDAD DE LA FCF [0 8] DIP-I [0 0]

DIP-II [0 0] TOTAL DIPS UMBILICALES [1 3] DIP-U [0 0] $DIP\text{-}U_p$ [0 0]

$DIP\text{-}U_t$ [0 0] $DIP\text{-}U_a$ [0 0] $DIP\text{-}U_{ap}$ [0 0] $DIP\text{-}U_{at}$ [0 0] $DIP\text{-}U_\lambda$ [0 8]

$DIP\text{-}U_{\lambda p}$ [0 4] $DIP\text{-}U_{\lambda t}$ [0 1] DIP-V [0 0] $DIP\text{-}V_p$ [0 0]

$DIP\text{-}V_t$ [0 0] $DIP\text{-}V_b$ [0 0] NUMERO DE CONTRACCIONES [1 5 5]

NUMERO DE MINUTOS REGISTRADOS [6 3 6]

HOJA CODIFICADA PARA EL ESTUDIO DE LAS VARIACIONES CARDIOTOCOGRAFICAS ATRIBUIDAS A LAS CIRCULARES DEL CORDON UMBILICAL

NOMBRE Y APELLIDOS:

GRUPO ESTUDIADO [2] Nº DE Hª DE D.C. [0 8 4 1 6 7] Nº DE UCIP [1 5 5 3 7]

BOLSA [0] L.A. [1] MECONIO [0] SEMANA DE AMENORREA [4 1] SEXO [0]

VITALIDAD [0] EDAD MATERNA [3 2] PARIDAD [0 2] PESO DEL R.N. [3 8 7 0]

FORMA DE TERMINACION DEL PARTO [0] LONGITUD DEL CORDON [5 0] APGAR-1 [0 9]

APGAR-5 [1 0] MORBILIDAD [0]

MADRE: PO_2 [7 0] PCO_2 [2 8] D.B. [-9] HCO_3^- [1 5] P^H [7 3 4]

FETO: ARTERIA. PO_2 [1 8] PCO_2 [3 9] D.B. [-7] HCO_3^- [1 9] P^H [7 3 0]

VENA. PO_2 [2 9] PCO_2 [3 5] D.B. [-5] HCO_3^- [1 9] P^H [7 3 3]

TIPO DE ACIDOSIS MATERNA [0] TIPO DE ACIDOSIS FETAL [0] Δ-P^H MADRE-FETO [0 1]

Δ-P^H VENA UMBILICAL-ARTERIA UMBILICAL [0 3] PROMEDIO DE ASCENSOS T. [5 2]

PROMEDIO DE ASCENSOS TRANSITORIOS QUE COINCIDEN CON LA CONTRACCION [0 0]

TAQUICARDIA [0] BRADICARDIA [0] VARIABILIDAD DE LA FCF [1 1] DIP-I [0 0]

DIP-II [0 0] TOTAL DIPS UMBILICALES [3 0] DIP-U [1 3] $DIP\text{-}U_p$ [0 0]

$DIP\text{-}U_t$ [0 0] $DIP\text{-}U_a$ [0 0] $DIP\text{-}U_{ap}$ [0 0] $DIP\text{-}U_{at}$ [0 0] $DIP\text{-}U_\lambda$ [1 7]

$DIP\text{-}U_{\lambda p}$ [0 0] $DIP\text{-}U_{\lambda t}$ [0 0] DIP-V [0 0] $DIP\text{-}V_p$ [0 0]

$DIP\text{-}V_t$ [0 0] $DIP\text{-}V_b$ [0 0] NUMERO DE CONTRACCIONES [0 0 6]

NUMERO DE MINUTOS REGISTRADOS [0 6 9]

HOJA CODIFICADA PARA EL ESTUDIO DE LAS VARIACIONES CARDIOTOCOGRAFICAS ATRIBUIDAS A LAS CIRCULARES DEL CORDON UMBILICAL

NOMBRE Y APELLIDOS:

GRUPO ESTUDIADO [2] Nº DE Hª DE D.C. [0 8 1 1 2 8] Nº DE UCIP [1 2 7 5 2]

BOLSA [1] L.A. [1] MECONIO [2] SEMANA DE AMENORREA [4 4] SEXO [1]

VITALIDAD [0] EDAD MATERNA [4 4] PARIDAD [0 1] PESO DEL R.N. [3 7 5 0]

FORMA DE TERMINACION DEL PARTO [1] LONGITUD DEL CORDON [5 0] APGAR-1 [0 9]

APGAR-5 [0 9] MORBILIDAD [0]

MADRE: PO_2 [7 5] PCO_2 [2 6] D.B. [-7] HCO_3^- [1 7] P^H [7 3 9]

FETO: ARTERIA. PO_2 [1 7] PCO_2 [6 9] D.B. [-5] HCO_3^- [2 4] P^H [7 2 1]

VENA. PO_2 [2 4] PCO_2 [5 2] D.B. [-5] HCO_3^- [2 4] P^H [7 2 7]

TIPO DE ACIDOSIS MATERNA [0] TIPO DE ACIDOSIS FETAL [0] Δ-P^H MADRE-FETO [1 2]

Δ-P^H VENA UMBILICAL-ARTERIA UMBILICAL [0 6] PROMEDIO DE ASCENSOS T. [2 9]

PROMEDIO DE ASCENSOS TRANSITORIOS QUE COINCIDEN CON LA CONTRACCION [0 0]

TAQUICARDIA [0] BRADICARDIA [0] VARIABILIDAD DE LA FCF [0 8] DIP-I [0 1]

DIP-II [0 0] TOTAL DIPS UMBILICALES [1 7] DIP-U [0 0] $DIP\text{-}U_p$ [0 1]

$DIP\text{-}U_t$ [0 0] $DIP\text{-}U_a$ [0 0] $DIP\text{-}U_{ap}$ [0 0] $DIP\text{-}U_{at}$ [0 0] $DIP\text{-}U_\lambda$ [1 0]

$DIP\text{-}U_{\lambda p}$ [0 5] $DIP\text{-}U_{\lambda t}$ [0 1] DIP-V [0 2] $DIP\text{-}V_p$ [0 1]

$DIP\text{-}V_t$ [0 1] $DIP\text{-}V_b$ [0 0] NUMERO DE CONTRACCIONES [1 2 5]

NUMERO DE MINUTOS REGISTRADOS [3 6 3]

HOJA CODIFICADA PARA EL ESTUDIO DE LAS VARIACIONES CARDIOTOCOGRAFICAS ATRIBUIDAS A LAS CIRCULARES DEL CORDON UMBILICAL

NOMBRE Y APELLIDOS:

GRUPO ESTUDIADO 1: 2 | Nº DE Hº DE D.C. 2 3 4 5 6 7: 0 5 9 6 4 2 | Nº DE UCIP 8 9 10 11 12: 0 9 0 5 3

BOLSA 13: 1 | L.A. 14: 2 | MECONIO 15: 2 | SEMANA DE AMENORREA 16 17: 4 1 | SEXO 18: 1

VITALIDAD 19: 0 | EDAD MATERNA 20 21: 2 4 | PARIDAD 22 23: 0 0 | PESO DEL R.N. 24 25 26 27: 3 1 2 0

FORMA DE TERMINACION DEL PARTO 28: 0 | LONGITUD DEL CORDON 29 30: 5 0 | APGAR-1 31 32: 0 9

APGAR-5 33 34: 1 0 | MORBILIDAD 35: 0

MADRE: PO_2 36 37: 6 6 | PCO_2 38 39: 2 3 | D.B. 40 41 42: - 1 0 | HCO_3^- 43 44: 2 4 | P^H 45 46 47: 7 3 6

FETO: ARTERIA. PO_2 48 49: 1 6 | PCO_2 50 51: 4 5 | D.B. 52 53 54: - 1 0 | HCO_3^- 55 56: 1 6 | P^H 57 58 59: 7 2 3

VENA. PO_2 60 61: 2 1 | PCO_2 62 63: 4 0 | D.B. 64 65 66: - - 9 | HCO_3^- 67 68: 1 6 | P^H 69 70 71: 7 2 6

TIPO DE ACIDOSIS MATERNA 72: 0 | TIPO DE ACIDOSIS FETAL 73: 0 | Δ-P^H MADRE-FETO 74 75: 1 0

Δ-P^H VENA UMBILICAL-ARTERIA UMBILICAL 76 77: 0 3 | PROMEDIO DE ASCENSOS T. 78 79: 0 5

PROMEDIO DE ASCENSOS TRANSITORIOS QUE COINCIDEN CON LA CONTRACCION 80 81: 0 0

TAQUICARDIA 82: 0 | BRADICARDIA 83: 0 | VARIABILIDAD DE LA FCF 84 85: 0 4 | DIP-I 86 87: 0 0

DIP-II 88 89: 0 0 | TOTAL DIPS UMBILICALES 90 91: 0 4 | DIP-U 92 93: 0 0 | $DIP\text{-}U_p$ 94 95: 0 0

$DIP\text{-}U_t$ 96 97: 0 0 | $DIP\text{-}U_v$ 98 99: 0 0 | $DIP\text{-}U_{vp}$ 100 101: 0 0 | $DIP\text{-}U_{vt}$ 102 103: 0 0 | $DIP\text{-}U_\lambda$ 104 105: 0 4

$DIP\text{-}U_{\lambda p}$ 106 107: 0 0 | $DIP\text{-}U_{\lambda t}$ 108 109: 0 0 | DIP-V 110 111: 0 0 | $DIP\text{-}V_p$ 112 113: 0 0

$DIP\text{-}V_t$ 114 115: 0 0 | $DIP\text{-}V_b$ 116 117: 0 0 | NUMERO DE CONTRACCIONES 118 119 120: 0 4 3

NUMERO DE MINUTOS REGISTRADOS 121 122 123: 1 6 2

HOJA CODIFICADA PARA EL ESTUDIO DE LAS VARIACIONES CARDIOTOCOGRAFICAS ATRIBUIDAS A LAS CIRCULARES DEL CORDON UMBILICAL

NOMBRE Y APELLIDOS:

GRUPO ESTUDIADO 1: 2 | Nº DE Hº DE D.C. 2 3 4 5 6 7: 0 5 4 1 0 8 | Nº DE UCIP 8 9 10 11 12: 0 8 6 2 1

BOLSA 13: 1 | L.A. 14: 2 | MECONIO 15: 0 | SEMANA DE AMENORREA 16 17: 3 9 | SEXO 18: 1

VITALIDAD 19: 0 | EDAD MATERNA 20 21: 3 4 | PARIDAD 22 23: 0 0 | PESO DEL R.N. 24 25 26 27: 3 4 3 0

FORMA DE TERMINACION DEL PARTO 28: 1 | LONGITUD DEL CORDON 29 30: 5 0 | APGAR-1 31 32: 0 9

APGAR-5 33 34: 0 9 | MORBILIDAD 35: 0

MADRE: PO_2 36 37: 9 1 | PCO_2 38 39: 3 0 | D.B. 40 41 42: - - 8 | HCO_3^- 43 44: 1 6 | P^H 45 46 47: 7 3 4

FETO: ARTERIA. PO_2 48 49: 1 4 | PCO_2 50 51: 4 6 | D.B. 52 53 54: + 2 | HCO_3^- 55 56: 3 3 | P^H 57 58 59: 7 1 7

VENA. PO_2 60 61: 2 1 | PCO_2 62 63: 6 0 | D.B. 64 65 66: - - 2 | HCO_3^- 67 68: 2 5 | P^H 69 70 71: 7 2 5

TIPO DE ACIDOSIS MATERNA 72: 0 | TIPO DE ACIDOSIS FETAL 73: 1 | Δ-P^H MADRE-FETO 74 75: 0 9

Δ-P^H VENA UMBILICAL-ARTERIA UMBILICAL 76 77: 0 8 | PROMEDIO DE ASCENSOS T. 78 79: 3 6

PROMEDIO DE ASCENSOS TRANSITORIOS QUE COINCIDEN CON LA CONTRACCION 80 81: 2 6

TAQUICARDIA 82: 0 | BRADICARDIA 83: 0 | VARIABILIDAD DE LA FCF 84 85: 0 8 | DIP-I 86 87: 0 0

DIP-II 88 89: 0 0 | TOTAL DIPS UMBILICALES 90 91: 5 2 | DIP-U 92 93: 0 0 | $DIP\text{-}U_p$ 94 95: 0 1

$DIP\text{-}U_t$ 96 97: 0 0 | $DIP\text{-}U_v$ 98 99: 0 0 | $DIP\text{-}U_{vp}$ 100 101: 0 0 | $DIP\text{-}U_{vt}$ 102 103: 0 0 | $DIP\text{-}U_\lambda$ 104 105: 1 5

$DIP\text{-}U_{\lambda p}$ 106 107: 3 6 | $DIP\text{-}U_{\lambda t}$ 108 109: 0 1 | DIP-V 110 111: 0 0 | $DIP\text{-}V_p$ 112 113: 0 1

$DIP\text{-}V_t$ 114 115: 0 0 | $DIP\text{-}V_b$ 116 117: 0 0 | NUMERO DE CONTRACCIONES 118 119 120: 0 1 5

NUMERO DE MINUTOS REGISTRADOS 121 122 123: 5 1 1

HOJA CODIFICADA PARA EL ESTUDIO DE LAS VARIACIONES CARDIOTOCOGRAFICAS ATRIBUIDAS A LAS CIRCULARES DEL CORDON UMBILICAL

NOMBRE Y APELLIDOS:

GRUPO ESTUDIADO 1: 2 | Nº DE Hº DE D.C. 2 3 4 5 6 7: 0 5 5 8 5 2 1 | Nº DE UCIP 8 9 10 11 12: 0 8 6 4 1 1

BOLSA 13: 0 | L.A. 14: 2 | MECONIO 15: 2 | SEMANA DE AMENORREA 16 17: 4 2 | SEXO 18: 0

VITALIDAD 19: 0 | EDAD MATERNA 20 21: 3 2 | PARIDAD 22 23: 0 4 | PESO DEL R.N. 24 25 26 27: 3 5 5 0

FORMA DE TERMINACION DEL PARTO 28: 0 | LONGITUD DEL CORDON 29 30: 4 5 | APGAR-1 31 32: 0 9

APGAR-5 33 34: 1 0 | MORBILIDAD 35: 0

MADRE: PO_2 36 37: - - | PCO_2 38 39: - - | D.B. 40 41 42: - - - | HCO_3^- 43 44: - - | P^H 45 46 47: - - -

/ETO: ARTERIA. PO_2 48 49: - - | PCO_2 50 51: - - | D.B. 52 53 54: - - - | HCO_3^- 55 56: - - | P^H 57 58 59: - - -

VENA. PO_2 60 61: - - | PCO_2 62 63: - - | D.B. 64 65 66: - - - | HCO_3^- 67 68: - - | P^H 69 70 71: - - -

TIPO DE ACIDOSIS MATERNA 72: - | TIPO DE ACIDOSIS FETAL 73: - | Δ-P^H MADRE-FETO 74 75: - -

Δ-P^H VENA UMBILICAL-ARTERIA UMBILICAL 76 77: - - | PROMEDIO DE ASCENSOS T. 78 79: 1 3

PROMEDIO DE ASCENSOS TRANSITORIOS QUE COINCIDEN CON LA CONTRACCION 80 81: 1 0

TAQUICARDIA 82: 0 | BRADICARDIA 83: 1 | VARIABILIDAD DE LA FCF 84 85: 0 8 | DIP-I 86 87: 0 0

DIP-II 88 89: 0 0 | TOTAL DIPS UMBILICALES 90 91: 0 3 | DIP-U 92 93: 0 0 | $DIP\text{-}U_p$ 94 95: 0 0

$DIP\text{-}U_t$ 96 97: 0 0 | $DIP\text{-}U_v$ 98 99: 0 0 | $DIP\text{-}U_{vp}$ 100 101: 0 0 | $DIP\text{-}U_{vt}$ 102 103: 0 0 | $DIP\text{-}U_\lambda$ 104 105: 0 3

$DIP\text{-}U_{\lambda p}$ 106 107: 0 0 | $DIP\text{-}U_{\lambda t}$ 108 109: 0 0 | DIP-V 110 111: 0 0 | $DIP\text{-}V_p$ 112 113: 0 0

$DIP\text{-}V_t$ 114 115: 0 0 | $DIP\text{-}V_b$ 116 117: 0 0 | NUMERO DE CONTRACCIONES 118 119 120: 0 1 8

NUMERO DE MINUTOS REGISTRADOS 121 122 123: 0 8 7

HOJA CODIFICADA PARA EL ESTUDIO DE LAS VARIACIONES CARDIOTOCOGRAFICAS ATRIBUIDAS A LAS CIRCULARES DEL CORDON UMBILICAL

NOMBRE Y APELLIDOS:

GRUPO ESTUDIADO 1: 2 | Nº DE Hº DE D.C. 2 3 4 5 6 7: 0 8 3 5 3 4 | Nº DE UCIP 8 9 10 11 12: 1 3 2 4 4

BOLSA 13: 0 | L.A. 14: 2 | MECONIO 15: 1 | SEMANA DE AMENORREA 16 17: 4 1 | SEXO 18: 1

VITALIDAD 19: 0 | EDAD MATERNA 20 21: 2 2 | PARIDAD 22 23: 0 0 | PESO DEL R.N. 24 25 26 27: 2 8 5 0

FORMA DE TERMINACION DEL PARTO 28: 0 | LONGITUD DEL CORDON 29 30: 6 4 | APGAR-1 31 32: 0 9

APGAR-5 33 34: 1 0 | MORBILIDAD 35: 0

MADRE: PO_2 36 37: - - | PCO_2 38 39: - - | D.B. 40 41 42: - - - | HCO_3^- 43 44: - - | P^H 45 46 47: - - -

FETO: ARTERIA. PO_2 48 49: - - | PCO_2 50 51: - - | D.B. 52 53 54: - - - | HCO_3^- 55 56: - - | P^H 57 58 59: - - -

VENA. PO_2 60 61: - - | PCO_2 62 63: - - | D.B. 64 65 66: - - - | HCO_3^- 67 68: - - | P^H 69 70 71: - - -

TIPO DE ACIDOSIS MATERNA 72: - | TIPO DE ACIDOSIS FETAL 73: - | Δ-P^H MADRE-FETO 74 75: - -

Δ-P^H VENA UMBILICAL-ARTERIA UMBILICAL 76 77: - - | PROMEDIO DE ASCENSOS T. 78 79: 1 4

PROMEDIO DE ASCENSOS TRANSITORIOS QUE COINCIDEN CON LA CONTRACCION 80 81: 0 0

TAQUICARDIA 82: 0 | BRADICARDIA 83: 0 | VARIABILIDAD DE LA FCF 84 85: 0 8 | DIP-I 86 87: 0 0

DIP-II 88 89: 0 0 | TOTAL DIPS UMBILICALES 90 91: 0 4 | DIP-U 92 93: 0 0 | $DIP\text{-}U_p$ 94 95: 0 0

$DIP\text{-}U_t$ 96 97: 0 0 | $DIP\text{-}U_v$ 98 99: 0 0 | $DIP\text{-}U_{vp}$ 100 101: 0 0 | $DIP\text{-}U_{vt}$ 102 103: 0 0 | $DIP\text{-}U_\lambda$ 104 105: 0 4

$DIP\text{-}U_{\lambda p}$ 106 107: 0 0 | $DIP\text{-}U_{\lambda t}$ 108 109: 0 0 | DIP-V 110 111: 0 0 | $DIP\text{-}V_p$ 112 113: 0 0

$DIP\text{-}V_t$ 114 115: 0 0 | $DIP\text{-}V_b$ 116 117: 0 0 | NUMERO DE CONTRACCIONES 118 119 120: 0 0 4

NUMERO DE MINUTOS REGISTRADOS 121 122 123: 0 8 4

HOJA CODIFICADA PARA EL ESTUDIO DE LAS VARIACIONES CARDIOTOCOGRAFICAS ATRIBUIDAS A LAS CIRCULARES DEL CORDON UMBILICAL

NOMBRE Y APELLIDOS:

GRUPO ESTUDIADO [2] Nº DE Nº DE D.C. [0843571] Nº DE UCIP [133114]

BOLSA [0] L.A. [2] MECONIO [1] SEMANA DE AMENORREA [41] SEXO [0]

VITALIDAD [0] EDAD MATERNA [29] PARIDAD [02] PESO DEL R.N. [3630]

FORMA DE TERMINACION DEL PARTO [0] LONGITUD DEL CORDON [50] APGAR-1 [09]

APGAR-5 [10] MORBILIDAD [0]

MADRE: PO_2 [91] PCO_2 [24] D.B. [-9] HCO_3^- [14] P^H [7317]

FETO: ARTERIA. PO_2 [--] PCO_2 [--] D.B. [----] HCO_3^- [--] P^H [---]

VENA. PO_2 [38] PCO_2 [34] D.B. [-8] HCO_3^- [18] P^H [7331]

TIPO DE ACIDOSIS MATERNA [0] TIPO DE ACIDOSIS FETAL [-] Δ-P^H MADRE-FETO [06]

Δ-P^H VENA UMBILICAL-ARTERIA UMBILICAL [--] PROMEDIO DE ASCENSOS T. [38]

PROMEDIO DE ASCENSOS TRANSITORIOS QUE COINCIDEN CON LA CONTRACCION [00]

TAQUICARDIA [0] BRADICARDIA [0] VARIABILIDAD DE LA FCF [10] DIP-I [00]

DIP-II [00] TOTAL DIPS UMBILICALES [99] DIP-U [112] $DIP\text{-}U_p$ [018]

$DIP\text{-}U_t$ [00] $DIP\text{-}U_v$ [00] $DIP\text{-}U_{vp}$ [00] $DIP\text{-}U_{vt}$ [00] $DIP\text{-}U_\lambda$ [77]

$DIP\text{-}U_{\lambda p}$ [018] $DIP\text{-}U_{\lambda t}$ [00] DIP-V [014] $DIP\text{-}V_p$ [00]

$DIP\text{-}V_t$ [00] $DIP\text{-}V_b$ [00] NUMERO DE CONTRACCIONES [007]

NUMERO DE MINUTOS REGISTRADOS [178]

HOJA CODIFICADA PARA EL ESTUDIO DE LAS VARIACIONES CARDIOTOCOGRAFICAS ATRIBUIDAS A LAS CIRCULARES DEL CORDON UMBILICAL

NOMBRE Y APELLIDOS:

GRUPO ESTUDIADO [2] Nº DE Nº DE D.C. [0581114] Nº DE UCIP [088418]

BOLSA [0] L.A. [0] MECONIO [0] SEMANA DE AMENORREA [42] SEXO [0]

VITALIDAD [0] EDAD MATERNA [26] PARIDAD [01] PESO DEL R.N. [3000]

FORMA DE TERMINACION DEL PARTO [2] LONGITUD DEL C[illegible]ON [60] APGAR-1 [09]

APGAR-5 [10] MORBILIDAD [0]

MADRE: PO_2 [93] PCO_2 [23] D.B. [-7] HCO_3^- [14] P^H [7442]

FETO: ARTERIA. PO_2 [17] PCO_2 [46] D.B. [-7] HCO_3^- [20] P^H [7215]

VENA. PO_2 [29] PCO_2 [34] D.B. [-7] HCO_3^- [18] P^H [7333]

TIPO DE ACIDOSIS MATERNA [0] TIPO DE ACIDOSIS FETAL [0] Δ-P^H MADRE-FETO [09]

Δ-P^H VENA UMBILICAL-ARTERIA UMBILICAL [08] PROMEDIO DE ASCENSOS T. [25]

PROMEDIO DE ASCENSOS TRANSITORIOS QUE COINCIDEN CON LA CONTRACCION [00]

TAQUICARDIA [0] BRADICARDIA [0] VARIABILIDAD DE LA FCF [08] DIP-I [00]

DIP-II [00] TOTAL DIPS UMBILICALES [10] DIP-U [00] $DIP\text{-}U_p$ [00]

$DIP\text{-}U_t$ [00] $DIP\text{-}U_v$ [00] $DIP\text{-}U_{vp}$ [00] $DIP\text{-}U_{vt}$ [00] $DIP\text{-}U_\lambda$ [018]

$DIP\text{-}U_{\lambda p}$ [02] $DIP\text{-}U_{\lambda t}$ [00] DIP-V [00] $DIP\text{-}V_p$ [00]

$DIP\text{-}V_t$ [00] $DIP\text{-}V_b$ [00] NUMERO DE CONTRACCIONES [028]

NUMERO DE MINUTOS REGISTRADOS [180]

HOJA CODIFICADA PARA EL ESTUDIO DE LAS VARIACIONES CARDIOTOCOGRAFICAS ATRIBUIDAS A LAS CIRCULARES DEL CORDON UMBILICAL

NOMBRE Y APELLIDOS:

GRUPO ESTUDIADO [2] Nº DE Nº DE D.C. [0812888] Nº DE UCIP [15502]

BOLSA [0] L.A. [2] MECONIO [2] SEMANA DE AMENORREA [40] SEXO [1]

VITALIDAD [0] EDAD MATERNA [29] PARIDAD [00] PESO DEL R.N. [3550]

FORMA DE TERMINACION DEL PARTO [0] LONGITUD DEL CORDON [57] APGAR-1 [09]

APGAR-5 [09] MORBILIDAD [0]

MADRE: PO_2 [99] PCO_2 [25] D.B. [-14] HCO_3^- [11] P^H [7428]

FETO: ARTERIA. PO_2 [21] PCO_2 [44] D.B. [-13] HCO_3^- [16] P^H [7316]

VENA. PO_2 [20] PCO_2 [36] D.B. [-7] HCO_3^- [18] P^H [7327]

TIPO DE ACIDOSIS MATERNA [0] TIPO DE ACIDOSIS FETAL [4] Δ-P^H MADRE-FETO [12]

Δ-P^H VENA UMBILICAL-ARTERIA UMBILICAL [11] PROMEDIO DE ASCENSOS T. [24]

PROMEDIO DE ASCENSOS TRANSITORIOS QUE COINCIDEN CON LA CONTRACCION [03]

TAQUICARDIA [0] BRADICARDIA [0] VARIABILIDAD DE LA FCF [08] DIP-I [00]

DIP-II [02] TOTAL DIPS UMBILICALES [13] DIP-U [00] $DIP\text{-}U_p$ [00]

$DIP\text{-}U_t$ [00] $DIP\text{-}U_v$ [00] $DIP\text{-}U_{vp}$ [00] $DIP\text{-}U_{vt}$ [00] $DIP\text{-}U_\lambda$ [11]

$DIP\text{-}U_{\lambda p}$ [02] $DIP\text{-}U_{\lambda t}$ [00] DIP-V [01] $DIP\text{-}V_p$ [00]

$DIP\text{-}V_t$ [01] $DIP\text{-}V_b$ [00] NUMERO DE CONTRACCIONES [031]

NUMERO DE MINUTOS REGISTRADOS [360]

HOJA CODIFICADA PARA EL ESTUDIO DE LAS VARIACIONES CARDIOTOCOGRAFICAS ATRIBUIDAS A LAS CIRCULARES DEL CORDON UMBILICAL

NOMBRE Y APELLIDOS:

GRUPO ESTUDIADO [2] Nº DE Nº DE D.C. [0176713] Nº DE UCIP [12362]

BOLSA [0] L.A. [2] MECONIO [2] SEMANA DE AMENORREA [43] SEXO [0]

VITALIDAD [0] EDAD MATERNA [21] PARIDAD [00] PESO DEL R.N. [3360]

FORMA DE TERMINACION DEL PARTO [3] LONGITUD DEL CORDON [50] APGAR-1 [10]

APGAR-5 [10] MORBILIDAD [0]

MADRE: PO_2 [75] PCO_2 [23] D.B. [-6] HCO_3^- [15] P^H [7443]

FETO: ARTERIA. PO_2 [12] PCO_2 [48] D.B. [-117] HCO_3^- [14] P^H [7110]

VENA. PO_2 [27] PCO_2 [32] D.B. [-13] HCO_3^- [14] P^H [7324]

TIPO DE ACIDOSIS MATERNA [0] TIPO DE ACIDOSIS FETAL [3] Δ-P^H MADRE-FETO [19]

Δ-P^H VENA UMBILICAL-ARTERIA UMBILICAL [14] PROMEDIO DE ASCENSOS T. [08]

PROMEDIO DE ASCENSOS TRANSITORIOS QUE COINCIDEN CON LA CONTRACCION [00]

TAQUICARDIA [0] BRADICARDIA [0] VARIABILIDAD DE LA FCF [07] DIP-I [00]

DIP-II [00] TOTAL DIPS UMBILICALES [18] DIP-U [00] $DIP\text{-}U_p$ [13]

$DIP\text{-}U_t$ [00] $DIP\text{-}U_v$ [00] $DIP\text{-}U_{vp}$ [00] $DIP\text{-}U_{vt}$ [00] $DIP\text{-}U_\lambda$ [05]

$DIP\text{-}U_{\lambda p}$ [00] $DIP\text{-}U_{\lambda t}$ [00] DIP-V [00] $DIP\text{-}V_p$ [00]

$DIP\text{-}V_t$ [00] $DIP\text{-}V_b$ [00] NUMERO DE CONTRACCIONES [066]

NUMERO DE MINUTOS REGISTRADOS [420]

HOJA CODIFICADA PARA EL ESTUDIO DE LAS VARIACIONES CARDIOTOCOGRAFICAS ATRIBUIDAS A LAS CIRCULARES DEL CORDON UMBILICAL

NOMBRE Y APELLIDOS:

GRUPO ESTUDIADO [2] Nº DE Hº DE D.C. [0843712] Nº DE UCIP [13400]

BOLSA [0] L.A. [2] MECONIO [1] SEMANA DE AMENORREA [41] SEXO [1]

VITALIDAD [0] EDAD MATERNA [29] PARIDAD [01] PESO DEL R.N. [3150]

FORMA DE TERMINACION DEL PARTO [0] LONGITUD DEL CORDON [65] APGAR-1 [10]

APGAR-5 [10] MORBILIDAD [0]

MADRE: PO_2 [49] PCO_2 [28] D.B. [-9] HCO_3^- [15] P^H [7432]

FETO: ARTERIA. PO_2 [16] PCO_2 [59] D.B. [-7] HCO_3^- [22] P^H [7319]

VENA. PO_2 [24] PCO_2 [45] D.B. [-7] HCO_3^- [20] P^H [7326]

TIPO DE ACIDOSIS MATERNA [0] TIPO DE ACIDOSIS FETAL [3] Δ-P^H MADRE-FETO [06]

Δ-P^H VENA UMBILICAL-ARTERIA UMBILICAL [07] PROMEDIO DE ASCENSOS ?. [20]

PROMEDIO DE ASCENSOS TRANSITORIOS QUE COINCIDEN CON LA CONTRACCION [00]

TAQUICARDIA [0] BRADICARDIA [0] VARIABILIDAD DE LA FCF [07] DIP-I [00]

DIP-II [00] TOTAL DIPS UMBILICALES [20] DIP-U [00] $DIP\text{-}U_p$ [00]

$DIP\text{-}U_t$ [00] $DIP\text{-}U_v$ [00] $DIP\text{-}U_{vp}$ [00] $DIP\text{-}U_{vt}$ [00] $DIP\text{-}U_2$ [20]

$DIP\text{-}U_{2p}$ [00] $DIP\text{-}U_{2t}$ [00] DIP-V [00] $DIP\text{-}V_p$ [00]

$DIP\text{-}V_t$ [00] $DIP\text{-}V_b$ [00] NUMERO DE CONTRACCIONES [600]

NUMERO DE MINUTOS REGISTRADOS [060]

HOJA CODIFICADA PARA EL ESTUDIO DE LAS VARIACIONES CARDIOTOCOGRAFICAS ATRIBUIDAS A LAS CIRCULARES DEL CORDON UMBILICAL

NOMBRE Y APELLIDOS:

GRUPO ESTUDIADO [2] Nº DE Hº DE D.C. [0928776] Nº DE UCIP [15339]

BOLSA [0] L.A. [2] MECONIO [0] SEMANA DE AMENORREA [43] SEXO [0]

VITALIDAD [0] EDAD MATERNA [29] PARIDAD [02] PESO DEL R.N. [3740]

FORMA DE TERMINACION DEL PARTO [0] LONGITUD DEL CORDON [52] APGAR-1 [10]

APGAR-5 [10] MORBILIDAD [0]

MADRE: PO_2 [--] PCO_2 [--] D.B. [---] HCO_3^- [--] P^H [----]

FETO: ARTERIA. PO_2 [--] PCO_2 [--] D.B. [----] HCO_3^- [--] P^H [----]

VENA. PO_2 [--] PCO_2 [--] D.B. [----] HCO_3^- [--] P^H [----]

TIPO DE ACIDOSIS MATERNA [-] TIPO DE ACIDOSIS FETAL [-] Δ-P^H MADRE-FETO [--]

Δ-P^H VENA UMBILICAL-ARTERIA UMBILICAL [--] PROMEDIO DE ASCENSOS ?. [24]

PROMEDIO DE ASCENSOS TRANSITORIOS QUE COINCIDEN CON LA CONTRACCION [10]

TAQUICARDIA [0] BRADICARDIA [0] VARIABILIDAD DE LA FCF [07] DIP-I [00]

DIP-II [00] TOTAL DIPS UMBILICALES [02] DIP-U [00] $DIP\text{-}U_p$ [00]

$DIP\text{-}U_t$ [00] $DIP\text{-}U_v$ [00] $DIP\text{-}U_{vp}$ [00] $DIP\text{-}U_{vt}$ [00] $DIP\text{-}U_2$ [01]

$DIP\text{-}U_{2p}$ [01] $DIP\text{-}U_{2t}$ [00] DIP-V [00] $DIP\text{-}V_p$ [00]

$DIP\text{-}V_t$ [00] $DIP\text{-}V_b$ [00] NUMERO DE CONTRACCIONES [13 8]

NUMERO DE MINUTOS REGISTRADOS [315]

HOJA CODIFICADA PARA EL ESTUDIO DE LAS VARIACIONES CARDIOTOCOGRAFICAS ATRIBUIDAS A LAS CIRCULARES DEL CORDON UMBILICAL

NOMBRE Y APELLIDOS:

GRUPO ESTUDIADO [ ] Nº DE Hº DE D.C. [ ] Nº DE UCIP [ ]

BOLSA [ ] L.A. [ ] MECONIO [ ] SEMANA DE AMENORREA [ ] SEXO [ ]

VITALIDAD [ ] EDAD MATERNA [ ] PARIDAD [ ] PESO DEL R.N. [ ]

FORMA DE TERMINACION DEL PARTO [ ] LONGITUD DEL CORDON [ ] APGAR-1 [ ]

APGAR-5 [ ] MORBILIDAD [ ]

MADRE: PO_2 [ ] PCO_2 [ ] D.B. [ ] HCO_3^- [ ] P^H [ ]

FETO: ARTERIA. PO_2 [ ] PCO_2 [ ] D.B. [ ] HCO_3^- [ ] P^H [ ]

VENA. PO_2 [ ] PCO_2 [ ] D.B. [ ] HCO_3^- [ ] P^H [ ]

TIPO DE ACIDOSIS MATERNA [ ] TIPO DE ACIDOSIS FETAL [ ] Δ-P^H MADRE-FETO [ ]

Δ-P^H VENA UMBILICAL-ARTERIA UMBILICAL [ ] PROMEDIO DE ASCENSOS ?. [ ]

PROMEDIO DE ASCENSOS TRANSITORIOS QUE COINCIDEN CON LA CONTRACCION [ ]

TAQUICARDIA [ ] BRADICARDIA [ ] VARIABILIDAD DE LA FCF [ ] DIP-I [ ]

DIP-II [ ] TOTAL DIPS UMBILICALES [ ] DIP-U [ ] $DIP\text{-}U_p$ [ ]

$DIP\text{-}U_t$ [ ] $DIP\text{-}U_v$ [ ] $DIP\text{-}U_{vp}$ [ ] $DIP\text{-}U_{vt}$ [ ] $DIP\text{-}U_2$ [ ]

$DIP\text{-}U_{2p}$ [ ] $DIP\text{-}U_{2t}$ [ ] DIP-V [ ] $DIP\text{-}V_p$ [ ]

$DIP\text{-}V_t$ [ ] $DIP\text{-}V_b$ [ ] NUMERO DE CONTRACCIONES [ ]

NUMERO DE MINUTOS REGISTRADOS [ ]

HOJA CODIFICADA PARA EL ESTUDIO DE LAS VARIACIONES CARDIOTOCOGRAFICAS ATRIBUIDAS A LAS CIRCULARES DEL CORDON UMBILICAL

NOMBRE Y APELLIDOS:

GRUPO ESTUDIADO [ ] Nº DE Hº DE D.C. [ ] Nº DE UCIP [ ]

BOLSA [ ] L.A. [ ] MECONIO [ ] SEMANA DE AMENORREA [ ] SEXO [ ]

VITALIDAD [ ] EDAD MATERNA [ ] PARIDAD [ ] PESO DEL R.N. [ ]

FORMA DE TERMINACION DEL PARTO [ ] LONGITUD DEL CORDON [ ] APGAR-1 [ ]

APGAR-5 [ ] MORBILIDAD [ ]

MADRE: PO_2 [ ] PCO_2 [ ] D.B. [ ] HCO_3^- [ ] P^H [ ]

FETO: ARTERIA. PO_2 [ ] PCO_2 [ ] D.B. [ ] HCO_3^- [ ] P^H [ ]

VENA. PO_2 [ ] PCO_2 [ ] D.B. [ ] HCO_3^- [ ] P^H [ ]

TIPO DE ACIDOSIS MATERNA [ ] TIPO DE ACIDOSIS FETAL [ ] Δ-P^H MADRE-FETO [ ]

Δ-P^H VENA UMBILICAL-ARTERIA UMBILICAL [ ] PROMEDIO DE ASCENSOS ?. [ ]

PROMEDIO DE ASCENSOS TRANSITORIOS QUE COINCIDEN CON LA CONTRACCION [ ]

TAQUICARDIA [ ] BRADICARDIA [ ] VARIABILIDAD DE LA FCF [ ] DIP-I [ ]

DIP-II [ ] TOTAL DIPS UMBILICALES [ ] DIP-U [ ] $DIP\text{-}U_p$ [ ]

$DIP\text{-}U_t$ [ ] $DIP\text{-}U_v$ [ ] $DIP\text{-}U_{vp}$ [ ] $DIP\text{-}U_{vt}$ [ ] $DIP\text{-}U_2$ [ ]

$DIP\text{-}U_{2p}$ [ ] $DIP\text{-}U_{2t}$ [ ] DIP-V [ ] $DIP\text{-}V_p$ [ ]

$DIP\text{-}V_t$ [ ] $DIP\text{-}V_b$ [ ] NUMERO DE CONTRACCIONES [ ]

NUMERO DE MINUTOS REGISTRADOS [ ]